

## 2.11 使用済燃料プールからの燃料取り出し設備

### 2.11.1 基本設計

#### 2.11.1.1 設置の目的

使用済燃料プールからの燃料取り出しは、燃料取り出し用カバー（又はコンテナ）の設置による作業環境の整備、燃料等を取り扱う燃料取扱設備の設置を行い、燃料を使用済燃料プール内の使用済燃料貯蔵ラックから取り出し原子炉建屋から搬出することを目的とする。

使用済燃料プールからの燃料取り出し設備は、燃料取扱設備、構内用輸送容器、燃料取り出し用カバーで構成される。燃料取扱設備は、燃料取扱機、クレーンで構成され、燃料取り出し用カバーにより支持される。なお、燃料の原子炉建屋外への搬出には、構内用輸送容器を使用する。

また、クレーンはオペレーティングフロア上での資機材運搬や揚重等にも使用する。

#### 2.11.1.2 要求される機能

##### (1) 燃料取扱設備

燃料取扱設備は、二重のワイヤなどにより落下防止を図る他、駆動源喪失時にも燃料集合体を落下させない設計とする。

また、遮へい、臨界防止を考慮した設計とする。

##### (2) 構内用輸送容器

構内用輸送容器は、除熱、密封、遮へい、臨界防止を考慮した設計とする。また、破損燃料集合体を収納して輸送する容器については、燃料集合体の破損形態に応じて輸送中に放射性物質の飛散・拡散を防止できる設計とする。

##### (3) 燃料取り出し用カバー

燃料取り出し用カバーは、燃料取扱設備の支持、作業環境の整備及び放射性物質の飛散・拡散防止ができる設計とする。

#### 2.11.1.3 設計方針

##### (1) 燃料取扱設備

###### a. 落下防止

(a) 使用済燃料貯蔵ラック上には、重量物を吊ったクレーンを通過できないようにインターロックを設け、貯蔵燃料への重量物の落下を防止できる設計とする。

(b) 燃料取扱機の燃料把握機は、二重のワイヤや種々のインターロックを設け、また、クレーンの主要要素は、二重化を施すことなどにより、燃料移送操作中の燃料集合体等の落下を防止できる設計とする。

b. 遮へい

燃料取扱設備は、使用済燃料プールから構内用輸送容器への燃料集合体の収容操作を、燃料の遮へいに必要な水深を確保した状態で、水中で行うことができる設計とするか、放射線防護のための適切な遮へいを設けて行う設計とする。

c. 臨界防止

燃料取扱設備は、燃料集合体を一体ずつ取り扱う構造とすることにより、燃料の臨界を防止する設計とする。

d. 放射線モニタリング

燃料取扱エリアの放射線モニタリングのため、放射線モニタを設け放射線レベルを測定し、これを免震重要棟集中監視室に表示すると共に、過度の放射線レベルを検出した場合には警報を発し、放射線業務従事者に伝える設計とする。

e. 単一故障

(a) 燃料取扱機の燃料把握機は、二重のワイヤや燃料集合体を確実につかんでいない場合には吊上げができない等のインターロックを設け、圧縮空気等の駆動源が喪失した場合にも、フックから燃料集合体が外れない設計とする。

(b) 燃料取扱機の安全運転に係わるインターロックは電源喪失、ケーブル断線で安全側になる設計とする。

(c) クレーンの主要要素は、二重化を施すことなどにより、移送操作中の構内用輸送容器等の落下を防止できる設計とする。

f. 試験検査

燃料取扱設備のうち安全機能を有する機器は、適切な定期的試験及び検査を行うことができる設計とする。

また、破損燃料を取り扱う場合、燃料取扱設備は、破損形態に応じた適切な取扱手法により、移送中の放射性物質の飛散・拡散を防止できる設計とする。

(2) 構内用輸送容器

a. 除熱

使用済燃料の健全性及び構内用輸送容器構成部材の健全性が維持できるように、使用済燃料の崩壊熱を適切に除去できる設計とする。

b. 密封

周辺公衆及び放射線業務従事者に対し、放射線被ばく上の影響を及ぼすことのないよう、使用済燃料が内包する放射性物質を適切に閉じ込める設計とする。

c. 遮へい

内部に燃料を入れた場合に放射線障害を防止するため、使用済燃料の放射線を適切に遮へいする設計とする。

d. 臨界防止

想定されるいかなる場合にも、燃料が臨界に達することを防止できる設計とする。

また、破損燃料集合体を収納して輸送する容器は燃料集合体の破損形態に応じて輸送中に放射性物質の飛散・拡散を防止できる設計とする。

(3) 燃料取り出し用カバー

a. 燃料取り出し作業環境の整備

燃料取り出し用カバーは、燃料取り出し作業に支障が生じることのないよう、風雨を遮る設計とする。

また、必要に応じ燃料取り出し用カバー内にローカル空調機を設置し、カバー内の作業環境の改善を図るものとする。

b. 放射性物質の飛散・拡散防止

燃料取り出し用カバーは、隙間を低減するとともに、換気設備を設け、排気はフィルタユニットを通じて大気へ放出することにより、カバー内の放射性物質の大気への放出を抑制できる設計とする。

2.11.1.4 供用期間中に確認する項目

(1) 燃料取扱設備

燃料取扱設備は、動力源がなくなった場合においても吊り荷を保持し続けること。

(2) 構内用輸送容器

構内用輸送容器は、除熱、密封、遮へい、臨界防止の安全機能が維持されていること。

(3) 燃料取り出し用カバー

対象外とする。

2.11.1.5 主要な機器

(1) 燃料取扱設備

燃料取扱設備は、燃料取扱機、クレーンで構成する。

a. 燃料取扱機

燃料取扱機は、使用済燃料プール及びキャスクピット上を水平に移動するブリッジ並びにその上を移動するトロリで構成する。

b. クレーン

クレーンは、オペレーティングフロア上部を水平に移動するガーダ及びその上を移動するトロリで構成する。

(2) 構内用輸送容器

構内用輸送容器は、容器本体、蓋、バスケット等で構成する。

### (3) 燃料取り出し用カバー

燃料取り出し用カバーは、使用済燃料プールを覆う構造としており、必要により、燃料取扱機支持用架構及びクレーン支持用架構を有する。

また、燃料取り出し用カバーは換気設備及びフィルタユニットを有する。

なお、換気設備の運転状態やフィルタユニット出入口で監視する放射性物質濃度等の監視状態は現場制御盤及び免震重要棟集中監視室に表示され、異常時は警報を発するなどの管理を行う。

## 2.11.1.6 自然災害対策等

### (1) 津波

燃料取扱設備は、15m 級津波が到達しないと考えられる原子炉建屋オペレーティングフロア上（地上からの高さ約 30m）に設置する。

燃料取り出し用カバーは鉄骨構造と鋼製の外装材により構成されているが、閉空間になっておらず、津波襲来時には、水は燃料取り出し用カバーの裏側に回り込み、津波による影響を受けない。

### (2) 豪雨、台風、竜巻

燃料取り出し用カバーは、建築基準法及び関係法令に基づいた風圧力に対し耐えられるよう設計する。

燃料取扱設備は、建築基準法及び関係法令に基づいた風圧力に対し耐えられるよう設計している燃料取り出し用カバー内に設置する。

燃料取り出し用カバーは外装材で覆うことにより風雨を遮る設計とする。燃料取扱設備は、風雨を遮る設計である燃料取り出し用カバー内に設置する。

### (3) 外部人為事象

外部人為事象に対する設計事象の考慮については、2.1.14 参照。

### (4) 火災

燃料取り出し用カバー及び燃料取り出し用カバー内の主要構成機器は不燃性のものを使用し、電源盤については不燃性又は難燃性、ケーブルについては難燃性のものを可能な限り使用し、火災が発生することを防止する。火災の発生が考えられる箇所について、火災の早期検知に努めるとともに、消火器を設置することで初期消火活動を可能にし、火災により安全性を損なうことのないようにする。

### (5) 環境条件

燃料取扱設備については、燃料取り出し用カバーに換気設備を設け、排気はフィルタユニットを通じて大気へ放出することとしている。

燃料取り出し用カバーの外部にさらされている鉄骨部は、劣化防止を目的に、塗装を施す。

## (6) 被ばく低減対策

放射線業務従事者が立ち入る場所において外部放射線に係る線量率を把握し、放射線業務従事者の立ち入り頻度や滞在時間等を管理することで、作業時における放射線業務従事者が受ける線量が労働安全衛生法及び関係法令に定められた線量限度（100mSv/5年及び50mSv/年）を超えないように管理する。

また、放射線業務従事者の被ばく線量低減策として、大組した構造物をクレーンにてオペレーティングフロアへ吊り込むことにより、オペレーティングフロア上での有人作業の削減を図る。

### 2.11.1.7 運用

#### (1) 燃料集合体の健全性確認

使用済燃料プールに貯蔵されている燃料集合体について、移送前に燃料集合体の機械的健全性を確認する。

#### (2) 破損燃料の取り扱い

燃料集合体の機械的健全性確認において、破損が確認された燃料集合体を移送する場合には、破損形態に応じた適切な取扱手法及び収納方法により、放射性物質の飛散・拡散を防止する。

### 2.11.1.8 構造強度及び耐震性

#### (1) 構造強度

##### a. 燃料取扱設備

燃料取扱設備は、設計、材料の選定、製作及び検査について、適切と認められる規格及び基準による。

燃料取扱設備は、地震荷重等の適切な組合せを考慮しても強度上耐え得る設計とする。

##### b. 構内用輸送容器

構内用輸送容器は取扱中における衝撃、熱等に耐え、かつ、容易に破損しない設計とする。

構内用輸送容器は、設計、材料の選定、製作及び検査について適切と認められる規格及び基準によるものとする。

##### c. 燃料取り出し用カバー

燃料取り出し用カバーは、設計、材料の選定、製作及び検査について、適切と認められる規格及び基準を原則とするが、特殊な環境下での設置となるため、必要に応じ解析や試験等を用いた評価により確認する。

燃料取り出し用カバーは、燃料取扱設備を支持するために必要な構造強度を有する設計とする。

## (2) 耐震性

### a. 燃料取扱設備

#### (a) 燃料取扱機

燃料取扱機は、使用済燃料プール、使用済燃料貯蔵ラックへの波及的影響を考慮することとし、検討に用いる地震動として基準地震動  $S_s$  により使用済燃料プール、使用済燃料貯蔵ラックへ落下しないことの確認を行う。

耐震性に関する評価にあたっては、「JEAG4601 原子力発電所耐震設計技術指針」に準拠することを基本とするが、必要に応じて試験結果等を用いた現実的な評価を行う。

#### (b) クレーン

クレーンは、使用済燃料プール、使用済燃料貯蔵ラックへの波及的影響を考慮する。クレーンは、「JEAG4601・補-1984 原子力発電所耐震設計技術指針 重要度分類・許容応力編」に基づき、通常時は使用済燃料プール上にはなく、基準地震動  $S_s$  が発生して使用済燃料プール、使用済燃料貯蔵ラックを損傷させる可能性は少ないため、検討に用いる地震動として弾性設計用地震動  $S_d$  により使用済燃料プール、使用済燃料貯蔵ラックへ落下しないことの確認を行う。

耐震性に関する評価にあたっては、「JEAG4601 原子力発電所耐震設計技術指針」に準拠することを基本とするが、必要に応じて試験結果等を用いた現実的な評価を行う。

### b. 燃料取り出し用カバー

燃料取り出し用カバーは、その損傷による原子炉建屋、使用済燃料プール、使用済燃料貯蔵ラックへの波及的影響を考慮することとし、基準地震動  $S_s$  により確認を行う。

耐震性に関する評価にあたっては、「JEAG4601 原子力発電所耐震設計技術指針」に準拠することを基本とするが、必要に応じて試験結果等を用いた現実的な評価を行う。

## 2.11.2 基本仕様

### 2.11.2.1 主要仕様

#### (1) 燃料取扱設備

( 3号機及び4号機を除く )

##### a. 燃料取扱機

個数 1 式

##### b. クレーン

個数 1 式

#### ( 4号機 )

##### a. 燃料取扱機

型式 燃料把握機付移床式

基数 1 基

定格荷重 燃料把握機 : 450kg

補助ホイスト : 450kg

##### b. クレーン

型式 天井走行式

基数 1 基

定格荷重 主巻 : 100t

補巻 : 5t

ホイスト : 10t

##### c. エリア放射線モニタ

検出器の種類 半導体検出器

計測範囲  $10^{-3} \sim 10\text{mSv/h}$

個数 2 個

取付箇所 4号機 原子炉建屋 5FL (燃料取り出し用カバーオペフロ階)

( 3号機 )

a. 燃料取扱機

|      |           |        |
|------|-----------|--------|
| 型式   | 燃料把握機付移床式 |        |
| 基数   | 1 基       |        |
| 定格荷重 | 燃料把握機     | : 1t   |
|      | 西側補助ホイス   | : 4.9t |
|      | 東側補助ホイス   | : 4.9t |
|      | テンシルトラス   | : 1.5t |

b. クレーン

|      |       |       |
|------|-------|-------|
| 型式   | 床上走行式 |       |
| 基数   | 1 基   |       |
| 定格荷重 | 主巻    | : 50t |
|      | 補巻    | : 5t  |

c. エリア放射線モニタ

|        |  |                        |
|--------|--|------------------------|
| 検出器の種類 | 半導体検出器                                   |                        |
| 計測範囲   | 10 <sup>-2</sup> ~ 10 <sup>2</sup> mSv/h |                        |
| 個数     | 2 個                                      |                        |
| 取付箇所   | 3号機                                      | 燃料取り出し用カバー 燃料取り出し作業フロア |

(2) 構内用輸送容器

( 3号機及び4号機を除く )

|    |     |
|----|-----|
| 個数 | 1 式 |
|----|-----|

( 4号機 )

|      |           |
|------|-----------|
| 型式   | NFT-22B 型 |
| 収納体数 | 22 体      |
| 個数   | 2 基       |

|      |           |
|------|-----------|
| 型式   | NFT-12B 型 |
| 収納体数 | 12 体      |
| 個数   | 2 基       |



( 3号機 )

|      |        |
|------|--------|
| 種類   | 密封式円筒形 |
| 収納体数 | 7 体    |
| 個数   | 3 基    |

(3) 燃料取り出し用カバー ( 換気設備含む )

( 3号機及び4号機を除く )

|    |     |
|----|-----|
| 個数 | 1 式 |
|----|-----|

( 4号機 )

a. 燃料取り出し用カバー

|    |  |
|----|--|
| 種類 | 鉄骨造  |
| 寸法 | 約 69m ( 南北 ) × 約 31m ( 東西 ) × 約 53m ( 地上高 )<br>( 作業環境整備区画 )<br>約 55m ( 南北 ) × 約 31m ( 東西 ) × 約 23m ( オペレーテ<br>ィングフロア上部高さ ) |
| 個数 | 1 個  |

b. 送風機 ( 給気フィルタユニット )

|    |                         |
|----|-------------------------|
| 種類 | 遠心式                     |
| 容量 | 25,000m <sup>3</sup> /h |
| 台数 | 3 台                     |

c. プレフィルタ ( 給気フィルタユニット )

|    |                         |
|----|-------------------------|
| 種類 | 中性能フィルタ ( 袋型 )          |
| 容量 | 25,000m <sup>3</sup> /h |
| 台数 | 3 台                     |

d. 高性能粒子フィルタ ( 給気フィルタユニット )

|    |                         |
|----|-------------------------|
| 種類 | 高性能粒子フィルタ               |
| 容量 | 25,000m <sup>3</sup> /h |
| 効率 | 97% ( 粒径 0.3 μm ) 以上    |
| 台数 | 3 台                     |

e. 排風機（排気フィルタユニット）

|    |                         |
|----|-------------------------|
| 種類 | 遠心式                     |
| 容量 | 25,000m <sup>3</sup> /h |
| 台数 | 3台                      |

f. プレフィルタ（排気フィルタユニット）

|    |                         |
|----|-------------------------|
| 種類 | 中性能フィルタ（袋型）             |
| 容量 | 25,000m <sup>3</sup> /h |
| 台数 | 3台                      |

g. 高性能粒子フィルタ（排気フィルタユニット）

|    |                         |
|----|-------------------------|
| 種類 | 高性能粒子フィルタ               |
| 容量 | 25,000m <sup>3</sup> /h |
| 効率 | 97%（粒径0.3μm）以上          |
| 台数 | 3台                      |

h. 放射性物質濃度測定器（排気フィルタユニット出入口）

(a)排気フィルタユニット入口

|        |  |
|--------|--|
| 検出器の種類 | シンチレーション検出器                                      |
| 計測範囲   | 10 <sup>0</sup> ～10 <sup>4</sup> s <sup>-1</sup> |
| 台数     | 1台   |

(b)排気フィルタユニット出口

排気フィルタユニット出口については、 2.15 放射線管理関係設備等参照

i. ダクト

(a)カバー内ダクト

|    |                               |
|----|-------------------------------|
| 種類 | 長方形はげ折りダクト／鋼板ダクト              |
| 材質 | 溶融亜鉛めっき鋼板（SGCC 又は SGHC）／SS400 |

(b)屋外ダクト

|    |  |
|----|--|
| 種類 | 長方形はげ折りダクト／鋼板ダクト                       |
| 材質 | 溶融亜鉛めっき鋼板（SGCC 又は SGHC，ガルバニウム付着）／SS400 |

(c)柱架構ダクト

|    |     |
|----|-----|
| 種類 | 柱架構 |
| 材質 | 鋼材  |

( 3号機 )

a. 燃料取り出し用カバー

|    |  |
|----|--|
| 種類 | 鉄骨造  |
| 寸法 | 約 19m (南北) × 約 57m (東西) × 約 54m (地上高)<br>(作業環境整備区画)<br>約 19m (南北) × 約 57m (東西) × 約 24m (オペレーティングフロア上部高さ) |
| 個数 | 1 個  |

b. 排風機

|    |                         |
|----|-------------------------|
| 種類 | 遠心式                     |
| 容量 | 30,000m <sup>3</sup> /h |
| 台数 | 2 台                     |

c. プレフィルタ (排気フィルタユニット)

|    |                         |
|----|-------------------------|
| 種類 | 中性能フィルタ                 |
| 容量 | 10,000m <sup>3</sup> /h |
| 台数 | 4 台                     |

d. 高性能粒子フィルタ (排気フィルタユニット)

|    |                         |
|----|-------------------------|
| 種類 | 高性能粒子フィルタ               |
| 容量 | 10,000m <sup>3</sup> /h |
| 効率 | 97% (粒径 0.3 μm) 以上      |
| 台数 | 4 台                     |

e. 放射性物質濃度測定器 (排気フィルタユニット出入口)

(a)排気フィルタユニット入口

|        |  |
|--------|--|
| 検出器の種類 | シンチレーション検出器  |
| 計測範囲   | 10 <sup>-1</sup> ~ 10 <sup>5</sup> s <sup>-1</sup> |
| 台数     | 1 台  |

(b)排気フィルタユニット出口

排気フィルタユニット出口については、 2.15 放射線管理関係設備等参照

f. ダクト

|    |                  |
|----|------------------|
| 種類 | はぜ折りダクト / 鋼板ダクト  |
| 材質 | ガルバリウム鋼板 / SS400 |

### 2.11.3 添付資料

#### 添付資料 - 1 燃料取扱設備の設計等に関する説明書

添付資料 - 1 - 1 燃料の落下防止，臨界防止に関する説明書<sup>3</sup>

添付資料 - 1 - 2 放射線モニタリングに関する説明書<sup>3</sup>

添付資料 - 1 - 3 燃料の健全性確認及び取り扱いに関する説明書<sup>2</sup>

#### 添付資料 - 2 構内用輸送容器の設計等に関する説明書

添付資料 - 2 - 1 構内用輸送容器に係る安全機能及び構造強度に関する説明書<sup>3</sup>

添付資料 - 2 - 2 破損燃料用輸送容器に係る安全機能及び構造強度に関する説明書<sup>1</sup>

添付資料 - 2 - 3 構内輸送時の措置に関する説明書<sup>2</sup>

#### 添付資料 - 3 燃料取り出し用カバーの設計等に関する説明書

添付資料 - 3 - 1 放射性物質の飛散・拡散を防止するための機能に関する説明書<sup>3</sup>

添付資料 - 3 - 2 がれき撤去等の手順に関する説明書

添付資料 - 3 - 3 移送操作中の燃料集合体の落下<sup>3</sup>

#### 添付資料 - 4 構造強度及び耐震性に関する説明書

添付資料 - 4 - 1 燃料取扱設備の構造強度及び耐震性に関する説明書<sup>3</sup>

添付資料 - 4 - 2 燃料取り出し用カバーの構造強度及び耐震性に関する説明書<sup>3</sup>

添付資料 - 4 - 3 燃料取り出し用カバー換気設備の構造強度及び耐震性に関する説明書<sup>3</sup>

#### 添付資料 - 5 使用済燃料プールからの燃料取り出し工程表<sup>3</sup>

#### 添付資料 - 6 福島第一原子力発電所第1号機原子炉建屋カバーに関する説明書

#### 添付資料 - 7 福島第一原子力発電所第1号機原子炉建屋カバー解体について

#### 添付資料 - 8 福島第一原子力発電所第2号機原子炉建屋作業エリア整備に伴う干渉物解体撤去について

1， 2（4号機を除く）及び 3（3号機及び4号機を除く）の説明書については，現地工事開始前までに報告を行い，確認を受けることとする。

## 燃料の落下防止，臨界防止に関する説明書

### 1. 4号機燃料取り扱いに関する概要

#### 1.1. 概要

燃料取扱設備は，燃料取扱機及びクレーンで構成し，新燃料及び使用済燃料を使用済燃料貯蔵プールから取り出し，燃料取り出し用カバーから搬出するまでの取り扱いを行うものである。

なお，燃料の搬出には構内用輸送容器を使用する。

また，燃料取扱機は燃料集合体を 1 体ずつ取り扱う構造とすることにより，燃料の臨界を防止できる設計とし，燃料集合体の構内用輸送容器への収容操作が使用済燃料の遮へいに必要な水深を確保した状態で，水中で行うことができる設計とする。

さらに，燃料取扱設備は地震荷重等の適切な組み合わせを考慮しても強度上耐え得る設計とするとともに，燃料取扱機は二重のワイヤロープや種々のインターロック等を設け，クレーンの主要要素は種々の二重化を行うこと等により，移送操作中の燃料集合体の落下を防止する設計とする。

また，燃料取扱設備はその機能の健全性を確認するため，定期的に試験及び検査を行う。

燃料取り扱いに使用する燃料取扱機及びクレーンの概要を以下に示す。

#### (1) 4号機 燃料取扱機

燃料取扱機は使用済燃料貯蔵プール，キャスクピット上を走行し，ブリッジ，トロリ，燃料把握機，補助ホイストで構成されている。

トロリには運転台及び 1 体の燃料集合体をつかむ燃料把握機があり，燃料集合体を使用済燃料貯蔵プール内の適当な位置に移送することができる。

燃料把握機のフックは空気作動式であり，燃料集合体をつかんだ状態で空気源が喪失しても，フックが開とにならないようにする機械的機構を有しているため，燃料集合体を確実に保持できる。また，燃料把握機は二重のワイヤロープで保持する構造である。さらに燃料取扱中に過荷重となった場合に上昇を阻止するため，燃料把握機にインターロックを設ける。

本装置は走行，横行，昇降を安全かつ確実にを行うため，各装置にインターロックを設ける。

また，地震時にも転倒することがない構造であり，走行部はレールを抱え込む構造である。

なお，燃料取扱機は崩壊熱により燃料が溶融しないよう，使用済燃料を使用済燃料貯蔵プール水中で取り扱う設計とする。

(2) 4号機 クレーン

クレーンは、燃料取り出し用カバー内及びオペレーションフロア上で構内用輸送容器の移送を行うものである。

本クレーンは、地震時にも落下することがない構造であり、構内用輸送容器の移送中において駆動源が喪失しても確実に保持できる。

また重量物を移送する主巻フックは二重のワイヤロープで保持する構造である。

フックは玉掛け用ワイヤロープ等が当該フックから外れることを防止するための装置を設ける。

さらに、重量物を吊った状態で使用済燃料貯蔵ラック上を通過できないようインターロックを設ける。

1.2. 4号機 燃料落下防止対策

燃料取り扱いに使用する燃料取扱機及びクレーンは、以下に示す落下防止対策により燃料集合体を安全かつ確実に取り扱うことができる設計とする。

燃料集合体の落下防止対策を表 1.2-1 に示す。

表 1.2-1 燃料集合体の落下防止対策

| 機器名称  | 落下防止対策  |
|-------|---|
| 燃料取扱機 | (1) ホイストは電源断時に電磁ブレーキで保持する構造<br>(2) 燃料把握機は空気源喪失時にフックが開かない構造<br>(3) 燃料把握機の機械的インターロック<br>(4) 燃料把握機の過荷重時に上昇を阻止するインターロック<br>(5) 燃料把握機は二重のワイヤロープで保持する構造 |
| クレーン  | (1) 巻上装置は電源断時に電動油圧押し上げ機ブレーキで保持する構造<br>(2) 主巻フックは二重のワイヤロープで保持する構造<br>(3) 主巻フックは外れ止め装置を有する構造  |

上記の落下防止対策の概要を次紙以降に示す

### 1.3. 4号機 燃料取扱設備の未臨界性

燃料取扱機は、燃料集合体を1体ずつ取り扱う構造とすることにより、未臨界性は確保される。

また、クレーンは未臨界性について評価されている構内用輸送容器に燃料集合体を収納して取り扱う。

| 機器名称  | 落下防止対策   |
|-------|--|
| 燃料取扱機 | (1) <b>ホイストは電源断時に電磁ブレーキで保持する構造</b><br>(2) 燃料把握機は空気源喪失時にフックが開かない構造<br>(3) 燃料把握機の機械的インターロック<br>(4) 燃料把握機の過荷重時に上昇を阻止するインターロック<br>(5) 燃料把握機は二重のワイヤロープで保持する構造 |
| クレーン  | (1) <b>巻上装置は電源断時に電動油圧押し機で保持する構造</b><br>(2) 主巻フックは二重のワイヤロープで保持する構造<br>(3) 主巻フックは外れ止め装置を有する構造  |

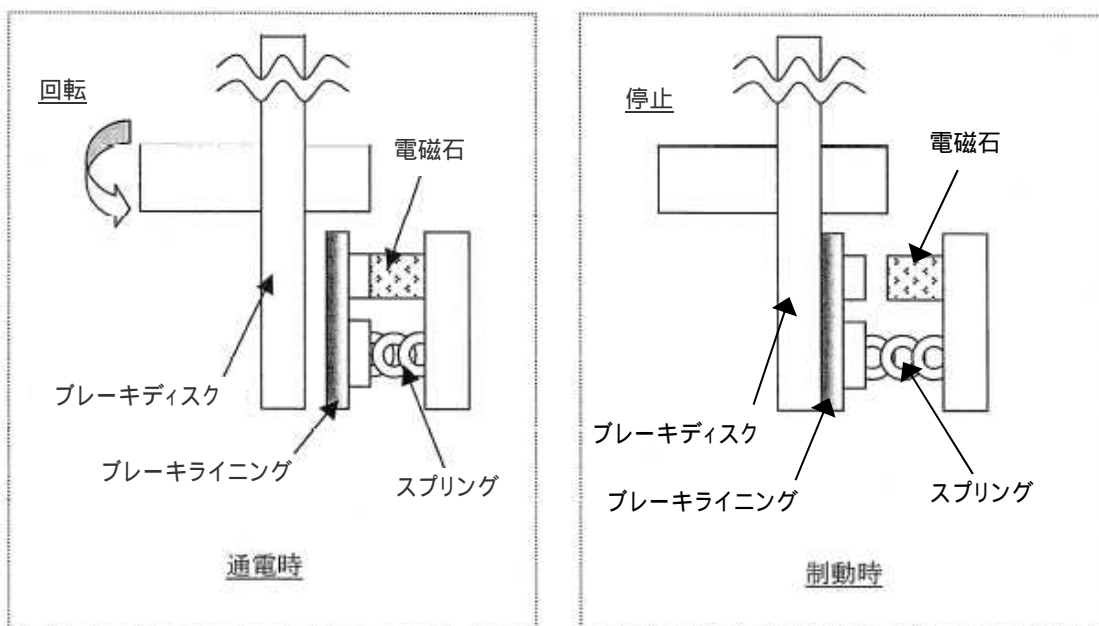
電磁ブレーキは、電源断時にバネによりブレーキがかかり保持できる機構を持っている。

#### 電磁ブレーキ（電磁ディスクブレーキ）の動作原理

電磁ディスクブレーキは、スプリング力によってブレーキライニングをブレーキディスクに押しつけて電動機の回転を制動している。電動機に通電すると、電磁コイルに電流が流れ、電磁石がスプリングの力に逆らってブレーキを解放する。

電動機を停止させると、再びスプリング力によってブレーキライニングがブレーキディスクを押しつけて制動する。電磁ディスクブレーキは、ホイストの巻上装置等に使用されている。

以下に通電（回転）時と、制動時の模式図を示す。





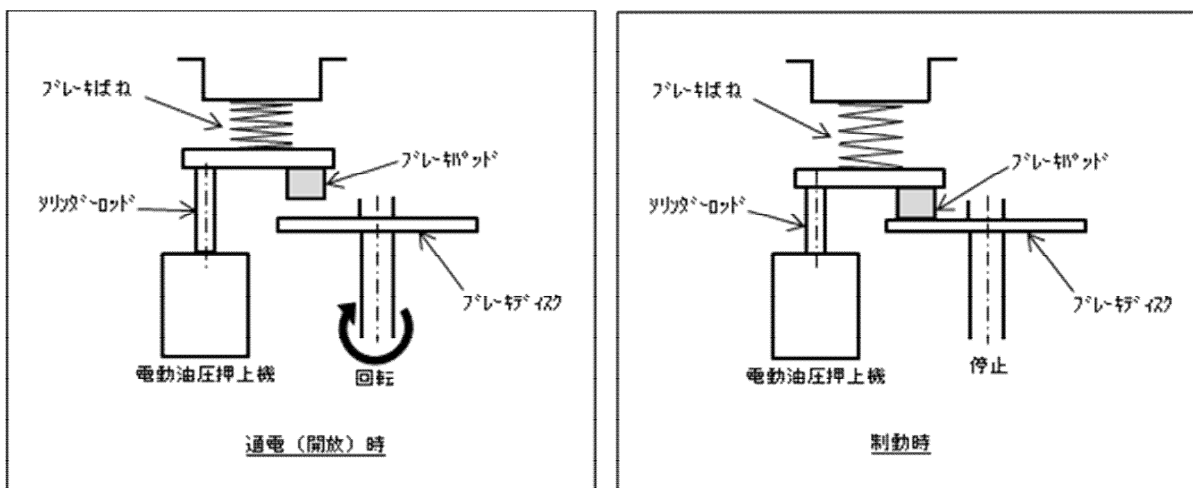
電動油圧押し上げ機ブレーキは、電源断時にブレーキばねによりブレーキがかかり保持できる機構を持っている。

#### 電動油圧押し上げ機ブレーキ（電動油圧押し上げ機ディスクブレーキ）の動作原理

電動油圧押し上げ機ブレーキは、ブレーキばねの力によってブレーキパッドをブレーキディスクに押しつけて電動機の回転を制動している。巻上モータに通電すると、同時に電動油圧押し上げ機にも通電され、内蔵モータにより油圧が発生し、シリンダーロッドを押し上げ、ブレーキばねを縮めることによりブレーキを開放する。

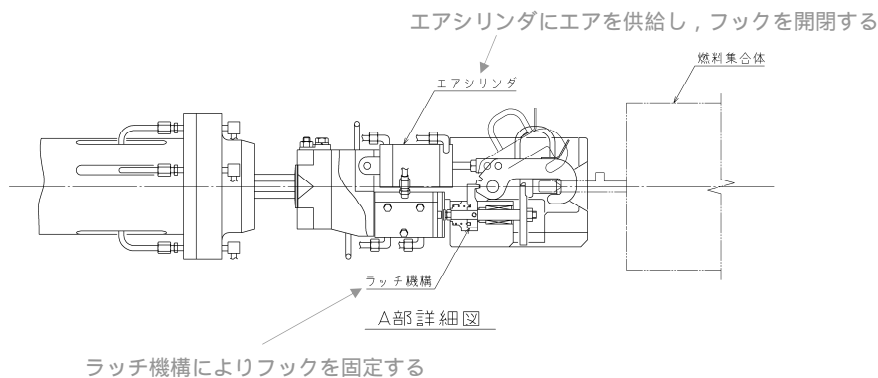
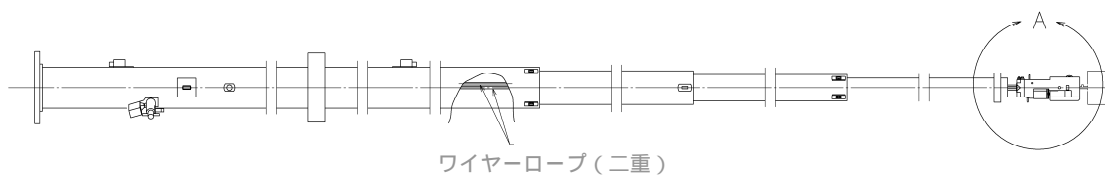
巻上モータを停止させると、電動油圧押し上げ機も停止するため、再びブレーキばねの力によってブレーキパッドがブレーキディスクを押しつけて制動する。

以下に通電(開放)時と、制動時の模式図を示す。



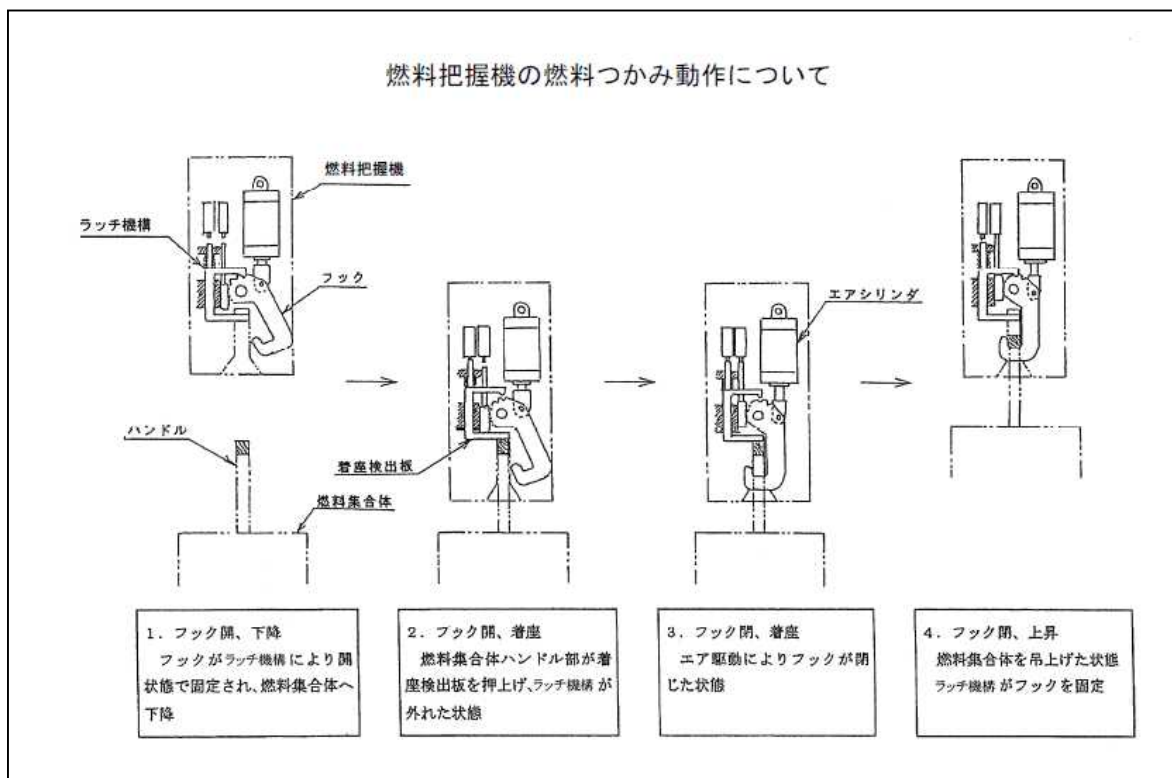
| 機器名称  | 落下防止対策                             |
|-------|------------------------------------|
| 燃料取扱機 | (1) ホイストは電源断時に電磁ブレーキで保持する構造        |
|       | <b>(2) 燃料把握機は空気源喪失時にフックが開かない構造</b> |
|       | (3) 燃料把握機の機械的インターロック               |
|       | (4) 燃料把握機の過荷重時に上昇を阻止するインターロック      |
|       | (5) 燃料把握機は二重のワイヤロープで保持する構造         |
| クレーン  | (1) 巻上装置は電源断時に電動油圧押し機ブレーキで保持する構造   |
|       | (2) 主巻フックは二重のワイヤロープで保持する構造         |
|       | (3) 主巻フックは外れ止め装置を有する構造             |

燃料把握機は、フックの駆動に用いる空気源が喪失しても、ラッチ機構によりフックが開かないような設計としている。



| 機器名称  | 落下防止対策   |
|-------|--|
| 燃料取扱機 | (1) ホイストは電源断時に電磁ブレーキで保持する構造<br>(2) 燃料把握機は空気源喪失時にフックが開かない構造<br><b>(3) 燃料把握機の機械的インターロック</b><br>(4) 燃料把握機の過荷重時に上昇を阻止するインターロック<br>(5) 燃料把握機は二重のワイヤロープで保持する構造 |
| クレーン  | (1) 巻上装置は電源断時に電動油圧押し上げ機ブレーキで保持する構造<br>(2) 主巻フックは二重のワイヤロープで保持する構造<br>(3) 主巻フックは外れ止め装置を有する構造   |

燃料集合体を吊った状態においては、燃料把握機はラッチ機構により固定されフックを開くことができない。また、燃料把握時には燃料集合体ハンドル部が着座検出板を押し上げるとラッチ機構が外れる機械的インターロックを備えている。

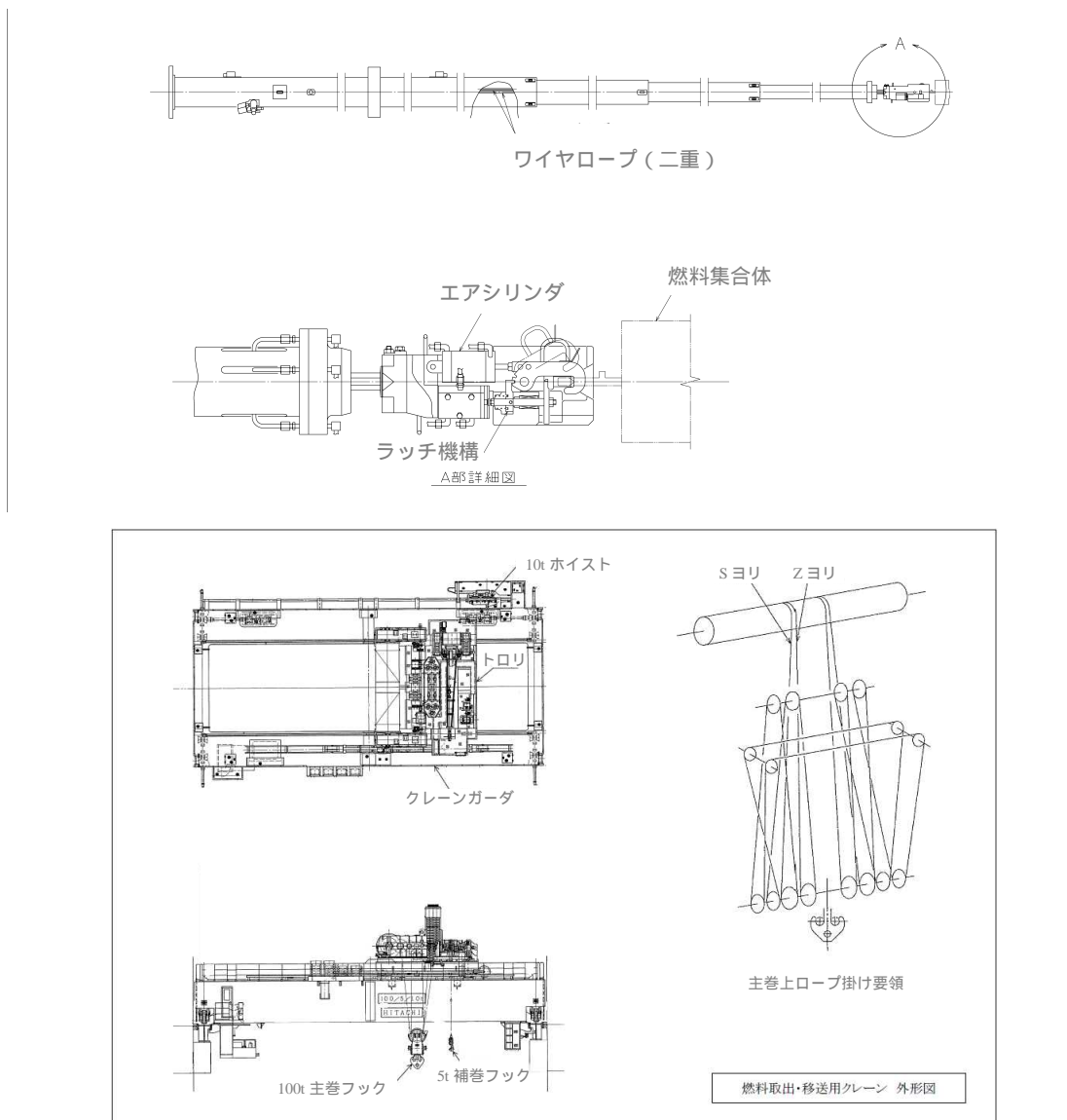


| 機器名称  | 落下防止対策   |
|-------|--|
| 燃料取扱機 | <ul style="list-style-type: none"> <li>(1) ホイストは電源断時に電磁ブレーキで保持する構造</li> <li>(2) 燃料把握機は空気源喪失時にフックが開かない構造</li> <li>(3) 燃料把握機の機械的インターロック</li> <li style="border: 2px solid black;">(4) 燃料把握機の過荷重時に上昇を阻止するインターロック</li> <li>(5) 燃料把握機は二重のワイヤロープで保持する構造</li> </ul> |
| クレーン  | <ul style="list-style-type: none"> <li>(1) 巻上装置は電源断時に電動油圧押し上げ機ブレーキで保持する構造</li> <li>(2) 主巻フックは二重のワイヤロープで保持する構造</li> <li>(3) 主巻フックは外れ止め装置を有する構造</li> </ul>   |

燃料把握機のワイヤロープに必要以上の張力が加わらないように、必要以上の荷重を検出した場合に、燃料把握機を上昇することができないインターロックを備えている。

| 機器名称  | 落下防止対策   |
|-------|--|
| 燃料取扱機 | (1) ホイストは電源断時に電磁ブレーキで保持する構造<br>(2) 燃料把握機は空気源喪失時にフックが開かない構造<br>(3) 燃料把握機の機械的インターロック<br>(4) 燃料把握機の過荷重時に上昇を阻止するインターロック<br><b>(5) 燃料把握機は二重のワイヤロープで保持する構造</b> |
| クレーン  | <b>(1) 巻上装置は電源断時に電動油圧押し上げ機ブレーキで保持する構造</b><br><b>(2) 主巻フックは二重のワイヤロープで保持する構造</b><br>(3) 主巻フックは外れ止め装置を有する構造   |

燃料把握機及びクレーンの主巻フックは、ワイヤロープを二重化し、万一ワイヤロープが1本切断したとしても落下を防止できる設計としている。



| 機器名称  | 落下防止対策  |
|-------|---|
| 燃料取扱機 | (1) ホイストは電源断時に電磁ブレーキで保持する構造<br>(2) 燃料把握機は空気源喪失時にフックが開かない構造<br>(3) 燃料把握機の機械的インターロック<br>(4) 燃料把握機の過荷重時に上昇を阻止するインターロック<br>(5) 燃料把握機は二重のワイヤロープで保持する構造 |
| クレーン  | (1) 巻上装置は電源断時に電動油圧押し上げ機ブレーキで保持する構造<br>(2) 主巻フックは二重のワイヤロープで保持する構造<br>(3) <b>主巻フックは外れ止め装置を有する構造</b>   |

主巻フックは、両釣形フックとし、外れ止めを有する。



## 2. 3号機燃料取り扱いに関する概要

### 2.1. 概要

燃料取扱設備は、燃料取扱機及びクレーンで構成し、新燃料及び使用済燃料を使用済燃料貯蔵プールから取り出し、燃料取り出し用カバーから搬出するまでの取り扱いを行うものである。

なお、燃料の搬出には構内用輸送容器を使用する。

また、燃料取扱機は燃料集合体を1体ずつ取り扱う構造とすることにより、燃料の臨界を防止できる設計とし、燃料集合体の構内用輸送容器への収容操作が燃料の遮へいに必要な水深を確保した状態で、水中で行うことができる設計とする。

さらに、燃料取扱設備は地震荷重等の適切な組み合わせを考慮しても強度上耐え得る設計とするとともに、燃料取扱機は二重のワイヤロープや種々のインターロック等を設け、クレーンの主要要素は種々の二重化を行うこと等により、移送操作中の燃料集合体の落下を防止する設計とする。

また、燃料取扱設備はその機能の健全性を確認するため、定期的に試験及び検査を行う。

燃料取り扱いに使用する燃料取扱機及びクレーンの概要を以下に示す。

#### (1) 3号機 燃料取扱機

燃料取扱機は、使用済燃料プール、キャスクピット上を走行し、ブリッジ、トロリ、燃料把握機、西側補助ホイスト、東側補助ホイスト、テンシルトラスで構成されている。

燃料把握機トロリには1体の燃料集合体をつかむ燃料把握機があり、燃料集合体を使用済燃料プール内の適切な位置に移動することができる。

燃料把握機のフックは水圧作動式であり、燃料集合体をつかんだ状態で水圧源が喪失しても、フックが開としないようにする機械的機構を有しているため、燃料集合体を確実に保持できる。また、燃料把握機は二重のワイヤロープで保持する構造である。さらに燃料取扱中に過荷重となった場合に上昇を阻止するため、燃料把握機にインターロックを設ける。

燃料取扱機は、運転員の誤操作を防止するため、走行、横行、昇降のそれぞれの操作について2段階の動作が必要なスイッチを設けるとともに、走行、横行、昇降を安全かつ確実にを行うため各装置にインターロックを設ける。さらに、荷重計（ロードセル）を設け遠隔操作を行う運転員が荷重を確認できる設計とし、仮に過荷重となった場合にはインターロックにより上昇を阻止する設計とする。

また、燃料集合体の移送作業中における地震時においても転倒・落下することがない構造であり、走行部はレールを抱え込む構造である。

なお、燃料取扱機は崩壊熱により燃料が溶融しないよう、燃料を使用済燃料貯蔵プール水中で取り扱う設計とする。

## (2) 3号機 クレーン

クレーンは、燃料取り出し用カバー内で構内用輸送容器の移送を行うものである。

本クレーンは、構内用輸送容器の移送作業中における地震時においても転倒・落下することがない構造であり、構内用輸送容器の移送中において駆動源が喪失しても確実に保持できる。

また、重量物を移送する主巻フックは二重のワイヤロープで保持する構造である。

主巻フックは玉掛け用ワイヤロープ等が当該フックから外れることを防止するための装置を設ける。

さらに、重量物を吊った状態で使用済燃料貯蔵ラック上を通過できないようインターロックを設ける。

クレーンは、運転員の誤操作を防止するため、走行、横行、昇降のそれぞれの操作について2段階の動作が必要なスイッチを設ける。さらに、荷重計（ロードセル）を設け遠隔操作を行う運転員が荷重を確認できる設計とし、仮に過荷重となった場合にはインターロックにより上昇を阻止する設計とする。

## 2.2. 3号機 燃料落下防止対策

燃料取り扱いに使用する燃料取扱機及びクレーンは、以下に示す落下防止対策により燃料集合体を安全かつ確実に取り扱うことができる設計とする。

燃料集合体の落下防止対策を表 2.2-1 に示す。

表 2.2-1 燃料集合体の落下防止対策

| 機器名称  | 落下防止対策  |
|-------|---|
| 燃料取扱機 | (1) ホイストは電源断時に電磁ブレーキで保持する構造<br>(2) 燃料把握機は水圧源喪失時にフックが開かない構造<br>(3) 燃料把握機の機械的インターロック<br>(4) 燃料把握機の過荷重時に上昇を阻止するインターロック<br>(5) 燃料把握機は二重のワイヤロープで保持する構造 |
| クレーン  | (1) 巻上装置は電源断時に電動油圧押し上げ機ブレーキで保持する構造<br>(2) 主巻フックは二重のワイヤロープで保持する構造<br>(3) 主巻フックは外れ止め装置を有する構造  |

上記の落下防止対策の概要を次紙以降に示す



### 2.3. 3号機 燃料取扱設備の未臨界性

燃料取扱機は、燃料集合体を1体ずつ取り扱う構造とすることにより、燃料の未臨界性を確保する。

また、クレーンは、燃料集合体の搬出にあたって、燃料の未臨界性について評価されている構内用輸送容器に燃料集合体を収納して取り扱う。

| 機器名称  | 落下防止対策   |
|-------|--|
| 燃料取扱機 | (1) <b>ホイストは電源断時に電磁ブレーキで保持する構造</b><br>(2) 燃料把握機は水圧源喪失時にフックが開かない構造<br>(3) 燃料把握機の機械的インターロック<br>(4) 燃料把握機の過荷重時に上昇を阻止するインターロック<br>(5) 燃料把握機は二重のワイヤロープで保持する構造 |
| クレーン  | (1) <b>巻上装置は電源断時に電動油圧押し上げ機ブレーキで保持する構造</b><br>(2) 主巻フックは二重のワイヤロープで保持する構造<br>(3) 主巻フックは外れ止め装置を有する構造  |

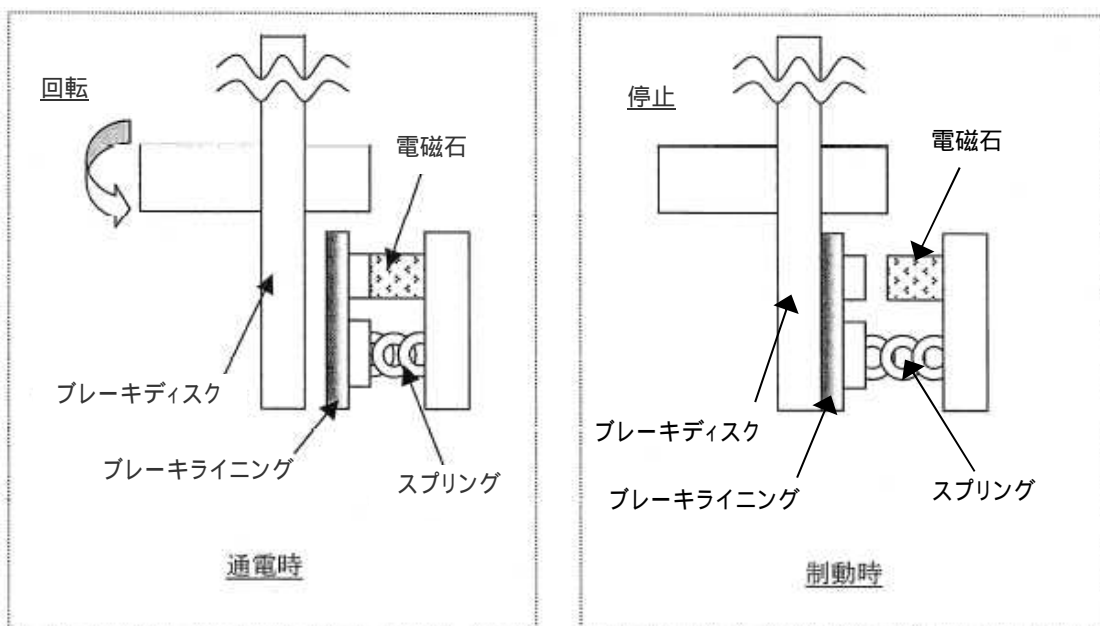
燃料取扱機の電磁ブレーキは、電源断時にバネによりブレーキがかかり保持できる機構を持っている。

#### 電磁ブレーキ（電磁ディスクブレーキ）の動作原理

電磁ディスクブレーキは、スプリング力によってブレーキライニングをブレーキディスクに押しつけて電動機の回転を制動している。電動機に通電すると、電磁コイルに電流が流れ、電磁石がスプリングの力に逆らってブレーキを解放する。

電動機を停止させると、再びスプリング力によってブレーキライニングがブレーキディスクを押しつけて制動する。電磁ディスクブレーキは、ホイストの巻上装置等に使用されている。

以下に通電（回転）時と、制動時の模式図を示す。



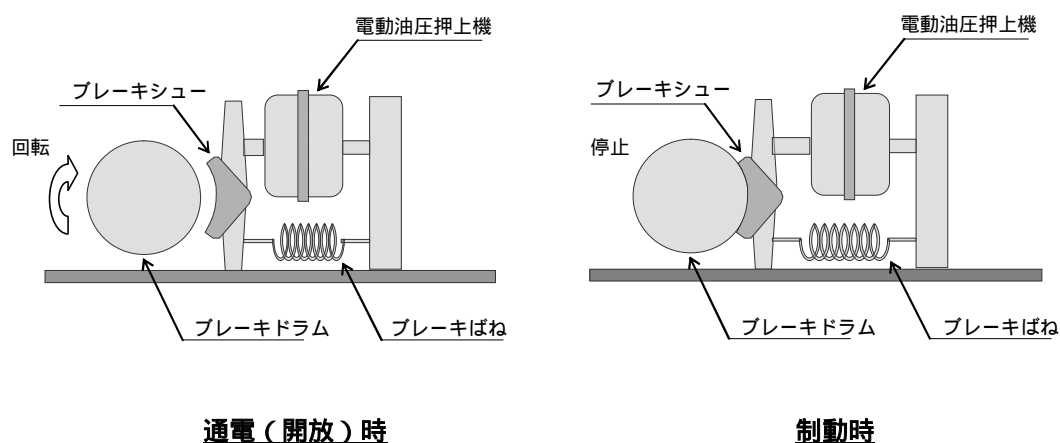
クレーンの電動油圧押し上げ機ブレーキは、電源断時にブレーキばねによりブレーキがかかり保持できる機構を持っている。

#### 電動油圧押し上げ機ブレーキ（電動油圧押し上げ機ドラムブレーキ）の動作原理

電動油圧押し上げ機ブレーキは、ブレーキばねの力によってブレーキシューをブレーキドラムに押しつけて電動機の回転を制動している。巻上モータに通電すると、同時に電動油圧押し上げ機にも通電され、内蔵モータにより油圧が発生し、シリンダーロッドを押し上げ、ブレーキばねを縮めることによりブレーキを開放する。

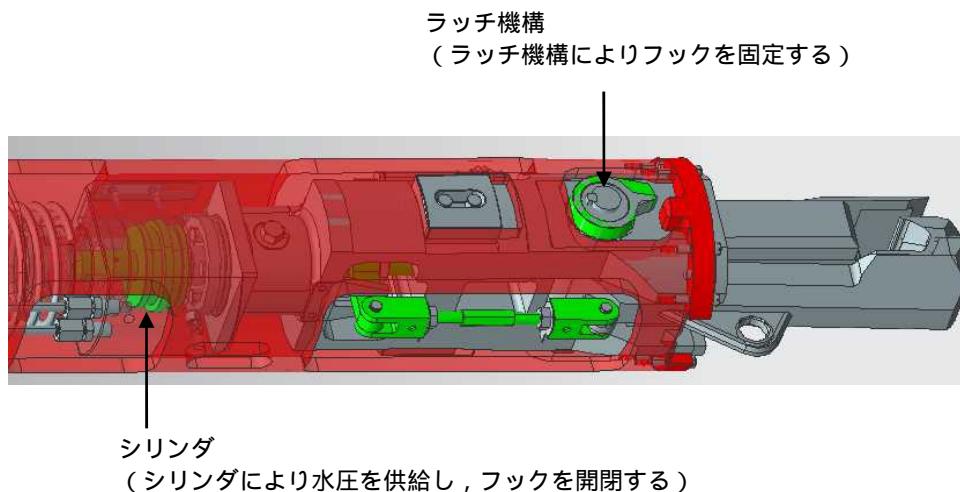
巻上モータを停止させると、電動油圧押し上げ機も停止するため、再びブレーキばねの力によってブレーキシューがブレーキドラムを押しつけて制動する。

以下に通電(開放)時と、制動時の模式図を示す。



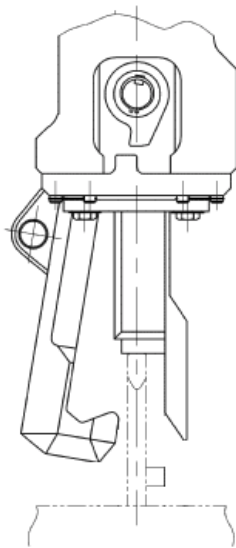
| 機器名称  | 落下防止対策                           |
|-------|----------------------------------|
| 燃料取扱機 | (1) ホイストは電源断時に電磁ブレーキで保持する構造      |
|       | (2) 燃料把握機は水圧源喪失時にフックが開かない構造      |
|       | (3) 燃料把握機の機械的インターロック             |
|       | (4) 燃料把握機の過荷重時に上昇を阻止するインターロック    |
|       | (5) 燃料把握機は二重のワイヤロープで保持する構造       |
| クレーン  | (1) 巻上装置は電源断時に電動油圧押し機ブレーキで保持する構造 |
|       | (2) 主巻フックは二重のワイヤロープで保持する構造       |
|       | (3) 主巻フックは外れ止め装置を有する構造           |

燃料把握機は、フックの駆動に用いる水圧源が喪失しても、ラッチ機構によりフックが開かないような設計としている。

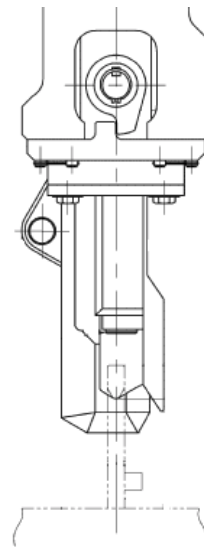


| 機器名称  | 落下防止対策   |
|-------|--|
| 燃料取扱機 | (1) ホイストは電源断時に電磁ブレーキで保持する構造<br>(2) 燃料把握機は水圧源喪失時にフックが開かない構造<br><b>(3) 燃料把握機の機械的インターロック</b><br>(4) 燃料把握機の過荷重時に上昇を阻止するインターロック<br>(5) 燃料把握機は二重のワイヤロープで保持する構造 |
| クレーン  | (1) 巻上装置は電源断時に電動油圧押し機ブレーキで保持する構造<br>(2) 主巻フックは二重のワイヤロープで保持する構造<br>(3) 主巻フックは外れ止め装置を有する構造   |

燃料集合体を吊った状態においては、燃料把握機はラッチ機構により固定されフックを開くことができない。また、燃料着座時には燃料集合体荷重がフックに負荷されなくなることで、フックが押し上がり、ラッチ機構が外れる機械的インターロックを備えている。



1. フック開 下降～着座  
フックが開状態にて、燃料集合体へ下降，着座。



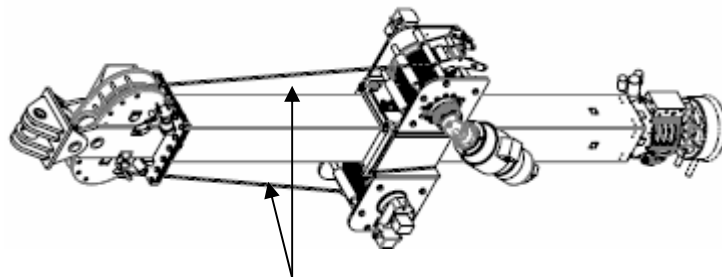
2. フック閉 着座～上昇  
水圧駆動にてフックが閉じた後、燃料集合体を吊上げ。ラッチ機構がフックを固定。

| 機器名称  | 落下防止対策   |
|-------|--|
| 燃料取扱機 | <ul style="list-style-type: none"> <li>(1) ホイストは電源断時に電磁ブレーキで保持する構造</li> <li>(2) 燃料把握機は水圧源喪失時にフックが開かない構造</li> <li>(3) 燃料把握機の機械的インターロック</li> <li style="border: 2px solid black;">(4) 燃料把握機の過荷重時に上昇を阻止するインターロック</li> <li>(5) 燃料把握機は二重のワイヤロープで保持する構造</li> </ul> |
| クレーン  | <ul style="list-style-type: none"> <li>(1) 巻上装置は電源断時に電動油圧押し上げ機ブレーキで保持する構造</li> <li>(2) 主巻フックは二重のワイヤロープで保持する構造</li> <li>(3) 主巻フックは外れ止め装置を有する構造</li> </ul>   |

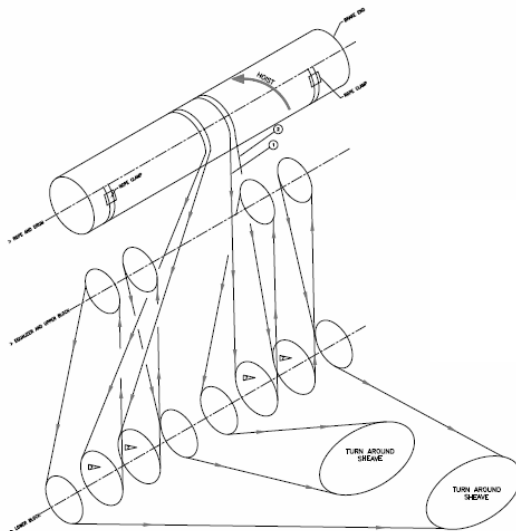
燃料把握機のワイヤロープに必要以上の張力が加わらないように、必要以上の荷重を検出した場合に、燃料把握機を上昇することができないインターロックを備えている。

| 機器名称  | 落下防止対策   |
|-------|--|
| 燃料取扱機 | (1) ホイストは電源断時に電磁ブレーキで保持する構造<br>(2) 燃料把握機は水圧源喪失時にフックが開かない構造<br>(3) 燃料把握機の機械的インターロック<br>(4) 燃料把握機の過荷重時に上昇を阻止するインターロック<br><b>(5) 燃料把握機は二重のワイヤロープで保持する構造</b> |
| クレーン  | (1) 巻上装置は電源断時に電動油圧押し機ブレーキで保持する構造<br><b>(2) 主巻フックは二重のワイヤロープで保持する構造</b><br>(3) 主巻フックは外れ止め装置を有する構造  |

燃料把握機及びクレーンの主巻フックは、ワイヤロープを二重化し、万一ワイヤロープが1本切断したとしても落下を防止できる設計としている。



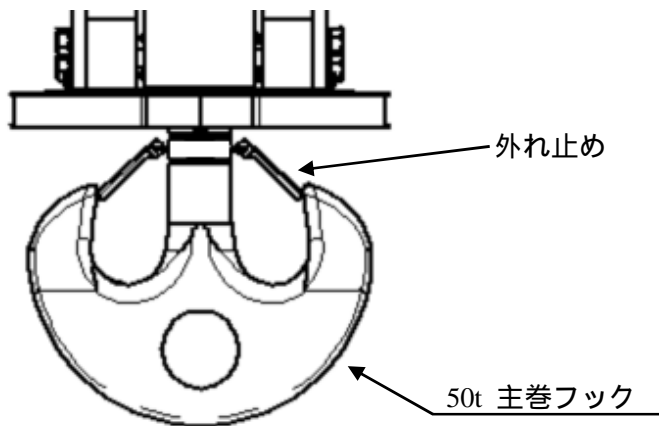
ワイヤロープ(二重)



主巻上ロープ掛け要領

| 機器名称  | 落下防止対策  |
|-------|---|
| 燃料取扱機 | (1) ホイストは電源断時に電磁ブレーキで保持する構造<br>(2) 燃料把握機は水圧源喪失時にフックが開かない構造<br>(3) 燃料把握機の機械的インターロック<br>(4) 燃料把握機の過荷重時に上昇を阻止するインターロック<br>(5) 燃料把握機は二重のワイヤロープで保持する構造 |
| クレーン  | (1) 巻上装置は電源断時に電動油圧押し上げ機ブレーキで保持する構造<br>(2) 主巻フックは二重のワイヤロープで保持する構造<br>(3) 主巻フックは外れ止め装置を有する構造  |

主巻フックは、両釣形フックとし、外れ止めを有する。





3. 別添

別添 - 1 4号機燃料取扱設備の機能に係る確認事項

別添 - 2 3号機燃料取扱設備の機能に係る確認事項

4号機燃料取扱設備の機能に係る確認事項

4号機燃料取扱設備の機能に係る主要な確認事項を表 - 1 及び表 - 2 に示す。

表 - 1 4号機燃料取扱設備の機能に係る確認事項（燃料取扱機）

| 確認事項 | 確認項目 |      | 確認内容                         | 判定基準   |
|------|------|------|------------------------------|--|
| 落下防止 | 機能確認 |      | 単一故障において燃料集合体を落下させないことを確認する。 | 動力源が喪失した場合においても燃料集合体を保持し続ける構造であること。<br>動力源断時に電磁ブレーキで保持する構造であること。 |
|      |      |      |                              | 空気喪失時にフックが開かない構造であること。   |
|      |      |      |                              | ラッチ機構により固定されフックを開くことができない構造であること。                                |
|      |      |      |                              | 過荷重時に上昇を阻止すること。  |
|      |      |      |                              | 二重のワイヤロープで保持する構造であること。   |
| 臨界防止 | 機能確認 |      | 燃料集合体取り扱い時の臨界防止機能について確認する。   | 燃料集合体を1体ずつ取り扱う構造であること。   |
| 遮へい  | 機能確認 |      | 燃料集合体取り扱い時の遮へい機能について確認する。    | 遮へい水深を確保した状態で取り扱えること。  |
| 性能   | 機能確認 | 容量確認 | 容量及び所定の動作について確認する。           | 実施計画通りの荷重が吊り上げ可能なこと。<br>横行，走行，巻き上げ，巻き下げが可能なこと。                   |

表 - 2 4号機燃料取扱設備の機能に係る確認事項（クレーン）

| 確認事項 | 確認項目 |      | 確認内容                           | 判定基準  |
|------|------|------|--------------------------------|---|
| 落下防止 | 機能確認 |      | 単一故障において構内用輸送容器を落下させないことを確認する。 | 動力源が喪失した場合においても構内用輸送容器を保持し続ける構造であること。<br>動力源断時に電動油圧押し上げ機ブレーキで保持する構造であること。 |
|      |      |      |                                | 重量物を吊った状態で使用済燃料貯蔵ラック上を通過させない構造であること。                                      |
|      |      |      |                                | 二重のワイヤロープで保持する構造であること。  |
|      |      |      |                                | フックは外れ防止装置を有する構造であること。  |
| 性能   | 機能確認 | 容量確認 | 容量及び所定の動作について確認する。             | 実施計画通りの荷重が吊り上げ可能なこと。<br>横行，走行，巻き上げ，巻き下げが可能なこと。                            |

3号機燃料取扱設備の機能に係る確認事項

3号機燃料取扱設備の機能に係る主要な確認事項を表 - 1 及び表 - 2 に示す。

表 - 1 3号機燃料取扱設備の機能に係る確認事項（燃料取扱機）

| 確認事項 | 確認項目 |      | 確認内容                         | 判定基準   |
|------|------|------|------------------------------|--|
| 落下防止 | 機能確認 |      | 単一故障において燃料集合体を落下させないことを確認する。 | 動力源が喪失した場合においても燃料集合体を保持し続ける構造であること。<br>動力源断時に電磁ブレーキで保持する構造であること。 |
|      |      |      |                              | 駆動水圧喪失時にフックが開かない構造であること。   |
|      |      |      |                              | ラッチ機構により固定されフックを開くことができない構造であること。                                |
|      |      |      |                              | 過荷重時に上昇を阻止すること。  |
|      |      |      |                              | 二重のワイヤロープで保持する構造であること。   |
| 臨界防止 | 機能確認 |      | 燃料集合体取り扱い時の臨界防止機能について確認する。   | 燃料集合体を1体ずつ取り扱う構造であること。   |
| 遮へい  | 機能確認 |      | 燃料集合体取り扱い時の遮へい機能について確認する。    | 遮へい水深を確保した状態で取り扱えること。  |
| 性能   | 機能確認 | 容量確認 | 容量及び所定の動作について確認する。           | 実施計画通りの荷重が吊り上げ可能なこと。<br>横行，走行，巻き上げ，巻き下げが可能なこと。                   |

表 - 2 3号機燃料取扱設備の機能に係る確認事項（クレーン）

| 確認事項 | 確認項目 |      | 確認内容                           | 判定基準  |
|------|------|------|--------------------------------|---|
| 落下防止 | 機能確認 |      | 単一故障において構内用輸送容器を落下させないことを確認する。 | 動力源が喪失した場合においても構内用輸送容器を保持し続ける構造であること。<br>動力源断時に電動油圧押し上げ機ブレーキで保持する構造であること。 |
|      |      |      |                                | 重量物を吊った状態で使用済燃料貯蔵ラック上を通過させない構造であること。                                      |
|      |      |      |                                | 二重のワイヤロープで保持する構造であること。  |
|      |      |      |                                | フックは外れ防止装置を有する構造であること。  |
| 性能   | 機能確認 | 容量確認 | 容量及び所定の動作について確認する。             | 実施計画通りの荷重が吊り上げ可能なこと。<br>横行，走行，巻き上げ，巻き下げが可能なこと。                            |

## 放射線モニタリングに関する説明書

## 1. 概要

本説明書は、放射線管理用計測装置の構成並びに計測範囲及び警報動作範囲について説明するものである。

## 2. 4号機放射線モニタリング

## 2.1. 4号機放射線モニタリングの基本方針

燃料取扱時及び非常時において、エリア放射線モニタは使用済燃料貯蔵プールエリアの線量当量率を連続計測する目的で設置する。その計測結果を計装監視設備の現場盤に集約し、現場盤のデータはネットワーク回線経由で免震重要棟内PCに集約し、集中監視する。

なお、エリア放射線モニタは試験及び検査ができる設計とする。

エリア放射線モニタを含む制御回路は、無停電電源装置を有しており、瞬停時にも計測を継続可能とする。

## (1) 使用済燃料貯蔵プールエリアの線量当量率を計測する装置

本計測装置は、使用済燃料貯蔵プールエリアの線量当量率を計測して、その計測結果を現場盤にて指示及び記録するとともに、免震重要棟で指示値を確認できるものとする。また、放射線基準設定レベルを超えた時には免震重要棟及び現場設置箇所にて警報を発信する。

表 2.1-1 4号機エリア放射線モニタ仕様

| 名称                  | 検出器の種類 | 計測範囲                          | 警報動作範囲   | 取付箇所                               | 個数 |
|---------------------|--------|-------------------------------|----------|------------------------------------|----|
| 使用済燃料貯蔵プールエリア放射線モニタ | 半導体検出器 | $10^{-3} \sim 10\text{mSv/h}$ | 計測範囲内で可変 | 4号機 原子炉建屋 5FL<br>(燃料取り出し用カバーオペフロ階) | 2  |

## (2) 計測範囲の設定に関する考え方

測定下限値はバックグラウンドレベルが測定でき、測定上限値は設定すべき警報動作値を包含する範囲とする。

## (3) 警報動作範囲の設定に関する考え方

警報動作値は、異常を検知する観点からバックグラウンドと有意な差を持たせると

同時に、作業安全を考慮した適切な値とする。

## 2.2. 4号機エリア放射線モニタの構成

使用済燃料貯蔵プールエリアの線量当量率を半導体検出器を用いてパルス信号として検出する。検出したパルス信号を演算装置にて線量当量率信号へ変換する処理を行った後、線量当量率を現場盤にて指示及び記録するとともに、免震重要棟にて指示値を表示する。

また、演算装置にて警報設定値との比較を行い、線量当量率が警報設定値に達した場合には、免震重要棟内に警報音とともに一括警報及び個別警報表示を行う。

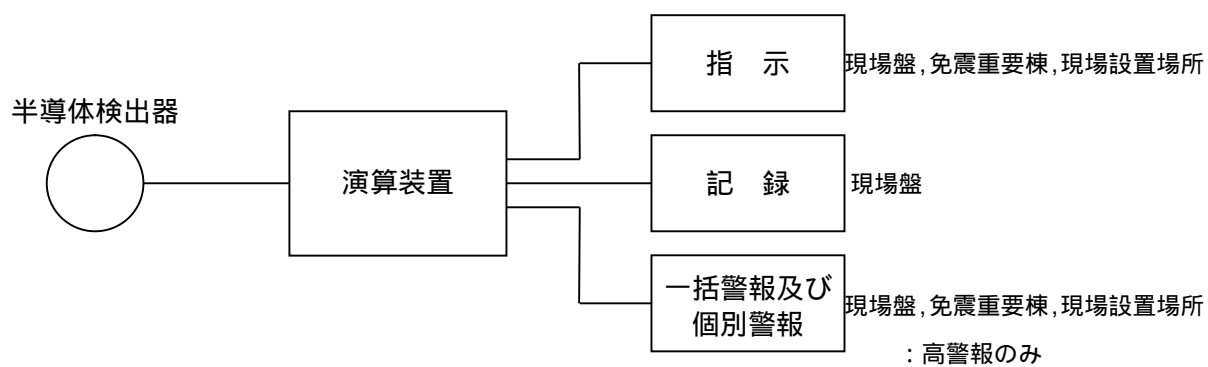


図 2.2-1 4号機使用済燃料貯蔵プールエリアのエリア放射線モニタ概略構成図

### 2.3. 4号機使用済燃料貯蔵プールエリアのエリア放射線モニタの配置

4号機使用済燃料カスクの移動ルート（SFP近傍／搬出入口近傍）の2箇所に設置する（図2.3-1参照）。

検出器のボトムが床から  $1500 \pm 100\text{mm}$  となるよう壁または柱に設置する。

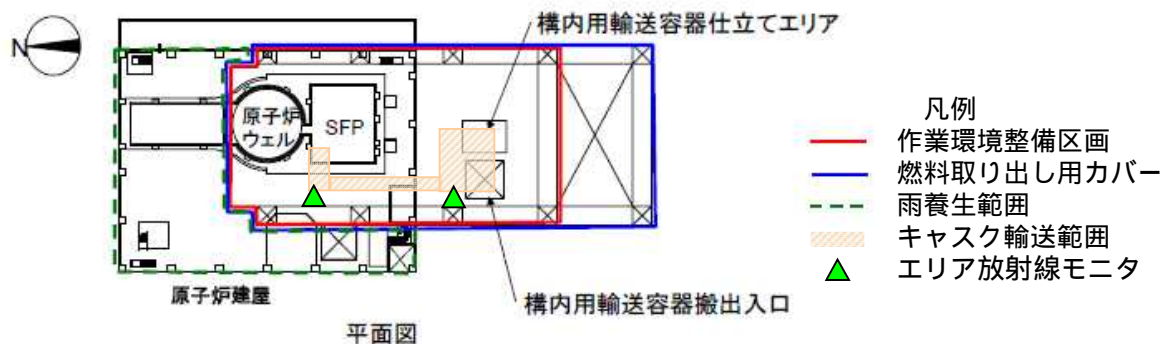


図 2.3-1 4号機使用済燃料貯蔵プールエリアのエリア放射線モニタ配置図



### 3. 3号機放射線モニタリング

#### 3.1. 3号機放射線モニタリングの基本方針

通常時及び非常時において、エリア放射線モニタは使用済燃料貯蔵プールエリアの線量当量率を連続計測する目的で設置する。その計測結果は現場盤を介して伝送用 PC に集約し、伝送用 PC のデータはネットワーク回線経由で免震重要棟内の監視 PC に集約・表示し集中監視する。

なお、エリア放射線モニタは試験及び検査ができる設計とする。

##### (1) 使用済燃料貯蔵プールエリアの線量当量率を計測する装置

本計測装置は、使用済燃料貯蔵プールエリアの線量当量率を計測して、その計測結果を現場盤にて指示及び記録するとともに、免震重要棟で指示を確認できるものとする。

また、放射線基準設定レベルを超えた時には免震重要棟及び現場設置箇所にて警報を発信する。

表 3.1-1 3号機エリア放射線モニタ仕様

| 名称                  | 検出器の種類 | 計測範囲                             | 警報動作範囲   | 取付箇所                          | 個数 |
|---------------------|--------|----------------------------------|----------|-------------------------------|----|
| 使用済燃料貯蔵プールエリア放射線モニタ | 半導体検出器 | $10^{-2} \sim 10^2 \text{mSv/h}$ | 計測範囲内で可変 | 3号機 燃料取り出し用カバー<br>燃料取り出し作業フロア | 2  |

##### (2) 計測範囲の設定に関する考え方

測定下限値はバックグラウンドレベルが測定でき、測定上限値は設定すべき警報動作値を包含する範囲とする。

##### (3) 警報動作範囲の設定に関する考え方

警報動作値は、異常を検知する観点からバックグラウンドと有意な差を持たせると同時に、作業安全を考慮した適切な値とする。

### 3.2. 3号機使用済燃料貯蔵プールエリア放射線モニタの構成

使用済燃料貯蔵プールエリアの線量当量率を半導体検出器を用いてパルス信号として検出する。検出したパルス信号を演算装置にて線量当量率信号へ変換する処理を行った後、線量当量率を現場盤にて指示及び記録するとともに、免震重要棟にて指示値を表示する。

また、演算装置にて警報設定値との比較を行い、線量当量率が警報設定値に達した場合には、免震重要棟に警報音とともに一括警報及び個別警報表示を行う。

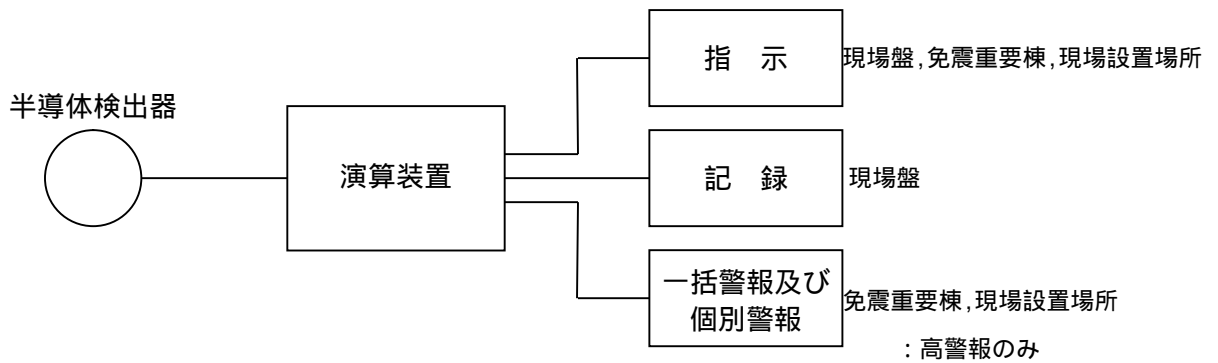


図 3.2-1 3号機使用済燃料貯蔵プールエリアのエリア放射線モニタ概略構成図

### 3.3. 3号機使用済燃料貯蔵プールエリア放射線モニタの配置

3号機燃料取り出し用カバー 燃料取り出し作業フロア(東側メンテナンスエリア/西側メンテナンスエリア)の2箇所に設置する(図3.3-1参照)。

検出器のボトムが床から  $1300 \pm 100\text{mm}$  となるよう床から自立させて設置する。

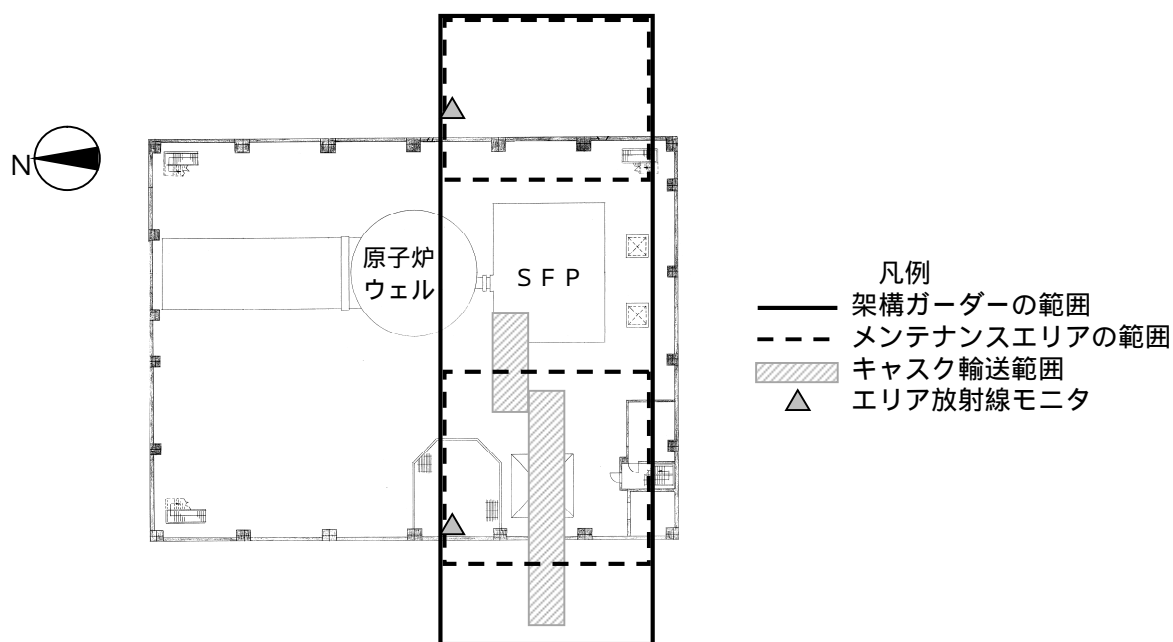


図 3.3-1 3号機使用済燃料貯蔵プールエリアのエリア放射線モニタ配置図

## 4. 別添

別添 - 1 4号機使用済燃料貯蔵プールエリア放射線モニタに係る確認事項

別添 - 2 3号機使用済燃料貯蔵プールエリア放射線モニタに係る確認事項

## 4号機使用済燃料貯蔵プールエリア放射線モニタに係る確認事項

4号機使用済燃料貯蔵プールエリア放射線モニタに係る主要な確認事項を表 - 1 に示す。

表 - 1 4号機使用済燃料貯蔵プールエリア放射線モニタに係る確認事項

| 確認事項 | 確認項目 |   | 確認内容                                  | 判定基準                            |
|------|------|---|---------------------------------------|---------------------------------|
| 監視   | 構造確認 | 外観確認  | 各部の外観を確認する。                           | 有意な欠陥がないこと。                     |
|      |      | 据付確認  | 機器の据付位置，据付状態について確認する。                 | 実施計画通りに施行・据付されていること。            |
|      | 機能確認 | 警報確認  | 設定値において警報及び表示灯が作動することを確認する。           | 許容範囲以内で警報及び表示灯が作動すること。          |
|      | 性能確認 | 線源校正確認  | 標準線源を用いて線量当量率を測定し，各検出器の校正が正しいことを確認する。 | 基準線量当量率に対する正味線量当量が，許容範囲以内であること。 |
| 校正確認 |      | モニタ内のテスト信号発生部により，データ収集装置に各校正点の基準入力を与え，その時のデータ収集装置の指示値が正しいことを確認する。 | 各指示値が許容範囲以内に入っていること。                  |                                 |

## 3号機使用済燃料貯蔵プールエリア放射線モニタに係る確認事項

3号機使用済燃料貯蔵プールエリア放射線モニタに係る主要な確認事項を表 - 1 に示す。

表 - 1 3号機使用済燃料貯蔵プールエリア放射線モニタに係る確認事項

| 確認事項 | 確認項目 |  | 確認内容                                  | 判定基準                            |
|------|------|--|---------------------------------------|---------------------------------|
| 監視   | 構造確認 | 外観確認   | 各部の外観を確認する。                           | 有意な欠陥がないこと。                     |
|      |      | 据付確認   | 機器の据付位置，据付状態について確認する。                 | 実施計画通りに施行・据付されていること。            |
|      | 機能確認 | 警報確認   | 設定値において警報及び表示灯が作動することを確認する。           | 許容範囲以内で警報及び表示灯が作動すること。          |
|      | 性能確認 | 線源校正確認   | 標準線源を用いて線量当量率を測定し，各検出器の校正が正しいことを確認する。 | 基準線量当量率に対する正味線量当量が，許容範囲以内であること。 |
| 校正確認 |      | モニタ内のテスト信号発生部により，各校正点の基準入力を与え，その時の監視PCの指示値が正しいことを確認する。 | 各指示値が許容範囲以内に入っていること。                  |                                 |

## 放射性物質の飛散・拡散を防止するための機能に関する説明書

## 1. 本説明書の記載範囲

本説明書は、3号機及び4号機燃料取り出し用カバーの放射性物質の飛散・拡散を防止するための機能について記載するものである。

## 2. 4号機放射性物質の飛散・拡散を防止するための機能について

## 2.1 燃料取り出し用カバーについて

## 2.1.1 概要

燃料取り出し用カバーは、作業に支障が生じることのないよう作業に必要な範囲をカバーし、風雨を遮る構造とする。また、使用済燃料プール内がれき撤去時の放射性物質の舞い上がり、燃料取り出し作業に伴い建屋等に付着した放射性物質の舞い上がりによる大気放出を抑制するため、燃料取り出し用カバーは隙間を低減した構造とするとともに、換気設備を設け、排気はフィルタユニットを通じて大気へ放出する。また、現在、発電所敷地内ではヨウ素（I-131）は検出されていないことから、フィルタユニットは、発電所敷地内等で検出されているセシウム（Cs-134, 137）の大気への放出が低減できる設計とする。

## 2.1.2 燃料取り出し用カバー

燃料取り出し用カバーの大きさは、約 69m（南北）×約 31m（東西）×約 53m（地上高）である。主体構造は鉄骨造であり、壁面及び屋根面は風雨を遮る外装材で覆う計画である。屋根面及び壁面上部には勾配を設けて、雨水の浸入を防止する構造とする。（図 2-1 燃料取り出し用カバー概略図参照）

## 2.1.3 換気設備

## 2.1.3.1 系統構成

換気設備は、燃料取り出し用カバー内気体を吸引し、排気ダクトを經由して燃料取り出し用カバーの外部に設置した排気フィルタユニットへ導く。排気フィルタユニットは、プレフィルタ、高性能粒子フィルタ、排風機等で構成され、各フィルタで放射性物質を捕集した後の気体を吹上用排気ダクトから大気へ放出する。

排気フィルタユニットは、換気風量約 25,000m<sup>3</sup>/h のユニットを 3 系列（うち 1 系列は予備）設置し、約 50,000m<sup>3</sup>/h の換気風量で運転する。

また、燃料取り出し用カバー内の放射性物質や吹上用排気ダクトから大気に放出される放射性物質の濃度を測定するため、放射性物質濃度測定器を排気フィルタユニットの出入口に設置する。（図 2-2 燃料取り出し用カバー換気設備概略構成図、図 2-3

燃料取り出し用カバー換気設備配置図，図 2-4 燃料取り出し用カバー換気設備系統図参照)

燃料取り出し用カバー換気設備の電源は，異なる系統の所内高圧母線から受電可能な構成とする。(図 2-5 燃料取り出し用カバー換気設備電源系統図参照)

なお，4号機での燃料取り出し作業は，有人での作業を計画していることから，燃料取り出し用カバー内の放射性物質濃度の低減のため，給気フィルタユニットを有する構成とする。給気フィルタユニットは，プレフィルタ，送風機，高性能粒子フィルタ等で構成され，各フィルタで放射性物質を捕集した後の気体を燃料取り出し用カバー内へ放出する。

給気フィルタユニットは，換気風量約 25,000m<sup>3</sup>/h のユニットを 3 系列（うち 1 系列は予備）設置し，約 50,000m<sup>3</sup>/h の換気風量で運転する。

表 2-1 換気設備構成

| 設備名        | 構成・配置等   |
|------------|--|
| 給気フィルタユニット | 配置：原子炉建屋南側の屋外に 3 系列（うち予備 1 系列）設置<br>構成：プレフィルタ<br>送風機<br>高性能粒子フィルタ（効率 97%（粒径 0.3μm）以上）<br>フィルタ線量計（高性能粒子フィルタに設置）<br>フィルタ差圧計（プレフィルタ，高性能粒子フィルタに設置） |
| 給気吹出口      | 配置：カバー内の側部に設置  |
| 排気吸込口      | 配置：カバー内の天井部に設置   |
| 排気フィルタユニット | 配置：原子炉建屋南側の屋外に 3 系列（うち予備 1 系列）設置<br>構成：プレフィルタ<br>高性能粒子フィルタ（効率 97%（粒径 0.3μm）以上）<br>排風機<br>フィルタ線量計（高性能粒子フィルタに設置）<br>フィルタ差圧計（プレフィルタ，高性能粒子フィルタに設置） |
| 吹上用排気ダクト   | 配置：排気フィルタユニットの下流側に設置   |

| 設備名        | 構成・配置等   |
|------------|--|
| 放射性物質濃度測定器 | 測定対象：カバー内及び大気放出前の放射性物質濃度<br>仕様：検出器種類 シンチレーション検出器<br>計測範囲 $10^0 \sim 10^4 \text{s}^{-1}$<br>台数 排気フィルタユニット入口 1台<br>排気フィルタユニット出口 2台 |

### 2.1.3.2 換気風量について

燃料取り出し用カバー内の環境は、燃料取扱機、クレーン及び電源盤の設備保護のため 40℃以下（設計値）となる換気設備を設けるものとする。また、カバー内での燃料取り出し作業は、有人による作業を計画していることから、作業エリアには、局所的にローカル空調機を設け夏期及び冬期の作業環境の向上を図るものとする。

燃料取り出し用カバー内の熱負荷を除熱するのに必要な換気風量は、下式により求められ約 50,000m<sup>3</sup>/h となる。

$$Q=q/(C_p \cdot \rho \cdot (t_1-t_2) \cdot 1/3600)$$

Q：換気（排気）風量（m<sup>3</sup>/h）

q：設計用熱負荷，約 143（kW）（機器発熱）※1

C<sub>p</sub>：定圧比熱，1.004652（kJ/kg・℃）

ρ：密度，1.2（kg/m<sup>3</sup>）

t<sub>1</sub>：カバー内温度，40（℃）

t<sub>2</sub>：設計用外気温度，31.5（℃）※2

※1 10%の余裕を含む

※2 28.5℃（小名浜気象台で観測された 1971 年～1975 年の 5 年間の観測データにおける累積出現率が 99%となる最高温度）+約 3℃（送風機のヒートアップによる温度上昇）

### 2.1.3.3 運転管理および保守管理

#### (1) 運転管理

送風機・排風機の起動/停止操作は、屋外地上部に設置した現場制御盤で行うものとし、故障等により送風機・排風機が停止した場合には、予備機が自動起動する。

現場制御盤では、送風機・排風機の運転状態（起動停止状態）、放射性物質濃度が表示され、それらの異常を検知した場合には、警報を発する。また、免震重要棟でも同様に、送風機・排風機の運転状態（起動停止状態）、放射性物質濃度が表示され、それらの情報に異常を検知した場合は、警報を発するシステムとなっている。

放射性物質濃度測定器を排気フィルタユニットの出入口に設置し、燃料取り出し用カバー内から大気に放出される放射性物質濃度を測定する。



## (2) 保守管理

換気設備については安全上重要な設備ではなく、運転継続性の要求が高くない。保守作業に伴う被ばくを極力低減する観点から、異常の兆候が確認された場合に対応する。なお、排気フィルタユニット出口の放射性物質濃度測定器については、外部への放射性物質放出抑制の監視の観点から多重化し、機器の単一故障により機能が喪失した場合でも測定可能な設備構成とする。

また、フィルタについては、差圧計（プレフィルタ、高性能粒子フィルタに設置）又は線量計（高性能粒子フィルタに設置）の値を確認しながら、必要な時期に交換する。

### 2.1.3.4 異常時の措置

燃料取り出し用カバー換気設備が停止しても、セシウムの使用済燃料プールから大気への移行割合は、 $1 \times 10^{-3} \sim 1 \times 10^{-5} \%$ 程度であり、4号機から放出される放射性物質は小さいと評価されている（Ⅱ.2.3 使用済燃料プール設備参照）ことから、放射性物質の異常な放出とならないと考えられる。また、4号機の使用済燃料プール水における放射性物質濃度は、Cs-134： $4.5 \times 10^0 \text{Bq/cm}^3$ 、Cs-137： $6.6 \times 10^0 \text{Bq/cm}^3$ （平成24年1月30日に使用済燃料プールより採取した水の分析結果）である。

なお、燃料取り出し用カバー換気設備は、機器の単一故障が発生した場合を想定して、送風機、排風機及び電源の多重化を実施しており、切替等により機能喪失後の速やかな運転の再開を可能とする。また、排気フィルタユニット出口の放射性物質濃度測定器については、2台の連続運転とし、1台故障時においても放射性物質濃度を計測可能とする。

## 2.2 放射性物質の飛散・拡散を防止するための機能について

### 2.2.1 排気フィルタによる低減効果

燃料取り出し用カバー内から排気フィルタユニットを通じて大気へ放出される放射性物質は、高性能粒子フィルタ（効率97%（粒径 $0.3 \mu\text{m}$ ）以上）により低減される。

セシウムの使用済燃料プールから大気への移行割合は、 $1 \times 10^{-3} \sim 1 \times 10^{-5} \%$ 程度であり、4号機から放出される放射性物質は小さいと評価されている。（Ⅱ.2.3 使用済燃料プール設備参照）

表2-2に発電所敷地内で測定された放射性物質濃度を示す。仮に、燃料取り出し用カバー内が表2-2に示す放射性物質濃度のうち、濃度の高い4号機オペレーティングフロア上の放射性物質濃度であった場合、排気フィルタを通過して大気へ放出される放射性物質濃度は表2-3の通りとなる。

表 2-2 発電所敷地内の放射性物質濃度 (Bq/cm<sup>3</sup>)

| 核種     | 4号機原子炉建屋オペレーティングフロア上の濃度<br>(平成23年6月18日測定) | 福島第一原子力発電所西門の濃度<br>(平成23年6月18日測定) ※ |
|--------|---|-------------------------------------|
| Cs-134 | 約 $1.2 \times 10^{-4}$                    | 約 $5.4 \times 10^{-6}$              |
| Cs-137 | 約 $1.1 \times 10^{-4}$                    | 約 $6.2 \times 10^{-6}$              |

※現在は、検出限界値以下であるが、4号機オペレーティングフロア上の測定値との比較のため、平成23年6月18日の測定値とした。

$$Q=C \cdot (1-f)$$

Q : フィルタ通過後の放射性物質濃度 (Bq/cm<sup>3</sup>)

C : カバー内に吸い込まれる外気の放射性物質濃度 (Bq/cm<sup>3</sup>) (表 2-2 参照)

f : フィルタ効率 (高性能粒子フィルタ 97%)

表 2-3 フィルタ通過後の放射性物質濃度

| 核種     | 濃度 (Bq/cm <sup>3</sup> ) |
|--------|--------------------------|
| Cs-134 | 約 $3.6 \times 10^{-6}$   |
| Cs-137 | 約 $3.3 \times 10^{-6}$   |

以上の結果、表 2-2 及び表 2-3 より、フィルタ通過後の放射性物質濃度は西門での放射性物質濃度よりも低いレベルとなる。

## 2.2.2 敷地境界線量

### 2.2.2.1 評価条件

- (1) 燃料取り出し用カバー内が、表 2-2 に示す 4号機オペレーティングフロア上の放射性物質濃度であった場合に排気フィルタユニットを介して大気に放出されるものと仮定する。
- (2) 減衰は考慮しない。
- (3) 地上放出と仮定する。
- (4) 燃料取り出し用カバーの供用期間である 5年間 (想定) に放出される放射性物質が地表に沈着し蓄積した時点の $\gamma$ 線に起因する実効線量と仮定し評価する。
- (5) 大気拡散の評価に用いる気象条件は、福島第一原子力発電所原子炉設置変更許可申請書で採用したものと同一気象データを使用する。

### 2.2.2.2 評価方法

燃料取り出し用カバー排気フィルタユニットから放出される放射性物質による一般公衆の実効線量は、以下の被ばく経路について年間実効線量(mSv/年)を評価する。

- (1) 放射性雲からの $\gamma$ 線に起因する実効線量
- (2) 吸入摂取による実効線量
- (3) 地面に沈着した放射性物質からの $\gamma$ 線に起因する実効線量

### 2.2.2.3 放射性雲からの $\gamma$ 線に起因する実効線量

放射性物質の $\gamma$ 線に起因する実効線量については、「発電用軽水型原子炉施設周辺の線量目標値に対する評価指針」の放射性雲からの $\gamma$ 線による実効線量の評価の評価式を用いて評価する。

#### (1) 計算地点における空気カーマ率の計算

計算地点(x, y, 0)における空気カーマ率は、次式により計算する。

$$D = K_1 \cdot E \cdot \mu_{en} \int_0^\infty \int_{-\infty}^\infty \int_0^\infty \frac{e^{-\mu \cdot r}}{4\pi r^2} \cdot B(\mu r) \cdot \chi(x', y', z') dx' dy' dz' \quad \dots \quad 2-1$$

ここで、 D : 計算地点(x, y, 0)における空気カーマ率 ( $\mu$  Gy/y)

$K_1$  : 空気カーマ率への換算係数 ( $4.46 \times 10^{-4} \frac{\text{dis} \cdot \text{m}^3 \cdot \mu \text{Gy}}{\text{MeV} \cdot \text{Bq} \cdot \text{h}}$ )

E :  $\gamma$ 線の実効エネルギー (0.5MeV/dis)

$\mu_{en}$  : 空気に対する $\gamma$ 線の線エネルギー吸収係数 ( $\text{m}^{-1}$ )

$\mu$  : 空気に対する $\gamma$ 線の線減衰係数 ( $\text{m}^{-1}$ )

r : 放射性雲中の点(x', y', z')から計算地点(x, y, 0)までの距離 (m)

$B(\mu r)$  : 空気に対する $\gamma$ 線の再生係数

$$B(\mu r) = 1 + \alpha(\mu r) + \beta(\mu r)^2 + \gamma(\mu r)^3$$

ただし、 $\mu_{en}$ ,  $\mu$ ,  $\alpha$ ,  $\beta$ ,  $\gamma$ については、0.5MeVの $\gamma$ 線に対する値を用い、以下のとおりとする。

$$\mu_{en} = 3.84 \times 10^{-3} (\text{m}^{-1}), \quad \mu = 1.05 \times 10^{-2} (\text{m}^{-1})$$

$$\alpha = 1.000, \quad \beta = 0.4492, \quad \gamma = 0.0038$$

$\chi(x', y', z')$  : 放射性雲中の点(x', y', z')における濃度 (Bq/m<sup>3</sup>)

なお、 $\chi(x', y', z')$ は、次式により計算する。

$$\chi(x', y', z') = \frac{Q}{2\pi \cdot \sigma_y \cdot \sigma_z \cdot U} \cdot e^{-\frac{y'^2}{2\sigma_y^2}} \cdot \left\{ e^{-\frac{(z' - H)^2}{2\sigma_z^2}} + e^{-\frac{(z' + H)^2}{2\sigma_z^2}} \right\} \quad \dots \quad 2-2$$

ここで、 Q : 放射性物質の放出率 (Bq/s)

U : 放出源高さを代表する風速 (m/s)

- H : 放出源の有効高さ (m)
- $\sigma_y$  : 濃度分布の y' 方向の拡がりのパラメータ (m)
- $\sigma_z$  : 濃度分布の z' 方向の拡がりのパラメータ (m)

このとき、有効高さと同じ高度 ( $z' = H$ ) の軸上で放射性物質濃度が最も濃くなる。被ばく評価地点は地上 ( $z' = 0$ ) であるため、地上放散が最も厳しい評価を与えることになる。

(2) 実効線量の計算

計算地点における年間の実効線量は、計算地点を含む方位及びその隣接方位に向かう放射性雲の  $\gamma$  線からの空気カーマを合計して、次式により計算する。

$$H_\gamma = K_2 \cdot f_h \cdot f_0 \cdot (\bar{D}_L + \bar{D}_{L-1} + \bar{D}_{L+1}) \dots\dots\dots 2-3$$

- ここで、  $H_\gamma$  : 放射性物質の  $\gamma$  線に起因する年間の実効線量 ( $\mu$  Sv/y)
- $K_2$  : 空気カーマから実効線量への換算係数 ( $0.8 \mu$  Sv/ $\mu$  Gy)
- $f_h$  : 家屋の遮へい係数 (1.0)
- $f_0$  : 居住係数 (1.0)
- $(\bar{D}_L + \bar{D}_{L-1} + \bar{D}_{L+1})$  : 計算地点を含む方位(L)及びその隣接方位に向かう放射性雲による年間平均の  $\gamma$  線による空気カーマ ( $\mu$  Gy/y)。これらは 2-1 式から得られる空気カーマ率 D を放出モード、大気安定度別風向分布及び風速分布を考慮して年間について積算して求める。

2.2.2.4 吸入摂取による実効線量

吸入摂取による実効線量については、「発電用軽水型原子炉施設周辺の線量目標値に対する評価指針」の吸入摂取による実効線量の評価の評価式を用いて評価する。

(1) 放射性物質の年平均地表空気中濃度の計算

計算地点における年平均地表空気中濃度  $\bar{\chi}$  は、2-2 式を用い、隣接方位からの寄与も考慮して、次式により計算する。

$$\bar{\chi} = \sum_j \bar{\chi}_{jL} + \sum_j \bar{\chi}_{jL-1} + \sum_j \bar{\chi}_{jL+1} \dots\dots\dots 2-4$$

- ここで、 j : 大気安定度 (A~F)
- L : 計算地点を含む方位

(2) 線量の計算

放射性物質の呼吸による実効線量は、次式により計算する。

$$H_I = 365 \cdot \sum_i K_{li} \cdot A_{li} \dots\dots\dots 2-5$$



$f_1$  : 沈着した放射性物質のうち残存する割合 (保守的に 1 を用いる)

表 2-5 放射性物質濃度から実効線量への換算係数 ((Sv/s)/(Bq/m<sup>2</sup>))

| 核種       | Cs-134                | Cs-137                |
|----------|-----------------------|-----------------------|
| $K_{Gi}$ | $1.5 \times 10^{-15}$ | $5.8 \times 10^{-16}$ |

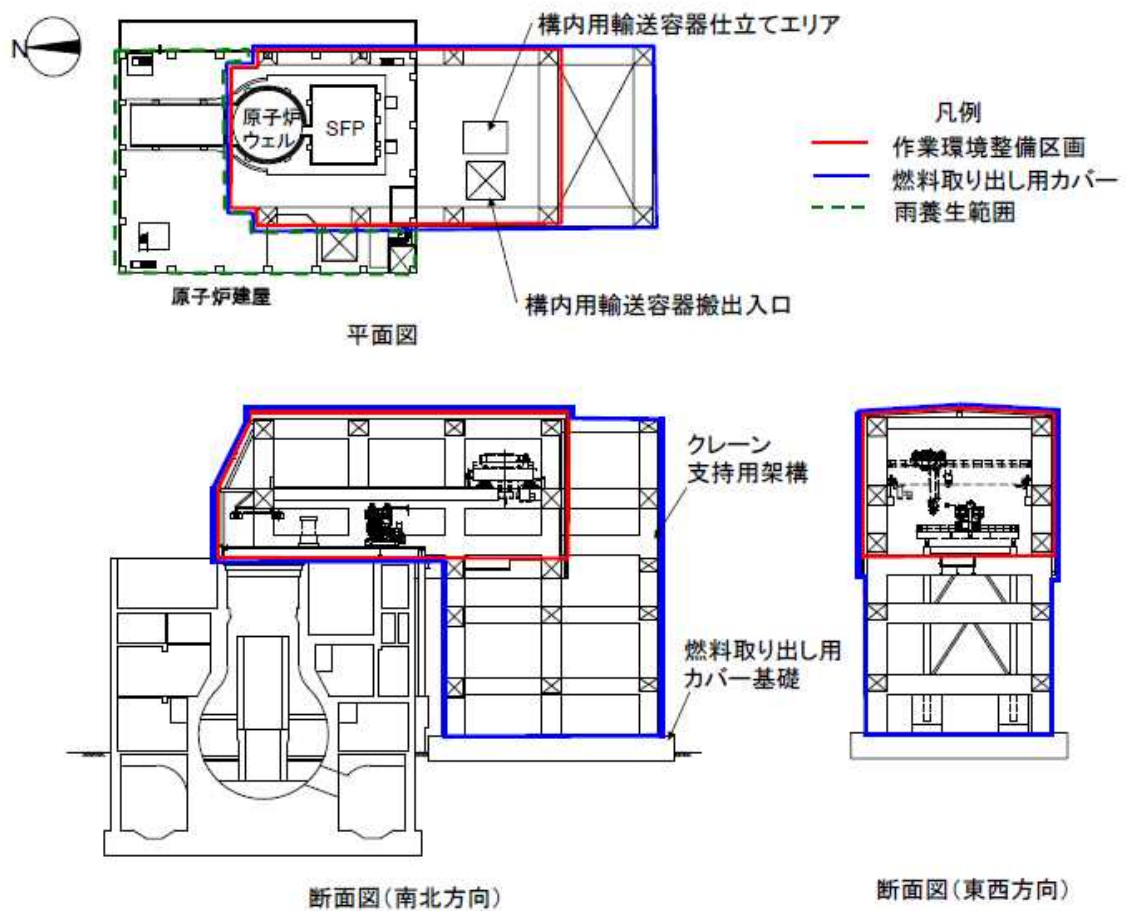
#### 2.2.2.6 評価結果

表 2-3 に示す濃度の放射性物質の放出が燃料取り出し用カバーの供用期間である 5 年間 (想定) 続くと仮定して算出した結果, 年間被ばく線量は敷地境界で約 0.008mSv/年であり, 法令の線量限度 1mSv/年に比べても十分低いと評価される。(表 2-6 参照)

また, 「Ⅲ. 3.2 放射性廃棄物等の管理に関する補足説明」での評価 (約 0.03mSv/年) に比べても十分に低いと評価される。

表 2-6 燃料取り出し用カバー排気フィルタユニットからの放射性物質の放出による一般公衆の実効線量 (mSv/年)

| 評価項目                   |                        |                        | 合計                     |
|------------------------|------------------------|------------------------|------------------------|
| 放射性雲                   | 吸入摂取                   | 地表沈着                   |                        |
| 約 $1.3 \times 10^{-7}$ | 約 $5.4 \times 10^{-5}$ | 約 $7.4 \times 10^{-3}$ | 約 $7.5 \times 10^{-3}$ |



【燃料取り出し用カバー】

- ・ 作業環境整備区画を構成・支持する架構及び附属設備を指す。
- ・ 燃料取り出し用カバーのうち、作業環境整備区画は外装材等により区画し、換気対象範囲とする。

【雨養生範囲】

- ・ 燃料取り出し用カバー以外のオペレーティングフロアエリアは雨水対策を施す。
- ・ 換気対象範囲外とする。

図 2-1 燃料取り出し用カバー概略図

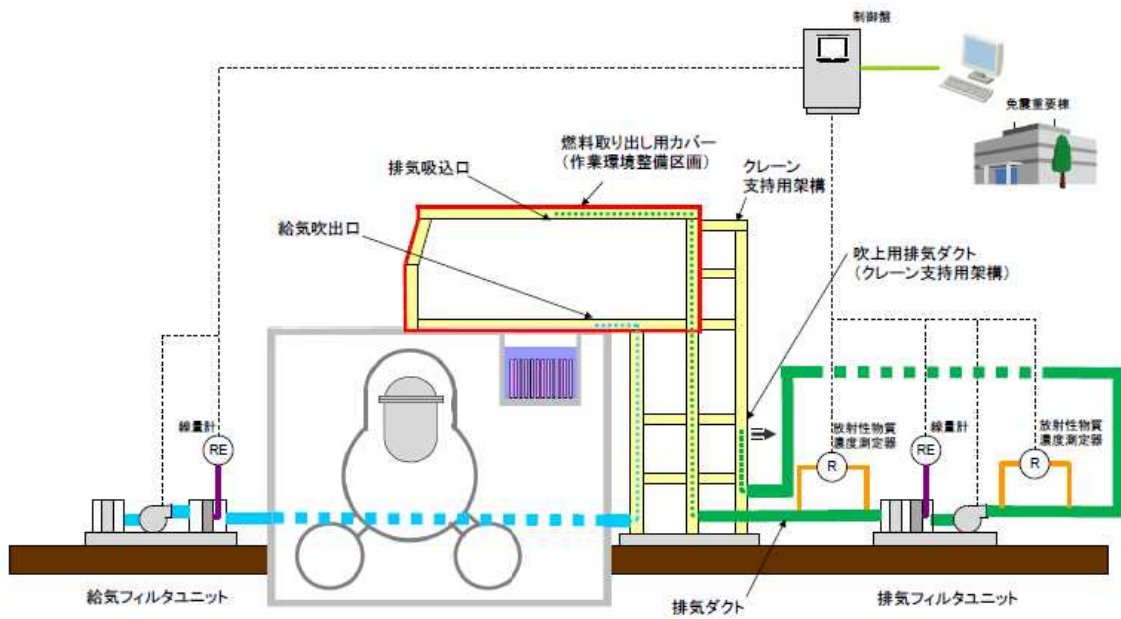


図 2-2 燃料取り出し用カバー換気設備概略構成図

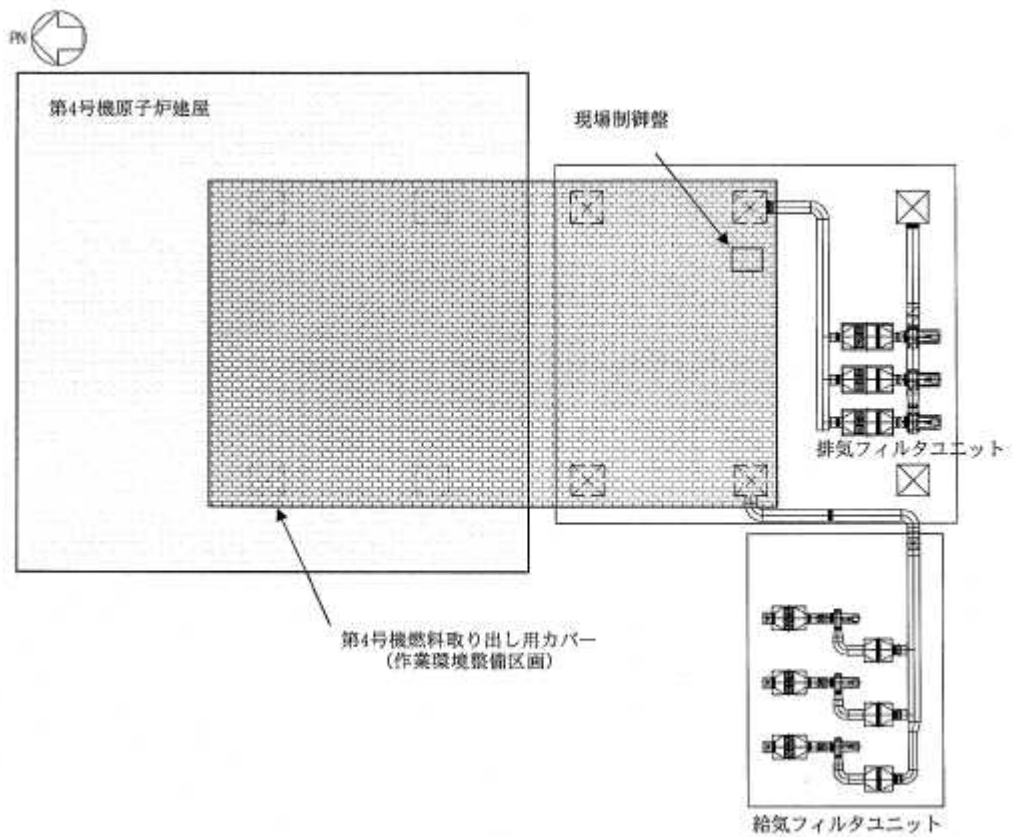


図 2-3 燃料取り出し用カバー換気設備配置図



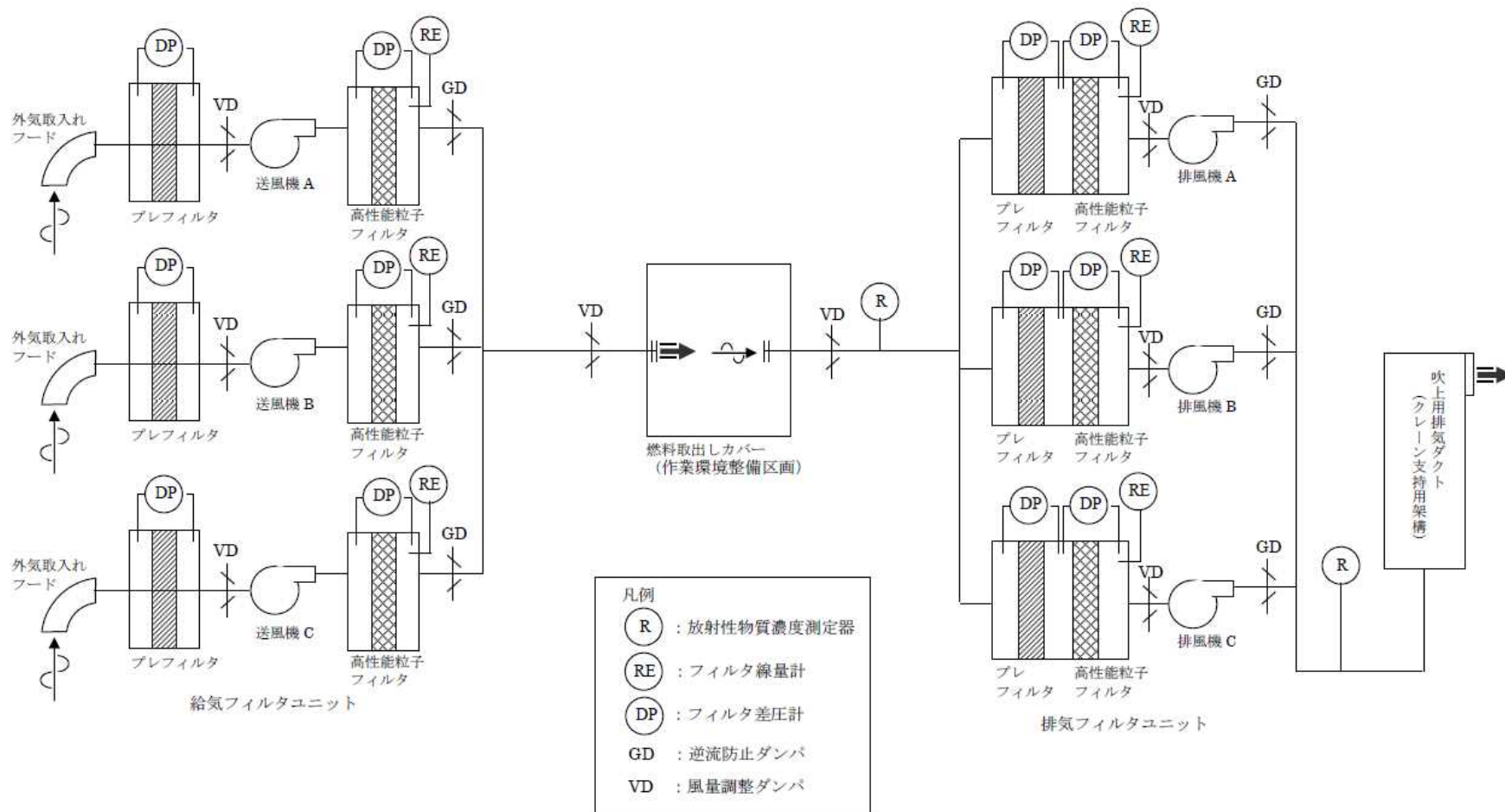
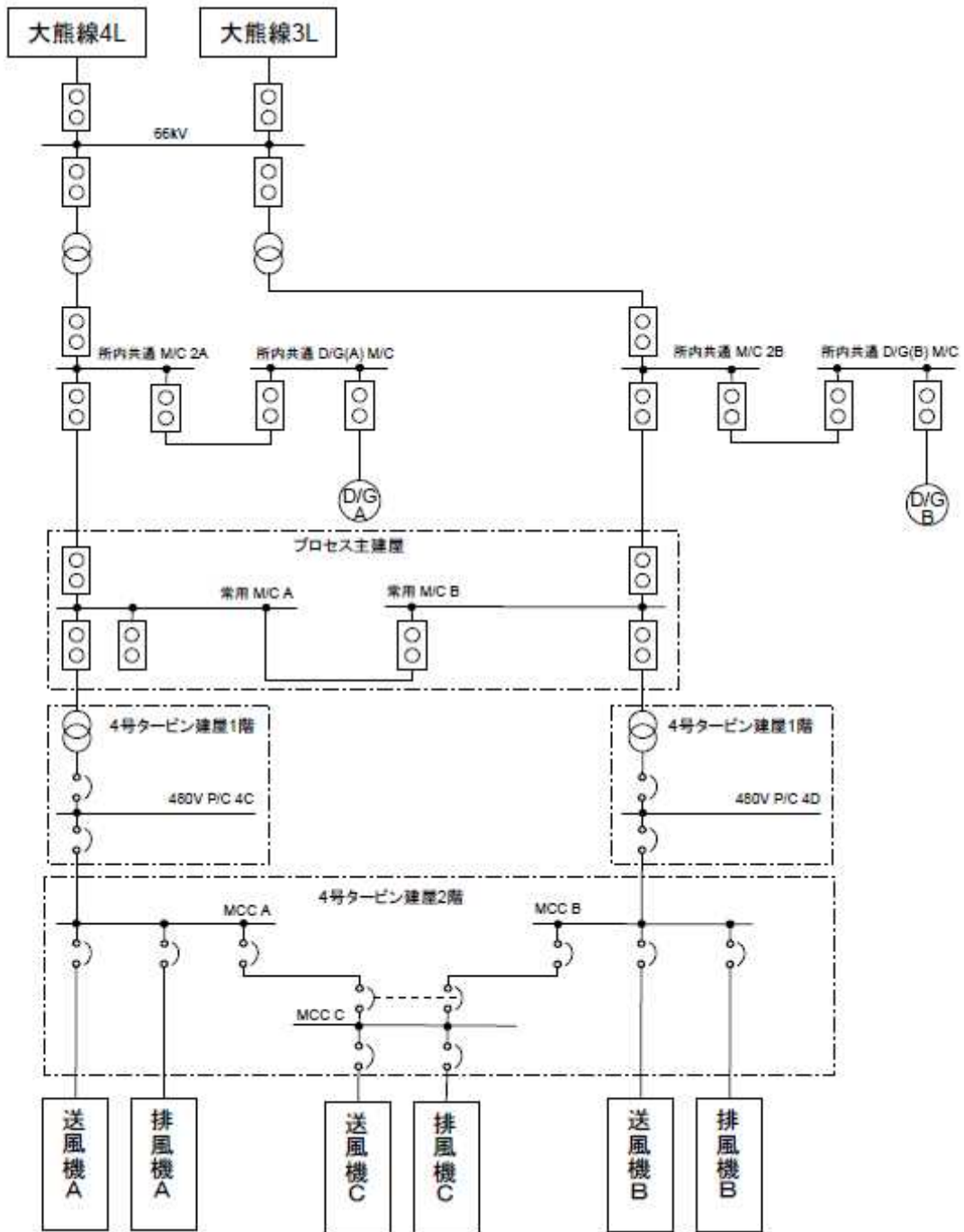


図 2-4 燃料取り出し用カバー換気設備系統図



※今後の設計の進捗により変更の可能性有り。

図 2-5 燃料取り出し用カバー換気設備電源系統図

### 3. 3号機放射性物質の飛散・拡散を防止するための機能について

#### 3.1 燃料取り出し用カバーについて

##### 3.1.1 概要

燃料取り出し用カバーは、作業に支障が生じることのないよう作業に必要な範囲をカバーし、風雨を遮る構造とする。また、使用済燃料プール内がれき撤去時の放射性物質の舞い上がり、燃料取り出し作業に伴い建屋等に付着した放射性物質の舞い上がりによる大気放出を抑制するため、燃料取り出し用カバーは隙間を低減した構造とするとともに、換気設備を設け、排気はフィルタユニットを通じて大気へ放出する。また、現在、発電所敷地内でよう素（I-131）は検出されていないことから、フィルタユニットは、発電所敷地内等で検出されているセシウム（Cs-134, 137）の大気への放出が低減できる設計とする。

##### 3.1.2 燃料取り出し用カバー

燃料取り出し用カバーの大きさは、約 19m（南北）×約 57m（東西）×約 54m（地上高）である。主体構造は鉄骨造であり、ドーム状の屋根を外装材で覆い、風雨を遮る構造とする。（図 3-1 燃料取り出し用カバー概略図参照）

##### 3.1.3 換気設備

###### 3.1.3.1 系統構成

換気設備は、燃料取り出し用カバー内気体を吸引し、排気ダクトを經由して燃料取り出し用カバーの外部に設置した排気フィルタユニットへ導く。排気フィルタユニットは、プレフィルタ、高性能粒子フィルタ等で構成され、各フィルタで放射性物質を捕集した後の気体を吹上用排気ダクトから大気へ放出する。

排気フィルタユニットは、約 10,000m<sup>3</sup>/h のユニットを 4 系列（うち 1 系列は予備）、排風機は、換気風量約 30,000m<sup>3</sup>/h のユニットを 2 系列（うち 1 系列は予備）設置し、約 30,000m<sup>3</sup>/h の換気風量で運転する。

また、燃料取り出し用カバー内の放射性物質や吹上用排気ダクトから大気に放出される放射性物質の濃度を測定するため、放射性物質濃度測定器を排気フィルタユニットの出入口に設置する。（図 3-2 燃料取り出し用カバー換気設備概略構成図、図 3-3 燃料取り出し用カバー換気設備配置図、図 3-4 燃料取り出し用カバー換気設備系統図参照）

燃料取り出し用カバー換気設備の電源は、異なる系統の所内高圧母線から受電可能な構成とする。（図 3-5 燃料取り出し用カバー換気設備電源系統図参照）

表 3-1 換気設備構成

| 設備名        | 構成・配置等   |
|------------|--|
| 排気吸込口      | 配置：カバー内の天井部に設置   |
| 排気フィルタユニット | 配置：原子炉建屋西側の屋外に 4 系列（うち予備 1 系列）設置<br>構成：プレフィルタ<br>高性能粒子フィルタ（効率 97%（粒径 0.3 μm）以上）<br>フィルタ線量計（高性能粒子フィルタに設置）<br>フィルタ差圧計（プレフィルタ，高性能粒子フィルタに設置） |
| 排風機        | 配置：原子炉建屋西側の屋外に 2 系列（うち予備 1 系列）設置   |
| 吹上用排気ダクト   | 配置：排気フィルタユニットの下流側に設置   |
| 放射性物質濃度測定器 | 測定対象：カバー内及び大気放出前の放射性物質濃度<br>仕様：検出器種類 シンチレーション検出器<br>計測範囲 $10^{-1} \sim 10^5 \text{s}^{-1}$<br>台数 排気フィルタユニット入口 1 台<br>排気フィルタユニット出口 2 台    |

### 3.1.3.2 換気風量について

燃料取り出し用カバー内の環境は、燃料取扱機、クレーン及び電源盤の設備保護のため 40℃以下（設計値）となる換気設備を設けるものとする。

燃料取り出し用カバー内の熱負荷を除熱するのに必要な換気風量は、下式により求められる風量に余裕をみた約 30,000m<sup>3</sup>/h とする。

$$Q=q/(C_p \cdot \rho \cdot (t_1-t_2) \cdot 1/3600)$$

Q：換気（排気）風量（m<sup>3</sup>/h）

q：設計用熱負荷，約 60（kW）

（機器発熱，日射，使用済燃料プールからの熱，原子炉からの熱）※<sup>1</sup>

C<sub>p</sub>：定圧比熱，1.004652（kJ/kg・℃）

ρ：密度，1.2（kg/m<sup>3</sup>）

t<sub>1</sub>：カバー内温度，40（℃）

t<sub>2</sub>：設計用外気温度，28.5（℃）※<sup>2</sup>

※<sup>1</sup> 約 10%の余裕を含む

※<sup>2</sup> 小名浜気象台で観測された 1972 年～1976 年の 5 年間の観測データにおける累積出現率が 99%となる最高温度

### 3.1.3.3 運転管理および保守管理

#### (1) 運転管理

排風機の起動/停止操作は、屋外地上部に設置したコンテナハウス内の現場制御盤で行うものとし、故障等により排風機が停止した場合には、予備機が自動起動する。

現場制御盤では、排風機の運転状態（起動停止状態）、放射性物質濃度が表示され、それらの異常を検知した場合には、警報を発する。また、免震重要棟でも同様に、排風機の運転状態（起動停止状態）、放射性物質濃度が表示され、それらの情報に異常を検知した場合は、警報を発するシステムとなっている。

放射性物質濃度測定器を排気フィルタユニットの出入口に設置し、燃料取り出し用カバー内から大気に放出される放射性物質濃度を測定する。

#### (2) 保守管理

換気設備については安全上重要な設備ではなく、運転継続性の要求が高くない。保守作業に伴う被ばくを極力低減する観点から、異常の兆候が確認された場合に対応する。なお、排気フィルタユニット出口の放射性物質濃度測定器については、外部への放射性物質放出抑制の監視の観点から多重化し、機器の単一故障により機能が喪失した場合でも測定可能な設備構成とする。

また、フィルタについては、差圧計（プレフィルタ、高性能粒子フィルタに設置）又は線量計（高性能粒子フィルタに設置）の値を確認しながら、必要な時期に交換する。

### 3.1.3.4 異常時の措置

燃料取り出し用カバー換気設備が停止しても、セシウムの使用済燃料プールから大気への移行割合は、 $1 \times 10^{-3} \sim 1 \times 10^{-5} \%$ 程度であり、3号機から放出される放射性物質は小さいと評価されている（Ⅱ.2.3 使用済燃料プール設備参照）ことから、放射性物質の異常な放出とならないと考えられる。また、3号機の使用済燃料プール水における放射性物質濃度は、Cs-134： $2.4 \times 10^3 \text{Bq/cm}^3$ 、Cs-137： $3.9 \times 10^3 \text{Bq/cm}^3$ （平成24年9月24日に使用済燃料プールより採取した水の分析結果）である。

なお、燃料取り出し用カバー換気設備は、機器の単一故障が発生した場合を想定して、送風機、排風機及び電源の多重化を実施しており、切替等により機能喪失後の速やかな運転の再開を可能とする。また、排気フィルタユニット出口の放射性物質濃度測定器については、2台の連続運転とし、1台故障時においても放射性物質濃度を計測可能とする。

### 3.2 放射性物質の飛散・拡散を防止するための機能について

#### 3.2.1 排気フィルタによる低減効果

燃料取り出し用カバー内から排気フィルタユニットを通じて大気へ放出される放射性物質は、高性能粒子フィルタ（効率 97%（粒径  $0.3\mu\text{m}$ ）以上）により低減される。

セシウムの使用済燃料プールから大気への移行割合は、 $1\times 10^{-3}\sim 1\times 10^{-5}\%$ 程度であり、3号機から放出される放射性物質は小さいと評価されている。（Ⅱ.2.3 使用済燃料プール設備参照）

表 3-2 に 3 号機原子炉建屋上部で測定された放射性物質濃度を示す。仮に、燃料取り出し用カバー内が表 3-2 に示す放射性物質濃度であった場合、排気フィルタを通過して大気へ放出される放射性物質濃度は表 3-3 の通りとなる。

表 3-2 3 号機原子炉建屋上部の放射性物質濃度 (Bq/cm<sup>3</sup>)

| 核種     | 原子炉上北東側（横方向）※         |
|--------|-----------------------|
| Cs-134 | 約 $5.2\times 10^{-4}$ |
| Cs-137 | 約 $8.0\times 10^{-4}$ |

※平成 24 年 9 月 6 日測定

$$Q=C \cdot (1-f)$$

Q : フィルタ通過後の放射性物質濃度 (Bq/cm<sup>3</sup>)

C : カバー内に吸い込まれる外気の放射性物質濃度 (Bq/cm<sup>3</sup>) (表 3-2 参照)

f : フィルタ効率 (高性能粒子フィルタ 97%)

表 3-3 フィルタ通過後の放射性物質濃度

| 核種     | 濃度 (Bq/cm <sup>3</sup> ) |
|--------|--------------------------|
| Cs-134 | 約 $1.6\times 10^{-5}$    |
| Cs-137 | 約 $2.4\times 10^{-5}$    |

以上の結果、表 3-2 及び表 3-3 より、フィルタ通過後の放射性物質濃度は約 1/30 となる。

#### 3.2.2 敷地境界線量

##### 3.2.2.1 評価条件

- (1) 燃料取り出し用カバー内が、表 3-2 に示す 3 号機オペレーティングフロア上の放射性物質濃度であった場合に排気フィルタユニットを介して大気に放出されるものと仮定する。

- (2) 減衰は考慮しない。
- (3) 地上放出と仮定する。
- (4) 燃料取り出し用カバーの供用期間である5年間（想定）に放出される放射性物質が地表に沈着し蓄積した時点の $\gamma$ 線に起因する実効線量と仮定し評価する。
- (5) 大気拡散の評価に用いる気象条件は、福島第一原子力発電所原子炉設置変更許可申請書で採用したものと同一気象データを使用する。

### 3.2.2.2 評価方法

燃料取り出し用カバー排気フィルタユニットから放出される放射性物質による一般公衆の実効線量は、以下の被ばく経路について年間実効線量(mSv/年)を評価する。

- (1) 放射性雲からの $\gamma$ 線に起因する実効線量
- (2) 吸入摂取による実効線量
- (3) 地面に沈着した放射性物質からの $\gamma$ 線に起因する実効線量

### 3.2.2.3 放射性雲からの $\gamma$ 線に起因する実効線量

放射性物質の $\gamma$ 線に起因する実効線量については、「発電用軽水型原子炉施設周辺の線量目標値に対する評価指針」の放射性雲からの $\gamma$ 線による実効線量の評価の評価式を用いて評価する。

#### (1) 計算地点における空気カーマ率の計算

計算地点(x, y, 0)における空気カーマ率は、次式により計算する。

$$D = K_1 \cdot E \cdot \mu_{en} \int_0^{\infty} \int_{-\infty}^{\infty} \int_0^{\infty} \frac{e^{-\mu \cdot r}}{4\pi r^2} \cdot B(\mu r) \cdot \chi(x', y', z') dx' dy' dz' \quad \dots \quad 3-1$$

ここで、 D : 計算地点(x, y, 0)における空気カーマ率 ( $\mu$  Gy/h)

$K_1$  : 空気カーマ率への換算係数 ( $4.46 \times 10^{-4} \frac{\text{dis} \cdot \text{m}^3 \cdot \mu \text{Gy}}{\text{MeV} \cdot \text{Bq} \cdot \text{h}}$ )

E :  $\gamma$ 線の実効エネルギー (0.5MeV/dis)

$\mu_{en}$  : 空気に対する $\gamma$ 線の線エネルギー吸収係数 ( $\text{m}^{-1}$ )

$\mu$  : 空気に対する $\gamma$ 線の線減衰係数 ( $\text{m}^{-1}$ )

r : 放射性雲中の点(x', y', z')から計算地点(x, y, 0)までの距離 (m)

$B(\mu r)$  : 空気に対する $\gamma$ 線の再生係数

$$B(\mu r) = 1 + \alpha(\mu r) + \beta(\mu r)^2 + \gamma(\mu r)^3$$

ただし、 $\mu_{en}$ ,  $\mu$ ,  $\alpha$ ,  $\beta$ ,  $\gamma$ については、0.5MeVの $\gamma$ 線に対する値を用い、以下のとおりとする。

$$\mu_{en} = 3.84 \times 10^{-3} (\text{m}^{-1}), \quad \mu = 1.05 \times 10^{-2} (\text{m}^{-1})$$

$$\alpha = 1.000, \quad \beta = 0.4492, \quad \gamma = 0.0038$$

$\chi(x', y', z')$  : 放射性雲中の点  $(x', y', z')$  における濃度 (Bq/m<sup>3</sup>)  
 なお,  $\chi(x', y', z')$  は, 次式により計算する。

$$\chi(x', y', z') = \frac{Q}{2\pi \cdot \sigma_y \cdot \sigma_z \cdot U} \cdot e^{-\frac{y'^2}{2\sigma_y^2}} \cdot \left\{ e^{-\frac{(z' - H)^2}{2\sigma_z^2}} + e^{-\frac{(z' + H)^2}{2\sigma_z^2}} \right\} \cdot 3-2$$

ここで,  $Q$  : 放射性物質の放出率 (Bq/s)  
 $U$  : 放出源高さを代表する風速 (m/s)  
 $H$  : 放出源の有効高さ (m)  
 $\sigma_y$  : 濃度分布の  $y'$  方向の拡がりのパラメータ (m)  
 $\sigma_z$  : 濃度分布の  $z'$  方向の拡がりのパラメータ (m)

このとき, 有効高さと同じ高度 ( $z' = H$ ) の軸上で放射性物質濃度が最も濃くなる。  
 被ばく評価地点は地上 ( $z' = 0$ ) であるため, 地上放散が最も厳しい評価を与えることになる。

(2) 実効線量の計算

計算地点における年間の実効線量は, 計算地点を含む方位に向かう放射性雲の  $\gamma$  線からの空気カーマを合計して, 次式により計算する。

$$H_\gamma = K_2 \cdot f_h \cdot f_0 \cdot \bar{D}_L \cdot \dots \cdot 3-3$$

ここで,  $H_\gamma$  : 放射性物質の  $\gamma$  線に起因する年間の実効線量 ( $\mu$  Sv/y)  
 $K_2$  : 空気カーマから実効線量への換算係数 ( $0.8 \mu$  Sv/ $\mu$  Gy)  
 $f_h$  : 家屋の遮へい係数 (1.0)  
 $f_0$  : 居住係数 (1.0)  
 $\bar{D}_L$  : 計算地点を含む方位(L)に向かう放射性雲による年間平均の  $\gamma$  線による空気カーマ ( $\mu$  Gy/y)。

3.2.2.4 吸入摂取による実効線量

吸入摂取による実効線量については, 「発電用軽水型原子炉施設周辺の線量目標値に対する評価指針」の吸入摂取による実効線量の評価の評価式を用いて評価する。

(1) 放射性物質の年平均地表空気中濃度の計算

計算地点における年平均地表空気中濃度  $\bar{\chi}$  は, 3-2 式を用い, 隣接方位からの寄与も考慮して, 次式により計算する。

$$\bar{\chi} = \sum_j \bar{\chi}_{jL} + \sum_j \bar{\chi}_{jL-1} + \sum_j \bar{\chi}_{jL+1} \cdot \dots \cdot 3-4$$



ここで、 j : 大気安定度 (A~F)  
L : 計算地点を含む方位

(2) 線量の計算

放射性物質の呼吸による実効線量は、次式により計算する。

$$H_I = 365 \cdot \sum_i K_{Ii} \cdot A_{Ii} \dots\dots\dots 3-5$$

$$A_{Ii} = M_a \cdot \bar{\chi}_i \dots\dots\dots 3-6$$

ここで、 H<sub>I</sub> : 吸入摂取による年間の実効線量 (μ Sv/y)  
365 : 年間日数への換算係数 (d/y)  
K<sub>Ii</sub> : 核種 i の吸入摂取による成人実効線量換算係数 (μ Sv/Bq)  
A<sub>Ii</sub> : 核種 i の吸入による摂取率 (Bq/d)  
M<sub>a</sub> : 人間の呼吸率 (m<sup>3</sup>/d)  
(成人の1日平均の呼吸率: 22.2m<sup>3</sup>/dを使用)  
 $\bar{\chi}_i$  : 核種 i の年平均地表空気中濃度 (Bq/m<sup>3</sup>)

表 3-4 吸入摂取による成人の実効線量換算係数 (μ Sv/Bq)

| 核種              | Cs-134               | Cs-137               |
|-----------------|----------------------|----------------------|
| K <sub>Ii</sub> | 2.0×10 <sup>-2</sup> | 3.9×10 <sup>-2</sup> |

3.2.2.5 地面に沈着した放射性物質からのγ線に起因する実効線量

地面に沈着した放射性物質からのγ線に起因する実効線量については、「発電用軽水型原子炉施設の安全審査における一般公衆の線量評価について」の地面に沈着した放射性物質濃度を計算し、放射性物質濃度からの実効線量への換算係数を用いて評価する。

(1) 放射性物質の年平均地上空気中濃度の計算

計算地点における年平均地上空気中濃度 $\bar{\chi}$ は、3-4式により計算する。

(2) 線量の計算

地面に沈着した放射性物質からのγ線に起因する実効線量は、次式により計算する。

$$H_G = \sum_i K_{Gi} \cdot S_{oi} \dots\dots\dots 3-7$$

$$S_{oi} = \bar{\chi}_i \cdot V_g \cdot \frac{f_1}{\lambda_i} \cdot (1 - e^{-\lambda_i \cdot T_0}) \dots\dots\dots 3-8$$

ここで、 H<sub>G</sub> : 地面に沈着した放射性物質からのγ線に起因する  
年間の実効線量 (μ Sv/y)

- $K_{Gi}$  : 核種 i の地表沈着による外部被ばく線量換算係数 ( $\frac{\mu\text{Sv/y}}{\text{Bq/m}^2}$ )  
 $S_{0i}$  : 核種 i の地表濃度 ( $\text{Bq/m}^2$ )  
 $\bar{\chi}_i$  : 核種 i の年平均地表空気中濃度 ( $\text{Bq/m}^3$ )  
 $V_g$  : 沈着速度 (0.01m/s)  
 $\lambda_i$  : 核種 i の物理的減衰係数 ( $\text{s}^{-1}$ )  
 $T_0$  : 放射性物質の放出期間 (s) (カバー供用期間の5年を想定)  
 $f_1$  : 沈着した放射性物質のうち残存する割合 (保守的に1を用いる)

表 3-5 放射性物質濃度から実効線量への換算係数 ((Sv/s)/(Bq/m<sup>2</sup>))

| 核種       | Cs-134                | Cs-137                |
|----------|-----------------------|-----------------------|
| $K_{Gi}$ | $1.5 \times 10^{-15}$ | $5.8 \times 10^{-16}$ |

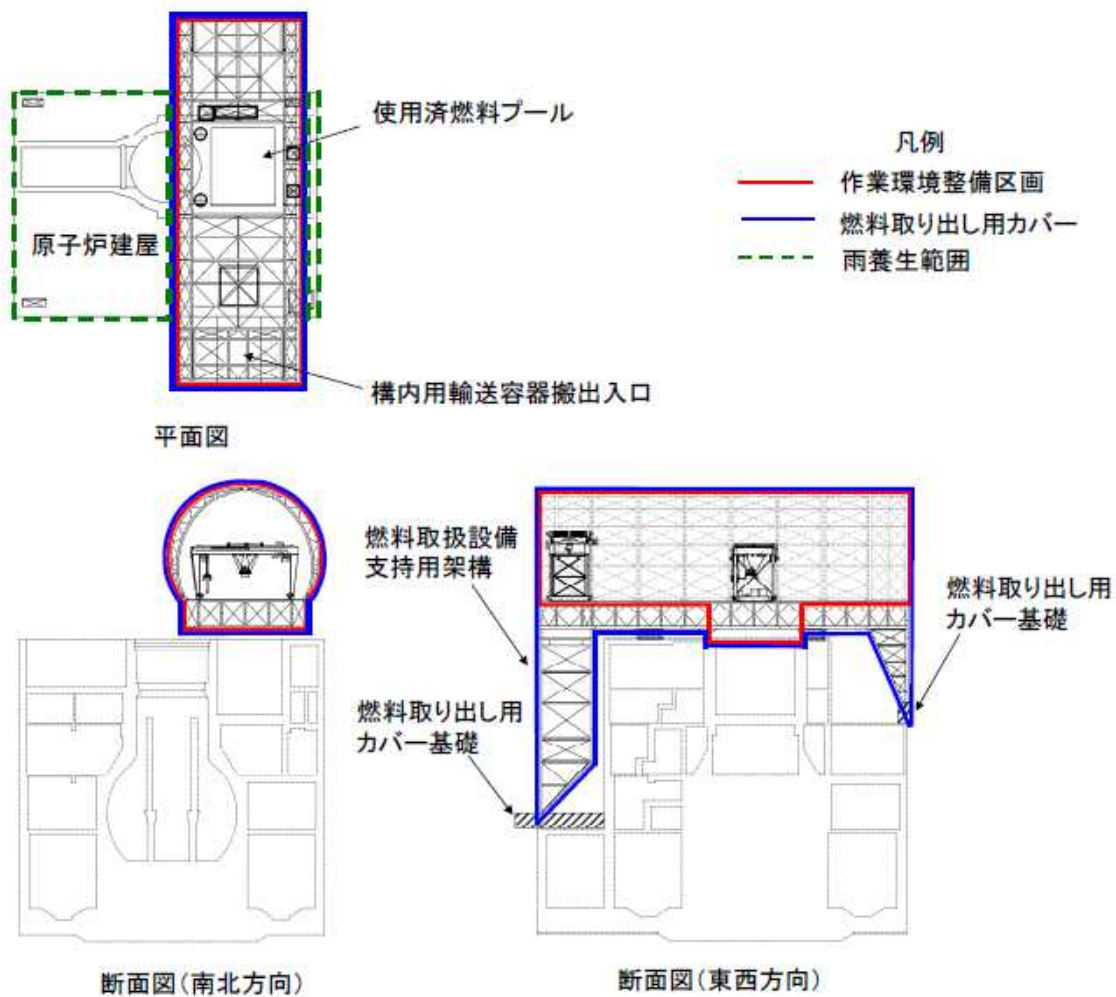
### 3.2.2.6 評価結果

表 3-3 に示す濃度の放射性物質の放出が燃料取り出し用カバーの供用期間である5年間(想定)続くと仮定して算出した結果、年間被ばく線量は敷地境界で約0.015mSv/年であり、法令の濃度限度1mSv/年に比べても十分低いと評価される。(表 3-6 参照)

また、「Ⅲ. 3.2 放射性廃棄物等の管理に関する補足説明」での評価(約0.03mSv/年)に比べても低いと評価される。

表 3-6 燃料取り出し用カバー排気フィルタユニットからの放射性物質の放出による一般公衆の実効線量 (mSv/年)

| 評価項目                   |                        |                        | 合計                     |
|------------------------|------------------------|------------------------|------------------------|
| 放射性雲                   | 吸入摂取                   | 地表沈着                   |                        |
| 約 $4.5 \times 10^{-7}$ | 約 $1.3 \times 10^{-4}$ | 約 $1.5 \times 10^{-2}$ | 約 $1.5 \times 10^{-2}$ |



**【燃料取り出し用カバー】**

- ・ 作業環境整備区画を構成・支持する架構及び附属設備を指す。
- ・ 燃料取り出し用カバーのうち、作業環境整備区画は外装材等により区画し、換気対象範囲とする。

**【雨養生範囲】**

- ・ 燃料取り出し用カバー以外のオペレーティングフロアエリアは雨水対策を施す。
- ・ 換気対象範囲外とする。

図 3-1 燃料取り出し用カバー概略図

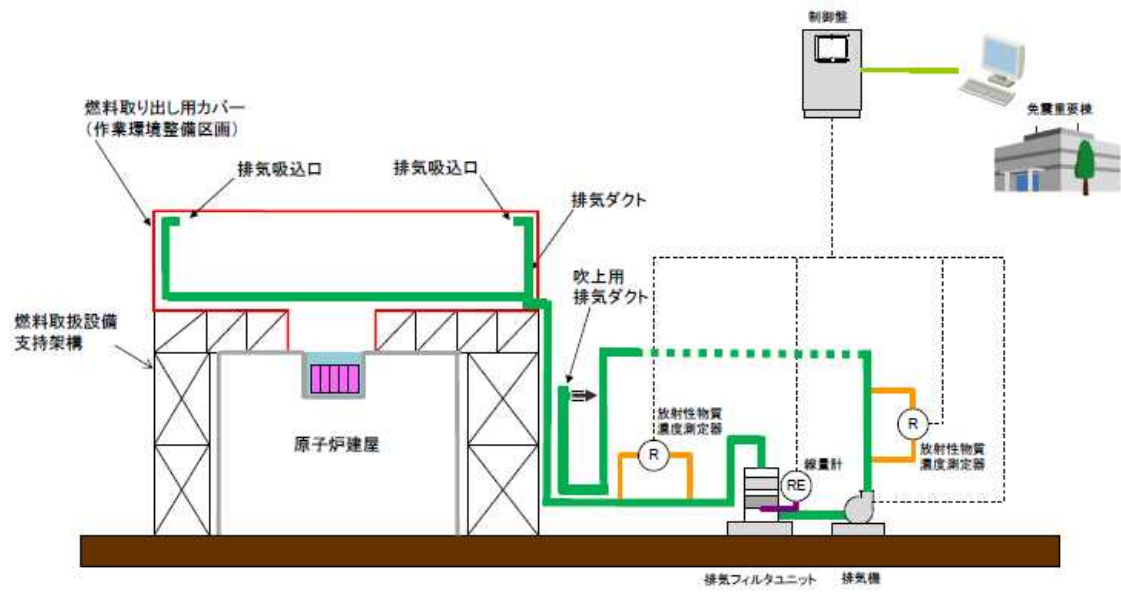


図 3-2 燃料取り出し用カバー換気設備概略構成図

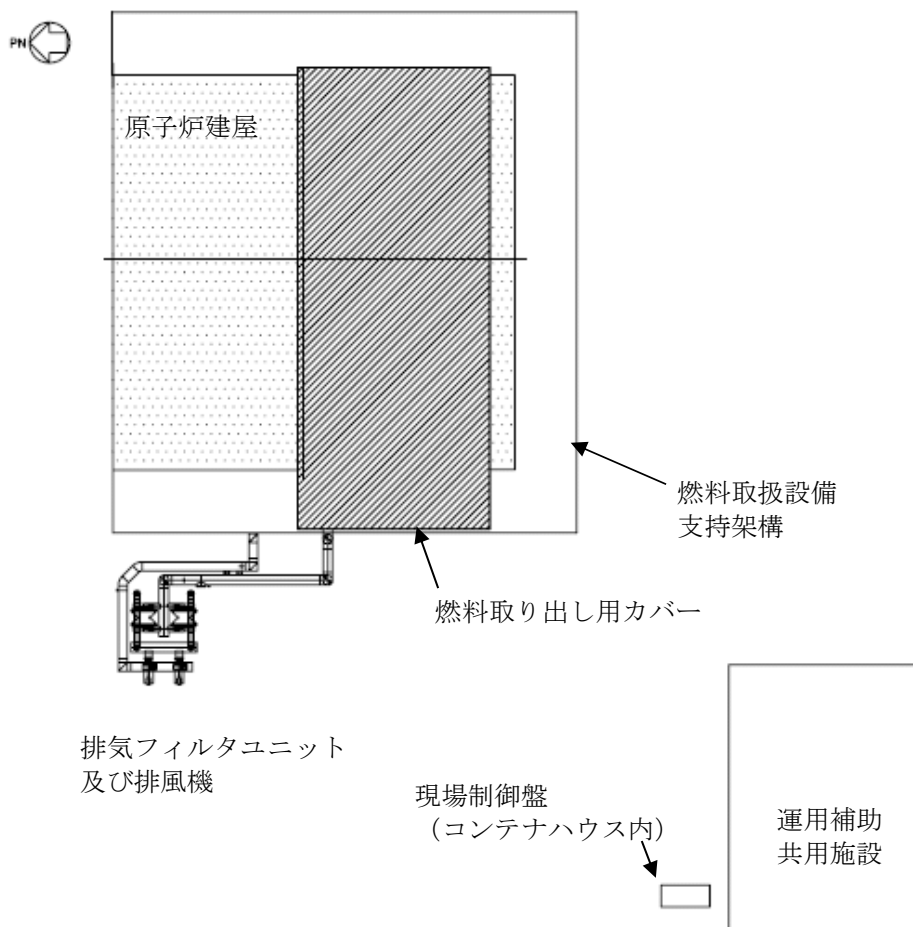


図 3-3 燃料取り出し用カバー換気設備配置図

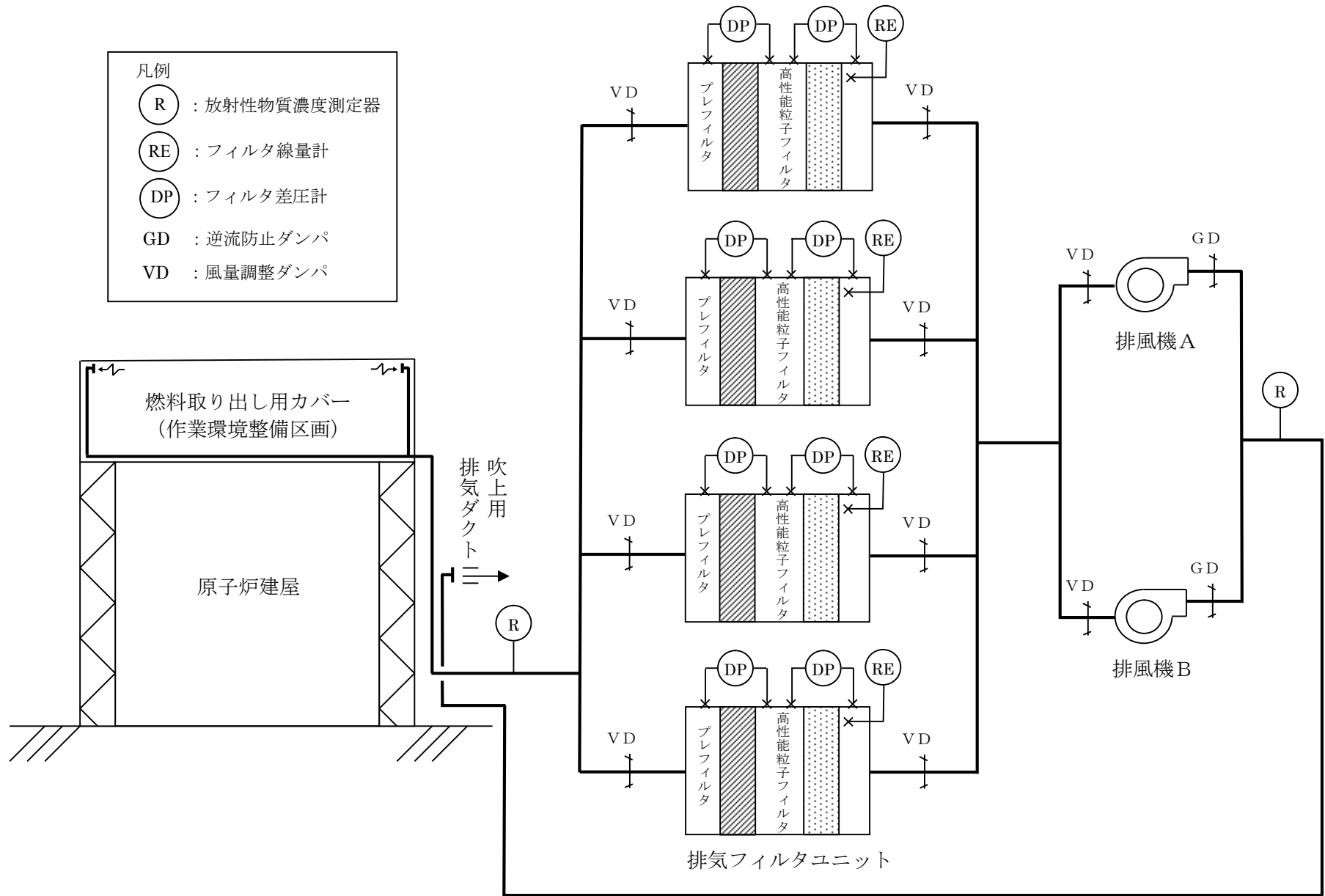
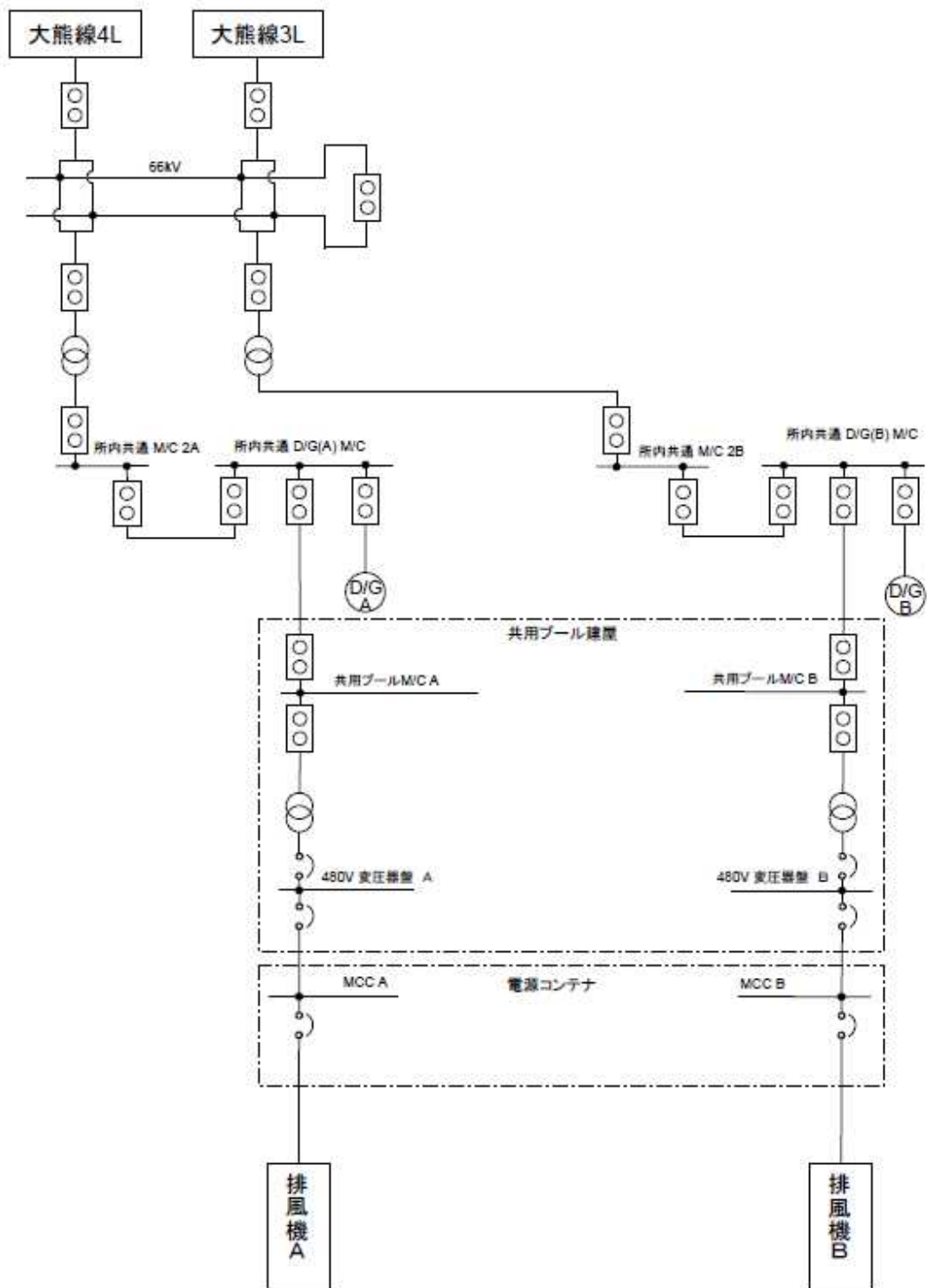


図 3-4 燃料取り出し用カバー換気設備系統図



※今後の設計の進捗により変更の可能性有り。

図 3-5 燃料取り出し用カバー換気設備電源系統図

4. 別添

別添－1 4号機燃料取り出し用カバー換気設備に係る確認事項

別添－2 3号機燃料取り出し用カバー換気設備に係る確認事項

## 4号機燃料取り出し用カバー換気設備に係る確認事項

4号機燃料取り出し用カバー換気設備に係る主要な確認事項を表－1に示す。

表－1 4号機燃料取り出し用カバー換気設備に係る確認事項

| 確認事項 | 確認項目 |          | 確認内容                       | 判定基準   |
|------|------|----------|----------------------------|--|
| 放出抑制 | 機能確認 | 風量確認     | 送風機・排風機の換気風量を確認する。         | 送風機・排風機が1台当たり25,000m <sup>3</sup> /h以上であること。<br>送風機・排風機が定格運転（2台運転1台予備）において、50,000m <sup>3</sup> /h以上であること。 |
|      |      | フィルタ性能確認 | フィルタの放射性物質の除去効率を確認する。      | 放射性物質の除去効率が97%以上であること。   |
|      | 構造確認 | 据付確認     | 放射性物質濃度の測定箇所を確認する。         | 放射性物質濃度測定箇所が実施計画通りであること。   |
| 監視   | 機能確認 | 監視機能確認   | 監視設備により運転状態等が監視できることを確認する。 | 送風機・排風機の運転状態、放射性物質濃度が免震重要棟内のモニタに表示され監視可能であること。   |



## 3号機燃料取り出し用カバー換気設備に係る確認事項

3号機燃料取り出し用カバー換気設備に係る主要な確認事項を表－1に示す。

表－1 3号機燃料取り出し用カバー換気設備に係る確認事項

| 確認事項 | 確認項目 |              | 確認内容                                   | 判定基準   |
|------|------|--------------|--|--|
| 放出抑制 | 機能確認 | 風量確認         | 排風機の出口風量を確認する。                         | 排風機が1台当たり<br>30,000m <sup>3</sup> /h以上であること。       |
|      |      | フィルタ<br>性能確認 | フィルタの放射性物質の除去効<br>率を確認する。              | 放射性物質の除去効率が97%以<br>上であること。                         |
|      | 構造確認 | 据付確認         | 放射性物質濃度の測定箇所を確<br>認する。                 | 放射性物質濃度測定箇所が実施<br>計画通りであること。                       |
| 監視   | 機能確認 | 監視機能<br>確認   | 監視設備により運転状態等が監<br>視できることを確認する。         | 排風機の運転状態、放射性物質<br>濃度が免震重要棟内のモニタに<br>表示され監視可能であること。 |
|      |      |              | 設定値において警報及び表示灯<br>が作動することを確認する。        | 許容範囲以内で警報及び表示灯<br>が作動すること。                         |
|      |      |              | 標準線源を用いて検出器性能を<br>確認する。                | 計数効率が規定値以上であるこ<br>と。                               |
|      |      |              | 放射性物質濃度が現場と免震重<br>要棟に表示されることを確認す<br>る。 | 各指示値が許容値範囲以内に入<br>っていること。                          |

## 燃料取扱設備の構造強度及び耐震性に関する説明書

### 1. 本説明書の記載範囲

本説明書は、3号機及び4号機燃料取扱設備の構造強度及び耐震性について記載するものである。

### 2. 4号機燃料取扱設備の構造強度及び耐震性について

#### 2.1. 概要

##### 2.1.1. 一般事項

4号機燃料取扱設備は、燃料取扱機とクレーンを有し、それぞれについて構造強度及び耐震性について検討を行う。燃料取扱設備は使用済燃料プールを覆う燃料取り出し用カバーに設置される。

燃料取扱機の構造強度及び耐震性は、検討に用いる地震動として基準地震動  $S_s$  に対する地震応答解析を実施し、燃料取扱機が使用済燃料プール及び使用済燃料ラックに波及的影響を及ぼさないことを確認する。ここで、波及的影響の確認は燃料取扱機が落下に至らないことを確認する。

クレーンの構造強度及び耐震性は、検討に用いる地震動として弾性設計用地震動  $S_d$  に対する地震応答解析を実施し、クレーンが使用済燃料プール及び使用済燃料ラックに波及的影響を及ぼさないことを確認する。ここで、波及的影響の確認は、クレーンが落下に至らないことを確認する。

弾性設計用地震動  $S_d$  は、基準地震動  $S_s$  の  $1/2$  として評価する。

なお、キャスクの縦揺れについては、キャスクの荷重に対して、クレーンのワイヤが切断しない（キャスクが落下しない）ことを確認している。また、キャスクの横揺れについては、クレーンの水平方向固有周期と比較し、ワイヤロープで吊り下げられたキャスクの固有周期は十分に長いことから、クレーン自体の振動には影響されないことを確認している。

燃料取扱設備の検討は、下記に準拠して行う。

- (1) 原子力発電所耐震設計技術指針 (JEAG 4601・補-1984)
- (2) 原子力発電所耐震設計技術指針 (JEAG 4601-1987)
- (3) 原子力発電所耐震設計技術規程 (JEAC 4601-2008)
- (4) 発電用原子力設備規格 設計・建設規格 (JSME S NC1-2005)
- (5) 発電用原子力設備規格 設計・建設規格 (2007年追補版) (JSME S NC1-2007)

### 2.1.2. 燃料取扱機

燃料取扱機は、燃料取扱機支持用架構（添付資料 - 4 - 2「燃料取り出し用カバーの構造強度及び耐震性に関する説明書」参照）に設置されるもので、東西方向を長手方向として 2 本のガーダが配置され、南北方向に走行する。このガーダ上にトロリが設置され、東西方向に走行する。燃料取扱機フレームは、ガーダ、サドル、トロリで構成される。燃料取扱機の概要を図 2.1.2-1 に示す。

ブリッジ及びトロリは、各々走行レール及び横行レール上に乗っているため地震時、走行方向に対しては、最大静止摩擦係数以上の水平力が加わった場合すべりを生じる。

ブリッジ及びトロリの車輪は各々 4 個であり、そのうち各々 2 個は摩擦を受ける駆動輪であり、他の 2 個は従動輪である。ゆえに、最大静止摩擦係数を  $\mu=0.3$  とすれば、水平力は鉛直方向荷重  $\times \mu \times 2/4 =$  鉛直方向荷重  $\times 0.15$  である。

ブリッジ及びトロリは、走行方向に直角な方向に対しては、脱線防止ラグによって荷重を支持する。

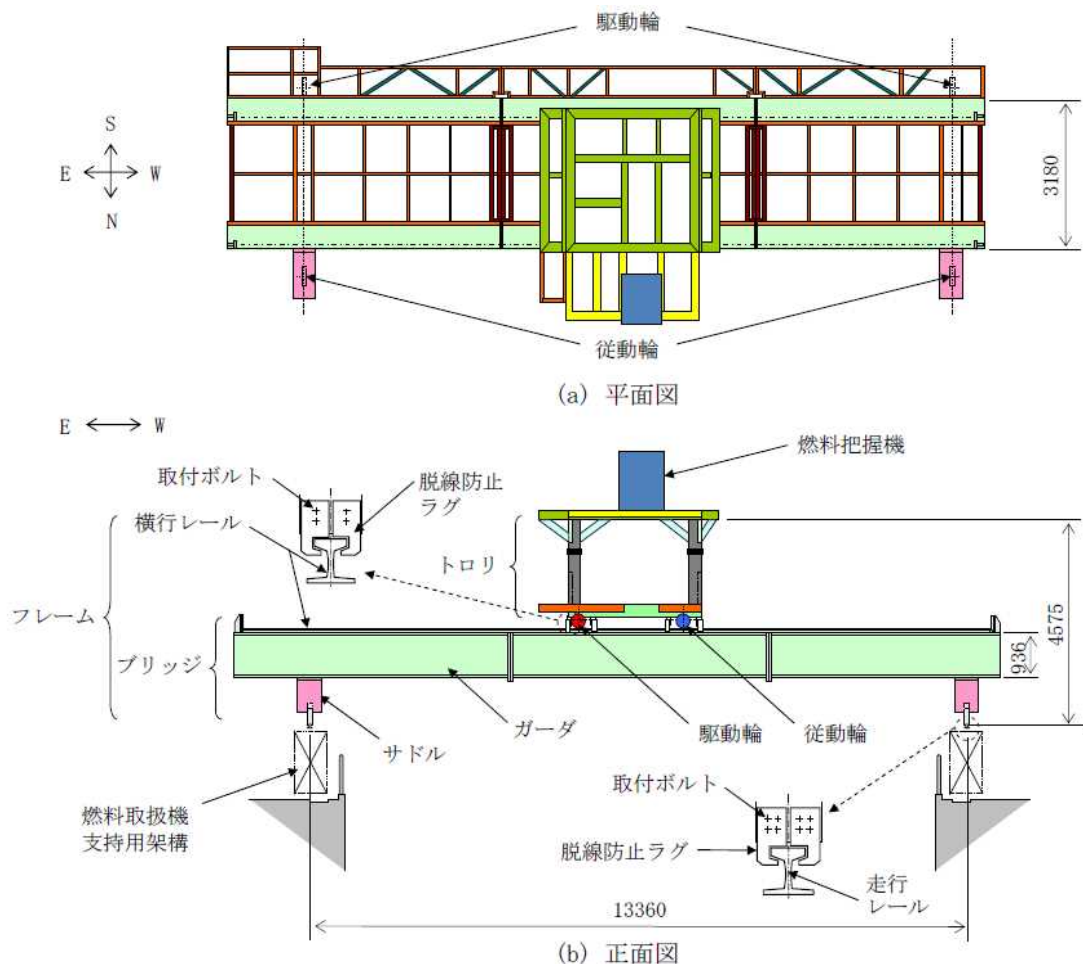


図 2.1.2-1 燃料取扱機の概要

### 2.1.3. クレーン

クレーンは、クレーン支持用架構（添付資料 - 4 - 2 「燃料取り出し用カバーの構造強度及び耐震性に関する説明書」参照）に設置されるもので、南北方向に 2 本のガーダが配置され、南北方向に走行する。このガーダ上にトロリが設置され、東西方向に走行する。クレーンは、ガーダ、サドル、トロリで構成される。クレーンの概要を図 2.1.3-1 に示す。

クレーンは、各々走行レール及び横行レールに乗っているので地震時、走行方向及び横行方向に対しては、最大静止摩擦係数以上の水平力が加わった場合すべりを生じる。

ガーダの車輪は 8 個であり、そのうち 2 個は摩擦を受ける駆動輪であり、他の 6 個は従動輪である。ゆえに、最大静止摩擦係数を  $\mu = 0.3$  とすれば、水平力は鉛直方向荷重  $\times \mu \times 2/8 =$  鉛直方向荷重  $\times 0.075$  である。

トロリの車輪は 4 個であり、そのうち 2 個は摩擦を受ける駆動輪であり、他の 2 個は従動輪である。ゆえに、最大静止摩擦係数を  $\mu = 0.3$  とすれば、水平力は鉛直方向荷重  $\times \mu \times 2/4 =$  鉛直方向荷重  $\times 0.15$  である。

ガーダ及びトロリは、走行方向に直角な方向に対しては、脱線防止ラグ、トロリストップパによって荷重を支持する。

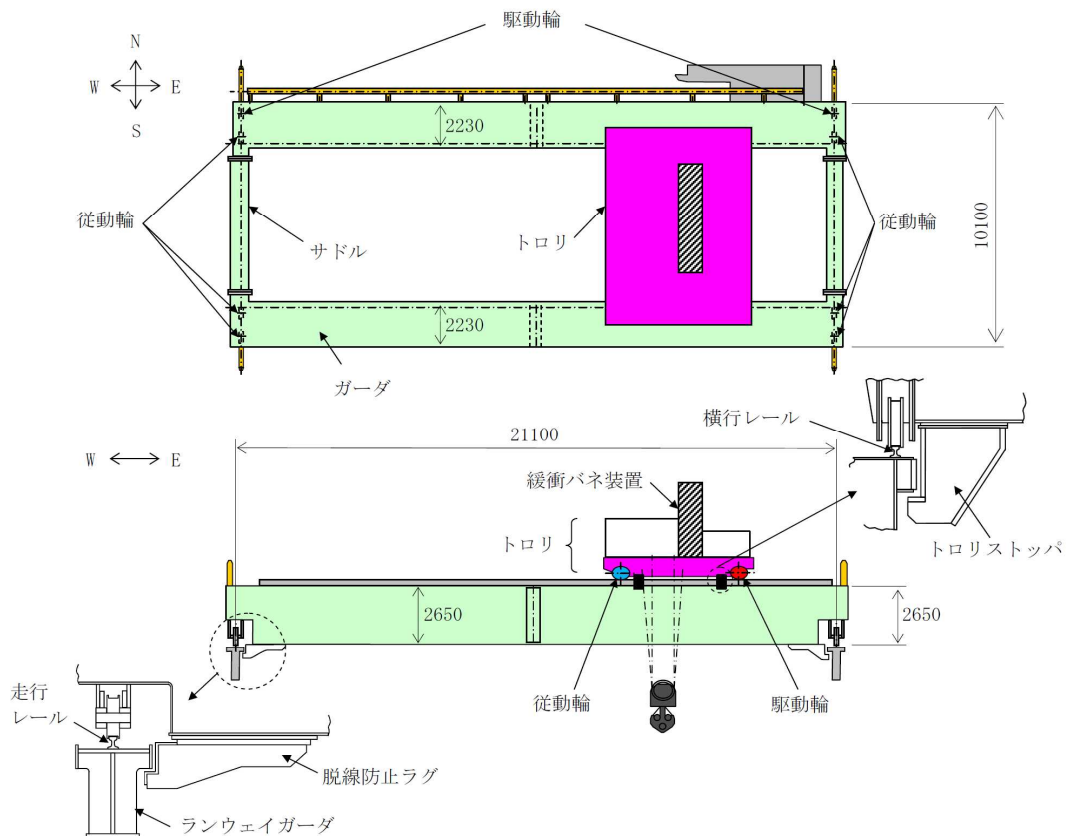


図 2.1.3-1 クレーンの概要

## 2.2. 燃料取扱機の構造強度及び耐震性について

### (1) 検討方針

燃料取扱機について、地震応答解析を実施し、応力評価を行う。

#### 1) 使用材料及び許容応力

燃料取扱機の物性値及び許容応力を表 2.2-1 に示す。温度は運転エリアの最高温度（40℃）に余裕を見込んだ 50℃ とする。落下防止の観点から、曲げと組合せは設計引張強さ  $S_u$  を許容応力とする。せん断応力は、JEA G 4601・補-1984 に従い引張応力から換算して、設計引張強さ  $S_u$  を 1/3 倍して用いる。

表 2.2-1 物性値及び許容応力

#### 材料定数

| 部位               | 使用材料             | 縦弾性係数<br>(MPa) | ポアソン比 | 温度<br>(℃) |
|------------------|------------------|----------------|-------|-----------|
| 燃料取扱機構造物<br>フレーム | SS400<br>STKR400 | 201,000        | 0.3   | 50        |

#### 許容応力

| 部位               | 使用材料                 | 応力の種類 | 許容応力 (MPa) |
|------------------|----------------------|-------|------------|
| 燃料取扱機構造物<br>フレーム | SS400<br>STKR400     | 曲げ    | 394        |
|                  |                      | せん断   | 227        |
|                  |                      | 組合せ   | 394        |
| ブリッジ             | SS400                | 曲げ    | 394        |
|                  |                      | せん断   | 227        |
|                  |                      | 組合せ   | 394        |
| 取付ボルト            | SCM435               | せん断   | 523        |
| トロリ              | SS400                | 曲げ    | 394        |
|                  |                      | せん断   | 227        |
|                  |                      | 組合せ   | 394        |
| 取付ボルト            | SCM435               | せん断   | 523        |
| 走行レール            | レール鋼<br>(CR 73K-DHH) | 曲げ    | 1080       |
|                  |                      | せん断   | 623        |
|                  |                      | 組合せ   | 1080       |
| 横行レール            | レール鋼<br>(1類 AR 30A)  | 曲げ    | 690        |
|                  |                      | せん断   | 398        |
|                  |                      | 組合せ   | 690        |

## 2) 荷重及び荷重組合せ

設計で考慮する荷重は死荷重及び地震荷重である。

死荷重は吊り荷を含む燃料取扱機自身の質量による荷重である。

地震荷重は基準地震動  $S_s$  による荷重であり、水平 2 方向それぞれの地震荷重に鉛直方向地震荷重を加算する。具体的には次の通りである。

- ・ 死荷重 + 水平地震 (NS 方向) + 鉛直地震
- ・ 死荷重 + 水平地震 (EW 方向) + 鉛直地震

|        |            |
|--------|------------|
| ブリッジ質量 | 42,000(kg) |
| トロリ質量  | 17,000(kg) |

吊り荷質量 (450(kg)含む)

## (2) 燃料取扱機の地震応答解析

解析は、地震応答解析モデルにより計算機コード「SAP - 」を用いたモーダル解析による応答スペクトル法により行う。

### 1) 解析に用いる入力地震動

燃料取扱機への入力地震動は、基準地震動  $S_s$  を入力したときの燃料取扱機支持用架構位置 O.P.40.77m(添付資料 - 4 - 2「燃料取り出し用カバーの構造強度及び耐震性に関する説明書」参照)の床応答スペクトルを用いる。床応答スペクトルを図 2.2-1 に示す。

この床応答スペクトルは、燃料取扱機の走行範囲で想定される床応答スペクトルを包絡したものである。

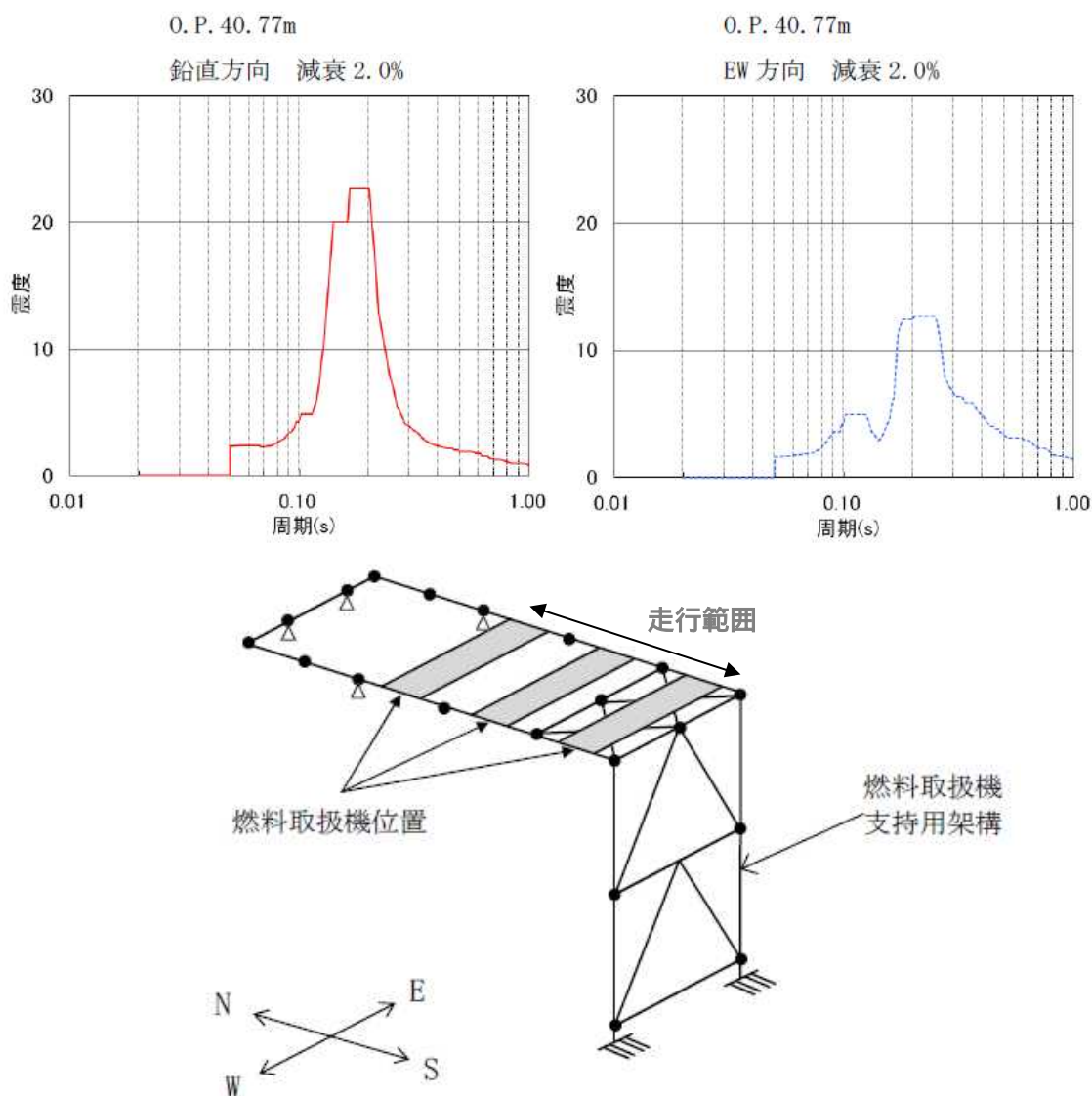


図 2.2-1 床応答スペクトル

## 2) 地震応答解析モデル

燃料取扱機地震応答解析モデルを図 2.2-2 に示す。

解析モデルはビームでモデル化しており、ブリッジ脱線防止ラグ下端が架構側との取り合い点であり、脱線防止ラグにより浮上りを押さえる構造としているため、そこを拘束点とする。

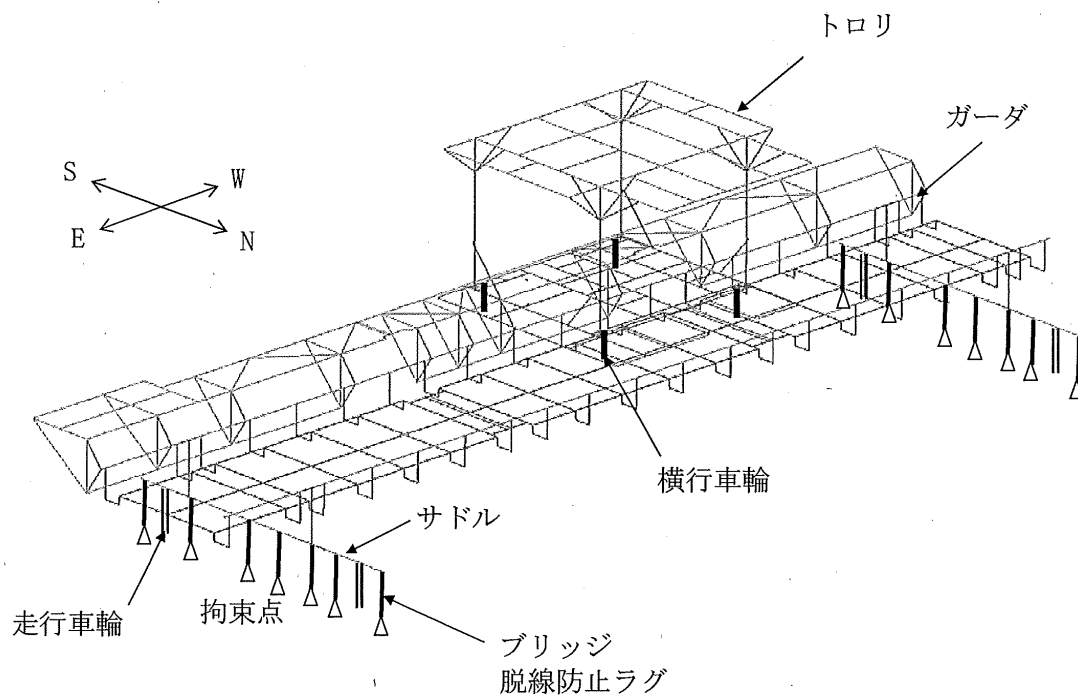


図 2.2-2 地震応答解析モデル



3) 設計震度

- ・死荷重は鉛直下向きに 1G とする。
- ・地震荷重は，図 2.2-1 に示す床応答スペクトルを入力する。ただし，レールと車輪の走行方向のすべりを考慮し，ブリッジの NS 方向及びトロリの NS，EW 方向については，2.1.2 項で述べた最大静止摩擦係数より求めた値を水平方向設計震度とする。

|      |      |       | 固有周期 (s) | 設計震度 |
|------|------|-------|----------|------|
| 水平方向 | ブリッジ | NS 方向 | -        | 0.15 |
|      |      | EW 方向 | 0.034    | 1.76 |
|      | トロリ  | NS 方向 | -        | 0.15 |
|      |      | EW 方向 | -        | 0.15 |
| 鉛直方向 |      |       | 0.065    | 2.34 |

注記 : 最大静止摩擦係数より求めた水平方向設計震度

#### 4) 地震応答解析結果

燃料取扱機地震応答解析結果を図 2.2-3 に示す。

これは死荷重、水平地震及び鉛直地震の荷重を加算して、各部材毎に応力を求めて表示したものである。

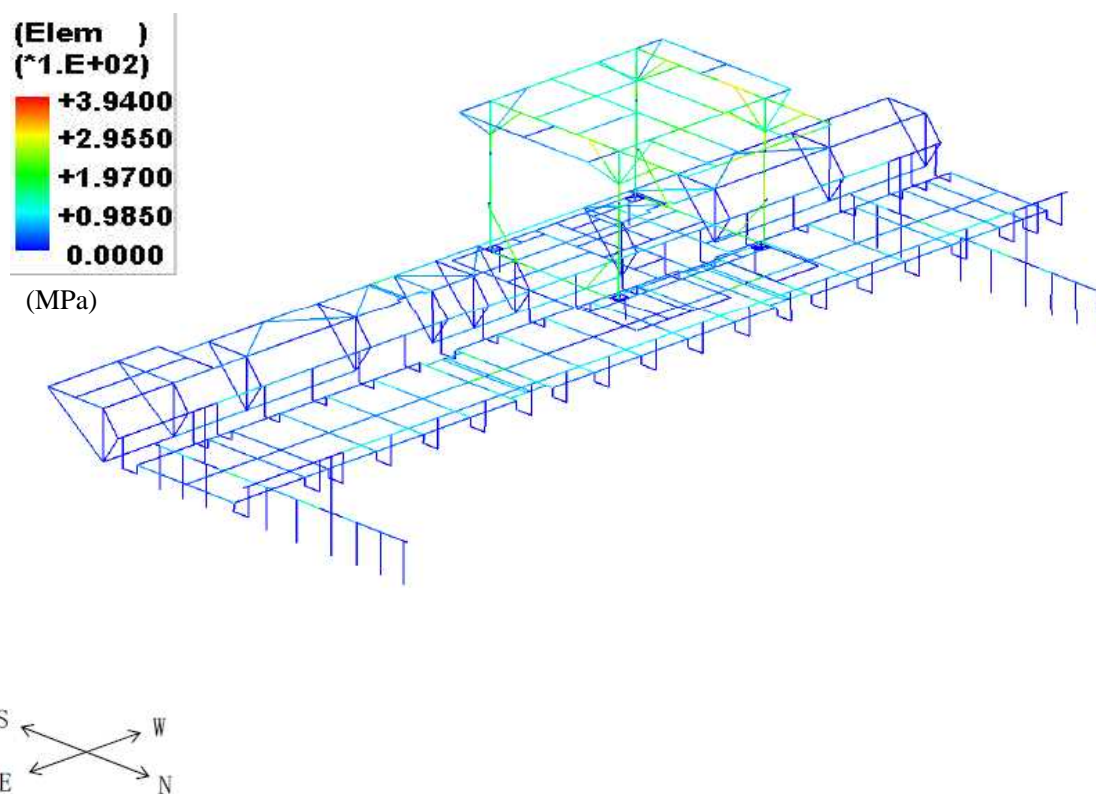


図 2.2-3 地震応答解析結果

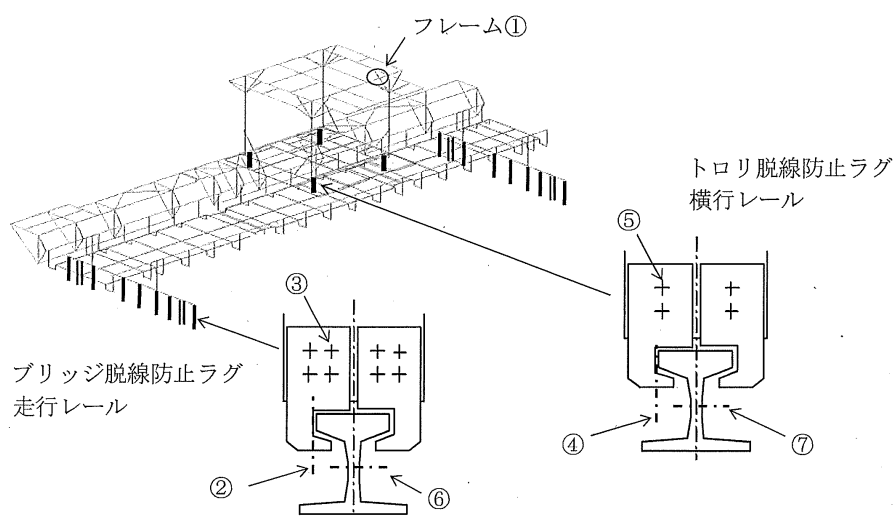
(3) 燃料取扱機の構造強度評価結果

燃料取扱機の応力評価結果を表 2.2-2 に示す。算出応力は許容応力以下であるので、燃料取扱機は基準地震動  $S_s$  に対して落下に至らないことを確認した。

表 2.2-2 応力評価結果纏め

(単位：MPa)

| 部位                 | 使用材料                 | 応力の種類 | 算出応力 | 許容応力 |
|--------------------|----------------------|-------|------|------|
| 燃料取扱機構造物<br>フレーム   | SS400<br>STKR400     | 曲げ    | 316  | 394  |
|                    |                      | せん断   | 13   | 227  |
|                    |                      | 組合せ   | 316  | 394  |
| ブリッジ<br>脱線防止<br>ラグ | SS400                | 曲げ    | 125  | 394  |
|                    |                      | せん断   | 38   | 227  |
|                    |                      | 組合せ   | 140  | 394  |
| 取付ボルト              | SCM435               | せん断   | 66   | 523  |
| トロリ<br>脱線防止<br>ラグ  | SS400                | 曲げ    | 90   | 394  |
|                    |                      | せん断   | 35   | 227  |
|                    |                      | 組合せ   | 107  | 394  |
| 取付ボルト              | SCM435               | せん断   | 139  | 523  |
| 走行レール              | レール鋼<br>(CR 73K-DHH) | 曲げ    | 531  | 1080 |
|                    |                      | せん断   | 42   | 623  |
|                    |                      | 組合せ   | 535  | 1080 |
| 横行レール              | レール鋼<br>(1類 AR 30A)  | 曲げ    | 568  | 690  |
|                    |                      | せん断   | 24   | 398  |
|                    |                      | 組合せ   | 569  | 690  |



## 2.3. クレーンの構造強度及び耐震性について

### (1) 検討方針

クレーンについて、地震応答解析を実施し、応力評価を行う。

#### 1) 使用材料及び許容応力

クレーンの物性値及び許容応力を表 2.3-1 に示す。温度は運転エリアの最高温度（40℃）に余裕を見込んだ 50℃ とする。落下防止の観点から、曲げと組合せは設計引張強さ  $S_u$  を許容応力とする。せん断応力は JEAG4601・補-1984 に従い引張応力から換算して、設計引張強さ  $S_u$  を 1/3 倍して用いる。

表 2.3-1 物性値及び許容応力

#### 材料定数

| 部位            | 使用材料   | 縦弾性係数<br>(MPa) | ポアソン比 | 温度<br>(℃) |
|---------------|--------|----------------|-------|-----------|
| クレーン本体<br>ガーダ | SM490A | 201,000        | 0.3   | 50        |

#### 許容応力

| 部位            |    | 使用材料   | 応力の種類 | 許容応力 (MPa) |
|---------------|----|--------|-------|------------|
| クレーン本体<br>ガーダ | 中央 | SM490A | 曲げ    | 480        |
|               | 端部 | SM490A | せん断   | 277        |
| 脱線防止ラゲ        |    | SS400  | 曲げ    | 394        |
|               |    |        | せん断   | 227        |
|               |    |        | 組合せ   | 394        |
| トロリストッパ       |    | SS400  | 曲げ    | 394        |
|               |    |        | せん断   | 227        |
|               |    |        | 組合せ   | 394        |

## 2) 荷重及び荷重組合せ

設計で考慮する荷重は死荷重及び地震荷重である。

死荷重は吊り荷を含むクレーン自身の質量による荷重である。

地震荷重は弾性設計用地震動  $S_d$  による荷重であり、水平 2 方向の地震荷重に鉛直方向地震荷重を加算する。具体的には次の通りである。

- ・ 死荷重 + 水平地震 (NS, EW 方向) + 鉛直地震

|             |             |
|-------------|-------------|
| クレーン本体ガード質量 | 170,000(kg) |
| トロリ質量       | 103,000(kg) |
| 吊り荷質量       | 100,000(kg) |

(2) クレーンの地震応答解析

解析は、地震応答解析モデルにより計算機コード「ABAQUS」を用いた直接積分法による時刻歴解析により行う

1) 解析に用いる入力地震動

クレーンの入力地震動は、弾性設計用地震動 Sd を入力した時のクレーン支持用架構の地震応答計算から得られる O.P.50.22m (添付資料 - 4 - 2 「燃料取り出し用カバーの構造強度及び耐震性に関する説明書」参照) の時刻歴加速度波を用いる。時刻歴加速度波形を図 2.3-1 に示す。なお、死荷重は鉛直下向きに 1G とする。

この時刻歴加速度波はクレーンの走行範囲で想定される時刻歴加速度波のうち、クレーンに対し最も影響を与えるものである。

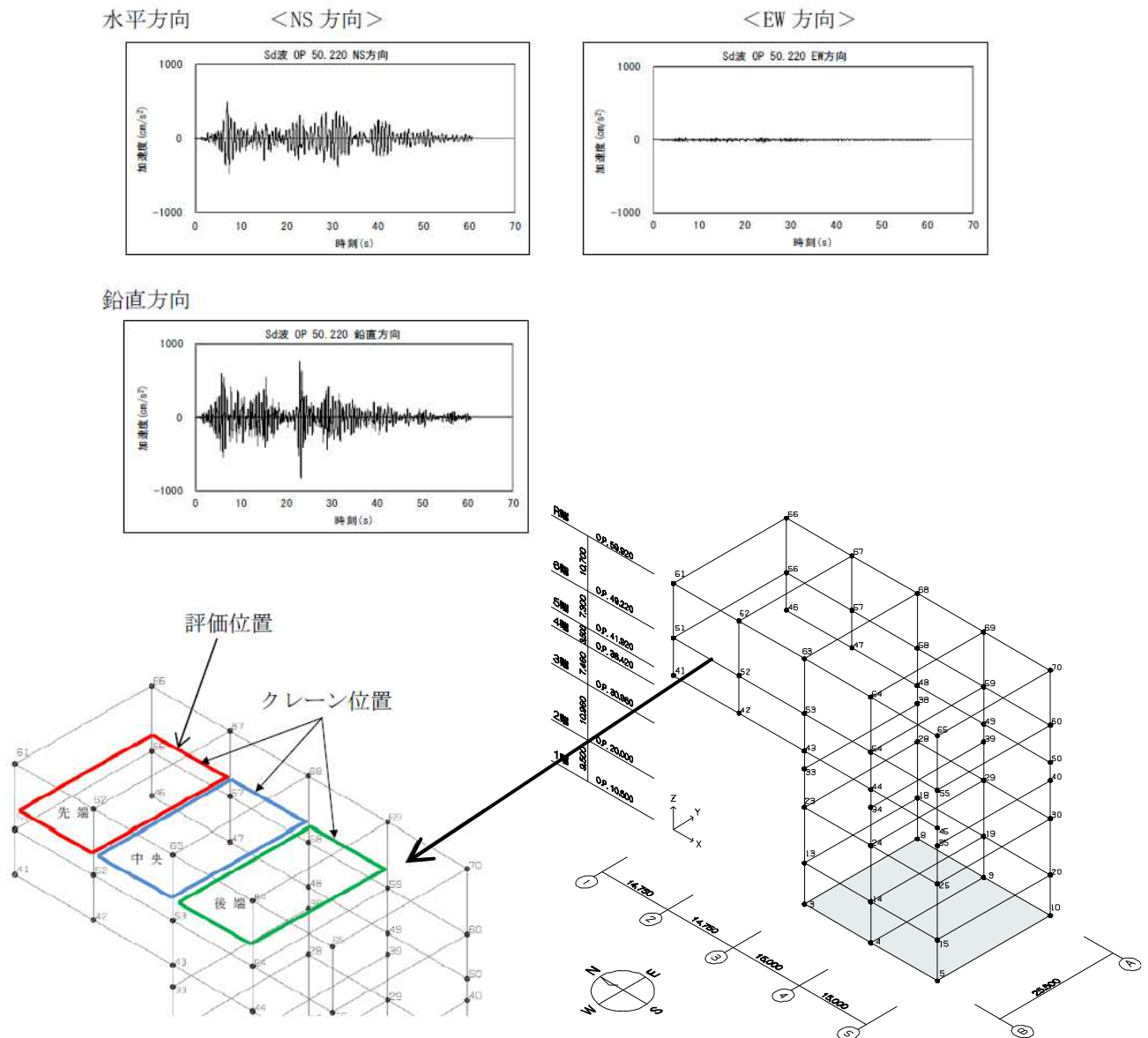


図 2.3-1 時刻歴加速度波形

## 2) 地震応答解析モデル

クレーンの地震応答解析モデルを図 2.3-2 に示す。

解析モデルは、ビーム及び非線形要素でモデル化しており、走行車輪部下端がクレーン支持用架構側との取り付け点であるため、それを拘束点とする。

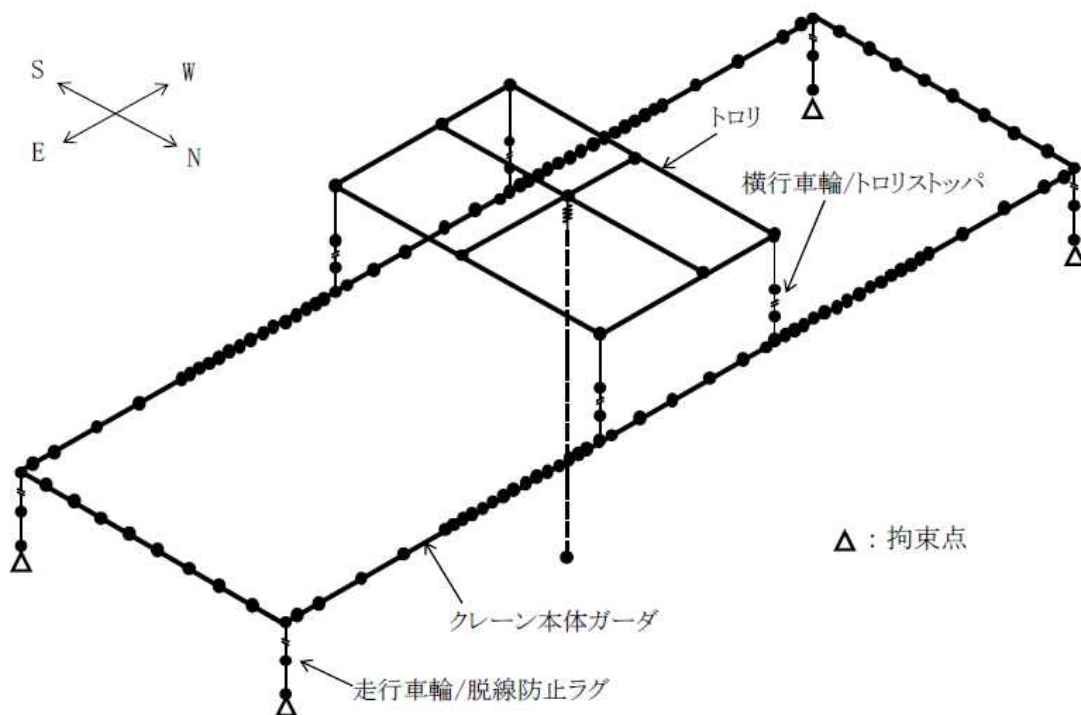


図 2.3-2 地震応答解析モデル

3) 設計地震

脱線防止ラグ及びトロリストッパの評価において、設計震度は以下とする。

|              | 固有周期 (s) | 設計震度  |
|--------------|----------|-------|
| 走行方向 (NS 方向) | -        | 0.075 |
| 横行方向 (EW 方向) | 0.020    | 0.89  |

注記 : 最大静止摩擦係数より求めた水平方向設計震度



#### 4) 地震動の入力方法の考え方

クレーンに入力される時刻歴波は、クレーン周囲のクレーン支持用架構の節部分からランウェイガーダ/走行レールを経由してクレーン車輪部に入力されることとなるが、クレーンの位置により時刻歴波が異なることから、クレーン重心位置に応じて平均化した時刻歴波を入力地震動とする。

5) 地震応答解析結果

クレーンの地震応答解析結果を表 2.3-2 に示す。

地震応答解析結果は時刻歴応答結果の最大値を用いる。

表 2.3-2 クレーンの地震応答解析結果

| 部位            |    | 荷重の種類             | 荷重の方向 | 荷重値                    |
|---------------|----|-------------------|-------|------------------------|
| クレーン本体<br>ガーダ | 中央 | 曲げモーメント<br>(N・mm) | 鉛直    | $1.707 \times 10^{10}$ |
|               |    |                   | 水平    | $8.429 \times 10^8$    |
|               | 端部 | せん断力(N)           | 鉛直    | $2.372 \times 10^6$    |
| 脱線防止ラグ        |    | 圧縮力(N)            | 鉛直    | $2.779 \times 10^5$    |
| トロリストッパ       |    |                   | 鉛直    | $1.877 \times 10^5$    |

注：絶対値にて表示している。

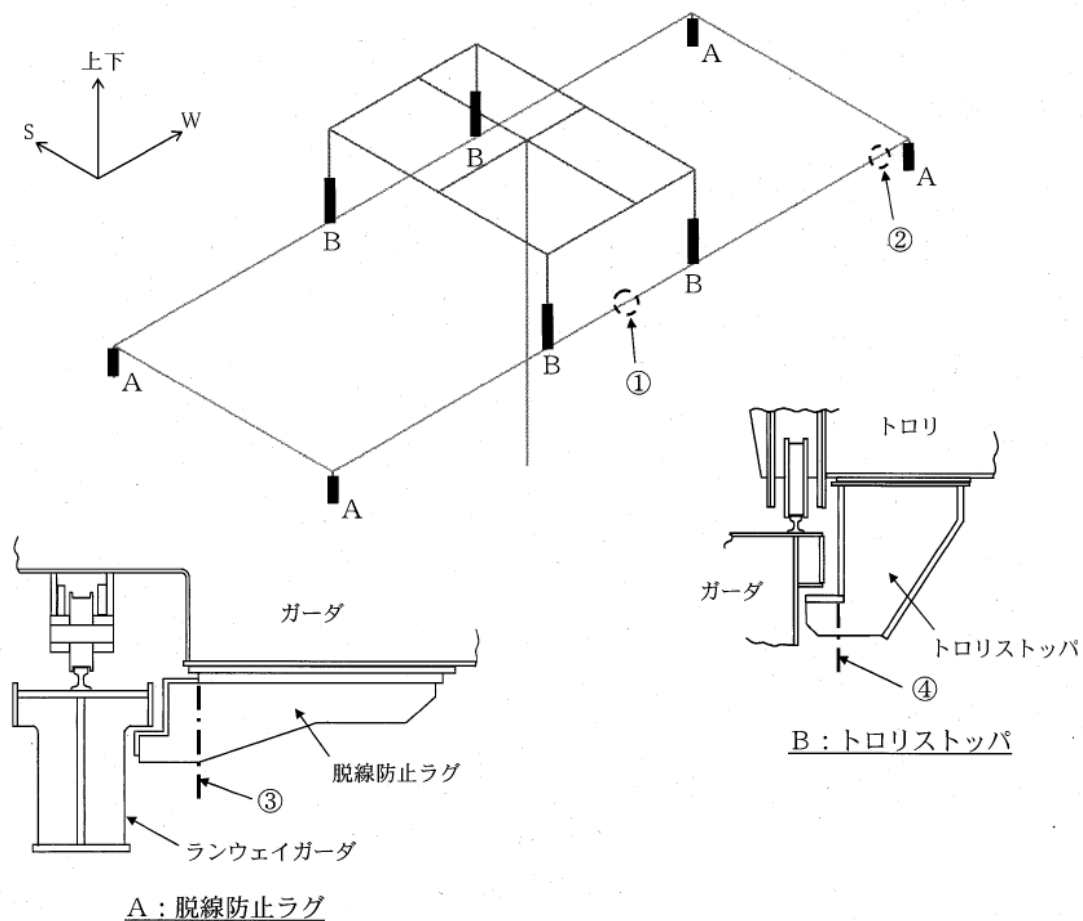
(3) クレーンの構造強度評価結果

クレーンの構造強度評価結果を表 2.3-3 に示す。算出応力は許容応力以下であるので、クレーンは弾性設計用地震動 Sd に対して落下に至らないことを確認した。

表 2.3-3 応力評価結果纏め

(単位：MPa)

| 部位            |    | 使用材料   | 応力の種類 | 算出応力 | 許容応力 |
|---------------|----|--------|-------|------|------|
| クレーン本体<br>ガーダ | 中央 | SM490A | 曲げ    | 140  | 480  |
|               | 端部 | SM490A | せん断   | 60   | 277  |
| 脱線防止ラグ        |    | SS400  | 曲げ    | 87   | 394  |
|               |    |        | せん断   | 12   | 227  |
|               |    |        | 組合せ   | 89   | 394  |
| トロリストッパ       |    | SS400  | 曲げ    | 30   | 394  |
|               |    |        | せん断   | 9    | 227  |
|               |    |        | 組合せ   | 34   | 394  |



### 3. 3号機燃料取扱設備の構造強度及び耐震性について

#### 3.1. 概要

##### 3.1.1. 一般事項

3号機燃料取扱設備は、燃料取扱機とクレーンを有し、それぞれについて構造強度及び耐震性について検討を行う。燃料取扱設備は使用済燃料プールを覆う燃料取り出し用カバーに設置される。燃料取扱機とクレーンの耐震設計上の重要度分類は、Bクラス相当とする。

燃料取扱機の構造強度及び耐震性は、検討に用いる地震動として基準地震動  $S_s$  に対する地震応答解析を実施し、燃料取扱機が使用済燃料プール及び使用済燃料ラックに波及的影響を及ぼさないことを確認する。ここで、波及的影響の確認は燃料取扱機が転倒・落下に至らないことを確認する。

クレーンの構造強度及び耐震性は、検討に用いる地震動として弾性設計用地震動  $S_d$  に対する地震応答解析を実施し、クレーンが使用済燃料プール及び使用済燃料ラックに波及的影響を及ぼさないことを確認する。ここで、波及的影響の確認は、クレーンが転倒・落下に至らないことを確認する。

弾性設計用地震動  $S_d$  は、基準地震動  $S_s$  の  $1/2$  として評価する。

なお、キャスクの縦揺れについては、キャスクの荷重に対して、クレーンのワイヤが切断しない（キャスクが落下しない）ことを確認している。また、キャスクの横揺れについては、クレーンの水平方向固有周期と比較し、ワイヤロープで吊り下げられたキャスクの固有周期は十分に長いことから、クレーン自体の振動には影響されないことを確認している。

燃料取扱設備の検討は、下記に準拠して行う。

- (1) 原子力発電所耐震設計技術指針 (JEAG 4601・補-1984)
- (2) 原子力発電所耐震設計技術規程 (JEAC 4601-2008)
- (3) 発電用原子力設備規格 設計・建設規格 (JSME S NC1-2005)
- (4) 発電用原子力設備規格 設計・建設規格 (2007年追補版) (JSME S NC1-2007)

### 3.1.2. 燃料取扱機

燃料取扱機は、門型架構（添付資料 - 4 - 2 「燃料取り出し用カバーの構造強度及び耐震性に関する説明書」参照）に設置されるもので、南北方向を長手方向としてブリッジが配置され、東西方向に走行する。このブリッジ上にトロリが設置され、南北方向に走行する。燃料取扱機フレームは、ブリッジ、テンシルトラストロリで構成される。燃料取扱機の概要を図 3.1.2-1 に示す。

ブリッジは、走行レール上に乗っているので地震時、走行方向に対しては、最大静止摩擦力以上の水平力が加わった場合すべりを生じる。

テンシルトラストロリは、横行レール上に乗っているので地震時、横行方向に対しては、最大静止摩擦力以上の水平力が加わった場合すべりを生じる。

ブリッジ及びトロリの車輪は各々4個であり、そのうち摩擦を受ける駆動輪は、ブリッジは2個、トロリは4個であり、駆動輪で水平力を受ける。

ゆえに、最大静止摩擦係数を $\mu = 0.3$  とすれば、ブリッジ水平力は鉛直方向荷重  $\times \mu \times 2/4 =$  鉛直方向荷重  $\times 0.15$  であるが、保守的に鉛直方向荷重  $\times 0.3$  とする。

ブリッジは、走行方向に水平直角な方向に対して、ガイドフレームによって荷重を支持され、鉛直上向き方向に対して、脱線防止ラグによって支持される。

トロリは、走行方向に水平直角及び鉛直上向きな方向に対しては、脱線防止ラグによって荷重を支持する。

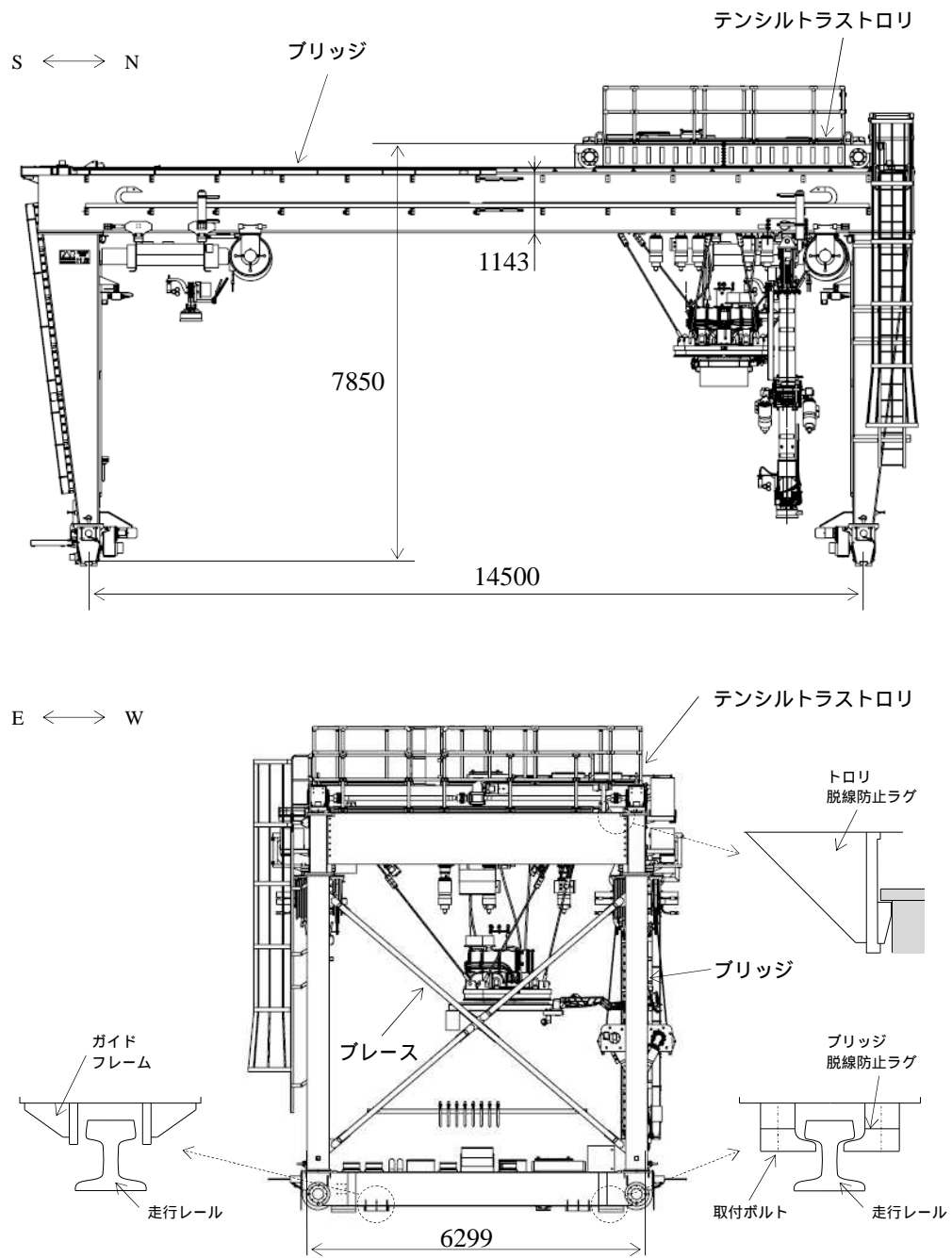


図 3.1.2-1 燃料取扱機の概要

### 3.1.3. クレーン

クレーンは、門型架構（添付資料 - 4 - 2 「燃料取り出し用カバーの構造強度及び耐震性に関する説明書」参照）に設置されるもので、南北方向を長手方向としてブリッジが配置され、東西方向に走行する。このブリッジ上にトロリが設置され、南北方向に走行する。クレーンは、ブリッジ、トロリで構成される。クレーンの概要を図 3.1.3-1 に示す。

ブリッジは、走行レール上に乗っているので地震時、走行方向に対しては、最大静止摩擦力以上の水平力が加わった場合すべりを生じる。

トロリは、横行レール上に乗っているので地震時、横行方向に対しては、最大静止摩擦力以上の水平力が加わった場合すべりを生じる。

ブリッジ及びトロリの車輪は各々4個であり、そのうち摩擦を受ける駆動輪は、ブリッジ、トロリ共に各々2個であり、駆動輪で水平力を受ける。

ゆえに、最大静止摩擦係数を $\mu = 0.3$  とすれば、水平力は鉛直方向荷重  $\times \mu \times 2/4 =$  鉛直方向荷重  $\times 0.15$  であるが、保守的に鉛直方向荷重  $\times 0.3$  とする。

ブリッジは、走行方向に水平直角な方向に対して、ガイドフレームによって荷重を支持され、鉛直上向き方向に対して、脱線防止ラグによって支持される。

トロリは、走行方向に水平直角及び鉛直上向きな方向に対しては、脱線防止ラグによって荷重を支持する。

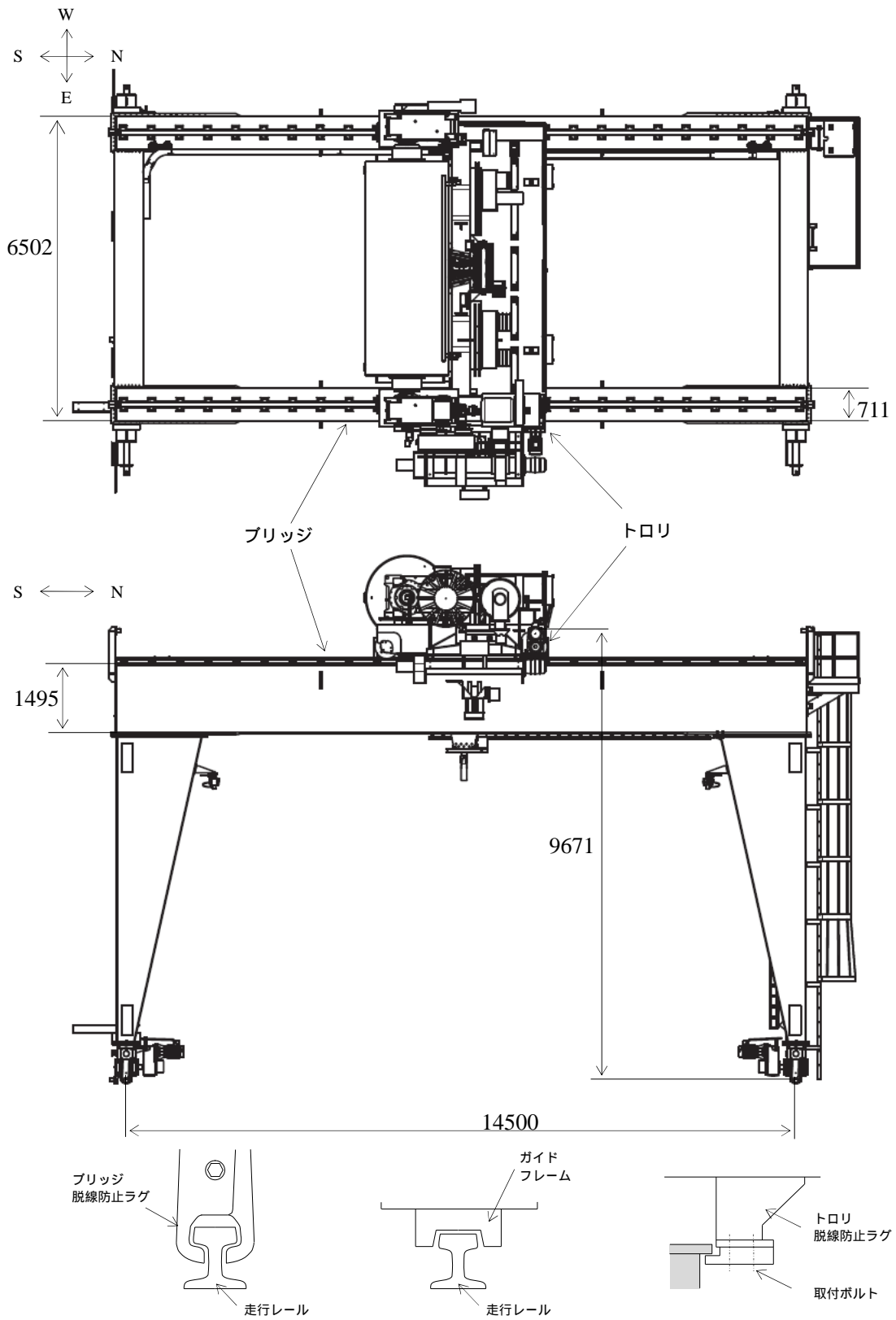


図 3.1.3-1 クレーンの概要



### 3.2. 燃料取扱機の構造強度及び耐震性について

#### (1) 検討方針

燃料取扱機について、地震応答解析を実施し、応力評価を行う。

##### 1) 使用材料及び許容応力

燃料取扱機の物性値及び許容応力を表 3.2-1 に示す。温度は運転エリアの最高温度（40 ）に余裕を見込んだ 50 とする。曲げ、組合せ、せん断の許容応力は、JEAC 4601-2008 に従い用いる。

表 3.2-1 物性値及び許容応力

材料定数

| 部位               | 使用材料           | 縦弾性係数<br>(MPa) | ポアソン比 | 温度<br>( ) |
|------------------|----------------|----------------|-------|-----------|
| 燃料取扱機構造物<br>フレーム | ASTM A572 GR50 | 201,000        | 0.3   | 50        |
|                  | ASTM A500 GR B | 201,000        | 0.3   | 50        |

許容応力

| 部位                  | 使用材料                | 応力の種類 | 許容応力 (MPa) |
|---------------------|---------------------|-------|------------|
| 燃料取扱機構造物<br>フレーム    | ASTM A572 GR50      | 曲げ    | 315        |
|                     |                     | せん断   | 181        |
|                     |                     | 組合せ   | 315        |
|                     | ASTM A500 GR B      | 曲げ    | 280        |
|                     |                     | せん断   | 161        |
|                     |                     | 組合せ   | 280        |
| ブリッジ<br>脱線防止ラゲ      | ASTM A514 GR H      | 曲げ    | 483        |
|                     |                     | せん断   | 278        |
|                     |                     | 組合せ   | 483        |
| ブリッジ脱線防止ラゲ<br>取付ボルト | ISO898-1 8.8        | 引張    | 420        |
| ガイドフレーム             | ASTM A572 GR50      | 曲げ    | 315        |
|                     |                     | せん断   | 181        |
|                     |                     | 組合せ   | 315        |
| トロリ<br>脱線防止ラゲ       | ASTM A572 GR50      | 曲げ    | 315        |
|                     |                     | せん断   | 181        |
|                     |                     | 引張    | 315        |
|                     |                     | 組合せ   | 315        |
| 走行レール               | レール鋼<br>(ASTM A759) | 曲げ    | 537        |
|                     |                     | せん断   | 310        |
|                     |                     | 組合せ   | 537        |

## 2) 荷重及び荷重組合せ

設計で考慮する荷重は死荷重及び地震荷重である。

死荷重は吊り荷を含む燃料取扱機自身の質量による荷重である。

地震荷重は基準地震動  $S_s$  による荷重であり，水平 2 方向それぞれの地震荷重に鉛直方向地震荷重を二乗和平方根 (SRSS) 法で組み合わせる。具体的には次の通りである。

$$\bullet \quad ((\text{水平地震(NS 方向)})^2 + (\text{水平地震(EW 方向)})^2 + (\text{鉛直地震})^2)^{1/2}$$

|                 |            |
|-----------------|------------|
| ブリッジ質量          | 43,000(kg) |
| テンシルトラストロリ質量 1  | 26,300(kg) |
| マストトロリ質量        | 3,500(kg)  |
| 西側補助ホイストトロリ質量 2 | 6,650(kg)  |
| 東側補助ホイストトロリ質量 2 | 6,650(kg)  |

1 : 吊り荷質量 ( 1,500(kg) ) 含む

2 : 吊り荷質量 ( 4,900(kg) ) 含む。但し，評価は 5,000kg で行った。

## (2) 燃料取扱機の地震応答解析

解析は、地震応答解析モデルにより計算機コード「NX Nastran」を用いた直接積分法による時刻歴解析により行う。

### 1) 解析に用いる入力地震動

燃料取扱機の入力地震動は、基準地震動  $S_s$  を入力した時の門型架構地震応答計算から得られる O.P.46m (添付資料 - 4 - 2 「燃料取り出し用カバーの構造強度及び耐震性に関する説明書」参照) の時刻歴加速度波を用いる。時刻歴加速度波は燃料取扱機、クレーンの門型架構上の位置 (添付資料 - 4 - 2 「燃料取り出し用カバーの構造強度及び耐震性に関する説明書」図 3.2-1 参照) によって異なるため、時刻歴加速度波の各床応答スペクトルの内、燃料取扱機の固有周期で最も大きな値をとる床応答スペクトルの時刻歴加速度波を用いる。

門型架構上での燃料取扱機の位置を表 3.2-2、時刻歴加速度波形を図 3.2-1、図 3.2-2 に示す。なお、死荷重は鉛直下向きに 1G とする。

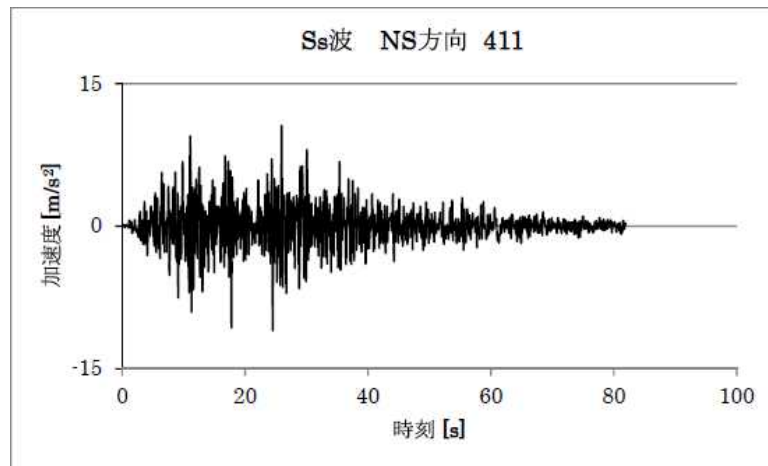
この時刻歴加速度波は燃料取扱機の走行範囲で想定される時刻歴加速度波のうち、燃料取扱機に対し最も影響を与えるものである。

表 3.2-2 門型架構上での燃料取扱機の位置  
トロリがブリッジの中央にある場合の解析ケース

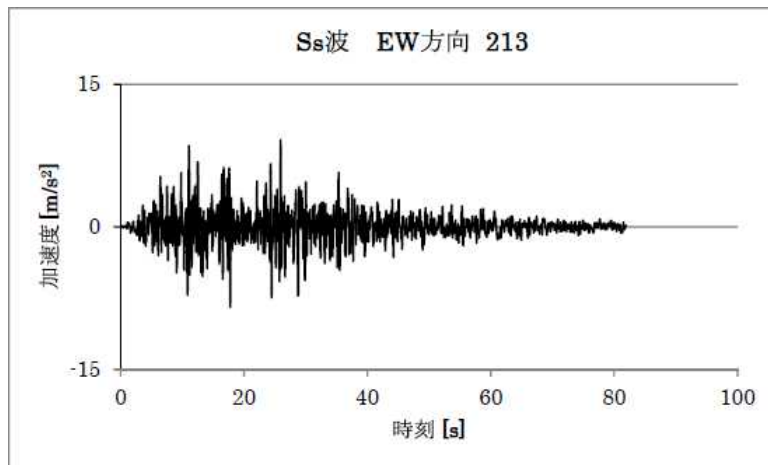
| 時刻歴加速度波 | 門型架構上での<br>燃料取扱機の位置 |
|---------|---------------------|
| N S 方向  | 中央                  |
| E W 方向  | 東端                  |
| U D 方向  | 東端                  |

トロリがブリッジの端部にある場合の解析ケース

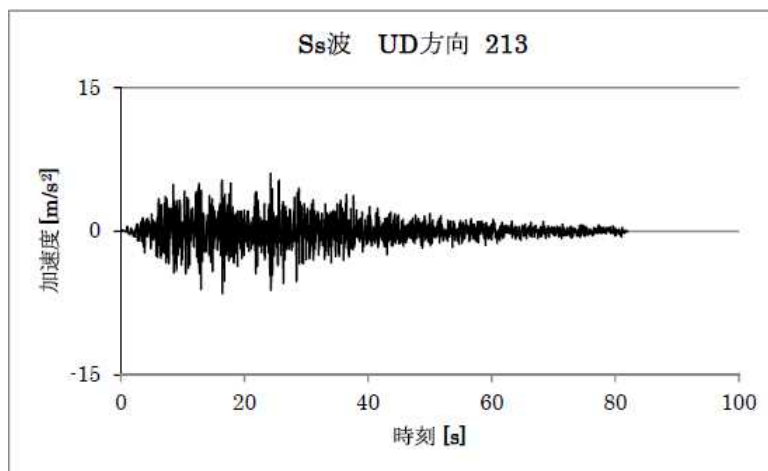
| 時刻歴加速度波 | 門型架構上での<br>燃料取扱機の位置 |
|---------|---------------------|
| N S 方向  | 中央                  |
| E W 方向  | 中央                  |
| U D 方向  | 中央                  |



水平方向 <NS 方向>

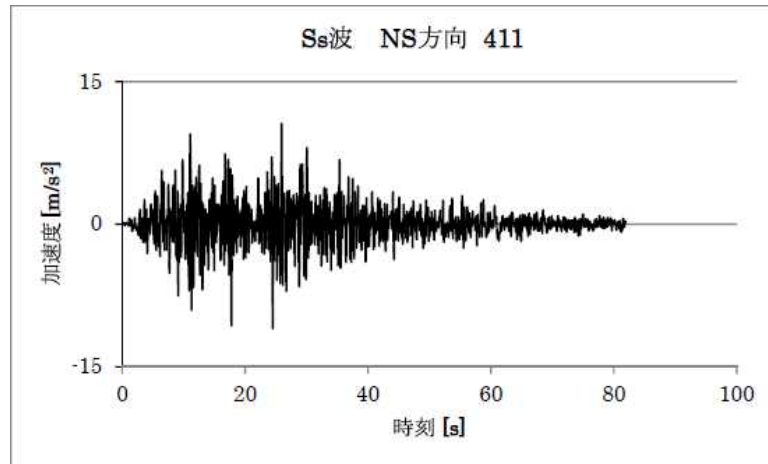


水平方向 <EW 方向>

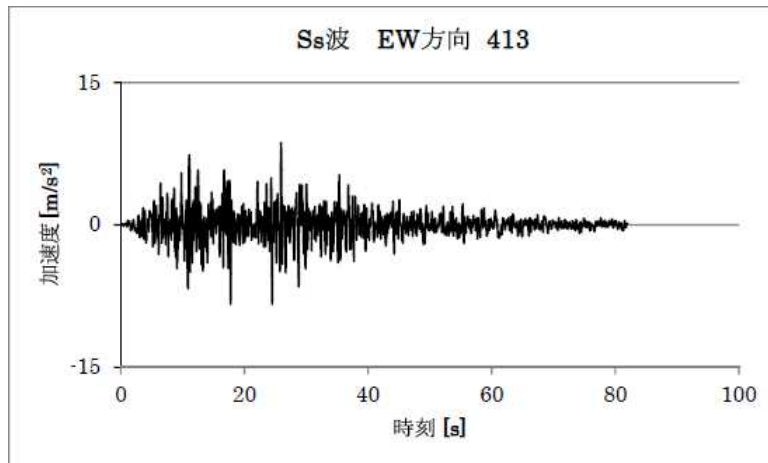


鉛直方向

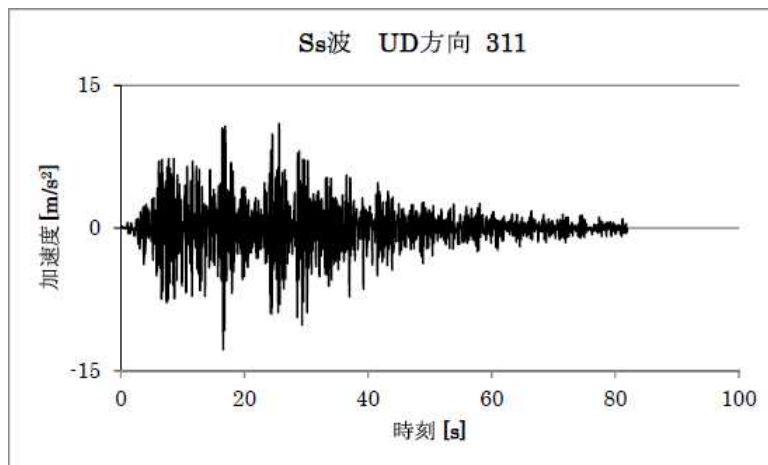
図 3.2-1 トロリがブリッジの中央にある場合の時刻歴加速度波形



水平方向 <NS 方向>



水平方向 <EW 方向>



鉛直方向

図 3.2-2 トロリがブリッジの端部にある場合の時刻歴加速度波形

## 2) 地震応答解析モデル

燃料取扱機地震応答解析モデルを図 3.2-3 に示す。

解析モデルは、ビーム、非線形要素及びシェルでモデル化しており、走行車輪部下端が門型架構側との取り付け点であるため、それを拘束点とする。

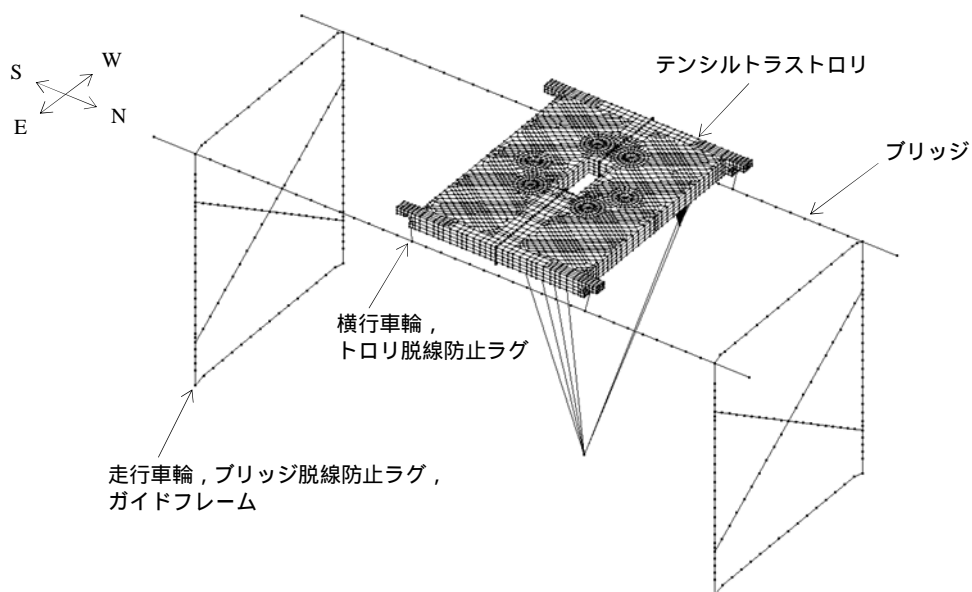


図 3.2-3 地震応答解析モデル

3) 地震応答解析結果

燃料取扱機の地震応答解析結果を表 3.2-3 に示す。

地震応答解析結果は時刻歴応答結果の最大値を用いる。

表 3.2-3 燃料取扱機の地震応答解析結果

| 部位           |             | 荷重の種類         | 荷重の方向 | 荷重値                 |
|--------------|-------------|---------------|-------|---------------------|
| 燃料取扱機<br>構造物 | 脚部          | 曲げモーメント(N・mm) | 水平    | $2.064 \times 10^9$ |
|              | ブリッジ<br>ガーダ | せん断力(N)       | 水平    | $7.301 \times 10^4$ |
|              |             |               | 鉛直    | $5.478 \times 10^5$ |
| ブリッジ脱線防止ラグ   |             | 圧縮力(N)        | 鉛直    | $1.669 \times 10^5$ |
| ガイドフレーム      |             | 圧縮力(N)        | 水平    | $3.394 \times 10^5$ |
| トロリ脱線防止ラグ    |             | 圧縮力(N)        | 水平    | $1.110 \times 10^5$ |
|              |             | 圧縮力(N)        | 鉛直    | $1.317 \times 10^5$ |
| 走行レール        |             | 圧縮力(N)        | 水平    | $3.394 \times 10^5$ |

注：絶対値にて表示している。



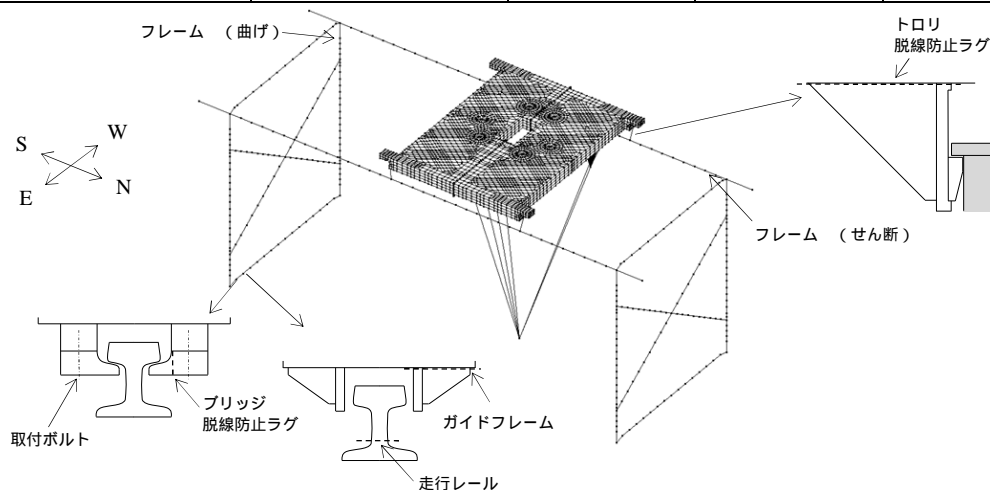
(3) 燃料取扱機の構造強度評価結果

燃料取扱機の応力評価結果を表 3.2-4 に示す。算出応力は許容応力以下であるので、燃料取扱機は基準地震動  $S_s$  に対して転倒・落下に至らないことを確認した。

表 3.2-4 応力評価結果纏め

(単位：MPa)

| 部位                  | 使用材料                | 応力の種類 | 算出応力 | 許容応力 |
|---------------------|---------------------|-------|------|------|
| 燃料取扱機構造物<br>フレーム    | ASTM A572 GR50      | 曲げ    | 140  | 315  |
|                     |                     | せん断   | 41   | 181  |
|                     |                     | 組合せ   | 153  | 315  |
| ブリッジ<br>脱線防止ラグ      | ASTM A514 GR H      | 曲げ    | 41   | 483  |
|                     |                     | せん断   | 8    | 278  |
|                     |                     | 組合せ   | 44   | 483  |
| ブリッジ脱線防止ラグ<br>取付ボルト | ISO898-1 8.8        | 引張    | 222  | 420  |
| ガイドフレーム             | ASTM A572 GR50      | 曲げ    | 170  | 315  |
|                     |                     | せん断   | 27   | 181  |
|                     |                     | 組合せ   | 177  | 315  |
| 引張トロリ<br>脱線防止ラグ     | ASTM A572 GR50      | 曲げ    | 16   | 315  |
|                     |                     | せん断   | 5    | 181  |
|                     |                     | 引張    | 6    | 315  |
|                     |                     | 組合せ   | 24   | 315  |
| 走行レール               | レール鋼<br>(ASTM A759) | 曲げ    | 305  | 537  |
|                     |                     | せん断   | 14   | 310  |
|                     |                     | 組合せ   | 306  | 537  |



### 3.3. クレーンの構造強度及び耐震性について

#### (1) 検討方針

クレーンについて、地震応答解析を実施し、応力評価を行う。

#### 1) 使用材料及び許容応力

クレーンの物性値及び許容応力を表 3.3-1 に示す。温度は運転エリアの最高温度（40）に余裕を見込んだ 50 とする。曲げ，組合せ，せん断の許容応力は，JEAC 4601-2008 に従い用いる。

表 3.3-1 物性値及び許容応力

#### 材料定数

| 部位              | 使用材料           | 縦弾性係数<br>(MPa) | ポアソン比 | 温度<br>( ) |
|-----------------|----------------|----------------|-------|-----------|
| クレーン構造物<br>フレーム | ASTM A572 GR50 | 201,000        | 0.3   | 50        |
|                 | ASTM A500 GR C | 201,000        | 0.3   | 50        |

#### 許容応力

| 部位                 | 使用材料                | 応力の種類 | 許容応力 (MPa) |
|--------------------|---------------------|-------|------------|
| クレーン構造物<br>フレーム    | ASTM A572 GR50      | 曲げ    | 315        |
|                    |                     | せん断   | 181        |
|                    |                     | 組合せ   | 315        |
|                    | ASTM A500 GR C      | 曲げ    | 297        |
|                    |                     | せん断   | 171        |
|                    |                     | 組合せ   | 297        |
| ガイドフレーム            | ASTM A572 GR50      | 曲げ    | 315        |
|                    |                     | せん断   | 181        |
|                    |                     | 組合せ   | 315        |
| トロリ<br>脱線防止ラグ      | ASTM A572 GR50      | 曲げ    | 315        |
|                    |                     | せん断   | 181        |
|                    |                     | 引張    | 315        |
|                    |                     | 組合せ   | 315        |
| トロリ脱線防止ラグ<br>取付ボルト | ASTM A325           | 引張    | 433        |
| 走行レール              | レール鋼<br>(ASTM A759) | 曲げ    | 537        |
|                    |                     | せん断   | 310        |
|                    |                     | 組合せ   | 537        |

## 2) 荷重及び荷重組合せ

設計で考慮する荷重は死荷重及び地震荷重である。

死荷重は吊り荷を含むクレーン自身の質量による荷重である。

地震荷重は弾性設計用地震動  $S_d$  による荷重であり，水平 2 方向それぞれの地震荷重に鉛直方向地震荷重を二乗和平方根（SRSS）法で組み合わせる。具体的には次の通りである。

$$\cdot ((\text{水平地震(NS 方向)})^2 + (\text{水平地震(EW 方向)})^2 + (\text{鉛直地震})^2)^{1/2}$$

|        |            |
|--------|------------|
| ブリッジ質量 | 54,600(kg) |
| トロリ質量  | 85,400(kg) |

吊り荷質量（50,000(kg)）含む

## (2) クレーンの地震応答解析

解析は、地震応答解析モデルにより計算機コード「NX Nastran」を用いた直接積分法による時刻歴解析により行う。

### 1) 解析に用いる入力地震動

クレーンの入力地震動は、弾性設計用地震動  $S_d$  を入力した時の門型架構地震応答計算から得られる O.P.46m (添付資料 - 4 - 2 「燃料取り出し用カバーの構造強度及び耐震性に関する説明書」参照) の時刻歴加速度波を用いる。時刻歴加速度波は燃料取扱機、クレーンの門型架構上の位置 (添付資料 - 4 - 2 「燃料取り出し用カバーの構造強度及び耐震性に関する説明書」図 3.2-1 参照) によって異なるため、時刻歴加速度波の各床応答スペクトルの内、クレーンの固有周期で最も大きな値をとる床応答スペクトルの時刻歴加速度波を用いる。

門型架構上でのクレーンの位置を表 3.3-2、時刻歴加速度波形を図 3.3-1、図 3.3-2 に示す。なお、死荷重は鉛直下向きに 1G とする。

この時刻歴加速度波はクレーンの走行範囲で想定される時刻歴加速度波のうち、クレーンに対し最も影響を与えるものである。

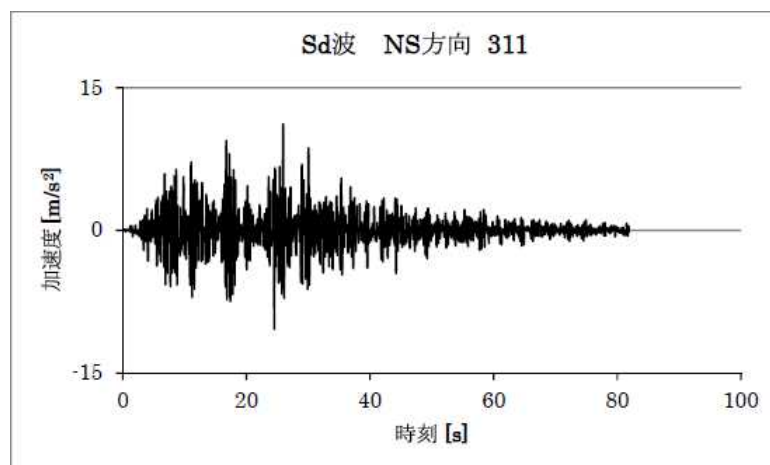
表 3.3-2 門型架構上でのクレーンの位置  
トロリがブリッジの中央にある場合の解析ケース

| 時刻歴加速度波 | 門型架構上でのクレーンの位置 |
|---------|----------------|
| N S 方向  | 西端             |
| E W 方向  | 西端             |
| U D 方向  | 西端             |

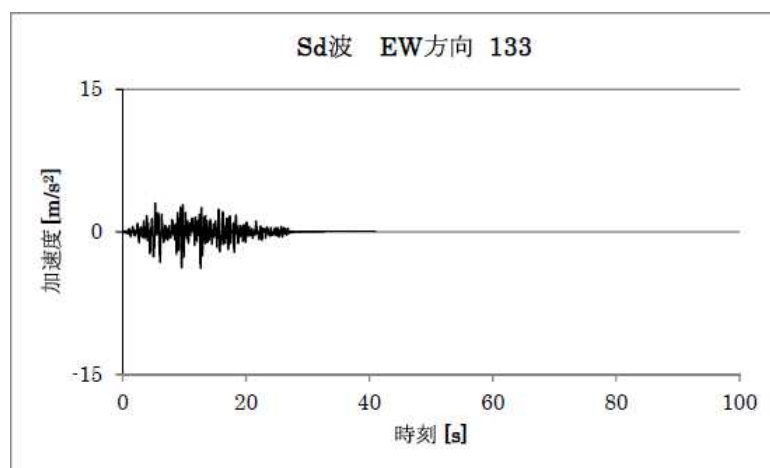
トロリがブリッジの端部 にある場合の解析ケース

| 時刻歴加速度波 | 門型架構上でのクレーンの位置 |
|---------|----------------|
| N S 方向  | 西端             |
| E W 方向  | 西端             |
| U D 方向  | 西端             |

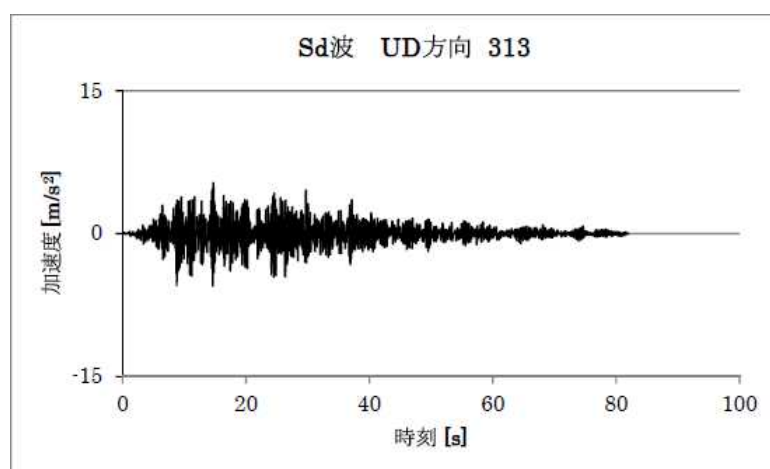
: 構内用輸送容器取扱モードの中でトロリが最も北側に位置する状態



水平方向 <NS 方向>

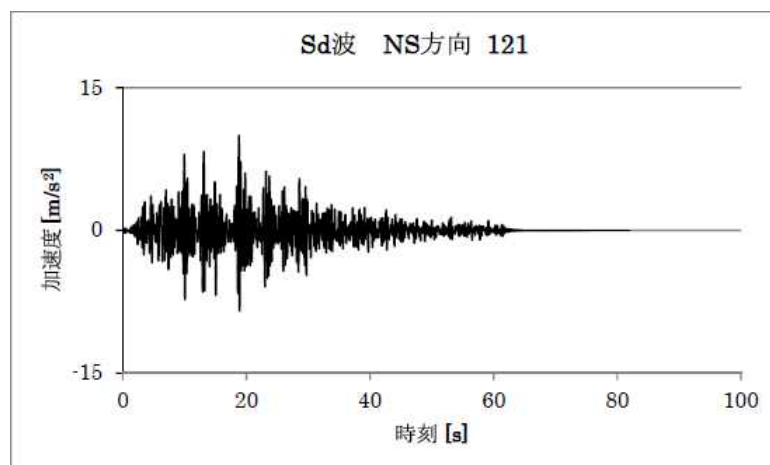


水平方向 <EW 方向>

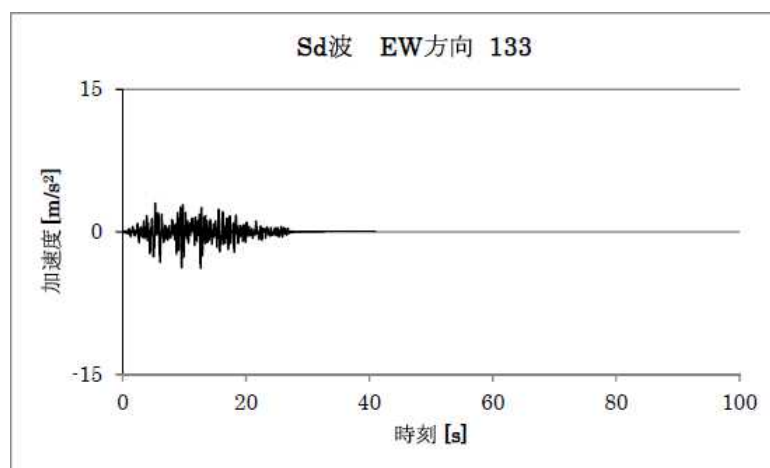


鉛直方向

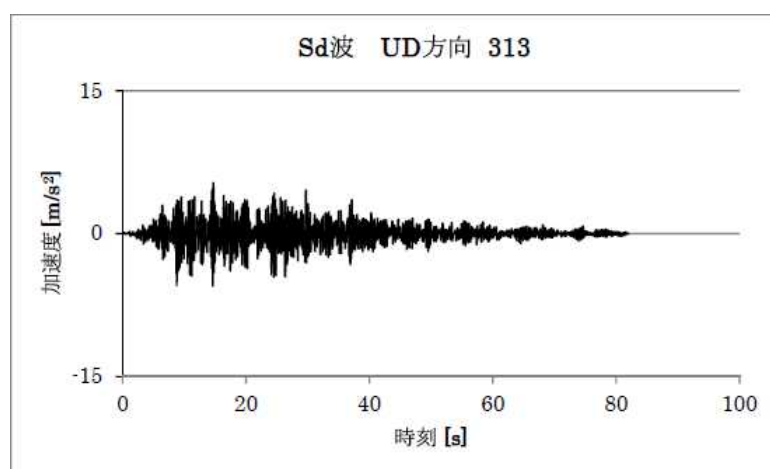
図 3.3-1 トロリが中央にある場合の時刻歴加速度波形



水平方向 < NS 方向 >



水平方向 < EW 方向 >



鉛直方向

図 3.3-2 トロリが中間位置にある場合の時刻歴加速度波形

## 2) 地震応答解析モデル

クレーンの地震応答解析モデルを図 3.3-3 に示す。

解析モデルは、ビーム及び非線形要素でモデル化しており、走行車輪部下端が門型架構側との取り合い点であるため、それを拘束点とする。

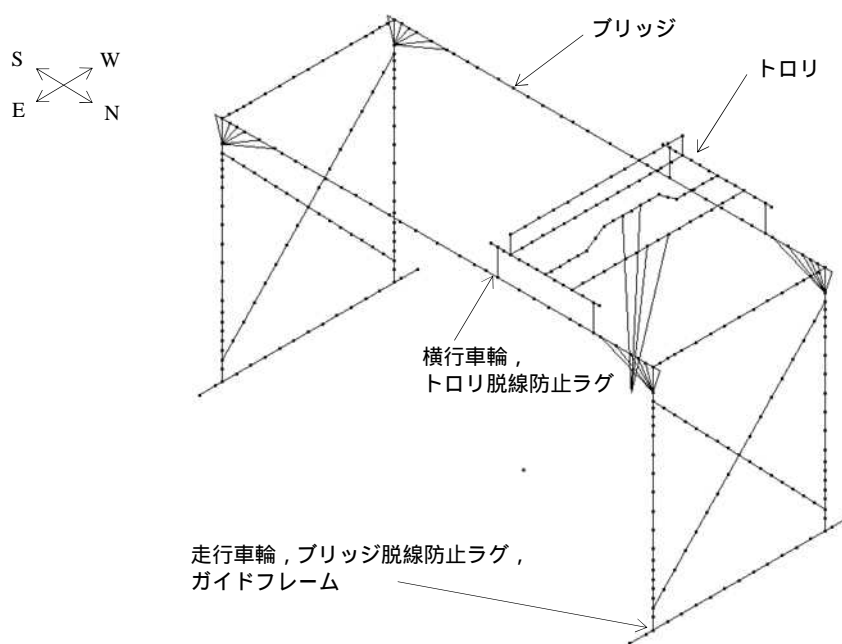


図 3.3-3 地震応答解析モデル

3) 地震応答解析結果

クレーンの地震応答解析結果を表 3.3-3 に示す。

地震応答解析結果は時刻歴応答結果の最大値を用いる。

表 3.3-3 クレーンの地震応答解析結果

| 部位          |     | 荷重の種類         | 荷重の方向 | 荷重値                 |
|-------------|-----|---------------|-------|---------------------|
| クレーン<br>構造物 | トロリ | 曲げモーメント(N・mm) | 水平    | $2.775 \times 10^7$ |
|             |     |               | 鉛直    | $1.157 \times 10^9$ |
|             |     | せん断力(N)       | 水平    | $2.585 \times 10^4$ |
|             |     |               | 鉛直    | $8.182 \times 10^5$ |
| ガイドフレーム     |     | 圧縮力(N)        | 水平    | $5.357 \times 10^5$ |
| トロリ脱線防止ラグ   |     | 圧縮力(N)        | 水平    | $1.977 \times 10^5$ |
|             |     |               | 鉛直    | $2.145 \times 10^5$ |
| 走行レール       |     | 圧縮力(N)        | 水平    | $5.357 \times 10^5$ |

注：絶対値にて表示している。



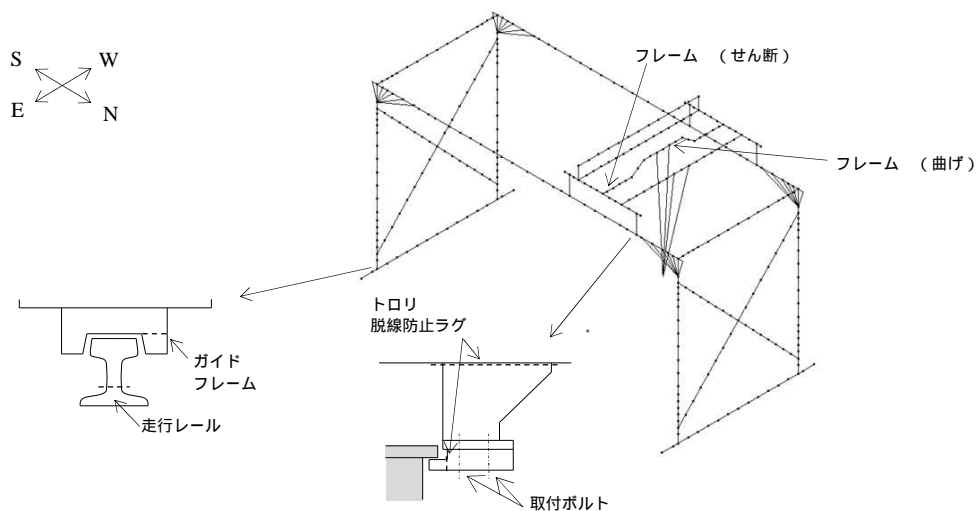
(3) クレーンの構造強度評価結果

クレーンの応力評価結果を表 3.3-4 に示す。算出応力は許容応力以下であるので、クレーンは弾性設計用地震動 Sd に対して転倒・落下に至らないことを確認した。

表 3.3-4 応力評価結果纏め

(単位：MPa)

| 部位                 | 使用材料                | 応力の種類 | 算出応力 | 許容応力 |
|--------------------|---------------------|-------|------|------|
| クレーン構造物<br>フレーム    | ASTM A572 GR50      | 曲げ    | 127  | 315  |
|                    |                     | せん断   | 113  | 181  |
|                    |                     | 組合せ   | 234  | 315  |
| ガイドフレーム            | ASTM A572 GR50      | 曲げ    | 93   | 315  |
|                    |                     | せん断   | 11   | 181  |
|                    |                     | 組合せ   | 95   | 315  |
| トロリ<br>脱線防止ラグ      | ASTM A572 GR50      | 曲げ    | 39   | 315  |
|                    |                     | せん断   | 14   | 181  |
|                    |                     | 引張    | 10   | 315  |
|                    |                     | 組合せ   | 52   | 315  |
| トロリ脱線防止ラグ<br>取付ボルト | ASTM A325           | 引張    | 131  | 433  |
| ブリッジ<br>脱線防止ラグ     | ASTM A572 GR50      |       |      |      |
| 走行レール              | レール鋼<br>(ASTM A759) | 曲げ    | 273  | 537  |
|                    |                     | せん断   | 12   | 310  |
|                    |                     | 組合せ   | 274  | 537  |



4. 別添

別添 - 1 4号機燃料取扱設備の耐震性に係る確認事項

別添 - 2 3号機燃料取扱設備の耐震性に係る確認事項

## 4号機燃料取扱設備の耐震性に係る確認事項

4号機燃料取扱設備の耐震性に係る主要な確認事項を表 - 1 及び表 - 2 に示す。

表 - 1 4号機燃料取扱設備の耐震性に係る確認事項（燃料取扱機）

| 確認事項     | 確認項目 |      | 確認内容                      | 判定基準                    |
|----------|------|------|---------------------------|-------------------------|
| 構造強度・耐震性 | 材料確認 |      | 実施計画に記載されている主要部材の材質を確認する。 | 実施計画通りの材料を使用していること。     |
|          | 構造確認 | 寸法確認 | 実施計画に記載されている主要寸法を確認する。    | 寸法が許容範囲内であること。          |
|          |      | 外観確認 | 組み立てた状態における外観を確認する。       | 有意な欠陥がないこと。             |
|          |      | 据付確認 | 組み立てた状態における据付状態を確認する。     | 実施計画の通りに施工・据付がなされていること。 |

表 - 2 4号機燃料取扱設備の耐震性に係る確認事項（クレーン）

| 確認事項     | 確認項目 |      | 確認内容                      | 判定基準                    |
|----------|------|------|---------------------------|-------------------------|
| 構造強度・耐震性 | 材料確認 |      | 実施計画に記載されている主要部材の材質を確認する。 | 実施計画通りの材料を使用していること。     |
|          | 構造確認 | 寸法確認 | 実施計画に記載されている主要寸法を確認する。    | 寸法が許容範囲内であること。          |
|          |      | 外観確認 | 組み立てた状態における外観を確認する。       | 有意な欠陥がないこと。             |
|          |      | 据付確認 | 組み立てた状態における据付状態を確認する。     | 実施計画の通りに施工・据付がなされていること。 |

## 3号機燃料取扱設備の耐震性に係る確認事項

3号機燃料取扱設備の耐震性に係る主要な確認事項を表 - 1 及び表 - 2 に示す。

表 - 1 3号機燃料取扱設備の耐震性に係る確認事項（燃料取扱機）

| 確認事項         | 確認項目 | 確認内容                      | 判定基準                   |                         |
|--------------|------|---------------------------|------------------------|-------------------------|
| 構造強度・<br>耐震性 | 材料確認 | 実施計画に記載されている主要部材の材質を確認する。 | 実施計画通りの材料を使用していること。    |                         |
|              | 構造確認 | 寸法確認                      | 実施計画に記載されている主要寸法を確認する。 | 寸法が許容範囲内であること。          |
|              |      | 外観確認                      | 組み立てた状態における外観を確認する。    | 有意な欠陥がないこと。             |
|              |      | 据付確認                      | 組み立てた状態における据付状態を確認する。  | 実施計画の通りに施工・据付がなされていること。 |

表 - 2 3号機燃料取扱設備の耐震性に係る確認事項（クレーン）

| 確認事項         | 確認項目 | 確認内容                      | 判定基準                   |                         |
|--------------|------|---------------------------|------------------------|-------------------------|
| 構造強度・<br>耐震性 | 材料確認 | 実施計画に記載されている主要部材の材質を確認する。 | 実施計画通りの材料を使用していること。    |                         |
|              | 構造確認 | 寸法確認                      | 実施計画に記載されている主要寸法を確認する。 | 寸法が許容範囲内であること。          |
|              |      | 外観確認                      | 組み立てた状態における外観を確認する。    | 有意な欠陥がないこと。             |
|              |      | 据付確認                      | 組み立てた状態における据付状態を確認する。  | 実施計画の通りに施工・据付がなされていること。 |

耐震解析に用いるコード(SAP - )について

|           |      |   |
|-----------|------|---|
| 項目        | コード名 | SAP -   |
| 開発機関      |      | 米国カリフォルニア大学   |
| 使用したバージョン |      | 導入時バージョンのまま   |
| 開発時期      |      | 1973年   |
| 計算機コードの概要 |      | <p>本計算機コードは、有限要素法による静的・動的解析汎用プログラムである。</p> <p>1970年にSAPの初版が発表された後、SOLID SAP (SAP - ), SAP - を経て、全面的改訂を加えられ1973年にSAP - として公開された。</p> <p>以下に示す構造に対し、4種類の解析を行うことができる。</p> <p>&lt; 構造 &gt;</p> <ol style="list-style-type: none"> <li>1. トラス構造問題</li> <li>2. ラーメン構造問題</li> <li>3. 平面応力 / 平面ひずみ問題, 軸対象固体問題</li> <li>4. 固体問題</li> <li>5. 厚肉殻</li> <li>6. 板曲げ及び薄肉殻問題</li> <li>7. 配管系問題</li> </ol> <p>&lt; 解析 &gt;</p> <ol style="list-style-type: none"> <li>1. 静的解析</li> <li>2. 固有値解析</li> <li>3. 動的応答解析</li> <li>4. スペクトル解析</li> </ol> |
| 検証方法      |      | <ul style="list-style-type: none"> <li>・ 別計算機コード「構造解析用計算機コード (NASTRAN 2005.0.0)」による検証が実施されていることを確認した。</li> <li>・ 理論解による検証が実施されていることを確認した。(詳細は添付1参照)</li> </ul>  |

添付 1 解析及び計算機コードの検証

1. 解析の検証

1.1 解析フローチャート

本資料において使用した計算機コード「SAP - 」を用いて得られた計算結果の妥当性を確認し、本計算機コードの検証を行うものである。また、本計算機コードを用いた計算のフローを図 1-1 に示す。

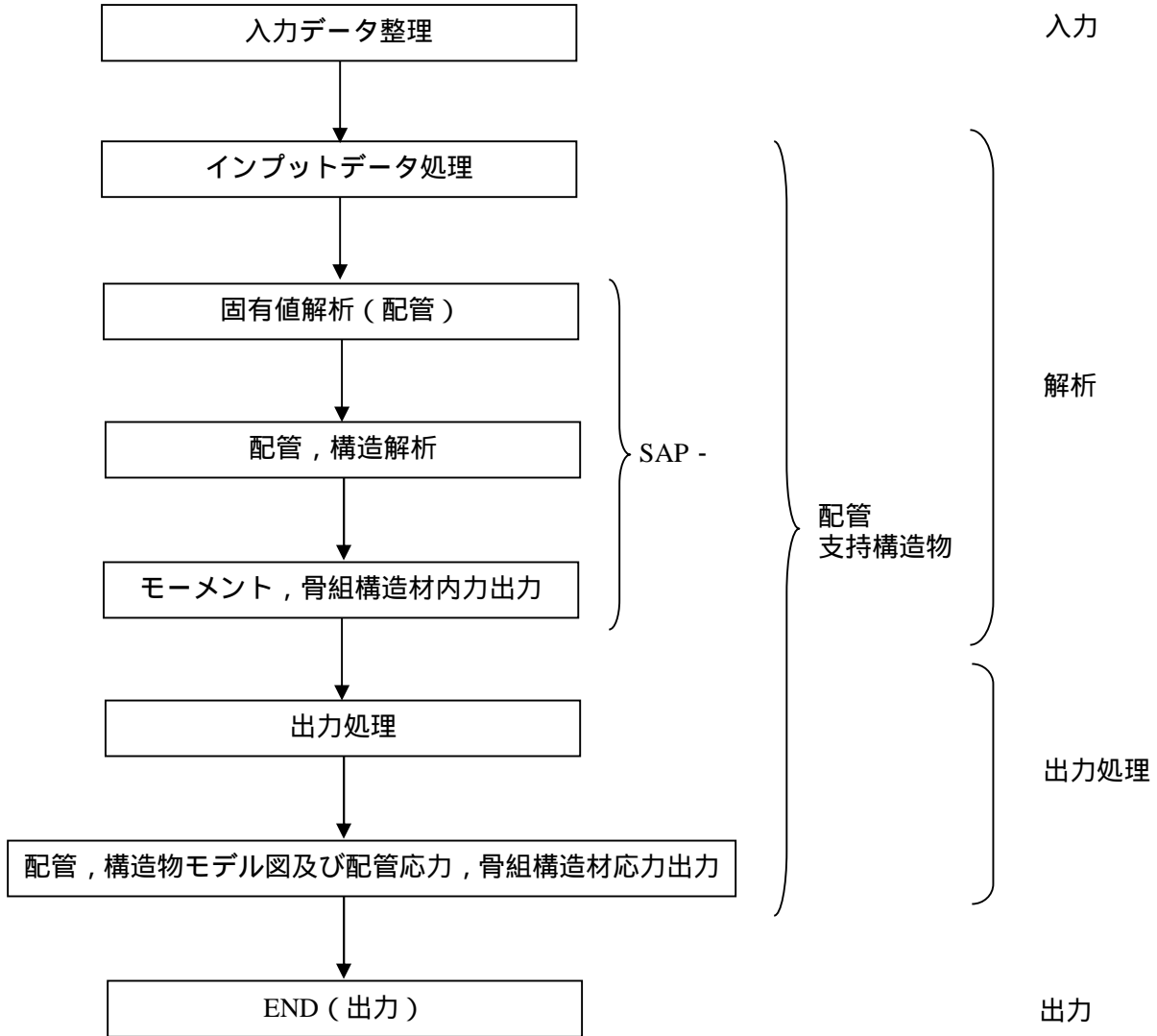


図 1-1 計算フロー

## 1.2 解析の検証

図 1-1 に示した各フローにおける検証方法を以下に示す。

- ・「 入力」

材料，弁質量及び骨組材断面性能等の解析条件の入力に対し，正しく条件が入力されていることの確認を行った。

- ・「 解析」

配管については，別の構造解析用計算機コードを用いて，代表的な配管検証用モデルに対する計算を行い，比較を行うことによって，計算結果の妥当性の確認を行った（2.1 配管参照）。

支持構造物については，材料力学に基づく手計算手法を用いて，代表的な簡易骨組モデルに対する計算を行い，比較を行うことによって計算結果の妥当性の確認を行った（2.2 支持構造物参照）。

- ・「 入力」 + 「 解析」 + 「 出力処理」 + 「 出力」

「SAP - 」により出力されたモーメントは応力に変換され，正しく出力されていることを確認した。これらの処理は，手計算によりその妥当性について確認を行った。

## 1.3 結論

以上より，解析結果の検証を行い，手順 ~ の妥当性を確認した。

## 2. 計算機コードの検証

### 2.1 配管

#### (1) 検証の概要

計算機コード「SAP - 」による計算結果の検証用に用いた構造解析用計算機コード「NASTRAN」は NASA で開発されたプログラムであり、1965 年開発後、これまで約 40 年の使用実績があり、世界的に使用実績及びクライアント数の多いプログラムの一つである。「SAP - 」と「NASTRAN」を用いて代表的な配管検証用モデルを対象に解析を行い、得られた結果を比較することにより、検証を行った。

#### (2) 検証解析

代表的な配管検証用モデルについて、「SAP - 」及び「NASTRAN」を用いて解析し、両者の解析結果を比較評価する。以下に解析内容及び検証項目を示す。

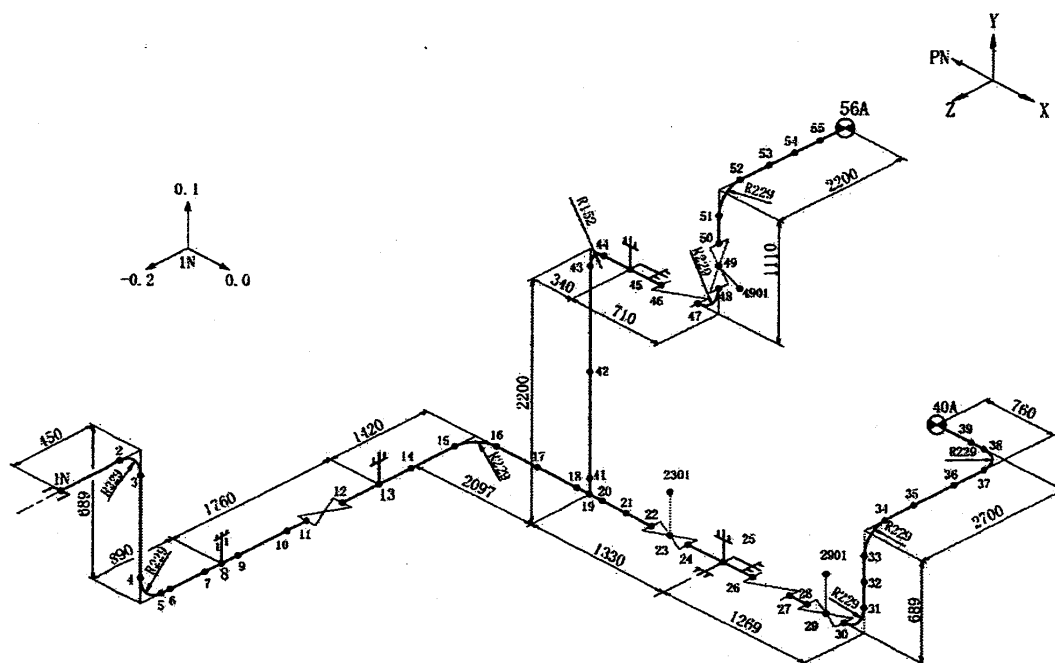
| 解析内容         | 検証項目  |
|--------------|-------|
| 静的解析（自重・熱膨張） | 拘束点反力 |



(3) 解析条件

以下に解析モデル及び設計条件を示す。

・解析モデル



鳥瞰図記号凡例

| 記号  | 内容                                      |
|-----|---|
| ●   | 質点                                      |
| ⊗   | アンカ                                     |
| ≡—  | レストレイント                                 |
| ≡=— | リジットハンガ                                 |
|     | 主要機器取合点等の移動量<br><br>注：鳥瞰図中の寸法の単位はmmである。 |

弁部の質量

| 質量        | 対応する評価点 | 質量        | 対応する評価点 |
|-----------|---------|-----------|---------|
| 278.4kg/m | 11 ~ 12 | 59.9kg    | 22 ~ 23 |
| 59.9kg    | 23 ~ 24 | 185.4kg/m | 26 ~ 27 |
| 59.7kg    | 28 ~ 29 | 127.4kg   | 29 ~ 30 |
| 185.4kg/m | 46 ~ 47 | 127.9kg   | 48 ~ 49 |
| 59.9      | 49 ~ 50 | 119.9kg   | 2301    |
| 119.4kg   | 2901    | 119.9kg   | 4901    |

・設計条件

以下に示す荷重条件のもとで、配管系の静的な解析を行った。

- a. 自重
- b. 熱膨張

| 解析<br>範囲 |  |                 |               |             |            |            |          |                 |                                      |
|----------|--|-----------------|---------------|-------------|------------|------------|----------|-----------------|--------------------------------------|
| 管番号      | 対応する評価点  | 最高使用圧力<br>(MPa) | 最高使用温度<br>( ) | 運転温度<br>( ) | 外径<br>(mm) | 厚さ<br>(mm) | 材料       | 縦弾性係数*<br>(MPa) | 熱膨張係数*<br>( $\times 10^{-6}$ mm/mm ) |
| 1        | 1N ~ 11,12 ~ 22<br>24 ~ 26,27 ~ 28<br>19 ~ 43,44 ~ 46<br>47 ~ 48 | 1.04            | 93            | 40          | 165.2      | 7.1        | STPT410  | 201667          | 10.3                                 |
| 2        | 30 ~ 40A   | 0.43            | 93            | 40          | 165.2      | 7.1        | STPT410  | 201667          | 10.3                                 |
| 3        | 43 ~ 44  | 1.04            | 93            | 40          | 165.2      | 7.1        | STPT410  | 201667          | 10.3                                 |
| 4        | 50 ~ 56A   | 1.04            | 93            | 40          | 165.2      | 7.1        | SUS304TP | 193667          | 15.4                                 |

注記\*：運転温度における縦弾性係数及び熱膨張係数を示す。

(4)解析結果の比較

表 2-1 拘束点反力（「SAP - 」と「NASTRAN」の比較）

自重

（単位：N）

| 節点  | SAP - |      |      | NASTRAN |      |      |
|-----|-------|------|------|---------|------|------|
|     | Fx    | Fy   | Fz   | Fx      | Fy   | Fz   |
| 1N  | 10    | 442  | -99  | 20      | 452  | -99  |
| 8   | 0     | 1001 | 0    | 0       | 981  | 0    |
| 13  | 0     | 1991 | 0    | 0       | 2021 | 0    |
| 25  | 599   | 7365 | 344  | 618     | 7385 | 344  |
| 40A | -89   | 1226 | -89  | -89     | 1226 | -99  |
| 45  | 275   | 4649 | 0    | 246     | 4629 | 0    |
| 56A | -795  | 1373 | -148 | -785    | 1354 | -148 |

熱膨張

（単位：N）

| 節点  | SAP - |      |      | NASTRAN |      |      |
|-----|-------|------|------|---------|------|------|
|     | Fx    | Fy   | Fz   | Fx      | Fy   | Fz   |
| 1N  | 99    | -138 | -148 | 99      | -138 | -148 |
| 8   | 0     | 50   | 0    | 0       | 50   | 0    |
| 13  | 0     | 383  | 0    | 0       | 383  | 0    |
| 25  | -89   | 1030 | -246 | -89     | 1030 | -246 |
| 40A | -89   | -148 | 246  | -89     | -148 | 246  |
| 45  | 363   | -991 | 0    | 363     | -991 | 0    |
| 56A | -295  | -187 | 148  | -295    | -197 | 148  |

(5) 検証結果

表 2-1 における自重及び熱膨張による拘束点反力の比較結果のとおり ,両者でよく一致している。

以上の結果から , 代表的な配管検証用モデルを用いた両者の解析結果はほぼ同等であり , 「SAP - 」の妥当性が確認された。

## 2.2 支持構造物

### (1) 検証の概要

材料力学に基づく手計算手法を用いて、代表的な簡易骨組構造モデルに対する計算を行い、得られた結果を比較することにより検証を行った。

### (2) 検証解析

代表的な支持構造物検証用モデル「H形鋼材」及び「L形鋼材」について、「SAP-」及び「手計算手法」を用いて、両者の比較評価をする。

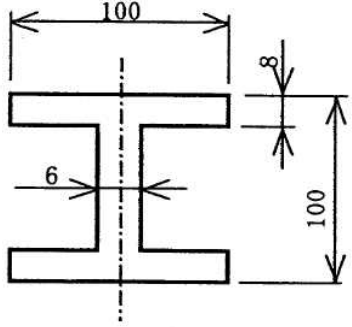
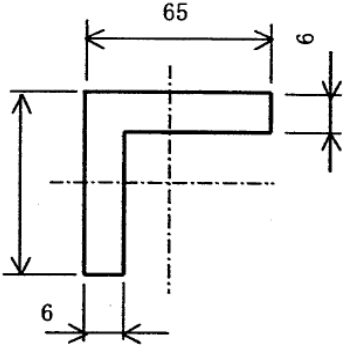
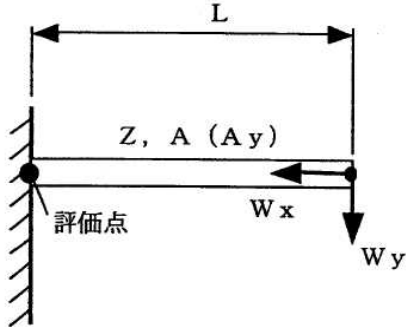
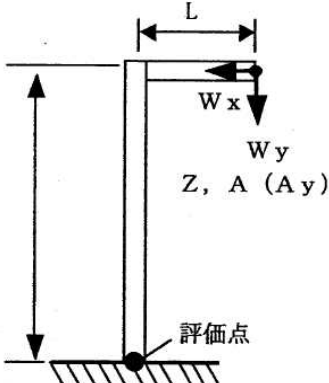
以下に、計算内容及び検証項目を示す。

| 計算内容            | 検証項目 |
|-----------------|------|
| 圧縮応力，曲げ応力，せん断応力 | 発生応力 |

(3) 解析条件

・解析モデル

(単位：mm)

| 評価1 H形鋼材片持ち梁構造  | 評価2 L形鋼材L型構造   |
|---|--|
|  <p style="text-align: center;">H鋼断面</p>   |  <p style="text-align: center;">L鋼断面</p>   |
|  <p>・発生応力</p> <p>                     圧縮応力：<math>W_x * g / A</math><br/>                     曲げ応力：<math>W_y * g * L / Z</math><br/>                     せん断応力：<math>W_y * g / A_y</math> </p> |  <p>・発生応力</p> <p>                     圧縮応力：<math>W_y * g / A</math><br/>                     曲げ応力：<math>(W_y * g * L - W_x * g * H) / Z</math><br/>                     せん断応力：<math>W_x * g / A_y</math> </p> |

・設計条件

|                  |       |                  | 評価1     | 評価2     |
|------------------|-------|------------------|---------|---------|
| 付加質量             | $W_x$ | kg               | 0       | 0       |
|                  | $W_y$ | kg               | 61      | 36      |
| 梁長さ              | L     | mm               | 300     | 67.5    |
| 柱高さ              | H     | mm               | -       | 292.5   |
| 重力加速度            | g     | m/s <sup>2</sup> | 9.80665 | 9.80665 |
| 断面係数             | Z     | mm <sup>3</sup>  | 67800   | 6270    |
| 断面積              | A     | mm <sup>2</sup>  | 2190    | 752.7   |
| 有効断面積<br>(せん断面積) | $A_y$ | mm <sup>2</sup>  | 504     | 354     |

(4) 評価結果の比較

表 2-2 発生応力（「SAP - 」と「手計算手法」の比較）

H 形鋼材

|               | SAP - |      |       | 手計算手法 |      |       |
|---------------|-------|------|-------|-------|------|-------|
|               | 圧縮応力  | 曲げ応力 | せん断応力 | 圧縮応力  | 曲げ応力 | せん断応力 |
| 発生応力<br>(MPa) | 0     | 3    | 2     | 0     | 2.7  | 1.2   |

L 形鋼材

|               | SAP - |      |       | 手計算手法 |      |       |
|---------------|-------|------|-------|-------|------|-------|
|               | 圧縮応力  | 曲げ応力 | せん断応力 | 圧縮応力  | 曲げ応力 | せん断応力 |
| 発生応力<br>(MPa) | 1     | 4    | 0     | 0.5   | 3.9  | 0     |

(5) 検証結果

表 2-2 における H 形鋼材及び L 形鋼材による発生応力の比較結果のとおり，両者でよく一致している。

以上の結果から，代表的な簡易骨組構造モデルを用いた両者の計算結果はほぼ同等であり，「SAP - 」の妥当性が確認された。

## 耐震解析に用いるコード(ABAQUS)について

|           |      |  |
|-----------|------|--|
| 項目        | コード名 | ABAQUS   |
| 開発機関      |      | ABAQUS 社   |
| 使用したバージョン |      | Version 6.5.4  |
| 開発時期      |      | 2005 年(初版開発時期 1978 年)  |
| 計算機コードの概要 |      | <p>本計算機コードは、有限要素法による線形/非線形の静的・動的解析汎用プログラムである。以下に示す解析機能及び要素を有している。</p> <p>&lt; 解析機能 &gt;</p> <ol style="list-style-type: none"> <li>1. 線形・非線形静的応力/変位解析</li> <li>2. 動的/変位解析</li> <li>3. 非定常の動的/変位解析</li> <li>4. 定常・非定常の伝熱解析</li> <li>5. 弾塑性解析</li> <li>6. 大変形解析</li> </ol> <p>&lt; 要素 &gt;</p> <ol style="list-style-type: none"> <li>1. 軸対象</li> <li>2. 平面ひずみ/平面応力</li> <li>3. 三次元ソリッド</li> <li>4. 三次元シェル</li> <li>5. トラス</li> <li>6. はり</li> </ol> |
| 検証方法      |      | <ul style="list-style-type: none"> <li>・ 振動試験結果とコードによる地震応答計算結果を比較して検証*が実施されていることを確認した。</li> </ul>  |

注記：以下の文献を確認し、検証されたコードであることを確認した。

- \*：平成 19 年度 原子力施設等の耐震性評価技術に関する試験及び調査  
動的上下動耐震試験(クレーン類)に係る報告書  
(平成 21 年 1 月 独立行政法人 原子力安全基盤機構)

## 耐震解析に用いるコード (NX Nastran) について

### 1. 概要

Nastran は、40 年以上にわたって利用されている、動的・静的解析用の業界標準の汎用有限要素法ソルバーである。米国 NASA により、宇宙開発プロジェクト・サターン 型ロケットの設計のために開発され、1972 年に最初のコマーシャルバージョンがリリース (MSC.Nastran) された。その後、2003 年に Siemens PLM Software 社の NX Nastran に分かれて、開発・販売を継続している汎用ソフトウェアである。

### 2. 機能

NX Nastran は、構造解析に関して主に以下の機能を有する。

三次元の梁モデル、シェルモデル及びソリッドモデルによる構造解析を行うことができる

固有値解析を行うことができ、固有振動数及び各固有振動モードに対する刺激係数や有効質量を算出できる

静的解析、固有値解析、スペクトル応答解析、動的応答解析を行うことができる

### 3. 検証方法

理論値との比較による検証が実施されていることを確認した。

### 4. 使用したバージョン

NX Nastran Version 8.1



## 5. 解析及び計算機コードの検証

### 5.1. 解析の検証

#### 5.1.1. 解析フローチャート

本計算機コードを用いた計算のフローを図 5.1-1 に示す。

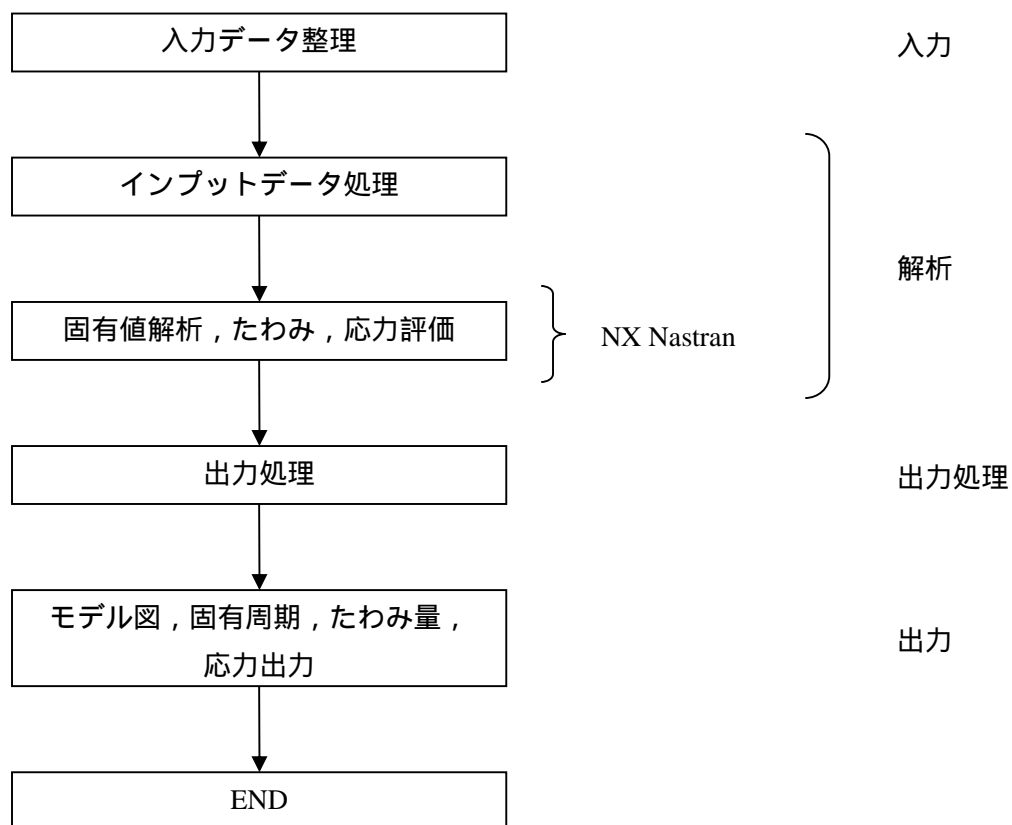


図 5.1-1 計算フロー

### 5.1.2. 解析の検証

図 5.1-1 に示した各フローにおける検証方法を以下に示す。

- ・「 入力」

寸法，物性値等の解析条件の入力に対して，正しく条件が入力されていることを確認した。

- ・「 解析」

両端固定梁，片持ち平板の固有振動数について，材料力学に基づく手計算手法を用いて計算を行い，「NX Nastran」の固有値解析の結果と比較を行うことにより解析結果の妥当性の確認を行った。

片持ち梁のたわみ量，応力について，材料力学に基づく手計算手法を用いて計算を行い，「NX Nastran」の結果と比較を行うことにより解析結果の妥当性の確認を行った（「5.2. 計算機コードの検証」参照）。

- ・「 入力」 + 「 解析」 + 「 出力処理」 + 「 出力」

「NX Nastran」による解析結果が正しく出力されていることを確認した。

### 5.1.3. 結論

以上より，解析結果の検証を行い，手順 ~ の妥当性を確認した。

## 5.2. 計算機コードの検証

### 5.2.1. 検証の概要

「NX Nastran」を用いて、基本的な構造の解析を行い、得られた結果と理論解との比較を行うことにより、検証を行った。

### 5.2.2. 検証解析

以下に示す構造を「NX Nastran」で解析を行い、理論解との結果を比較評価する。

| 解析内容  | 検証項目   |
|-------|--------|
| 両端固定梁 | 固有振動数  |
| 片持ち平板 | 固有振動数  |
| 片持ち梁  | たわみ，応力 |

両端固定梁の解析モデルを図 5.2.2-1 に、片持ち平板の解析モデルを図 5.2.2-2 に、片持ち梁の解析モデルを図 5.2.2-3 に示す。

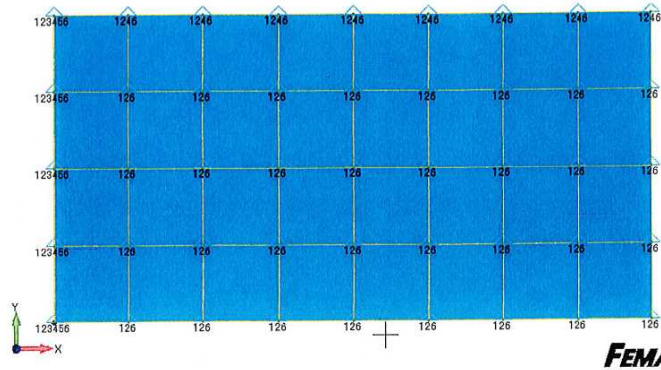
Trial License - For Evaluation Use Only  
V1  
P2



FEMAP®

図 5.2.2-1 両端固定梁の解析モデル

Trial License - For Evaluation Use Only  
V1  
P1



FEMAP®

図 5.2.2-2 片持ち平板の解析モデル

Trial License - For Evaluation Use Only  
V1  
P1



FEMAP®

図 5.2.2-3 片持ち梁の解析モデル

### 5.2.3. 理論解

#### (1) 両端固定梁の固有振動数

固定梁の軸に対して直角方向に梁が振動する場合の固有振動数は

$$f_n = \frac{\lambda_n^2}{2\pi L^2} \sqrt{\frac{EI}{\rho A}}$$

で表される。

ここで、

$$\lambda_1 = 4.730$$

$$L = 10 \text{ [m]} \quad (\text{梁の長さ})$$

$$E = 200000 \text{ [MPa]} \quad (\text{ヤング率})$$

$$I = \frac{2 \times 2^3}{12} \quad (\text{断面二次モーメント})$$

$$= 1.333 \text{ [m}^4\text{]}$$

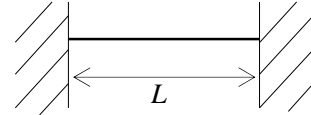
$$\rho = 8000 \text{ [kg/m}^3\text{]} \quad (\text{単位体積当たりの質量})$$

$$A = 2 \times 2 = 4 \text{ [m}^2\text{]} \quad (\text{梁の面積})$$

とすると、固定梁の固有振動数は

$$\begin{aligned} f_1 &= \frac{\lambda_1^2}{2\pi L^2} \sqrt{\frac{EI}{\rho A}} \\ &= \frac{4.730^2}{2 \cdot \pi \cdot 10^2} \sqrt{\frac{200000 \cdot 10^6 \times 1.333}{8000 \times 4}} \\ &= 102.7774 \text{ [Hz]} \end{aligned}$$

となる。



(2) 片持ち平板の固有振動数

片持ち平板が振動する場合の固有振動数は

$$f_n = \frac{\lambda_n}{2\pi a^2} \sqrt{\frac{D}{\rho h}}$$

で表される。

ここで、

$$\lambda_1 = 3.494$$

$$a = 10 \text{ [m]} \quad (\text{板の各辺の寸法})$$

$$h = 0.05 \text{ [m]} \quad (\text{平板の厚さ})$$

$$E = 200000 \text{ [MPa]} \quad (\text{ヤング率})$$

$$\nu = 0.3 \quad (\text{ポアソン比})$$

$$D = \frac{Eh^3}{12(1-\nu^2)} \quad (\text{曲げ剛性})$$

$$= \frac{200000 \times 10^6 \times 0.05^3}{12(1-0.3^2)}$$

$$= 2.289 \times 10^6 \text{ [N}\cdot\text{m]}$$

$$\rho = 8000 \text{ [kg/m}^3\text{]} \quad (\text{単位体積当たりの質量})$$

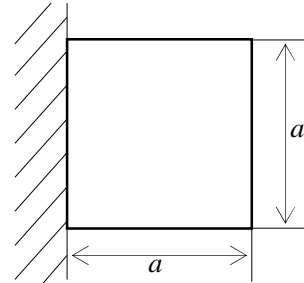
とすると、固定梁の固有振動数は

$$f_1 = \frac{\lambda_1}{2\pi a^2} \sqrt{\frac{D}{\rho h}}$$

$$= \frac{3.494}{2 \cdot \pi \cdot 10^2} \sqrt{\frac{2.289 \times 10^6}{8000 \times 0.05}}$$

$$= 0.420665 \text{ [Hz]}$$

となる。



(3) 片持ち梁のたわみ，応力

片持ち梁のたわみは

$$v = \frac{Wl^3}{3EI}$$

で表される。

ここで，

$$W = 50000 \text{ [N]} \quad (\text{荷重})$$

$$l = 480 \text{ [m]} \quad (\text{梁の長さ})$$

$$E = 30000000 \text{ [Pa]} \quad (\text{ヤング率})$$

$$b = 30 \text{ [m]}$$

$$h = 30 \text{ [m]}$$

$$I = \frac{bh^3}{12} \quad (\text{断面二次モーメント})$$

$$= \frac{30 \cdot 30^3}{12}$$

$$= 67500 \text{ [m}^4\text{]}$$

とすると，片持ち梁のたわみは

$$v = \frac{Wl^3}{3EI}$$

$$= \frac{50000 \cdot 480^3}{3 \cdot 30000000 \cdot 67500}$$

$$= 0.91 \text{ [m]}$$

となる。

片持ち梁に発生する応力は

$$Z = \frac{bh^2}{6} \quad (\text{断面係数})$$

$$= \frac{30 \cdot 30^2}{6}$$

$$= 4500 \text{ [m}^3\text{]}$$

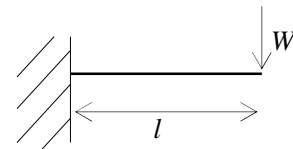
とすると，

$$\sigma = \frac{W \cdot l}{Z}$$

$$= \frac{50000 \cdot 480}{4500}$$

$$= 5334 \text{ [N/m}^2\text{]}$$

となる。



#### 5.2.4. 検証結果

「NX Nastran」による解析結果を図 5.2.4-1 ~ 3 に示す。「NX Nastran」による解析結果と理論解の比較を表 5.2.4-1 に示す。

「NX Nastran」による解析結果と手計算の結果がよく一致していることを確認した。

表 5.2.4-1 「NX Nastran」による解析結果と理論解の比較

| 解析内容  | 項目                    | 「NX Nastran」<br>による解析結果 | 理論解      |
|-------|-----------------------|-------------------------|----------|
| 両端固定梁 | 固有振動数[Hz]             | 102.8482                | 102.7774 |
| 片持ち平板 | 固有振動数[Hz]             | 0.415096                | 0.420665 |
| 片持ち梁  | たわみ[m]                | 0.91                    | 0.91     |
|       | 応力[N/m <sup>2</sup> ] | 5333                    | 5334     |



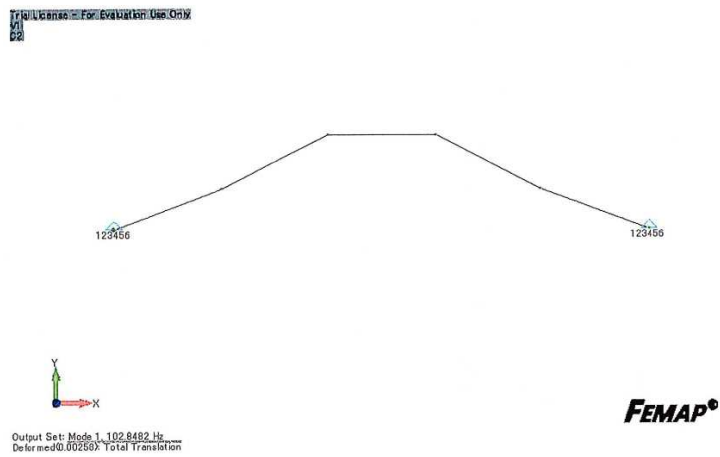


図 5.2.4-1 両端固定梁の解析結果（固有振動数）

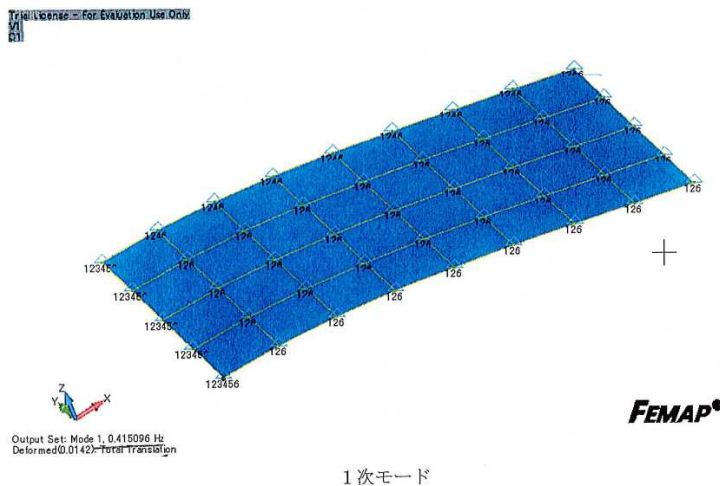


図 5.2.4-2 片持ち平板の解析結果（固有振動数）

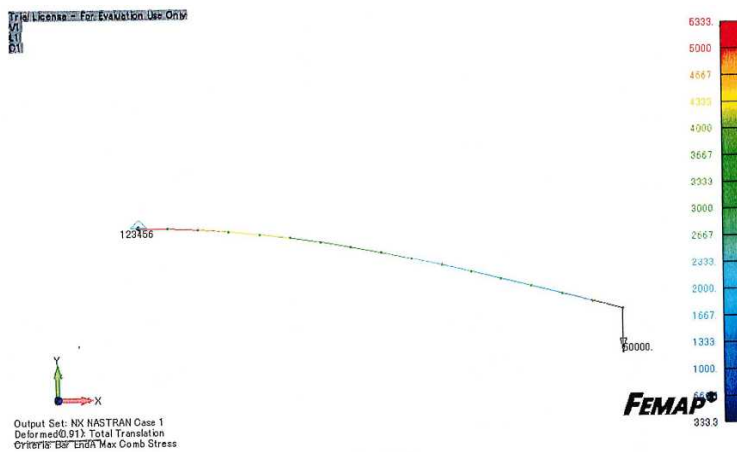


図 5.2.4-3 片持ち梁の解析結果（たわみ・応力）

## 燃料取り出し用カバーの構造強度及び耐震性に関する説明書

## 1. 本説明書の記載範囲

本説明書は、3号機及び4号機燃料取り出し用カバーの構造強度及び耐震性について記載するものである。なお、3号機及び4号機以外については、現地工事開始前までに報告を行い、確認を受けることとする。

## 2. 4号機燃料取り出し用カバーの構造強度及び耐震性について

## 2.1 概要

## 2.1.1 一般事項

4号機燃料取り出し用カバーは、使用済燃料プールを覆う構造としており、クレーン支持用架構と燃料取扱機支持用架構を有し、それぞれについて構造強度と耐震性について検討を行う。なお、耐震設計上の重要度分類は、燃料取扱設備の間接支持構造物としてBクラス相当とする。

燃料取り出し用カバーの構造強度は一次設計に対応した許容応力度設計を実施し、耐震性は基準地震動  $S_s$  に対する地震応答解析を実施し、燃料取り出し用カバーの損傷が原子炉建屋、使用済燃料プール及び使用済燃料ラックに波及的影響を及ぼさないことを確認する。ここで、波及的影響の確認は、架構が崩壊機構に至らないことを確認する。図 2.1.1-1 に燃料取り出し用カバーのイメージを示す。

なお、一部損壊した原子炉建屋に接合される燃料取扱機支持用架構の施工前において、本説明書で想定しているように、原子炉建屋の接合部が施工に十分な状態かどうか確認した点検結果を別途報告するとともに、不具合が見つかった場合には、適切に補修等を実施する。

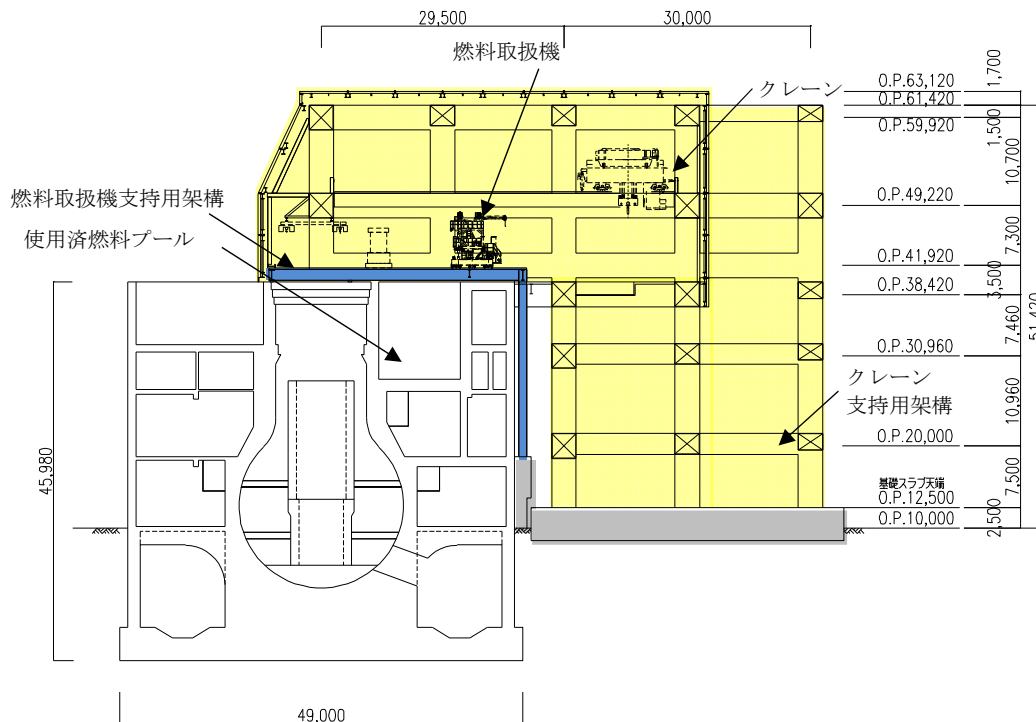


図 2.1.1-1 燃料取り出し用カバーのイメージ

燃料取り出し用カバーの検討は原則として下記の法規及び基規準類に準拠して行う。

- (1) 建築基準法・同施行令及び関連告示
- (2) 原子力施設鉄筋コンクリート構造計算規準・同解説（日本建築学会，2005 制定）
- (3) 鉄筋コンクリート構造計算規準・同解説（日本建築学会，2010 改定）
- (4) 鋼構造設計規準（日本建築学会，2005 改定）
- (5) 建築基礎構造設計指針（日本建築学会，2001 改定）
- (6) 2007 年版 建築物の構造関係技術基準解説書(国土交通省住宅局建築指導課・国土交通省  
国土技術政策総合研究所・独立行政法人建築研究所・日本建築行政会議，2007 刊行)
- (7) 鋼構造塑性設計指針（日本建築学会，1975 発行）
- (8) 建築工事標準仕様書・同解説 JASS14 カーテンウォール工事（日本建築学会，1996 改定）
- (9) 各種合成構造設計指針・同解説（日本建築学会，2010 改定）

また，原子力施設の設計において参照される下記の指針及び規程を参考にして検討を行う。

- (1) 原子力発電所耐震設計技術指針(JEAG 4601-1987)（日本電気協会 電気技術基準調査委員会，  
昭和 62 年 8 月 改訂）
- (2) 原子力発電所耐震設計技術指針(JEAG 4601-1991 追補版)（日本電気協会 電気技術基準調査  
委員会，平成 3 年 6 月 発刊）
- (3) 原子力発電所耐震設計技術規程(JEAC 4601-2008)（日本電気協会 原子力規格委員会，平成  
20 年 12 月 改定）
- (4) 乾式キャスクを用いる使用済燃料中間貯蔵建屋の基礎構造の設計に関する技術規程（JEAC  
4616-2009）（日本電気協会 原子力規格委員会，平成 21 年 12 月 制定）

## 2.1.2 クレーン支持用架構

クレーン支持用架構はキャスク搬出入用の天井クレーンを支持する架構で、南北方向に 30.00m、東西方向に 25.50m、地盤面からの高さが 51.42m の柱部分と、北方向に 29.50m 跳ね出した片持ち梁部分からなる逆 L 字型の架構である。構造形式はラーメン構造で、構造種別は鉄骨造である。柱、大梁には、箱型断面部材を用いる。

基礎形式は基礎スラブによる直接基礎とし、地震時の基礎の転倒防止対策として地盤アンカーを用い、基礎スラブを支持する地盤は地盤改良により強固な支持地盤を形成する。改良地盤は既存の原子炉建屋と同様に泥岩に着底している。

クレーン支持用架構の概要を図 2.1.2-1 に、基礎スラブ及び改良地盤の概要を図 2.1.2-2 に示す。

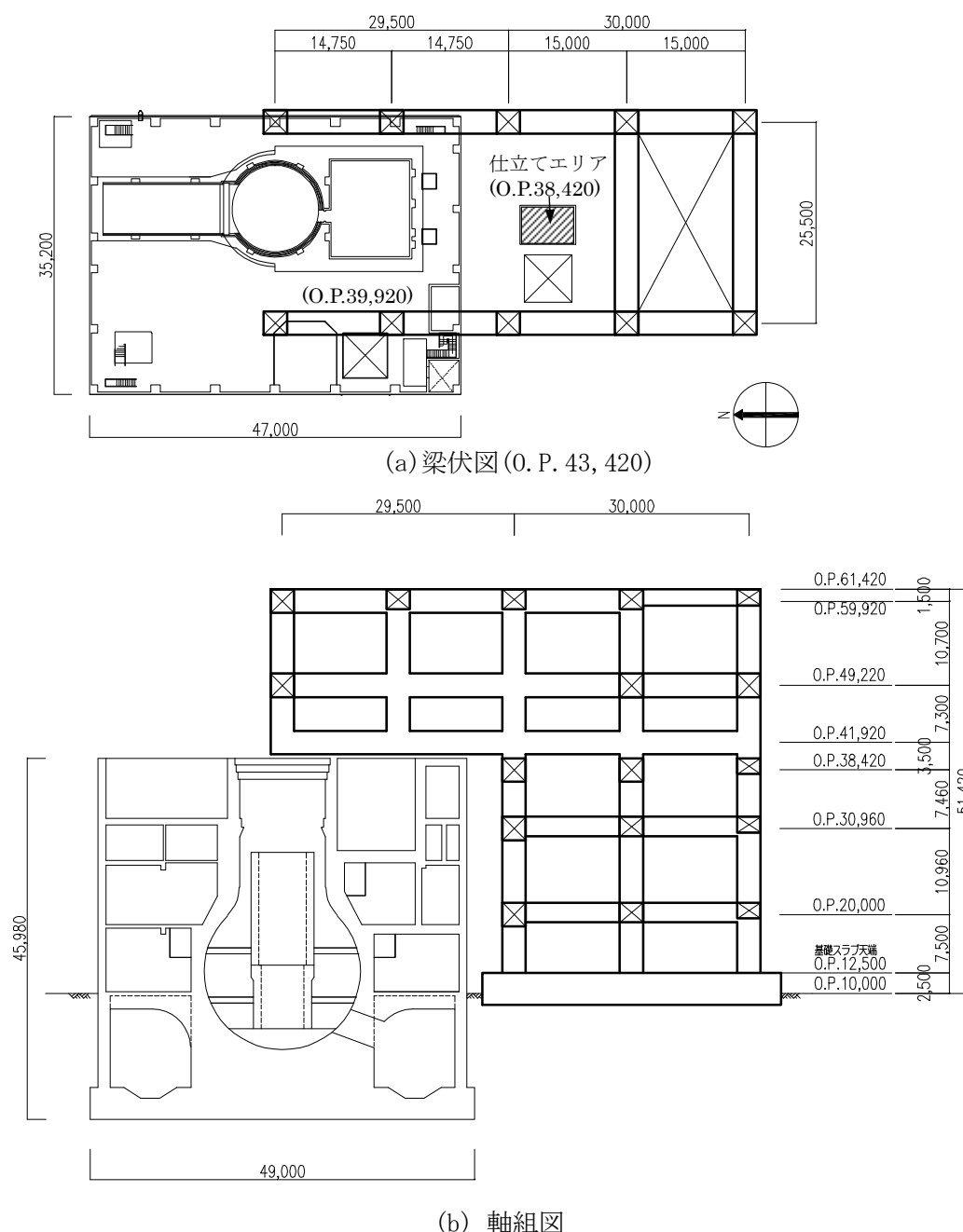
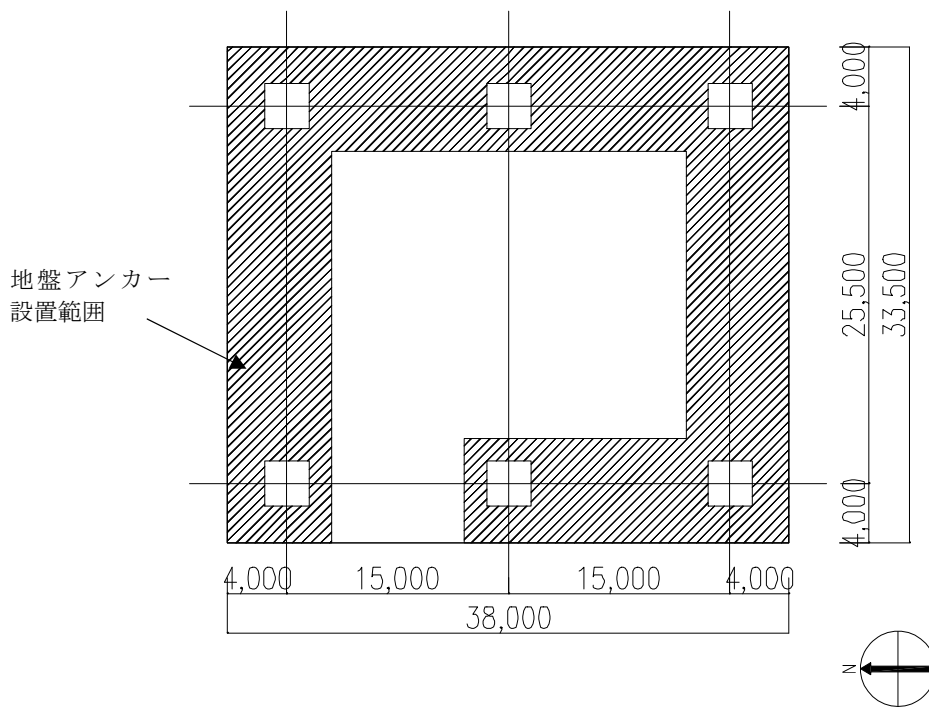
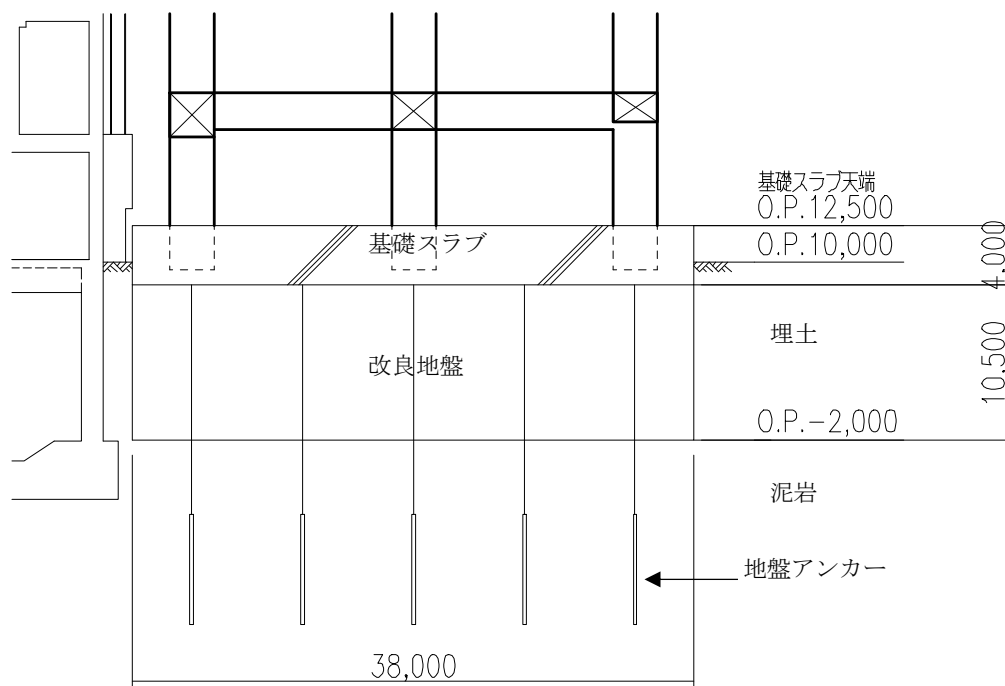


図 2.1.2-1 クレーン支持用架構の概要 (単位 : mm)



(a) 基礎伏図



(b) 基礎断面図

図 2.1.2-2 基礎スラブ及び改良地盤の概要 (単位: mm)

### 2.1.3 燃料取扱機支持用架構

燃料取扱機支持用架構は燃料取扱機を支持する架構で、南北方向に 30.50m、東西方向に 13.36m、地盤面からの高さが 30.77m の柱及び梁からなる逆 L 字型の架構である。構造形式はラーメン構造で、構造種別は鉄骨造である。

支持形式は、原子炉建屋シェル壁上端及び 1 階から 2 階の南側外壁に支持する構造である。燃料取扱機支持用架構の概要を図 2.1.3-1(1)及び図 2.1.3-1(2)に示す。

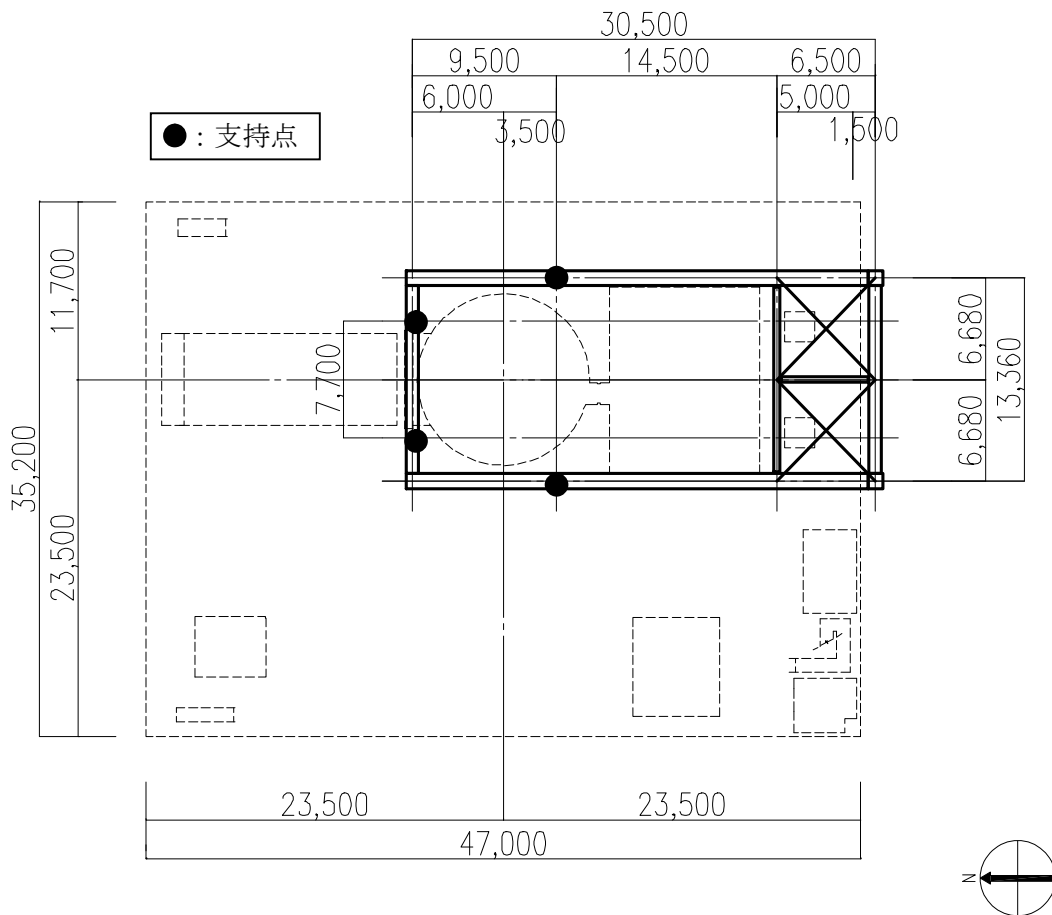
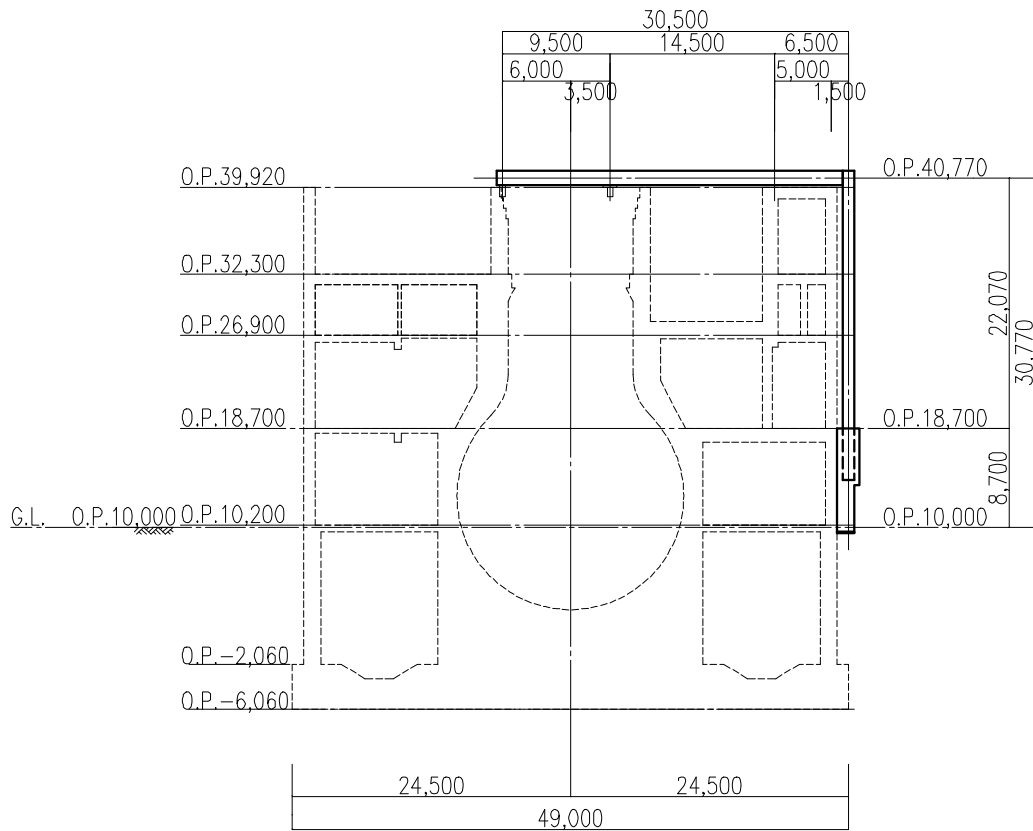
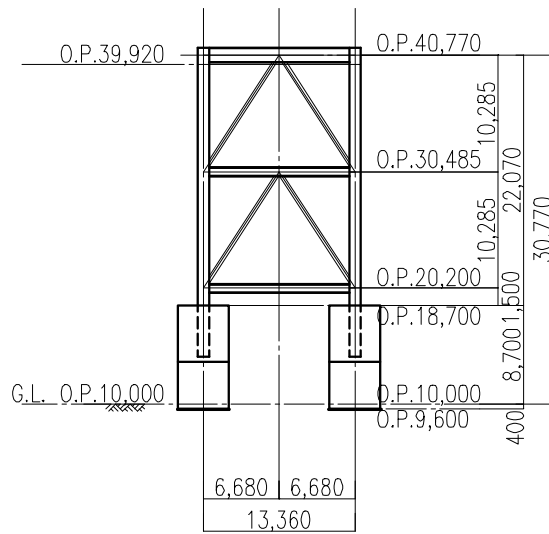


図 2.1.3-1(1) 燃料取扱機支持用架構の概要(梁伏図 (O.P. 41, 42)) (単位: mm)



(a) 断面図



(b) 立面図

図 2. 1. 3-1 (2) 燃料取扱機支持用架構の概要 (単位 : mm)

## 2.2 クレーン支持用架構の構造強度及び耐震性について

クレーン支持用架構の構造強度及び耐震性の検討フローを図 2.2-1 に示す。

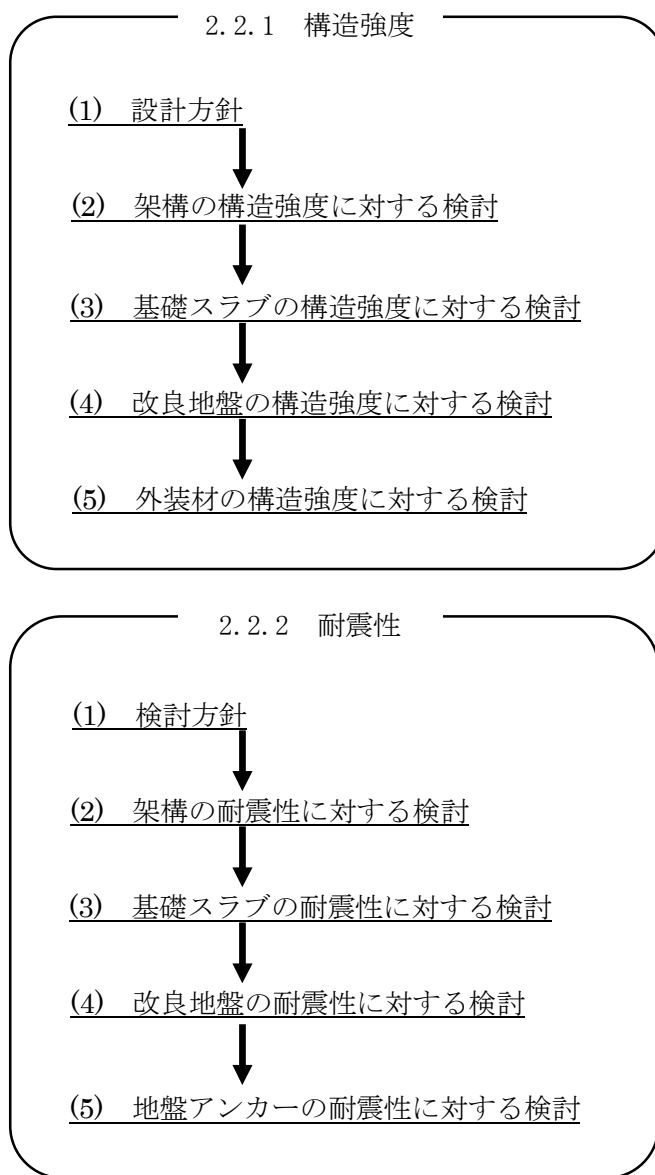


図 2.2-1 クレーン支持用架構の検討フロー



## 2.2.1 構造強度

### (1) 設計方針

構造強度の検討は、クレーン支持用架構、基礎スラブ、改良地盤及び外装材について許容応力度設計を実施する。

#### 1) 使用材料及び許容応力度

使用材料の物性値及び許容応力度を表 2.2.1-1(1)及び表 2.2.1-1(2)に示す。

表 2.2.1-1(1) クレーン支持用架構の物性値及び許容応力度

#### 材料定数

| 部位    | 材料     | ヤング係数<br>E (N/mm <sup>2</sup> ) | ポアソン比<br>$\nu$ | 単位体積重量<br>$\gamma$ (kN/m <sup>3</sup> ) |
|-------|--------|---------------------------------|----------------|---|
| 架 構   | 鉄骨     | 2.05×10 <sup>5</sup>            | 0.3            | 77.0                                    |
| 基礎スラブ | コンクリート | 2.44×10 <sup>4</sup>            | 0.2            | 24.0                                    |

#### コンクリートの許容応力度

(単位：N/mm<sup>2</sup>)

| 設計基準強度=30 | 長期   |    |       | 短期   |    |       |
|-----------|------|----|-------|------|----|-------|
|           | 圧縮   | 引張 | せん断   | 圧縮   | 引張 | せん断   |
|           | 10.0 | —  | 0.790 | 20.0 | —  | 1.185 |

#### 鉄筋の許容応力度

(単位：N/mm<sup>2</sup>)

| 記号    | 鉄筋径    | 長期     |       | 短期     |       |
|-------|--------|--------|-------|--------|-------|
|       |        | 引張及び圧縮 | せん断補強 | 引張及び圧縮 | せん断補強 |
| SD345 | D29 未満 | 215    | 195   | 345    | 345   |
|       | D29 以上 | 195    |       |        |       |
| SD390 | D29 未満 | 215    | 195   | 390    | 390   |
|       | D29 以上 | 195    |       |        |       |

#### 構造用鋼材の許容応力度

(単位：N/mm<sup>2</sup>)

| 板厚       | 材料             | 基準強度 F | 許容応力度                     |
|----------|----------------|--------|---------------------------|
| T ≤ 40mm | SS400, SN400B  | 235    | 「鋼構造設計規準」に従い、左記 F の値より求める |
| T > 40mm | SN400B         | 215    |                           |
| T ≤ 40mm | SM490A, SN490B | 325    |                           |
| T ≤ 40mm | SM520B         | 355    |                           |

表 2. 2. 1-1(2) 改良地盤, 支持地盤の物性値及び許容応力度

改良地盤の許容応力度

(単位 : kN/m<sup>2</sup>)

| 設計基準強度=2300* <sup>1</sup> | 長期  |    |     | 短期   |    |     |
|---------------------------|-----|----|-----|------|----|-----|
|                           | 圧縮  | 引張 | せん断 | 圧縮   | 引張 | せん断 |
| 改良地盤                      | 766 | —  | 153 | 1533 | —  | 306 |
| 断面欠損を考慮* <sup>2</sup>     | 750 | —  | 114 | 1502 | —  | 229 |

\*1 : 施工結果を反映した

\*2 : 「JEAC4616-2009」に準拠し, 断面欠損を鉛直方向に 2%, せん断方向に 25%考慮した

支持地盤の許容支持力度

(単位 : kN/m<sup>2</sup>)

| 種別      | 長期* <sup>1</sup> | 短期* <sup>1</sup> |
|---------|------------------|------------------|
| 泥岩 (岩盤) | 1960             | 3920             |

\*1 : 「福島第一原子力発電所第 4 号機工事計画認可申請書」による

## 2) 荷重及び荷重組合せ

設計で考慮する荷重を以下に示す。

### ・鉛直荷重 (VL)

クレーン支持用架構に作用する鉛直方向の荷重で、固定荷重、機器荷重、配管荷重、積載荷重及び地盤アンカーの効果を考慮した荷重とする。

### ・クレーン荷重 (CL)

天井クレーンによる荷重を表 2.2.1-2 に示す。

表 2.2.1-2 クレーン荷重一覧表

|        |         |
|--------|---------|
| クレーン自重 | 1666 kN |
| トロリ自重  | 1010 kN |
| 吊荷     | 980 kN  |

### ・積雪荷重 (SL)

積雪荷重は建築基準法施行令及び福島県建築基準法施行規則細則に準拠し以下の条件とする。

積雪量：30cm，単位荷重：20N/m<sup>2</sup>/cm

### ・風圧力 (WL)

風圧力は建築基準法施行令第 87 条および建設省告示第 1454 号に基づき、基準風速を 30m/s，地表面粗度区分Ⅱとして算定する。速度圧の算定結果を表 2.2.1-3 に示す。

表 2.2.1-3 速度圧の算定結果

| 建物高さ*<br>H<br>(m) | 平均風速の<br>鉛直分布係数<br>Er | ガスト<br>影響係数<br>Gf | 建物高さ<br>と粗度<br>区分による係数<br>E | 基準風速<br>Vo<br>(m/s) | 速度圧<br>q<br>(N/m <sup>2</sup> ) |
|-------------------|-----------------------|-------------------|-----------------------------|---------------------|---------------------------------|
| 52.73             | 1.28                  | 2.00              | 3.28                        | 30                  | 1769                            |

\*： 建物高さは、軒高さ (52.34m) と最高高さ (53.12m) の平均値とした

・地震荷重 (K)

水平地震力は O.P. 10.0m を基準面として、下式により算定し、算定結果を表 2.2.1-4 に示す。

$$Q_i = n \cdot C_i \cdot W_i$$

$$C_i = Z \cdot R_t \cdot A_i \cdot C_0$$

ここで、

$Q_i$  : 水平地震力 (kN)

$n$  : 施設の重要度に応じた係数 ( $n=1.5$ )

建築基準法で定める地震力の 1.5 倍を考慮する。

$C_i$  : 地震層せん断力係数

$W_i$  : 当該部分が支える重量 (kN)

$Z$  : 地震地域係数 ( $Z=1.0$ )

$R_t$  : 振動特性係数 ( $R_t=1.0$ )

$A_i$  : 地震層せん断力係数の高さ方向の分布係数で、クレーン支持用架構の固有値を用いたモーダル法 (二乗和平方根法) により求める。

$C_0$  : 標準せん断力係数 ( $C_0=0.2$ )

表 2.2.1-4 水平地震力の算定結果

| 階 | 標高<br>O.P. (m) | 各階重量<br>(kN) | $W_i$<br>(kN) | $A_i$    |          | $n \cdot C_i$ |          | $Q_i$<br>(kN) |          |
|---|----------------|--------------|---------------|----------|----------|---------------|----------|---------------|----------|
|   |                |              |               | NS<br>方向 | EW<br>方向 | NS<br>方向      | EW<br>方向 | NS<br>方向      | EW<br>方向 |
| R | 61.42          | 10569        | —             | —        | —        | —             | —        | —             | —        |
| 6 | 50.72~61.42    | 13780        | 10569         | 1.443    | 1.477    | 0.433         | 0.443    | 4576          | 4683     |
| 5 | 43.42~50.72    | 5195         | 24349         | 1.302    | 1.328    | 0.391         | 0.398    | 9514          | 9702     |
| 4 | 39.92~43.46    | 9019         | 29544         | 1.254    | 1.272    | 0.376         | 0.382    | 11118         | 11271    |
| 3 | 32.46~39.92    | 5782         | 38563         | 1.183    | 1.187    | 0.355         | 0.356    | 13685         | 13730    |
| 2 | 21.50~32.46    | 6390         | 44345         | 1.113    | 1.114    | 0.334         | 0.334    | 14807         | 14818    |
| 1 | 12.50~21.50    | —            | 50735         | 1.000    | 1.000    | 0.300         | 0.300    | 15221         | 15221    |

・荷重組合せ

設計で考慮するクレーンの位置を図 2.2.1-1 に、荷重組合せを表 2.2.1-5 に示す。

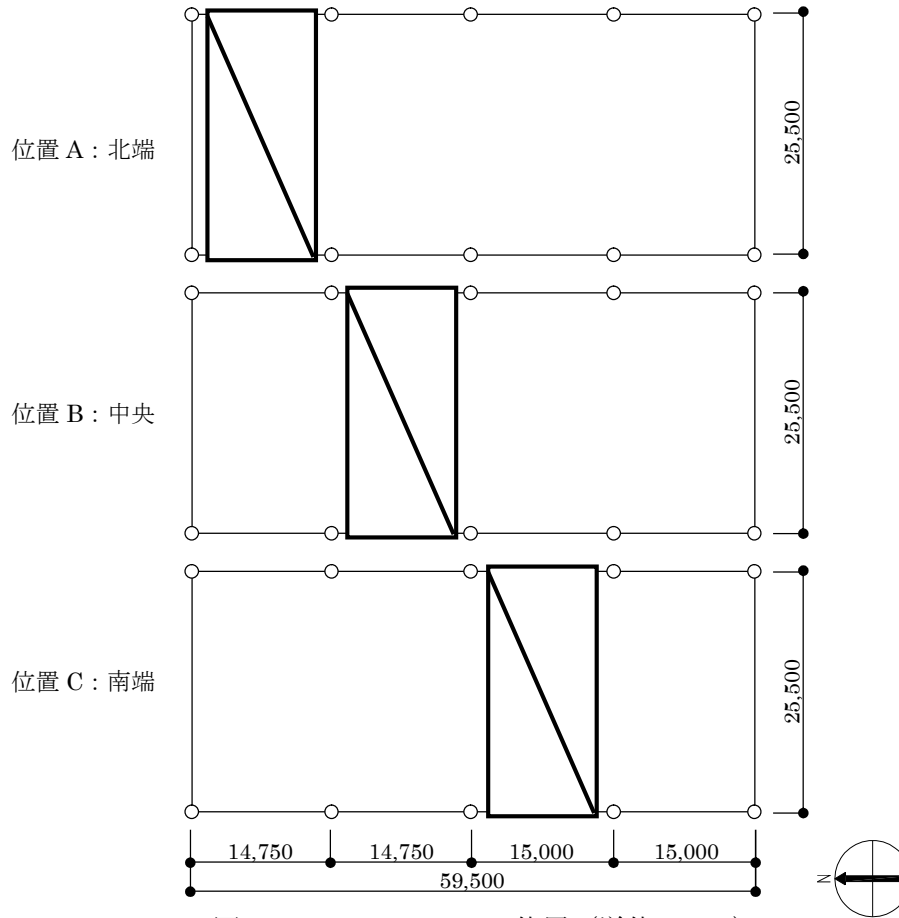


図 2.2.1-1 クレーンの位置 (単位 : mm)

表 2.2.1-5 クレーン支持用架構の荷重組合せ

| 想定する状態            | 荷重ケース | 荷重組合せ内容                                   | 許容応力度 |
|-------------------|-------|---|-------|
| 常時                | C     | VL+CL <sup>*1</sup>                       | 長期    |
| 積雪時 <sup>*3</sup> | S     | VL+CL <sup>*1</sup> +SL                   | 短期    |
| 暴風時 <sup>*3</sup> | W     | VL+CL <sup>*1</sup> +WL                   |       |
| 地震時               | E1    | VL+CL <sup>*1</sup> +K(+NS) <sup>*2</sup> |       |
|                   | E2    | VL+CL <sup>*1</sup> +K(-NS) <sup>*2</sup> |       |
|                   | E3    | VL+CL <sup>*1</sup> +K(+EW) <sup>*2</sup> |       |
|                   | E4    | VL+CL <sup>*1</sup> +K(-EW) <sup>*2</sup> |       |

\*1 : 吊荷重量は、常時、積雪時及び暴風時はクレーン位置、地震時は仕立てエリアにて考慮する。

\*2 : 地震荷重は NS 方向及び EW 方向を考慮する。

\*3 : 短期事象では地震時が支配的であることから、積雪時及び暴風時の検討は省略する。ただし、外装材の検討は暴風時が支配的であることから暴風時に対し検討を行う。

なお、地震時と暴風時のクレーン支持用架構の層せん断力について、風荷重の受圧面積が最大になる EW 方向で比較した結果を図 2. 2. 1-2 に示す。図 2. 2. 1-2 より、地震時の層せん断力は暴風時の層せん断力を包絡しており、支配的な荷重である。

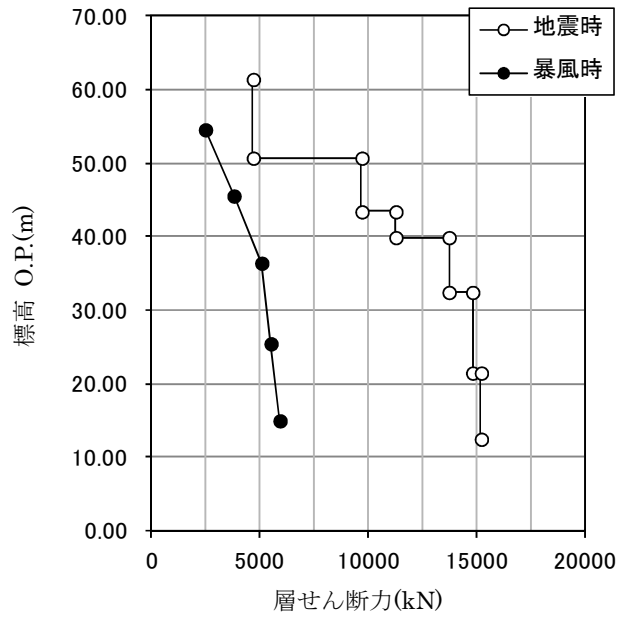


図 2. 2. 1-2 地震時と暴風時の層せん断力の比較

(2) 架構の構造強度に対する検討

1) 解析モデル

クレーン支持用架構の解析モデルは、基礎スラブ厚中央 (O.P.10.5m) より上部を立体架構モデルとし、柱及び梁の部材端部の条件は剛接、柱脚部は基礎下でピン支持とする。解析モデル、部材寸法及び応力検討箇所を図 2. 2. 1-3 に示す。ここに、使用する材質は SM490A とする。

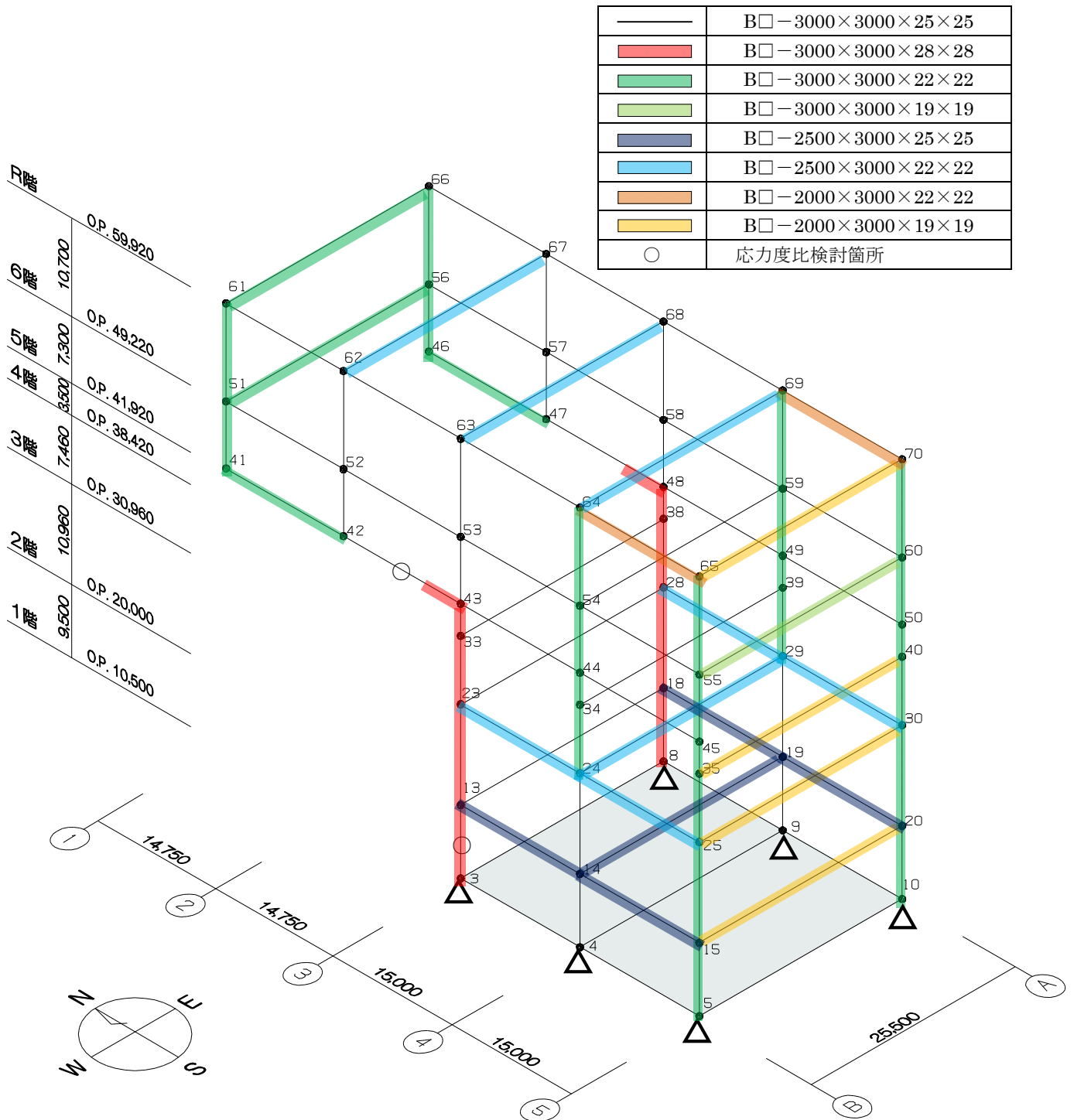


図 2. 2. 1-3 解析モデル図 (単位 : mm)

## 2) 断面検討

応力解析結果を用い、断面検討は二方向の曲げを図 2.2.1-4 に示すように考慮する。

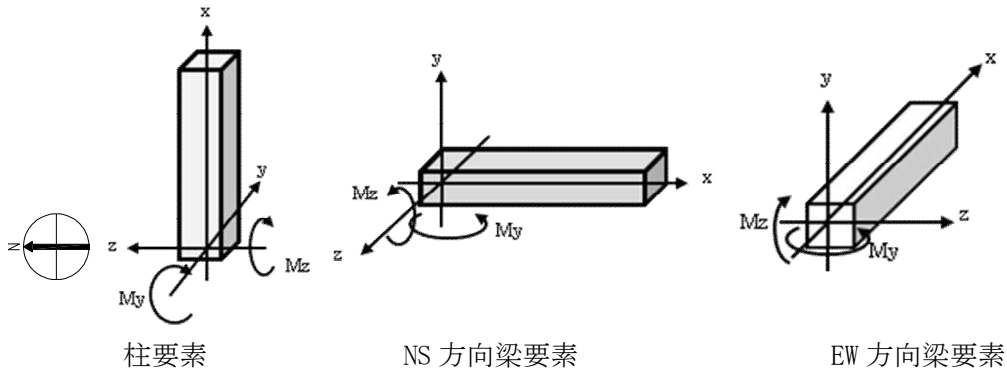


図 2.2.1-4 曲げモーメントの方向

応力度比の検討は「鋼構造設計規準」に従い、軸力及び曲げモーメントに対する検討は下式にて行う。

- ・ 軸圧縮の場合 
$$\frac{\sigma_c}{f_c} + \frac{\sigma_{bz} + \sigma_{by}}{f_b} \leq 1$$
- ・ 軸引張の場合 
$$\frac{\sigma_c + \sigma_{bz} + \sigma_{by}}{f_t} \leq 1$$

ここで、

$\sigma_c$  : 軸応力度 (=N/A)

N : 軸力, A : 断面積

$\sigma_{bz}$  : 部材 z 軸方向曲げ応力度 (=Mz/Zz)

Mz, Zz : 部材 z 軸回りモーメント及び断面係数

$\sigma_{by}$  : 部材 y 軸方向曲げ応力度 (=My/Zy)

My, Zy : 部材 y 軸回りモーメント及び断面係数

fc : 許容圧縮応力度

fb : 許容曲げ応力度

ft : 許容引張応力度

また、せん断力に対する検討は下式にて行う。

$$\frac{\sqrt{(\sigma_c + \sigma_{bz} + \sigma_{by})^2 + 3\tau_z^2}}{f_t} \leq 1 \quad \text{かつ} \quad \frac{\sqrt{(\sigma_c + \sigma_{bz} + \sigma_{by})^2 + 3\tau_y^2}}{f_t} \leq 1$$

ここで、

$\tau_z$  : 部材 z 軸方向せん断応力度 (=Qz/Awz)

Qz, Awz : 部材 z 軸方向せん断力及びせん断断面積

$\tau_y$  : 部材 y 軸方向せん断応力度 (=Qy/Awy)

Qy, Awy : 部材 y 軸方向せん断力及びせん断断面積



表 2. 2. 1-6 及び表 2. 2. 1-7 に応力度比が最大となる部位の断面検討結果を示す。  
 断面検討の結果、全ての部材に対する応力度比が 1 以下になることを確認した。

表 2. 2. 1-6 断面検討結果（常時）

| 部位 | 検討箇所        | 部材形状<br>(mm)           | 荷重ケース<br>(位置)*1 | 作用<br>応力度<br>(N/mm <sup>2</sup> ) |      | 許容<br>応力度<br>(N/mm <sup>2</sup> ) | 応力度比 | 判定 |
|----|-------------|------------------------|-----------------|-----------------------------------|------|-----------------------------------|------|----|
|    |             |                        |                 |                                   |      |                                   |      |    |
| 柱  | 1階<br>3-B   | B□-3000×3000<br>×28×28 | C<br>(A)        | 曲げ Mz                             | 37.3 | 216.7                             | 0.52 | OK |
|    |             |                        |                 | 曲げ My                             | 8.4  |                                   |      |    |
|    |             |                        |                 | 圧縮 N                              | 65.1 |                                   |      |    |
|    |             |                        |                 | せん断 Qz                            | 0.8  |                                   |      |    |
|    |             |                        |                 | せん断 Qy                            | 8.9  |                                   |      |    |
| 梁  | 5階<br>2-3/B | B□-3000×3000<br>×28×28 | C<br>(A)        | 曲げ Mz                             | 93.0 | 216.7                             | 0.55 | OK |
|    |             |                        |                 | 曲げ My                             | 0.4  |                                   |      |    |
|    |             |                        |                 | 圧縮 N                              | 19.2 |                                   |      |    |
|    |             |                        |                 | せん断 Qz                            | 0.4  |                                   |      |    |
|    |             |                        |                 | せん断 Qy                            | 20.1 |                                   |      |    |

\*1：クレーンの位置を示す

表 2. 2. 1-7 断面検討結果（地震時）

| 部位 | 検討箇所        | 部材形状<br>(mm)           | 荷重ケース<br>(位置)*1 | 作用<br>応力度<br>(N/mm <sup>2</sup> ) |       | 許容<br>応力度<br>(N/mm <sup>2</sup> ) | 応力度比 | 判定 |
|----|-------------|------------------------|-----------------|-----------------------------------|-------|-----------------------------------|------|----|
|    |             |                        |                 |                                   |       |                                   |      |    |
| 柱  | 1階<br>3-B   | B□-3000×3000<br>×28×28 | E3<br>(A)       | 曲げ Mz                             | 160.6 | 325.0                             | 0.86 | OK |
|    |             |                        |                 | 曲げ My                             | 31.9  |                                   |      |    |
|    |             |                        |                 | 圧縮 N                              | 79.5  |                                   |      |    |
|    |             |                        |                 | せん断 Qz                            | 7.9   |                                   |      |    |
|    |             |                        |                 | せん断 Qy                            | 37.1  |                                   |      |    |
| 梁  | 5階<br>2-3/B | B□-3000×3000<br>×28×28 | E3<br>(A)       | 曲げ Mz                             | 93.1  | 325.0                             | 0.55 | OK |
|    |             |                        |                 | 曲げ My                             | 58.9  |                                   |      |    |
|    |             |                        |                 | 圧縮 N                              | 20.0  |                                   |      |    |
|    |             |                        |                 | せん断 Qz                            | 8.3   |                                   |      |    |
|    |             |                        |                 | せん断 Qy                            | 20.5  |                                   |      |    |

\*1：クレーンの位置を示す

### (3) 基礎スラブの構造強度に対する検討

#### 1) 解析モデル

基礎スラブの応力解析は、弾性地盤上に支持された版として有限要素法を用いて行い、解析モデルは図 2.2.1-5 に示すように四辺形の均質等方な板要素により構成し、支持地盤は等価な弾性ばねとしてモデル化する。

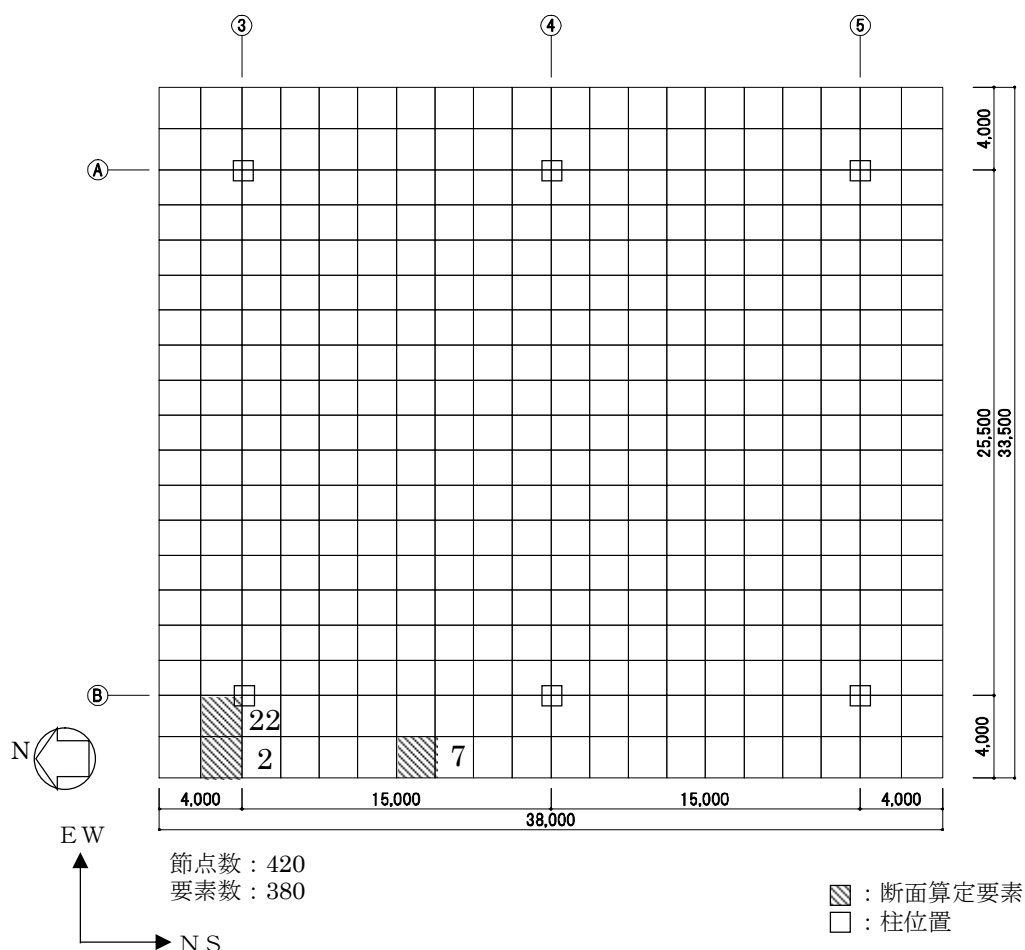


図 2.2.1-5 解析モデル図 (単位: mm)

#### 2) 断面検討

組合せた応力より、各要素の必要鉄筋比を「原子力施設鉄筋コンクリート構造計算規準・同解説」より求め、設計配筋が必要鉄筋比を上回ること及び面外せん断力が許容せん断力以下であることを確認する。必要鉄筋比が最大となる要素と設計面外せん断力と許容せん断力との比が最大になる要素の断面検討結果を表 2.2.1-8 に示し、必要鉄筋比が最大となる要素を含む EW 方向の配筋図を図 2.2.1-6 に示す。

断面検討の結果、設計配筋は必要鉄筋比を上回り、また面外せん断力は許容せん断力以下であることを確認した。

表 2.2.1-8 基礎スラブの断面算定表

| 要素<br>番号 | 方向 | 荷重<br>ケース<br>(位置) <sup>*1</sup> | 設計応力                      |               | N/(b・D) <sup>*2</sup><br>(×10 <sup>-2</sup> N/mm <sup>2</sup> ) | M/(b・D <sup>2</sup> )<br>(×10 <sup>-2</sup> N/mm <sup>2</sup> ) | P <sub>t</sub><br>(%) | a <sub>t</sub><br>(mm <sup>2</sup> /m) | 設計配筋<br>上段：上端筋 [断面積 mm <sup>2</sup> /m] (pt:%)<br>下段：下端筋 [断面積 mm <sup>2</sup> /m] (pt:%) | 荷重<br>ケース<br>(位置) <sup>*1</sup> | 設計面外<br>せん断力<br>Q<br>(kN/m) | 許容<br>せん断力<br>f <sub>s</sub> ・b・j<br>(kN/m) | 判定 |
|----------|----|---------------------------------|---------------------------|---------------|---|---|-----------------------|--|--|---------------------------------|-----------------------------|---|----|
|          |    |                                 | N <sup>*2</sup><br>(kN/m) | M<br>(kN・m/m) |   |   |                       |  |  |                                 |                             |   |    |
| 2        | NS | C (A)                           | -53                       | 2397          | -1.4  | 15.0  | 0.09                  | 3600                                   | D38@200+D38@400 [8550] (0.21)<br>D38@200+D38@400 [8550] (0.21)                           | C (C)                           | 126                         | 2627  | OK |
|          |    | E3(A)                           | -264                      | 2643          | -6.6  | 16.6  | 0.06                  | 2400                                   | D38@200+D38@400 [8550] (0.21)<br>D38@200+D38@400 [8550] (0.21)                           | E1(C)                           | 215                         | 3940  | OK |
|          | EW | C (A)                           | 16                        | 1589          | 0.4   | 10.0  | 0.06                  | 2400                                   | 3-D38@200 [17100] (0.43)<br>2-D38@200 [11400] (0.29)                                     | C (A)                           | 1583                        | 2627  | OK |
|          |    | E3(A)                           | 110                       | 2111          | 2.8   | 13.2  | 0.03                  | 1200                                   | 3-D38@200 [17100] (0.43)<br>2-D38@200 [11400] (0.29)                                     | E3(A)                           | 1925                        | 3940  | OK |
| 7        | NS | C (A)                           | 47                        | 3678          | 1.2   | 23.0  | 0.13                  | 5200                                   | D38@200+D38@400 [8550] (0.21)<br>1-D38@200 [5700] (0.14)                                 | C (C)                           | 245                         | 2627  | OK |
|          |    | E2(A)                           | 29                        | 3932          | 0.8   | 24.6  | 0.07                  | 2800                                   | D38@200+D38@400 [8550] (0.21)<br>1-D38@200 [5700] (0.14)                                 | E2(C)                           | 396                         | 3940  | OK |
|          | EW | C (C)                           | -2                        | 40            | -0.1  | 0.3   | 0.00                  | 0                                      | 1-D38@200 [5700] (0.14)<br>1-D38@200 [5700] (0.14)                                       | C (B)                           | 135                         | 2627  | OK |
|          |    | E4(A)                           | -26                       | 112           | -0.7  | 0.7   | 0.00                  | 0                                      | 1-D38@200 [5700] (0.14)<br>1-D38@200 [5700] (0.14)                                       | E2(A)                           | 154                         | 3940  | OK |
| 22       | NS | C (A)                           | 13                        | 2582          | 0.4   | 16.2  | 0.09                  | 3600                                   | D38@200+D38@400 [8550] (0.21)<br>D38@200+D38@400 [8550] (0.21)                           | C (C)                           | 104                         | 2627  | OK |
|          |    | E2(A)                           | 239                       | 4038          | 6.0   | 25.3  | 0.06                  | 2400                                   | D38@200+D38@400 [8550] (0.21)<br>D38@200+D38@400 [8550] (0.21)                           | E1(C)                           | 541                         | 3940  | OK |
|          | EW | C (A)                           | 77                        | 2818          | 2.0   | 17.7  | 0.10                  | 4000                                   | 3-D38@200 [17100] (0.43)<br>2-D38@200 [11400] (0.29)                                     | C (C)                           | 575                         | 2627  | OK |
|          |    | E3(A)                           | 470                       | 4754          | 11.8  | 29.8  | 0.07                  | 2800                                   | 3-D38@200 [17100] (0.43)<br>2-D38@200 [11400] (0.29)                                     | E4(A)                           | 1227                        | 3940  | OK |

\*1： クレーンの位置を示す

\*2： 圧縮を正とする

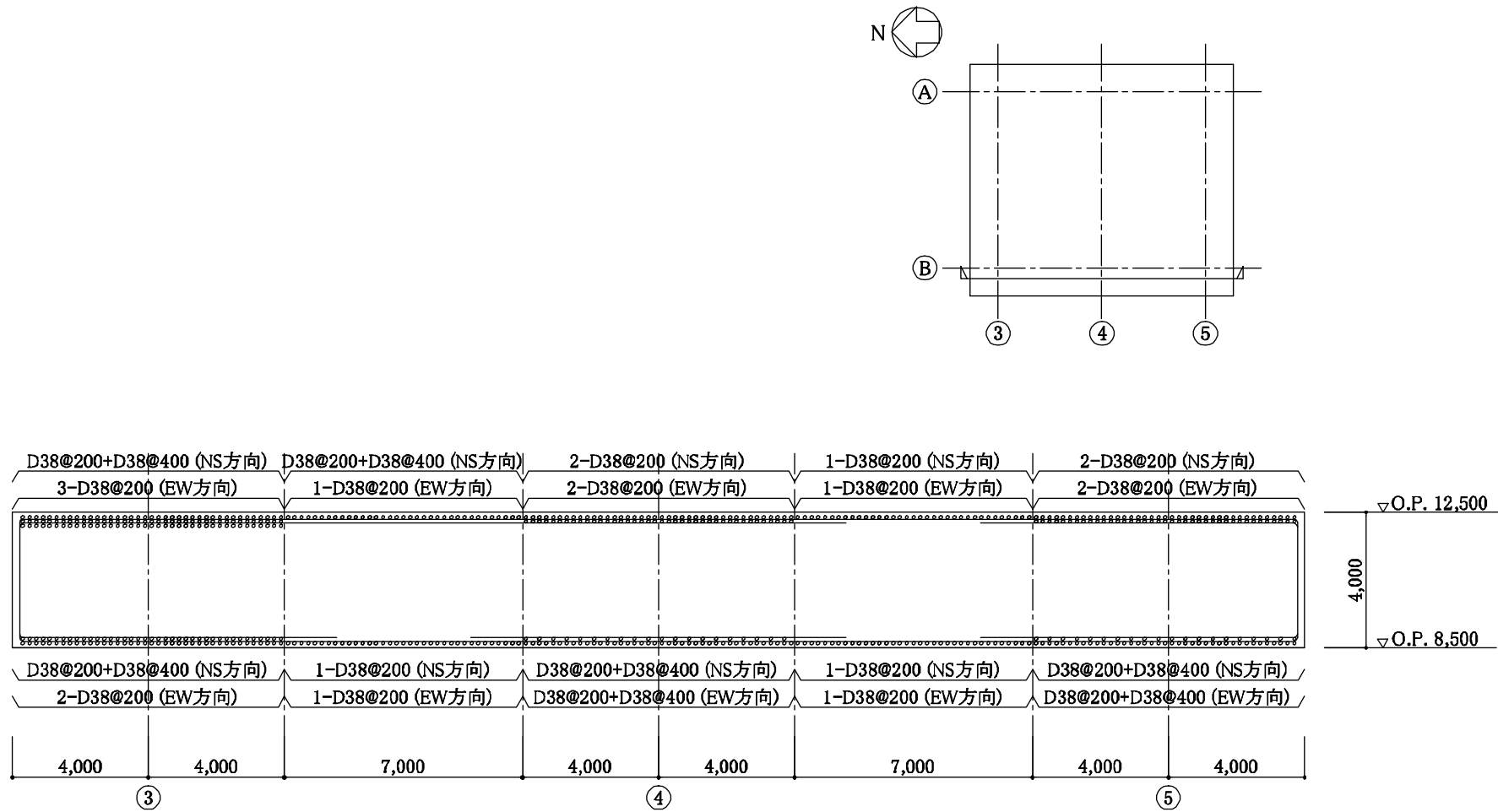


図 2.2.1-6 基礎スラブの配筋図 (B 通り) (単位 : mm)

#### (4) 改良地盤の構造強度に対する検討

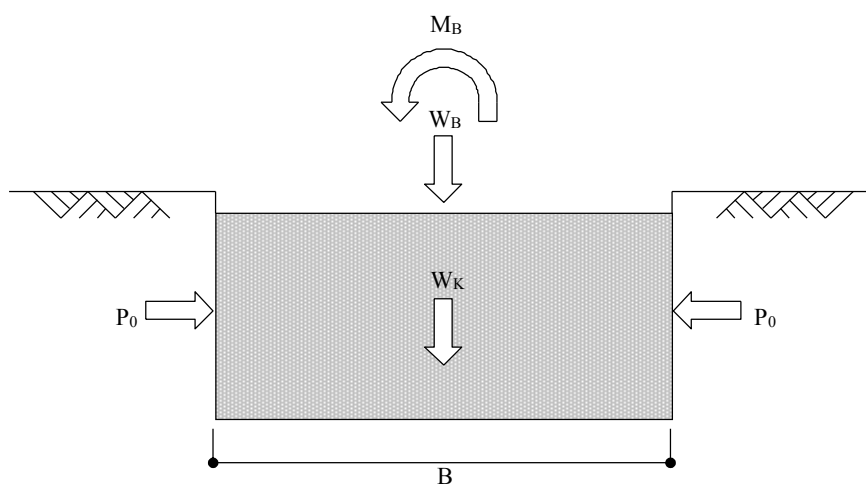
##### 1) 設計方針

クレーン支持用架構を支持する改良地盤は、基礎スラブ直下の地盤を南北方向に 38.0m、東西方向に 33.5m、改良厚さ 10.5m とし、O.P. -2.0m の泥岩に支持する。検討は「JEAC4616-2009」に準拠し、常時及び地震時の改良地盤に生じる最大応力が許容応力度以下であることを確認する。さらに、改良地盤直下の支持地盤の支持力に対して、常時及び地震時の改良地盤に生じる最大接地圧が許容支持力度以下であることを確認する。

##### 2) 常時に対する検討

###### ・改良地盤の検討

常時において、改良地盤底面に生じる最大接地圧が改良地盤の長期許容圧縮応力度以下であることを確認する。図 2.2.1-7 に作用荷重を示す。



$W_B$  : 架構荷重 + 基礎スラブ荷重 + 地盤アンカー荷重

$W_K$  : 改良地盤の自重

$M_B$  : 架構の偏心による転倒モーメント

$P_0$  : 長期設計用土圧

$B$  : 改良幅

図 2.2.1-7 作用荷重 (常時)

改良地盤の荷重負担範囲は、面積  $A=1273\text{m}^2$ 、断面係数  $Z=8062\text{m}^3$  となり、改良地盤底面に生じる最大接地圧は下式にて求める。

|            |  |
|------------|--|
| 鉛直力の合計     | $\Sigma W=W_B+W_K=607373\text{kN}$                 |
| 転倒モーメントの合計 | $\Sigma M=M_B=666480\text{kNm}$                    |
| 改良地盤の最大接地圧 | $q_r = \Sigma W/A + \Sigma M/Z = 560\text{kN/m}^2$ |

改良地盤に生じる最大接地圧 ( $q_r$ ) は、改良地盤の長期許容圧縮応力度 ( $Lf_{sc}$ ) 以下であることを確認した。

$$q_r = 560\text{kN/m}^2 \leq Lf_{sc} = 750\text{kN/m}^2$$

・支持力の検討

改良地盤底面に生じる最大接地圧 ( $q_r$ ) が、改良地盤直下の支持地盤の長期許容支持力度 ( $Lq_a$ ) 以下であることを確認した。

|               |                             |
|---------------|-----------------------------|
| 改良地盤の最大接地圧    | $q_r = 560\text{kN/m}^2$    |
| 支持地盤の長期許容支持力度 | $Lq_a = 1960\text{ kN/m}^2$ |

$$q_r = 560\text{kN/m}^2 \leq Lq_a = 1960\text{ kN/m}^2$$

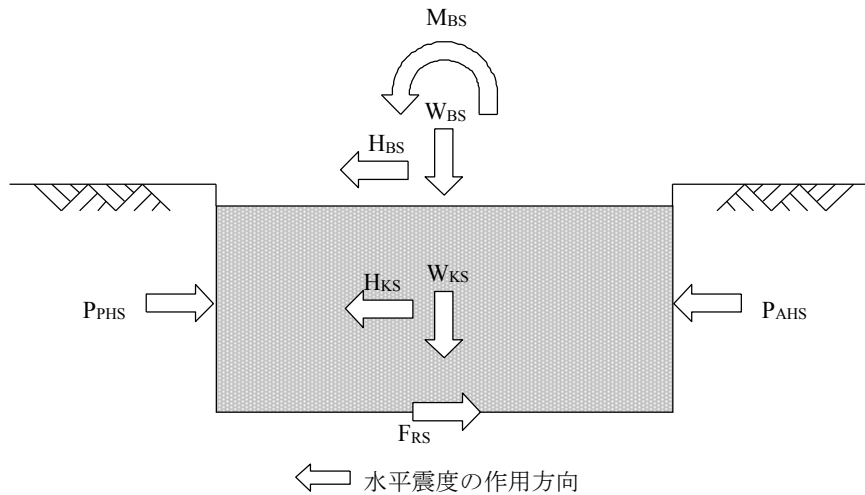
・沈下の検討

支持地盤は泥岩（岩盤）であるため、沈下の検討は不要である。

### 3) 地震時に対する検討

#### ・改良地盤の検討

地震時において、改良地盤底面の最大接地圧及びせん断応力が、改良地盤の短期許容応力度以下であることを確認する。図 2. 2. 1-8 に作用荷重を示す。



$W_{BS}$  : 架構荷重 + 基礎スラブ荷重 + 地盤アンカー荷重

$W_{KS}$  : 改良地盤の自重

$H_{BS}$  : 架構による水平力 + 基礎スラブによる水平力

$M_{BS}$  : 架構と基礎スラブによる改良地盤底面における転倒モーメント

$H_{KS}$  : 改良地盤の慣性力 (地中震度 0.15)

$P_{AHS}$  : 地震時主働土圧による水平力

$P_{PHS}$  : 地震時受働土圧による水平力

$F_{RS}$  : 支持地盤のせん断抵抗力

図 2. 2. 1-8 作用荷重 (地震時)

改良地盤の荷重負担範囲は、面積  $A=1273\text{m}^2$ 、断面係数  $Z=8062\text{m}^3$  となり、改良地盤底面の最大接地圧 ( $q_{1S}$ ) 及び最大せん断応力 ( $\tau_{\max}$ ) は下式にて求める。

$$\begin{aligned} \text{鉛直力の合計} & \quad \Sigma W=W_{BS}+W_{KS}=607373\text{kN} \\ \text{水平力の合計} & \quad \Sigma H=H_{BS}+H_{KS}+P_{AHS}+P_{PHS}=94687\text{kN} \\ \text{転倒モーメントの合計} & \quad \Sigma M=M_{BS}+M_{KS}+M_{AHS}+M_{PHS}=1944139\text{kNm} \end{aligned}$$

ここに、

$$\begin{aligned} M_{KS} & : \text{改良地盤の転倒モーメント} \\ M_{AHS} & : \text{地震時主働土圧による転倒モーメント} \\ M_{PHS} & : \text{地震時受働土圧による転倒モーメント} \end{aligned}$$

$$\begin{aligned} \text{改良地盤底面の最大接地圧} & \quad q_{1S} = \Sigma W/A + \Sigma M/Z = 719\text{kN/m}^2 \\ \text{改良地盤底面の最大せん断応力} & \quad \tau_{\max} = 1.2 \times \Sigma H/A = 90\text{kN/m}^2 \end{aligned}$$

改良地盤底面の最大接地圧 ( $q_{1S}$ ) 及び最大せん断応力 ( $\tau_{\max}$ ) は短期許容応力度 ( $sf_{sc}$  及び  $sf_{ss}$ ) 以下であることを確認した。

$$\begin{aligned} q_{1S} = 719\text{kN/m}^2 & \leq sf_{sc} = 1502\text{ kN/m}^2 \\ \tau_{\max} = 90\text{kN/m}^2 & \leq sf_{ss} = 229\text{ kN/m}^2 \end{aligned}$$

・支持力の検討

改良地盤底面に生じる最大接地圧 ( $q_{1S}$ ) が、改良地盤直下の支持地盤の短期許容支持力度 ( $sq_a$ ) 以下であることを確認した。

$$\begin{aligned} \text{改良地盤の最大接地圧} & \quad q_{1S} = 719\text{kN/m}^2 \\ \text{支持地盤の短期許容支持力度} & \quad sq_a = 3920\text{ kN/m}^2 \end{aligned}$$

$$q_{1S} = 719\text{kN/m}^2 \leq sq_a = 3920\text{ kN/m}^2$$



(5) 外装材の構造強度に対する検討

1) 設計方針

クレーン支持用架構の屋根面及び側面を覆う外装材は、鋼板パネルを用いる。設計荷重は暴風時の影響が支配的であることから積雪時及び地震時の検討は省略し、暴風時の応力が短期許容応力度以下になることを確認する。なお、許容応力度は製造メーカーの推奨値を、屋根面のたわみは「鋼板製屋根構法標準 (SSR2007)」(社団法人日本金属屋根協会, 2007), 壁面のたわみは「建築工事標準仕様書・同解説 JASS14 カーテンウォール工事」に準じて設定した。

2) 設計用荷重

設計用風圧力は、建築基準法施行令第 82 条の 4 および建設省告示第 1458 号に基づき、基準風速 30m/s, 地表面粗度区分Ⅱとして算定する。速度圧の算定結果を表 2.2.1-9 に、ピーク風力係数を表 2.2.1-10 に、風力係数の算定箇所を図 2.2.1-9 に示す。

表 2.2.1-9 速度圧の算定結果

| 建物高さ*<br>H<br>(m) | 平均風速の鉛直分布係数<br>Er | 基準風速<br>Vo<br>(m/s) | 平均速度圧<br>q<br>(N/m <sup>2</sup> ) |
|-------------------|-------------------|---------------------|-----------------------------------|
| 52.73             | 1.28              | 30                  | 885                               |

\*: 建物高さは、軒高さ (52.34m) と最高高さ (53.12m) の平均値とした

表 2.2.1-10 ピーク風力係数

| 建物高さ*<br>H<br>(m) | 屋根面  |      |      | 壁面    |       |
|-------------------|------|------|------|-------|-------|
|                   | 一般部  | 周縁部  | 隅角部  | 一般部   | 隅角部   |
| 52.73             | -2.5 | -3.2 | -4.3 | -2.11 | -2.62 |

\*: 建物高さは、軒高さ (52.34m) と最高高さ (53.12m) の平均値とした

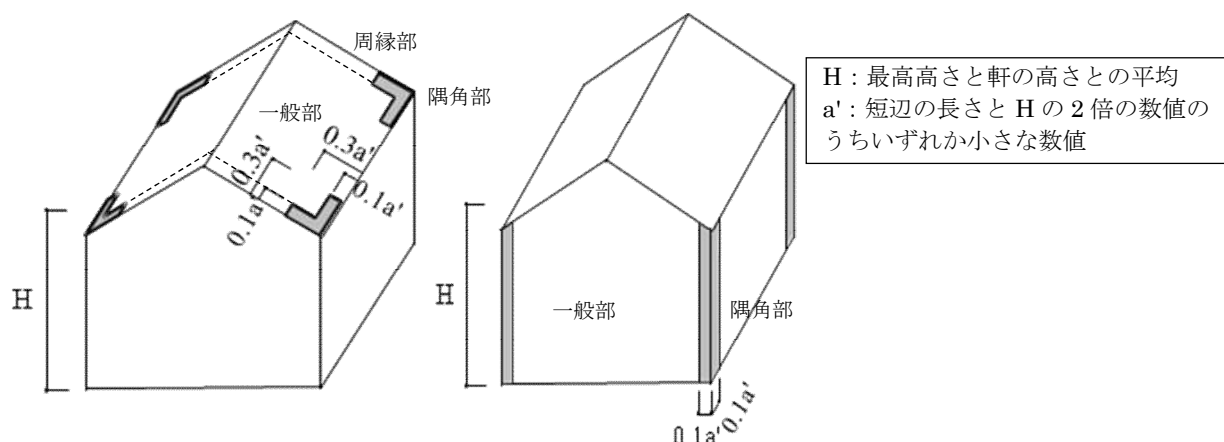


図 2.2.1-9 風力係数の算定箇所のイメージ

3) 外装材の強度検討

検討は応力が厳しくなる図 2. 2. 1-9 に示す隅角部について行う。ここでは、鋼板パネルの自重は考慮しないものとする。

a. 屋根材

鋼板パネルは下地材の間隔が 1.8m で連続支持されているものとし、暴風時の応力度とたわみに対して検討を行う。屋根材の材料諸元を表 2. 2. 1-11 に示す。

表 2. 2. 1-11 屋根材の材料諸元

| 表面材                                    |  |  |       |   |                                 | 芯材                                       |                                |      |
|--|--|--|-------|---|---------------------------------|--|--------------------------------|------|
| ヤング<br>係数<br>E<br>(N/mm <sup>2</sup> ) | せん断<br>弾性係数<br>G<br>(N/mm <sup>2</sup> ) | せん断<br>断面積<br>As<br>(mm <sup>2</sup> ) | 形状係数  | 許容<br>応力度<br>f <sub>b</sub><br>(N/mm <sup>2</sup> ) | 断面係数<br>Z<br>(mm <sup>3</sup> ) | せん断<br>弾性係数<br>G<br>(N/mm <sup>2</sup> ) | 断面積<br>A<br>(mm <sup>2</sup> ) | 形状係数 |
| 2.06×10 <sup>5</sup>                   | 7.92×10 <sup>4</sup>                     | 210.7                                  | 0.022 | 59.8  | 26.3×10 <sup>3</sup>            | 3.92                                     | 4.40×10 <sup>4</sup>           | 1.2  |

・応力度に対する検討

$$M = w \times L^2 / 8 = (0.885 \times 4.3) \times 1.8^2 / 8 = 1.542 \text{ kNm}$$

$$\sigma_b = M / Z = 1.542 \times 10^6 / 26.3 \times 10^3 = 58.7 \text{ N/mm}^2$$

$$\frac{\sigma_b}{f_b} = \frac{58.7}{59.8} = 0.982 \leq 1.0 \quad \dots \text{OK}$$

・たわみの検討

たわみ量は曲げ変形成分 (δ<sub>M</sub>) とせん断変形成分 (δ<sub>Q</sub>) の和で評価し、屋根材の短期許容変形 (1/300) \*以下であることを確認する。

\*:「鋼板製屋根構法標準 (SSR2007)」(社団法人日本金属屋根協会, 2007) による

$$\delta = \delta_M + \delta_Q = 0.220 + 0.302 = 0.522 \text{ cm}$$

$$\frac{\delta}{L} = \frac{0.522}{180} = \frac{1}{344} \leq \frac{1}{300} \quad \dots \text{OK}$$

検討の結果、作用応力は屋根材の短期許容応力度以下であり、たわみは屋根材の短期許容変形以下であることを確認した。

b. 壁材

鋼板パネルは下地材の間隔が 1.2m で連続支持されているものとし、暴風時の応力とたわみに対して検討を行う。壁材の材料諸元を表 2. 2. 1-12 に示す。

表 2. 2. 1-12 壁材の材料諸元

| 表面材                                    |  |   |                                 | 芯材                                       |                                |      |
|--|--|---|---------------------------------|--|--------------------------------|------|
| ヤング<br>係数<br>E<br>(N/mm <sup>2</sup> ) | せん断<br>弾性係数<br>G<br>(N/mm <sup>2</sup> ) | 許容<br>応力度<br>f <sub>b</sub><br>(N/mm <sup>2</sup> ) | 断面係数<br>Z<br>(mm <sup>3</sup> ) | せん断<br>弾性係数<br>G<br>(N/mm <sup>2</sup> ) | 断面積<br>A<br>(mm <sup>2</sup> ) | 形状係数 |
| 2.06×10 <sup>5</sup>                   | 7.92×10 <sup>4</sup>                     | 58.8  | 17.0×10 <sup>3</sup>            | 4.90                                     | 35000                          | 1.2  |

・応力度に対する検討

$$M = w \times L^2 / 8 = (0.885 \times 2.62) \times 1.2^2 / 8 = 0.418 \text{ kNm}$$

$$\sigma_b = M / Z = 0.418 \times 10^6 / 17.0 \times 10^3 = 24.6 \text{ N/mm}^2$$

$$\frac{\sigma_b}{f_b} = \frac{24.6}{58.8} = 0.419 \leq 1.0 \quad \dots \text{OK}$$

・たわみの検討

たわみ量は曲げ変形成分 (δ<sub>M</sub>) とせん断変形成分 (δ<sub>Q</sub>) の和で評価し、壁材の短期許容変形 (1/300) \*以下であることを確認する。

\*:「建築工事標準仕様書・同解説 JASS14 カーテンウォール工事」による

$$\delta = \delta_M + \delta_Q = 0.075 + 0.293 = 0.368 \text{ cm}$$

$$\frac{\delta}{L} = \frac{0.368}{120} = \frac{1}{326} \leq \frac{1}{300} \quad \dots \text{OK}$$

検討の結果、作用応力は壁材の短期許容応力度以下であり、たわみは壁材の短期許容変形以下であることを確認した。

## 2.2.2 耐震性

### (1) 検討方針

耐震性の検討は、クレーン支持用架構、基礎スラブ、改良地盤及び地盤アンカーについて行い、基準地震動  $S_s$  に対して、クレーン支持用架構、基礎スラブ、改良地盤及び周辺地盤の応答性状を適切に表現できる地震応答解析モデルを設定して実施する。

### (2) 架構の耐震性に対する検討

#### 1) 解析に用いる入力地震動

検討に用いる地震動は、「福島第一原子力発電所『発電用原子炉施設に関する耐震設計審査指針』の改訂に伴う耐震安全性評価結果 中間報告書」(平成 20 年 3 月 31 日 東京電力株式会社)にて作成した解放基盤表面で定義される基準地震動  $S_s$  とする。

地震応答解析に用いる入力地震動の概念図を図 2.2.2-1 に示す。モデルに入力する地震動は一次元波動論に基づき、解放基盤表面で定義される基準地震動  $S_s$  に対する地盤の応答として評価する。解放基盤表面位置 (O.P. -196.0m) における基準地震動  $S_s-1$ ,  $S_s-2$  及び  $S_s-3$  の加速度時刻歴波形を図 2.2.2-2(1) 及び図 2.2.2-2(2) に示す。

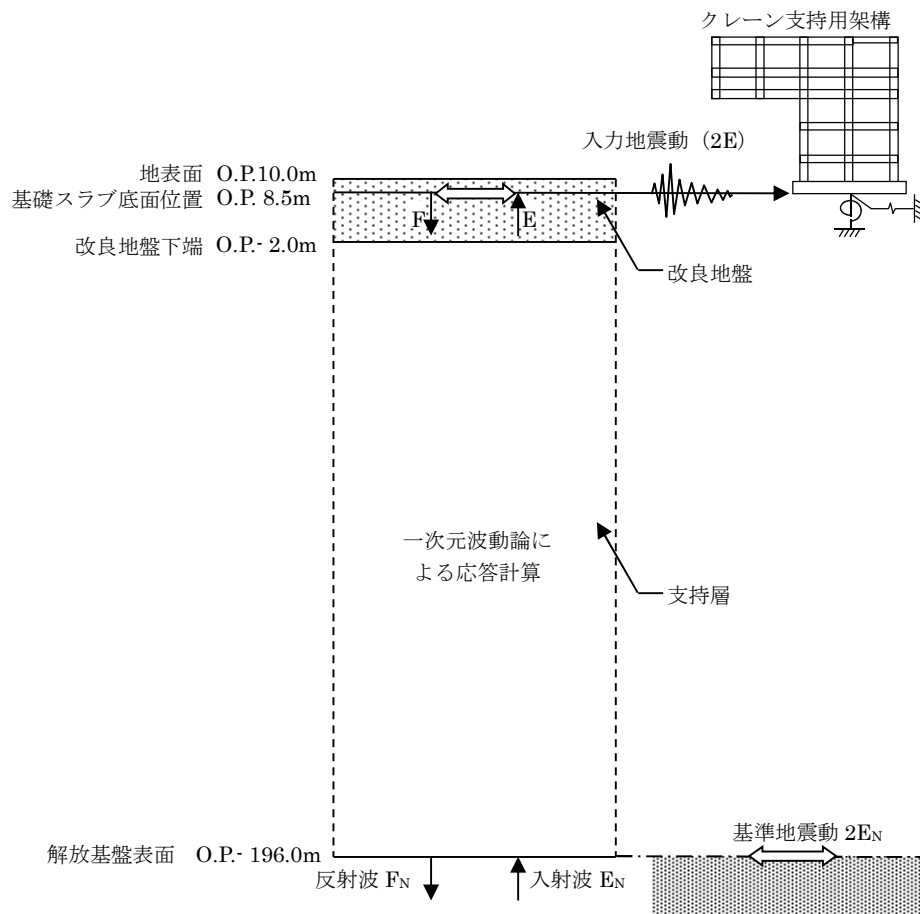
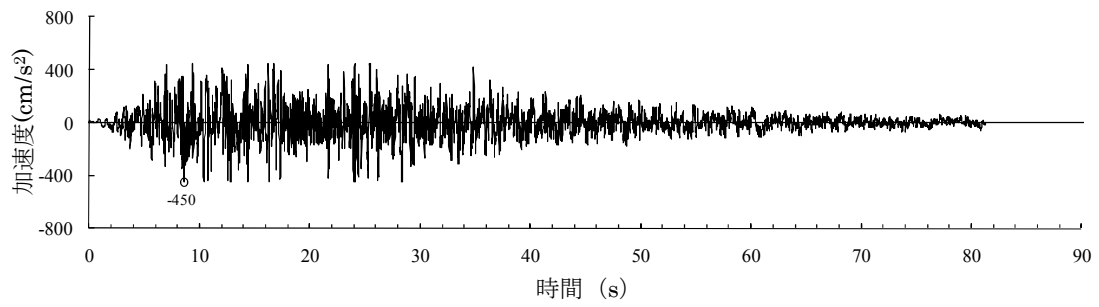
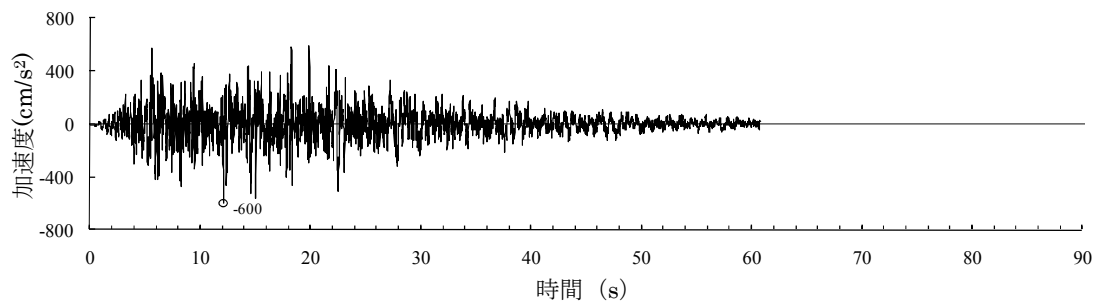


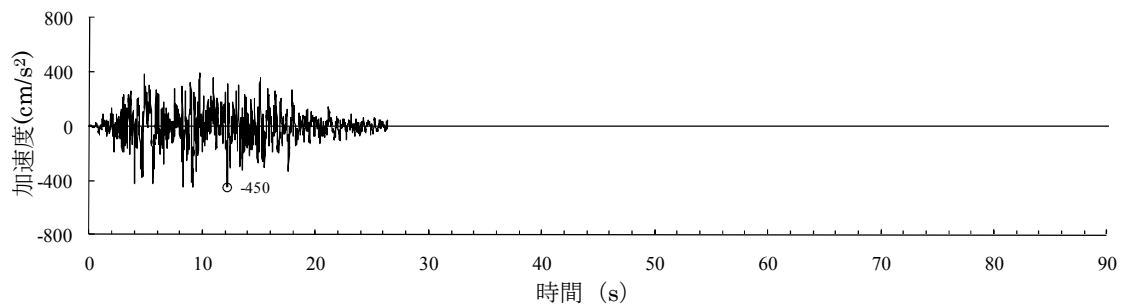
図 2.2.2-1 地震応答解析に用いる入力地震動の概念図



(Ss-1H)



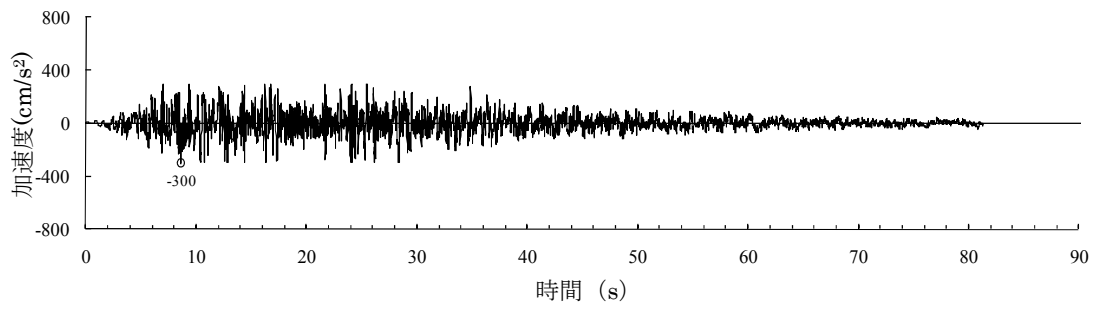
(Ss-2H)



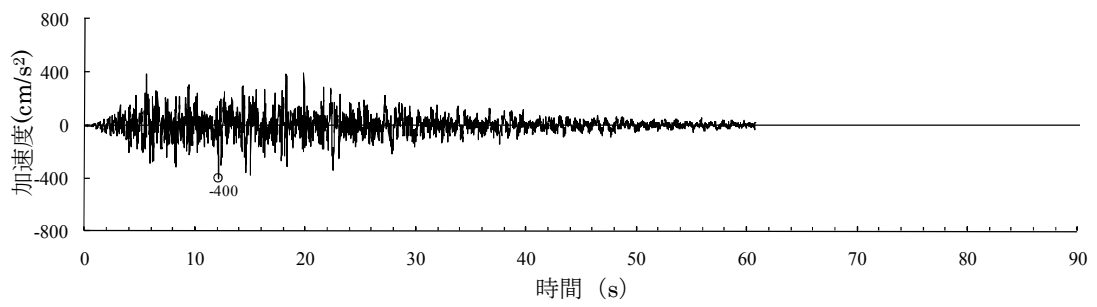
(Ss-3H)

○印は最大値を示す

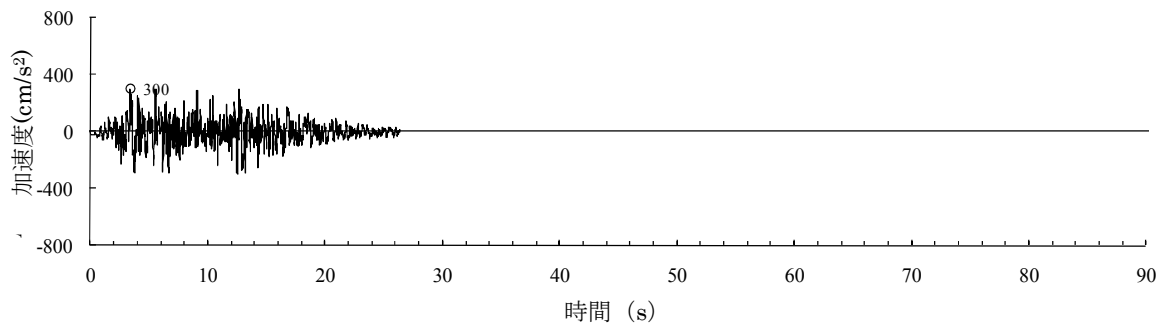
図 2.2.2-2(1) 解放基盤表面における地震動の加速度時刻歴波形  
(水平方向)



(Ss-1V)



(Ss-2V)



(Ss-3V)

○印は最大値を示す

図 2. 2. 2-2(2) 解放基盤表面における地震動の加速度時刻歴波形  
(鉛直方向)

## 2) 地震応答解析モデル

地震応答解析モデルは、図 2.2.2-3 に示す柱及び梁を立体的にモデル化した立体架構モデルとし、地盤を等価なばねで評価した建屋-地盤連成系モデルとする。

地震応答解析に用いる物性値を表 2.2.2-1 に、層間変形角が最大となるクレーンを北端に設置した場合の地震応答解析モデルの質点重量を表 2.2.2-2 に、クレーン支持用架構の復元力特性の設定を図 2.2.2-4 に示す。復元力特性の設定は「鋼構造塑性設計指針」に準じた。

地震応答解析に用いる地盤定数は、「福島第一原子力発電所『発電用原子炉施設に関する耐震設計審査指針』の改訂に伴う耐震安全性評価結果 中間報告書」(平成 20 年 3 月 31 日 東京電力株式会社)を参考に、水平成層地盤と仮定し地震時のせん断ひずみレベルを考慮して定めた。改良地盤の諸元を表 2.2.2-3 に、地盤のひずみ依存性を図 2.2.2-5 に、地盤定数の設定結果を表 2.2.2-4 に示す。基礎底面の地盤ばねについては、「JEAG 4601-1991」に示されている手法を参考にして、地盤を成層補正し振動アドミッタンス理論により評価した。

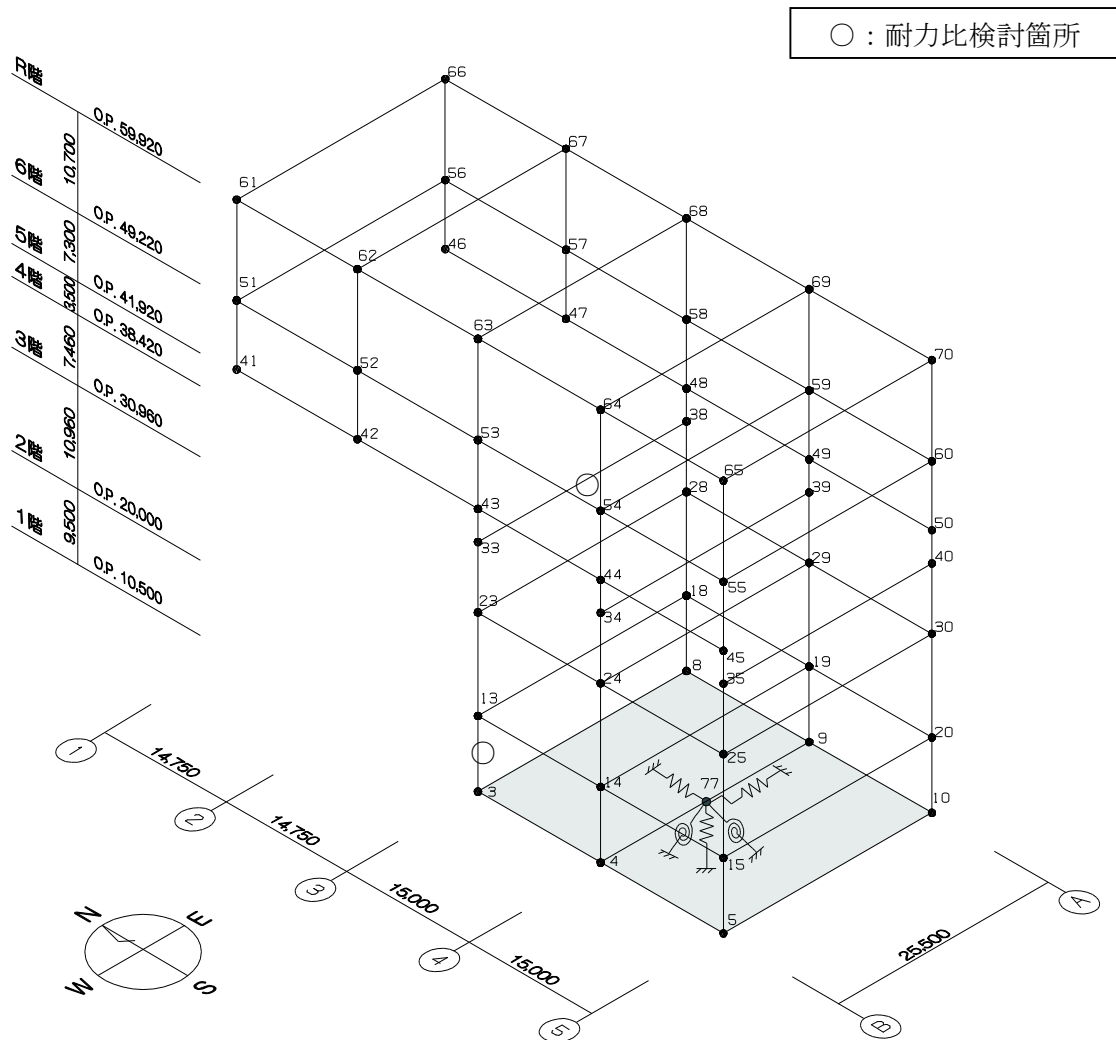


図 2.2.2-3 クレーン支持用架構の地震応答解析モデル (単位: mm)

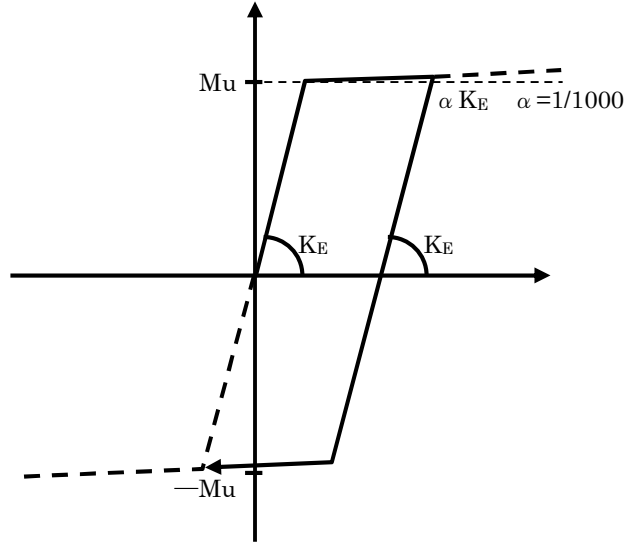
表 2. 2. 2-1 地震応答解析に用いる物性値

| 部位            | 材料     | ヤング係数<br>E(N/mm <sup>2</sup> ) | ポアソン比<br>$\nu$ | 単位体積重量<br>$\gamma$ (kN/m <sup>3</sup> ) | 減衰定数<br>h (%) | 備考                               |
|---------------|--------|--------------------------------|----------------|---|---------------|----------------------------------|
| クレーン支持<br>用架構 | 鉄骨     | 2.05×10 <sup>5</sup>           | 0.3            | 77.0                                    | 2             | SM490A                           |
| 基礎スラブ         | コンクリート | 2.44×10 <sup>4</sup>           | 0.2            | 24.0                                    | 5             | 設計基準強度<br>30(N/mm <sup>2</sup> ) |

表 2. 2. 2-2 地震応答解析モデルにおける質点重量

| 階  | 節点番号 | 重量(kN) | 階    | 節点番号 | 重量(kN) |       |
|----|------|--------|------|------|--------|-------|
| R  | 61   | 1129   | 4    | 33   | 2235   |       |
|    | 62   | 1221   |      | 34   | 2135   |       |
|    | 63   | 1225   |      | 35   | 374    |       |
|    | 64   | 1200   |      | 38   | 2176   |       |
|    | 65   | 502    |      | 39   | 1726   |       |
|    | 66   | 1132   |      | 40   | 374    |       |
|    | 6    | 67     | 1225 | 3    | 23     | 897   |
|    |      | 68     | 1229 |      | 24     | 1647  |
|    |      | 69     | 1202 |      | 25     | 635   |
|    |      | 70     | 503  |      | 28     | 819   |
| 51 |      | 2152   | 29   | 1178 |        |       |
| 52 |      | 1894   | 30   | 607  |        |       |
| 5  |      | 53     | 1094 | 2    | 13     | 1044  |
|    |      | 54     | 1567 |      | 14     | 1722  |
|    |      | 55     | 718  |      | 15     | 700   |
|    |      | 56     | 1629 |      | 18     | 920   |
|    | 57   | 1538   | 19   |      | 1315   |       |
|    | 58   | 1094   | 20   |      | 689    |       |
|    | 5    | 59     | 1375 | 1    | 3      | 26894 |
|    |      | 60     | 718  |      | 4      | 41540 |
|    |      | 41     | 393  |      | 5      | 21558 |
|    |      | 42     | 600  |      | 8      | 26896 |
| 43 |      | 657    | 9    |      | 41034  |       |
| 44 |      | 598    | 10   |      | 21268  |       |
| 45 |      | 321    | 77   |      | 0      |       |
| 46 |      | 377    | 合計   |      | 229924 |       |
| 47 |      | 605    |      |      |        |       |
| 48 |      | 700    |      |      |        |       |
| 49 | 622  |        |      |      |        |       |
| 50 | 321  |        |      |      |        |       |





ここに,

$M_u$  : 全塑性モーメント

$$M_{uy} = \left\{ A_{fy} (b - t_1) \sigma_y + \frac{1}{4} A_{wy} (b - 2t_1) \sigma_y \right\} \quad M_{uz} = \left\{ A_{fz} (d - t_2) \sigma_y + \frac{1}{4} A_{wz} (d - 2t_2) \sigma_y \right\}$$

$$A_{fy} = d \cdot t_1$$

$$A_{fz} = b \cdot t_2$$

$$A_{wy} = 2 \cdot (b - 2 \cdot t_1) \cdot t_2$$

$$A_{wz} = 2 \cdot (d - 2 \cdot t_2) \cdot t_1$$

$$A = b \cdot d - (b - 2 \cdot t_1) \cdot (d - 2 \cdot t_2) \quad \sigma_y : \text{降伏強度}$$

なお, せん断耐力は下式とする。

$Q_u$  : せん断耐力

$$Q_{uy} = \frac{1}{\sqrt{3}} A_{wz} \cdot \sigma_y \quad Q_{uz} = \frac{1}{\sqrt{3}} A_{wy} \cdot \sigma_y$$

$$A_{fy} = d \cdot t_1$$

$$A_{fz} = b \cdot t_2$$

$$A_{wy} = 2 \cdot (b - 2 \cdot t_1) \cdot t_2$$

$$A_{wz} = 2 \cdot (d - 2 \cdot t_2) \cdot t_1$$

$$A = b \cdot d - (b - 2 \cdot t_1) \cdot (d - 2 \cdot t_2) \quad \sigma_y : \text{降伏強度}$$

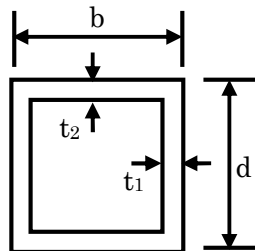


図 2.2.2-4 クレーン支持用架構の復元力特性の設定

表 2. 2. 2-3 改良地盤の諸元

| せん断波速度*<br>Vs<br>(m/s) | 単位体積重量<br>$\gamma$<br>(kN/m <sup>3</sup> ) | ポアソン比*<br>$\nu$ | 初期せん断弾性係数<br>Go<br>( $\times 10^5$ kN/m <sup>2</sup> ) |
|------------------------|--|-----------------|--|
| 800                    | 17.7                                       | 0.31            | 11.52  |

\*：『柏崎刈羽原子力発電所 1 号機 建物・構築物の耐震安全性評価について(指摘事項に関する回答)』(平成 22 年 2 月 19 日 東京電力株式会社), 総合資源エネルギー調査会原子力安全・保安部会耐震・構造設計小委員会構造 WG (第 46 回) 会合資料

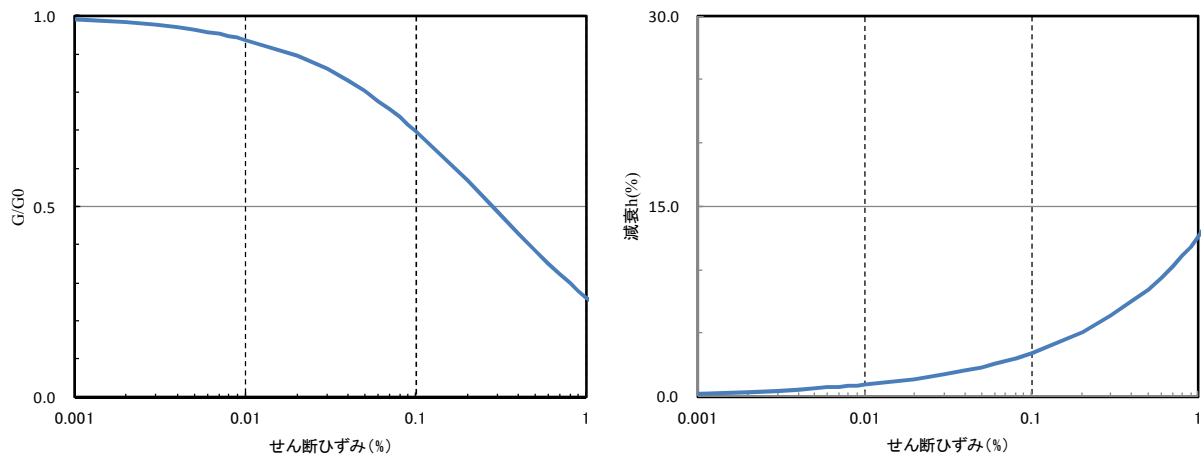


図 2. 2. 2-5 地盤のひずみ依存性(泥岩)\*

\*：『福島第一原子力発電所 3 号機「新耐震指針に照らした耐震安全性評価(中間報告)」に関する補足説明資料(コメント回答資料)ー建物・構築物ー』(平成 22 年 6 月 29 日 東京電力株式会社), 総合資源エネルギー調査会原子力安全・保安部会耐震・構造設計小委員会構造 WG (第 26 回) A サブグループ会合資料

表 2.2.2-4 地盤定数の設定結果

(a) Ss-1

| 標高<br>O.P.<br>(m) | 地質     | せん断波<br>速度<br>Vs<br>(m/s) | 単位体積<br>重量<br>γ<br>(kN/m <sup>3</sup> ) | ポアソン<br>比<br>ν | せん断<br>弾性係数<br>G<br>(×10 <sup>5</sup> kN/m <sup>2</sup> ) | 初期せん断<br>弾性係数<br>G <sub>0</sub><br>(×10 <sup>5</sup> kN/m <sup>2</sup> ) | 剛性<br>低下率<br>G/G <sub>0</sub> | ヤング<br>係数<br>E<br>(×10 <sup>5</sup> kN/m <sup>2</sup> ) | 減衰<br>定数<br>h<br>(%) | 層厚<br>H<br>(m) |
|-------------------|--------|---------------------------|---|----------------|---|--|-------------------------------|---|----------------------|----------------|
| 10.0              | 改良地盤   | 800                       | 17.7                                    | 0.310          | 11.43   | 11.52  | 0.99                          | 29.94   | 2                    | 12.0           |
| -2.0              |        |                           |   |                |   |  |                               |   |                      |                |
| -10.0             | 泥岩     | 450                       | 16.5                                    | 0.464          | 2.97  | 3.41   | 0.87                          | 8.70  | 3                    | 8.0            |
| -80.0             |        | 500                       | 17.1                                    | 0.455          | 3.59  | 4.36   | 0.82                          | 10.44   | 3                    | 70.0           |
| -108.0            |        | 560                       | 17.6                                    | 0.446          | 4.60  | 5.63   | 0.82                          | 13.31   | 3                    | 28.0           |
| -196.0            |        | 600                       | 17.8                                    | 0.442          | 5.29  | 6.53   | 0.81                          | 15.25   | 3                    | 88.0           |
| -196.0            | (解放基盤) | 700                       | 18.5                                    | 0.421          | 9.24  | 9.24   | 1.00                          | 26.26   | -                    | -              |

(b) Ss-2

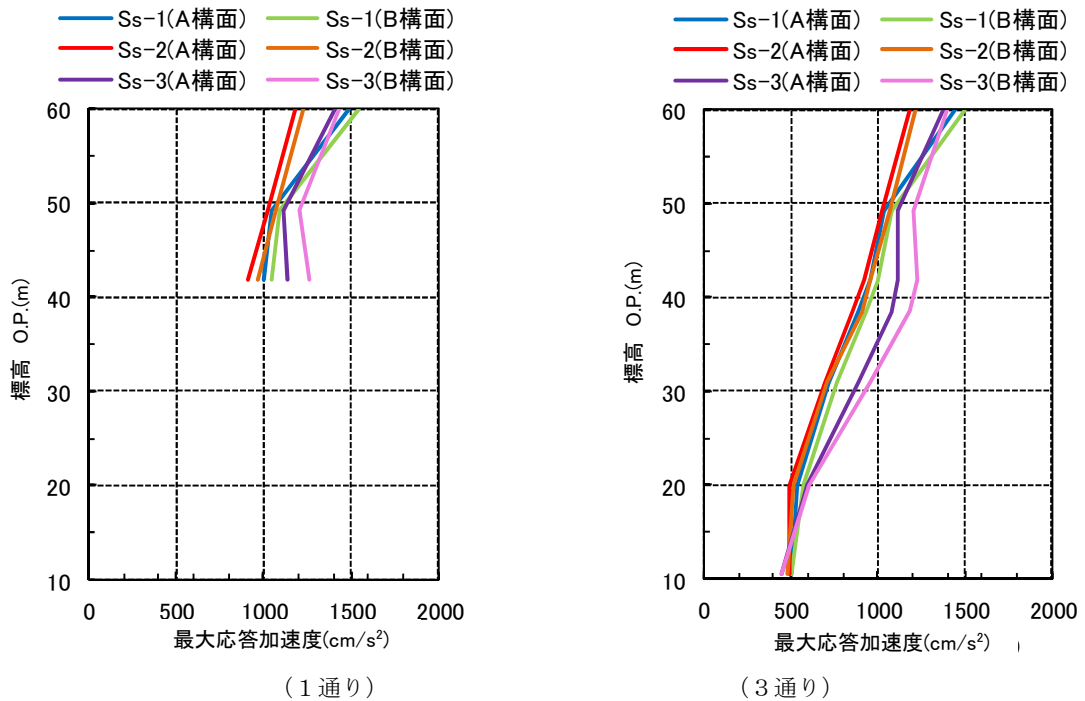
| 標高<br>O.P.<br>(m) | 地質     | せん断波<br>速度<br>Vs<br>(m/s) | 単位体積<br>重量<br>γ<br>(kN/m <sup>3</sup> ) | ポアソン<br>比<br>ν | せん断<br>弾性係数<br>G<br>(×10 <sup>5</sup> kN/m <sup>2</sup> ) | 初期せん断<br>弾性係数<br>G <sub>0</sub><br>(×10 <sup>5</sup> kN/m <sup>2</sup> ) | 剛性<br>低下率<br>G/G <sub>0</sub> | ヤング<br>係数<br>E<br>(×10 <sup>5</sup> kN/m <sup>2</sup> ) | 減衰<br>定数<br>h<br>(%) | 層厚<br>H<br>(m) |
|-------------------|--------|---------------------------|---|----------------|---|--|-------------------------------|---|----------------------|----------------|
| 10.0              | 改良地盤   | 800                       | 17.7                                    | 0.310          | 11.43   | 11.52  | 0.99                          | 29.94   | 2                    | 12.0           |
| -2.0              |        |                           |   |                |   |  |                               |   |                      |                |
| -10.0             | 泥岩     | 450                       | 16.5                                    | 0.464          | 2.98  | 3.41   | 0.87                          | 8.72  | 3                    | 8.0            |
| -80.0             |        | 500                       | 17.1                                    | 0.455          | 3.59  | 4.36   | 0.82                          | 10.45   | 3                    | 70.0           |
| -108.0            |        | 560                       | 17.6                                    | 0.446          | 4.62  | 5.63   | 0.82                          | 13.36   | 3                    | 28.0           |
| -196.0            |        | 600                       | 17.8                                    | 0.442          | 5.50  | 6.53   | 0.84                          | 15.85   | 3                    | 88.0           |
| -196.0            | (解放基盤) | 700                       | 18.5                                    | 0.421          | 9.24  | 9.24   | 1.00                          | 26.26   | -                    | -              |

(c) Ss-3

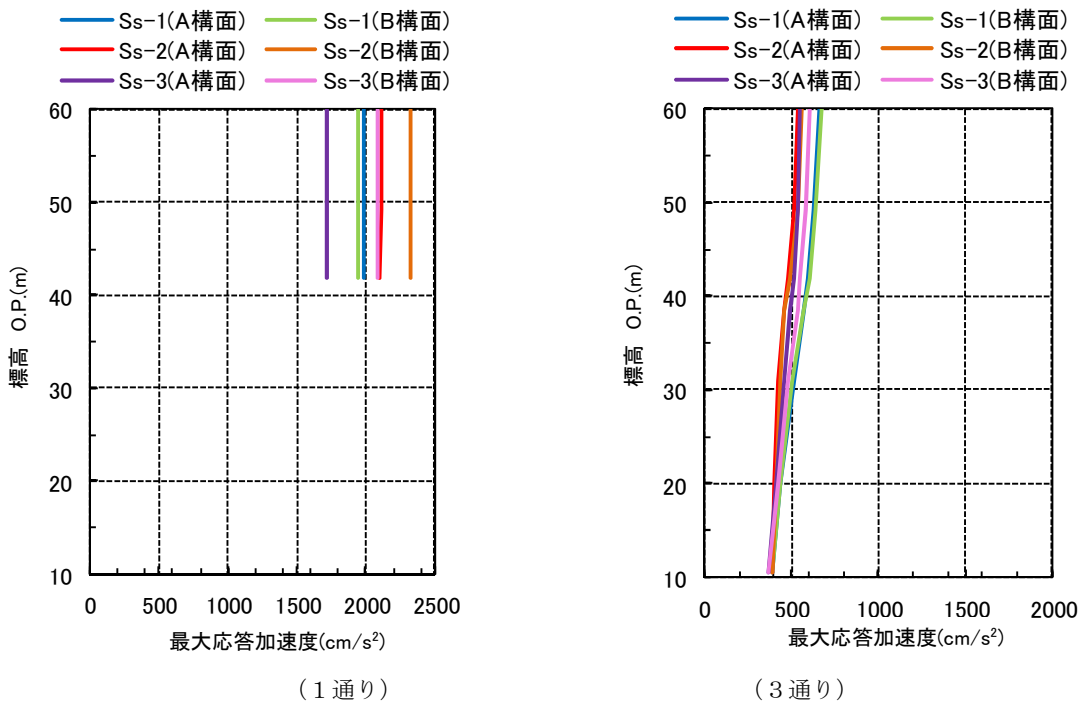
| 標高<br>O.P.<br>(m) | 地質     | せん断波<br>速度<br>Vs<br>(m/s) | 単位体積<br>重量<br>γ<br>(kN/m <sup>3</sup> ) | ポアソン<br>比<br>ν | せん断<br>弾性係数<br>G<br>(×10 <sup>5</sup> kN/m <sup>2</sup> ) | 初期せん断<br>弾性係数<br>G <sub>0</sub><br>(×10 <sup>5</sup> kN/m <sup>2</sup> ) | 剛性<br>低下率<br>G/G <sub>0</sub> | ヤング<br>係数<br>E<br>(×10 <sup>5</sup> kN/m <sup>2</sup> ) | 減衰<br>定数<br>h<br>(%) | 層厚<br>H<br>(m) |
|-------------------|--------|---------------------------|---|----------------|---|--|-------------------------------|---|----------------------|----------------|
| 10.0              | 改良地盤   | 800                       | 17.7                                    | 0.310          | 11.44   | 11.52  | 0.99                          | 29.98   | 2                    | 12.0           |
| -2.0              |        |                           |   |                |   |  |                               |   |                      |                |
| -10.0             | 泥岩     | 450                       | 16.5                                    | 0.464          | 3.00  | 3.41   | 0.88                          | 8.79  | 3                    | 8.0            |
| -80.0             |        | 500                       | 17.1                                    | 0.455          | 3.53  | 4.36   | 0.81                          | 10.27   | 3                    | 70.0           |
| -108.0            |        | 560                       | 17.6                                    | 0.446          | 4.52  | 5.63   | 0.80                          | 13.07   | 3                    | 28.0           |
| -196.0            |        | 600                       | 17.8                                    | 0.442          | 4.97  | 6.53   | 0.76                          | 14.34   | 3                    | 88.0           |
| -196.0            | (解放基盤) | 700                       | 18.5                                    | 0.421          | 9.24  | 9.24   | 1.00                          | 26.26   | -                    | -              |

### 3) 地震応答解析結果

地震応答解析は水平方向と鉛直方向を同時入力した。最大応答加速度を図 2.2.2-6 及び図 2.2.2-7 に示す。

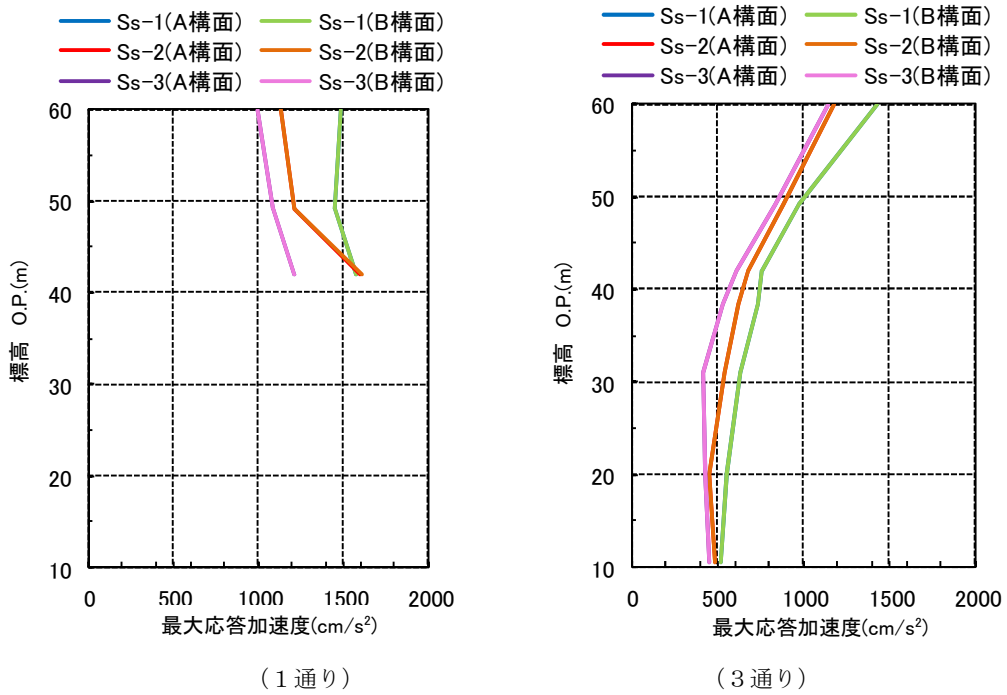


(a) 最大応答加速度 (水平(NS)成分)

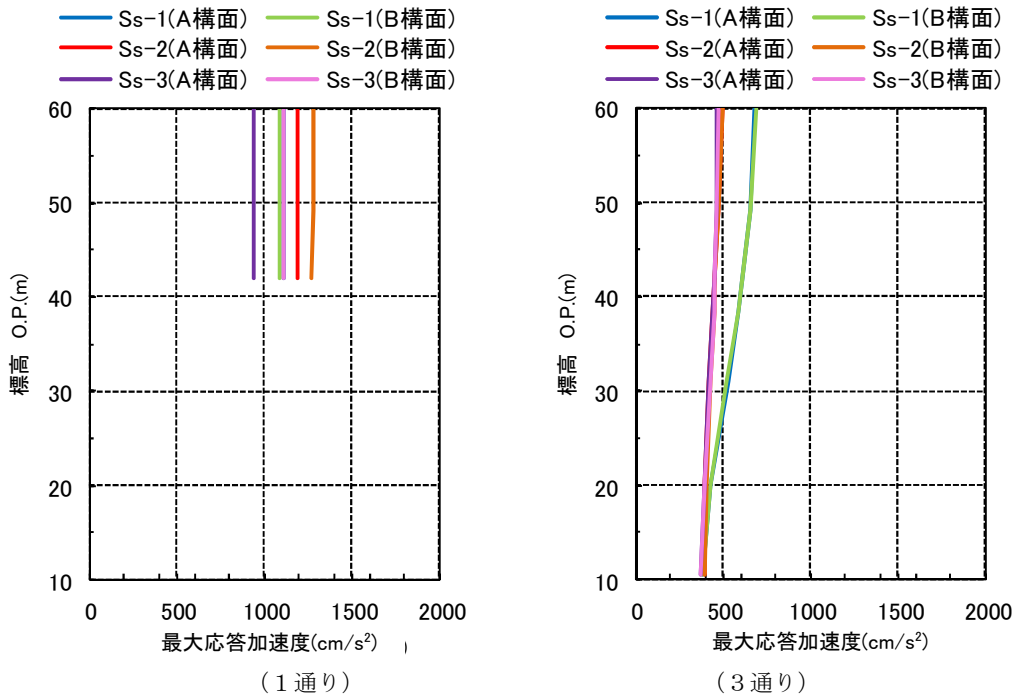


(b) 最大応答加速度 (鉛直成分)

図 2.2.2-6 最大応答加速度 (NS 方向入力時)



(a) 最大応答加速度 (水平(EW)成分)



(b) 最大応答加速度 (鉛直成分)

図 2.2.2-7 最大応答加速度 (EW 方向入力時)

#### 4) 波及的影響の評価

地震応答解析結果が、JSCA 性能メニュー（社団法人日本建築構造技術者協会，2002 年）を参考に定めたクライテリア（「層間変形角は 1/75 以下，層の塑性率は 4 以下，部材の塑性率は 5 以下」\*1 及びせん断力はせん断耐力以下）を満足することを確認する。

なお，解析結果が「時刻歴応答解析建築物性能評価業務方法書」（財団法人日本建築センター，平成 19 年 7 月 20 日）に示されるクライテリア（層間変形角は 1/100 以下，層の塑性率は 2 以下，部材の塑性率は 4 以下）を超える場合には水平変形に伴う鉛直荷重の付加的影響を考慮した解析を実施し，安全性を確認する。

\*1：北村春幸，宮内洋二，浦本弥樹「性能設計における耐震性能判断基準値に関する研究」，日本建築学会構造系論文集，第 604 号，2006 年 6 月

#### ・層間変形角の検討

層間変形の評価はクレーン支持用架構の剛心位置で評価し，表 2.2.2-5 に検討結果を示す。

検討の結果，層間変形角は 1/75 以下となりクライテリアを満足することを確認した。

表 2.2.2-5 層間変形角の検討結果

| 検討箇所 | 最大応答値    |       |       |          |       |       | クライテリア | 判定 |
|------|----------|-------|-------|----------|-------|-------|--------|----|
|      | NS 方向入力時 |       |       | EW 方向入力時 |       |       |        |    |
|      | Ss-1     | Ss-2  | Ss-3  | Ss-1     | Ss-2  | Ss-3  |        |    |
| 6 階  | 1/256    | 1/278 | 1/229 | 1/298    | 1/356 | 1/352 | 1/75   | OK |
| 5 階  | 1/240    | 1/266 | 1/220 | 1/239    | 1/295 | 1/288 | 1/75   | OK |
| 4 階  | 1/228    | 1/249 | 1/225 | 1/207    | 1/243 | 1/252 | 1/75   | OK |
| 3 階  | 1/194    | 1/205 | 1/199 | 1/196    | 1/233 | 1/237 | 1/75   | OK |
| 2 階  | 1/206    | 1/211 | 1/194 | 1/187    | 1/224 | 1/229 | 1/75   | OK |
| 1 階  | 1/357    | 1/359 | 1/317 | 1/329    | 1/397 | 1/409 | 1/75   | OK |

・塑性率の検討

部材の塑性率は、最大応答曲げモーメント時の曲率を全塑性モーメントに至る時の曲率で除した値で表される。最大曲げモーメントが全塑性モーメント以下の場合は弾性であり塑性率は1以下となる。最大応答値を全塑性モーメントまたはせん断耐力で除した値を耐力比と定義し、表 2.2.2-6 に検討結果を示す。

表 2.2.2-6 より曲げモーメント及びせん断力については、全てのケースで耐力比が1を下回ることから塑性率は1以下となり、クライテリアを満足することを確認した。

表 2.2.2-6 耐力比の検討結果

| 部位 | 検討箇所        | 部材形状<br>(mm)           | 地震波  | 入力方向 | 耐力比          |      | 判定 |              |      |
|----|-------------|------------------------|------|------|--------------|------|----|--------------|------|
|    |             |                        |      |      |              |      |    |              |      |
| 柱  | 1階<br>3-B   | B□-3000×3000<br>×28×28 | Ss-1 | EW   | $M_z/M_{uz}$ | 0.85 | OK |              |      |
|    |             |                        |      |      | Ss-3         | NS   |    | $M_y/M_{uy}$ | 0.86 |
|    |             |                        |      |      | Ss-3         | NS   |    | $Q_z/Q_{uz}$ | 0.27 |
|    |             |                        |      |      | Ss-1         | EW   |    | $Q_y/Q_{uy}$ | 0.37 |
| 梁  | 4階<br>3/A-B | B□-3000×3000<br>×25×25 | Ss-1 | EW   | $M_z/M_{uz}$ | 0.80 | OK |              |      |
|    |             |                        |      |      | $M_y/M_{uy}$ | 0.01 |    |              |      |
|    |             |                        |      |      | $Q_z/Q_{uz}$ | 0.00 |    |              |      |
|    |             |                        |      |      | $Q_y/Q_{uy}$ | 0.32 |    |              |      |

$M_z$  : 部材 z 軸回りの曲げモーメントの最大値

$M_y$  : 部材 y 軸回りの曲げモーメントの最大値

$Q_z$  : 部材 z 方向のせん断力の最大値

$Q_y$  : 部材 y 方向のせん断力の最大値

$M_{uz}$  : 部材 z 軸回りの全塑性モーメント

$M_{uy}$  : 部材 y 軸回りの全塑性モーメント

$Q_{uz}$  : 部材 z 軸方向のせん断耐力

$Q_{uy}$  : 部材 y 軸方向のせん断耐力

(3) 基礎スラブの耐震性に対する検討

1) 解析モデル

基礎スラブの応力解析は、弾性地盤上に支持された版として有限要素法を用いて行う。解析モデルは、図 2.2.2-8 に示すように四辺形の均質等方な板要素により構成し、支持地盤は等価な弾性ばねとしてモデル化する。

検討は組合せ係数法にて行い、荷重組合せケースを表 2.2.2-7 に示す。

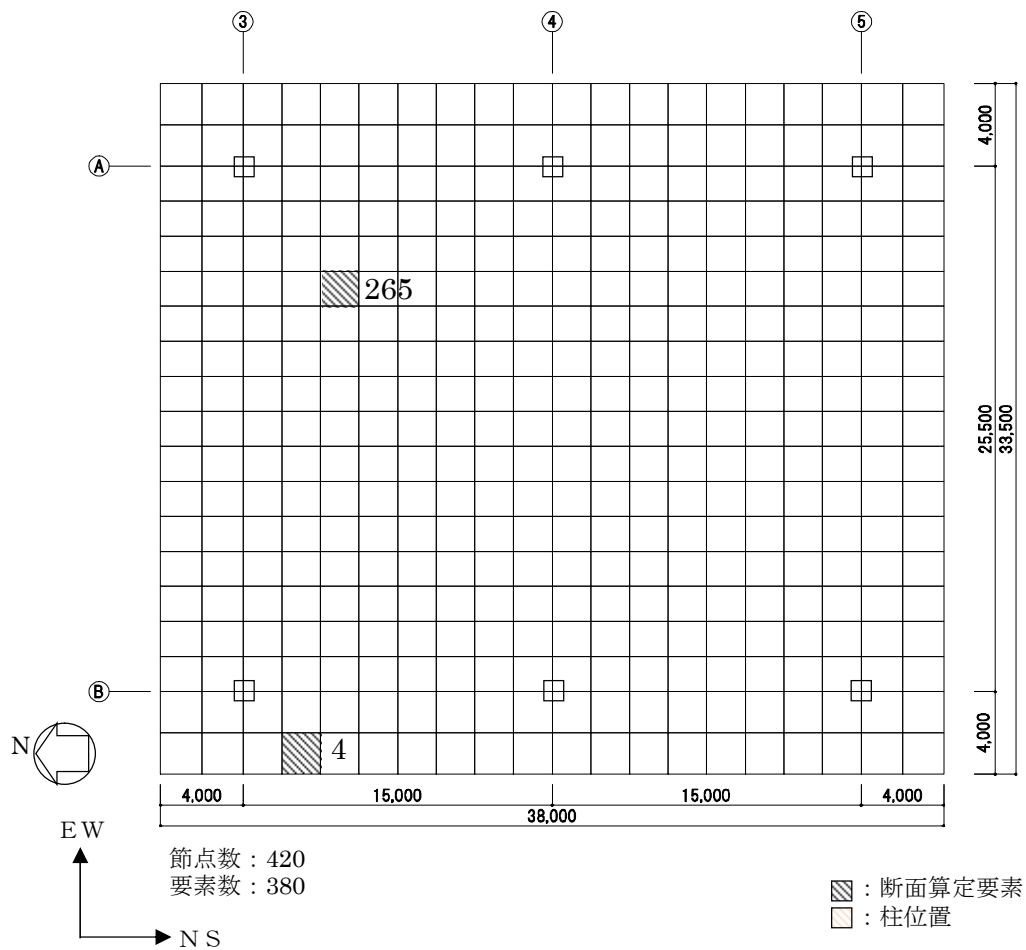


図 2.2.2-8 解析モデル図 (単位：mm)



表 2.2.2-7 荷重組合せケース一覧表

| 荷重ケース | 地震力の作用方向 |     |      |     |     |     |
|-------|----------|-----|------|-----|-----|-----|
|       | 鉛直方向     |     | 水平方向 |     |     |     |
|       | 上向き      | 下向き | N→S  | S→N | E→W | W→E |
| Dn    |          | ○   | ○    |     |     |     |
| Ds    |          | ○   |      | ○   |     |     |
| De    |          | ○   |      |     | ○   |     |
| Dw    |          | ○   |      |     |     | ○   |
| Un    | ○        |     | ○    |     |     |     |
| Us    | ○        |     |      | ○   |     |     |
| Ue    | ○        |     |      |     | ○   |     |
| Uw    | ○        |     |      |     |     | ○   |

## 2) 断面検討

各要素に対して、検討用応力が部材の終局耐力を下回ることを確認する。曲げ終局強度及びせん断終局強度の算定は、「原子力施設鉄筋コンクリート構造計算規準・同解説」による柱の終局強度算定式に準拠する。なお、鉄筋の引張強度は、平成 12 年建設省告示第 2464 号に定められた基準強度の 1.1 倍を用いる。検討用曲げモーメントを曲げ終局強度で除した値が最大となる箇所及び検討用せん断力をせん断終局強度で除した値が最大となる箇所の基礎スラブの断面検討結果を表 2.2.2-8 に示す。

断面検討の結果、検討用曲げモーメントは曲げ終局強度を下回り、検討用せん断力はせん断終局強度を下回ることを確認した。

表 2.2.2-8 基礎スラブの断面検討結果

| 要素<br>番号 | 方向 | 荷重<br>ケース | 検討用応力                     |               |             | 設計配筋<br>上段：上端筋 [断面積 mm <sup>2</sup> /m] (pt:%)<br>下段：下端筋 [断面積 mm <sup>2</sup> /m] (pt:%) | 部材の終局強度                    |                          | M/M <sub>u</sub> | Q/Q <sub>u</sub> | 判定 |
|----------|----|-----------|---------------------------|---------------|-------------|--|----------------------------|--------------------------|------------------|------------------|----|
|          |    |           | N* <sup>1</sup><br>(kN/m) | M<br>(kN・m/m) | Q<br>(kN/m) |  | M <sub>u</sub><br>(kN・m/m) | Q <sub>u</sub><br>(kN/m) |                  |                  |    |
| 4        | NS | D e       | 129                       | 1317          | 3958        | D38@200+D38@400 [8550] (0.21)<br>D38@200+D38@400 [8550] (0.21)                           | 11995                      | 6778                     | 0.11             | 0.59             | OK |
|          | EW | D e       | 61                        | 1415          | 1507        | 3-D38@200 [17100] (0.43)<br>2-D38@200 [11400] (0.29)                                     | 15772                      | 7294                     | 0.09             | 0.21             | OK |
| 265      | NS | D s       | 24                        | 3316          | 52          | 1-D38@200 [5700] (0.14)<br>1-D38@200 [5700] (0.14)                                       | 7873                       | 2215                     | 0.43             | 0.03             | OK |
|          | EW | D w       | -349                      | 4927          | 76          | 1-D38@200 [5700] (0.14)<br>1-D38@200 [5700] (0.14)                                       | 7267                       | 2184                     | 0.68             | 0.04             | OK |

\*1：圧縮を正とする

#### (4) 改良地盤の耐震性に対する検討

##### 1) 検討方針

検討は「JEAC 4616-2009」に準拠し、基準地震動  $S_s$  により発生する荷重に対して許容限界を満足することを確認する。改良地盤の許容限界は、改良地盤の設計圧縮強度、せん断抵抗に対する安全率に基づき設定する。支持地盤の許容限界は、支持地盤の極限支持力に対する安全率に基づき設定する。

##### 2) 地震応答解析モデル

応力算定用の地震応答解析モデルを図 2.2.2-9 に示す。改良地盤及び支持地盤の物性は表 2.2.2-4 を用いた。

周辺地盤の物性は、一次元波動論であらかじめ実施した等価線形解析結果をもとに改良地盤及び周辺地盤のひずみレベルに応じた等価なせん断剛性、減衰を設定した。

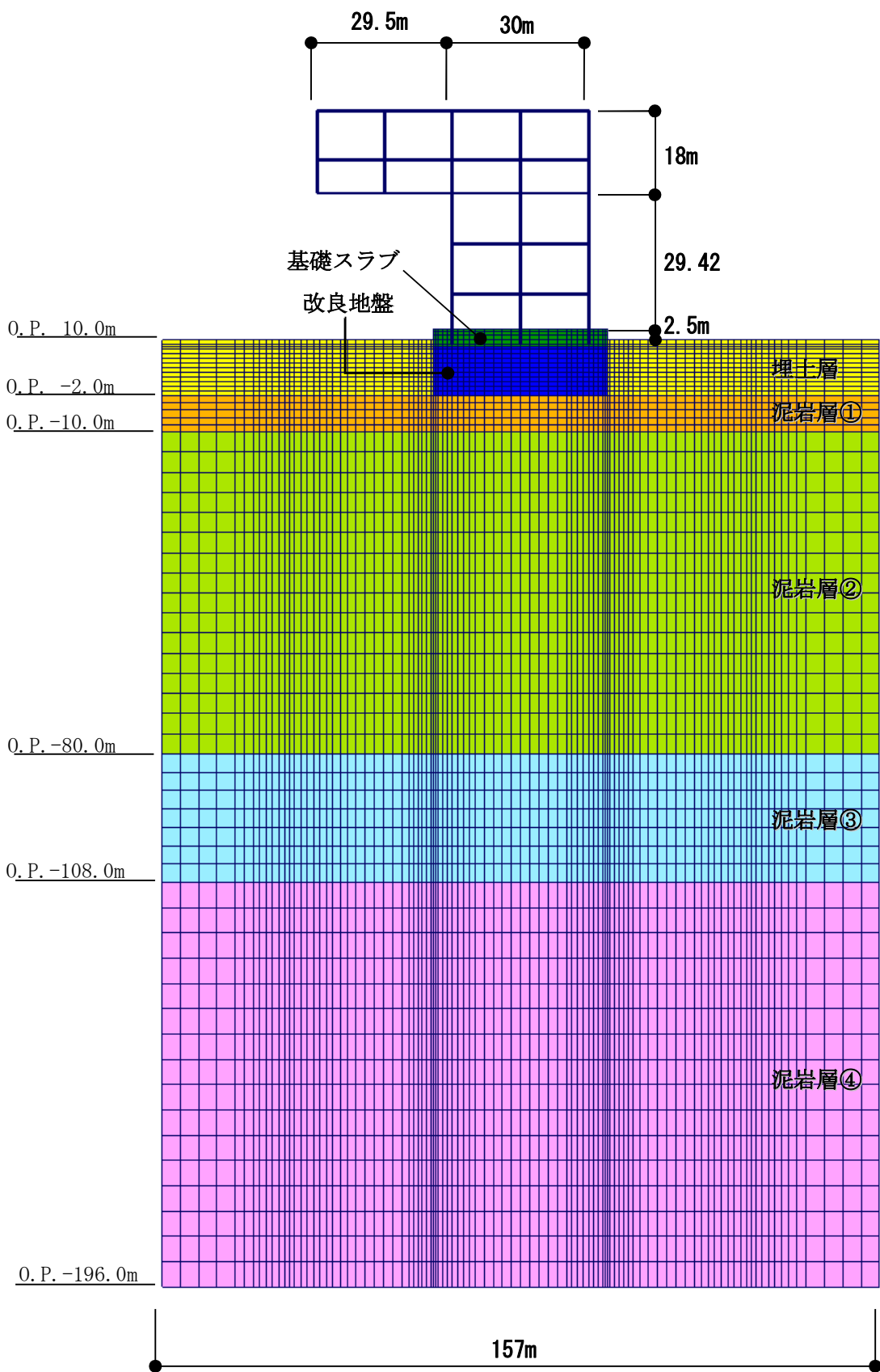


図 2.2.2-9 応力算定用地震応答解析モデル

### 3) 波及的影響の評価

改良地盤の評価は、「JEAC 4616-2009」に準じ、改良地盤に発生する最大応力が許容値に対して1.5以上の安全率を有していることを確認する。

#### ・改良地盤に生じる鉛直応力に対する検討

改良地盤に作用する鉛直応力に対し改良地盤の圧縮強度の安全率が1.5以上であることを下式により確認する。

$$\frac{ssfsc}{\sigma_{y\max}} \geq 1.5$$

ここで、

ssfsc : 改良地盤の圧縮強度

$\sigma_{y\max}$  : 有限要素解析による各要素の鉛直応力の最大値

改良地盤の圧縮強度(ssfsc)は、「JEAC 4616-2009」により改良地盤の圧縮強度の平均値である設計圧縮強度 4498kN/m<sup>2</sup> (断面欠損 2%を考慮する) を改良地盤の圧縮強度として検討を行う。

安全率の検討結果を表 2.2.2-9 に示す。検討結果より改良地盤の圧縮強度は改良地盤の基礎スラブ直下における最大鉛直応力の 1.5 以上の安全率を有していることを確認した。

表 2.2.2-9 改良地盤の鉛直応力に対する検討結果  
(改良地盤底部)

| 地震波  | 最大鉛直応力<br>$\sigma_{y\max}$ (kN/m <sup>2</sup> ) | 圧縮強度<br>ssfsc(kN/m <sup>2</sup> ) | 安全率  | クライテリア | 判定 |
|------|---|-----------------------------------|------|--------|----|
| Ss-1 | 1809  | 4498                              | 2.48 | 1.50   | OK |
| Ss-2 | 1453  | 4498                              | 3.09 | 1.50   | OK |
| Ss-3 | 1821  | 4498                              | 2.47 | 1.50   | OK |

・改良地盤に作用するせん断力に対する検討

検討は、改良地盤の基礎スラブ直下及び改良地盤下端のせん断力について行う。改良地盤上端及び下端にせん断面を想定し、各時刻 (t) における改良地盤に作用する水平方向せん断力  $F_H(t)$  と改良地盤の水平抵抗力  $F_R(t)$  を評価し、そのせん断に対する安全率  $F_s(t)$  が 1.5 以上であることを下式により確認する。

$$F_s(t) = \frac{F_R(t)}{F_H(t)} \geq 1.5$$

$$F_R(t) = \sum_i F_{Ri}(t) = \sum \tau_{Ri}(t) \cdot l_i$$

$$F_H(t) = \sum_i F_{Hi}(t) = \sum \tau_{Si}(t) \cdot l_i$$

- ここで、
- $F_s(t)$  :せん断に対する安全率
  - $F_R(t)$  :せん断面上の地盤の水平抵抗力 (kN)
  - $F_H(t)$  :せん断面上の地盤のせん断力 (kN)
  - $\tau_{Ri}(t)$  :せん断面の解析モデル要素 i のせん断抵抗力 (kN/m<sup>2</sup>)  
 $\tau_{Ri}(t)$  は上載圧による強度増加は無視して設定し、せん断強度  $ssf_{ss}$  を用いる。なお、せん断破壊及び鉛直方向応力が引張状態になった地盤要素は評価しない
  - $\tau_{Si}(t)$  :せん断面の解析モデル要素 i に作用するせん断応力 (kN/m<sup>2</sup>)
  - $l_i$  :解析モデル要素 i を横切るせん断面の長さ(要素 i の長さ) (m)
  - $ssf_{ss}$  :改良地盤のせん断強度 (kN/m<sup>2</sup>)

改良地盤のせん断強度 ( $ssf_{ss}$ ) は下式より設定する。

$$ssf_{ss} = \frac{1}{5} ssf_{sc}$$

- ここで、  $ssf_{ss}$  :688kN/m<sup>2</sup> (断面欠損 25%を考慮する)

安全率の検討結果を表 2.2.2-10 及び表 2.2.2-11 に示す。

検討結果より改良地盤の水平抵抗力は、改良地盤の基礎スラブ直下及び改良地盤下端の最大せん断力の 1.5 以上の安全率を有していることを確認した。なお、解析は二次元でモデル化しているため、単位長さ当りのせん断力及び水平抵抗力で検討する。

表 2.2.2-10 改良地盤のせん断力に対する検討  
(基礎スラブ下端)

| 地震波  | 最大せん断力<br>F <sub>H</sub><br>(kN/m) | 水平抵抗力<br>F <sub>R</sub><br>(kN/m) | 安全率<br>F <sub>s</sub> | クォイテリア | 判定 |
|------|------------------------------------|-----------------------------------|-----------------------|--------|----|
| Ss-1 | 3635                               | 21156                             | 5.82                  | 1.50   | OK |
| Ss-2 | 3052                               | 22188                             | 7.26                  | 1.50   | OK |
| Ss-3 | 3548                               | 20640                             | 5.81                  | 1.50   | OK |

表 2.2.2-11 改良地盤のせん断力に対する検討  
(改良地盤底部)

| 地震波  | 最大せん断力<br>F <sub>H</sub><br>(kN/m) | 水平抵抗力<br>F <sub>R</sub><br>(kN/m) | 安全率<br>F <sub>s</sub> | クォイテリア | 判定 |
|------|------------------------------------|-----------------------------------|-----------------------|--------|----|
| Ss-1 | 7741                               | 24080                             | 3.11                  | 1.50   | OK |
| Ss-2 | 7481                               | 24424                             | 3.26                  | 1.50   | OK |
| Ss-3 | 6494                               | 24080                             | 3.70                  | 1.50   | OK |

#### 4) 支持力の検討

支持力の評価は、改良地盤底部における最大鉛直応力が支持地盤の極限支持力度に対して 1.5 以上の安全率を有していることを確認する。

$$\frac{R_u}{V} \geq 1.5$$

ここで、  
R<sub>u</sub> : 極限鉛直支持力度  
V : 地震応答解析から得られる最大鉛直応力

検討の結果、支持地盤の極限支持力度 (6860kN/m<sup>2</sup>) \*は改良地盤底部における最大鉛直応力の 1.5 以上の安全率を有していることを確認した。

\*:「福島第一原子力発電所 原子炉設置変更許可申請書 (4号炉増設)」による

$$6860\text{kN/m}^2 / 1821\text{kN/m}^2 = 3.76 \geq 1.50 \dots \text{OK}$$

(5) 地盤アンカーの耐震性に対する検討

1) 検討方針

地盤アンカーは、図 2.2.2-10 に示すように基礎スラブ上端を緊張端とし、泥岩層 0.P. -7.0m 以深を定着長部としている。地盤アンカーの検討は基準地震動  $S_s$  時に自由長部に発生する応力が規格降伏耐力以下及び定着長部の設計定着長が必要定着長以上であることを確認する。検討は、旧建築基準法第 38 条の規定に基づく認定工法「STK 永久アンカー工法」（建設省阪住指発第 353 号，平成 8 年 10 月 16 日）における設計マニュアルに基づき実施する。

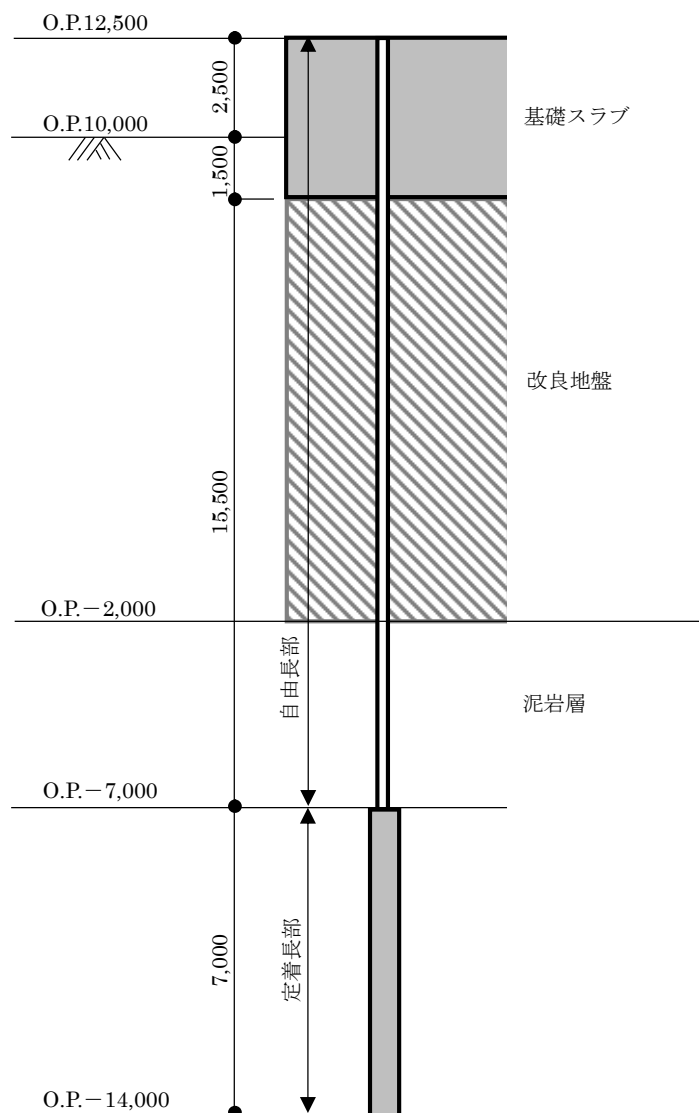


図 2.2.2-10 地盤アンカー設置計画 (単位：mm)



2) 地盤アンカーの検討

・自由長部の検討

地盤アンカーに発生する応力と規格降伏耐力を比較した結果を表 2.2.2-12 に示す。地盤アンカーは STK-200 (SWPR19 4-φ 21.8)を用いる。

検討の結果、耐力比が 1 以下になることを確認した。

表 2.2.2-12 自由長部の検討結果

| 発生応力<br>$T_{max}$<br>(kN/本) | 規格降伏耐力<br>$T_{ys}$<br>(kN/本) | 耐力比<br>$T_{max}/T_{ys}$ | 判定 |
|-----------------------------|------------------------------|-------------------------|----|
| 1590                        | 1981                         | 0.81                    | OK |

・定着長部の検討

定着長部の検討は、地盤アンカーの規格降伏耐力と地盤の極限摩擦抵抗力から求める必要定着長が、設計定着長を下回ることを確認する。結果を表 2.2.2-13 に示す。

検討の結果、検定比が 1 以下になることを確認した。

$$L_a = \frac{T_{ys} \times F}{\tau_u \times \pi \times D_d}$$

ここで、

$L_a$  : 必要定着長 (cm)

$T_{ys}$  : 地盤アンカーの規格降伏耐力 (1981kN)

$F$  : 安全率 (=1.0)

$\tau_u$  : 地盤の極限摩擦抵抗力 (N/cm<sup>2</sup>) (137N/cm<sup>2</sup>) \*

\*: 旧建築基準法第 38 条の規定に基づく認定工法「STK 永久アンカー工法」(建設省阪住指発第 353 号, 平成 8 年 10 月 16 日), 設計マニュアルより N 値 50 以上の泥岩の値

$D_d$  : 地盤アンカー体の設計径 (17cm)

表 2.2.2-13 定着長の検討結果

| 必要定着長<br>$L_a$<br>(cm) | 設計定着長<br>$L_d$<br>(cm) | 検定比<br>$L_a/L_d$ | 判定 |
|------------------------|------------------------|------------------|----|
| 271                    | 700                    | 0.39             | OK |

## 2.3 燃料取扱機支持用架構の構造強度及び耐震性について

燃料取扱機支持用架構の構造強度及び耐震性の検討フローを図 2.3-1 に示す。

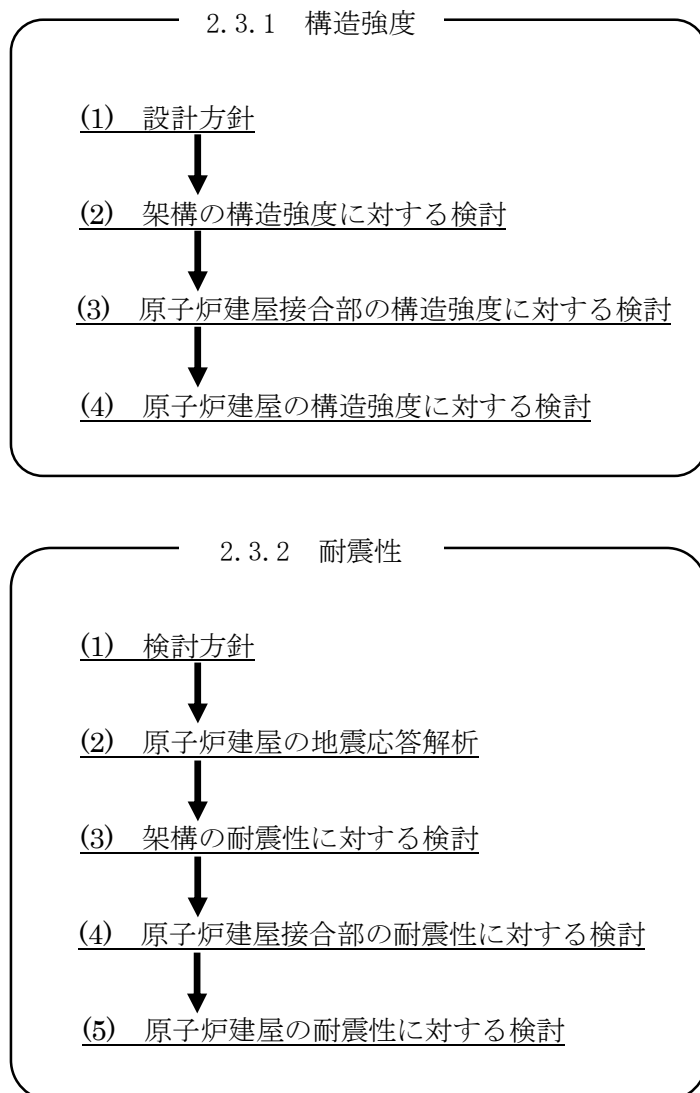


図 2.3-1 燃料取扱機支持用架構の検討フロー

## 2.3.1 構造強度

### (1) 設計方針

構造強度の検討は、燃料取扱機支持用架構、原子炉建屋接合部及び架構反力が作用する原子炉建屋について許容応力度設計を実施する。

#### 1) 使用材料及び許容応力度

燃料取扱機支持用架構の物性値及び許容応力度を表 2.3.1-1 に示す。

表 2.3.1-1 燃料取扱機支持用架構の物性値及び許容応力度

材料定数

| 部位   | 材料     | ヤング係数<br>E (N/mm <sup>2</sup> ) | ポアソン比<br>$\nu$ | 単位体積重量<br>$\gamma$ (kN/m <sup>3</sup> ) |
|------|--------|---------------------------------|----------------|---|
| 架 構  | 鉄骨     | 2.05×10 <sup>5</sup>            | 0.3            | 77.0                                    |
| 基礎構造 | コンクリート | 2.44×10 <sup>4</sup>            | 0.2            | 24.0                                    |

コンクリートの許容応力度

(単位：N/mm<sup>2</sup>)

| 設計基準強度= 30 | 長期   |    |       | 短期   |    |       |
|------------|------|----|-------|------|----|-------|
|            | 圧縮   | 引張 | せん断   | 圧縮   | 引張 | せん断   |
|            | 10.0 | —  | 0.790 | 20.0 | —  | 1.185 |

鉄筋の許容応力度

(単位：N/mm<sup>2</sup>)

| 記号    | 鉄筋径    | 長期     |       | 短期     |       |
|-------|--------|--------|-------|--------|-------|
|       |        | 引張及び圧縮 | せん断補強 | 引張及び圧縮 | せん断補強 |
| SD345 | D29 未満 | 215    | 195   | 345    | 345   |
|       | D29 以上 | 195    |       |        |       |

構造用鋼材の許容応力度

(単位：N/mm<sup>2</sup>)

| 板厚        | 材料                   | 基準強度 F | 許容応力度                     |
|-----------|----------------------|--------|---------------------------|
| T ≤ 40 mm | SS400                | 235    | 「鋼構造設計規準」に従い、左記 F の値より求める |
| T ≤ 40 mm | SM490A               | 325    |                           |
| T > 40 mm | TMCP325B*, TMCP325C* | 325    |                           |
| —         | BCP325               | 325    |                           |
| —         | BCR295               | 295    |                           |
| —         | SNR490B              | 325    |                           |

\*：国土交通大臣指定書（国住指第 326-2，平成 14 年 5 月 7 日）による

2) 荷重及び荷重組合せ

設計で考慮する荷重を以下に示す。

・鉛直荷重 (VL)

燃料取扱機支持用架構に作用する鉛直方向の荷重で、固定荷重、機器荷重、配管荷重及び積載荷重とする。

・クレーン荷重 (CL)

吊荷荷重を含む燃料取扱機による荷重を表 2.3.1-2 に示す。

表 2.3.1-2 クレーン荷重一覧表

|       |        |
|-------|--------|
| 燃料取扱機 | 735 kN |
| 作業台車  | 196 kN |

・地震荷重 (K)

燃料取扱機支持用架構に作用させる地震荷重は、O.P.-2.06m (原子炉建屋基礎スラブ上端レベル) を基準面とした原子炉建屋の地震層せん断力係数の算定結果より設定する。原子炉建屋の地震層せん断力係数は下式より算定し、算定結果を表 2.3.1-4 に示す。

$$Q_i = n \cdot C_i \cdot W_i$$

$$C_i = Z \cdot R_t \cdot A_i \cdot C_o$$

ここで、

$Q_i$  : 水平地震力 (kN)

$n$  : 施設の重要度に応じた係数 ( $n=1.5$ )

建築基準法で定める地震力の 1.5 倍を考慮する。

$C_i$  : 地震層せん断力係数

$W_i$  : 当該部分が支える重量 (kN)

ここに、燃料取扱機支持用架構の設計で考慮する原子炉建屋の全体重量は、瓦礫撤去の効果と燃料取扱機支持用架構を新規に設置する影響を考慮した。原子炉建屋の全体重量を表 2.3.1-3 に示す。

表 2.3.1-3 原子炉建屋の全体重量(kN)

|                        |         |
|------------------------|---------|
| 原子炉建屋全体重量*1            | 1078100 |
| 瓦礫撤去による軽減重量            | -39810  |
| 燃料取扱機支持用架構の付加重量        | +6490   |
| 燃料取扱機支持用架構設計用原子炉建屋全体重量 | 1044780 |

\*1 「福島第一原子力発電所の原子炉建屋の現状の耐震安全性および補強等に関する検討に係る報告書 (その1)」(平成 23 年 5 月 28 日 東京電力株式会社) にて用いた原子炉建屋重量(1069320kN) に使用済燃料プール底部の支持構造物の設置工事による重量(8780kN)を加算したもの

Z : 地震地域係数 (Z=1.0)

Rt : 振動特性係数 (Rt=0.8)

Ai : 地震層せん断力係数の高さ方向の分布係数で、燃料取扱機支持用架構の固有値を用いたモーダル法 (二乗和平方根法) により求める。

C0 : 標準せん断力係数 (C0=0.2)

表 2.3.1-4 原子炉建屋の地震層せん断力係数の算定結果

| 階  | 標高<br>O.P. (m) | 各階重量<br>(kN) | Wi<br>(kN) | Ai    |       | n・Ci  |       |
|----|----------------|--------------|------------|-------|-------|-------|-------|
|    |                |              |            | NS 方向 | EW 方向 | NS 方向 | EW 方向 |
| 5  | 39.92          | 77700        | —          | —     | —     | —     | —     |
| 4  | 39.92~32.30    | 88770        | 77700      | 2.070 | 2.218 | 0.497 | 0.533 |
| 3  | 32.30~26.90    | 122210       | 166470     | 1.787 | 1.831 | 0.429 | 0.440 |
| 2  | 26.90~18.70    | 127700       | 288680     | 1.520 | 1.549 | 0.365 | 0.372 |
| 1  | 18.70~10.20    | 208960       | 416380     | 1.309 | 1.315 | 0.314 | 0.316 |
| B1 | 10.20~-2.06    | —            | 625340     | 1.000 | 1.000 | 0.240 | 0.240 |

燃料取扱機支持用架構に作用させる水平震度は、原子炉建屋 4 階の NS 方向地震層せん断力係数 ( $n \cdot Ci=0.497$ ) 及び EW 方向地震層せん断力係数 ( $n \cdot Ci=0.533$ ) より、水平震度を  $Ki=n \cdot Ci$  として水平地震力を設定する。表 2.3.1-5 に燃料取扱機支持用架構に作用させる水平地震力の算定結果を示す。

表 2.3.1-5 水平地震力の算定結果

| 標高<br>O.P. (m) | 各階重量<br>(kN) | NS 方向      |                  | EW 方向      |                  |
|----------------|--------------|------------|------------------|------------|------------------|
|                |              | 水平震度<br>Ki | 水平地震力<br>Pi (kN) | 水平震度<br>Ki | 水平地震力<br>Pi (kN) |
| 40.77          | 2487         | 0.497      | 1236             | 0.533      | 1326             |
| 30.485         | 298          | 0.497      | 148              | 0.533      | 159              |
| 20.20          | 188          | 0.497      | 93               | 0.533      | 100              |

ここに、燃料取扱機支持用架構は鉄骨造で剛性が小さく、原子炉建屋は壁式鉄筋コンクリート造で剛性が非常に高いことから、燃料取扱機支持用架構の変形量に対して原子炉建屋の変形量は非常に小さく、地震時の原子炉建屋の変形が燃料取扱機支持用架構に及ぼす影響は考慮しないものとした。

・荷重組合せ

設計で考慮する燃料取扱機的位置を図 2.3.1-1 に、荷重組合せを表 2.3.1-6 に示す。なお、燃料取扱機支持用架構はクレーン支持用架構に覆われているため、積雪時及び暴風時は考慮しないものとした。

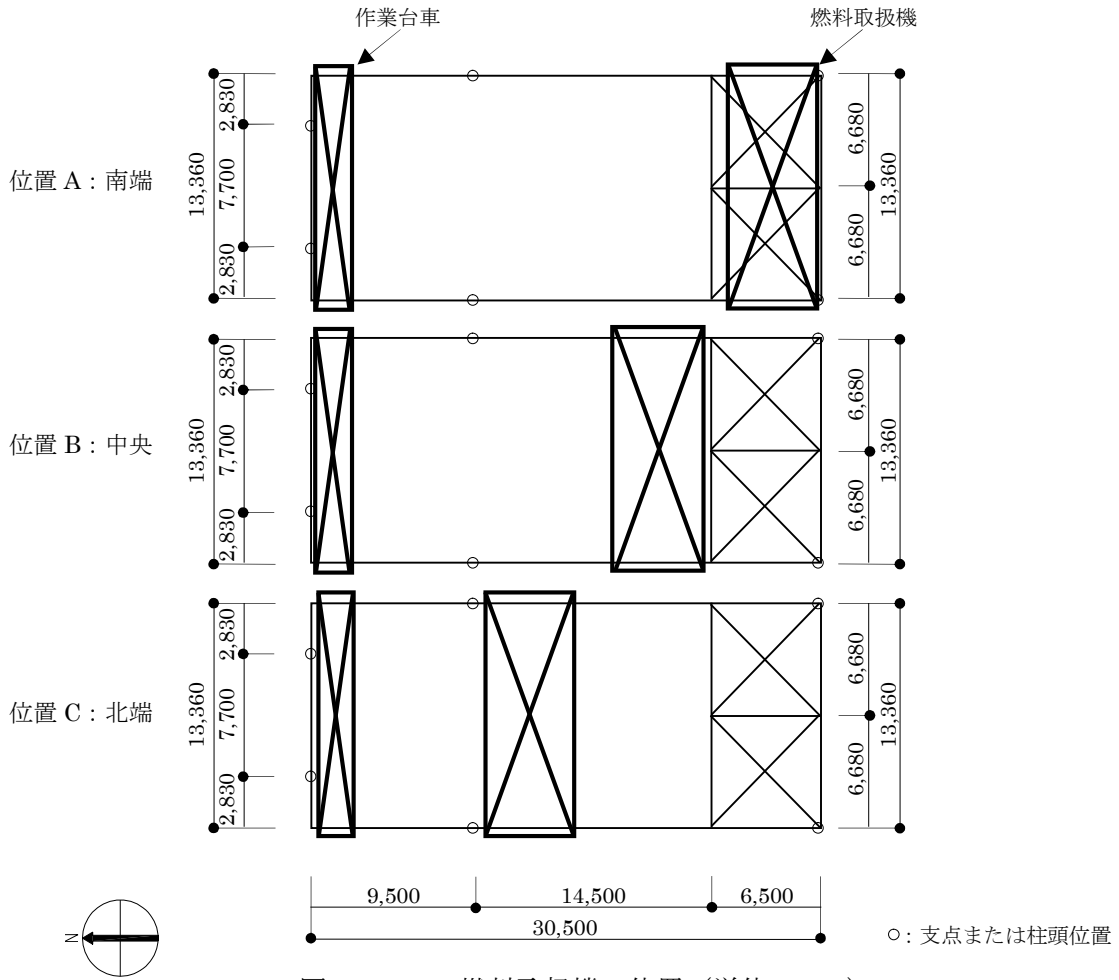


図 2.3.1-1 燃料取扱機的位置 (単位 : mm)

表 2.3.1-6 燃料取扱機支持用架構の荷重組合せ

| 想定する状態 | 荷重ケース | 荷重組合せ内容                    | 許容応力度 |
|--------|-------|----------------------------|-------|
| 常時     | C     | VL+CL                      | 長期    |
| 地震時    | E1    | VL+CL+K(+NS) <sup>*1</sup> | 短期    |
|        | E2    | VL+CL+K(-NS) <sup>*1</sup> |       |
|        | E3    | VL+CL+K(+EW) <sup>*1</sup> |       |
|        | E4    | VL+CL+K(-EW) <sup>*1</sup> |       |

\*1 : 地震荷重は NS 方向及び EW 方向を考慮する

(2) 架構の構造強度に対する検討

1) 解析モデル

燃料取扱機支持用架構の解析モデルは、O.P. 18.70m より上部を立体架構モデルとし、柱及び梁端部の境界条件は剛接、原子炉建屋シェル壁上端はピン及び原子炉建屋南側外壁の柱脚部は固定とする。解析モデル、部材寸法及び応力検討箇所を図 2.3.1-2 に示す。

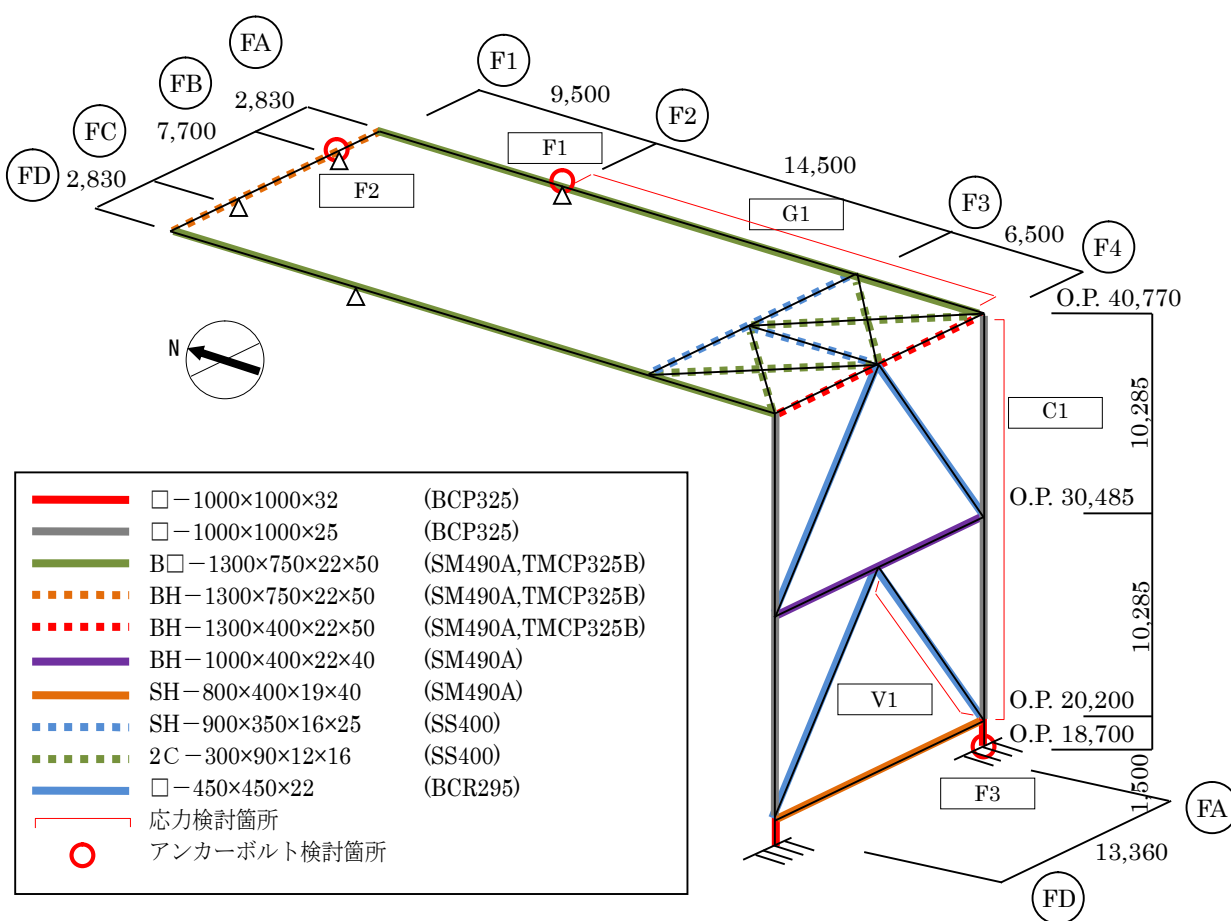


図 2.3.1-2 解析モデル図 (単位: mm)

## 2) 断面検討

応力解析結果を用い、断面検討は二方向の曲げを図 2.3.1-3 に示すように考慮する。

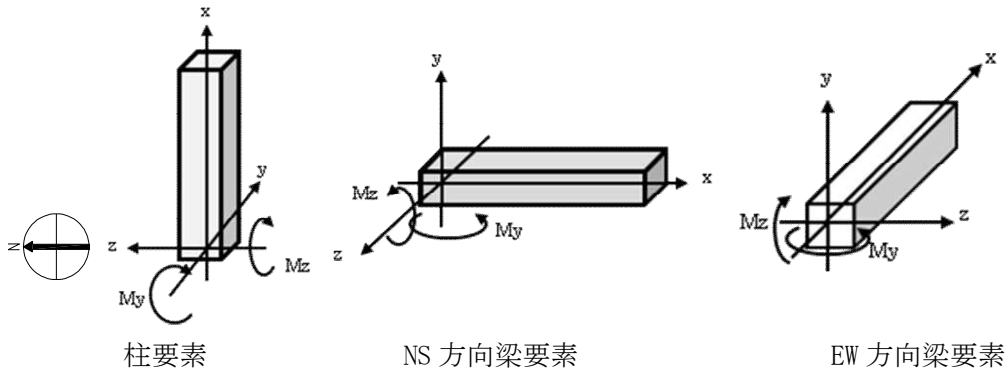


図 2.3.1-3 曲げモーメントの方向

応力度比の検討は「鋼構造設計規準」に従い、軸力及び曲げモーメントに対する検討は下式にて行う。

・ 軸圧縮の場合 
$$\frac{\sigma_c}{f_c} + \frac{\sigma_{bz} + \sigma_{by}}{f_b} \leq 1$$

・ 軸引張の場合 
$$\frac{\sigma_c + \sigma_{bz} + \sigma_{by}}{f_t} \leq 1$$

ここで、

$\sigma_c$  : 軸応力度 (=N/A)

N : 軸力, A : 断面積

$\sigma_{bz}$  : 部材 z 軸方向曲げ応力度 (=Mz/Zz)

Mz, Zz : 部材 z 軸回りモーメント及び断面係数

$\sigma_{by}$  : 部材 y 軸方向曲げ応力度 (=My/Zy)

My, Zy : 部材 y 軸回りモーメント及び断面係数

fc : 許容圧縮応力度

fb : 許容曲げ応力度

ft : 許容引張応力度

また、せん断力に対する検討は、下式にて行う。

$$\frac{\sqrt{(\sigma_c + \sigma_{bz} + \sigma_{by})^2 + 3\tau_z^2}}{f_t} \leq 1 \quad \text{かつ} \quad \frac{\sqrt{(\sigma_c + \sigma_{bz} + \sigma_{by})^2 + 3\tau_y^2}}{f_t} \leq 1$$

ここで、

$\tau_z$  : 部材 z 軸方向せん断応力度 (=Qz/Awz)

Qz, Awz : 部材 z 軸方向せん断力及びせん断断面積

$\tau_y$  : 部材 y 軸方向せん断応力度 (=Qy/Awy)

Qy, Awy : 部材 y 軸方向せん断力及びせん断断面積



表 2.3.1-7 及び表 2.3.1-8 に応力度比が最大となる部位の断面検討結果を示す。  
 断面検討の結果、全ての部材に対する応力度比が 1 以下になることを確認した。

表 2.3.1-7 断面検討結果（常時）

| 部位   | 検討箇所 | 部材形状<br>(mm)          | 荷重ケース<br>(位置)*1 | 作用<br>応力度<br>(N/mm <sup>2</sup> ) |      | 許容<br>応力度<br>(N/mm <sup>2</sup> ) | 応力度比 | 判定 |
|------|------|-----------------------|-----------------|-----------------------------------|------|-----------------------------------|------|----|
|      |      |                       |                 |                                   |      |                                   |      |    |
| 柱    | C1   | □-1000×1000<br>×25×25 | C<br>(B)        | 曲げ Mz                             | 0.3  | 216.7                             | 0.13 | OK |
|      |      |                       |                 | 曲げ My                             | 20.0 |                                   |      |    |
|      |      |                       |                 | 圧縮 N                              | 4.2  |                                   |      |    |
|      |      |                       |                 | せん断 Qz                            | 0.9  |                                   |      |    |
|      |      |                       |                 | せん断 Qy                            | 0.0  |                                   |      |    |
| 梁    | G1   | B□-1300×750<br>×22×50 | C<br>(B)        | 曲げ Mz                             | 36.6 | 216.7                             | 0.18 | OK |
|      |      |                       |                 | 曲げ My                             | 1.2  |                                   |      |    |
|      |      |                       |                 | 圧縮 N                              | 0.4  |                                   |      |    |
|      |      |                       |                 | せん断 Qz                            | 0.2  |                                   |      |    |
|      |      |                       |                 | せん断 Qy                            | 0.5  |                                   |      |    |
| ブレース | V1   | □-450×450<br>×22      | C<br>(B)        | 曲げ Mz                             | 0.0  | 196.7                             | 0.02 | OK |
|      |      |                       |                 | 曲げ My                             | 1.5  |                                   |      |    |
|      |      |                       |                 | 圧縮 N                              | 1.5  |                                   |      |    |
|      |      |                       |                 | せん断 Qz                            | 0.1  |                                   |      |    |
|      |      |                       |                 | せん断 Qy                            | 0.0  |                                   |      |    |

\*1：燃料取扱機の位置を示す

表 2.3.1-8 断面検討結果（地震時）

| 部位   | 検討箇所 | 部材形状<br>(mm)          | 荷重ケース<br>(位置)*1 | 作用<br>応力度<br>(N/mm <sup>2</sup> ) |      | 許容<br>応力度<br>(N/mm <sup>2</sup> ) | 応力度比 | 判定 |
|------|------|-----------------------|-----------------|-----------------------------------|------|-----------------------------------|------|----|
|      |      |                       |                 |                                   |      |                                   |      |    |
| 柱    | C1   | □-1000×1000<br>×25×25 | E2<br>(B)       | 曲げ Mz                             | 0.2  | 325.0                             | 0.10 | OK |
|      |      |                       |                 | 曲げ My                             | 25.1 |                                   |      |    |
|      |      |                       |                 | 圧縮 N                              | 4.3  |                                   |      |    |
|      |      |                       |                 | せん断 Qz                            | 1.7  |                                   |      |    |
|      |      |                       |                 | せん断 Qy                            | 0.0  |                                   |      |    |
| 梁    | G1   | B□-1300×750<br>×22×50 | E3<br>(C)       | 曲げ Mz                             | 34.2 | 325.0                             | 0.21 | OK |
|      |      |                       |                 | 曲げ My                             | 28.5 |                                   |      |    |
|      |      |                       |                 | 圧縮 N                              | 1.2  |                                   |      |    |
|      |      |                       |                 | せん断 Qz                            | 3.4  |                                   |      |    |
|      |      |                       |                 | せん断 Qy                            | 10.2 |                                   |      |    |
| ブレース | V1   | □-450×450<br>×22      | E3<br>(A)       | 曲げ Mz                             | 2.8  | 295.0                             | 0.13 | OK |
|      |      |                       |                 | 曲げ My                             | 0.0  |                                   |      |    |
|      |      |                       |                 | 圧縮 N                              | 23.9 |                                   |      |    |
|      |      |                       |                 | せん断 Qz                            | 0.0  |                                   |      |    |
|      |      |                       |                 | せん断 Qy                            | 0.2  |                                   |      |    |

\*1：燃料取扱機の位置を示す

(3) 原子炉建屋接合部の構造強度に対する検討

1) 許容耐力の算定

燃料取扱機支持用架構の原子炉建屋上の支点は接着系アンカーボルトを用いて一体化が図られる。接着系アンカーボルトの許容耐力は「各種合成構造設計指針・同解説」に従い、原子炉建屋の設計基準強度 (22.1N/mm<sup>2</sup>) を用いて下式によって求め、計算結果を表 2. 3. 1-9 に示す。

$$p_a = \min(p_{a1}, p_{a3})$$

$$q_a = \min(q_{a1}, q_{a2}, q_{a3})$$

ここで、

- $p_a$  : 接着系アンカーボルトの許容引張力
- $p_{a1}$  : アンカーボルトの降伏により決まる許容引張力
- $p_{a3}$  : 付着力により決まる許容引張力
- $q_a$  : 接着系アンカーボルトの許容せん断力
- $q_{a1}$  : アンカーボルトのせん断強度により決まる許容せん断力
- $q_{a2}$  : 躯体の支圧強度により決まる許容せん断力
- $q_{a3}$  : 躯体のコーン破壊により決まる許容せん断力

表 2. 3. 1-9 接着系アンカーボルトの許容耐力

| 箇所         |                    |      | シェル壁上端 (F1, F2) | 南側外壁 (F3)           |
|------------|--------------------|------|-----------------|---------------------|
| 標高         |                    | m    | O.P.39.92       | O.P. 9.60~O.P.18.70 |
| 鋼材種類       |                    |      | M27             | D25                 |
|            |                    |      | SNR490B         | SD345               |
| 埋め込み長さ     |                    | mm   | 700             | 450                 |
| アンカーボルトの間隔 |                    | mm   | 300             | 400                 |
| 長期         | 許容引張力( $p_{aL}$ )  | kN/本 | 58              | 51                  |
|            | 許容せん断力( $q_{aL}$ ) | kN/本 | 53              | 58                  |
| 短期         | 許容引張力( $p_{aS}$ )  | kN/本 | 116             | 102                 |
|            | 許容せん断力( $q_{aS}$ ) | kN/本 | 104             | 116                 |

2) シェル壁上端位置の検討

燃料取扱機支持用架構とシェル壁との接合部の概要を図 2.3.1-4 に、作用応力と許容耐力を比較した結果を表 2.3.1-10 に示す。

検討の結果、全ての応力度比が 1 以下になることを確認した。

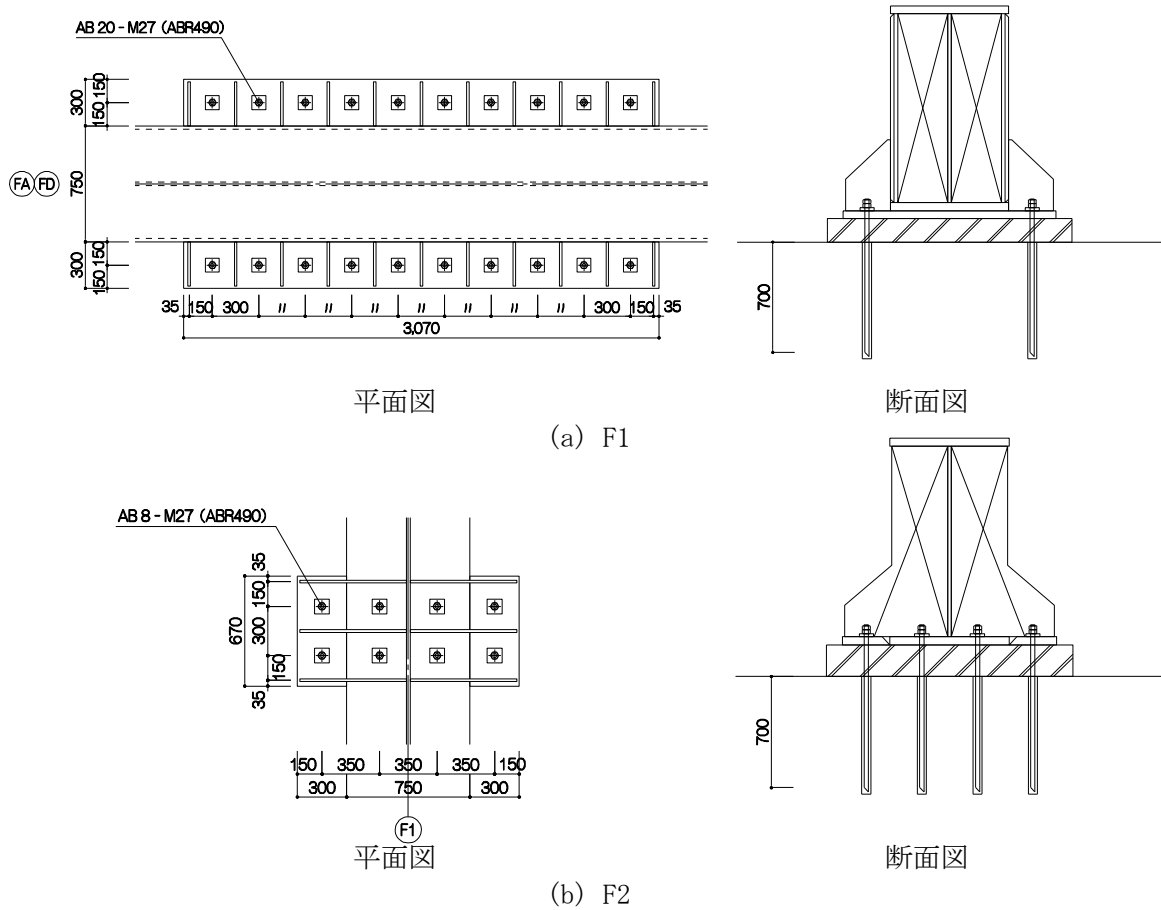


図 2.3.1-4 シェル壁上端位置の接合部概要 (単位: mm)

表 2.3.1-10 シェル壁上端位置の検討結果

| 検討箇所<br>(アンカー本数) <sup>*1</sup> | 荷重ケース<br>(位置) <sup>*2</sup> | 作用応力             |                   | 許容耐力                            |                                  | 応力度比 | 判定 |
|--------------------------------|-----------------------------|------------------|-------------------|---------------------------------|----------------------------------|------|----|
|                                |                             | 引抜力<br>P<br>(kN) | せん断力<br>Q<br>(kN) | 許容引張力<br>p <sub>a</sub><br>(kN) | 許容せん断力<br>q <sub>a</sub><br>(kN) |      |    |
| F1<br>(20)                     | C<br>(B)                    | 0                | 41                | 1160                            | 1060                             | 0.04 | OK |
|                                | E2<br>(B)                   | 0                | 669               | 2320                            | 2080                             | 0.33 | OK |
| F2<br>(8)                      | C<br>(A)                    | 0                | 10                | 464                             | 424                              | 0.03 | OK |
|                                | E3<br>(A)                   | 0                | 94                | 928                             | 832                              | 0.12 | OK |

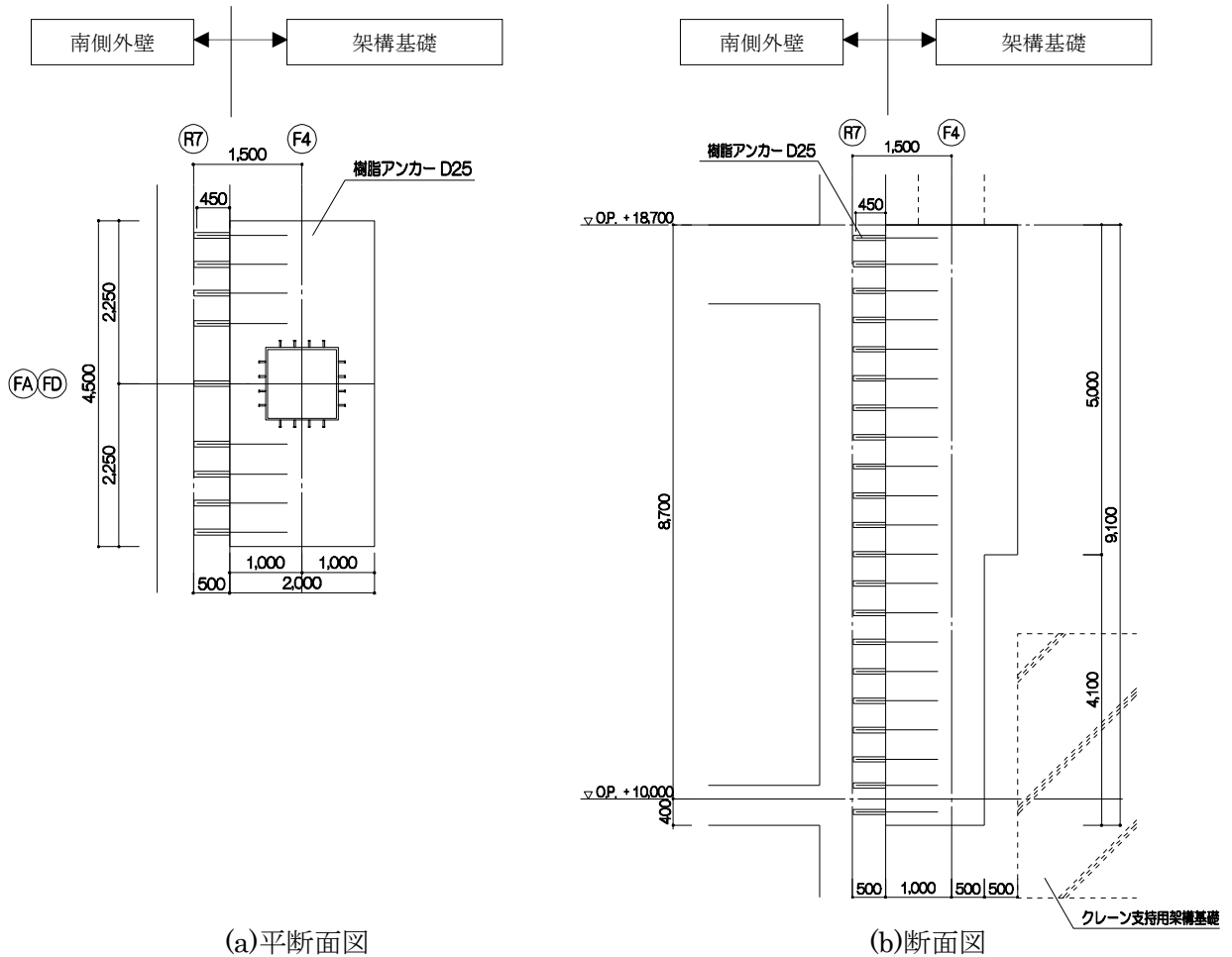
\*1: 設計で考慮するアンカーボルトの本数

\*2: 燃料取扱機の位置を示す

3) 南側外壁位置の検討

燃料取扱機支持用架構と南側外壁との接合部の概要を図 2.3.1-5 に、作用応力と許容耐力を比較した結果を表 2.3.1-11 に示す。

検討の結果、全ての応力度比が 1 以下になることを確認した。



(a) 平断面図

(b) 断面図

図 2.3.1-5 南側外壁位置の接合部概要 (単位: mm)

表 2.3.1-11 南側外壁位置の検討結果

| 検討箇所<br>方向<br>(アンカー本数)*1           | 荷重ケース<br>(位置)*2 | 作用応力             |                   | 許容耐力                            |                                  | 応力度比 | 判定 |
|------------------------------------|-----------------|------------------|-------------------|---------------------------------|----------------------------------|------|----|
|                                    |                 | 引抜力<br>P<br>(kN) | せん断力<br>Q<br>(kN) | 許容引張力<br>p <sub>a</sub><br>(kN) | 許容せん断力<br>q <sub>a</sub><br>(kN) |      |    |
| F3<br>NS 方向<br>(引張 24)<br>(せん断 99) | C<br>(A)        | 552              | 2622              | 1224                            | 5742                             | 0.46 | OK |
|                                    | E1<br>(A)       | 951              | 2613              | 2448                            | 11484                            | 0.39 | OK |
| F3<br>EW 方向<br>(引張 15)<br>(せん断 99) | C<br>(A)        | 24               | 2622              | 765                             | 5742                             | 0.46 | OK |
|                                    | E3<br>(A)       | 412              | 4049              | 1530                            | 11484                            | 0.36 | OK |

\*1: 設計で考慮するアンカーボルトの本数。アンカーボルトは引張に抵抗するものとせん断に抵抗するものをそれぞれ設定した

\*2: 燃料取扱機の位置を示す

(4) 原子炉建屋の構造強度に対する検討

1) 検討方針

原子炉建屋の構造強度の検討では、当該躯体建設時の設計用応力\*1に架構反力により生じる応力を重ね合わせた応力が、許容応力度以下になることを確認する。ここで、燃料取扱機支持用架構の重量が原子炉建屋に比較して十分に小さいことから、検討は地震時についてのみ実施する。検討対象部位は、架構反力を受けるシェル壁と南側外壁とする。なお、シェル壁についてはO.P. 18.70mより上部を検討対象とする。検討対象部位を図2.3.1-6に示す。

\*1：原子炉建屋全体重量は、瓦礫撤去の効果（-39810kN）及び燃料取扱機支持用架構の新設（+6490kN）を考慮すると軽減傾向にあり、地震時応力は低減されるが、安全側の評価として建設時の設計用応力を用いる

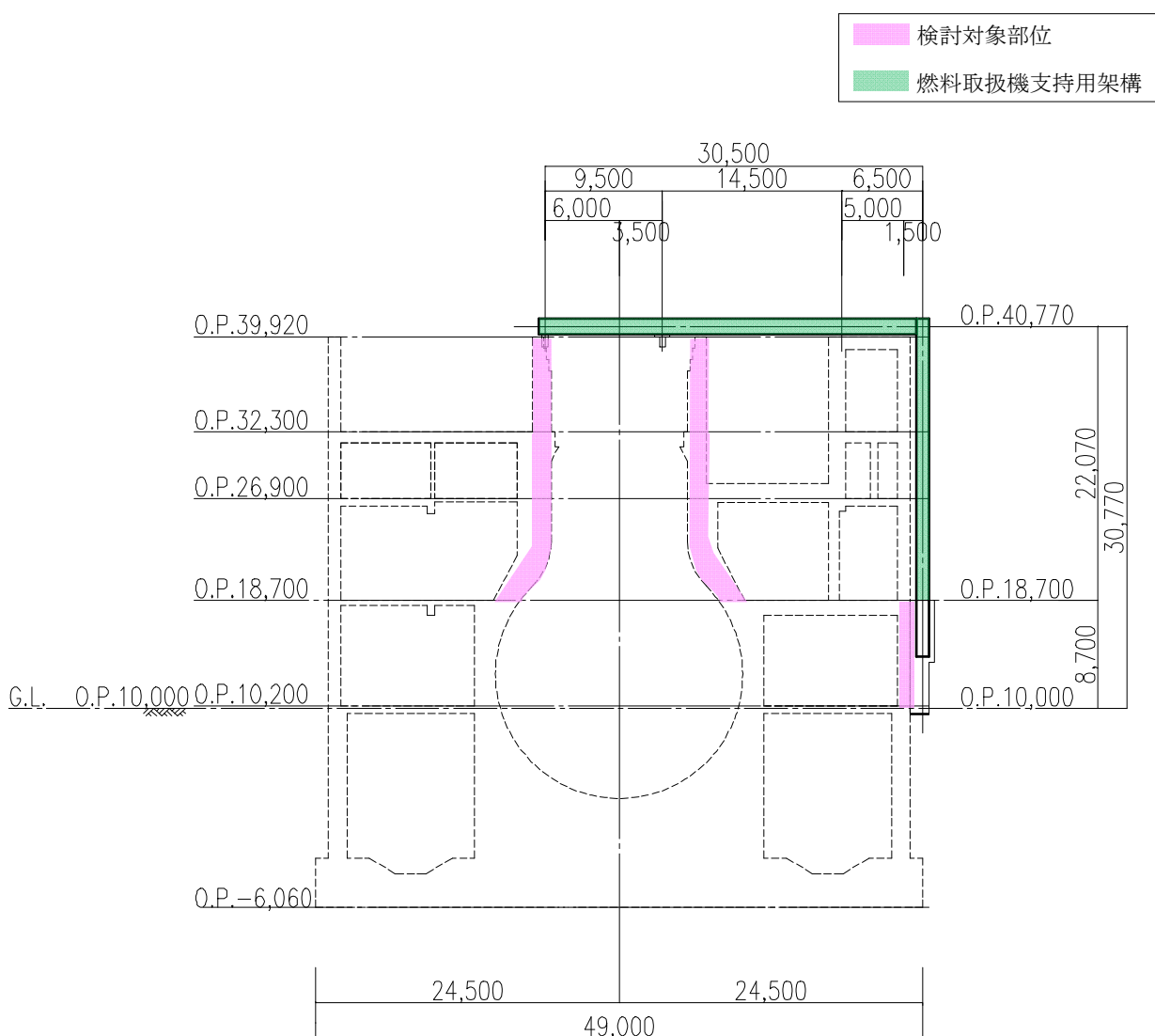


図 2.3.1-6 既存躯体の検討対象部位（単位：mm）

## 2) 断面検討

軸力及び曲げモーメントに対する断面検討とせん断に対する断面検討は、「原子力施設鉄筋コンクリート構造計算規準・同解説」に従い、設計基準強度(22.1N/mm<sup>2</sup>)を用いて行う。

シェル壁の軸力及び曲げモーメントに対する検討結果を表 2.3.1-12 に、せん断力に対する断面検討結果を表 2.3.1-13 に示す。南側外壁の面内方向に対する断面検討結果を表 2.3.1-14 に、面外方向に対する断面検討結果を表 2.3.1-15 に示す。

検討の結果、全ての応力度比が1以下になることを確認した。また、燃料取扱機支持用架構の反力により生じる応力は、建設時の設計用応力の10%以下であることを確認した。

表 2.3.1-12 シェル壁の断面検討結果(1)  
(軸力及び曲げモーメントに対する検討)

| 標高<br>O.P.<br>(m) | コア壁厚<br>t<br>(m) | 配筋<br>タテ筋<br>a <sub>t</sub> (cm <sup>2</sup> /m)<br>P <sub>g</sub> (%) | 鉄筋の<br>最大引張応力度<br>σ <sub>t</sub><br>(N/mm <sup>2</sup> ) | コンクリートの<br>最大圧縮応力度<br>σ <sub>c</sub><br>(N/mm <sup>2</sup> ) | 応力度比<br>σ <sub>t</sub> /f <sub>t</sub> | 判定 |
|-------------------|------------------|--|--|--|--|----|
| 39.92~32.30       | 1.50             | a <sub>t</sub> =87.7<br>P <sub>g</sub> =1.16                           | 58.1   | 2.0  | 0.17                                   | OK |
| 32.30~26.90       | 1.85             | a <sub>t</sub> =87.7<br>P <sub>g</sub> =0.94                           | 80.1   | 3.4  | 0.24                                   | OK |
| 26.90~18.70       | 2.08             | a <sub>t</sub> =171.0<br>P <sub>g</sub> =1.64                          | 64.3   | 3.7  | 0.19                                   | OK |

表 2.3.1-13 シェル壁の断面検討結果(2)  
(せん断に対する検討)

| 標高<br>O.P.<br>(m) | コア壁厚<br>t<br>(m) | 配筋<br>上段:タテ筋<br>下段:ヨコ筋<br>a <sub>t</sub> (cm <sup>2</sup> /m)<br>P <sub>g</sub> (%) | 鉄筋の<br>最大引張応力度<br>σ <sub>t</sub><br>(N/mm <sup>2</sup> ) | 応力度比<br>σ <sub>t</sub> /f <sub>t</sub> | 判定 |
|-------------------|------------------|---|--|--|----|
| 39.92~32.30       | 1.50             | a <sub>t</sub> =87.7<br>P <sub>g</sub> =1.16  | 86.3   | 0.26                                   | OK |
|                   |                  | a <sub>t</sub> =76.0<br>P <sub>g</sub> =1.01  | 99.1   | 0.29                                   | OK |
| 32.30~26.90       | 1.85             | a <sub>t</sub> =87.7<br>P <sub>g</sub> =0.94  | 117.1  | 0.34                                   | OK |
|                   |                  | a <sub>t</sub> =76.0<br>P <sub>g</sub> =0.82  | 134.2  | 0.39                                   | OK |
| 26.90~18.70       | 2.08             | a <sub>t</sub> =171.0<br>P <sub>g</sub> =1.64                                       | 125.0  | 0.37                                   | OK |
|                   |                  | a <sub>t</sub> =171.0<br>P <sub>g</sub> =1.64                                       | 125.0  | 0.37                                   | OK |

表 2.3.1-14 南側外壁の断面検討結果(1)  
(面内方向)

| 標高                  | 壁厚       | 配筋<br>上段:タテ筋<br>下段:ヨコ筋            | せん断                                |                                    |                                    | 応力度比           | 判定 |
|---------------------|----------|-----------------------------------|------------------------------------|------------------------------------|------------------------------------|----------------|----|
|                     |          |                                   | 鉄筋の<br>最大引張応力度                     | 鉄筋の<br>最大引張応力度                     | コンクリートの<br>最大圧縮応力度                 |                |    |
| O.P.<br>(m)         | t<br>(m) | P <sub>g</sub><br>(%)             | $\sigma_t$<br>(N/mm <sup>2</sup> ) | $\sigma_t$<br>(N/mm <sup>2</sup> ) | $\sigma_c$<br>(N/mm <sup>2</sup> ) | $\sigma_t/f_t$ |    |
| 18.70<br>~<br>10.20 | 1.00     | 2-D32@200<br>P <sub>g</sub> =0.79 | 278.5                              | 0.0                                | 2.0                                | 0.81           | OK |
|                     |          | 2-D32@200<br>P <sub>g</sub> =0.79 |                                    |                                    |                                    |                |    |

表 2.3.1-15 南側外壁の断面検討結果(2)  
(面外方向)

| 標高                  | 壁厚       | 配筋<br>タテ筋                         | せん断                              |              |    | 曲げモーメント                            |                                    |                |    |
|---------------------|----------|-----------------------------------|----------------------------------|--------------|----|------------------------------------|------------------------------------|----------------|----|
|                     |          |                                   | コンクリートの最大<br>せん断応力度              | 応力<br>度比     | 判定 | 鉄筋の最大<br>引張応力度                     | コンクリートの最大<br>圧縮応力度                 | 応力<br>度比       | 判定 |
| O.P.<br>(m)         | t<br>(m) | P <sub>g</sub><br>(%)             | $\tau_s$<br>(N/mm <sup>2</sup> ) | $\tau_s/f_s$ |    | $\sigma_t$<br>(N/mm <sup>2</sup> ) | $\sigma_c$<br>(N/mm <sup>2</sup> ) | $\sigma_t/f_t$ |    |
| 18.70<br>~<br>10.20 | 1.00     | 2-D32@200<br>P <sub>g</sub> =0.79 | 0.1                              | 0.10         | OK | 110.8                              | 2.1                                | 0.33           | OK |

## 2.3.2 耐震性

### (1) 検討方針

耐震性の検討は、燃料取扱機支持用架構、原子炉建屋接合部及び原子炉建屋の健全性について行い、基準地震動  $S_s$  に対して燃料取扱機支持用架構及び原子炉建屋の応答性状を適切に表現できる地震応答解析を用いて評価する。

### (2) 原子炉建屋の地震応答解析

#### 1) 解析に用いる入力地震動

検討に用いる地震動は、「福島第一原子力発電所『発電用原子炉施設に関する耐震設計審査指針』の改訂に伴う耐震安全性評価結果 中間報告書」（平成 20 年 3 月 31 日 東京電力株式会社）にて作成した解放基盤表面に定義される基準地震動  $S_s$ （図 2.2.2-2(1)及び図 2.2.2-2(2)参照）とする。

地震応答解析に用いる入力地震動の概念図を図 2.3.2-1 に示す。モデルに入力する地震動は一次元波動論に基づき、解放基盤表面に定義される基準地震動  $S_s$  に対する地盤の応答として評価する。

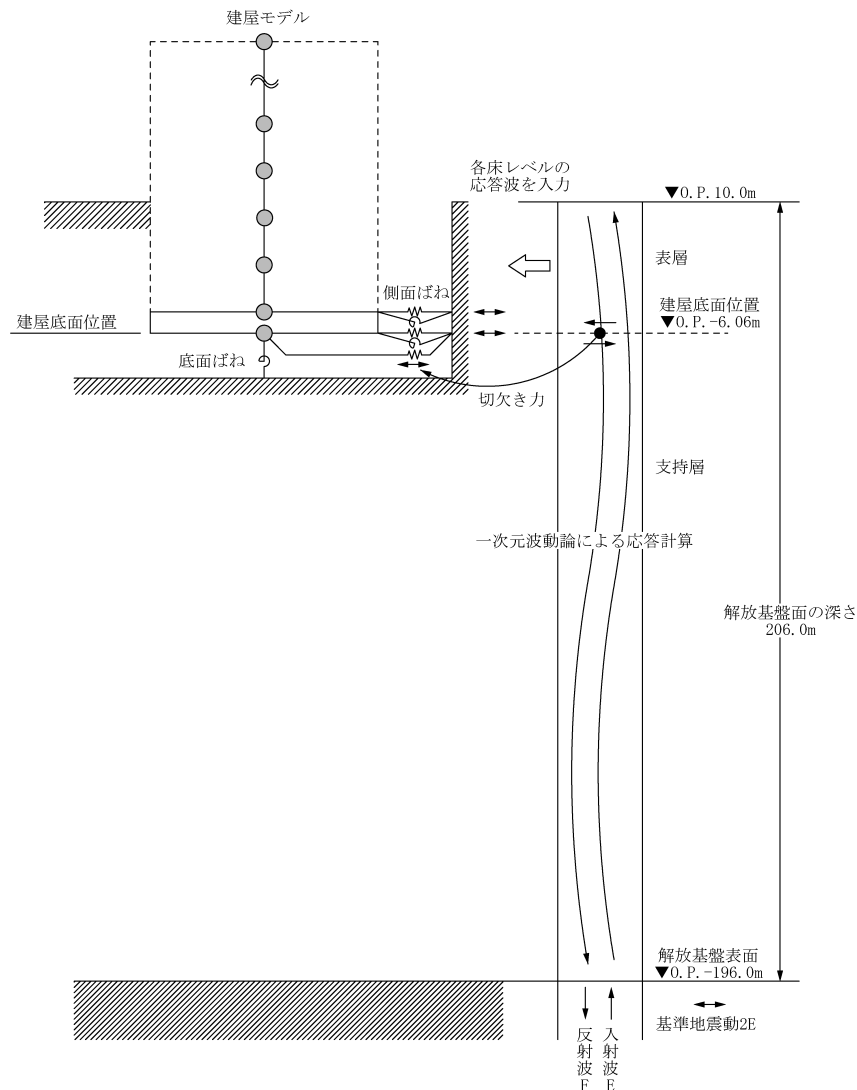


図 2.3.2-1 地震応答解析に用いる入力地震動の概念図



## 2) 地震応答解析モデル

原子炉建屋の地震応答解析モデルは、図 2.3.2-2 に示すように質点系でモデル化し、地盤を等価なばねで評価した建屋-地盤連成系モデルとする。

地震応答解析モデルの諸元は、「福島第一原子力発電所の原子炉建屋の現状の耐震安全性および補強等に関する検討に係る報告書（その1）」（平成 23 年 5 月 28 日 東京電力株式会社）に示される内容に、使用済燃料プール底部の支持構造物の設置工事、瓦礫撤去及び新規に設置する燃料取扱機支持用架構の重量を考慮した。解析諸元を表 2.3.2-1(1) 及び表 2.3.2-1(2) に示す。

地盤定数は、水平成層地盤と仮定し地震時のせん断ひずみレベルを考慮して定めた。地盤定数の設定結果を表 2.3.2-2 に示す。基礎底面の地盤ばねについては、「JEAG 4601-1991」に示されている手法を参考にして、地盤を成層補正し振動アドミタンス理論によりスウェイ及びロッキングばねを評価した。

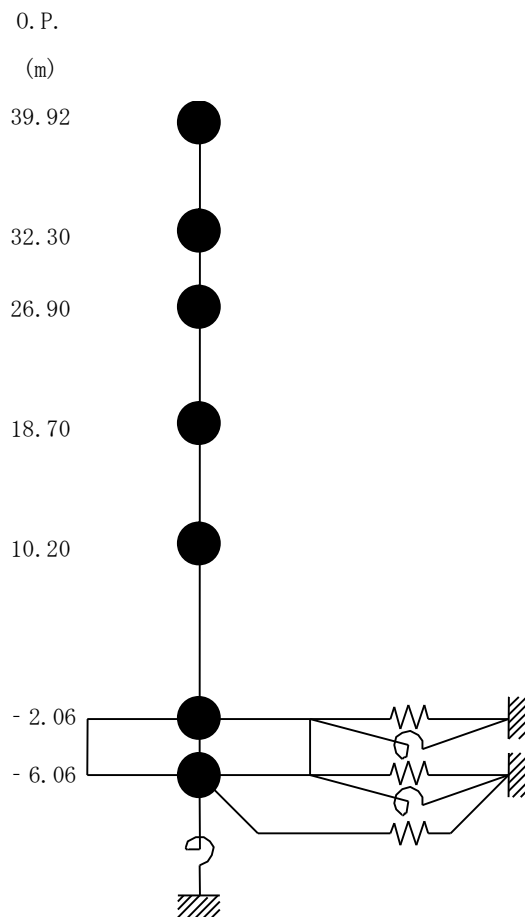


図 2.3.2-2 原子炉建屋の地震応答解析モデル

表 2. 3. 2-1(1) 原子炉建屋の地震応答解析モデルの諸元

(a) 水平 (NS) 方向

| 標高<br>O.P. (m) | 質点重量<br>W (kN) | 回転慣性重量<br>I <sub>G</sub> (×10 <sup>5</sup> kN・m <sup>2</sup> ) | せん断断面積<br>A <sub>s</sub> (m <sup>2</sup> )   | 断面二次モーメント<br>I (m <sup>4</sup> ) |
|----------------|----------------|--|--|----------------------------------|
| 39.92          | 77700          | 141.73   | 150.8  | 13068                            |
| 32.30          | 88770          | 163.44   |  |                                  |
| 26.90          | 122210         | 224.92   | 103.4  | 15942                            |
| 18.70          | 127700         | 244.14   | 223.4  | 45026                            |
| 10.20          | 208960         | 391.33   | 175.4  | 46774                            |
| -2.06          | 287050         | 574.38   | 460.4  | 114194                           |
| -6.06          | 132390         | 264.88   | 2812.6   | 562754                           |
| 合計             | 1044780        |  | ヤング係数 E <sub>c</sub> 2.57×10 <sup>7</sup> (kN/m <sup>2</sup> )<br>せん断弾性係数 G 1.07×10 <sup>7</sup> (kN/m <sup>2</sup> )<br>ポアソン比 ν 0.20<br>減衰 h 5% |                                  |

(b) 水平 (EW) 方向

| 標高<br>O.P. (m) | 質点重量<br>W (kN) | 回転慣性重量<br>I <sub>G</sub> (×10 <sup>5</sup> kN・m <sup>2</sup> ) | せん断断面積<br>A <sub>s</sub> (m <sup>2</sup> )   | 断面二次モーメント<br>I (m <sup>4</sup> ) |
|----------------|----------------|--|--|----------------------------------|
| 39.92          | 77700          | 78.78  | 90.4   | 6491                             |
| 32.30          | 88770          | 91.66  |  |                                  |
| 26.90          | 122210         | 224.92   | 105.8  | 6388                             |
| 18.70          | 127700         | 232.88   | 167.5  | 32815                            |
| 10.20          | 208960         | 570.57   | 166.4  | 46303                            |
| -2.06          | 287050         | 828.96   | 424.5  | 136323                           |
| -6.06          | 132390         | 346.27   | 2812.6   | 772237                           |
| 合計             | 1044780        |  | ヤング係数 E <sub>c</sub> 2.57×10 <sup>7</sup> (kN/m <sup>2</sup> )<br>せん断弾性係数 G 1.07×10 <sup>7</sup> (kN/m <sup>2</sup> )<br>ポアソン比 ν 0.20<br>減衰 h 5% |                                  |

表 2. 3. 2-1(2) 原子炉建屋の地震応答解析モデルの諸元  
(鉛直方向)

| 標高<br>O.P. (m) | 質点重量<br>W (kN) | 軸断面積<br>A <sub>N</sub> (m <sup>2</sup> ) | 軸ばね剛性<br>K <sub>A</sub> (×10 <sup>8</sup> kN/m <sup>2</sup> ) |
|----------------|----------------|--|---|
| 39.92          | 77700          |  |   |
|                |                | 222.6                                    | 7.41  |
| 32.30          | 88770          |  |   |
|                |                | 218.1                                    | 10.58   |
| 26.90          | 122210         |  |   |
|                |                | 380.4                                    | 11.92   |
| 18.70          | 127700         |  |   |
|                |                | 340.6                                    | 10.30   |
| 10.20          | 208960         |  |   |
|                |                | 654.7                                    | 13.72   |
| -2.06          | 287050         |  |   |
|                |                | 2812.6                                   | 180.71  |
| -6.06          | 132390         |  |   |
| 合計             | 1044780        |  |   |
|                |                | ヤング係数 E <sub>c</sub>                     | 2.57×10 <sup>7</sup> (kN/m <sup>2</sup> )                     |
|                |                | せん断弾性係数 G                                | 1.07×10 <sup>7</sup> (kN/m <sup>2</sup> )                     |
|                |                | ポアソン比 ν                                  | 0.20  |
|                |                | 減衰 h                                     | 5%  |

表 2.3.2-2 地盤定数の設定結果

(a) Ss-1

| 標高<br>O.P.<br>(m) | 地質     | せん断波<br>速度<br>Vs<br>(m/s) | 単位体積<br>重量<br>γ<br>(kN/m <sup>3</sup> ) | ポアソン<br>比<br>ν | せん断<br>弾性係数<br>G<br>(×10 <sup>5</sup> kN/m <sup>2</sup> ) | 初期せん断<br>弾性係数<br>G <sub>0</sub><br>(×10 <sup>5</sup> kN/m <sup>2</sup> ) | 剛性<br>低下率<br>G/G <sub>0</sub> | ヤング<br>係数<br>E<br>(×10 <sup>5</sup> kN/m <sup>2</sup> ) | 減衰<br>定数<br>h<br>(%) | 層厚<br>H<br>(m) |        |     |      |       |      |      |      |       |   |
|-------------------|--------|---------------------------|---|----------------|---|--|-------------------------------|---|----------------------|----------------|--------|-----|------|-------|------|------|------|-------|---|
| 10.0              | 砂岩     | 380                       | 17.8                                    | 0.473          | 2.23  | 2.62   | 0.85                          | 6.57  | 3                    | 8.1            |        |     |      |       |      |      |      |       |   |
| 1.9               |        |                           |   |                |   |  |                               |   |                      |                |        |     |      |       |      |      |      |       |   |
| -10.0             | 泥岩     | 450                       | 16.5                                    | 0.464          | 2.66  | 3.41   | 0.78                          | 7.79  | 3                    | 11.9           |        |     |      |       |      |      |      |       |   |
|                   |        |                           |   |                |   |  |                               |   |                      |                | -80.0  | 500 | 17.1 | 0.455 | 3.40 | 4.36 | 0.78 | 9.89  | 3 |
| -108.0            |        |                           |   |                |   |  |                               |   |                      |                |        |     |      |       |      |      |      |       |   |
|                   |        |                           |   |                |   |  |                               |   |                      |                | -196.0 | 600 | 17.8 | 0.442 | 5.09 | 6.53 | 0.78 | 14.68 | 3 |
| -196.0            | (解放基盤) | 700                       | 18.5                                    | 0.421          | 9.24  | 9.24   | 1.00                          | 26.26   | -                    | -              |        |     |      |       |      |      |      |       |   |

(b) Ss-2

| 標高<br>O.P.<br>(m) | 地質     | せん断波<br>速度<br>Vs<br>(m/s) | 単位体積<br>重量<br>γ<br>(kN/m <sup>3</sup> ) | ポアソン<br>比<br>ν | せん断<br>弾性係数<br>G<br>(×10 <sup>5</sup> kN/m <sup>2</sup> ) | 初期せん断<br>弾性係数<br>G <sub>0</sub><br>(×10 <sup>5</sup> kN/m <sup>2</sup> ) | 剛性<br>低下率<br>G/G <sub>0</sub> | ヤング<br>係数<br>E<br>(×10 <sup>5</sup> kN/m <sup>2</sup> ) | 減衰<br>定数<br>h<br>(%) | 層厚<br>H<br>(m) |        |     |      |       |      |      |      |       |   |
|-------------------|--------|---------------------------|---|----------------|---|--|-------------------------------|---|----------------------|----------------|--------|-----|------|-------|------|------|------|-------|---|
| 10.0              | 砂岩     | 380                       | 17.8                                    | 0.473          | 2.23  | 2.62   | 0.85                          | 6.57  | 3                    | 8.1            |        |     |      |       |      |      |      |       |   |
| 1.9               |        |                           |   |                |   |  |                               |   |                      |                |        |     |      |       |      |      |      |       |   |
| -10.0             | 泥岩     | 450                       | 16.5                                    | 0.464          | 2.76  | 3.41   | 0.81                          | 8.08  | 3                    | 11.9           |        |     |      |       |      |      |      |       |   |
|                   |        |                           |   |                |   |  |                               |   |                      |                | -80.0  | 500 | 17.1 | 0.455 | 3.53 | 4.36 | 0.81 | 10.27 | 3 |
| -108.0            |        |                           |   |                |   |  |                               |   |                      |                |        |     |      |       |      |      |      |       |   |
|                   |        |                           |   |                |   |  |                               |   |                      |                | -196.0 | 600 | 17.8 | 0.442 | 5.29 | 6.53 | 0.81 | 15.26 | 3 |
| -196.0            | (解放基盤) | 700                       | 18.5                                    | 0.421          | 9.24  | 9.24   | 1.00                          | 26.26   | -                    | -              |        |     |      |       |      |      |      |       |   |

(c) Ss-3

| 標高<br>O.P.<br>(m) | 地質     | せん断波<br>速度<br>Vs<br>(m/s) | 単位体積<br>重量<br>γ<br>(kN/m <sup>3</sup> ) | ポアソン<br>比<br>ν | せん断<br>弾性係数<br>G<br>(×10 <sup>5</sup> kN/m <sup>2</sup> ) | 初期せん断<br>弾性係数<br>G <sub>0</sub><br>(×10 <sup>5</sup> kN/m <sup>2</sup> ) | 剛性<br>低下率<br>G/G <sub>0</sub> | ヤング<br>係数<br>E<br>(×10 <sup>5</sup> kN/m <sup>2</sup> ) | 減衰<br>定数<br>h<br>(%) | 層厚<br>H<br>(m) |        |     |      |       |      |      |      |       |   |
|-------------------|--------|---------------------------|---|----------------|---|--|-------------------------------|---|----------------------|----------------|--------|-----|------|-------|------|------|------|-------|---|
| 10.0              | 砂岩     | 380                       | 17.8                                    | 0.473          | 2.25  | 2.62   | 0.86                          | 6.63  | 3                    | 8.1            |        |     |      |       |      |      |      |       |   |
| 1.9               |        |                           |   |                |   |  |                               |   |                      |                |        |     |      |       |      |      |      |       |   |
| -10.0             | 泥岩     | 450                       | 16.5                                    | 0.464          | 2.66  | 3.41   | 0.78                          | 7.79  | 3                    | 11.9           |        |     |      |       |      |      |      |       |   |
|                   |        |                           |   |                |   |  |                               |   |                      |                | -80.0  | 500 | 17.1 | 0.455 | 3.40 | 4.36 | 0.78 | 9.89  | 3 |
| -108.0            |        |                           |   |                |   |  |                               |   |                      |                |        |     |      |       |      |      |      |       |   |
|                   |        |                           |   |                |   |  |                               |   |                      |                | -196.0 | 600 | 17.8 | 0.442 | 5.09 | 6.53 | 0.78 | 14.68 | 3 |
| -196.0            | (解放基盤) | 700                       | 18.5                                    | 0.421          | 9.24  | 9.24   | 1.00                          | 26.26   | -                    | -              |        |     |      |       |      |      |      |       |   |

3) 地震応答解析結果

地震応答解析は水平方向と鉛直方向を別々に入力した。最大応答加速度分布を図 2. 3. 2-3 に示す。

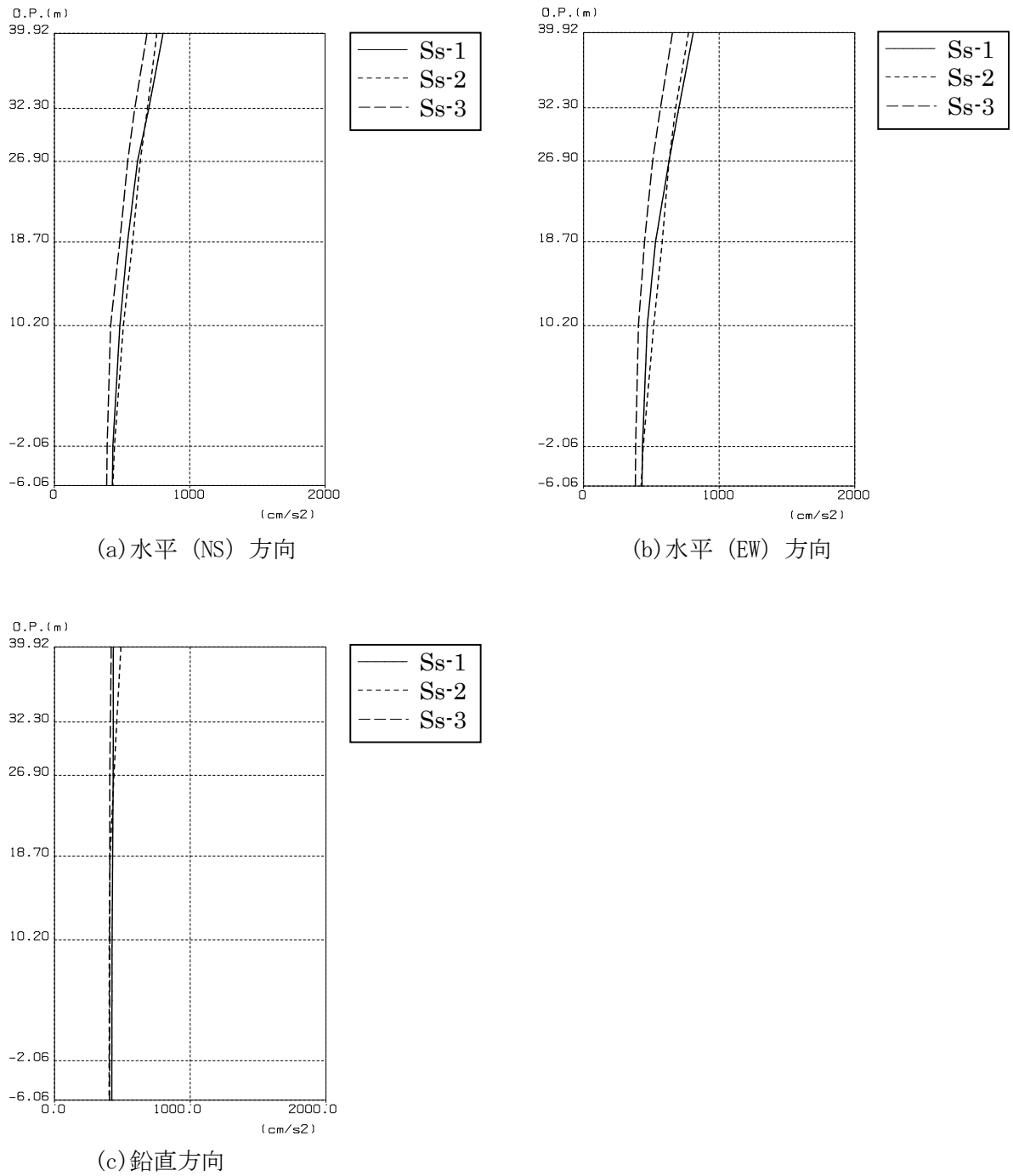


図 2. 3. 2-3 原子炉建屋の最大応答加速度分布

(3) 架構の耐震性に対する検討

1) 解析に用いる入力地震動

燃料取扱機支持用架構への入力地震動は、基準地震動  $S_s$  を入力したときの原子炉建屋 O.P. 39.92m と O.P. 18.70m の時刻歴応答変位を用い、水平方向と鉛直方向の同時入力とする。

2) 地震応答解析モデル

地震応答解析に用いる入力地震動の概念と燃料取扱機支持用架構の解析モデルを図 2.3.2-4 に、層間変形角が最大となる燃料取扱機を南端に設置した場合の地震応答解析モデルにおける質点重量を表 2.3.2-3 に示す。

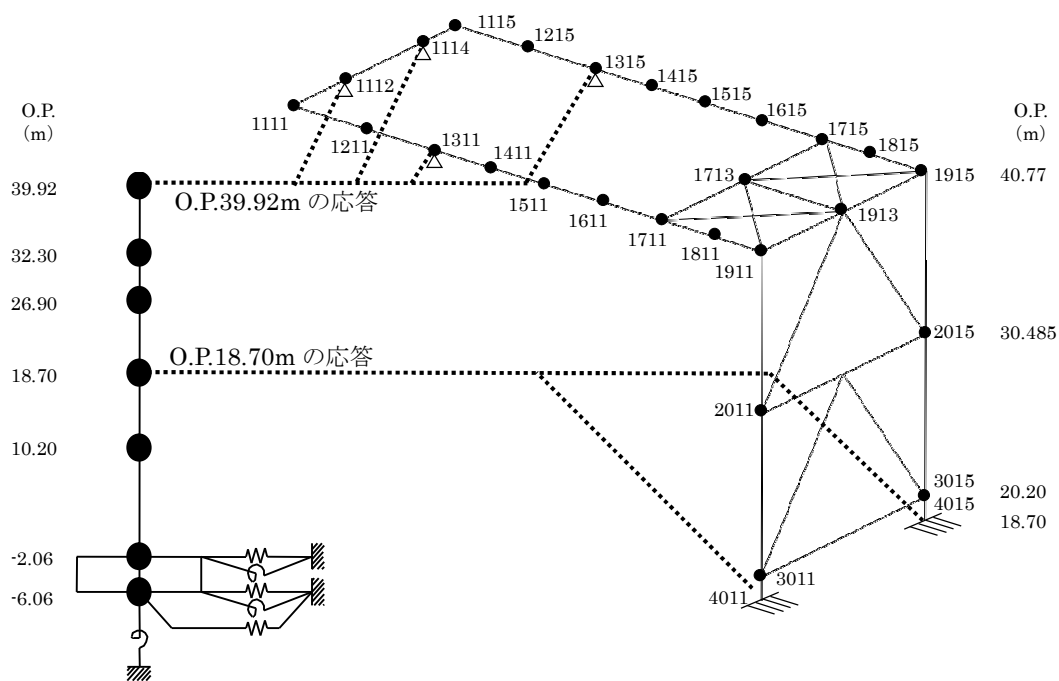


図 2.3.2-4 燃料取扱機支持用架構の地震応答解析モデル

表 2.3.2-3 燃料取扱機支持用架構の地震応答解析モデルにおける質点重量

| 標高<br>O.P.(m) | 節点番号   | 質点重量<br>(kN) |    |
|---------------|--------|--------------|----|
| 40.77         | 1111   | 57           |    |
|               | 1211   | 89           |    |
|               | 1311   | 79           |    |
|               | 1411   | 68           |    |
|               | 1511   | 68           |    |
|               | 1611   | 68           |    |
|               | 1711   | 78           |    |
|               | 1811   | 62           |    |
|               | 1911   | 97           |    |
|               | 1115   | 57           |    |
|               | 1215   | 89           |    |
|               | 1315   | 79           |    |
|               | 1415   | 68           |    |
|               | 1515   | 68           |    |
|               | 1615   | 68           |    |
|               | 1715   | 78           |    |
|               | 1815   | 62           |    |
|               | 1915   | 97           |    |
|               | 30.485 | 1112         | 46 |
|               |        | 1114         | 46 |
| 1713          |        | 37           |    |
| 1913          |        | 94           |    |
| 20.20         | 9001   | 49           |    |
|               | 9002   | 49           |    |
|               | 9003   | 49           |    |
|               | 9004   | 49           |    |
|               | 9501   | 184          |    |
|               | 9502   | 184          |    |
|               | 9601   | 184          |    |
|               | 9602   | 184          |    |
| 30.485        | 2011   | 149          |    |
|               | 2015   | 149          |    |
| 20.20         | 3011   | 94           |    |
|               | 3015   | 94           |    |
| 合 計           |        | 2973         |    |

### 3) 波及的影響の評価

地震応答解析結果が、JSCA 性能メニュー（社団法人日本建築構造技術者協会，2002 年）を参考に定めたクライテリア（「層間変形角は 1/75 以下，層の塑性率は 4 以下，部材の塑性率は 5 以下」\*1 及びせん断力はせん断耐力以下）を満足することを確認する。

なお，解析結果が「時刻歴応答解析建築物性能評価業務方法書」（財団法人日本建築センター，平成 19 年 7 月 20 日）に示されるクライテリア（層間変形角は 1/100 以下，層の塑性率は 2 以下，部材の塑性率は 4 以下）を超える場合には水平変形に伴う鉛直荷重の付加的影響を考慮した解析を実施し，安全性を確認する。

\*1：北村春幸，宮内洋二，浦本弥樹「性能設計における耐震性能判断基準値に関する研究」，日本建築学会構造系論文集，第 604 号，2006 年 6 月

#### ・層間変形角の検討

燃料取扱機支持用架構の層間変形角を表 2.3.2-4 に示す。

検討の結果，層間変形角は 1/75 以下となりクライテリアを満足することを確認した。

表 2.3.2-4 層間変形角の検討結果

| 標高<br>O.P.<br>(m) | 最大応答値    |         |         |          |        |        | クライテリア | 判定 |
|-------------------|----------|---------|---------|----------|--------|--------|--------|----|
|                   | NS 方向入力時 |         |         | EW 方向入力時 |        |        |        |    |
|                   | Ss-1     | Ss-2    | Ss-3    | Ss-1     | Ss-2   | Ss-3   | 1/75   | OK |
| 30.485～40.77      | 1/10285  | 1/10285 | 1/34283 | 1/1686   | 1/2057 | 1/2706 |        |    |
| 18.70～30.485      | 1/1061   | 1/1309  | 1/1419  | 1/1733   | 1/2104 | 1/2805 |        |    |



・塑性率の検討

部材の塑性率は、最大応答曲げモーメント時の曲率を全塑性モーメントに至る時の曲率で除した値で表される。最大曲げモーメントが全塑性モーメント以下の場合は弾性であり塑性率は1以下となる。最大応答値を全塑性モーメントまたはせん断耐力で除した値を耐力比と定義し、表 2.3.2-5 に検討結果を示す。

表 2.3.2-5 より曲げモーメント及びせん断力については、全てのケースで耐力比が1を下回ることから塑性率は1以下となり、クライテリアを満足することを確認した。

表 2.3.2-5 耐力比の検討結果

| 部位   | 検討箇所 | 部材形状<br>(mm)          | 地震波  | 入力方向 | 耐力比    |      | 判定 |
|------|------|-----------------------|------|------|--------|------|----|
|      |      |                       |      |      |        |      |    |
| 柱    | C1   | □-1000×1000<br>×25×25 | Ss-1 | NS   | Mz/Muz | 0.01 | OK |
|      |      |                       |      |      | My/Muy | 0.10 |    |
|      |      |                       |      |      | Qz/Quz | 0.03 |    |
|      |      |                       |      |      | Qy/Quy | 0.01 |    |
| 梁    | G1   | B□-1300×750<br>×22×50 | Ss-1 | EW   | Mz/Muz | 0.12 | OK |
|      |      |                       |      |      | My/Muy | 0.06 |    |
|      |      |                       |      |      | Qz/Quz | 0.02 |    |
|      |      |                       |      |      | Qy/Quy | 0.09 |    |
| ブレース | V1   | □-450×450<br>×22      | Ss-1 | EW   | Mz/Muz | 0.02 | OK |
|      |      |                       |      |      | My/Muy | 0.02 |    |
|      |      |                       |      |      | Qz/Quz | 0.01 |    |
|      |      |                       |      |      | Qy/Quy | 0.01 |    |

$M_z$  : 部材 z 軸回りの曲げモーメントの最大値

$M_y$  : 部材 y 軸回りの曲げモーメントの最大値

$Q_z$  : 部材 z 方向のせん断力の最大値

$Q_y$  : 部材 y 方向のせん断力の最大値

$M_{uz}$  : 部材 z 軸回りの全塑性モーメント

$M_{uy}$  : 部材 y 軸回りの全塑性モーメント

$Q_{uz}$  : 部材 z 軸方向のせん断耐力

$Q_{uy}$  : 部材 y 軸方向のせん断耐力

(4) 原子炉建屋接合部の耐震性に対する検討

接着系アンカーボルトの耐震性の検討は、短期許容引張力及び短期許容せん断力を許容耐力とし、応力度比が1以下になることを確認する。

1) シェル壁上端位置の検討

作用応力と許容耐力を比較した結果を表 2.3.2-6 に示す。

検討の結果、全ての応力度比が1以下になることを確認した。

表 2.3.2-6 シェル壁上端位置の検討結果

| 検討箇所<br>(アンカー本数)*1 | 地震波  | 入力<br>方向 | 作用応力             |                   | 許容耐力                      |                            | 応力度比 | 判定 |
|--------------------|------|----------|------------------|-------------------|---------------------------|----------------------------|------|----|
|                    |      |          | 引抜力<br>P<br>(kN) | せん断力<br>Q<br>(kN) | 短期<br>許容引張力<br>Pa<br>(kN) | 短期<br>許容せん断力<br>qa<br>(kN) |      |    |
| F1<br>(20)         | Ss-1 | NS       | 0                | 1105              | 2320                      | 2080                       | 0.54 | OK |
| F2<br>(8)          | Ss-1 | EW       | 104              | 168               | 928                       | 832                        | 0.21 | OK |

\*1：設計で考慮するアンカーボルトの本数

2) 南側外壁位置の検討

作用応力と許容耐力を比較した結果を表 2.3.2-7 に示す。

検討の結果、全ての応力度比が1以下になることを確認した。

表 2.3.2-7 南側外壁位置の検討結果

| 検討箇所<br>方向<br>(アンカー本数)*1           | 地震波  | 入力<br>方向 | 作用応力             |                   | 許容耐力                      |                            | 応力度比 | 判定 |
|------------------------------------|------|----------|------------------|-------------------|---------------------------|----------------------------|------|----|
|                                    |      |          | 引抜力<br>P<br>(kN) | せん断力<br>Q<br>(kN) | 短期<br>許容引張力<br>Pa<br>(kN) | 短期<br>許容せん断力<br>qa<br>(kN) |      |    |
| F3<br>NS 方向<br>(引張 24)<br>(せん断 99) | Ss-1 | NS       | 1568             | 3214              | 2448                      | 11484                      | 0.65 | OK |
| F3<br>EW 方向<br>(引張 15)<br>(せん断 99) | Ss-1 | EW       | 863              | 5793              | 1530                      | 11484                      | 0.57 | OK |

\*1：設計で考慮するアンカーボルトの本数。アンカーボルトは引張に抵抗するものとせん断に抵抗するものをそれぞれ設定した

## (5) 原子炉建屋の耐震性に対する検討

### 1) 検討方針

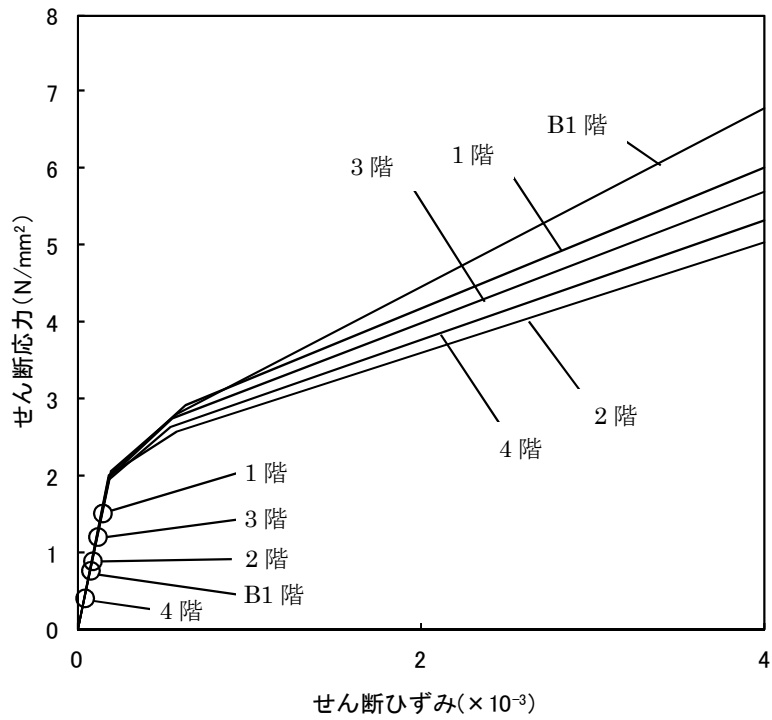
燃料取扱機支持用架構の設置に伴う原子炉建屋の耐震性の評価は、耐震安全上重要な設備への波及的影響防止の観点から、地震応答解析により得られる耐震壁のせん断ひずみが鉄筋コンクリート造耐震壁の終局限界に対応した評価基準値 ( $4.0 \times 10^{-3}$ ) 以下になることを確認する。

ここで、耐震壁のせん断ひずみは、「(2)原子炉建屋の地震応答解析」で実施した地震応答解析結果の値とする。

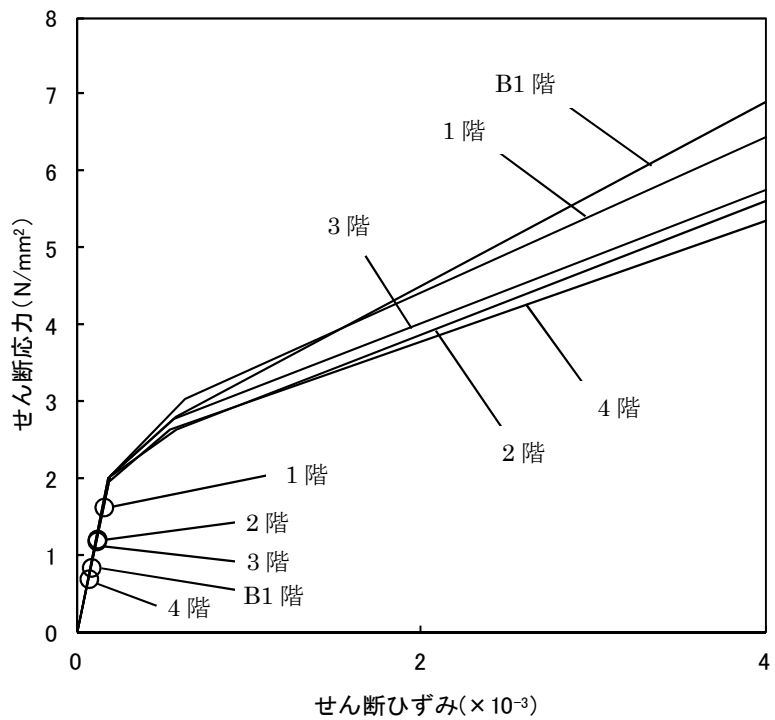
### 2) 検討結果

基準地震動  $S_s$  に対する最大応答値を、「JEAG 4601-1991」に基づき設定した耐震壁のせん断スケルトン曲線上にプロットした結果を、図 2.3.2-5 から図 2.3.2-7 に示す。

検討の結果、地震応答解析により得られる最大応答値は、評価基準値 ( $4.0 \times 10^{-3}$ ) に対して十分に余裕があることを確認した。

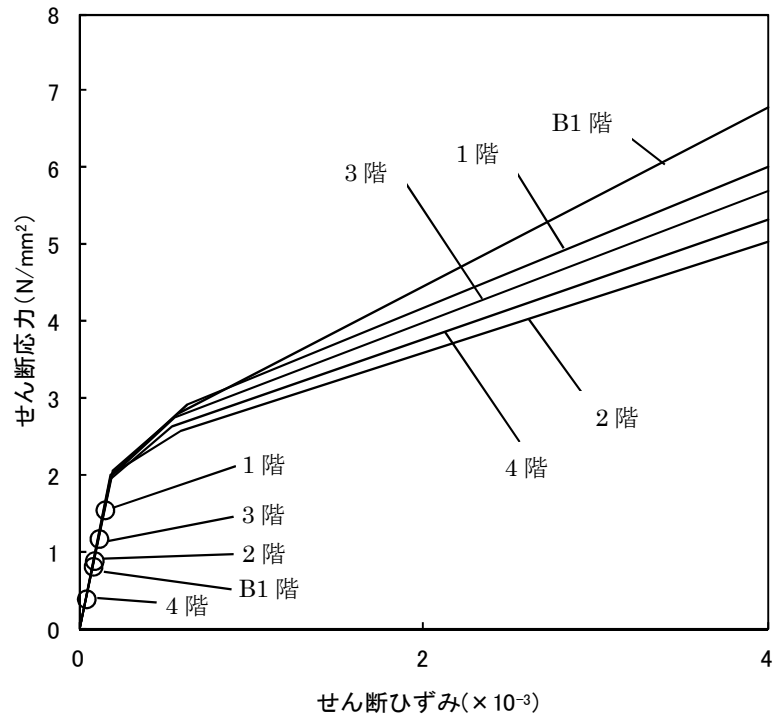


(a) NS 方向

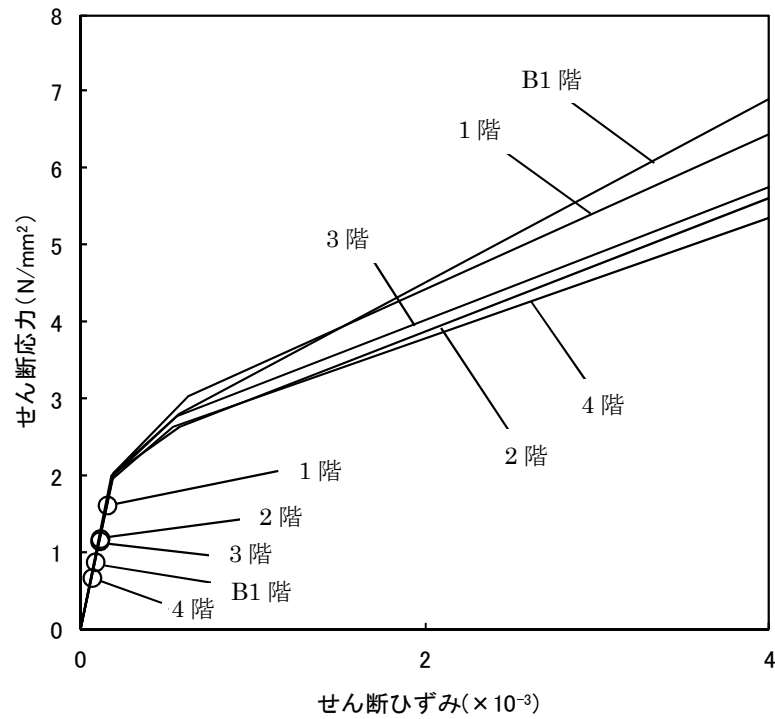


(b) EW 方向

図 2.3.2-5 せん断スケルトン曲線上の最大応答値 (Ss-1)

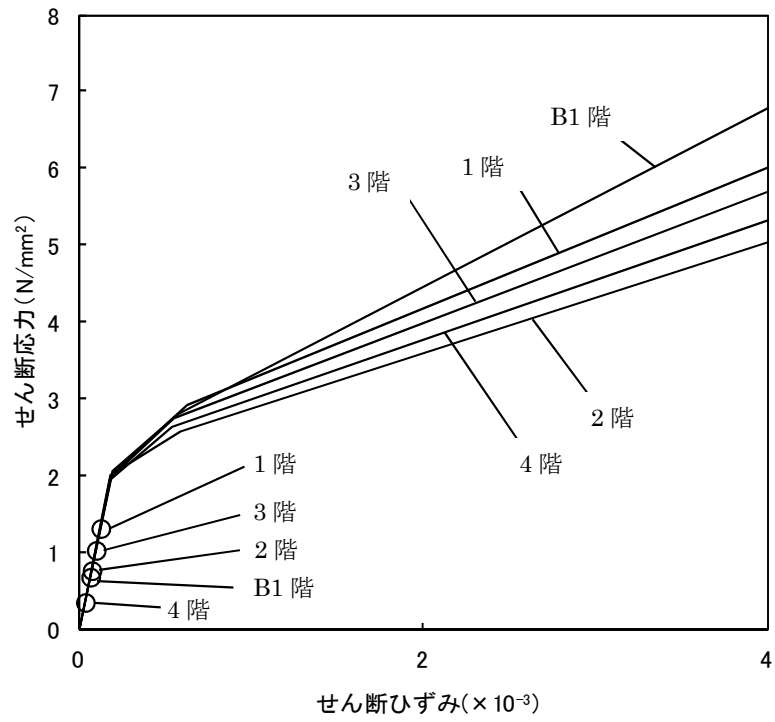


(a) NS 方向

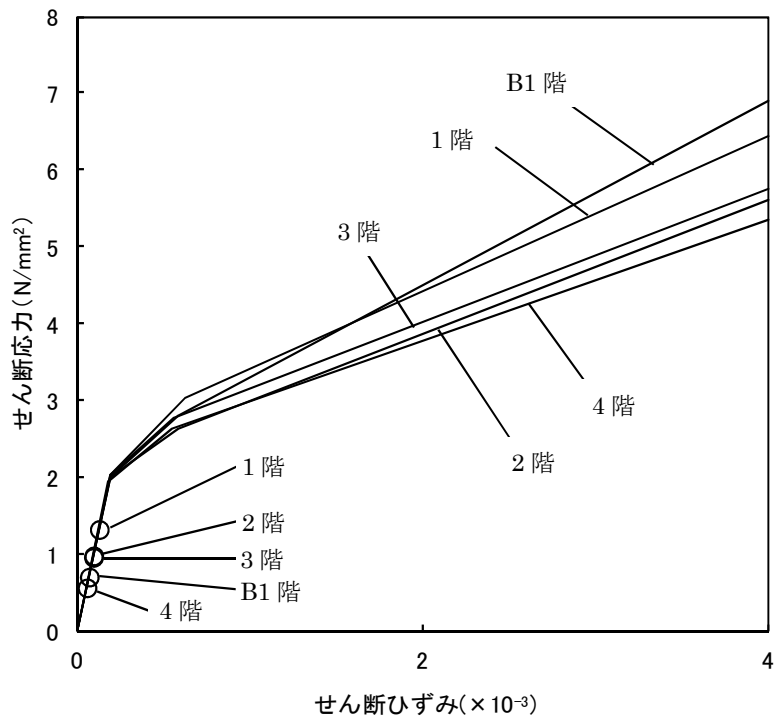


(b) EW 方向

図 2.3.2-6 せん断スケルトン曲線上の最大応答値 (Ss-2)



(a) NS 方向



(b) EW 方向

図 2.3.2-7 せん断スケルトン曲線上の最大応答値 (Ss-3)

### 3. 3号機燃料取り出し用カバーの構造強度及び耐震性について

#### 3.1 概要

##### 3.1.1 一般事項

3号機燃料取り出し用カバーは、使用済燃料プールを覆う構造としており、燃料取扱設備（燃料取扱機及びクレーン）を支持するドーム状の屋根を有した門型架構であり、構造強度と耐震性について検討を行う。なお、耐震設計上の重要度分類は、燃料取扱設備の間接支持構造物としてBクラス相当とする。

架構の構造強度は一次設計に対応した許容応力度設計を実施し、耐震性は基準地震動  $S_s$  に対する地震応答解析を実施し、架構の損傷が原子炉建屋、使用済燃料プール及び使用済燃料ラックに波及的影響を及ぼさないことを確認する。ここで、波及的影響の確認は、架構が崩壊機構に至らないことを確認する。図 3.1.1-1 に燃料取り出し用カバーのイメージを示す。

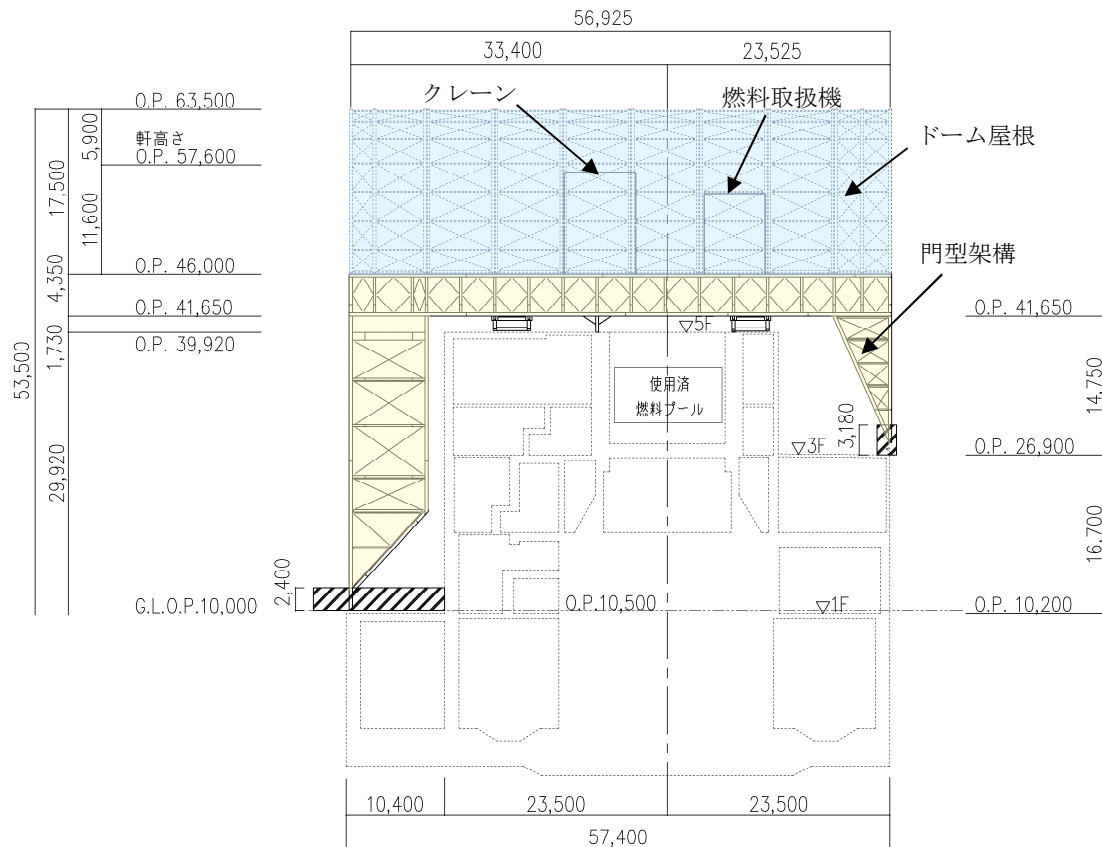


図 3.1.1-1 燃料取り出し用カバーのイメージ (単位 : mm)

燃料取り出し用カバーの検討は原則として下記の法規及び基規準類に準拠して行う。

- (1) 建築基準法・同施行令及び関連告示
- (2) 原子力施設鉄筋コンクリート構造計算規準・同解説（日本建築学会，2005 制定）
- (3) 鉄筋コンクリート構造計算規準・同解説（日本建築学会，2010 改定）
- (4) 鋼構造設計規準（日本建築学会，2005 改定）
- (5) 2007 年版 建築物の構造関係技術基準解説書(国土交通省住宅局建築指導課・国土交通省  
国土技術政策総合研究所・独立行政法人建築研究所・日本建築行政会議，2007 刊行)
- (6) 鋼構造塑性設計指針（日本建築学会，2010 改定）
- (7) 現場打ち同等型プレキャスト鉄筋コンクリート構造設計指針(案)・同解説(2002)  
（日本建築学会，2002 制定）
- (8) プレストレストコンクリート設計施工規準・同解説（日本建築学会，1998 改定）

また，原子力施設の設計において参照される下記の指針及び規程を参考にして検討を行う。

- (1) 原子力発電所耐震設計技術指針(JEAG 4601-1987)（日本電気協会 電気技術基準調査委員会，  
昭和 62 年 8 月 改訂）
- (2) 原子力発電所耐震設計技術指針(JEAG 4601-1991 追補版)（日本電気協会 電気技術基準調査  
委員会，平成 3 年 6 月 発刊）
- (3) 原子力発電所耐震設計技術規程(JEAC 4601-2008)（日本電気協会 原子力規格委員会，平成  
20 年 12 月 改定）

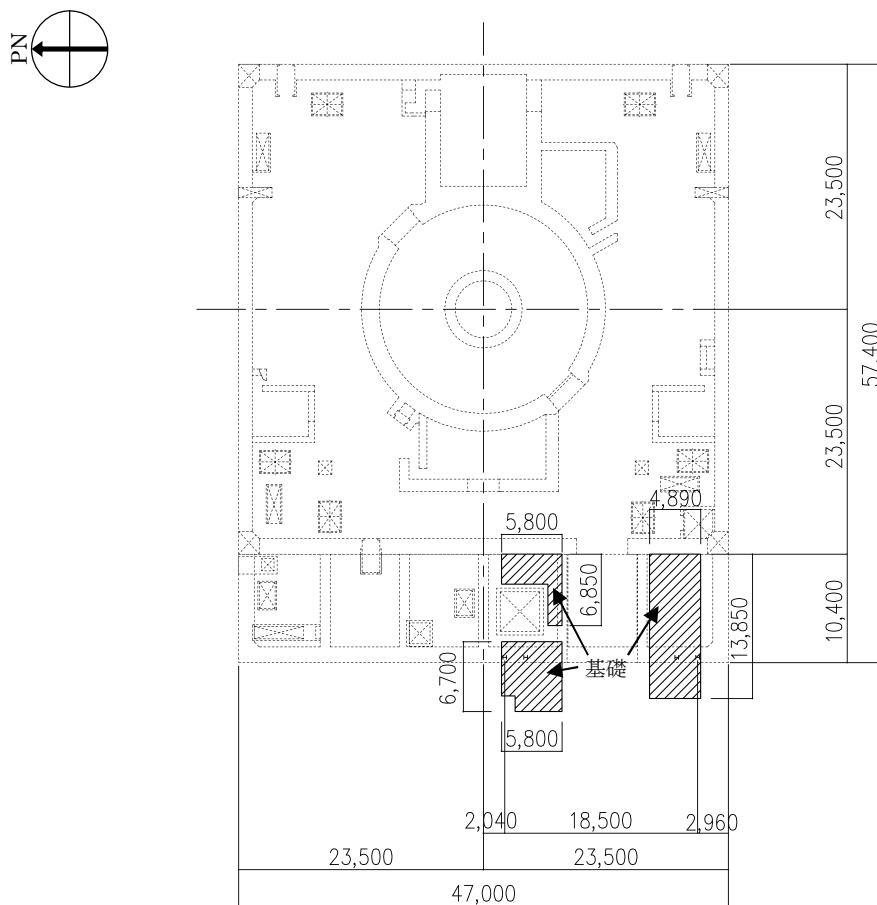


### 3.1.2 構造概要

燃料取り出し用カバーは燃料取扱設備を支持する架構で、南北方向に 18.50m、東西方向に 56.925m、地盤面からの高さが 53.50m のドーム状屋根を設けた門型の架構である。構造形式はトラス構造で、構造種別は鉄骨造である。

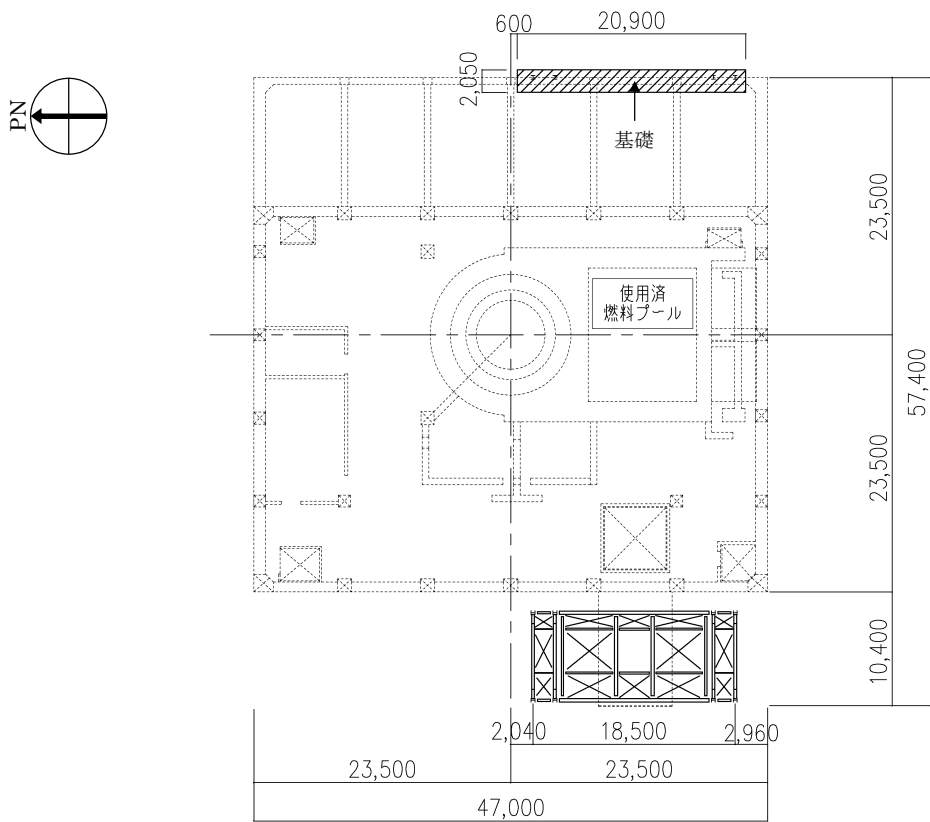
燃料取り出し用カバーは、原子炉建屋の 1 階、3 階及び 5 階に支持される構造である。なお、5 階の原子炉建屋躯体支持点においては、水平振れ止め装置（ストップ）及び鉛直方向の制震装置（オイルダンパ）を用いる。

燃料取り出し用カバーの概要を図 3.1.2-1～図 3.1.2-5 に示す。

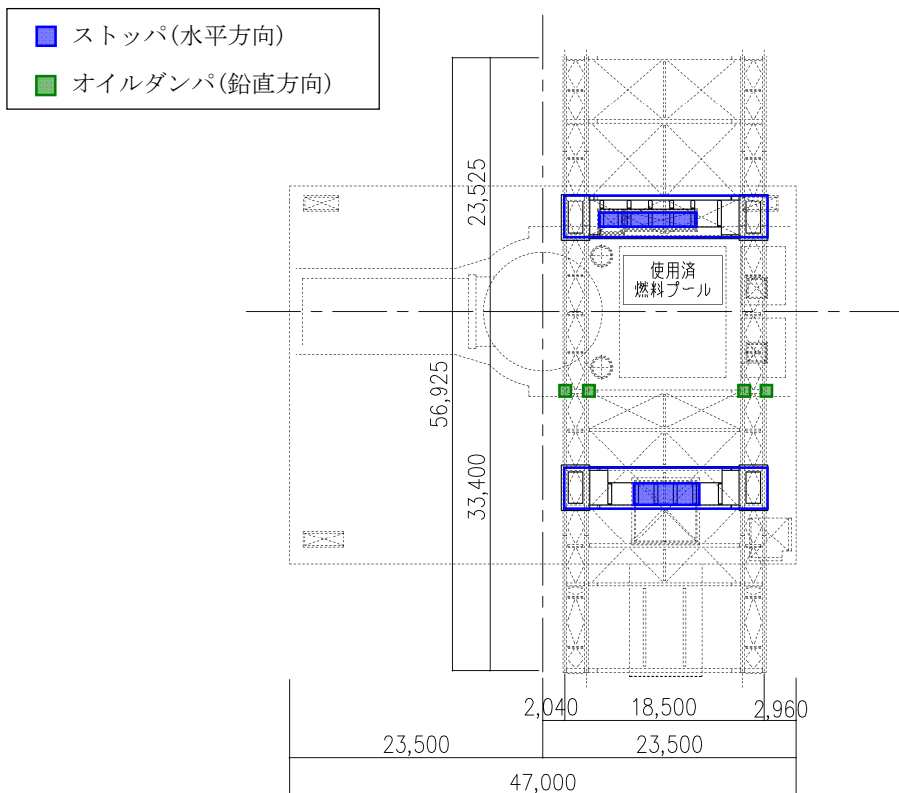


(a) 基礎伏図 (O. P. 10,500 原子炉建屋 1 階レベル+300mm)

図 3.1.2-1 燃料取り出し用カバーの概要 (単位: mm)

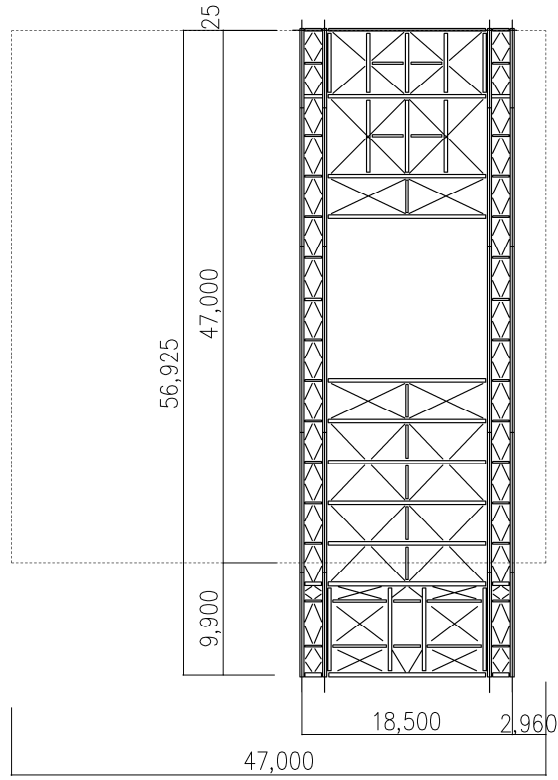
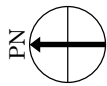


(a) 基礎伏図 (O. P. 26, 900 原子炉建屋 3 階)

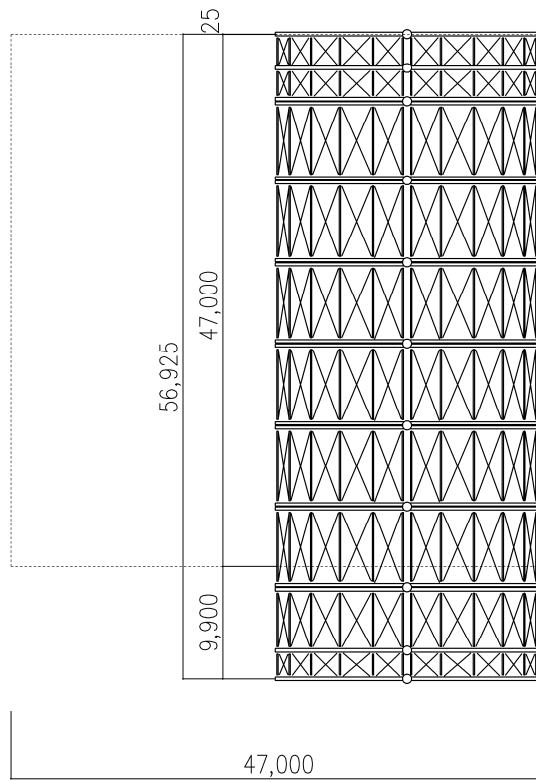


(b) 梁伏図 (O. P. 39, 920 原子炉建屋 5 階)

図 3. 1. 2-2 燃料取り出し用カバーの概要 (単位 : mm)

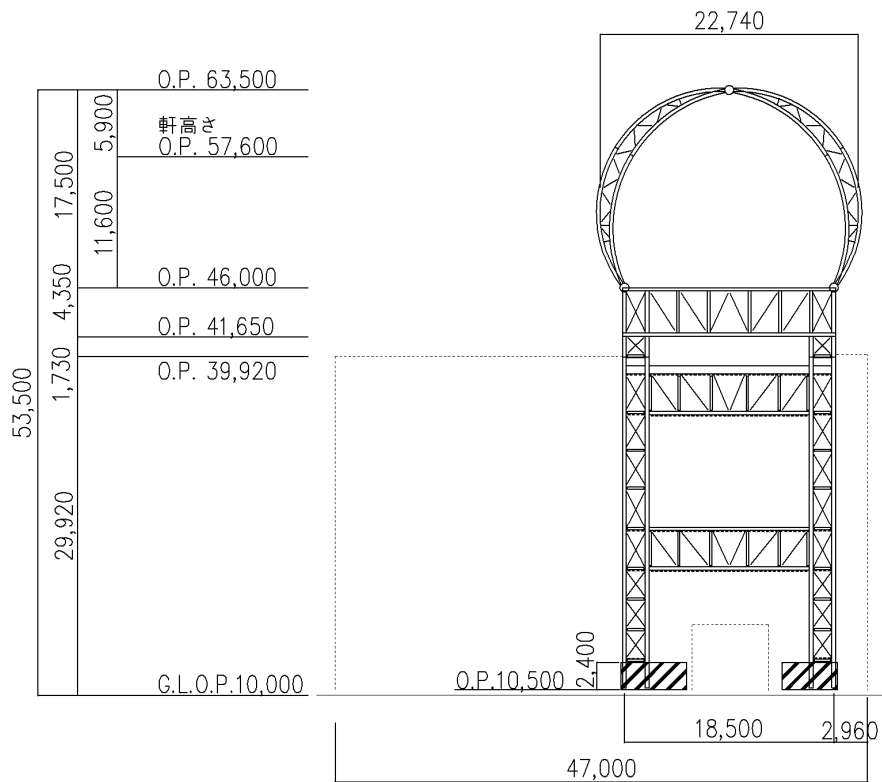


(a) 架構ガーダー一部平面図 (0. P. 46, 000)

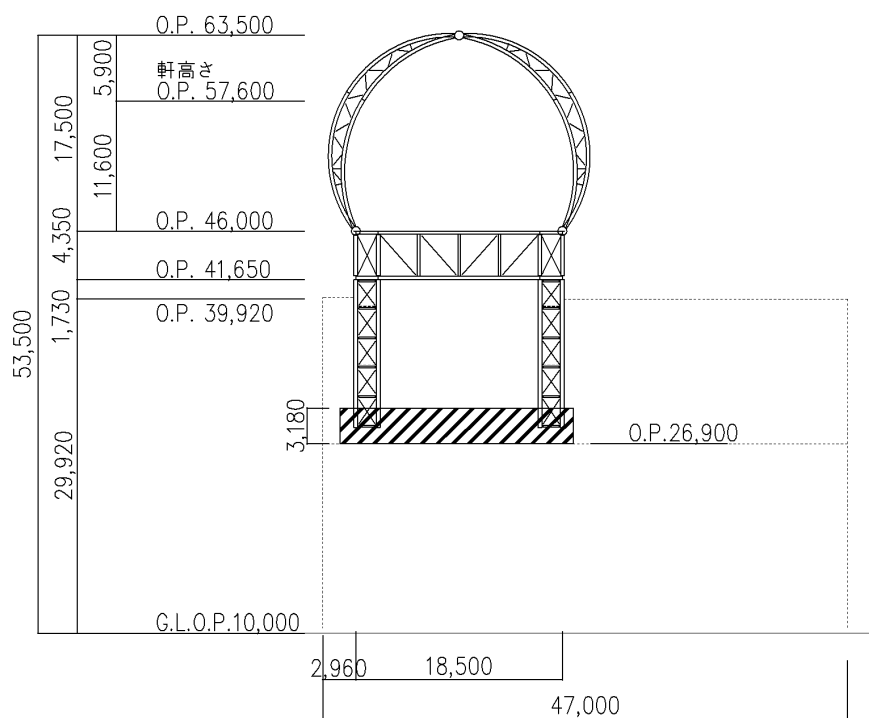


(b) 屋根伏図

図 3. 1. 2-3 燃料取り出し用カバーの概要 (単位 : mm)

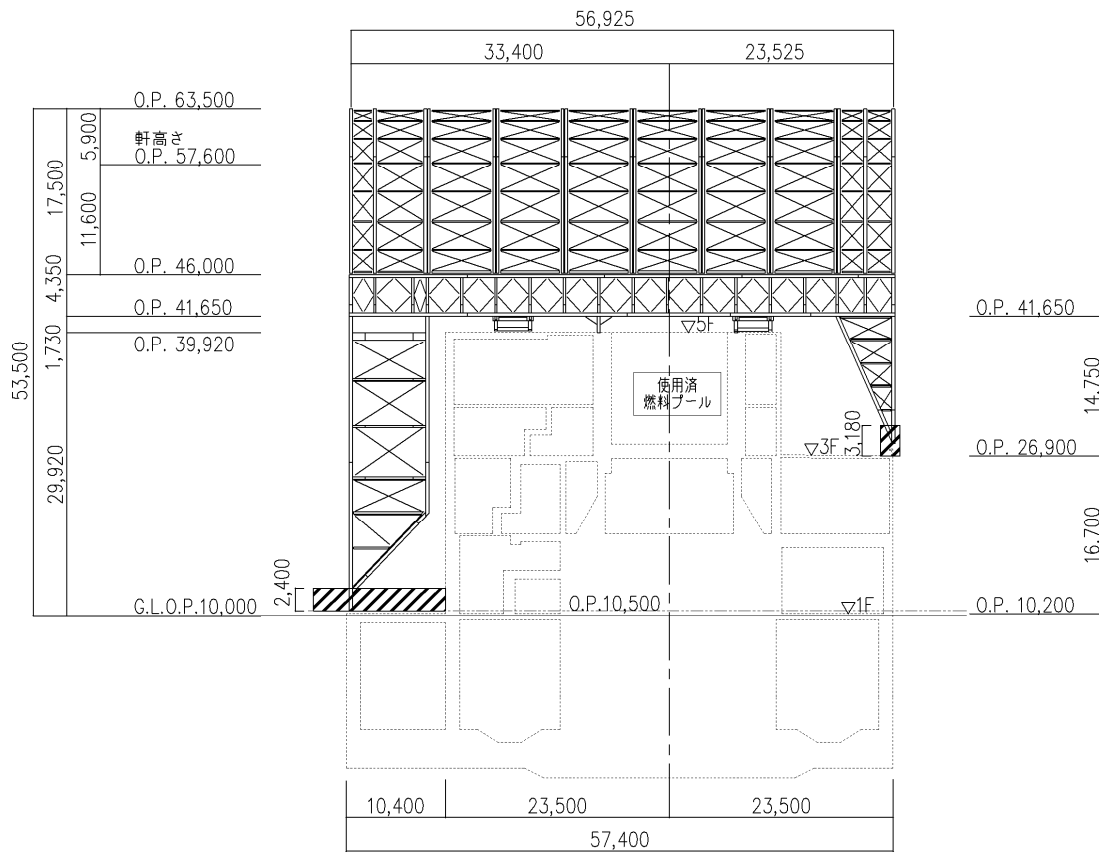


(a) 西軸組図



(b) 東軸組図

図 3.1.2-4 燃料取り出し用カバーの概要 (単位 : mm)



(a) 南軸組図

図 3. 1. 2-5 燃料取り出し用カバーの概要 (単位 : mm)

### 3.1.3 検討フロー

燃料取り出し用カバーの構造強度及び耐震性の検討フローを図 3.1.3-1 に示す。

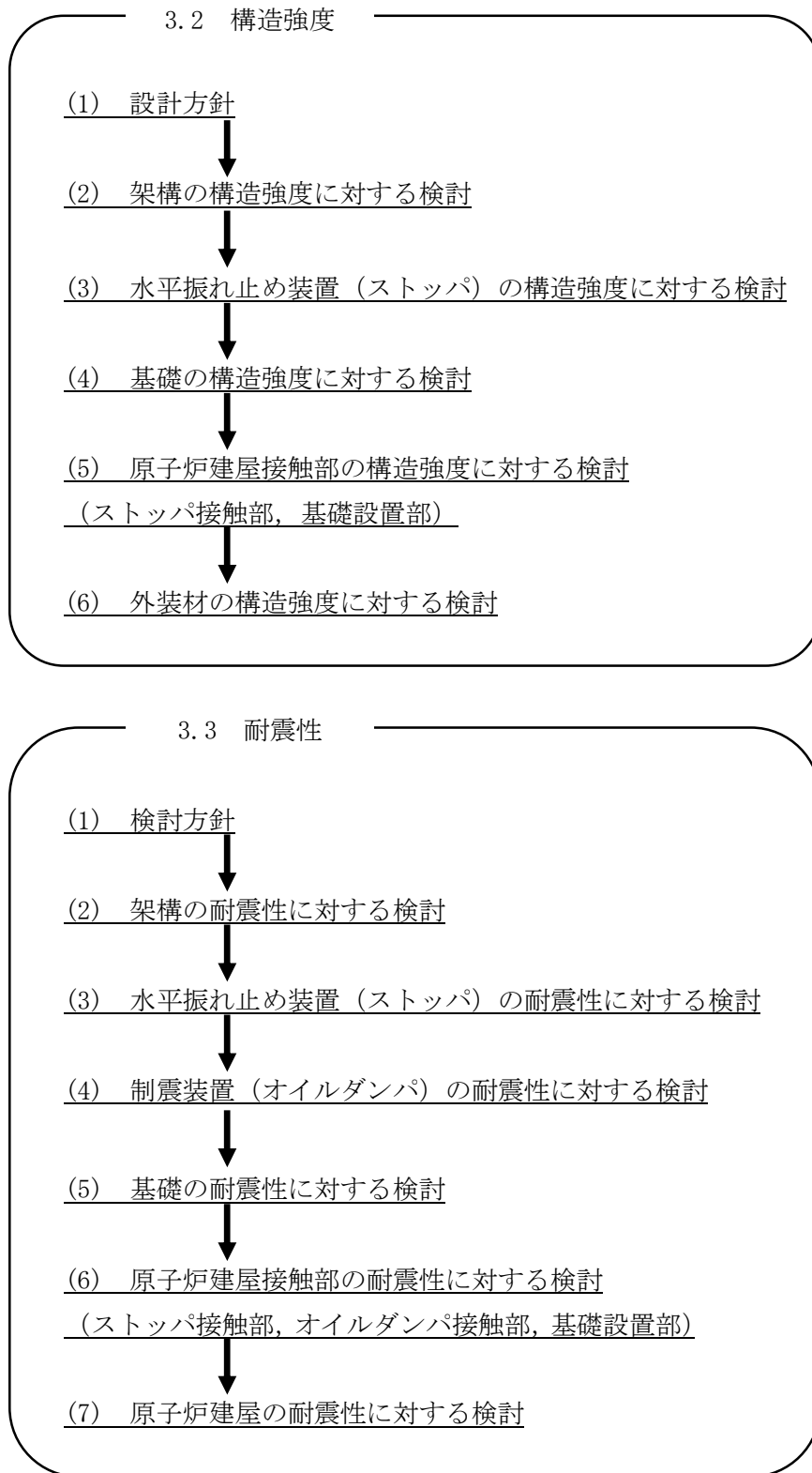


図 3.1.3-1 燃料取り出し用カバーの検討フロー

### 3.2 構造強度

#### (1) 設計方針

構造強度の検討は、門型架構及びドーム屋根、水平振れ止め装置（ストッパ）、基礎及び外装材について許容応力度設計を実施する。

#### 1) 使用材料及び許容応力度

使用材料の物性値及び許容応力度を表 3.2-1 に示す。

表 3.2-1 使用材料の物性値及び許容応力度

| 材料定数 |        |                                 |                |   |
|------|--------|---------------------------------|----------------|---|
| 部位   | 材料     | ヤング係数<br>E (N/mm <sup>2</sup> ) | ポアソン比<br>$\nu$ | 単位体積重量<br>$\gamma$ (kN/m <sup>3</sup> ) |
| 架 構  | 鉄骨     | 2.05×10 <sup>5</sup>            | 0.3            | 77.0                                    |
| 基 礎  | コンクリート | 2.27×10 <sup>4</sup>            | 0.2            | 24.0                                    |

コンクリートの許容応力度 (単位：N/mm<sup>2</sup>)

| 設計基準強度=24 | 長期  |    |      | 短期   |    |       |
|-----------|-----|----|------|------|----|-------|
|           | 圧縮  | 引張 | せん断  | 圧縮   | 引張 | せん断   |
|           | 8.0 | —  | 0.73 | 16.0 | —  | 1.095 |

鉄筋の許容応力度 (単位：N/mm<sup>2</sup>)

| 記号    | 鉄筋径    | 長期     |       | 短期     |       |
|-------|--------|--------|-------|--------|-------|
|       |        | 引張及び圧縮 | せん断補強 | 引張及び圧縮 | せん断補強 |
| SD345 | D29 未満 | 215    | 195   | 345    | 345   |
|       | D29 以上 | 195    |       |        |       |

構造用鋼材の許容応力度 (単位：N/mm<sup>2</sup>)

| 板厚       | 材料                     | 基準強度 F | 許容応力度                     |
|----------|------------------------|--------|---------------------------|
| T ≤ 40mm | SS400, SN400B          | 235    | 「鋼構造設計規準」に従い、左記 F の値より求める |
| T > 40mm | SN400B                 | 215    |                           |
| T ≤ 40mm | SM490A, SN490B, STK490 | 325    |                           |
| —        | STKT590                | 440*   |                           |

\* : 「JIS G 3474-2008」による

## 2) 荷重及び荷重組合せ

設計で考慮する荷重を以下に示す。

### ・鉛直荷重 (VL)

燃料取り出し用カバーに作用する鉛直方向の荷重で、固定荷重、機器荷重、配管荷重及び積載荷重とする。

### ・燃料取扱設備荷重 (CL)

燃料取扱設備による荷重を表 3.2-2 に示す。

表 3.2-2 燃料取扱設備荷重一覧表

|       |        |
|-------|--------|
| 燃料取扱機 | 788 kN |
| クレーン  | 755 kN |
| 吊荷    | 461 kN |

### ・積雪荷重 (SL)

積雪荷重は建築基準法施行令及び福島県建築基準法施行規則細則に準拠し以下の条件とする。

積雪量：30cm, 単位荷重：20N/m<sup>2</sup>/cm

### ・風圧力 (WL)

風圧力は建築基準法施行令第 87 条および建設省告示第 1454 号に基づき、基準風速を 30m/s, 地表面粗度区分Ⅱとして算定する。速度圧の算定結果を表 3.2-3 に示す。

表 3.2-3 速度圧の算定結果

| 建物高さ*<br>H<br>(m) | 平均風速の<br>鉛直分布係数<br>Er | ガスト<br>影響係数<br>Gf | 建物高さ<br>と粗度<br>区分による係数<br>E | 基準風速<br>Vo<br>(m/s) | 速度圧<br>q<br>(N/m <sup>2</sup> ) |
|-------------------|-----------------------|-------------------|-----------------------------|---------------------|---------------------------------|
| 50.55             | 1.27                  | 2.00              | 3.23                        | 30                  | 1750                            |

\*： 建物高さは、軒高さ (47.60m) と最高高さ (53.50m) の平均値とした



・地震荷重 (K)

燃料取り出し用カバーに作用させる地震荷重は、0. P. -2. 06m (原子炉建屋基礎スラブ上端レベル) を基準面とした原子炉建屋の水平地震力の算定結果より設定する。原子炉建屋の水平地震力は下式より算定し、算定結果を表 3. 2-5 及び表 3. 2-6 に示す。

$$Q_i = n \cdot C_i \cdot W_i$$

$$C_i = Z \cdot R_t \cdot A_i \cdot C_0$$

ここで、

$Q_i$  : 水平地震力 (kN)

$n$  : 施設の重要度に応じた係数 ( $n=1.5$ )

建築基準法で定める地震力の 1.5 倍を考慮する。

$C_i$  : 地震層せん断力係数

$W_i$  : 当該部分が支える重量 (kN)

ここに、燃料取り出し用カバーの設計で考慮する原子炉建屋の全体重量は、瓦礫除去の効果と遮へい体及び燃料取り出し用カバーを新規に設置する影響を考慮した。原子炉建屋の全体重量を表 3. 2-4 に示す。

表 3. 2-4 原子炉建屋の全体重量(kN)

|                        |         |
|------------------------|---------|
| 原子炉建屋全体重量*             | 1092200 |
| 瓦礫除去による軽減重量            | -24640  |
| 遮へい体設置による付加重量          | +18000  |
| 燃料取り出し用カバー等の付加重量       | +44750  |
| 燃料取り出し用カバー設計用原子炉建屋全体重量 | 1130310 |

\* : 「福島第一原子力発電所の原子炉建屋の現状の耐震安全性および補強等に関する検討に係る報告書 (その 2)」(東京電力株式会社, 平成 23 年 7 月 13 日) において用いた各階重量の総計

$Z$  : 地震地域係数 ( $Z=1.0$ )

$R_t$  : 振動特性係数 ( $R_t=0.8$ )

$A_i$  : 地震層せん断力係数の高さ方向の分布係数で、原子炉建屋の固有値を用いたモーダル解析法 (二乗和平方根法) により求める。

$C_0$  : 標準せん断力係数 ( $C_0=0.2$ )

$i$  層の水平震度  $k_i$  は、下式によって算定する。

$$P_i = Q_i - Q_{i-1}$$

$$k_i = P_i / w_i$$

ここで、

$P_i$  : 当該階とその直下階の水平地震力の差 (kN)

$w_i$  : 各階重量 (kN)

表 3.2-5 原子炉建屋の水平震度の算定結果 (NS 方向)

| 階  | 標高<br>O. P. (m) | 各階重量<br>wi (kN) | Wi<br>(kN) | Ai    | n・Ci  | Qi<br>(kN) | Pi<br>(kN) | 水平震度<br>ki |
|----|-----------------|-----------------|------------|-------|-------|------------|------------|------------|
| 5  | 39.92           | 87590           | —          | —     | —     | —          | 43010      | 0.492      |
| 4  | 39.92~32.30     | 119490          | 87590      | 2.046 | 0.491 | 43010      | 42720      | 0.358      |
| 3  | 32.30~26.90     | 111340          | 207080     | 1.728 | 0.414 | 85730      | 31770      | 0.286      |
| 2  | 26.90~18.70     | 130160          | 318420     | 1.537 | 0.369 | 117500     | 26050      | 0.201      |
| 1  | 18.70~10.20     | 253710          | 448580     | 1.331 | 0.320 | 143550     | 25000      | 0.099      |
| B1 | 10.20~-2.06     | —               | 702290     | 1.000 | 0.240 | 168550     | —          | —          |

表 3.2-6 原子炉建屋の水平震度の算定結果 (EW 方向)

| 階  | 標高<br>O. P. (m) | 各階重量<br>wi (kN) | Wi<br>(kN) | Ai    | n・Ci  | Qi<br>(kN) | Pi<br>(kN) | 水平震度<br>ki |
|----|-----------------|-----------------|------------|-------|-------|------------|------------|------------|
| 5  | 39.92           | 87590           | —          | —     | —     | —          | 48610      | 0.555      |
| 4  | 39.92~32.30     | 119490          | 87590      | 2.311 | 0.555 | 48610      | 39610      | 0.332      |
| 3  | 32.30~26.90     | 111340          | 207080     | 1.775 | 0.426 | 88220      | 30230      | 0.272      |
| 2  | 26.90~18.70     | 130160          | 318420     | 1.552 | 0.372 | 118450     | 24200      | 0.186      |
| 1  | 18.70~10.20     | 253710          | 448580     | 1.323 | 0.318 | 142650     | 25900      | 0.103      |
| B1 | 10.20~-2.06     | —               | 702290     | 1.000 | 0.240 | 168550     | —          | —          |

架構に作用させる水平震度は、原子炉建屋 1 階、3 階及び 5 階の水平震度を用いるものとし、水平地震力を設定する。ドーム屋根部分の水平震度は、建設省告示第 1389 号に基づく 1.0 に 1.5 を乗じて用いる。表 3.2-7 に燃料取り出し用カバーに作用させる水平地震力の算定結果を示す。

表 3.2-7 水平地震力の算定結果

| 標高<br>O. P. (m) | 各階重量<br>wi (kN) | NS 方向      |                  | EW 方向      |                  |
|-----------------|-----------------|------------|------------------|------------|------------------|
|                 |                 | 水平震度<br>ki | 水平地震力<br>Pi (kN) | 水平震度<br>ki | 水平地震力<br>Pi (kN) |
| 63.50           | 3200            | 1.500      | 4800             | 1.500      | 4800             |
| 46.00           | 11400           | 0.492      | 5609             | 0.555      | 6327             |
| 26.90           | 200             | 0.286      | 57               | 0.272      | 54               |
| 10.20           | 1200            | 0.099      | 119              | 0.103      | 124              |

・荷重組合せ

設計で考慮する燃料取扱機及びクレーンの位置を図 3.2-1 に、荷重組合せを表 3.2-8 に示す。

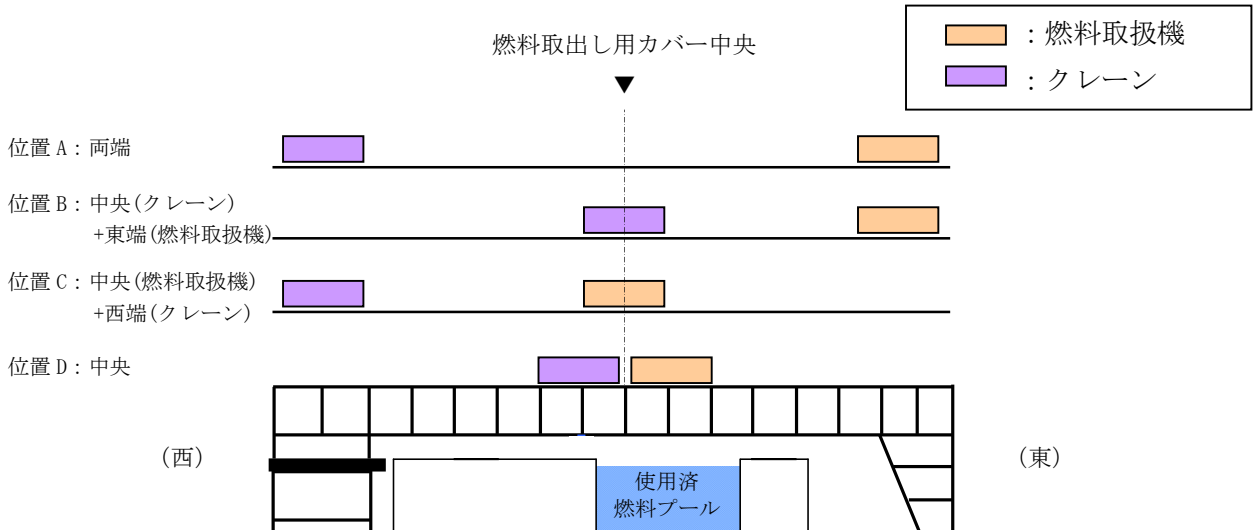


図 3.2-1 燃料取扱設備の位置

表 3.2-8 燃料取り出し用カバーの荷重組合せ

| 想定する状態            | 荷重ケース | 荷重組合せ内容                                   | 許容応力度 |
|-------------------|-------|---|-------|
| 常時                | C     | VL+CL <sup>*1</sup>                       | 長期    |
| 積雪時 <sup>*3</sup> | S     | VL+CL <sup>*1</sup> +SL                   | 短期    |
| 暴風時 <sup>*3</sup> | W     | VL+CL <sup>*1</sup> +WL                   |       |
| 地震時               | E1    | VL+CL <sup>*1</sup> +K(+NS) <sup>*2</sup> |       |
|                   | E2    | VL+CL <sup>*1</sup> +K(-NS) <sup>*2</sup> |       |
|                   | E3    | VL+CL <sup>*1</sup> +K(+EW) <sup>*2</sup> |       |
|                   | E4    | VL+CL <sup>*1</sup> +K(-EW) <sup>*2</sup> |       |

\*1：吊荷荷重は、常時、積雪時及び暴風時は図 3.2-1 に示すクレーンの位置、地震時は使用済燃料プール直上の架構にて考慮する。

\*2：地震荷重は NS 方向及び EW 方向を考慮する。

\*3：短期事象では地震時が支配的であることから、積雪時及び暴風時の検討は省略する。ただし、外装材の検討は暴風時が支配的であることから暴風時に対し検討を行う。

なお，地震時と暴風時の架構の層せん断力について，風荷重の受圧面積が最大になる NS 方向で比較した結果を図 3.2-2 に示す。図 3.2-2 より，地震時の層せん断力は暴風時の層せん断力を包絡しており，支配的な荷重である。

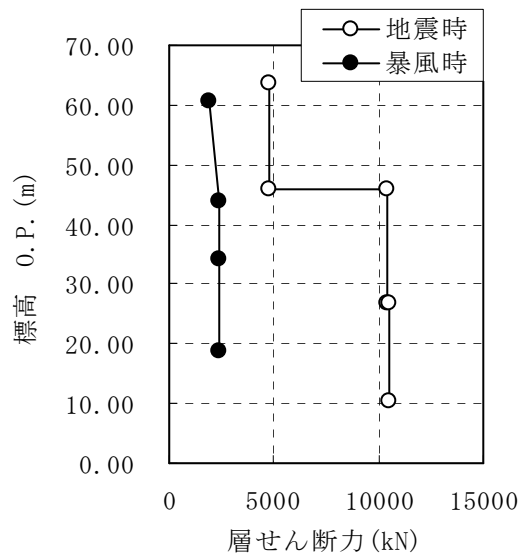


図 3.2-2 地震時と暴風時の層せん断力の比較

## (2) 架構の構造強度に対する検討

### 1) 解析モデル

架構の解析モデルは、門型架構及びドーム屋根を構成する主要な鉄骨部材からなる立体架構モデルとする。図 3.2-3 に架構の立体解析モデルを示す。解析モデルの柱脚部はピン支持、ストップ取り付け部は水平方向のみピン支持とする。

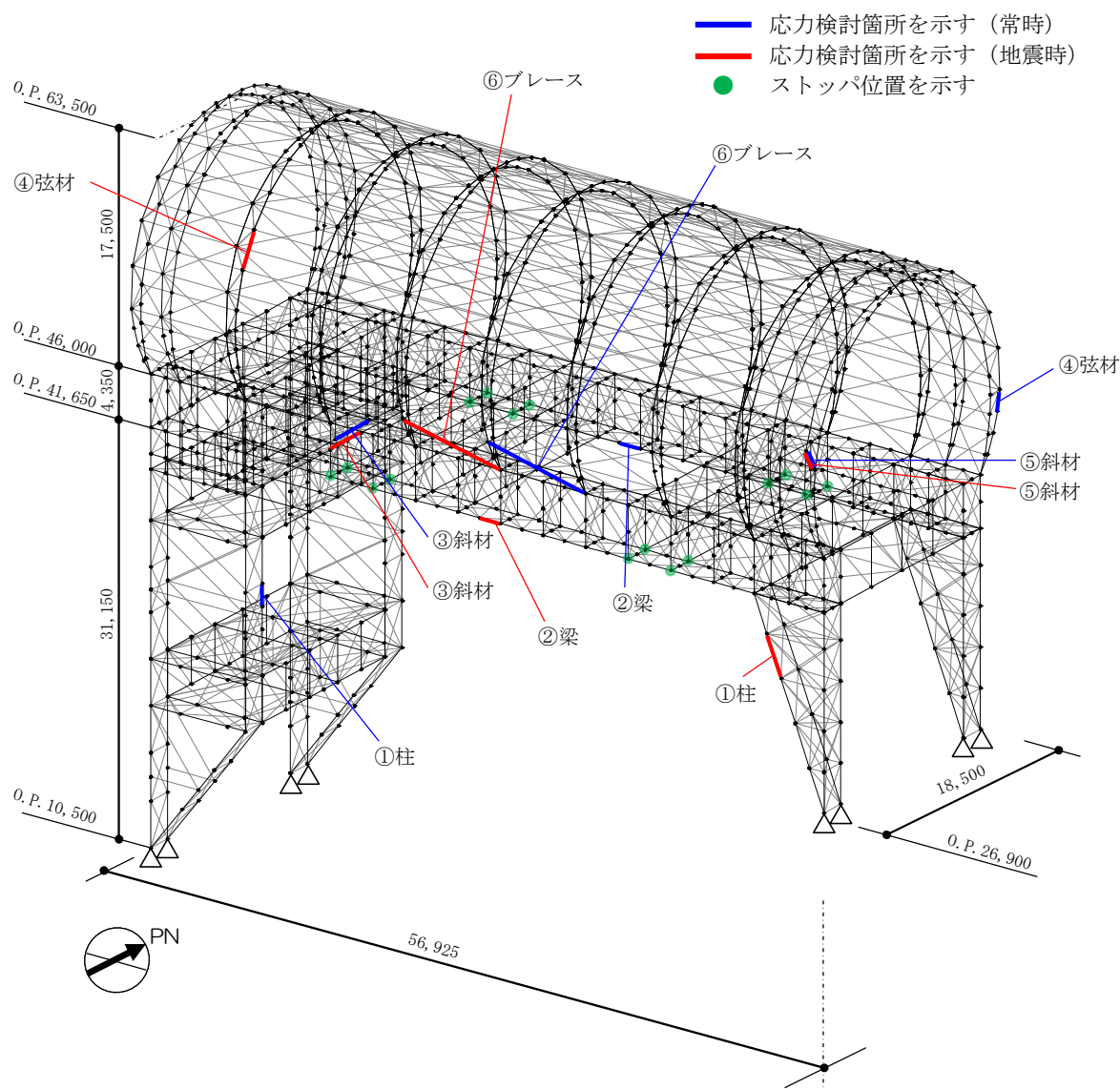


図 3.2-3 解析モデル図 (単位: mm)

## 2) 断面検討

応力度比の検討は「鋼構造設計規準」に従い、軸力に対して下式にて検討を行う。

$$\cdot \text{軸圧縮の場合} \quad \frac{\sigma_c}{f_c} \leq 1$$

$$\cdot \text{軸引張の場合} \quad \frac{\sigma_t}{f_t} \leq 1$$

ここで、 $\sigma_c, \sigma_t$  : 圧縮応力度 (N/A) 及び引張応力度 (T/A) (N/mm<sup>2</sup>)  
 N : 圧縮力 (N), T : 引張力 (N), A : 断面積 (mm<sup>2</sup>)  
 $f_c$  : 許容圧縮応力度 (N/mm<sup>2</sup>)  
 $f_t$  : 許容引張応力度 (N/mm<sup>2</sup>)

表 3.2-9 及び表 3.2-10 に応力度比が最大となる部位の断面検討結果を示す。  
 断面検討の結果、全ての部材に対する応力度比が 1 以下になることを確認した。

表 3.2-9 断面検討結果 (常時)

| 部 位*1     |   | 部材形状<br>(mm)<br><使用材料>                 | 荷重ケース<br>(位置)*2 | 作用<br>応力度<br>(N/mm <sup>2</sup> ) | 許容<br>応力度<br>(N/mm <sup>2</sup> ) | 応力度比 | 判定    |
|-----------|---|--|-----------------|-----------------------------------|-----------------------------------|------|-------|
| 門型<br>架構  | ① | 柱<br>H-350×350<br>×12×19<br><SM490>    | C<br>(D)        | 圧縮<br>77.4                        | 164                               | 0.48 | 0. K. |
|           | ② | 梁<br>H-350×350<br>×12×19<br><SM490>    | C<br>(D)        | 引張<br>91.4                        | 216                               | 0.43 | 0. K. |
|           | ③ | 斜材<br>2[s-150×75<br>×6.5×10<br><SM490> | C<br>(D)        | 圧縮<br>103.0                       | 120                               | 0.86 | 0. K. |
| ドーム<br>屋根 | ④ | 弦材<br>φ-318.5×6.9<br><STKT590>         | C<br>(B)        | 引張<br>33.5                        | 293                               | 0.12 | 0. K. |
|           | ⑤ | 斜材<br>φ-139.8×4.5<br><STK490>          | C<br>(B)        | 圧縮<br>43.4                        | 203                               | 0.22 | 0. K. |
|           | ⑥ | ブレース<br>φ-114.3×4.5<br><STK490>        | C<br>(D)        | 圧縮<br>19.4                        | 92                                | 0.22 | 0. K. |

\*1 : ①～⑥の符号は図 3.2-3 の応力検討箇所を示す

\*2 : 図 3.2-1 に示す燃料取扱設備の位置を示す

表 3.2-10 断面検討結果（地震時）

| 部 位* <sup>1</sup> |   | 部材形状<br>(mm)<br>〈使用材料〉 | 荷重ケース<br>(位置)* <sup>2</sup>      | 作用<br>応力度<br>(N/mm <sup>2</sup> ) |    | 許容<br>応力度<br>(N/mm <sup>2</sup> ) | 応力度比 | 判定   |       |
|-------------------|---|------------------------|----------------------------------|-----------------------------------|----|-----------------------------------|------|------|-------|
| 門型<br>架構          | ① | 柱                      | H-350×350<br>×12×19<br>〈SM490〉   | E1<br>(D)                         | 圧縮 | 138.9                             | 289  | 0.49 | O. K. |
|                   | ② | 梁                      | H-350×350<br>×12×19<br>〈SM490〉   | E1<br>(D)                         | 引張 | 108.3                             | 324  | 0.34 | O. K. |
|                   | ③ | 斜材                     | 2[s-150×75<br>×6.5×10<br>〈SM490〉 | E1<br>(D)                         | 圧縮 | 164.5                             | 180  | 0.92 | O. K. |
| ドーム<br>屋根         | ④ | 弦材                     | φ-267.4×6.6<br>〈STKT590〉         | E1<br>(D)                         | 圧縮 | 155.2                             | 396  | 0.40 | O. K. |
|                   | ⑤ | 斜材                     | φ-139.8×4.5<br>〈STK490〉          | E3<br>(A)                         | 圧縮 | 165.8                             | 304  | 0.55 | O. K. |
|                   | ⑥ | ブレース                   | φ-114.3×4.5<br>〈STK490〉          | E3<br>(D)                         | 圧縮 | 80.6                              | 138  | 0.59 | O. K. |

\*1：①～⑥の符号は図 3.2-3 の応力検討箇所を示す

\*2：図 3.2-1 に示す燃料取扱設備の位置を示す

### (3) 水平振れ止め装置（ストップ）の構造強度に対する検討

原子炉建屋の5階床上面2か所に鋼製のストップを設置し、架構に発生する水平力を、ストップを介して原子炉建屋に支持させる。原子炉建屋へは、5階床の床開口部に突出させた強固なシアキにより水平力を伝達させる。図3.2-4にストップ概要図を示す。

ストップについては、架構と原子炉建屋を結んだバネ材に発生する水平力の最大値が、床開口に差し込むシアキの短期許容せん断力以下であることを確認する。

なお、原子炉建屋と水平振れ止め装置（ストップ）の接触部については、不具合が見つかった場合には適切に補修等を実施する。

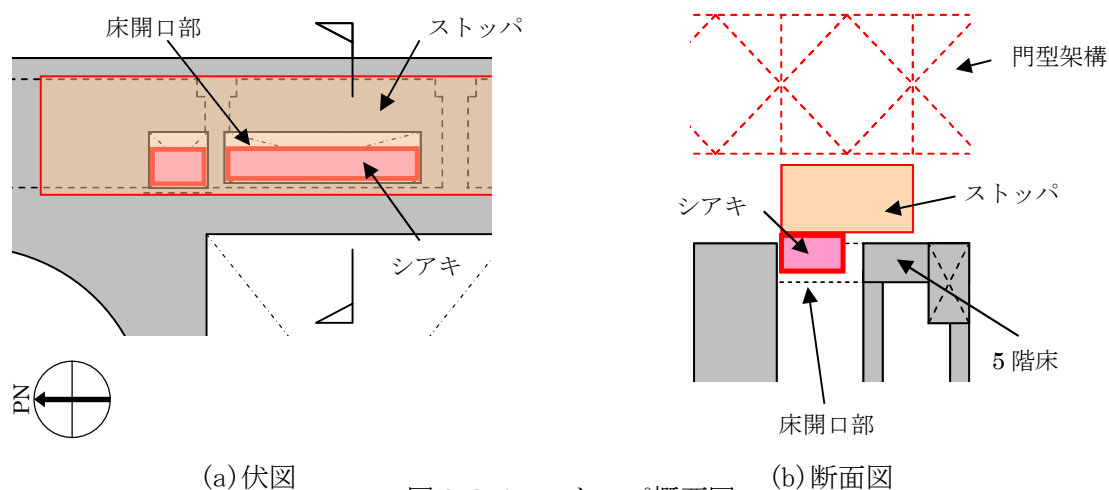


図 3.2-4 ストップ概要図

シアキの許容せん断力は下式より算定し、表3.2-11に応力比が最大となる部位の断面検討結果を示す。

断面検討の結果、全てのストップに対する応力比が1以下になることを確認した。

$$Q_a = A \cdot f_s$$

ここに、

$Q_a$  : 短期許容せん断力 (kN)

$A$  : シアキの断面積 (mm<sup>2</sup>)

$f_s$  : 短期許容せん断応力度 (N/mm<sup>2</sup>) (SM490A)

表 3.2-11 ストップ（シアキ）の断面検討結果

| 部位     | 荷重ケース<br>(位置)* | ストップ反力<br>Q (kN) | 短期許容せん断力<br>Qa (kN) | 応力比<br>Q/Qa | 判定    |
|--------|----------------|------------------|---------------------|-------------|-------|
| 東側ストップ | E4<br>(A)      | 2560             | 8620                | 0.30        | O. K. |

\* : 図 3.2-1 に示す燃料取扱設備の位置を示す

### (4) 基礎の構造強度に対する検討

架構の基礎は独立フーチング基礎とし、西側柱脚部は原子炉建屋の地下1階壁の直上に設置し、



東側柱脚部は原子炉建屋2階壁の直上に設置して基礎反力が原子炉建屋を介して地盤に伝わるようにする。ここでは、基礎の浮き上がりに対しては基礎反力（圧縮力を正）の最小値が0以上であることを確認し、基礎のすべりに対しては基礎反力の水平力が許容摩擦力以下であることを確認する。

なお、基礎底面の摩擦係数は「現場打ち同等型プレキャスト鉄筋コンクリート構造設計指針(案)・同解説(2002)」に準じて、特に先打ちコンクリート表面に処理をしない場合の後打ちコンクリートとの境界面で設定する0.6(普通コンクリートの場合)とする。

表3.2-12に基礎反力が最小となる部位の基礎浮き上がりの検討結果を示す。

基礎浮き上がりの検討の結果、全ての基礎の最小圧縮力が0以上であることを確認した。

表3.2-12 基礎浮き上がりの検討結果

| 部位           | 荷重ケース<br>(位置) * | 最小圧縮力<br>N (kN) | 判定    |
|--------------|-----------------|-----------------|-------|
| 東側柱脚<br>(北側) | E1<br>(C)       | 1990            | O. K. |

\* : 図3.2-1に示す燃料取扱設備の位置を示す

許容摩擦力は下式より算定し、表3.2-13に応力比が最大となる部位の検討結果を示す。

基礎すべりの検討の結果、全ての基礎に対する応力比が1以下になることを確認した。

$$V_a = \mu(N + R)$$

ここに、

V<sub>a</sub> : 許容摩擦力 (kN)

μ : 摩擦係数 (μ=0.6)

N : 基礎重量 (kN)

R : 基礎上端の架構の鉛直反力 (kN)

表3.2-13 基礎すべりの検討結果

| 部位   | 荷重ケース<br>(位置) * | 水平力<br>Q (kN) | 許容摩擦力<br>V <sub>a</sub> (kN) | 応力比<br>Q/V <sub>a</sub> | 判定    |
|------|-----------------|---------------|------------------------------|-------------------------|-------|
| 東側柱脚 | C (D)           | 2410          | 5270                         | 0.46                    | O. K. |
|      | E4 (D)          | 2430          | 4580                         | 0.54                    | O. K. |

\* : 図3.2-1に示す燃料取扱設備の位置を示す

#### (5) 原子炉建屋接触部の構造強度に対する検討

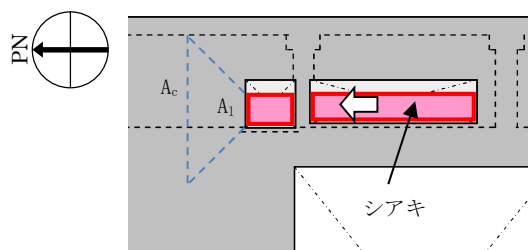
### 1) ストップ接触部

ストップ接触部の構造強度の検討では、ストップ水平反力が、既存躯体の短期許容支圧力以下になることを確認する。なお、許容支圧応力度は、原子炉建屋の設計基準強度(22.1N/mm<sup>2</sup>)を用いて「プレレストレストコンクリート設計施工規準・同解説」に基づき算出する。

短期許容支圧力 Na は下式より算定し、表 3.2-14 に応力比が最大となる部位の検討結果を示す。検討の結果、全てのストップ接触部に対する応力比が 1 以下になることを確認した。

$$N_a = f_n \cdot A_l$$

$$f_n = f_{na} \sqrt{\frac{A_c}{A_l}} \quad \text{ただし,} \quad \sqrt{\frac{A_c}{A_l}} \leq 2.0$$



ここに、

$f_n$  : 短期許容支圧応力度 (N/mm<sup>2</sup>)

$f_{na}$  :  $F_{ci}/1.25$  または  $0.6F_c$  のうち小さいほうの値 (N/mm<sup>2</sup>)

$F_{ci}$  : コンクリート強度、特に定めのない場合には  $20\text{N/mm}^2$  ( $F_{ci}=22.1\text{N/mm}^2$ )

$A_c$  : 支圧端から離れて応力が一様分布となったところのコンクリートの支承面積 (mm<sup>2</sup>)

$A_l$  : 局部圧縮を受ける支圧面積 (mm<sup>2</sup>)

表 3.2-14 ストップ接触部の検討結果

| 部位     | 荷重ケース<br>(位置) * | ストップ水平反力<br>N (kN) | 短期許容支圧力<br>Na (kN) | 応力比<br>N/Na | 判定    |
|--------|-----------------|--------------------|--------------------|-------------|-------|
| 東側ストップ | E2<br>(B)       | 3980               | 10300              | 0.39        | O. K. |

\* : 図 3.2-1 に示す燃料取扱設備の位置を示す

### 2) 基礎設置部

架構の西側脚部は原子炉建屋 1 階レベル (O. P. 10.2m) で支持し、東側脚部は原子炉建屋 3 階レベル (O. P. 26.9m) で支持している。基礎設置部については、柱脚の鉛直反力により生じる直下壁の軸力が壁の許容軸力以下であることを確認する。

許容軸力 Na は下式より算定し、表 3.2-15 に応力比が最大となる部位の検討結果を示す。

検討の結果、全ての基礎設置部に対する応力比が 1 以下になることを確認した。

$${}_L N_a = {}_L f_c \cdot A_1 \quad , \quad {}_S N_a = {}_S f_c \cdot A_1$$

ここに、

${}_L f_c$  : 長期許容圧縮応力度 (N/mm<sup>2</sup>) ( ${}_L f_c = 22.1 \times 1/3 = 7.4$ )

${}_S f_c$  : 短期許容圧縮応力度 (N/mm<sup>2</sup>) ( ${}_S f_c = 22.1 \times 2/3 = 14.7$ )

$A_1$  : 柱脚部支配面積 (mm<sup>2</sup>)

表 3. 2-15 壁の圧縮力の検討結果

| 部位           | 荷重ケース<br>(位置) * | 軸力<br>N (kN) | 許容軸力<br>Na (kN) | 応力比<br>N/Na | 判定    |
|--------------|-----------------|--------------|-----------------|-------------|-------|
| 東側柱脚<br>(南側) | C (B)           | 4280         | 12900           | 0. 34       | O. K. |
|              | E1 (B)          | 6540         | 25900           | 0. 26       | O. K. |

\* : 図 3. 2-1 に示す燃料取扱設備の位置を示す

(6) 外装材の構造強度に対する検討

1) 検討箇所

架構の屋根面及び側面を覆う外装材は、折板を用いる。強度検討は、壁材、屋根材それぞれに風圧力により生じる応力度が短期許容応力度以下であることを確認する。なお、短期事象においては、暴風時の影響が支配的であることから、積雪時及び地震時の検討は省略する。検討箇所を図 3.2-5 に示す。

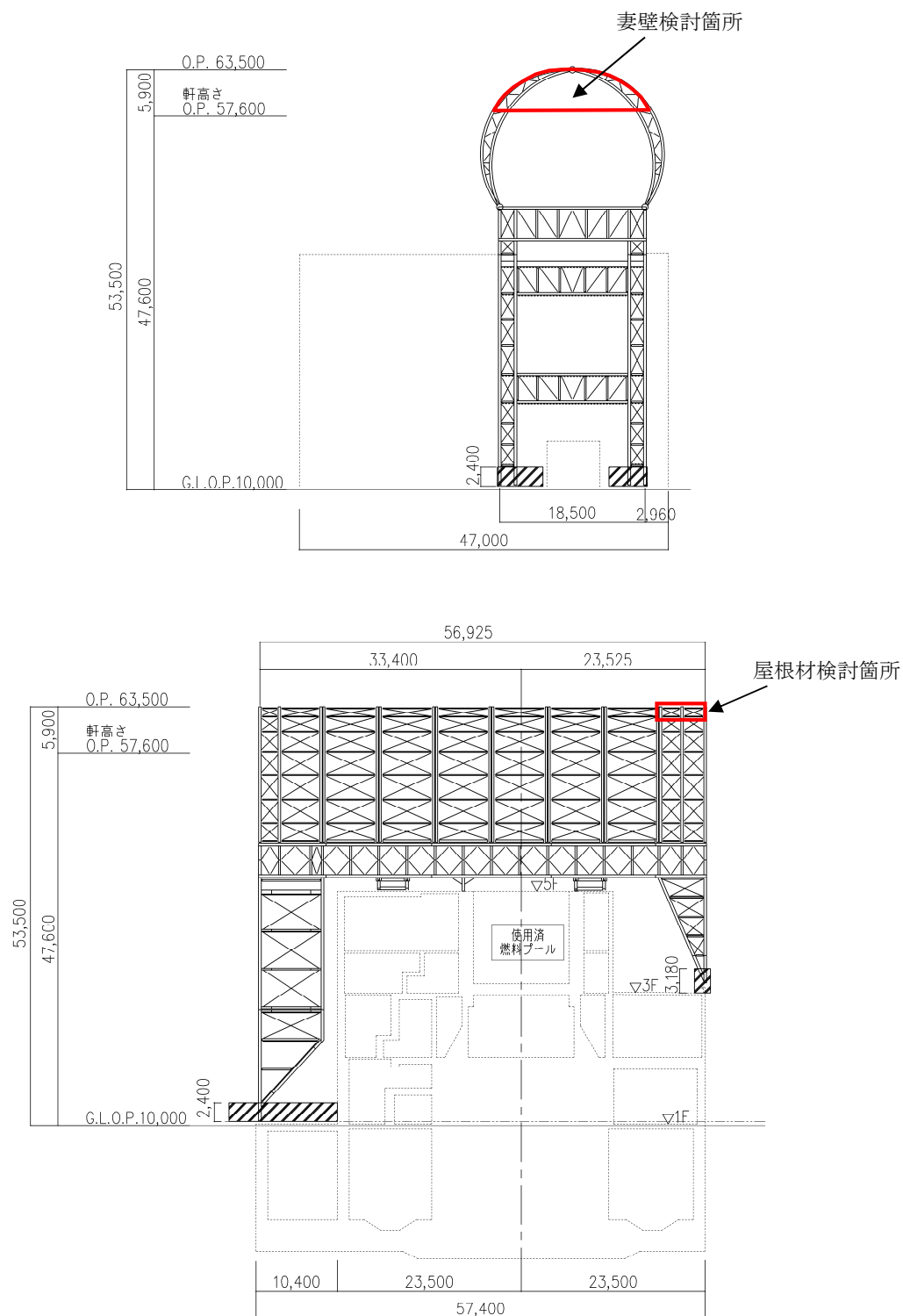


図 3.2-5 外装材検討箇所 (単位 : mm)

2) 設計用荷重の算定

設計用風圧力は、建築基準法施行令第 82 条の 4 および建設省告示第 1458 号に基づき、基準風速 30m/s、地表面粗度区分Ⅱとして算定する。速度圧の算定結果を表 3.2-16 に、ピーク風力係数を表 3.2-17 に、風力係数の算定箇所を図 3.2-6 に示す。

表 3.2-16 速度圧の算定結果

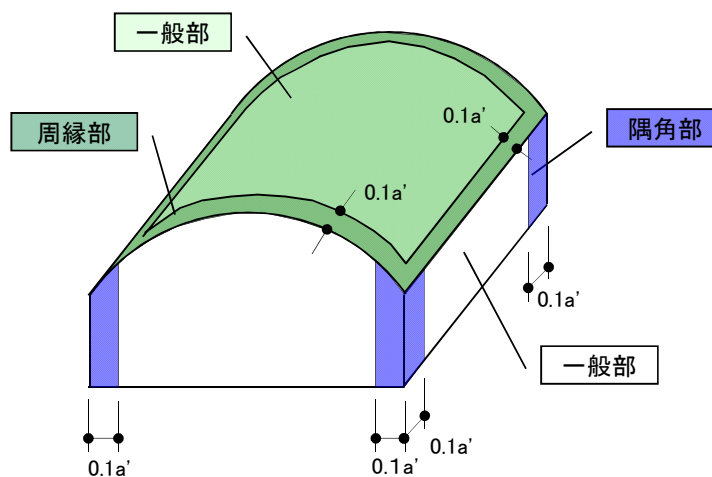
| 建物高さ* | 平均風速の高さ方向の分布を表す係数 | 基準風速        | 平均速度圧                 |
|-------|-------------------|-------------|-----------------------|
| H (m) | $E_r$             | $V_0$ (m/s) | q (N/m <sup>2</sup> ) |
| 50.55 | 1.27              | 30          | 871                   |

\*: 建物高さは、軒高さ (47.60m) と最高高さ (53.50m) の平均値とした

表 3.2-17 ピーク風力係数

| 建物高さ*<br>H (m) | 屋根面  |      | 妻壁面   |      |
|----------------|------|------|-------|------|
|                | 一般部  | 周縁部  | 一般部   | 隅角部  |
| 50.55          | -2.5 | -3.2 | -2.02 | -2.5 |

\*: 建物高さは、軒高さ (47.60m) と最高高さ (53.50m) の平均値とした



$a'$  は平面の短辺の長さ  $H$  の 2 倍の数値のうちいずれか小さな数値 (30 を超えるときは、30 とする) (単位 : m)

図 3.2-6 風力係数の算定箇所

### 3) 外装材の強度検討

検討は、応力が厳しくなる部位について行う。ここでは、折板の自重は考慮しないものとする。折板の間隔はドーム屋根が 3.4m で連続支持、妻壁が 4.0m で単純支持されているものと仮定する。

屋根材及び壁材の材料諸元を表 3.2-18 に示す。また、検討結果を表 3.2-19 に示す。

断面検討の結果、全ての外装材に対する応力度比が 1 以下になることを確認した。

表 3.2-18 屋根材及び壁材の材料諸元

| 板厚        | 自重                       | 正曲げ方向                                  |  | 負曲げ方向                                  |  |
|-----------|--------------------------|--|--|--|--|
|           |                          | 断面 2 次<br>モーメント                        | 断面係数                                   | 断面 2 次<br>モーメント                        | 断面係数                                   |
| t<br>(mm) | G<br>(N/m <sup>2</sup> ) | I <sub>x</sub><br>(cm <sup>4</sup> /m) | Z <sub>x</sub><br>(cm <sup>3</sup> /m) | I <sub>x</sub><br>(cm <sup>4</sup> /m) | Z <sub>x</sub><br>(cm <sup>3</sup> /m) |
| 0.8       | 118                      | 360                                    | 43.6 (13.1*)                           | 347                                    | 40.6 (12.2*)                           |

\* : 括弧内の数値は折曲加工部を示す

表 3.2-19 応力度に対する検討結果

| 部位    | 作用応力度<br>(N/mm <sup>2</sup> ) | 許容応力度<br>(N/mm <sup>2</sup> ) | 応力度比 | 判定    |
|-------|-------------------------------|-------------------------------|------|-------|
| ドーム屋根 | 189                           | 205*                          | 0.93 | O. K. |
| 妻壁    | 109                           | 205*                          | 0.54 | O. K. |

\* : 「JIS G 3321-2010」による

#### ・ 応力度に対する検討

##### ①ドーム屋根

$$w = 871 \times (-3.20) = -2790 \text{ (N/m}^2\text{)}$$

$$M = (9/128) \times w \times L^2 = (9/128) \times (-2790) \times 3.4^2 \times 10^{-3} = -2.3 \text{ (kNm/m)}$$

$$\sigma_b = M/Z = 2.3 \times 10^6 / (12.2 \times 10^3) = 189 \text{ (N/mm}^2\text{)}$$

$$\sigma_b / f_b = 189 / 205 = 0.93 \leq 1.0 \quad \text{OK}$$

##### ②妻壁

$$w = 871 \times (-2.50) = -2180 \text{ (N/m}^2\text{)}$$

$$M = (1/8) \times w \times L^2 = (1/8) \times (-2180) \times 4.0^2 \times 10^{-3} = -4.4 \text{ (kNm/m)}$$

$$\sigma_b = M/Z = 4.4 \times 10^6 / (40.6 \times 10^3) = 109 \text{ (N/mm}^2\text{)}$$

$$\sigma_b / f_b = 109 / 205 = 0.54 \leq 1.0 \quad \text{OK}$$

### 3.3 耐震性

#### (1) 検討方針

耐震性の検討は、架構、水平振れ止め装置（ストッパ）、制震装置（オイルダンパ）、基礎、原子炉建屋接触部及び原子炉建屋の健全性について行い、基準地震動  $S_s$  に対して、これらの応答性状を適切に表現できる地震応答解析を用いて評価する。なお、地震応答解析は水平方向及び鉛直方向を同時に入力する。

#### (2) 架構の耐震性に対する検討

##### 1) 解析に用いる入力地震動

検討に用いる地震動は、「福島第一原子力発電所『発電用原子炉施設に関する耐震設計審査指針』の改訂に伴う耐震安全性評価結果 中間報告書」（東京電力株式会社，平成 20 年 3 月 31 日）にて作成した解放基盤表面で定義される基準地震動  $S_s$  とする。

地震応答解析に用いる入力地震動の概念図を図 3.3-1 に示す。モデルに入力する地震動は一次元波動論に基づき、解放基盤表面で定義される基準地震動  $S_s$  に対する地盤の応答として評価する。解放基盤表面位置（O.P. -196.0m）における基準地震動  $S_s-1$ 、 $S_s-2$  及び  $S_s-3$  の加速度時刻歴波形を図 3.3-2(1)及び図 3.3-2(2)に示す。

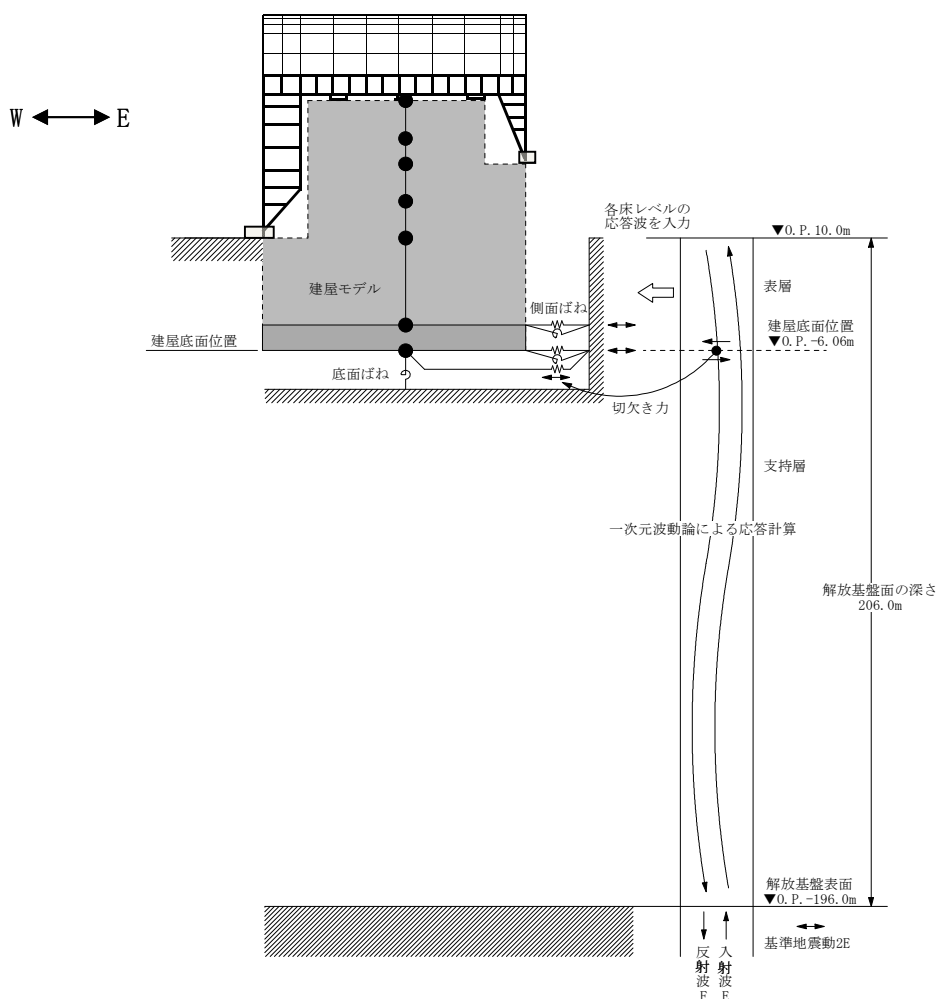
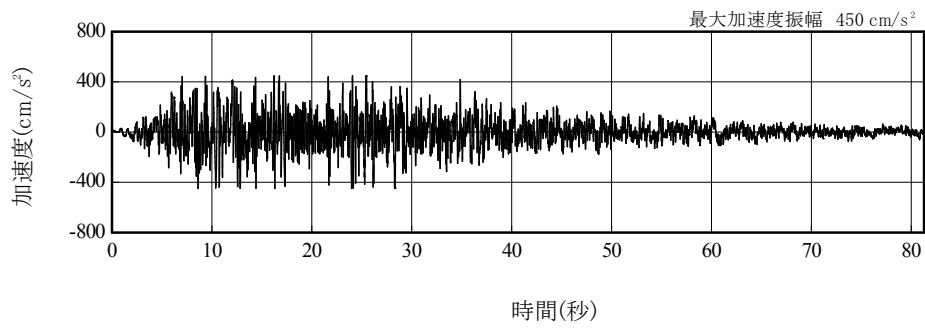
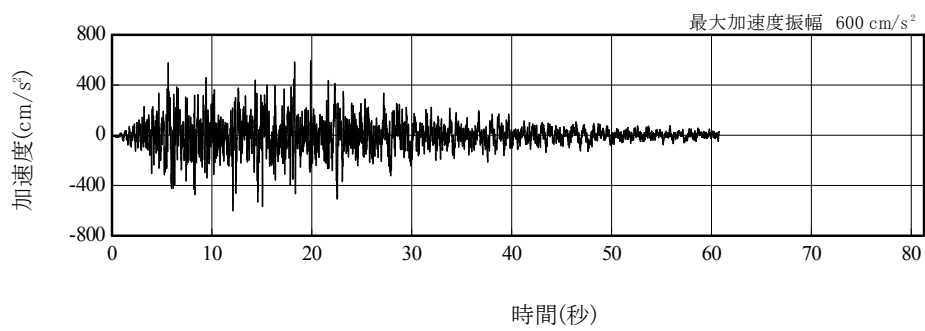


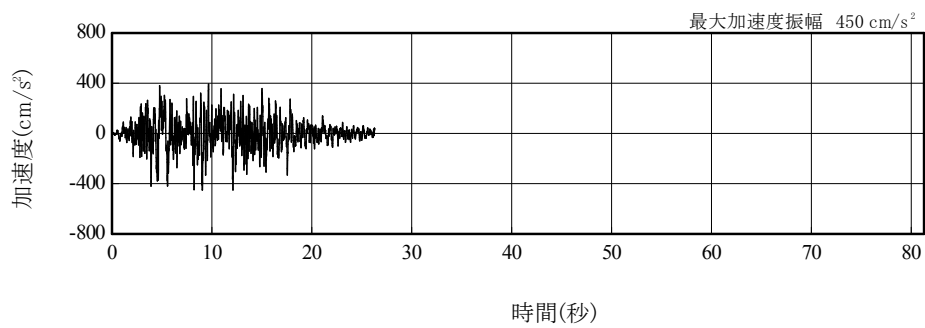
図 3.3-1 地震応答解析に用いる入力地震動の概念図



(Ss-1H)



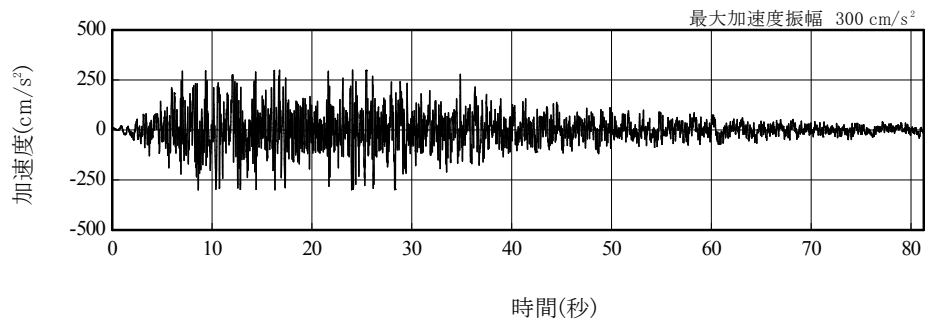
(Ss-2H)



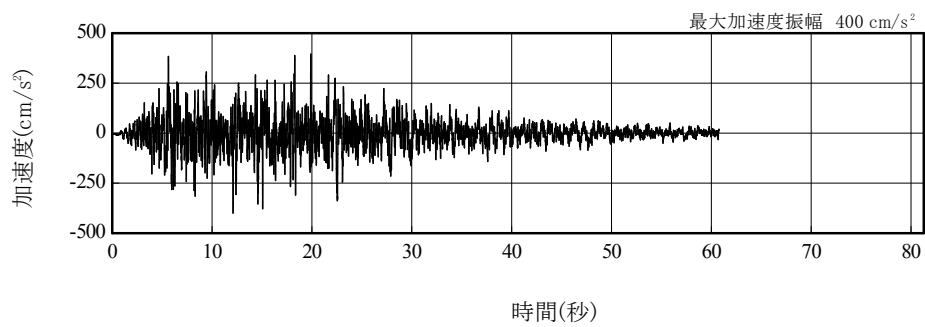
(Ss-3H)

図 3.3-2(1) 解放基盤表面位置における地震動の加速度時刻歴波形(水平方向)

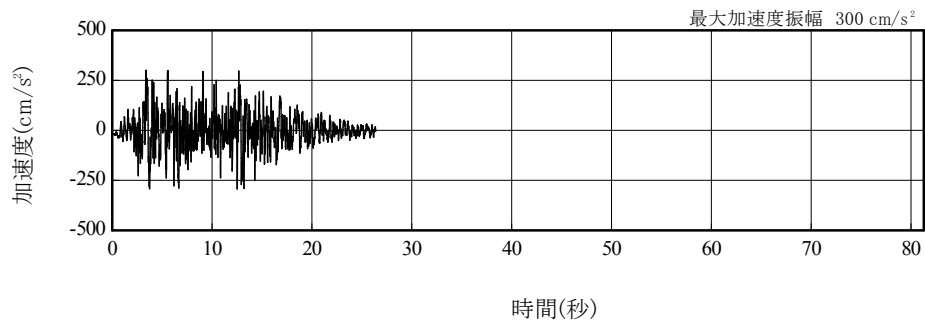




(Ss-1V)



(Ss-2V)



(Ss-3V)

図 3.3-2(2) 解放基盤表面における地震動の加速度時刻歴波形  
(鉛直方向)

## 2) 地震応答解析モデル

地震応答解析モデルは、門型架構及びドーム屋根を構成する主要な鉄骨部材からなる立体架構を原子炉建屋の質点系モデルに接続した図 3. 3-3 に示すモデルとし、地盤を等価なばねで評価した建屋－地盤連成系モデルとする。ストップ取り付け部は原子炉建屋 5 階質点 (O.P. 39. 92 m) と水平方向同一変位条件とし、鉛直方向の制震装置 (オイルダンパ) は原子炉建屋の 5 階床上面 4 箇所に門型架構と 5 階床の鉛直方向相対変位が減少する場合に減衰力を発揮するばねに置換して立体架構モデルに組み込んでいる。

地震応答解析に用いる物性値を表 3. 3-1 に示す。門型架構及びドーム屋根の部材接合部の質点は仕上げ材等を考慮した重量とし、原子炉建屋の質点は瓦礫撤去の重量等を反映した表 3. 3-2 に示す重量とする。門型架構の柱・梁及びドーム屋根の弦材は弾性部材とし、その他ブレース等は「鉄骨 X 型ブレース架構の復元力特性に関する研究」(日本建築学会構造工学論文集 37B 号 1991 年 3 月) に示されている修正若林モデルによる。また、原子炉建屋は、曲げとせん断に「JEAG 4601-1991」に示されている非線形特性を考慮する。

地盤定数は、「福島第一原子力発電所『発電用原子炉施設に関する耐震設計審査指針』の改訂に伴う耐震安全性評価結果 中間報告書」(東京電力株式会社, 平成 20 年 3 月 31 日) と同様とし、その結果を表 3. 3-3 に示す。原子炉建屋の地盤ばねは、「JEAG 4601-1991」に示されている手法を参考にして、底面地盤を成層補正し振動アドミタンス理論によりスウェイ及びロッキングばねを、側面地盤を Novak の方法により建屋側面ばねを評価した。

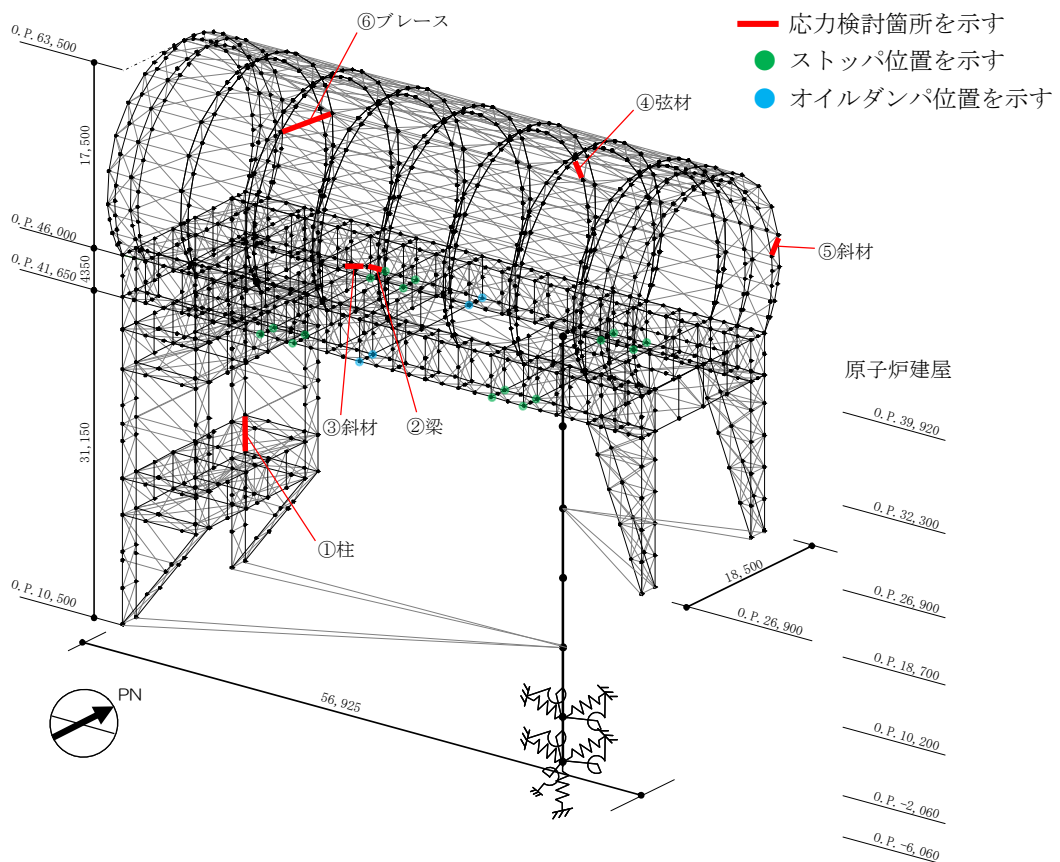


図 3. 3-3 地震応答解析モデル (単位 : mm)

表 3.3-1 地震応答解析に用いる物性値

| 部位 | 材料 | ヤング係数<br>E (N/mm <sup>2</sup> ) | ポアソン比<br>$\nu$ | 単位体積重量<br>$\gamma$ (kN/m <sup>3</sup> ) | 減衰定数<br>h (%) | 備考                               |
|----|----|---------------------------------|----------------|---|---------------|----------------------------------|
| 架構 | 鉄骨 | $2.05 \times 10^5$              | 0.3            | 77.0                                    | 2             | SS400, SM490A<br>STK490, STKT590 |

表 3.3-2 地震応答解析モデルのうち原子炉建屋の地震応答解析モデルの諸元

(a) 水平 (NS) 方向

| 標高<br>O.P. (m) | 質点重量*<br>W (kN) | 回転慣性重量<br>$I_G$ ( $\times 10^5$ kN $\cdot$ m <sup>2</sup> ) | せん断断面積<br>$A_s$ (m <sup>2</sup> )   | 断面二次モーメント<br>I (m <sup>4</sup> ) |
|----------------|-----------------|---|---|----------------------------------|
| 39.92          | 72990           | 76.95   |   |                                  |
|                |                 |   | 145.3   | 9598                             |
| 32.3           | 119490          | 238.33  |   |                                  |
|                |                 |   | 146.1   | 29271                            |
| 26.9           | 111140          | 204.58  |   |                                  |
|                |                 |   | 237.3   | 56230                            |
| 18.7           | 130160          | 239.58  |   |                                  |
|                |                 |   | 208.6   | 60144                            |
| 10.2           | 252510          | 464.88  |   |                                  |
|                |                 |   | 458.7   | 112978                           |
| -2.06          | 301020          | 554.17  |   |                                  |
|                |                 |   | 2697.8  | 496620                           |
| -6.06          | 127000          | 233.79  |   |                                  |
|                |                 |   |   |                                  |
| 合計             | 1114310         |   | ヤング係数 $E_c$ $2.57 \times 10^7$ (kN/m <sup>2</sup> )<br>せん断弾性係数 $G$ $1.07 \times 10^7$ (kN/m <sup>2</sup> )<br>ポアソン比 $\nu$ 0.20<br>減衰 $h$ 5% |                                  |

\* : 「福島第一原子力発電所の原子炉建屋の現状の耐震安全性および補強等に関する検討に係る報告書(その2)」(東京電力株式会社, 平成 23 年 7 月 13 日)において用いた各階重量に瓦礫撤去等による重量増減を考慮した数値(ただし, 門型架構の重量 12800kN 及びドーム屋根重量 3200kN は含まない)

表 3.3-2 地震応答解析モデルのうち原子炉建屋の地震応答解析モデルの諸元

(b) 水平 (EW) 方向

| 標高<br>O.P. (m) | 質点重量*<br>W (kN) | 回転慣性重量<br>$I_G (\times 10^5 \text{ kN}\cdot\text{m}^2)$ | せん断断面積<br>$A_S (\text{m}^2)$              | 断面二次モーメント<br>I ( $\text{m}^4$ ) |
|----------------|-----------------|---|---|---------------------------------|
| 39.92          | 72990           | 56.10   |   |                                 |
|                |                 |   | 61.9                                      | 5665                            |
| 32.3           | 119490          | 124.49  |   |                                 |
|                |                 |   | 123.4                                     | 12460                           |
| 26.9           | 111140          | 204.58  |   |                                 |
|                |                 |   | 204.1                                     | 41352                           |
| 18.7           | 130160          | 239.58  |   |                                 |
|                |                 |   | 226.6                                     | 61084                           |
| 10.2           | 252510          | 693.32  |   |                                 |
|                |                 |   | 431.3                                     | 135128                          |
| -2.06          | 301020          | 826.50  |   |                                 |
|                |                 |   | 2697.8                                    | 740717                          |
| -6.06          | 127000          | 348.72  |   |                                 |
| 合計             | 1114310         |   |   |                                 |
|                |                 | ヤング係数 $E_c$   | $2.57 \times 10^7 (\text{kN}/\text{m}^2)$ |                                 |
|                |                 | せん断弾性係数 $G$   | $1.07 \times 10^7 (\text{kN}/\text{m}^2)$ |                                 |
|                |                 | ポアソン比 $\nu$   | 0.20                                      |                                 |
|                |                 | 減衰 $h$  | 5%  |                                 |

(c) 鉛直方向

| 標高<br>O.P. (m) | 質点重量*<br>W (kN) | 軸断面積<br>$A_N (\text{m}^2)$ | 軸ばね剛性<br>$K_A (\times 10^8 \text{ kN}/\text{m})$ |
|----------------|-----------------|----------------------------|--|
| 39.92          | 72990           |                            |  |
|                |                 | 192.0                      | 6.48   |
| 32.3           | 119490          |                            |  |
|                |                 | 266.3                      | 12.67  |
| 26.9           | 111140          |                            |  |
|                |                 | 431.7                      | 13.53  |
| 18.7           | 130160          |                            |  |
|                |                 | 423.0                      | 12.79  |
| 10.2           | 252510          |                            |  |
|                |                 | 691.2                      | 14.49  |
| -2.06          | 301020          |                            |  |
|                |                 | 2697.8                     | 173.33   |
| -6.06          | 127000          |                            |  |
| 合計             | 1114310         |                            |  |
|                |                 | ヤング係数 $E_c$                | $2.57 \times 10^7 (\text{kN}/\text{m}^2)$        |
|                |                 | せん断弾性係数 $G$                | $1.07 \times 10^7 (\text{kN}/\text{m}^2)$        |
|                |                 | ポアソン比 $\nu$                | 0.20   |
|                |                 | 減衰 $h$                     | 5%   |

\* : 「福島第一原子力発電所の原子炉建屋の現状の耐震安全性および補強等に関する検討に係る報告書(その2)」(東京電力株式会社, 平成 23 年 7 月 13 日)において用いた各階重量に瓦礫撤去等による重量増減を考慮した数値(ただし, 門型架構の重量 12800kN 及びドーム屋根重量 3200kN は含まない)

表 3.3-3 地盤定数の設定結果

(a) Ss-1

| 標高<br>O.P.<br>(m) | 地質 | せん断波<br>速度<br>$V_s$<br>(m/s) | 単位体積<br>重量<br>$\gamma$<br>(kN/m <sup>3</sup> ) | ポアソン<br>比<br>$\nu$ | せん断<br>弾性係数<br>$G$<br>( $\times 10^5$ kN/m <sup>2</sup> ) | 初期せん断<br>弾性係数<br>$G_0$<br>( $\times 10^5$ kN/m <sup>2</sup> ) | 剛性<br>低下率<br>$G/G_0$ | ヤング<br>係数<br>$E$<br>( $\times 10^5$ kN/m <sup>2</sup> ) | 減衰<br>定数<br>$h$<br>(%) | 層厚<br>$H$<br>(m) |
|-------------------|----|------------------------------|--|--------------------|---|---|----------------------|---|------------------------|------------------|
| 10.0              | 砂岩 | 380                          | 17.8   | 0.473              | 2.23  | 2.62  | 0.85                 | 6.57  | 3                      | 8.1              |
| 1.9               |    | 450                          | 16.5   | 0.464              | 2.66  | 3.41  | 0.78                 | 7.79  | 3                      | 11.9             |
| -10.0             | 泥岩 | 500                          | 17.1   | 0.455              | 3.40  | 4.36  | 0.78                 | 9.89  | 3                      | 70.0             |
| -80.0             |    | 560                          | 17.6   | 0.446              | 4.39  | 5.63  | 0.78                 | 12.70   | 3                      | 28.0             |
| -108.0            |    | 600                          | 17.8   | 0.442              | 5.09  | 6.53  | 0.78                 | 14.68   | 3                      | 88.0             |
| -196.0            |    | (解放基盤)                       | 700  | 18.5               | 0.421   | 9.24  | 9.24                 | 1.00  | 26.26                  | -                |

(b) Ss-2

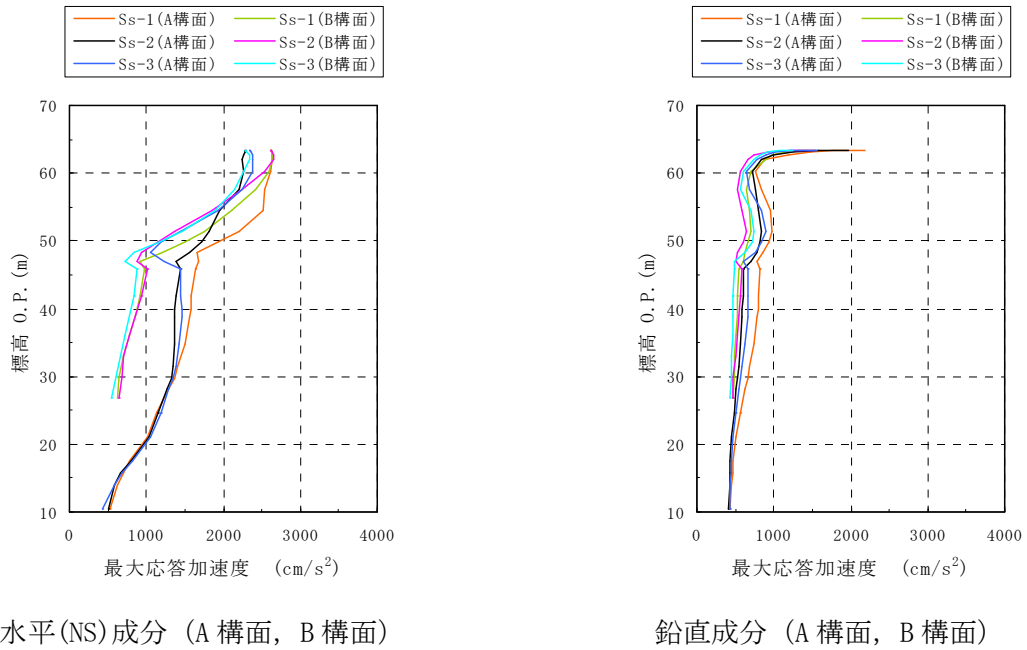
| 標高<br>O.P.<br>(m) | 地質 | せん断波<br>速度<br>$V_s$<br>(m/s) | 単位体積<br>重量<br>$\gamma$<br>(kN/m <sup>3</sup> ) | ポアソン<br>比<br>$\nu$ | せん断<br>弾性係数<br>$G$<br>( $\times 10^5$ kN/m <sup>2</sup> ) | 初期せん断<br>弾性係数<br>$G_0$<br>( $\times 10^5$ kN/m <sup>2</sup> ) | 剛性<br>低下率<br>$G/G_0$ | ヤング<br>係数<br>$E$<br>( $\times 10^5$ kN/m <sup>2</sup> ) | 減衰<br>定数<br>$h$<br>(%) | 層厚<br>$H$<br>(m) |
|-------------------|----|------------------------------|--|--------------------|---|---|----------------------|---|------------------------|------------------|
| 10.0              | 砂岩 | 380                          | 17.8   | 0.473              | 2.23  | 2.62  | 0.85                 | 6.57  | 3                      | 8.1              |
| 1.9               |    | 450                          | 16.5   | 0.464              | 2.76  | 3.41  | 0.81                 | 8.08  | 3                      | 11.9             |
| -10.0             | 泥岩 | 500                          | 17.1   | 0.455              | 3.53  | 4.36  | 0.81                 | 10.27   | 3                      | 70.0             |
| -80.0             |    | 560                          | 17.6   | 0.446              | 4.56  | 5.63  | 0.81                 | 13.19   | 3                      | 28.0             |
| -108.0            |    | 600                          | 17.8   | 0.442              | 5.29  | 6.53  | 0.81                 | 15.26   | 3                      | 88.0             |
| -196.0            |    | (解放基盤)                       | 700  | 18.5               | 0.421   | 9.24  | 9.24                 | 1.00  | 26.26                  | -                |

(c) Ss-3

| 標高<br>O.P.<br>(m) | 地質 | せん断波<br>速度<br>$V_s$<br>(m/s) | 単位体積<br>重量<br>$\gamma$<br>(kN/m <sup>3</sup> ) | ポアソン<br>比<br>$\nu$ | せん断<br>弾性係数<br>$G$<br>( $\times 10^5$ kN/m <sup>2</sup> ) | 初期せん断<br>弾性係数<br>$G_0$<br>( $\times 10^5$ kN/m <sup>2</sup> ) | 剛性<br>低下率<br>$G/G_0$ | ヤング<br>係数<br>$E$<br>( $\times 10^5$ kN/m <sup>2</sup> ) | 減衰<br>定数<br>$h$<br>(%) | 層厚<br>$H$<br>(m) |
|-------------------|----|------------------------------|--|--------------------|---|---|----------------------|---|------------------------|------------------|
| 10.0              | 砂岩 | 380                          | 17.8   | 0.473              | 2.25  | 2.62  | 0.86                 | 6.63  | 3                      | 8.1              |
| 1.9               |    | 450                          | 16.5   | 0.464              | 2.66  | 3.41  | 0.78                 | 7.79  | 3                      | 11.9             |
| -10.0             | 泥岩 | 500                          | 17.1   | 0.455              | 3.40  | 4.36  | 0.78                 | 9.89  | 3                      | 70.0             |
| -80.0             |    | 560                          | 17.6   | 0.446              | 4.39  | 5.63  | 0.78                 | 12.70   | 3                      | 28.0             |
| -108.0            |    | 600                          | 17.8   | 0.442              | 5.09  | 6.53  | 0.78                 | 14.68   | 3                      | 88.0             |
| -196.0            |    | (解放基盤)                       | 700  | 18.5               | 0.421   | 9.24  | 9.24                 | 1.00  | 26.26                  | -                |

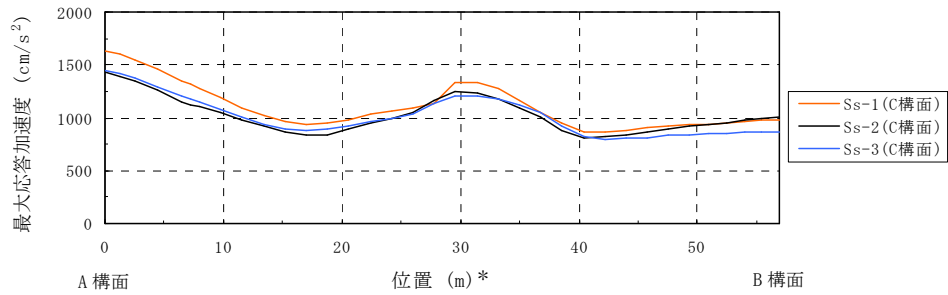
### 3) 地震応答解析結果

最大応答加速度分布を図 3.3-4(1) 及び図 3.3-4(2) に示す。

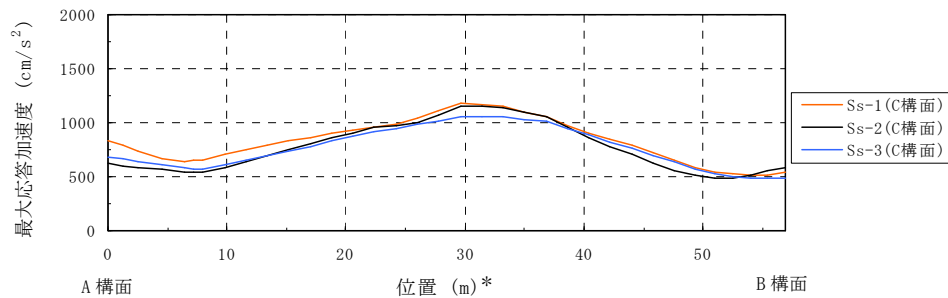


水平(NS)成分 (A 構面, B 構面)

鉛直成分 (A 構面, B 構面)



水平(NS)成分 (C 構面)



鉛直成分 (C 構面)  
(NS 方向)

注：燃料取扱設備が門型架構の中央に位置する場合  
(図 3.2-1 の位置 D) を示す

\*：位置は A 構面側からの距離を示す

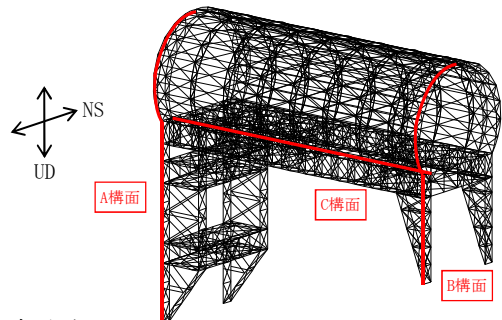
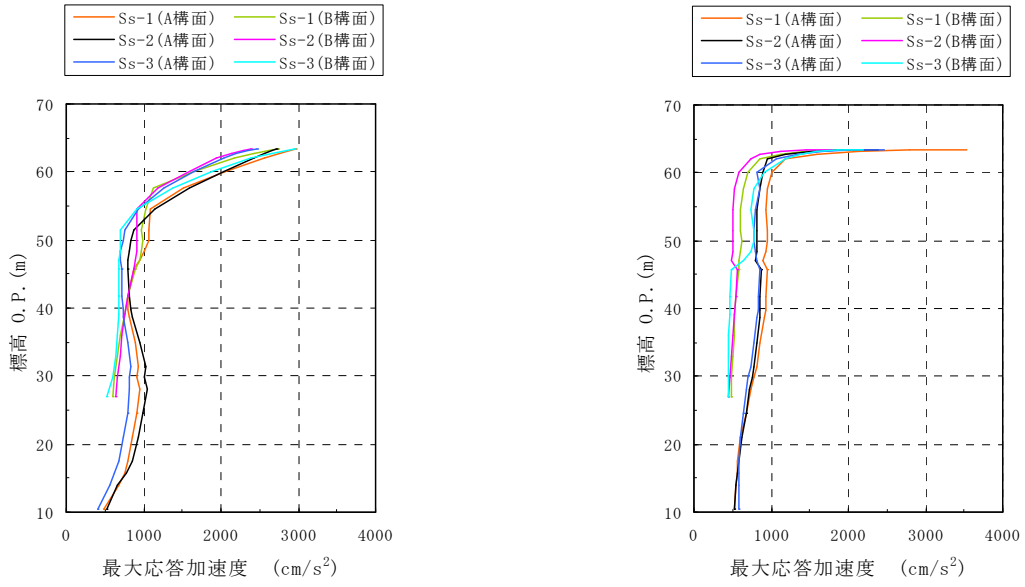
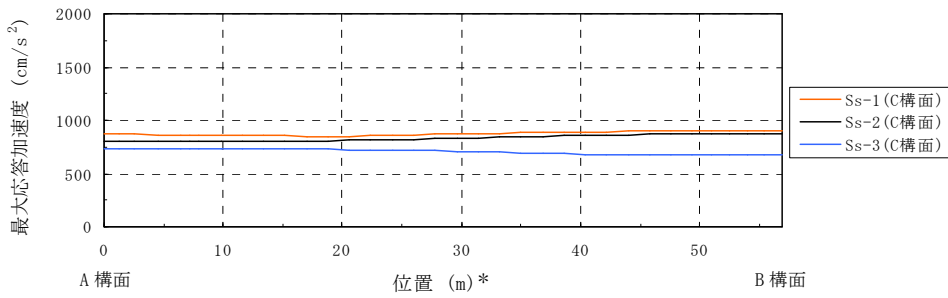


図 3.3-4(1) 最大応答加速度分布

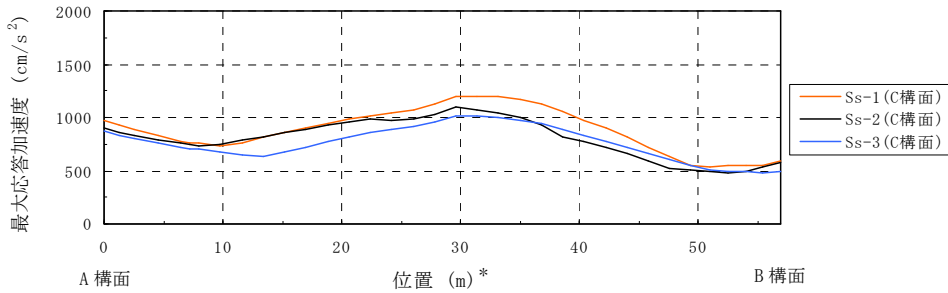


水平(EW)成分 (A 構面, B 構面)

鉛直成分 (A 構面, B 構面)



水平(EW)成分 (C 構面)



鉛直成分 (C 構面)  
(EW 方向)

注：燃料取扱設備が門型架構の中央に位置する場合  
(図 3.2-1 の位置 D) を示す

\*：位置は A 構面側からの距離を示す

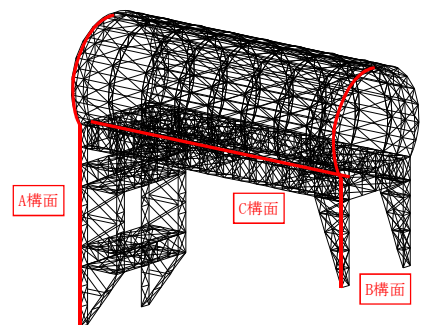


図 3.3-4(2) 最大応答加速度分布

#### 4) 波及的影響の評価

門型架構は、JSCA 性能メニュー（社団法人日本建築構造技術者協会，2002 年）を参考に定めたクライテリア（「層間変形角は 1/75 以下，層の塑性率は 4 以下，部材の塑性率は 5 以下」\*）を満足することを確認する。ドーム屋根は，柱・梁によるフレームを構成しないため，JSCA 性能メニューのうち部材の塑性率のクライテリアを満足することを確認する。

なお，解析結果が「時刻歴応答解析建築物性能評価業務方法書」（財団法人日本建築センター，平成 19 年 7 月 20 日）に示されるクライテリア（層間変形角は 1/100 以下，層の塑性率は 2 以下，部材の塑性率は 4 以下）を超える場合には水平変形に伴う鉛直荷重の付加的影響を考慮した解析を実施し，安全性を確認する。

\*：北村春幸，宮内洋二，浦本弥樹「性能設計における耐震性能判断基準値に関する研究」，日本建築学会構造系論文集，第 604 号，2006 年 6 月

#### ・層間変形角の検討

門型架構の最大応答層間変形角を表 3.3-4 に示す。

検討の結果，最大応答層間変形角は 1/75 以下となりクライテリアを満足することを確認した。

表 3.3-4 最大応答層間変形角の検討結果

| 検討箇所                                  | 地震波  | 入力方向（位置）* | 最大応答値  | クライテリア | 判定   |
|---------------------------------------|------|-----------|--------|--------|------|
| 東側<br>O.P. 46.00(m)<br>～O.P. 26.90(m) | Ss-1 | NS (A)    | 1/820  | 1/75   | O.K. |
|                                       |      | EW (B)    | 1/990  | 1/75   | O.K. |
|                                       | Ss-2 | NS (B)    | 1/990  | 1/75   | O.K. |
|                                       |      | EW (B)    | 1/1000 | 1/75   | O.K. |
|                                       | Ss-3 | NS (B)    | 1/990  | 1/75   | O.K. |
|                                       |      | EW (B)    | 1/1000 | 1/75   | O.K. |
| 西側<br>O.P. 46.00(m)<br>～O.P. 10.50(m) | Ss-1 | NS (A)    | 1/720  | 1/75   | O.K. |
|                                       |      | EW (B)    | 1/1600 | 1/75   | O.K. |
|                                       | Ss-2 | NS (C)    | 1/860  | 1/75   | O.K. |
|                                       |      | EW (B)    | 1/1600 | 1/75   | O.K. |
|                                       | Ss-3 | NS (C)    | 1/800  | 1/75   | O.K. |
|                                       |      | EW (B)    | 1/1800 | 1/75   | O.K. |

\*：図 3.2-1 に示す燃料取扱設備の位置を示す



・塑性率の検討

部材の塑性率は、引張及び圧縮に対して最大軸力時のひずみを引張耐力または座屈耐力時のひずみで除した値で表される。最大軸力時のひずみが引張耐力または座屈耐力時のひずみ未満の場合は弾性であり塑性率は1未満となる。最大応答軸力を引張耐力または座屈耐力で除した値を耐力比と定義し、表 3.3-5 に検討結果を示す。なお、引張耐力及び座屈耐力算定時の材料強度（STKT590 材を除く）は「平成 19 年国土交通省告示第 625 号」に定められた基準強度 F 値の 1.1 倍を用いる。

表 3.3-5 より全てのケースで耐力比が 1 を下回ることから塑性率は 1 未満となり、クライテリアを満足することを確認した。

表 3.3-5 耐力比の検討結果

| 部位*1  |   | 部材形状<br>(mm) | 地震波                               | 入力方向<br>(位置)*2 | 耐力比       |      | 判定   |    |
|-------|---|--------------|-----------------------------------|----------------|-----------|------|------|----|
| 門型架構  | ① | 柱            | H-350×350<br>×12×19<br><SM490A>   | Ss-2           | NS<br>(C) | C/Cu | 0.50 | OK |
|       | ② | 梁            | H-350×350<br>×12×19<br><SM490A>   | Ss-1           | NS<br>(C) | C/Cu | 0.45 | OK |
|       | ③ | 斜材           | 2[s-150×75<br>×6.5×10<br><SM490A> | Ss-1           | NS<br>(C) | C/Cu | 0.75 | OK |
| ドーム屋根 | ④ | 弦材           | φ-267.4×6.6<br><STKT590>          | Ss-1           | NS<br>(D) | C/Cu | 0.63 | OK |
|       | ⑤ | 斜材           | φ-139.8×4.5<br><STK490>           | Ss-1           | EW<br>(D) | C/Cu | 0.90 | OK |
|       | ⑥ | ブレース         | φ-114.3×4.5<br><STK490>           | Ss-2           | EW<br>(C) | C/Cu | 0.45 | OK |

\*1：①～⑥の符号は図 3.3-3 の応力検討箇所を示す

\*2：図 3.2-1 に示す燃料取扱設備の位置を示す

C：部材軸方向の圧縮力の最大値

Cu：座屈耐力

T：部材軸方向の引張力の最大値

Tu：引張耐力

(3) 水平振れ止め装置（ストップ）の耐震性に対する検討

ストップ（鋼製）の耐震性に対する検討は、材料強度を基準強度 F 値の 1.1 倍としたせん断耐力とし、耐力比が 1 以下になることを確認する。図 3.3-5 にストップ概要図を示す。

表 3.3-6 に耐力比が最大となる部位の断面検討結果を示す。

断面検討の結果、全てのストップに対する耐力比が 1 以下になることを確認した。

表 3.3-6 ストップ（シアキ）の断面検討結果

| 部位     | 地震波  | 入力方向<br>(位置)* | 最大応答<br>ストップ反力<br>Q (kN) | せん断耐力<br>Qu (kN) | 耐力比<br>Q/Qu | 判定    |
|--------|------|---------------|--------------------------|------------------|-------------|-------|
| 東側ストップ | Ss-1 | EW (D)        | 3970                     | 9480             | 0.42        | O. K. |

\*：図 3.2-1 に示す燃料取扱設備の位置を示す

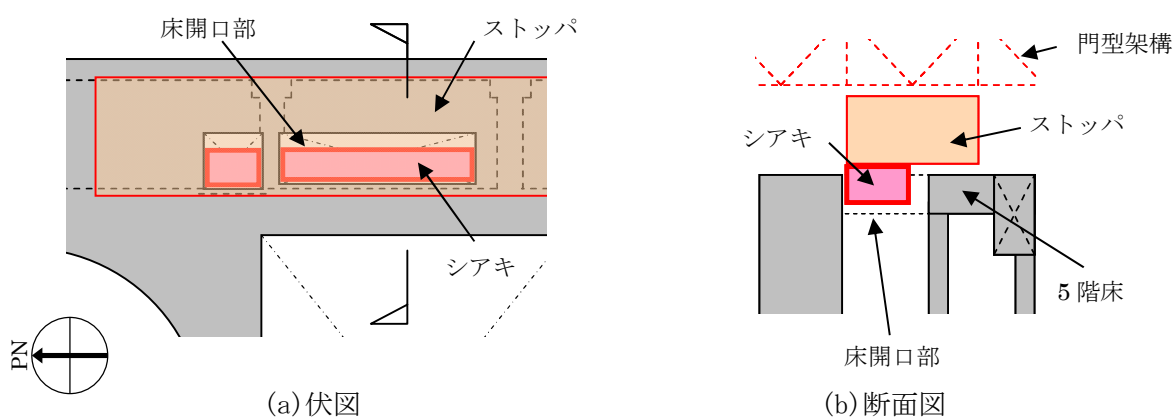


図 3.3-5 ストップ概要図

(4) 制震装置（オイルダンパ）の耐震性に対する検討

原子炉建屋の 5 階床上面 4 箇所に設置するオイルダンパ概念図を図 3.3-6 に示す。

オイルダンパの耐震性に対する検討は、架構と原子炉建屋 5 階床がオイルダンパを介して各々変形する時の相対的な応答値がオイルダンパの許容値以下であることを確認する。

表 3.3-7 に最大応答値と許容値を比較した結果を示す。

検討の結果、全てのオイルダンパで最大応答値が許容値以下になることを確認した。

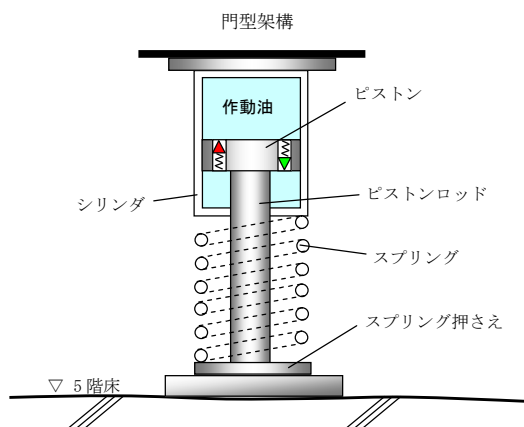


図 3.3-6 オイルダンパ概念図

表 3.3-7 オイルダンパの検討結果

| 検討             | 地震波  | 入力方向<br>(位置)* | 最大応答値 | 許容値  | 判定    |
|----------------|------|---------------|-------|------|-------|
| オイルダンパ変位 (mm)  | Ss-3 | NS (D)        | 72    | ±100 | O. K. |
| オイルダンパ速度 (m/s) | Ss-1 | NS (D)        | 0.48  | 1.00 | O. K. |

\* : 図 3.2-1 に示す燃料取扱設備の位置を示す

(5) 基礎の耐震性に対する検討

基礎の浮き上がりに対しては基礎反力（圧縮力を正）の最小値が 0 以上であることを確認し、基礎のすべりに対しては基礎反力の水平力が摩擦耐力以下であることを確認する。

1) 基礎浮き上がりの検討

表 3.3-8 に基礎反力が最小となる部位の基礎浮き上がりの検討結果を示す。  
検討の結果、全ての基礎の最小圧縮力が 0 以上になることを確認した。

表 3.3-8 基礎浮き上がりの検討結果

| 部位           | 地震波  | 入力方向<br>(位置)* | 最小圧縮力<br>N (kN) | 判定    |
|--------------|------|---------------|-----------------|-------|
| 東側柱脚<br>(北側) | Ss-3 | NS<br>(C)     | 227             | O. K. |

\* : 図 3.2-1 に示す燃料取扱設備の位置を示す

2) 基礎すべりの検討

表 3.3-9 に耐力比が最大となる部位の検討結果を示す。  
検討の結果、全ての耐力比が 1 以下になることを確認した。

表 3.3-9 基礎すべりの検討結果

| 部位   | 地震波  | 入力方向<br>(位置)* | 最大水平力<br>Q (kN) | 摩擦耐力<br>Vu (kN) | 耐力比<br>Q/Vu | 判定    |
|------|------|---------------|-----------------|-----------------|-------------|-------|
| 東側柱脚 | Ss-1 | EW (D)        | 2810            | 4780            | 0.59        | O. K. |

\* : 図 3.2-1 に示す燃料取扱設備の位置を示す

(6) 原子炉建屋接触部の耐震性に対する検討

1) ストップ接触部

ストップ接触部の耐震性の検討では、最大ストップ水平反力が、既存躯体の支圧耐力以下になることを確認する。なお、支圧耐力は、原子炉建屋の設計基準強度 (22.1N/mm<sup>2</sup>) を用いて「プレストレストコンクリート設計施工規準・同解説」に基づき算出する。

表 3.3-10 に耐力比が最大となる部位の検討結果を示す。

検討の結果、全てのストップ接触部に対する耐力比が 1 以下になることを確認した。

表 3.3-10 ストップ接触部の検討結果

| 部位     | 地震波  | 入力方向<br>(位置)* | 最大ストップ<br>水平反力<br>N (kN) | 支圧耐力<br>Nu (kN) | 耐力比<br>N/Nu | 判定    |
|--------|------|---------------|--------------------------|-----------------|-------------|-------|
| 西側ストップ | Ss-1 | NS (C)        | 10400                    | 19600           | 0.54        | O. K. |

\* : 図 3.2-1 に示す燃料取扱設備の位置を示す

2) オイルダンパ接触部

オイルダンパ接触部の耐震性の検討では、最大オイルダンパ鉛直反力が、既存躯体の支圧耐力以下になることを確認する。なお、支圧耐力は、原子炉建屋の設計基準強度 (22.1N/mm<sup>2</sup>) を用いて「プレストレストコンクリート設計施工規準・同解説」に基づき算出する。

表 3.3-11 に耐力比が最大となる部位の検討結果を示す。

検討の結果、全てのオイルダンパ接触部に対する耐力比が 1 以下になることを確認した。

$$N_u = f_n \cdot A_l$$

$$f_n = f_{na} \sqrt{\frac{A_c}{A_l}} \quad \text{ただし,} \quad \sqrt{\frac{A_c}{A_l}} \leq 2.0$$

ここに、

$f_n$  : 短期許容支圧応力度 (N/mm<sup>2</sup>)

$f_{na}$  :  $F_{ci}/1.25$  または  $0.6F_c$  のうち小さいほうの値 (N/mm<sup>2</sup>)

$F_{ci}$  : コンクリート強度、特に定めのない場合には 20N/mm<sup>2</sup> ( $F_{ci}=22.1\text{N/mm}^2$ )

$A_c$  : 支圧端から離れて応力が一様分布となったところのコンクリートの支承面積 (mm<sup>2</sup>)

$A_l$  : 局部圧縮を受ける支圧面積 (mm<sup>2</sup>)

( $500 \times 500 = 2.50 \times 10^5 \text{mm}^2$ )

表 3. 3-11 オイルダンパ接触部の検討結果

| 部位   | 地震波  | 入力方向<br>(位置)* | 最大オイルダンパ<br>鉛直反力<br>N (kN) | 支圧耐力<br>Nu (kN) | 耐力比<br>N/Nu | 判定    |
|------|------|---------------|----------------------------|-----------------|-------------|-------|
| 南側端部 | Ss-1 | NS (D)        | 1250                       | 6620            | 0. 19       | O. K. |

\* : 図 3. 2-1 に示す燃料取扱設備の位置を示す

### 3) 基礎設置部

基礎設置部の耐震性の検討では、柱脚の鉛直反力により生じる直下壁の最大軸力が壁の軸耐力以下であることを確認する。

表 3. 3-12 に耐力比が最大となる部位の検討結果を示す。

検討の結果、全ての基礎設置部に対する耐力比が 1 以下になることを確認した。

$$N_u = s f_c \cdot A_1$$

ここに、

$s f_c$  : 短期許容圧縮応力度 (N/mm<sup>2</sup>) ( $s f_c = 22. 1 \times 2/3 = 14. 7$ )

$A_1$  : 柱脚部支配面積 (mm<sup>2</sup>)

表 3. 3-12 壁の圧縮力の検討結果

| 部位           | 地震波  | 入力方向<br>(位置)* | 最大軸力<br>N (kN) | 軸耐力<br>Nu (kN) | 耐力比<br>N/Nu | 判定    |
|--------------|------|---------------|----------------|----------------|-------------|-------|
| 東側柱脚<br>(南側) | Ss-3 | NS<br>(B)     | 7430           | 25900          | 0. 29       | O. K. |

\* : 図 3. 2-1 に示す燃料取扱設備の位置を示す

## (7) 原子炉建屋の耐震性に対する検討

### 1) 検討方針

架構の設置に伴う原子炉建屋の耐震性の評価は、耐震安全上重要な設備への波及的影響防止の観点から、地震応答解析により得られる耐震壁のせん断ひずみが鉄筋コンクリート造耐震壁の終局限界に対応した評価基準値 ( $4.0 \times 10^{-3}$ ) 以下になることを確認する。

### 2) 原子炉建屋の地震応答解析

#### ・解析に用いる入力地震動

検討に用いる地震動は、「(2) 架構の耐震性に対する検討」で示した基準地震動  $S_s$  とする。

地震応答解析に用いる入力地震動の概念図は図 3.3-1 と同様であり、モデルに入力する地震動は「(2) 架構の耐震性に対する検討」に示したものと同一である。

#### ・地震応答解析モデル

原子炉建屋の地震応答解析モデルは、図 3.3-7 に示すように質点系でモデル化し、地盤を等価なばねで評価した建屋—地盤連成系モデルとする。

地震応答解析モデルの諸元は、「福島第一原子力発電所の原子炉建屋の現状の耐震安全性および補強等に関する検討に係る報告書（その2）」（東京電力株式会社，平成23年7月13日）に示される内容に、瓦礫撤去等による重量増減及び新規に設置する燃料取り出し用カバーの重量を考慮した。地震応答解析モデルの諸元のうち表 3.3-2 から変更した質点重量及び回転慣性重量を表 3.3-13 に示す。

地盤定数は、「(2) 架構の耐震性に対する検討」で示した地盤定数と同一である。

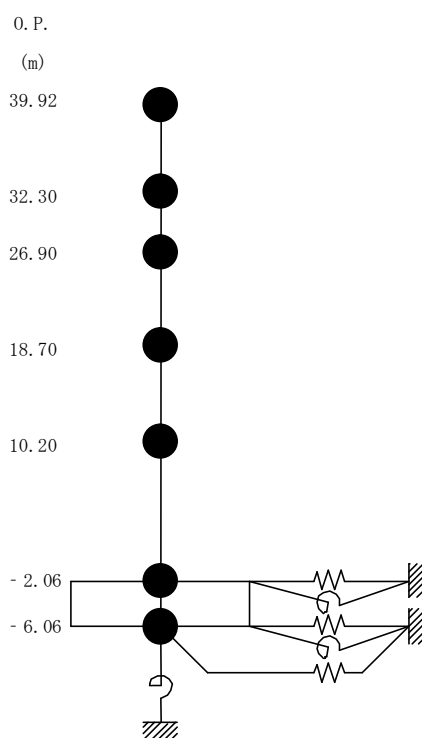


図 3.3-7 原子炉建屋の地震応答解析モデル

表 3.3-13 原子炉建屋の地震応答解析モデルの諸元（水平方向）

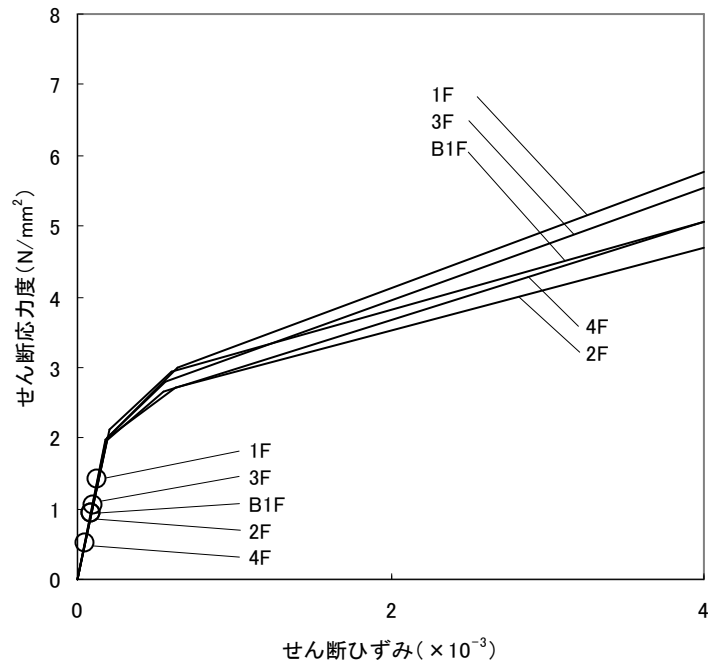
| 標高<br>O. P. (m) | 質点重量<br>W (kN) | 回転慣性重量<br>$I_G (\times 10^5 \text{ kN}\cdot\text{m}^2)$ |          |
|-----------------|----------------|---|----------|
|                 |                | 水平(NS)方向  | 水平(EW)方向 |
| 39.92           | 87590          | 92.34   | 67.32    |
| 32.3            | 119490         | 238.33  | 124.49   |
| 26.9            | 111340         | 204.95  | 204.95   |
| 18.7            | 130160         | 239.58  | 239.58   |
| 10.2            | 253710         | 467.09  | 696.62   |
| -2.06           | 301020         | 554.17  | 826.50   |
| -6.06           | 127000         | 233.79  | 348.72   |
| 合計              | 1130310        |   |          |

### 3) 検討結果

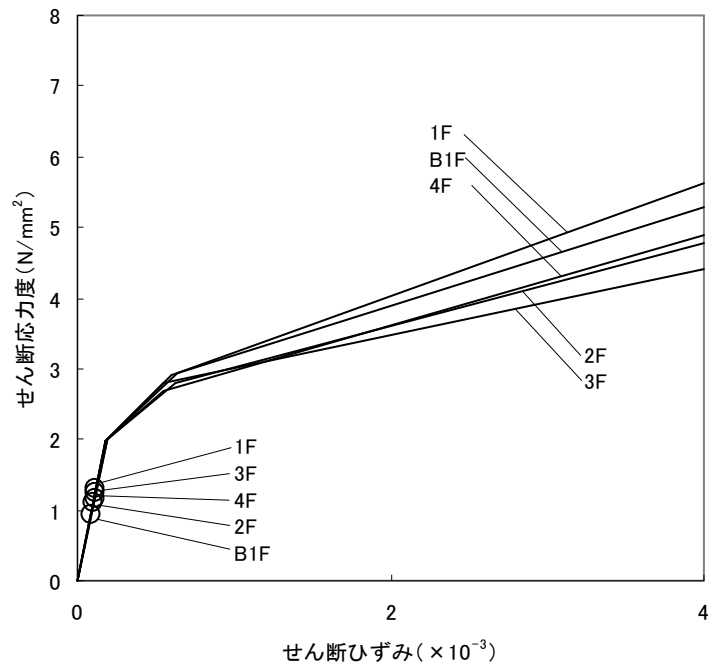
基準地震動  $S_s$  に対する最大応答値を、「JEAG 4601-1991」に基づき設定した耐震壁のせん断スケルトン曲線上にプロットした結果を、図 3.3-8 から図 3.3-10 に示す。

検討の結果、地震応答解析により得られる最大応答値は、評価基準値 ( $4.0 \times 10^{-3}$ ) に対して十分に余裕があることを確認した。



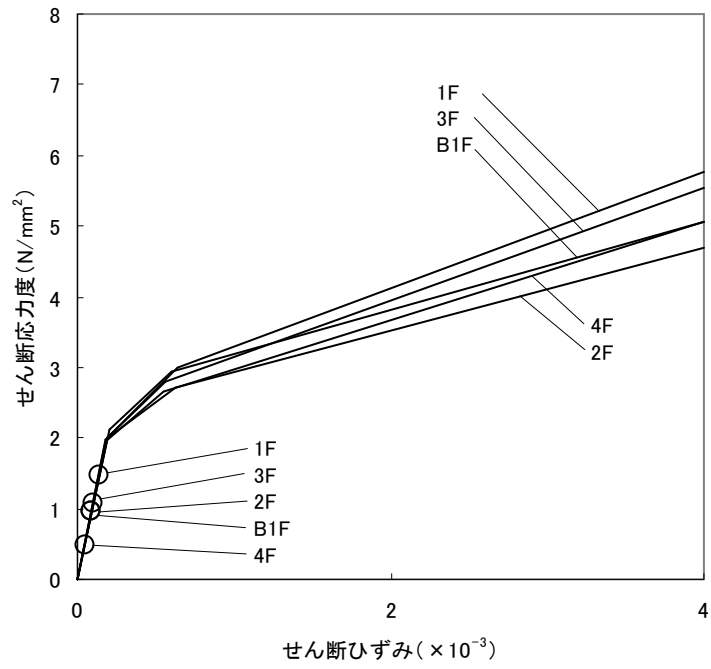


(a) NS 方向

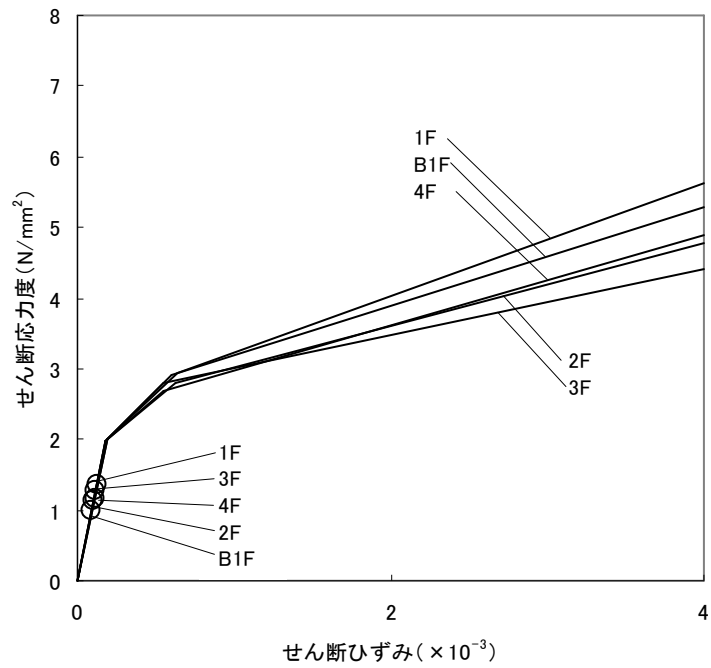


(b) EW 方向

図 3.3-8 せん断スケルトン曲線上の最大応答値 (Ss-1)

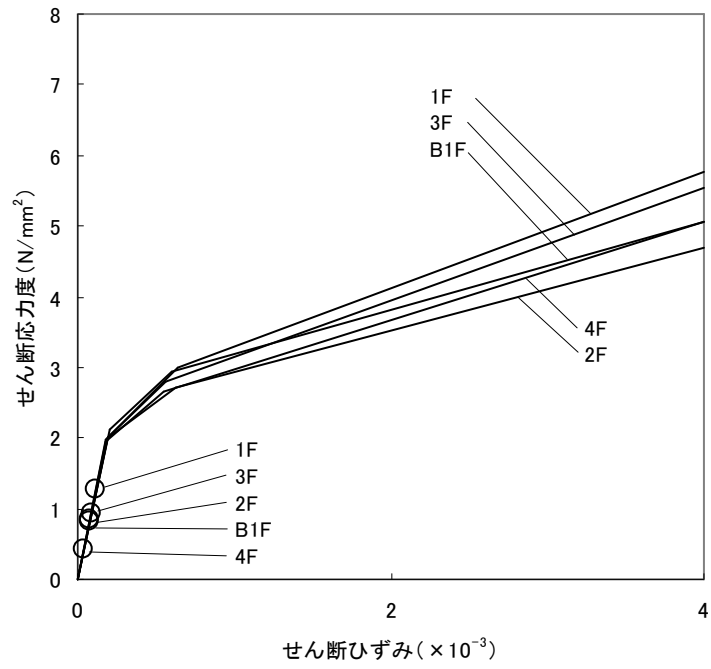


(a) NS 方向

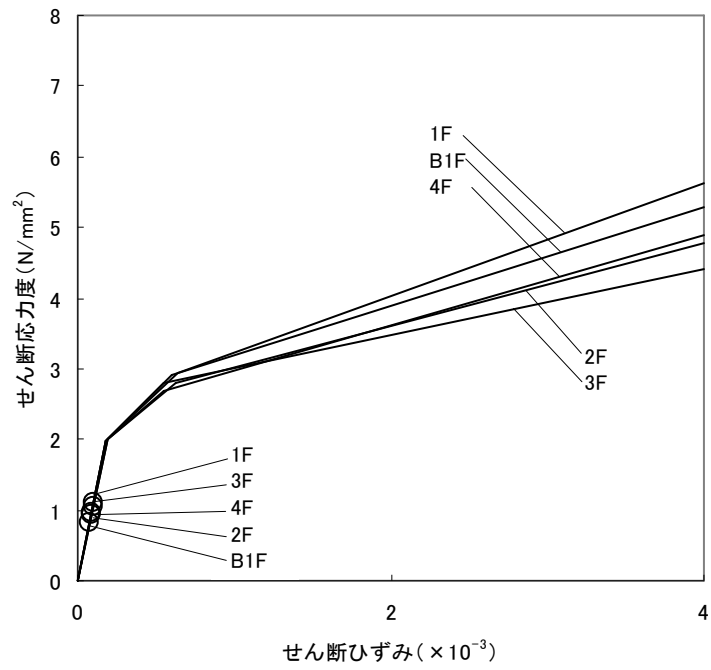


(b) EW 方向

図 3.3-9 せん断スケルトン曲線上の最大応答値 (Ss-2)



(a) NS 方向



(b) EW 方向

図 3.3-10 せん断スケルトン曲線上の最大応答値 (Ss-3)

#### 4. 別添

- 別添－1 福島第一原子力発電所 3号機燃料取り出し用カバーの構造強度及び耐震性について  
(東京電力株式会社, 平成25年2月21日, 特定原子力施設監視・評価検討会(第4回)資料4)
- 別添－2 福島第一原子力発電所 3号機燃料取り出し用カバーの構造強度及び耐震性について  
(コメント回答)(東京電力株式会社, 平成25年3月8日, 特定原子力施設監視・評価検討会(第6回)資料5)
- 別添－3 4号機燃料取り出し用カバーに係る確認事項
- 別添－4 3号機燃料取り出し用カバーに係る確認事項
- 別添－5 3号機原子炉建屋の躯体状況調査結果を反映した使用済燃料プール等の耐震安全性評価結果
- 別添－6 3号機原子炉建屋 遮へい体設置における滑動対策について

特定原子力施設監視・  
評価検討会(第４回)  
資料４  
(第３回資料４を一部改定)

# 福島第一原子力発電所 ３号機燃料取り出し用カバーの 構造強度及び耐震性について

平成25年2月21日  
東京電力株式会社



無断複製・転載禁止 東京電力株式会社

1. 施設概要と要求機能
2. 構造概要
3. 設計概要
4. 解析モデル
5. 耐震性に対する検討結果
6. 建屋損傷の反映状況と今後の対応
  - ・ コメント回答
  - ・ 参考資料



無断複製・転載禁止 東京電力株式会社

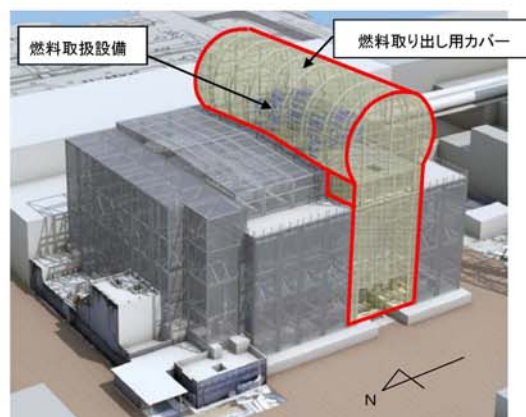
# 1. 施設概要と要求機能

## (1) 施設概要

- 燃料取り出し用カバーは、プール内燃料の取り出しと燃料取り出し中の作業環境保持のために設置する。
- 東西約57.0m、南北約22.8m、高さ53.5mの鉄骨構造物で、周囲を鋼製の折板で覆う。

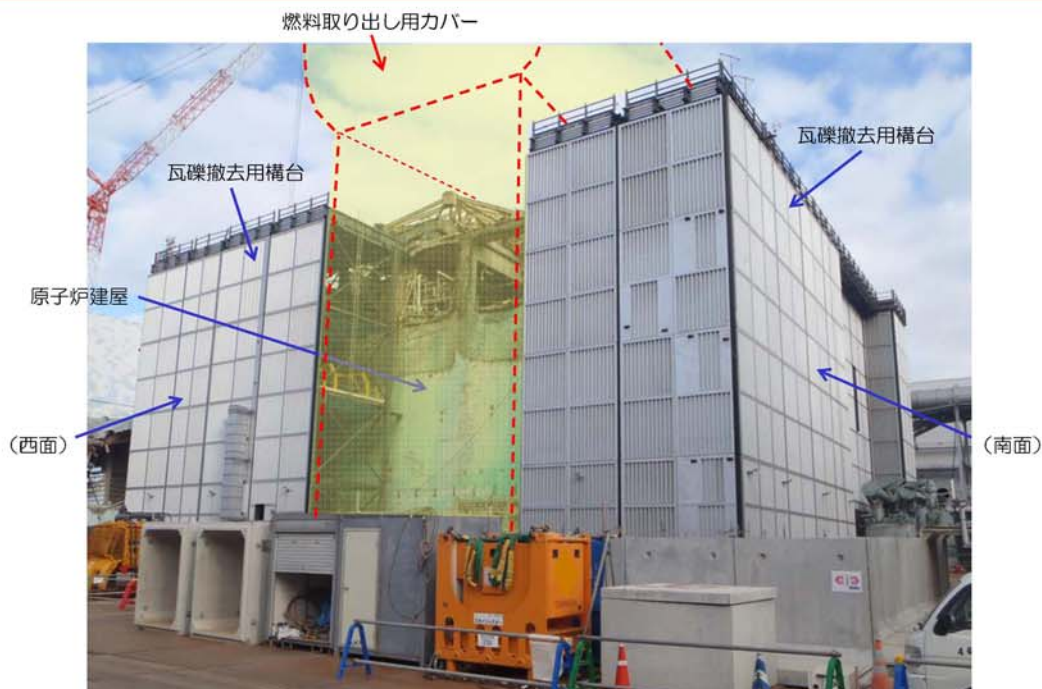


東西断面図



完成イメージ図 (北西側外観)

# 1. 施設概要と要求機能



3号機原子炉建屋の現況写真  
(南西面、2013年1月8日撮影)

# 1. 施設概要と要求機能

## (2) 要求機能

### 1. 作業環境保持

燃料取り出し作業に支障が生じることのないよう、風雨を遮る構造とする。

### 2. 飛散・拡散抑制

外周覆いの隙間を低減し、排気設備によりカバー内の放射性物質の大気への放出を抑制できる構造とする。

### 3. 燃料取扱設備の支持

燃料取扱設備を支持できる構造とする。

## (3) 使用期間

ロードマップに示した燃料取り出し作業に支障がない期間とする。

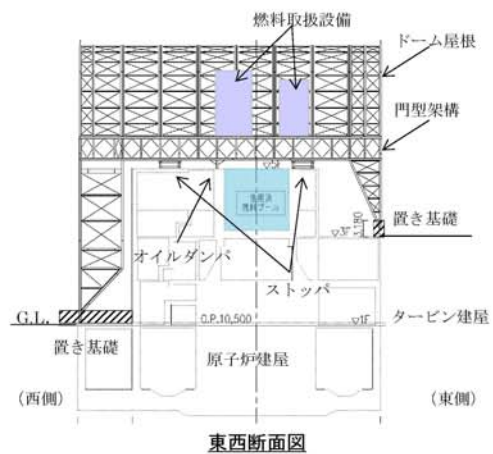
ロードマップ (2012年7月)



# 2. 構造概要

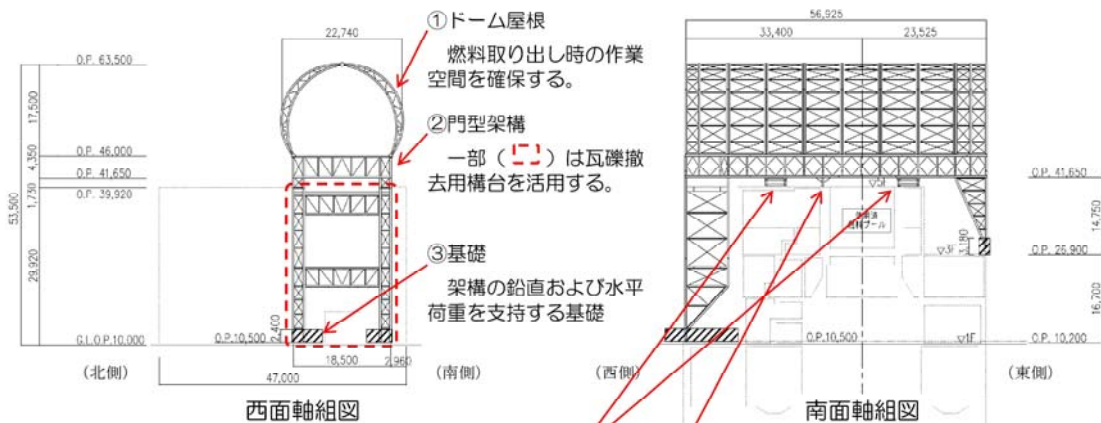
## (1) 構造概要

- ① 高線量下での建設となるため、作業員の被ばくを最小限とする構造とする。
  - ・ 軽量の鉄骨トラス構造を採用し、建屋上部に予め大組みした鉄骨ブロックをクレーンで吊り込むことで、現地作業の低減をはかる。
  - ・ 建屋との取り合い部は、アンカー等による固縛が不要な構造とし、現地作業の低減をはかる。
- ② 建屋1、3階部にコンクリート造の置き基礎を設け、燃料取扱設備を支持する門型架構を構築する。
- ③ 門型架構の中央部にはストッパおよびオイルダンパを配置し、地震時の建屋との一体挙動を確保する。
- ④ 門型架構の上部に、軽量のドーム屋根を取り付けて、燃料取り出し時の作業空間を確保する。



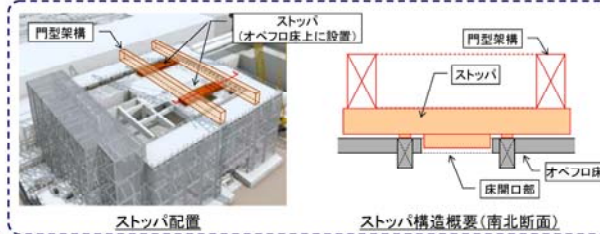
東西断面図

## 2. 構造概要



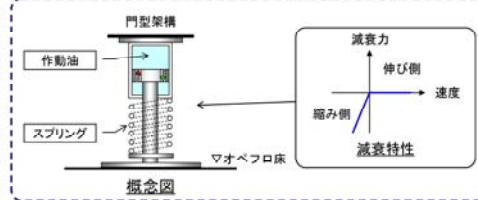
### ④ストッパ

地震時に建屋とカバーが水平方向に一体挙動させるための連結材



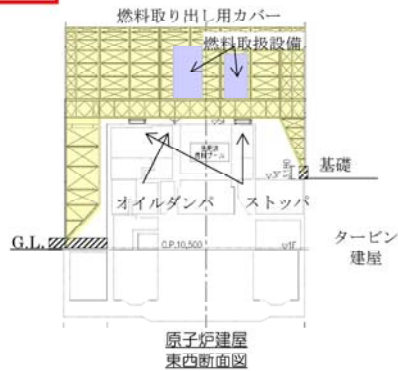
### ⑤オイルダンパ

地震時に鉛直方向に過度の揺れを生じさせないための減衰装置

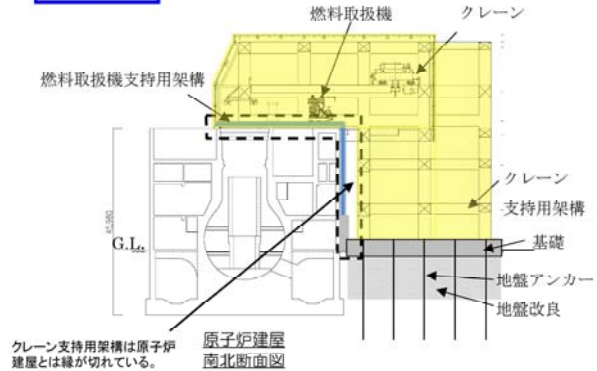


## 2. 構造概要 (2) 4号機との比較

### 3号機



### 4号機



|                         |   |                            |
|-------------------------|---|----------------------------|
| 放射線量の高い作業環境(数m~数百mSv/h) | ⇔ | 放射線量の比較的低い作業環境(1.0mSv/h程度) |
| 軽量の鉄骨トラス構造物とし、建屋上部に設置   | ⇔ | 大型の鉄骨柱・梁構造物とし、建屋と分離設置      |
| 小型の基礎、ストッパ等を介し建屋と一体化    | ⇔ | 地盤改良等による独立基礎で支持            |
|                         |   | 建屋と一体の燃料取扱機支持用架構を別途設置      |

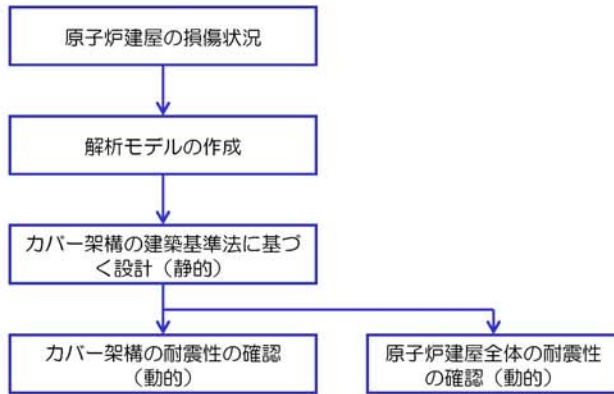
現地作業を低減し作業員の被ばくを最小限とする



### 3. 設計概要

#### 設計方針

- 耐震クラスは、燃料取り出し用カバーは安全機能を有しないため定めない。
- 設計は、建築基準法（地震\*1、風圧力\*2、積雪）に基づく。
- 基準地震動Ssに対して耐震性\*3を確認する。



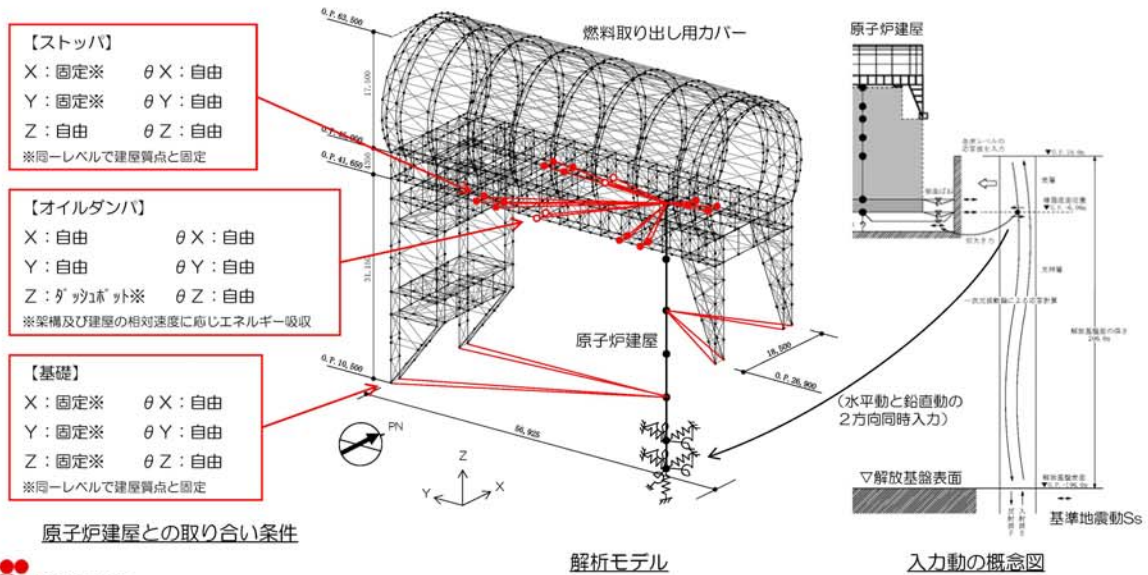
- \*1：建築基準法で定める地震力の1.5倍を考慮する。
- \*2：基準風速30m/s（10分間平均風速、最大瞬間風速50m/s相当）
- \*3：原子炉建屋、使用済み燃料プールおよび使用済み燃料貯蔵ラックに波及的影響を与えないこと。

(注記) その他の荷重に対する考え方  
 津波：燃料取り出し用カバーは鉄骨トラスと鋼製の外装材により構成されているが、閉空間になっておらず、津波襲来時には、水は燃料取り出し用カバーの裏側に回り込む。そのため、津波による波圧は生じにくい。  
 暴風：外装材は、設計風圧力の約4倍の耐力を有することを確認している。

### 4. 解析モデル

#### 基準地震動Ssに対する耐震性評価モデル

- 立体架構を原子炉建屋の質点系モデルに接続したモデルとし、地盤を等価なばねで評価した建屋-地盤連成系モデルとする。



## 5. 耐震性に対する検討結果

いずれも評価クライテリア以下であることを確認した。

### (1) 架構の耐震性

| 部位     | 評価項目     | 検定比、最大応答値 | 評価クライテリア  | 判定 |
|--------|----------|-----------|-----------|----|
| 門型架構   | 層間変形角    | 1/720     | 1/75以下    | OK |
| 門型架構   | 塑性率      | 0.75      | 5以下       | OK |
| ドーム屋根  | 塑性率      | 0.90      | 5以下       | OK |
| オイルダンパ | 相対変位     | 72 mm     | 100 mm以下  | OK |
|        | 相対速度     | 0.48 m/s  | 1.0 m/s以下 | OK |
| ストッパ   | せん断耐力比   | 0.42      | 1.0以下     | OK |
| 基礎     | 浮き上がりの有無 | 生じない      | 生じないこと    | OK |
|        | すべり摩擦抵抗比 | 0.59      | 1.0以下     | OK |

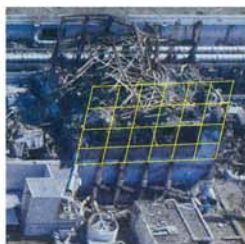
### (2) 原子炉建屋の耐震性

| 部位        | 評価項目   | 検定比、最大応答値             | 評価クライテリア                | 判定 |
|-----------|--------|-----------------------|-------------------------|----|
| ストッパ接触部   | 支圧耐力比  | 0.54                  | 1.0以下                   | OK |
| オイルダンパ接触部 | 支圧耐力比  | 0.19                  | 1.0以下                   | OK |
| 基礎設置部     | 圧縮耐力比  | 0.29                  | 1.0以下                   | OK |
| 原子炉建屋     | せん断ひずみ | $0.14 \times 10^{-3}$ | $4.0 \times 10^{-3}$ 以下 | OK |

## 6. 建屋損傷の反映状況と今後の予定

### (1) 建屋損傷の反映状況

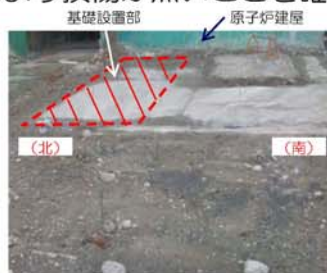
- ・外壁：損傷状況を解析モデルに反映
- ・基礎設置部：目視調査により損傷が無いことを確認



①西面



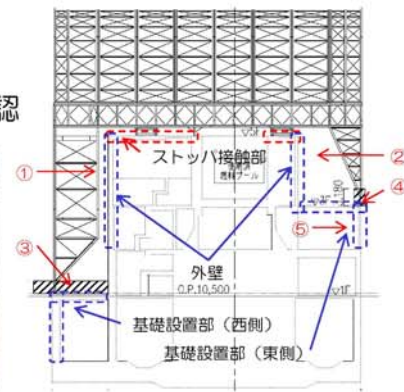
②東面  
外壁



③基礎設置部 (西側)



④基礎設置部 (東側、外部)



東側の基礎を支持する建屋外壁



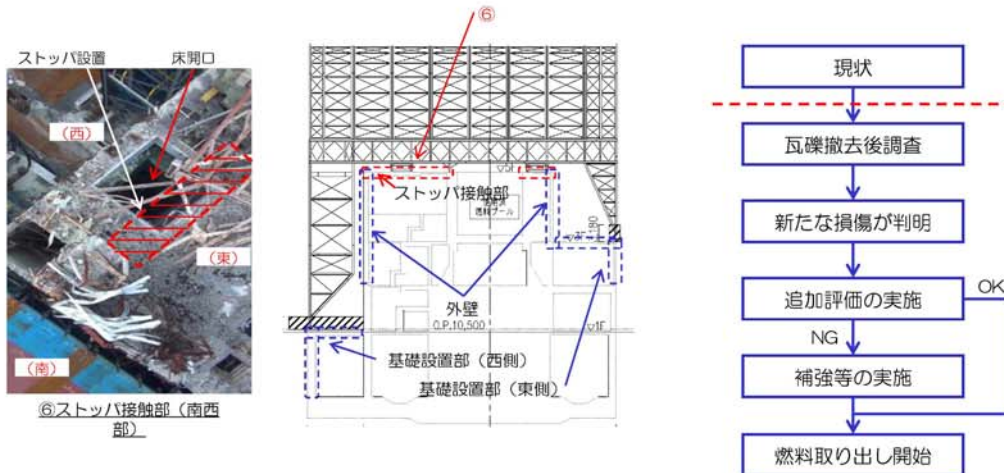
⑤基礎設置部 (東側、内部)

## 6. 建屋損傷の反映状況と今後の予定

### (2) 今後の予定

- ・ ストッパ接触部：瓦礫撤去後にカメラ等による無人調査を予定

今後、燃料取り出し開始前に、瓦礫撤去後予定する建屋オペフロ床の調査結果を基に、安全性の再確認を実施する。



## コメント回答①

①使用期間と設計のクライテリアは密接に関係することから、3号機燃料取り出し用カバーの使用期間を明確に記載すること。仮に、燃料取り出し後も継続使用するのであれば、竜巻、あるいは地震・津波に関わる新安全設計基準にどのように対応するつもりなのかを明確にすること。

### 使用期間

3号機燃料取り出し用カバーの使用期間は、ロードマップに示した「使用済み燃料」取り出し作業に支障がない期間（2017年度頃まで）としている。

その後に計画している「デブリ燃料」取り出し作業に関しては、別の構造体を構築することを想定している。当該構造体については、別途申請する予定である。

ロードマップ（2012年7月）



## コメント回答②

②JSCAのクライテリア（層間変形角1/75、層の塑性率4以下、部材の塑性率5以下を満足すること）については、一般の建築物に採用するクライテリアであるため、使用期間及び耐震安全性の観点から、リスク評価の観点から検討し、燃料取り出し用カバーの設計に適用して支障ないことを説明すること。特に、①とも関係し、ドーム屋根の塑性率に対する検定比が0.90となっていることは、仮に損傷を受けた場合に、補修方法も含めて問題がないか説明すること。

### 1. 評価には、JSCA及び日本建築センター両者のクライテリアを用いている。

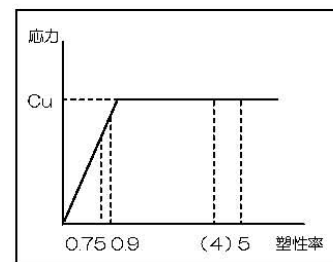
日本建築センターのクライテリアは、層間変形角1/100以下、層の塑性率2以下、部材の塑性率4以下とされており、これを越える場合には、水平変形に伴う鉛直荷重の付加的影響を考慮した解析を実施し、安全性を確認するものとされている。

## コメント回答②

### 2. 評価結果は、JSCA及び日本建築センター両者のクライテリアに対し十分余裕がある結果となっており、十分な耐震安全性を確保している。

| 部位    | 評価項目  | 最大応答値 | 評価クライテリア            | 耐震余裕           |
|-------|-------|-------|---------------------|----------------|
| 門型架構  | 層間変形角 | 1/720 | 1/75以下<br>(1/100以下) | 9.6倍<br>(7.2倍) |
| 門型架構  | 塑性率   | 0.75  | 5以下<br>(4以下)        | 6.6倍<br>(5.3倍) |
| ドーム屋根 | 塑性率   | 0.90  | 5以下<br>(4以下)        | 5.5倍<br>(4.4倍) |

(注) ( ) は、日本建築センター「時刻歴応答解析建築物性能評価業務方法書」の判定基準に基づく値を示す。



門型架構、ドーム屋根の最大塑性率

(注)  $Cu$ は、建築学会鋼構造設計規準、建築基準法告示を基に算定した座屈荷重

### 3. 本構造物の使用期間は、前述の通り一般の建築物に比べ短い。

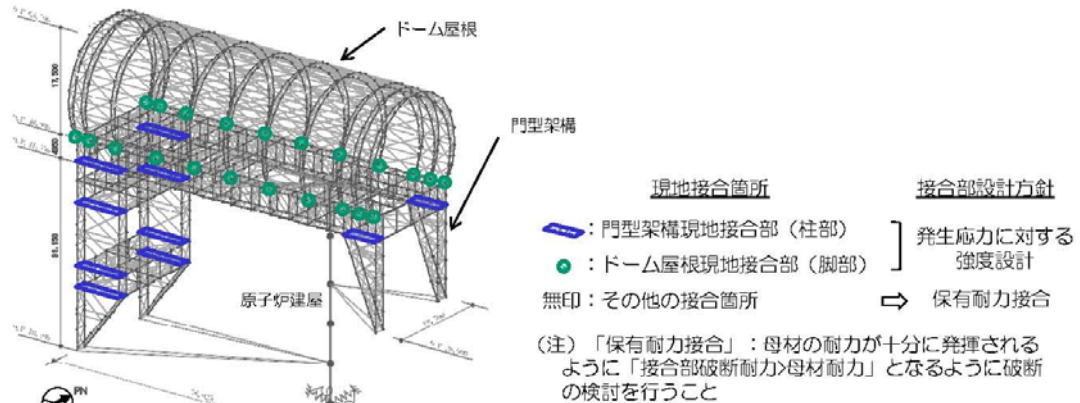
⇒2つのクライテリアを用いること、両者のクライテリアに対し十分余裕があること、使用期間が一般の建築物に比べ短いことから、3号機燃料取り出し用カバーの耐震性評価に適用して支障がないと考えている。

## コメント回答③

③鋼構造において接合部等の詳細設計は耐震安全性を判断する上で重要な審査項目であるので、接合部等の詳細設計結果を追加報告すること。

### 1. 接合部の設計方針

- ・原則として、保有耐力接合（接合部で破断させない設計）とする。
- ・高線量下での作業となる一部の現地接合部については、発生応力に対する強度設計を行う。（強度余裕確保）



## コメント回答③

### 2. 基準地震動Ssに対する接合部の検討結果

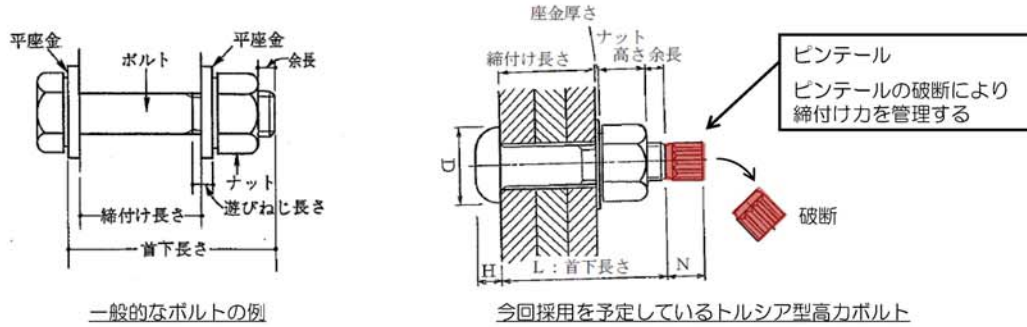
| 架構            | 検討部位          | 設計           | 検定比<br>(最大箇所)             | 耐震余裕 |
|---------------|---------------|--------------|---------------------------|------|
| 門型架構          | 現地接合部<br>(柱部) | 発生応力に対する強度設計 | 0.60 ≤ 1.0<br>(フランジプレート)  | 1.6倍 |
| ドーム屋根         | 現地接合部<br>(脚部) | 発生応力に対する強度設計 | 0.36 ≤ 1.0<br>(スプラインプレート) | 2.7倍 |
| 門型架構<br>ドーム屋根 | その他の接合部       | 保有耐力接合       | 接合部では破断しない                |      |

（注）検定比＝発生応力／接合部破断耐力

## コメント回答④

④立ち入りが難しい場所で施工管理（特に接合部）の計画について説明すること。

1. 有人にて現地作業が行えるよう、除染、遮へいにより作業環境を確保する。
2. ボルト接合部については、短時間の現地作業によって安定した品質確保及び品質管理が可能なトルシア型の高力ボルト接合法を採用する。

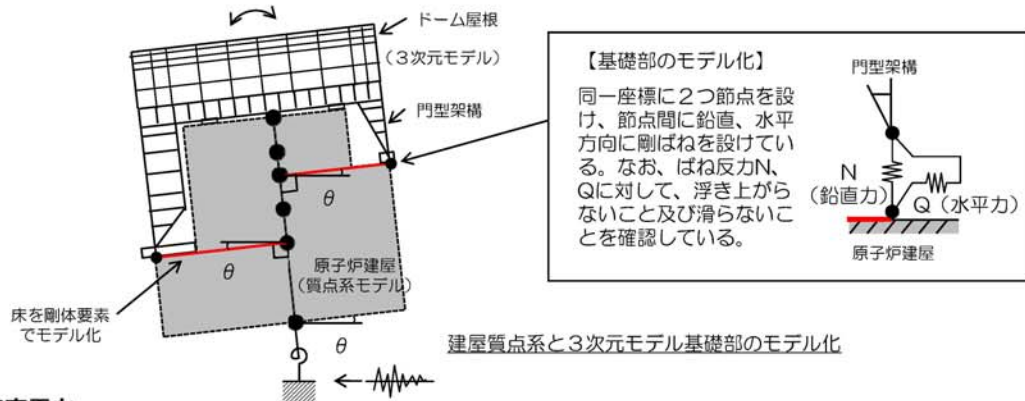


3. 施工品質の管理は、作業完了後に、施工会社（協力会社）が現場環境を考慮し、全数確認（遠隔操作室からのカメラまたはその他のカメラ、あるいは目視）を実施し、東京電力は抜き取りで確認を実施する。

## コメント回答⑤

⑤燃料取り出し用カバーの3次元モデルと原子炉建屋の質点系モデルを連成した地震応答解析モデルにおいて、原子炉建屋の剛体的なロッキング運動による燃料取り出し用カバーへの影響（架構基礎部からの鉛直動入力及び柱脚基礎部の相対変位）を反映されていることについて説明すること。

- ・ 建屋のロッキング運動による影響を模擬するため、距離効果を表現できる剛体要素で建屋質点系モデルと3次元モデルの基礎部を連結する。
- ・ さらに、基礎との連結部には鉛直と水平方向に剛ばねを設け、建屋から架構基礎への入力伝達が表現できる境界条件となっている。

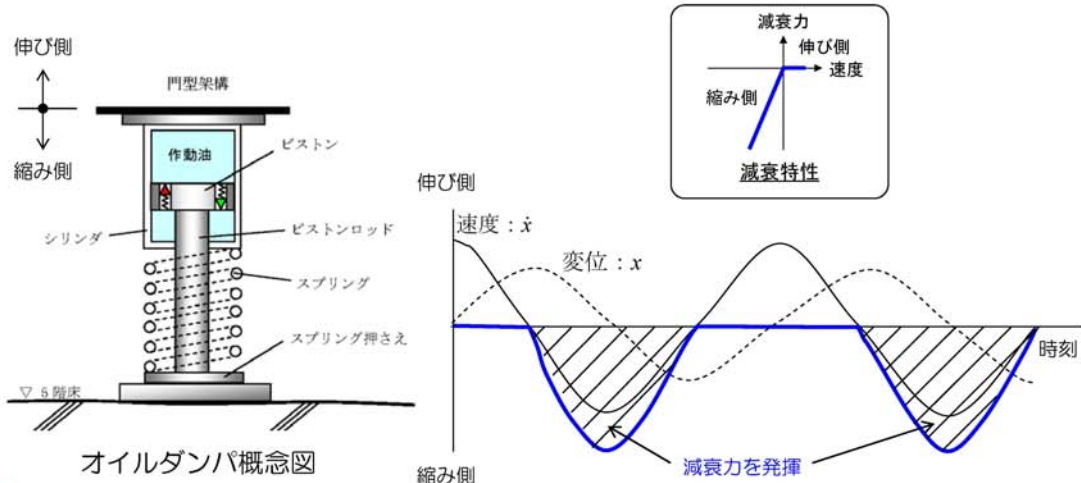


## コメント回答⑥

⑥オイルダンパーの機構が分かりにくいので確認したい。資料に示された復元力特性は、横軸が速度で良いかについて確認したい。

オイルダンパーの減衰特性の横軸は速度を示している。

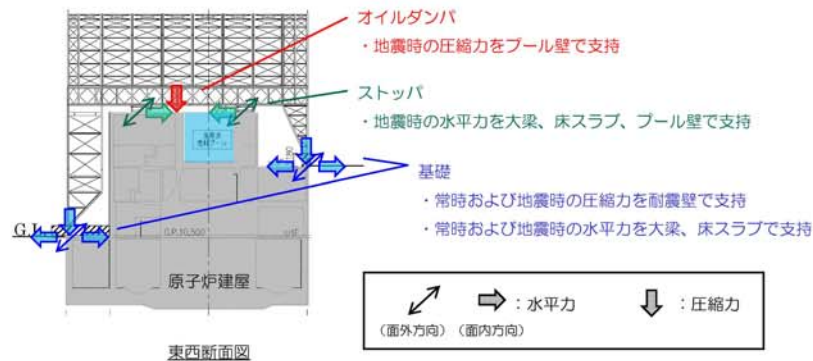
オイルダンパーは、地震時に上下方向の縮み側に変形する場合に減衰力が発生し、伸び側に変形する場合にフリーとなる機構を有している。



## コメント回答⑦

⑦今回設置する構造物の荷重が原子炉建屋にどのようにかかるのか。建屋カバー（燃料取り出し用カバー）を考慮した場合と考慮しない場合の建屋の耐震上の余裕の変化を主要な部分についてまとめて示して欲しい。

- ・燃料取り出し用カバーからの荷重は、ストッパ接触部、オイルダンパ接触部、基礎設置部から原子炉建屋に作用する。
- ・接触部の原子炉建屋躯体については、耐震安全性を確認している。（構造強度 p.43、耐震性 p.67）



## コメント回答⑦

- ・カバー設置前後の、原子炉建屋重量および、建屋の主要な耐震安全指標として、基準地震動Ssによる耐震壁の評価結果を以下に示す。
- ・原子炉建屋に対して、カバー設置による影響はほとんど見られない。



22

## コメント回答⑧

⑧燃料取り出し用カバー東側の2つの支点を支える置き基礎の直下、あるいはダンパの直下の既存コンクリート接触部の鉛直耐力は局所的な損傷等を考慮し十分な余裕を見ているか。あるいは補強などは行わないのか。

- ・燃料取り出し用カバーの基礎およびオイルダンパの支点は、直下に強固な耐震壁(オイルダンパ部はプール壁)のある部分に設定している。
- ・Ss地震時の評価結果は、以下に示す通り3倍以上の余裕のある結果となっている。

原子炉建屋接触部の耐震安全性評価結果

| 部位     | 検討用応力 (kN) | 耐力 (kN) | 耐力比  | 裕度  |
|--------|------------|---------|------|-----|
| 東側基礎   | 7430       | 25900   | 0.29 | 3.4 |
| オイルダンパ | 1250       | 6620    | 0.19 | 5.2 |



## コメント回答⑨

⑨東側置き基礎の滑り摩擦抵抗は直下に接する既存コンクリート部の損傷、凹凸など考慮したものになっているか。

- ・基礎は現地で既存コンクリート上部にコンクリートを流し込む方法で構築している。従って、凹凸などに対し密着性を確保している。
- ・日本建築学会「現場打ち同等型プレキャストコンクリート構造設計指針(案)・同解説(2002)」に様々な条件下での摩擦係数が規定されている。今回の基礎底面の摩擦抵抗は凹凸などは考慮せず、コンクリート-コンクリート間に相当すると考え、摩擦係数として0.6を採用している。

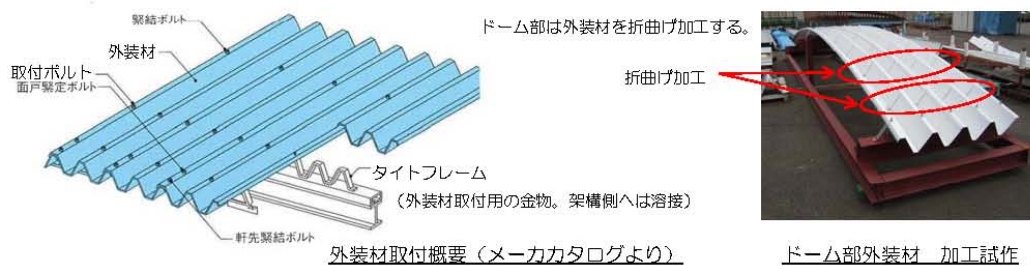
| 境界面の状態                | 摩擦係数 |
|-----------------------|------|
| コンクリート-コンクリート間        | 0.6  |
| 目荒ししたコンクリート-コンクリート間   | 1.0  |
| 一体で打設したコンクリート-コンクリート間 | 1.4  |

- ・なお、米国規準 (AC I 318) でも、日本建築学会と同様、0.6の摩擦係数が規定されている。

## コメント回答⑩

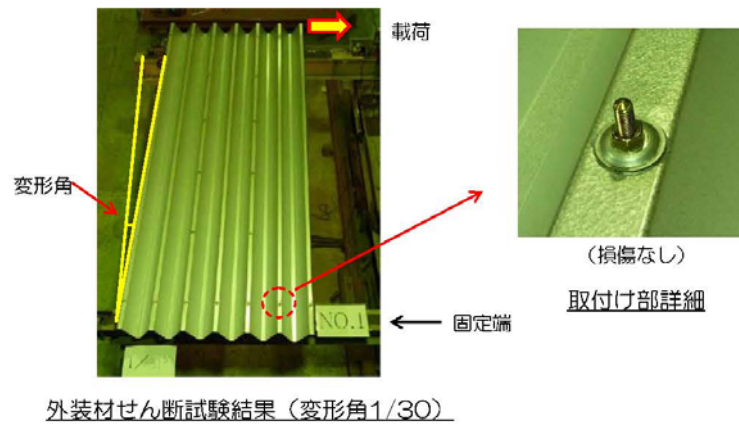
⑩燃料取り出し用カバーの外装材の耐震性は大丈夫か（地震時の層間変形に対して安全な構法か、特に東西面の円形部分）。

- ・外装材は下図に示す通り、ボルトを用いてタイトフレームを介して直接架構に取付ける納まりとなっている。



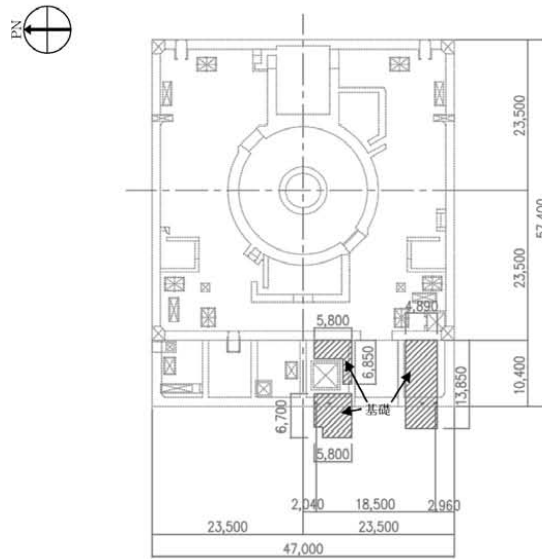
## コメント回答⑩

- ・変形に対する外装材の追従性の確認試験を行い、外装材の変形角1/30でも外装材は外れず、地震時の変形に対して追従性があることを確認している。



## 【参考資料】

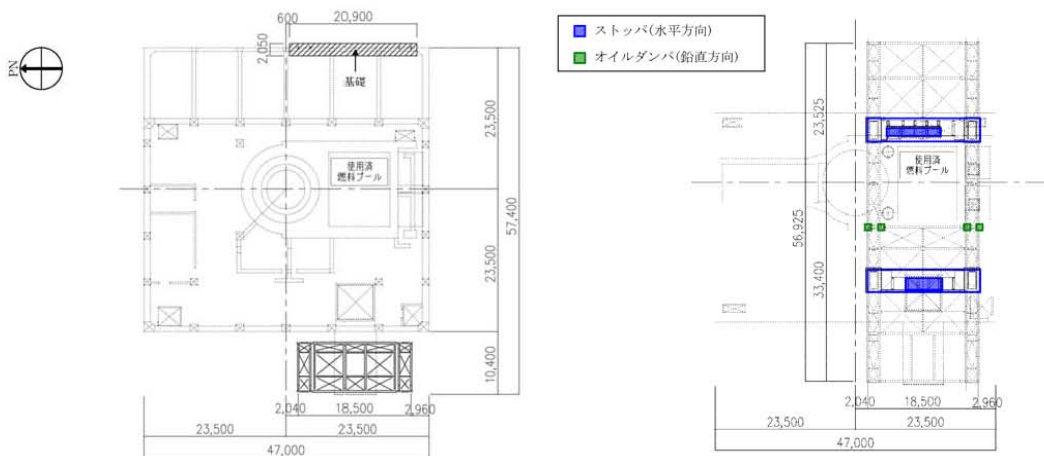
# 参考 1 構造概要



(a) 基礎伏図 (O.P.10,500 原子炉建屋1階レベル+300mm)

燃料取り出し用カバーの概要 (単位: mm)

# 参考 1 構造概要

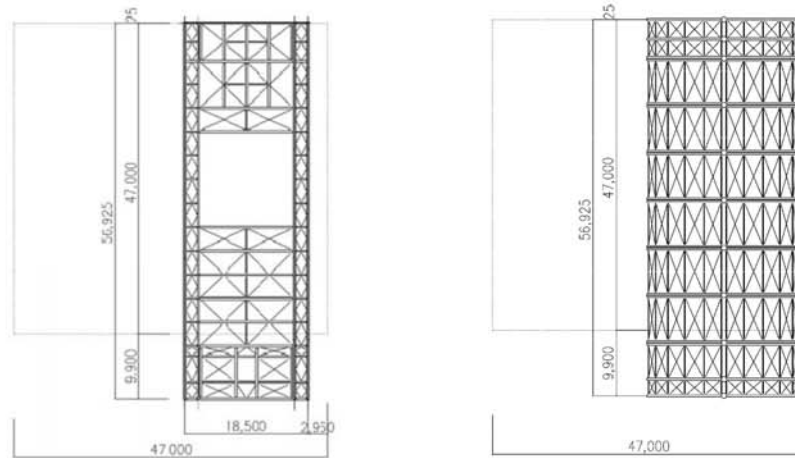


(a) 基礎伏図 (O.P.26,900 原子炉建屋3階)

(b) 梁伏図 (O.P.26,900 原子炉建屋5階)

燃料取り出し用カバーの概要 (単位: mm)

# 参考1 構造概要



(a) 架構カーダー部平面図 (O.P.46,000)

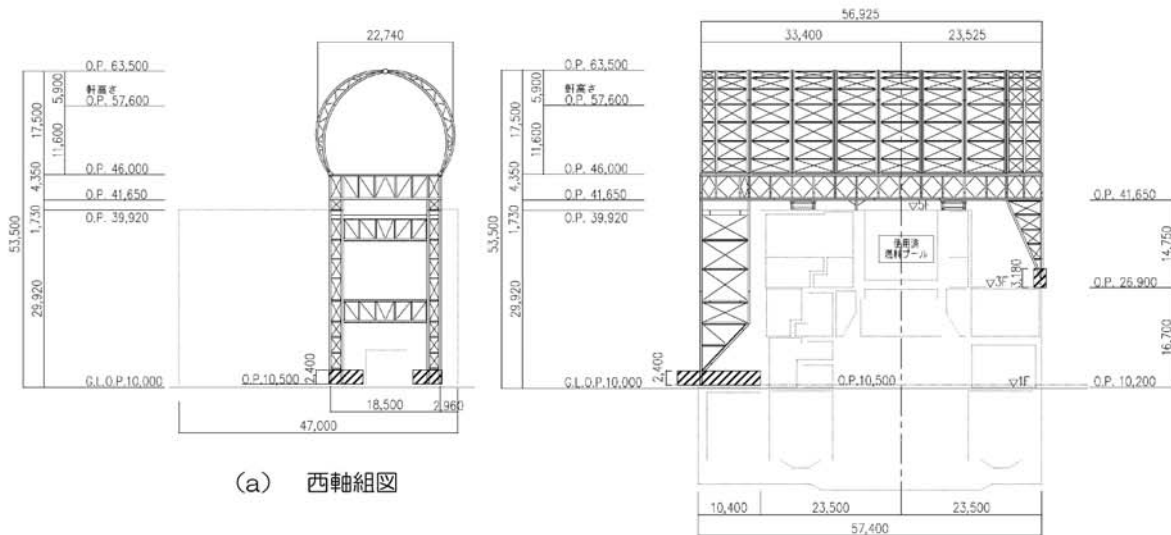
(b) 屋根伏図

燃料取り出し用カバーの概要 (単位: mm)



無断複製・転載禁止 東京電力株式会社

# 参考1 構造概要



(a) 西軸組図

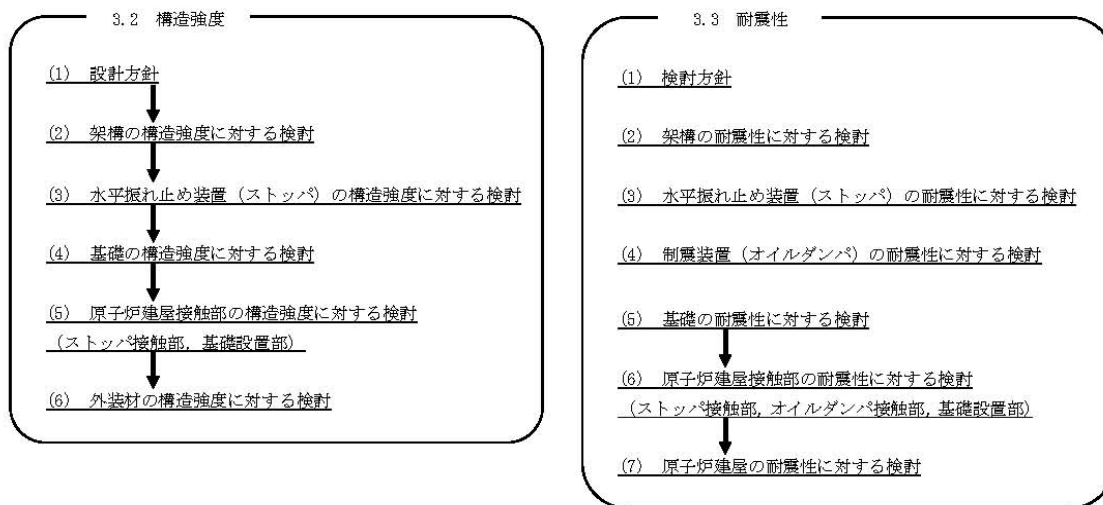
(b) 南軸組図

燃料取り出し用カバーの概要 (単位: mm)



無断複製・転載禁止 東京電力株式会社

## 参考2 検討フロー



## 参考3 構造強度

### (1) 設計方針

#### 1) 使用材料及び許容応力度

材料定数

| 部位  | 材料     | ヤング係数<br>E (N/mm <sup>2</sup> ) | ポアソン比<br>$\nu$ | 単位体積重量<br>$\gamma$ (kN/m <sup>3</sup> ) |
|-----|--------|---------------------------------|----------------|---|
| 架 構 | 鉄骨     | $2.05 \times 10^5$              | 0.3            | 77.0                                    |
| 基 礎 | コンクリート | $2.27 \times 10^4$              | 0.2            | 24.0                                    |

コンクリートの許容応力度

(単位: N/mm<sup>2</sup>)

| 設計基準強度=24 | 長期  |    |      | 短期   |    |       |
|-----------|-----|----|------|------|----|-------|
|           | 圧縮  | 引張 | せん断  | 圧縮   | 引張 | せん断   |
|           | 8.0 | —  | 0.73 | 16.0 | —  | 1.095 |

鉄筋の許容応力度

(単位: N/mm<sup>2</sup>)

| 記号    | 鉄筋径   | 長期     |       | 短期     |       |
|-------|-------|--------|-------|--------|-------|
|       |       | 引張及び圧縮 | せん断補強 | 引張及び圧縮 | せん断補強 |
| SD345 | D29未満 | 215    | 195   | 345    | 345   |
|       | D29以上 | 195    |       |        |       |

構造用鋼材の許容応力度

(単位: N/mm<sup>2</sup>)

| 板厚       | 材料                     | 基準強度F | 許容応力度                   |
|----------|------------------------|-------|-------------------------|
| T ≤ 40mm | SS400, SN400B          | 235   | 「鋼構造設計規準」に従い、左記Fの値より求める |
| T > 40mm | SN400B                 | 215   |                         |
| T ≤ 40mm | SM490A, SN490B, STK490 | 325   |                         |
| —        | STKT590                | 440*  |                         |

\* 「JIS G 3474-2008」による

## 参考3 構造強度

### (1) 設計方針

### 2) 荷重及び荷重組合せ

#### ・鉛直荷重 (VL)

燃料取り出し用カバーに作用する鉛直方向の荷重で、固定荷重、機器荷重、配管荷重及び積載荷重とする。

#### ・燃料取扱設備荷重 (CL)

|       |        |
|-------|--------|
| 燃料取扱機 | 788 kN |
| クレーン  | 755 kN |
| 吊荷    | 461 kN |

#### ・積雪荷重 (SL)

積雪荷重は建築基準法施行令及び福島県建築基準法施行規則細則に準拠し以下の条件とする。

積雪量：30cm、単位荷重：20N/m<sup>2</sup>/cm

#### ・風圧力 (WL)

建築基準法施行令第87条に基づき、基準風速を30m/s、地表面粗度区分Ⅱとして算定する。

| 建物高さ* | 平均風速の鉛直分布係数 | ガスト影響係数 | 建物高さと粗度区分による係数 | 基準風速     | 速度圧                   |
|-------|-------------|---------|----------------|----------|-----------------------|
| H (m) | Er          | Gf      | E              | Vo (m/s) | q (N/m <sup>2</sup> ) |
| 50.55 | 1.27        | 2.00    | 3.23           | 30       | 1750                  |



東京電力

※：建物高さは、軒高さ (47.60m) と最高高さ (53.50m) の平均値とした

無断複製・転載禁止 東京電力株式会社

34

## 参考3 構造強度

### (1) 設計方針

### 2) 荷重及び荷重組合せ

#### ・地震荷重 (K)

燃料取り出し用カバーに作用させる地震荷重は、O.P.-2.06m (原子炉建屋基礎スラブ上端レベル) を基準面とした原子炉建屋の水平地震力の算定結果より設定する。原子炉建屋の水平地震力は下式より算定する。

$$Q_i = n \cdot C_i \cdot W_i$$

$$C_i = Z \cdot R_t \cdot A_i \cdot C_0$$

Q<sub>i</sub> : 水平地震力 (kN)

n : 施設の重要度に応じた係数 (n=1.5)  
建築基準法で定める地震力の1.5倍を考慮する。

C<sub>i</sub> : 地震層せん断力係数

Z : 地震地域係数 (Z=1.0)

R<sub>t</sub> : 振動特性係数 (R<sub>t</sub>=1.0)

A<sub>i</sub> : 地震層せん断力係数の高さ方向の分布係数で、  
原子炉建屋の固有値を用いたモーダル解析法 (二乗和平方根法) より求める。

C<sub>0</sub> : 標準せん断力係数 (C<sub>0</sub>=0.2)



東京電力

無断複製・転載禁止 東京電力株式会社

35

## 参考3 構造強度

### (1) 設計方針

### 2) 荷重及び荷重組合せ

#### ・地震荷重 (K)

i層の水平地震力は下式より算定する。

$$P_i = Q_i - Q_{i-1}$$

$$k_i = P_i / w_i$$

$P_i$  : 当該階とその直下の水平地震力の差 (kN)

$w_i$  : 各階重量 (kN)

架構に作用させる水平地震度は、原子炉建屋1階、3階及び5階の水平地震度を用いるものとし、水平地震力を設定する。ドーム屋根部分の水平地震度は、建設省告示第1389号に基づく1.0に1.5を乗じて用いる。表3.2-7に燃料取り出し用カバーに作用させる水平地震力の算定結果を示す。

水平地震力の算定結果

| 標高<br>O.P.(m) | 各階重量<br>$w_i$ (kN) | NS方向           |                     | EW方向           |                     |
|---------------|--------------------|----------------|---------------------|----------------|---------------------|
|               |                    | 水平地震度<br>$k_i$ | 水平地震力<br>$P_i$ (kN) | 水平地震度<br>$k_i$ | 水平地震力<br>$P_i$ (kN) |
| 63.50         | 3200               | 1.500          | 4800                | 1.500          | 4800                |
| 46.00         | 11400              | 0.492          | 5609                | 0.555          | 6327                |
| 26.90         | 200                | 0.286          | 57                  | 0.272          | 54                  |
| 10.20         | 1200               | 0.099          | 119                 | 0.103          | 124                 |

## 参考3 構造強度

### (1) 設計方針

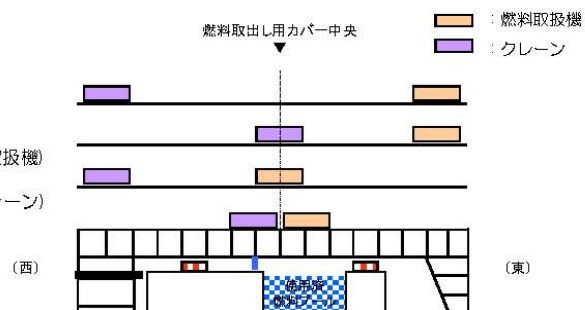
### 2) 荷重及び荷重組合せ

位置A：両端

位置B：中央(クレーン)+東端(燃料取扱機)

位置C：中央(燃料取扱機)+西端(クレーン)

位置D：中央



燃料取り出し用カバーの荷重組合せ

| 想定する状態 | 荷重ケース | 荷重組合せ内容          | 許容応力度 |
|--------|-------|------------------|-------|
| 常時     | C     | VL+CL*1          | 長期    |
| 積雪時*3  | S     | VL+CL*1+SL       | 短期    |
| 暴風時*3  | W     | VL+CL*1+WL       |       |
| 地震時    | E1    | VL+CL*1+K(+NS)*2 |       |
|        | E2    | VL+CL*1+K(-NS)*2 |       |
|        | E3    | VL+CL*1+K(+EW)*2 |       |
|        | E4    | VL+CL*1+K(-EW)*2 |       |

\*1：吊荷荷重は、常時、積雪時及び暴風時は上図に示すクレーンの位置、地震時は使用済燃料プール直上の架構にて考慮する。

\*2：地震荷重はNS方向及びEW方向を考慮する。

\*3：短期事象では地震時が支配的であることから、積雪時及び暴風時の検討は省略する。

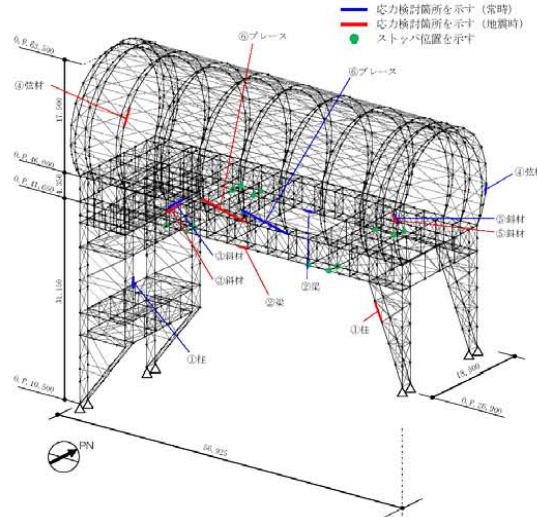
ただし、外装材の検討は暴風時が支配的であることから暴風時に対し検討を行う。

# 参考3 構造強度

## (2) 架構の強度設計構造強度に対する検討

### 1) 解析モデル

架構の解析モデルは、門型架構及びドーム屋根を構成する主要な鉄骨部材からなる立体架構モデルとする。下図に架構の立体解析モデルを示す。解析モデルの柱脚部はピン支持、ストッパ取り付け部は水平方向のみピン支持とする。



解析モデル図 (単位: mm)

# 参考3 構造強度

## (2) 架構の強度設計構造強度に対する検討

### 2) 断面検討

応力度比の検討は「鋼構造設計規準」に従い、検討を行う。

全ての部材に対する応力度比が1以下になることを確認した。

断面検討結果 (常時)

| 部 位*1     |        | 部材形状<br>(mm)<br><使用材料>           | 荷重ケース<br>(位置) *2 | 作用<br>応力度<br>(N/mm <sup>2</sup> ) | 許容<br>応力度<br>(N/mm <sup>2</sup> ) | 応力度比 | 判定 |
|-----------|--------|----------------------------------|------------------|-----------------------------------|-----------------------------------|------|----|
| 門型<br>架構  | ① 柱    | H-350×350<br>×12×19<br><SM490>   | C<br>(D)         | 圧縮<br>77.4                        | 164                               | 0.48 | OK |
|           | ② 梁    | H-350×350<br>×12×19<br><SM490>   | C<br>(D)         | 引張<br>91.4                        | 216                               | 0.43 | OK |
|           | ③ 斜材   | 2ls-150×75<br>×6.5×10<br><SM490> | C<br>(D)         | 圧縮<br>103.0                       | 120                               | 0.86 | OK |
| ドーム<br>屋根 | ④ 弦材   | φ-318.5×6.9<br><STKT590>         | C<br>(B)         | 引張<br>33.5                        | 293                               | 0.12 | OK |
|           | ⑤ 斜材   | φ-139.8×4.5<br><STK490>          | C<br>(B)         | 圧縮<br>43.4                        | 203                               | 0.22 | OK |
|           | ⑥ ブレース | φ-114.3×4.5<br><STK490>          | C<br>(D)         | 圧縮<br>19.4                        | 92                                | 0.22 | OK |

\*1: ①~⑥の符号はP24の応力検討箇所を示す

\*2: P23に示す燃料取扱設備の位置を示す



# 参考3 構造強度

## (2) 架構の強度設計構造強度に対する検討

### 2) 断面検討

断面検討結果（地震時）

| 部 位*1     |   | 部材形状<br>(mm)<br>〈使用材料〉                 | 荷重ケース<br>(位置)*2 | 作用<br>応力度<br>(N/mm <sup>2</sup> ) | 許容<br>応力度<br>(N/mm <sup>2</sup> ) | 応力度比 | 判定 |
|-----------|---|--|-----------------|-----------------------------------|-----------------------------------|------|----|
| 門型<br>架構  | ① | 柱<br>H-350×350<br>×12×19<br>〈SM490〉    | E1<br>(D)       | 圧縮<br>138.9                       | 289                               | 0.49 | OK |
|           | ② | 梁<br>H-350×350<br>×12×19<br>〈SM490〉    | E1<br>(D)       | 引張<br>108.3                       | 324                               | 0.34 | OK |
|           | ③ | 斜材<br>2[s-150×75<br>×6.5×10<br>〈SM490〉 | E1<br>(D)       | 圧縮<br>164.5                       | 180                               | 0.92 | OK |
| ドーム<br>屋根 | ④ | 弦材<br>φ-267.4×6.6<br>〈STKT590〉         | E1<br>(D)       | 圧縮<br>155.2                       | 396                               | 0.40 | OK |
|           | ⑤ | 斜材<br>φ-139.8×4.5<br>〈STK490〉          | E3<br>(A)       | 圧縮<br>165.8                       | 304                               | 0.55 | OK |
|           | ⑥ | ブレース<br>φ-114.3×4.5<br>〈STK490〉        | E3<br>(D)       | 圧縮<br>80.6                        | 138                               | 0.59 | OK |

\*1：①～⑥の符号はP24の応力検討箇所を示す

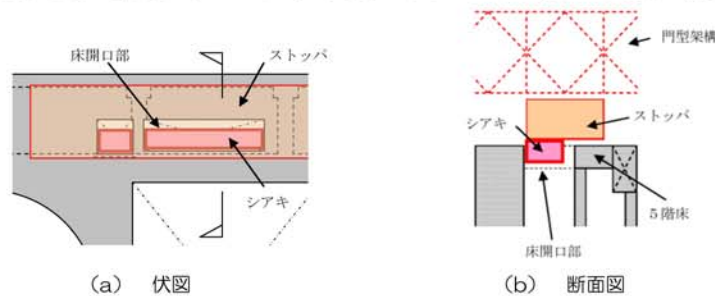
\*2：P23に示す燃料取扱設備の位置を示す

# 参考3 構造強度

## (3) 水平振れ止め装置（ストップ）の構造強度に対する検討

架構と原子炉建屋を結んだバネ材に発生する水平力の最大値が、床開口に差し込むシアキの短期許容せん断力以下であることを確認する。全ての部材に対する応力度比が1以下になることを確認した。

なお、原子炉建屋と水平振れ止め装置（ストップ）の接触部については、設置前において、本説明書で想定しているように、施工に十分な状況かどうか、雰囲気線量等の作業安全性を鑑みながら、可能な範囲で確認した点検結果を別途報告するとともに、不具合が見つかった場合には適切に補修等を実施する。



ストップ概要図

全てのストップに対する応力比が1以下になることを確認した。

断面検討結果（常時）

| 部位     | 荷重ケース<br>(位置)* | ストップ反力<br>Q(kN) | 短期許容せん断力<br>Qa(kN) | 応力比<br>Q/Qa | 判定 |
|--------|----------------|-----------------|--------------------|-------------|----|
| 東側ストップ | E4<br>(A)      | 2560            | 8620               | 0.30        | OK |

\*：P23に示す燃料取扱設備の位置を示す

## 参考3 構造強度

### (4) 基礎の構造強度に対する検討

基礎の浮き上がりに対しては基礎反力（圧縮力を正）の最小値が0以上であることを確認し、基礎のすべりに対しては基礎反力の水平力が許容摩擦力以下であることを確認する。

なお、基礎底面の摩擦係数は「現場打ち同等型プレキャスト鉄筋コンクリート構造設計指針(案)・同解説(2002)」に準じて、0.6とする。

基礎浮き上がりの検討の結果、全ての基礎の最小圧縮力が0以上であることを確認した。

基礎浮き上がりの検討結果

| 部位           | 荷重ケース<br>(位置)* | 最小圧縮力<br>N(kN) | 判定 |
|--------------|----------------|----------------|----|
| 東側柱脚<br>(北側) | E1<br>(C)      | 1990           | OK |

\*: P23に示す燃料取扱設備の位置を示す

基礎すべりの検討の結果、全ての基礎に対する応力比が1以下になることを確認した。

基礎すべりの検討結果

| 部位   | 荷重ケース<br>(位置)* | 水平力<br>Q(kN) | 許容摩擦力<br>Va(kN) | 応力比<br>Q/Va | 判定 |
|------|----------------|--------------|-----------------|-------------|----|
| 東側柱脚 | C (D)          | 2410         | 5270            | 0.46        | OK |
|      | E4 (D)         | 2430         | 4580            | 0.54        | OK |

\*: P23に示す燃料取扱設備の位置を示す

## 参考3 構造強度

### (5) 原子炉建屋接触部の構造強度に対する検討

#### 1) ストッパ接触部

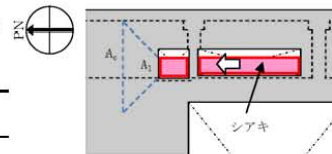
ストッパ接触部の構造強度の検討では、ストッパ水平反力が、既存躯体の短期許容支圧力以下になることを確認する。なお、許容支圧応力度は、原子炉建屋の設計基準強度(22.1N/mm<sup>2</sup>)を用いて「プレストレストコンクリート設計施工規程・同解説」に基づき算出する。

全てのストッパ接触部に対する応力比が1以下になることを確認した。

ストッパ接触部の検討結果

| 部位     | 荷重ケース<br>(位置)* | ストッパ水平反力<br>N(kN) | 短期許容支圧力<br>Na(kN) | 応力比<br>N/Na | 判定 |
|--------|----------------|-------------------|-------------------|-------------|----|
| 東側ストッパ | E2<br>(B)      | 3980              | 10300             | 0.39        | OK |

\*: P23に示す燃料取扱設備の位置を示す



#### 2) 基礎設置部

柱脚の鉛直反力により生じる直下壁の軸力が壁の許容軸力以下であることを確認する。

全ての基礎設置部に対する応力比が1以下になることを確認した。

壁の圧縮力の検討結果

| 部位           | 荷重ケース<br>(位置)* | 軸力<br>N(kN) | 許容軸力<br>Na(kN) | 応力比<br>N/Na | 判定 |
|--------------|----------------|-------------|----------------|-------------|----|
| 東側柱脚<br>(南側) | C (B)          | 4280        | 12900          | 0.34        | OK |
|              | E1 (B)         | 6540        | 25900          | 0.26        | OK |

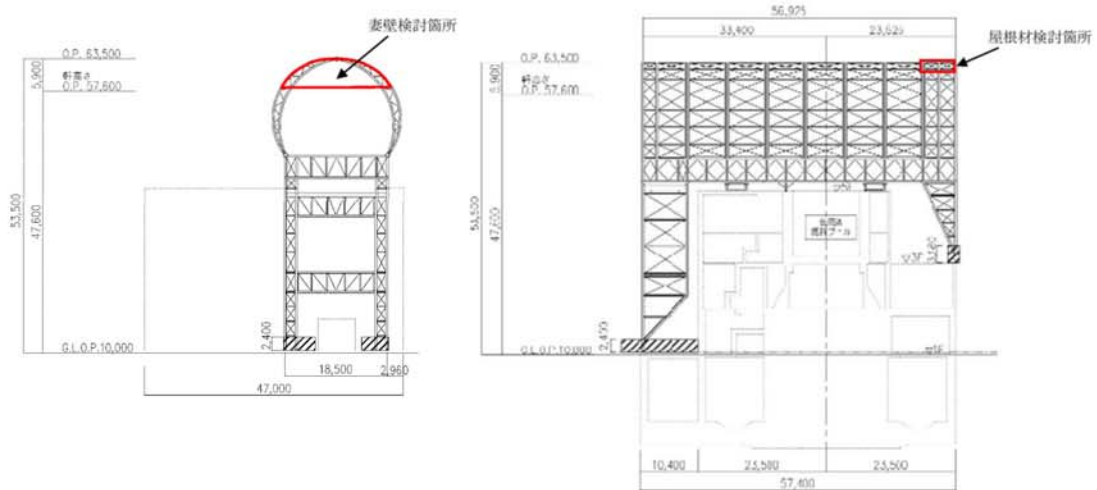
\*: P23に示す燃料取扱設備の位置を示す

## 参考3 構造強度

### (6) 外装材の構造強度に対する検討

#### 1) 検討箇所

架構の屋根面及び側面を覆う外装材は、折板を用いる。強度検討は、壁材、屋根材それぞれに風圧力により生じる応力度が短期許容応力度以下であることを確認する。



外装材検討箇所 (単位: mm)

## 参考3 構造強度

### (6) 外装材の構造強度に対する検討

#### 3) 外装材の強度検討

全ての外装材に対する応力度比が1以下になることを確認した。

屋根材及び壁材の材料諸元

| 板厚     | 自重                    | 正曲げ方向                               |                                     | 負曲げ方向                               |                                     |
|--------|-----------------------|-------------------------------------|-------------------------------------|-------------------------------------|-------------------------------------|
|        |                       | 断面2次モーメント                           | 断面係数                                | 断面2次モーメント                           | 断面係数                                |
| t (mm) | G (N/m <sup>2</sup> ) | I <sub>x</sub> (cm <sup>4</sup> /m) | Z <sub>x</sub> (cm <sup>3</sup> /m) | I <sub>x</sub> (cm <sup>4</sup> /m) | Z <sub>x</sub> (cm <sup>3</sup> /m) |
| 0.8    | 118                   | 360                                 | 43.6 (13.1*)                        | 347                                 | 40.6 (12.2*)                        |

\*: 括弧内の数値は折曲加工部を示す

応力度に対する検討結果

| 部位    | 作用応力度 (N/mm <sup>2</sup> ) | 許容応力度 (N/mm <sup>2</sup> ) | 応力度比 | 判定 |
|-------|----------------------------|----------------------------|------|----|
| ドーム屋根 | 189                        | 205*                       | 0.93 | OK |
| 妻壁    | 109                        | 205*                       | 0.54 | OK |

\*: 「JIS G 3321-2010」による

(注) ドーム屋根外装材については、設計風圧力の約4倍の耐力を有することを試験により確認している。

## 参考4 耐震性

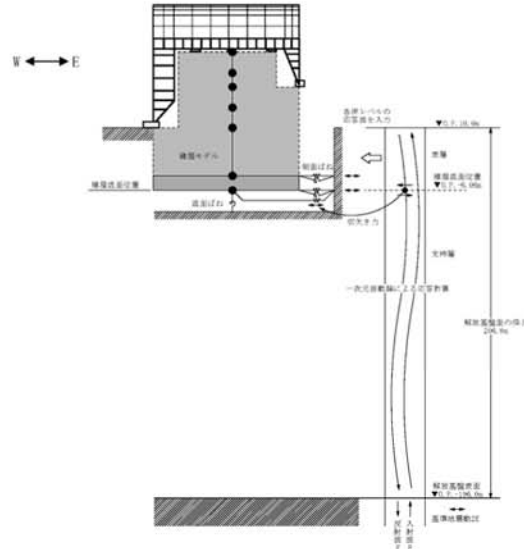
### (1) 検討方針

耐震性の検討は、架構、水平振れ止め装置（ストッパ）、制震装置（オイルダンパ）、基礎、原子炉建屋接触部及び原子炉建屋の健全性について行い、基準地震動 $S_s$ に対して、これらの応答性状を適切に表現できる地震応答解析を用いて評価する。なお、地震応答解析は水平方向及び鉛直方向を同時に入力する。

### (2) 架構の耐震性に対する検討

#### 1) 解析に用いる入力地震動

検討用地震動は、「福島第一原子力発電所『発電用原子炉施設に関する耐震設計審査指針』の改訂に伴う耐震安全性評価結果 中間報告書」（東京電力株式会社、平成20年3月31日）にて作成した解放基盤表面で定義される基準地震動 $S_s$ を用いる。



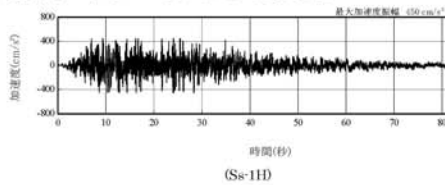
地震応答解析に用いる入力地震動の概念図

無断複製・転載禁止 東京電力株式会社

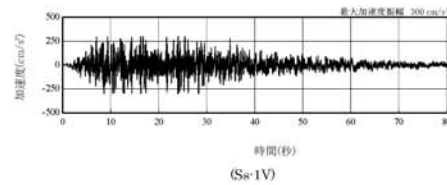
## 参考4 耐震性

### (2) 架構の耐震性に対する検討

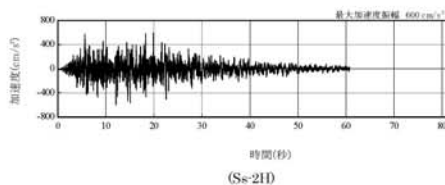
#### 1) 解析に用いる入力地震動



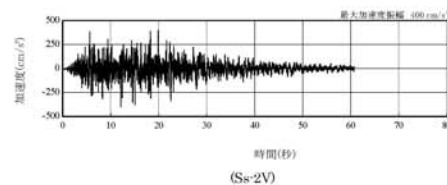
(Ss-1H)



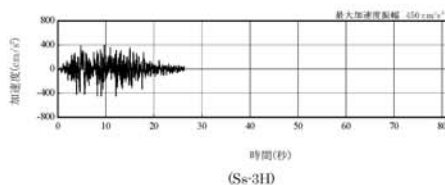
(Ss-1V)



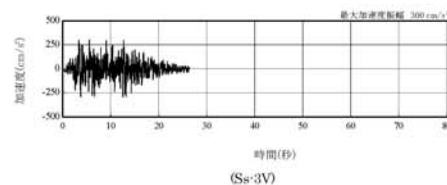
(Ss-2H)



(Ss-2V)



(Ss-3H)



(Ss-3V)

解放基盤表面位置における地震動の  
加速度時刻歴波形(水平方向)

解放基盤表面位置における地震動の  
加速度時刻歴波形(鉛直方向)



無断複製・転載禁止 東京電力株式会社

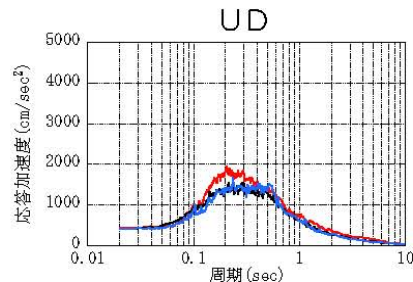
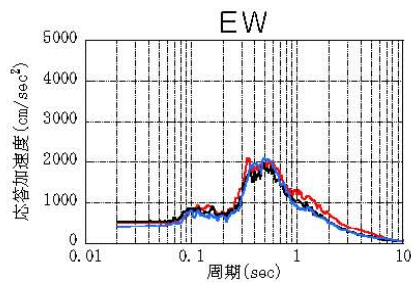
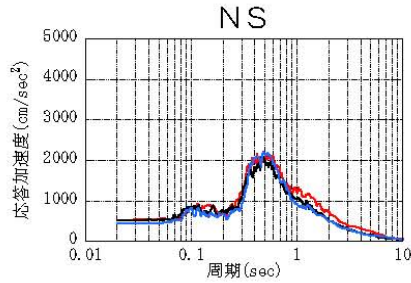
# 参考4 耐震性

## (2) 架構の耐震性に対する検討

### 1) 解析に用いる入力地震動

建屋質点の応答解析結果（カバー架構の入力地震動に相当）

1F



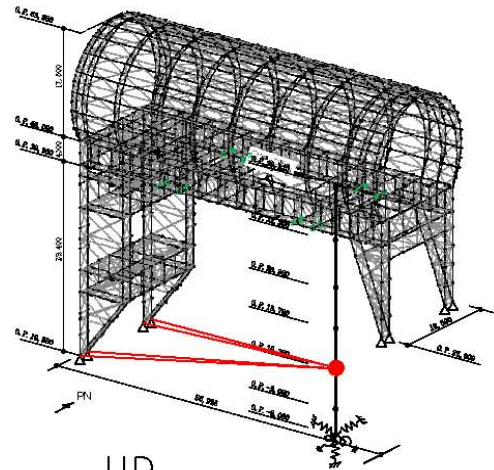
(h=2%)

- Ss-1
- Ss-2
- Ss-3



東京電力

無断複製・転載禁止 東京電力株式会社



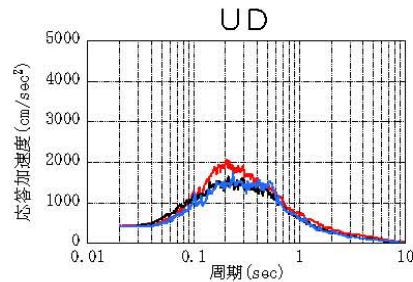
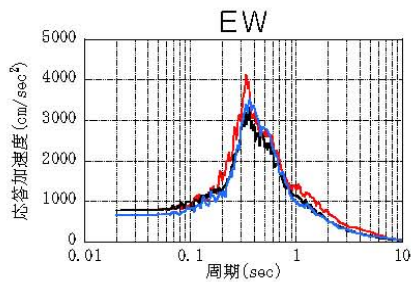
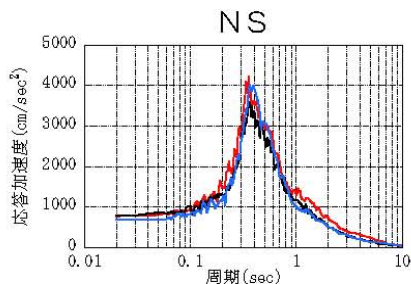
# 参考4 耐震性

## (2) 架構の耐震性に対する検討

### 1) 解析に用いる入力地震動

建屋質点の応答解析結果（カバー架構の入力地震動に相当）

5F



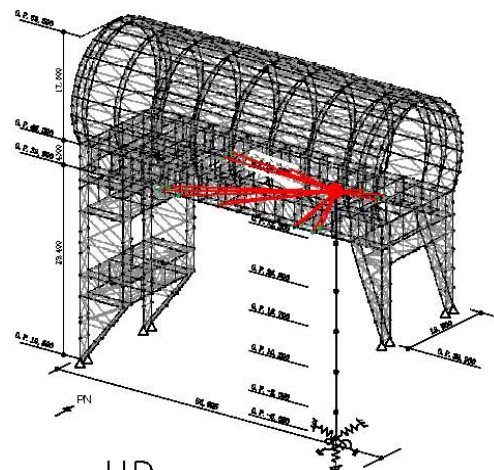
(h=2%)

- Ss-1
- Ss-2
- Ss-3



東京電力

無断複製・転載禁止 東京電力株式会社

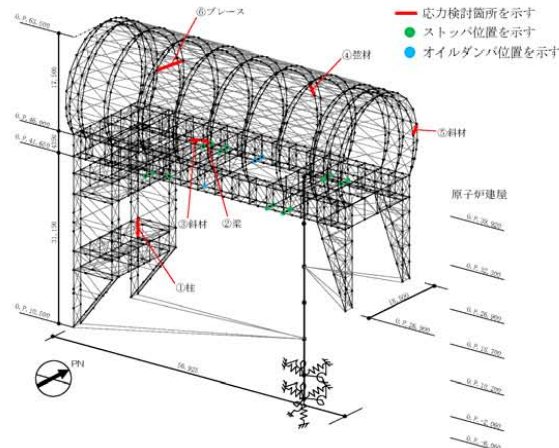


## 参考4 耐震性

### (2) 架構の耐震性に対する検討

#### 2) 地震応答解析モデル

地震応答解析モデルは、門型架構及びドーム屋根を構成する主要な鉄骨部材からなる立体架構を原子炉建屋の質点系モデルに接続した下図に示すモデルとし、地盤を等価なばねで評価した建屋-地盤連成系モデルとする。ストップ取り付け部は原子炉建屋5階質点（O.P.39.92 m）と水平方向同一変位条件とし、鉛直方向の制震装置（オイルダンパ）は原子炉建屋の5階床上面4箇所（門型架構と5階床の鉛直方向相対変位が減少する場合に減衰力を発揮するばねに置換して立体架構モデルに組み込んでいる。



地震応答解析モデル（単位：mm）

## 参考4 耐震性

### (2) 架構の耐震性に対する検討

#### 2) 地震応答解析モデル

地震応答解析に用いる物性値を下表に示す。門型架構及びドーム屋根の部材接合部の質点は仕上げ材等を考慮した重量とし、原子炉建屋の質点は瓦礫撤去の重量等を反映したP38に示す重量とする。門型架構の柱・梁及びドーム屋根の弦材は弾性部材とし、その他ブレース等は「鉄骨X型ブレース架構の復元力特性に関する研究」（日本建築学会構造工学論文集37B号 1991年3月）に示されている修正若林モデルによる。また、原子炉建屋は、曲げとせん断に「JEAG 4601-1991」に示されている非線形特性を考慮する。

地震応答解析に用いる物性値

| 部位 | 材料 | ヤング係数<br>E(N/mm <sup>2</sup> ) | ポアソン比<br>$\nu$ | 単体積重量<br>$\gamma$ (kN/m <sup>3</sup> ) | 減衰定数<br>h(%) | 備考                              |
|----|----|--------------------------------|----------------|--|--------------|---------------------------------|
| 架構 | 鉄骨 | 2.05×10 <sup>5</sup>           | 0.3            | 77.0                                   | 2            | SS400,SM490A,<br>STK490,STKT590 |

## 参考4 耐震性

### (2) 架構の耐震性に対する検討

#### 2) 地震応答解析モデル

地震応答解析モデルのうち原子炉建屋の地震応答解析モデルの諸元

(a)水平(NS)方向

| 標高<br>O.P. (m) | 質点重量*<br>W (kN) | 回転慣性重量<br>$I_g (\times 10^5 \text{ kN} \cdot \text{m}^2)$ | せん断断面積<br>$A_s (\text{m}^2)$  | 断面二次モーメント<br>$I (\text{m}^4)$ |
|----------------|-----------------|---|---|-------------------------------|
| 39.92          | 72990           | 76.95   |   |                               |
| 32.3           | 119490          | 238.33  | 145.3   | 9598                          |
| 26.9           | 111140          | 204.58  | 146.1   | 29271                         |
| 18.7           | 130160          | 239.58  | 237.3   | 56230                         |
| 10.2           | 252510          | 464.88  | 208.6   | 60144                         |
| -2.06          | 301020          | 554.17  | 458.7   | 112978                        |
| -6.06          | 127000          | 233.79  | 2697.8  | 496620                        |
| 合計             | 1114310         |   | ヤング係数 $E_c$ $2.57 \times 10^7 (\text{kN}/\text{m}^2)$<br>せん断弾性係数 $G$ $1.07 \times 10^7 (\text{kN}/\text{m}^2)$<br>ポアソン比 $\nu$ 0.20<br>減衰 $h$ 5% |                               |

\* 「福島第一原子力発電所の原子炉建屋の現状の耐震安全性および補強等に関する検討に係る報告書(その2)」(東京電力株式会社, 平成23年7月13日)において用いた各階重量に互換除去等による重量増減を考慮した数値(ただし, 門型架構の重量12800kN及びドーム屋根重量3200kNは含まない)

地盤定数は, 「福島第一原子力発電所『発電用原子炉施設に関する耐震設計審査指針』の改訂に伴う耐震安全性評価結果 中間報告書」(東京電力株式会社, 平成20年3月31日)と同様とする。原子炉建屋の地盤ばねは, 「JEAG 4601-1991」に示されている手法を参考にして, 底面地盤を成層補正し振動アドミッタンス理論によりスウェイ及びロッキングばねを, 側面地盤をNovakの方法により建屋側面ばねを評価した。

## 参考4 耐震性

### (2) 架構の耐震性に対する検討

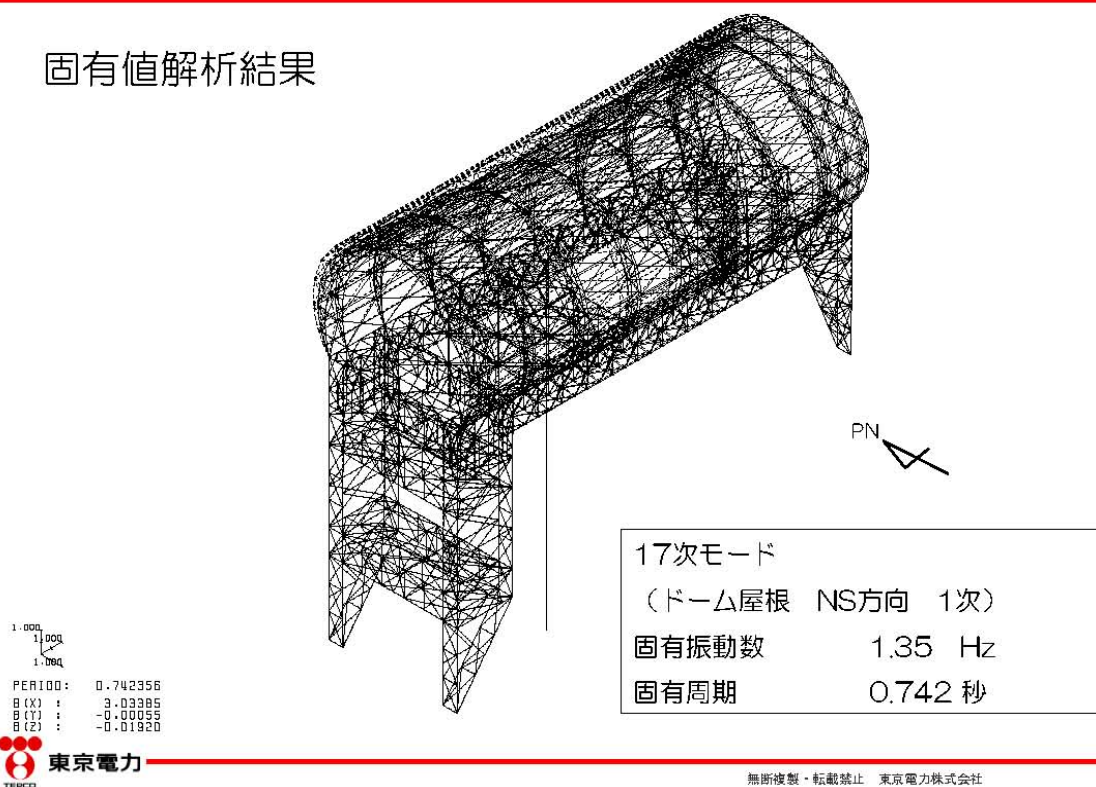
#### 2) 地震応答解析モデル

固有値解析結果

| 次数 | 固有振動数<br>(Hz) | 固有周期<br>(秒) | 刺激係数          |               |               | 備考               |
|----|---------------|-------------|---------------|---------------|---------------|------------------|
|    |               |             | NS方向<br>(X方向) | EW方向<br>(Y方向) | UD方向<br>(Z方向) |                  |
| 17 | 1.35          | 0.742       | 3.034         | -0.001        | -0.019        | ドーム屋根NS方向1次      |
| 25 | 1.78          | 0.561       | -0.056        | 2.478         | 0.422         | ドーム屋根EW方向1次      |
| 33 | 2.53          | 0.396       | 2.914         | -0.031        | -0.045        | 門型架構・原子炉建屋NS方向1次 |
| 34 | 2.65          | 0.377       | -0.111        | -7.751        | -0.073        | 門型架構・原子炉建屋EW方向1次 |
| 35 | 2.94          | 0.340       | 2.165         | -0.950        | 4.500         | 門型架構UD方向1次       |
| 54 | 4.30          | 0.233       | -0.428        | 0.038         | -40.498       | 原子炉建屋UD方向1次      |

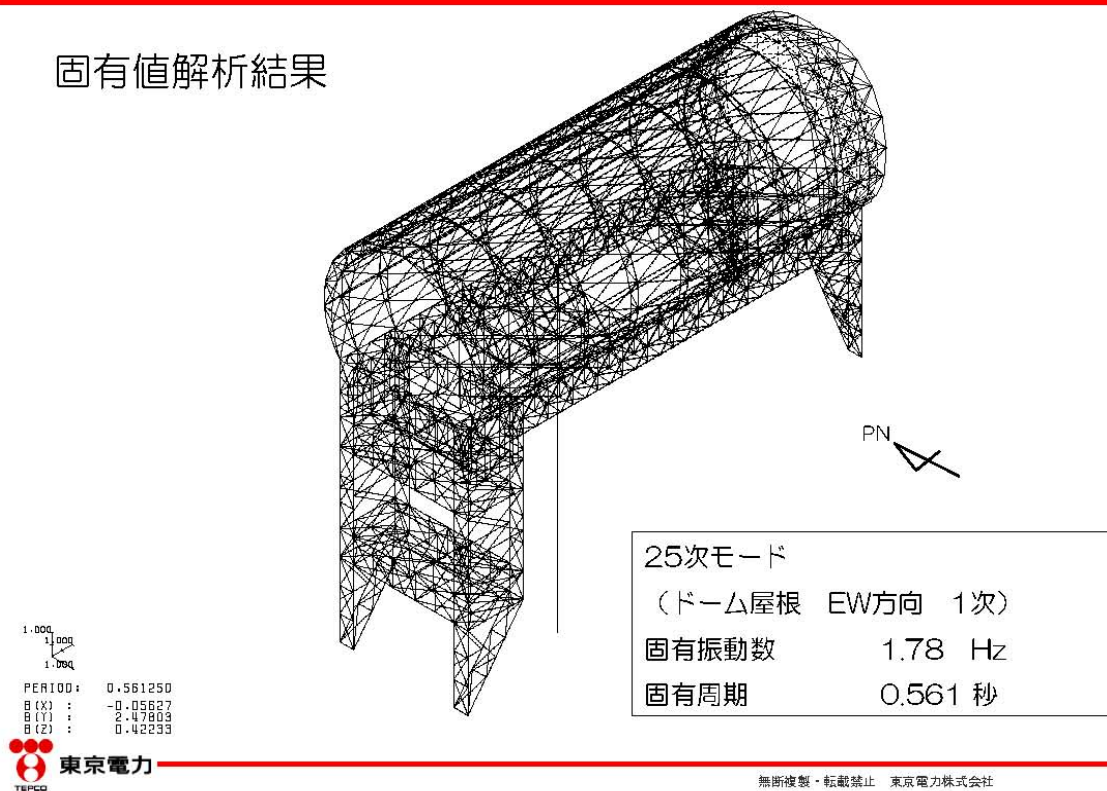
## 参考4 耐震性

### 固有値解析結果



## 参考4 耐震性

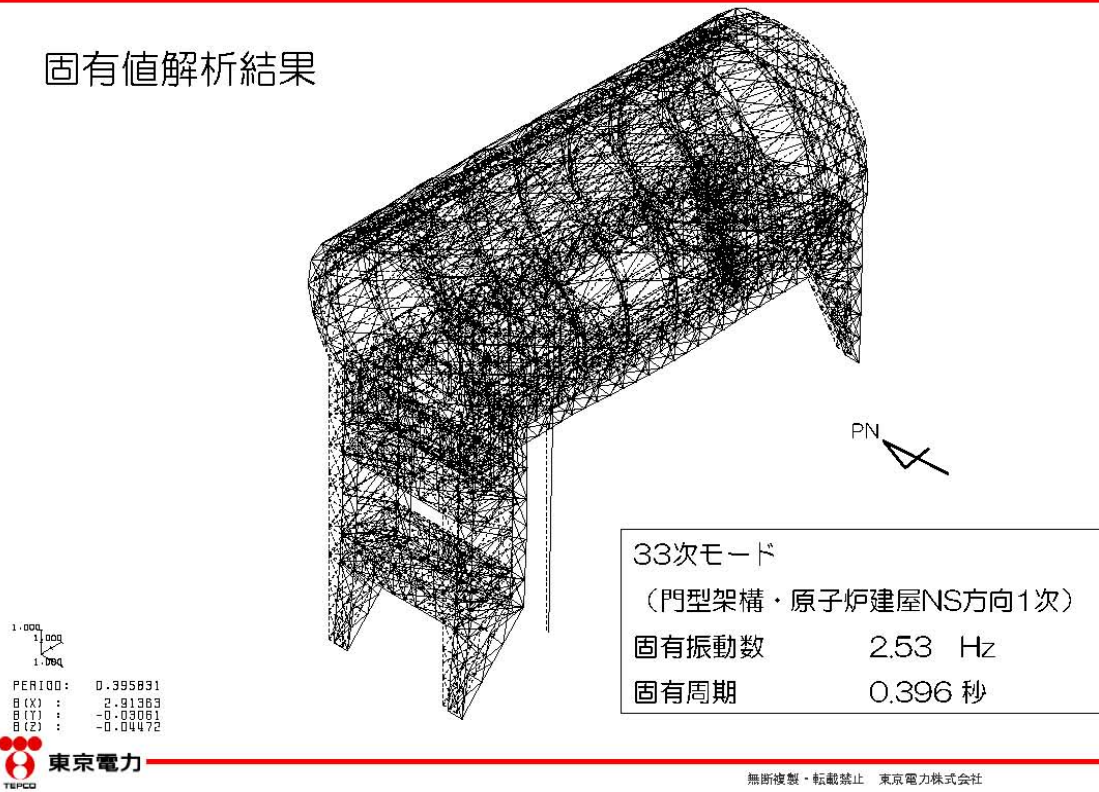
### 固有値解析結果





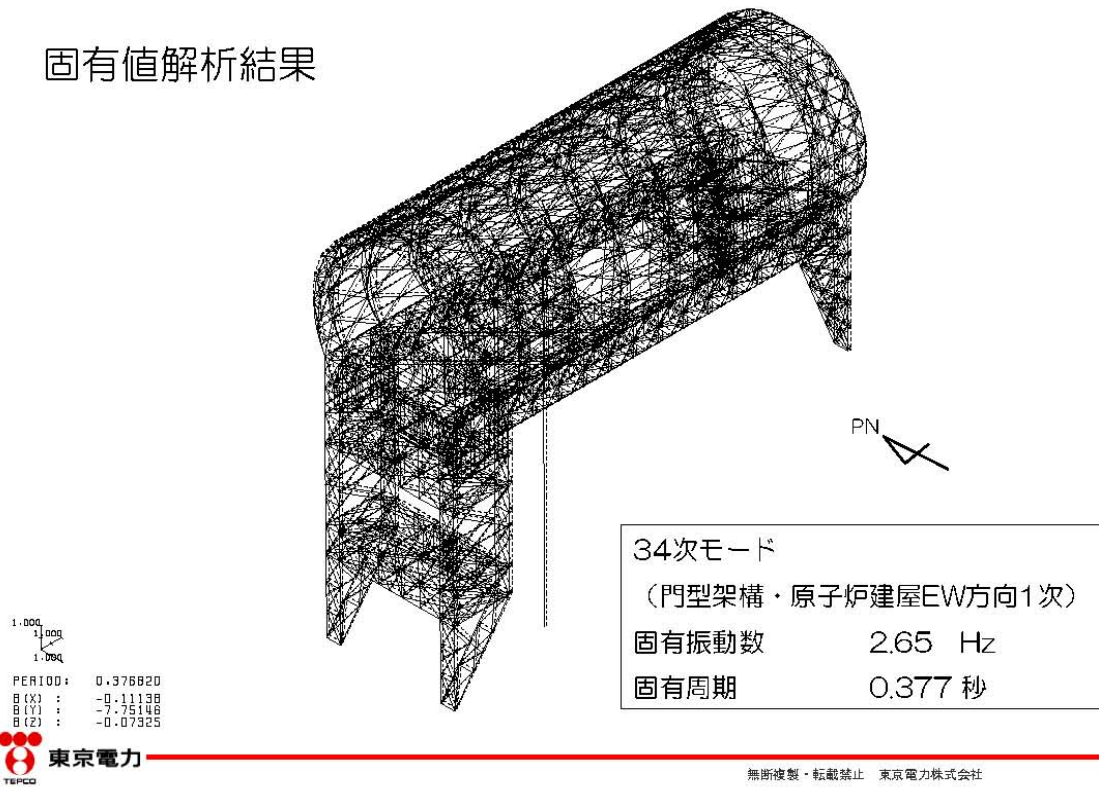
## 参考4 耐震性

固有値解析結果



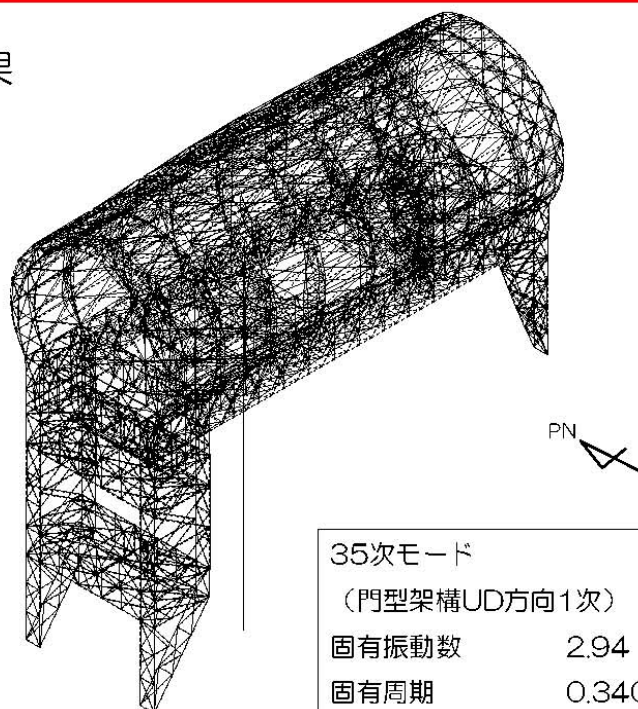
## 参考4 耐震性

固有値解析結果



## 参考4 耐震性

固有値解析結果



35次モード  
(門型架構UD方向1次)  
固有振動数 2.94 Hz  
固有周期 0.340 秒

1.000  
1.000  
1.000  
PERIOD: 0.340111  
B(X): 2.16517  
B(Y): -0.94985  
B(Z): 4.48957

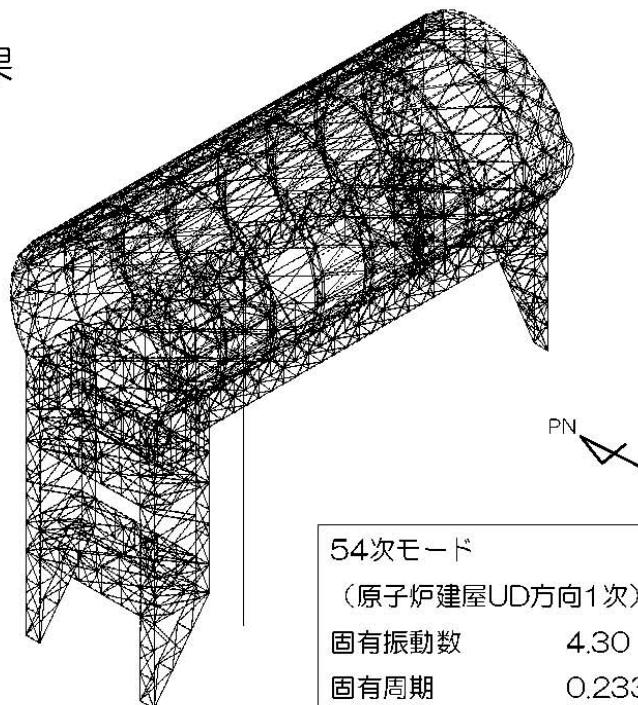


無断複製・転載禁止 東京電力株式会社

58

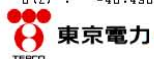
## 参考4 耐震性

固有値解析結果



54次モード  
(原子炉建屋UD方向1次)  
固有振動数 4.30 Hz  
固有周期 0.233 秒

1.000  
1.000  
1.000  
PERIOD: 0.232534  
B(X): -0.42763  
B(Y): 0.09620  
B(Z): -40.49806



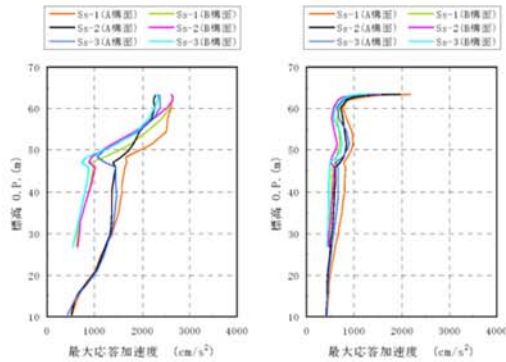
無断複製・転載禁止 東京電力株式会社

59

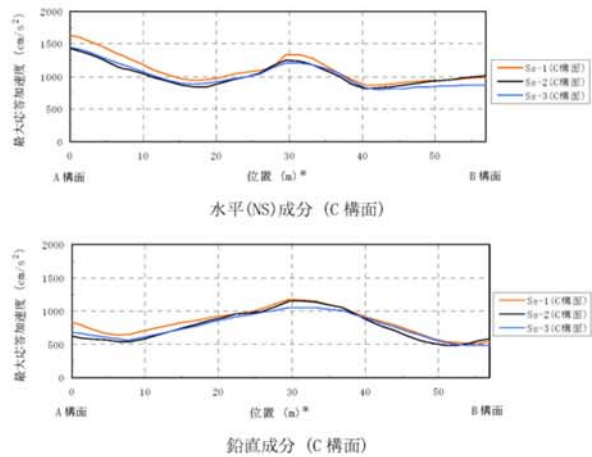
# 参考4 耐震性

## (2) 架構の耐震性に対する検討

### 3) 地震応答解析結果

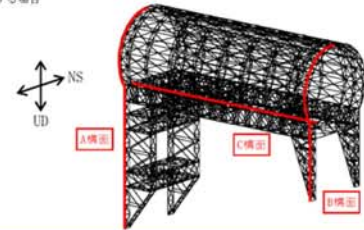


水平(NS)成分 (A構面, B構面) 鉛直成分 (A構面, B構面)



注：燃料取扱設備が門型架構の中央に位置する場合  
(図3.2-1の位置D)を示す  
\*：位置はA構面側からの距離を示す

最大応答加速度分布



# 参考4 耐震性

## (2) 架構の耐震性に対する検討

### 4) 波及的影響の評価

門型架構は、JSCA性能メニュー（社団法人日本建築構造技術者協会、2002年）を参考に定めたクライテリア（「層間変形角は1/75以下、層の塑性率は4以下、部材の塑性率は5以下」\*）を満足することを確認する。ドーム屋根は、柱・梁によるフレームを構成しないため、JSCA性能メニューのうち部材の塑性率のクライテリアを満足することを確認する。

なお、解析結果が「時刻歴応答解析建築物性能評価業務方法書」（財団法人日本建築センター、平成19年7月20日）に示されるクライテリア（層間変形角は1/100以下、層の塑性率は2以下、部材の塑性率は4以下）を超える場合には水平変形に伴う鉛直荷重の付加的影響を考慮した解析を実施し、安全性を確認する。

\*：北村春幸，宮内洋二，浦本弥樹「性能設計における耐震性能判断基準値に関する研究」，日本建築学会構造系論文集，第604号，2006年6月

## 参考4 耐震性

### (2) 架構の耐震性に対する検討

#### 4) 波及的影響の評価

##### ・層間変形角の検討

最大応答層間変形角は1/75以下となりクライテリアを満足することを確認した。

最大応答層間変形角の検討結果

| 検討箇所                              | 地震波  | 入力方向(位置)* | 最大応答値  | 妨げりP | 判定  |
|-----------------------------------|------|-----------|--------|------|-----|
| 東側<br>OP.46.00(m)<br>~OP.26.90(m) | Ss-1 | NS (A)    | 1/820  | 1/75 | OK. |
|                                   |      | EW (B)    | 1/990  | 1/75 | OK. |
|                                   | Ss-2 | NS (B)    | 1/990  | 1/75 | OK. |
|                                   |      | EW (B)    | 1/1000 | 1/75 | OK. |
|                                   | Ss-3 | NS (B)    | 1/990  | 1/75 | OK. |
|                                   |      | EW (B)    | 1/1000 | 1/75 | OK. |
| 西側<br>OP.46.00(m)<br>~OP.10.50(m) | Ss-1 | NS (A)    | 1/720  | 1/75 | OK. |
|                                   |      | EW (B)    | 1/1600 | 1/75 | OK. |
|                                   | Ss-2 | NS (C)    | 1/860  | 1/75 | OK. |
|                                   |      | EW (B)    | 1/1600 | 1/75 | OK. |
|                                   | Ss-3 | NS (C)    | 1/800  | 1/75 | OK. |
|                                   |      | EW (B)    | 1/1800 | 1/75 | OK. |

\* : P.2.3に示す燃料取扱設備の位置を示す

## 参考4 耐震性

### (2) 架構の耐震性に対する検討

#### 4) 波及的影響の評価

##### ・塑性率の検討

全てのケースで耐力比が1を下回ることから塑性率は1未満となり、クライテリアを満足することを確認した。

耐力比の検討結果

| 部位*1  |   | 部材形状<br>(mm)                            | 地震波  | 入力方向<br>(位置)*2 | 耐力比  |      | 判定 |
|-------|---|---|------|----------------|------|------|----|
| 門型架構  | ① | 柱<br>H-350×350<br>×12×19<br><SM490A>    | Ss-2 | NS<br>(C)      | C/Cu | 0.50 | OK |
|       | ② | 梁<br>H-350×350<br>×12×19<br><SM490A>    | Ss-1 | NS<br>(C)      | C/Cu | 0.45 | OK |
|       | ③ | 斜材<br>2[s-150×75<br>×6.5×10<br><SM490A> | Ss-1 | NS<br>(C)      | C/Cu | 0.75 | OK |
| ドーム屋根 | ④ | 弦材<br>φ-267.4×6.6<br><STK1590>          | Ss-1 | NS<br>(D)      | C/Cu | 0.63 | OK |
|       | ⑤ | 斜材<br>φ-139.8×4.5<br><STK490>           | Ss-1 | EW<br>(D)      | C/Cu | 0.90 | OK |
|       | ⑥ | ブレース<br>φ-114.3×4.5<br><STK490>         | Ss-2 | EW<br>(C)      | C/Cu | 0.45 | OK |

\*1 : ①~⑥の符号はP36の応力検討箇所を示す

\*2 : P.2.3に示す燃料取扱設備の位置を示す

C : 部材軸方向の圧縮力の最大値  
Cu : 座屈耐力  
T : 部材軸方向の引張力の最大値  
Tu : 引張耐力

## 参考4 耐震性

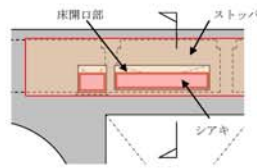
### (3) 水平振れ止め装置（ストップ）の耐震性に対する検討

全てのストップに対する耐力比が1以下になることを確認した。

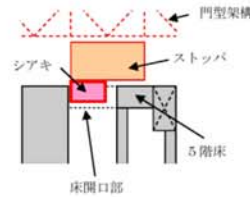
ストップ（シアキ）の断面検討結果

| 部位     | 地震波  | 入力方向（位置） | 最大応答<br>ストップ反力<br>Q <sub>u</sub> (kN) | せん断耐力<br>Q <sub>u</sub> (kN) | 耐力比<br>Q/Q <sub>u</sub> | 判定 |
|--------|------|----------|---------------------------------------|------------------------------|-------------------------|----|
| 東側ストップ | Ss-1 | EW (D)   | 3970                                  | 9480                         | 0.42                    | OK |

\*：P23に示す燃料取扱設備の位置を示す



(a) 伏図



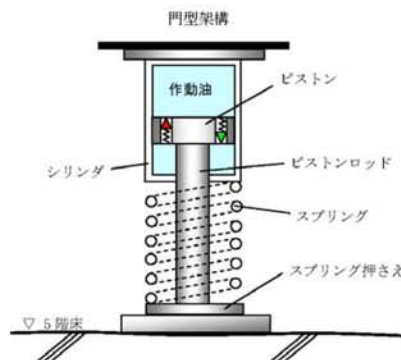
(b) 断面図

ストップ概要図

## 参考4 耐震性

### (4) 制震装置（オイルダンパ）の耐震性に対する検討

全てのオイルダンパで最大応答値が許容値以下になることを確認した。



オイルダンパ概念図

オイルダンパの検討結果

| 検討                | 地震波  | 入力方向<br>(位置)* | 最大応答値 | 許容値  | 判定 |
|-------------------|------|---------------|-------|------|----|
| オイルダンパ変位<br>(mm)  | Ss-3 | NS (D)        | 72    | ±100 | OK |
| オイルダンパ速度<br>(m/s) | Ss-1 | NS (D)        | 0.48  | 1.00 | OK |

\*：P23に示す燃料取扱設備の位置を示す

## 参考4 耐震性

### (5) 基礎の耐震性に対する検討

基礎の浮き上がりに対しては基礎反力（圧縮力を正）の最小値が以上であることを確認し、基礎のすべりに対しては基礎反力の水平力が摩擦耐力以下であることを確認した。

#### 1) 基礎浮き上がりの検討

基礎浮き上がりの検討結果

| 部位           | 地震波  | 入力方向<br>(位置) * | 最小圧縮力<br>N(kN) | 判定 |
|--------------|------|----------------|----------------|----|
| 東側柱脚<br>(北側) | Ss-3 | NS<br>(C)      | 227            | OK |

\* : P23に示す燃料取扱設備の位置を示す

#### 2) 基礎すべりの検討

基礎すべりの検討結果

| 部位   | 地震波  | 入力方向<br>(位置) * | 最大水平力<br>Q(kN) | 摩擦耐力<br>Vu(kN) | 耐力比<br>Q/Vu | 判定 |
|------|------|----------------|----------------|----------------|-------------|----|
| 東側柱脚 | Ss-1 | EW (D)         | 2810           | 4780           | 0.59        | OK |

\* : P23に示す燃料取扱設備の位置を示す

## 参考4 耐震性

### (6) 原子炉建屋接触部の耐震性に対する検討

#### 1) ストッパ接触部

最大ストッパ水平反力が、既存躯体の支圧耐力以下になることを確認する。なお、支圧耐力は、原子炉建屋の設計基準強度(22.1N/mm<sup>2</sup>)を用いて「プレストレストコンクリート設計施工規準・同解説」に基づき算出する。

ストッパ接触部の検討結果

| 部位     | 地震波  | 入力方向<br>(位置) * | 最大ストッパ<br>水平反力<br>N(kN) | 支圧耐力<br>Nu(kN) | 耐力比<br>N/Nu | 判定 |
|--------|------|----------------|-------------------------|----------------|-------------|----|
| 西側ストッパ | Ss-1 | NS (C)         | 10400                   | 19600          | 0.54        | OK |

\* : P23に示す燃料取扱設備の位置を示す

#### 2) オイルダンバ接触部

最大オイルダンバ鉛直反力が、既存躯体の支圧耐力以下になることを確認する。なお、支圧耐力は、原子炉建屋の設計基準強度(22.1N/mm<sup>2</sup>)を用いて「プレストレストコンクリート設計施工規準・同解説」に基づき算出する。

オイルダンバ接触部の検討結果

| 部位   | 地震波  | 入力方向<br>(位置) * | 最大水平力<br>Q(kN) | 摩擦耐力<br>Vu(kN) | 耐力比<br>Q/Vu | 判定 |
|------|------|----------------|----------------|----------------|-------------|----|
| 東側柱脚 | Ss-1 | EW (D)         | 2810           | 4780           | 0.59        | OK |

\* : P23に示す燃料取扱設備の位置を示す

#### 3) 基礎設置部

柱脚の鉛直反力により生じる直下壁の最大軸力が壁の軸耐力以下であることを確認する。

壁の圧縮力の検討結果

| 部位           | 地震波  | 入力方向<br>(位置) * | 最大軸力<br>N(kN) | 軸耐力<br>Nu(kN) | 耐力比<br>N/Nu | 判定 |
|--------------|------|----------------|---------------|---------------|-------------|----|
| 東側柱脚<br>(南側) | Ss-3 | NS<br>(B)      | 7430          | 25900         | 0.29        | OK |

\* : P23に示す燃料取扱設備の位置を示す

## 参考4 耐震性

### (7) 原子炉建屋の耐震性に対する検討

#### 1) 検討方針

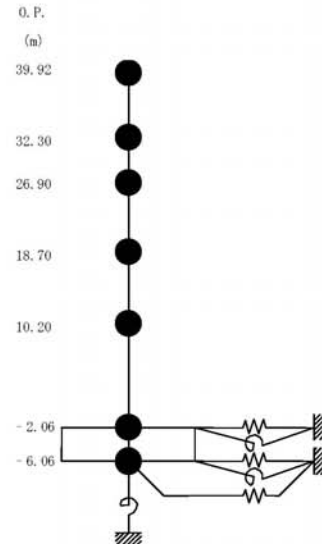
架構の設置に伴う原子炉建屋の耐震性の評価は、耐震安全上重要な設備への波及的影響防止の観点から、地震応答解析により得られる耐震壁のせん断ひずみが鉄筋コンクリート造耐震壁の終局限界に対応した評価基準値 ( $4.0 \times 10^{-3}$ ) 以下になることを確認する。

#### 2) 原子炉建屋の地震応答解析

##### ・入力地震動 基準地震動 $S_s$

原子炉建屋の地震応答解析モデルは、右図に示すように質点系でモデル化し、地盤を等価なばねで評価した建屋-地盤連成系モデルとする。

地震応答解析モデルの諸元は、「福島第一原子力発電所の原子炉建屋の現状の耐震安全性および補強等に関する検討に係る報告書(その2)」(東京電力株式会社、平成23年7月13日)に示される内容に、瓦礫撤去等による重量増減及び新規に設置する燃料取り出し用カバーの重量を考慮した。



原子炉建屋の地震応答解析モデル

## 参考4 耐震性

### (7) 原子炉建屋の耐震性に対する検討

#### 2) 原子炉建屋の地震応答解析

原子炉建屋の地震応答解析モデルの諸元 (水平方向)

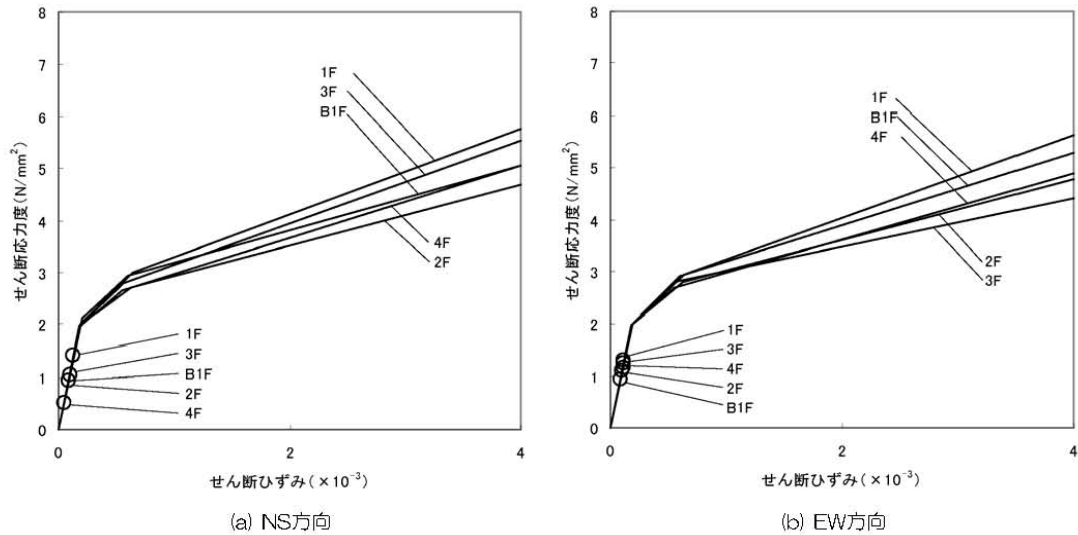
| 標高<br>O.P. (m) | 質点重量<br>W (kN) | 回転慣性重量<br>$I_c (\times 10^5 \text{ kN} \cdot \text{m}^2)$ |          |
|----------------|----------------|---|----------|
|                |                | 水平(NS)方向  | 水平(EW)方向 |
| 39.92          | 87590          | 92.34   | 67.32    |
| 32.3           | 119490         | 238.33  | 124.49   |
| 26.9           | 111340         | 204.95  | 204.95   |
| 18.7           | 130160         | 239.58  | 239.58   |
| 10.2           | 253710         | 467.09  | 696.62   |
| -2.06          | 301020         | 554.17  | 826.50   |
| -6.06          | 127000         | 233.79  | 348.72   |
| 合計             | 1130310        |   |          |

## 参考4 耐震性

### (7) 原子炉建屋の耐震性に対する検討

#### 3) 検討結果

地震応答解析により得られる最大応答値は、評価基準値 ( $4.0 \times 10^{-3}$ ) に対して十分に余裕があることを確認した。

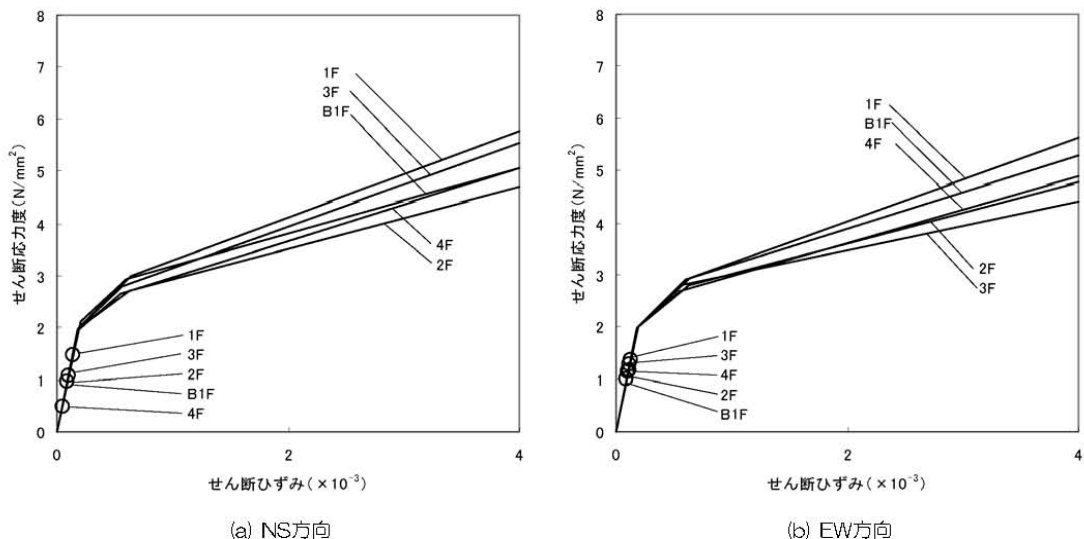


せん断スケルトン曲線上の最大応答値 (Ss-1)

## 参考4 耐震性

### (7) 原子炉建屋の耐震性に対する検討

#### 3) 検討結果



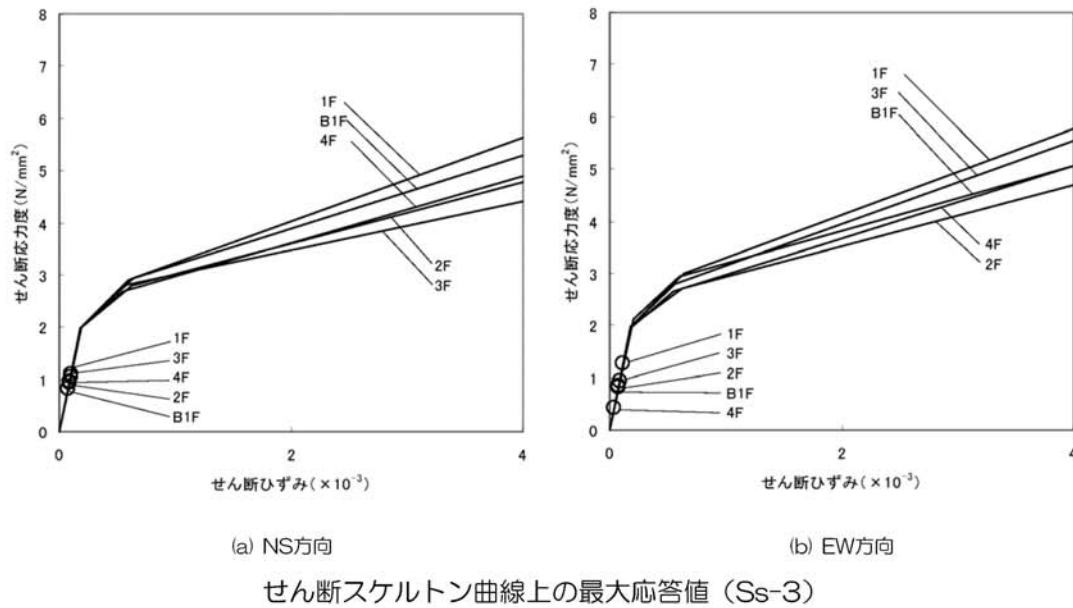
せん断スケルトン曲線上の最大応答値 (Ss-2)



## 参考4 耐震性

(7) 原子炉建屋の耐震性に対する検討

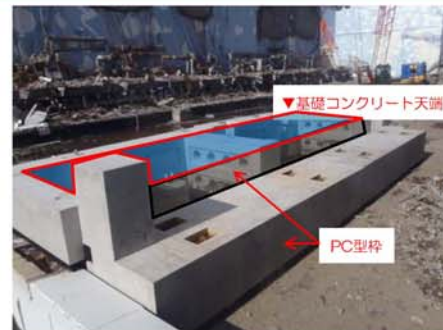
### 3) 検討結果



## 参考5 瓦礫撤去用構台基礎の施工状況



瓦礫撤去用構台西側基礎部 PC型枠設置



瓦礫撤去用構台東側基礎部 PC型枠設置



瓦礫撤去用構台西側基礎部 コンクリート打設



瓦礫撤去用構台東側基礎部 コンクリート打設

特定原子力施設監視・  
評価検討会(第8回)  
資料5

## 福島第一原子力発電所 3号機燃料取り出し用カバーの 構造強度及び耐震性について (コメント回答)

東京電力株式会社

平成25年3月8日



### 目次

- ・コメント回答① 地震・津波・竜巻等への対応について ……P.2
- ・コメント回答② 耐震性の検討結果(表)の記載について ……P.4
- ・コメント回答③ 作業環境の確保について ……P.6
- ・コメント回答④ オイルダンパの機構および損傷時の対応について……P.7



## コメント回答①

①3号機燃料取り出し用カバーの使用期間が短いとしても、地震・津波に関わる新安全設計基準への対応あるいは竜巻などの想定外事象に対する安全性や修復性は確保しなくてよいのか、既にされているのかを説明すること。（林教授）

- ・現在、国により策定中の新安全設計基準への対応については今後となるが、以下を念頭に計画している。
- ・地震：各部の検討において、可能な限り余裕を確保した計画<sup>\*1</sup>としている。また、脆性的な破壊を生じないよう、原則として保有耐力接合<sup>\*2</sup><sup>\*3</sup>としている。
- ・津波：燃料取り出し用カバーは鉄骨トラスと鋼製の外装材により構成されているが、閉空間になっておらず、津波襲来時には、水は燃料取り出し用カバーの裏側に回り込む。そのため、津波による波圧は生じにくい。

\*1 5ページ参照。例えば、ドーム屋根は基準地震動 $S_s$ に対し、約5倍の裕度がある。

\*2 母材の耐力が十分に発揮されるように「接合部の破断耐力>母材耐力」となるように破断の検討を行うこと。

\*3 特定原子力施設監視・評価検討会（第4回）資料4 16A'-Z' 参照

## コメント回答①

- ・竜巻：ドーム屋根の外装材は、設計風圧力の約4倍以上の耐力を有することを確認しており、最大瞬間風速100m/s程度の暴風に対しても飛散しない計画となっている。
- ・修復性については、除染・遮へい対策を施す計画（コメント回答③参照）であり、現地へのアクセスは可能であると考えている。また、オペレーティングフロア上のガレキ撤去に用いたクレーン等により、遠隔操作による作業も可能であると考えている。

## コメント回答②

②特定原子力施設監視・評価検討会（第4回）資料4の10ページの耐震性の検討結果の表は、検定比なのか、最大応答値なのかを区別できるように明確にすること。（林教授）

- ・評価項目欄が、「耐力比」もしくは「抵抗比」となっている項目が「検定比」で評価している項目であり、その他が「最大応答値」で評価している項目である。
- ・「検定比」か「最大応答値」かが分かるように、結果欄に追記した。  
(次ページ参照)

## 5. 耐震性に対する検討結果

いずれも評価クライテリア以下であることを確認した。

### (1) 架構の耐震性

| 部位     | 評価項目     | 検定比、最大応答値      | 評価クライテリア  | 判定 |
|--------|----------|----------------|-----------|----|
| 門型架構   | 層間変形角    | 最大応答値 1/720    | 1/75以下    | OK |
| 門型架構   | 塑性率      | 最大応答値 0.75     | 5以下       | OK |
| ドーム屋根  | 塑性率      | 最大応答値 0.90     | 5以下       | OK |
| オイルダンパ | 相対変位     | 最大応答値 72 mm    | 100 mm以下  | OK |
|        | 相対速度     | 最大応答値 0.48 m/s | 1.0 m/s以下 | OK |
| ストッパ   | せん断耐力比   | 検定比 0.42       | 1.0以下     | OK |
| 基礎     | 浮き上がりの有無 | 最大応答値 生じない     | 生じないこと    | OK |
|        | すべり摩擦抵抗比 | 検定比 0.59       | 1.0以下     | OK |

### (2) 原子炉建屋の耐震性

| 部位        | 評価項目   | 検定比、最大応答値                   | 評価クライテリア                | 判定 |
|-----------|--------|-----------------------------|-------------------------|----|
| ストッパ接触部   | 支圧耐力比  | 検定比 0.54                    | 1.0以下                   | OK |
| オイルダンパ接触部 | 支圧耐力比  | 検定比 0.19                    | 1.0以下                   | OK |
| 基礎設置部     | 圧縮耐力比  | 検定比 0.29                    | 1.0以下                   | OK |
| 原子炉建屋     | せん断ひずみ | 最大応答値 $0.14 \times 10^{-3}$ | $4.0 \times 10^{-3}$ 以下 | OK |

## コメント回答③

③立ち入りが難しい場所で有人にて接合部などの現地作業が行えるように、作業環境をどのように確保するのかについて説明すること。（林教授）

- ・線量的に、立入りが最も厳しい箇所はオペレーティングフロア上部と考えている。当該部における有人作業ができるように、有人作業が発生するまでに、線量低減対策として、遠隔操作重機による下記3段階の作業を計画している。

1. 瓦礫撤去作業（現在実施中）

オペレーティングフロア上部に残存する瓦礫（鉄骨、コンクリート、機械設備等）を撤去する。

2. 除染作業

オペレーティングフロア上部の瓦礫撤去後に、床面はつき装置や吸引装置等を使用し、除染作業を実施する。

3. 遮へい体設置作業

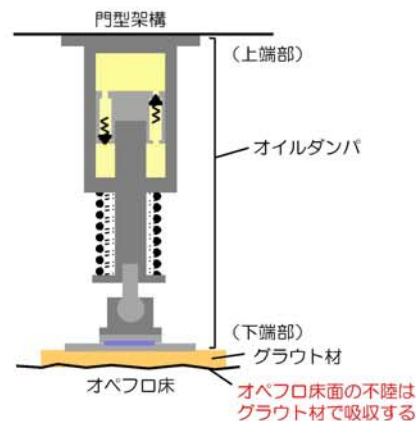
除染作業後にオペレーティングフロア上部に遮へい体（鉄板等）を設置する。

なお、作業中は適宜、雰囲気線量を計測し、慎重に作業を実施する。

## コメント回答④

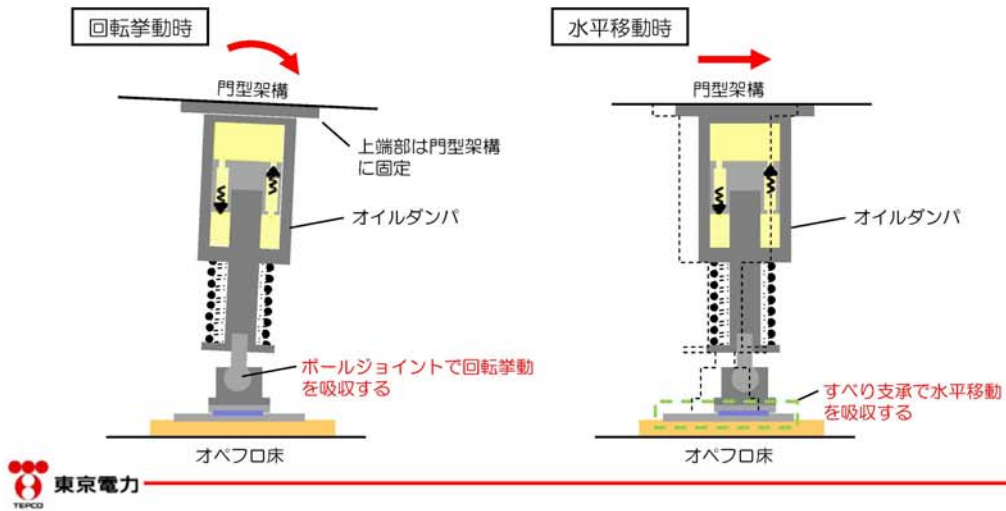
④オイルダンパについては、5階床面の不陸や門型架構の変形などにより、5階床と門型架構が平行でなくなり、スプリング押さえ等の損傷が生じないかについて説明すること。また、スプリング押さえ等の損傷により、システム上の問題が発生しないのかについて確認したい。（林教授）

- ・5階床面は躯体の不陸が想定される。
- ・オイルダンパは上端部を架構側に接合し、下端部とオペフロ床とのGAP部にグラウト材を充填し、床面の不陸を吸収する計画としている。
- ・オイルダンパが故障や損傷した場合は、修理・取替をする計画としている。
- ・グラウト材は既存躯体コンクリートの強度よりも高強度のものを使用している。



## コメント回答④

- ・ 門型架構とオペフロ床間の挙動が平行ではなくなった場合に備え、オイルダンパ下端部にはボールジョイントとすべり支承を取り付けている。
- ・ ボールジョイントとすべり支承により、オイルダンパの機構損傷が生じないようにしている。



## 4号機燃料取り出し用カバーに係る確認事項

4号機燃料取り出し用カバーの工事に係る主要な確認項目を表-1および表-2に示す。

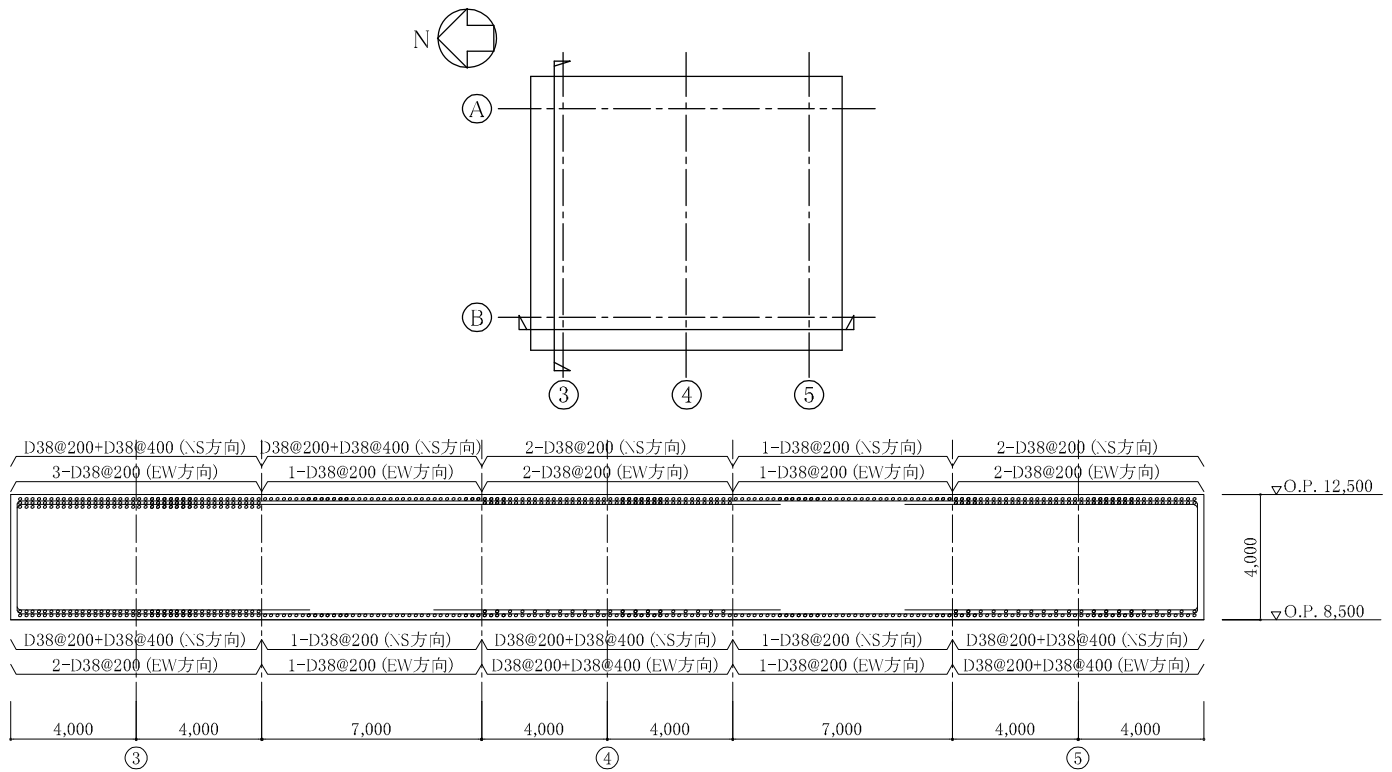
表-1 4号機燃料取り出し用カバーに係る確認項目（クレーン支持用架構）

| 確認事項                     | 確認項目 | 確認内容                      | 判定基準  |
|--------------------------|------|---------------------------|---|
| 構造強度<br>及び<br>耐震性        | 材料確認 | 地盤改良土の一軸圧縮強さを確認する。        | 地盤改良土の一軸圧縮強さが、実施計画に記されている設計基準強度に対して JEAC4616-2009 の基準を満足すること。 |
|                          |      | 構造体コンクリートの圧縮強度を確認する。      | 構造体コンクリート強度が、実施計画に記載されている設計基準強度に対して、JASS 5N の基準を満足すること。       |
|                          |      | 鉄筋の材質、強度、化学成分を確認する。       | JIS G 3112 に適合すること。   |
|                          |      | 地盤アンカーの材質、強度、化学成分を確認する。   | JIS G 3536 JIS G 3502 に適合すること。                                |
|                          |      | 鋼材の材質、強度、化学成分を確認する。       | JIS G 3106 又は建築基準法第 37 条第二号に基づく国土交通大臣の認定に適合すること。              |
|                          |      | 高力ボルトの締め付け張力を確認する。        | 特殊ボルト（ワンサイドボルト）について、導入張力試験を JASS 6 に準じて実施し、所定の張力が得られること。      |
|                          |      | 外装材の仕様を確認する。              | 実施計画に記載されている材料諸元に適合することを、検査証明書、出荷証明書及びメーカー技術資料により確認する。        |
|                          | 寸法確認 | 地盤アンカー長を確認する。             | 地盤アンカー長が 26.75m 以上であること。                                      |
|                          | 据付確認 | 地盤改良範囲（深さ）を確認する。          | 支持層に着底していること。   |
|                          |      | 鉄筋の径、間隔（図-1 参照）を確認する。     | 鉄筋の径が実施計画に記載されている通りであること。鉄筋の間隔が実施計画に記載しているピッチにほぼ均等に分布していること。  |
| 接合部（図-2～4 参照）の施工状況を確認する。 |      | 高力ボルトが所定の本数・種類であること。      |   |
| 外装材の施工状況を確認する。           |      | 外装材の設置範囲が、図-7～9 の通りであること。 |   |

表-2 4号機燃料取り出し用カバーに係る確認項目（燃料取扱機支持用架構）

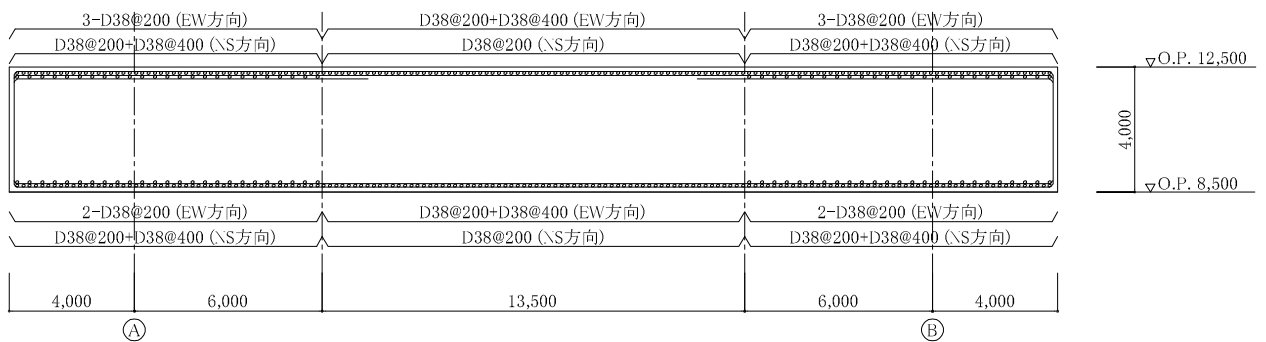
| 確認事項              | 確認項目 | 確認内容                         | 判定基準   |
|-------------------|------|------------------------------|--|
| 構造強度<br>及び<br>耐震性 | 材料確認 | 構造体コンクリートの圧縮強度を確認する。         | 構造体コンクリート強度が、実施計画に記載されている設計基準強度に対して、JASS 5Nの基準を満足すること。 |
|                   |      | 鋼材の材質，強度，化学成分を確認する。          | JIS G 3106 又は建築基準法第 37 条第二号に基づく国土交通大臣の認定に適合すること。       |
|                   |      | アンカーボルトの材質，強度，化学成分（床面）を確認する。 | JIS G 3138 に適合すること。                                    |
|                   |      | アンカーボルトの材質，強度，化学成分（壁面）を確認する。 | JIS G 3112 に適合すること。                                    |
|                   | 寸法確認 | アンカーボルト埋め込み長さ（床面）を確認する。      | 有効埋め込み長さが700mm以上かつボルトの余長はナット面から突き出た長さが3山以上であること。       |
|                   |      | アンカーボルト埋め込み長さ（壁面）を確認する。      | 有効埋め込み長さが450mm以上であること。                                 |
|                   | 据付確認 | 接合部（図-5，6参照）の施工状況を確認する。      | 高力ボルトが所定の本数・種類であること。                                   |





かぶり厚さ 7cm 以上

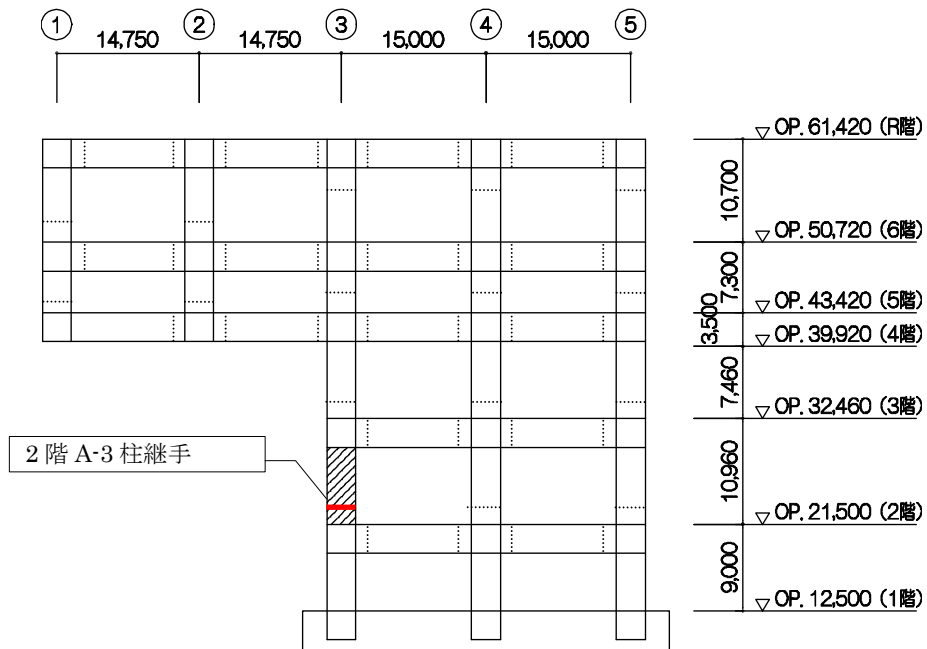
クレーン支持用架構 基礎配筋図(B 通り)



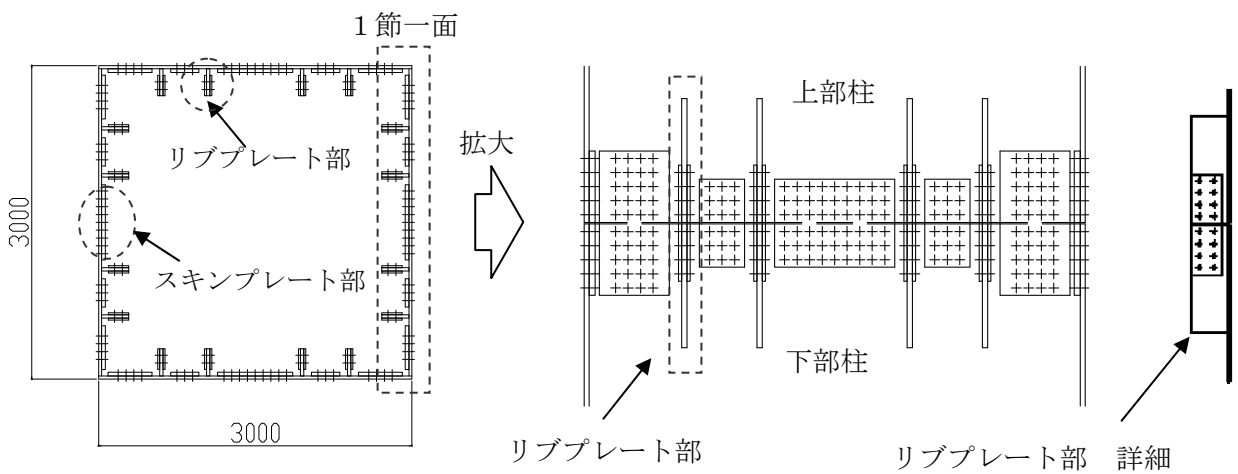
かぶり厚さ 7cm 以上

クレーン支持用架構 基礎配筋図(3 通り)

図-1 クレーン支持用架構 基礎配筋図



(1) 接合部位置 (A通り軸組図)

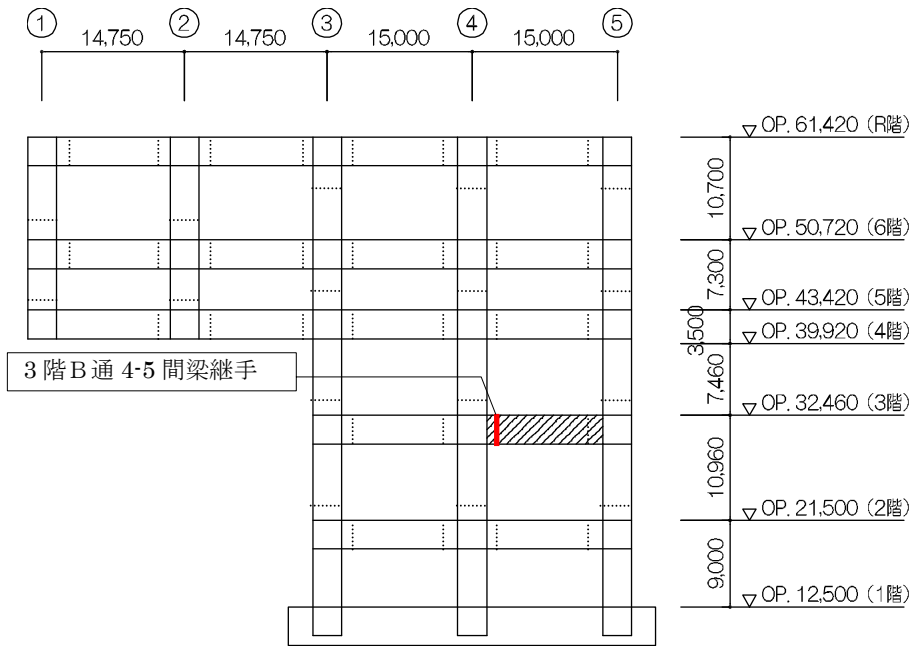


【スキンプレート部】  
 ボルト種類：MUTF27  
 本数：85本×2 (1面あたり)

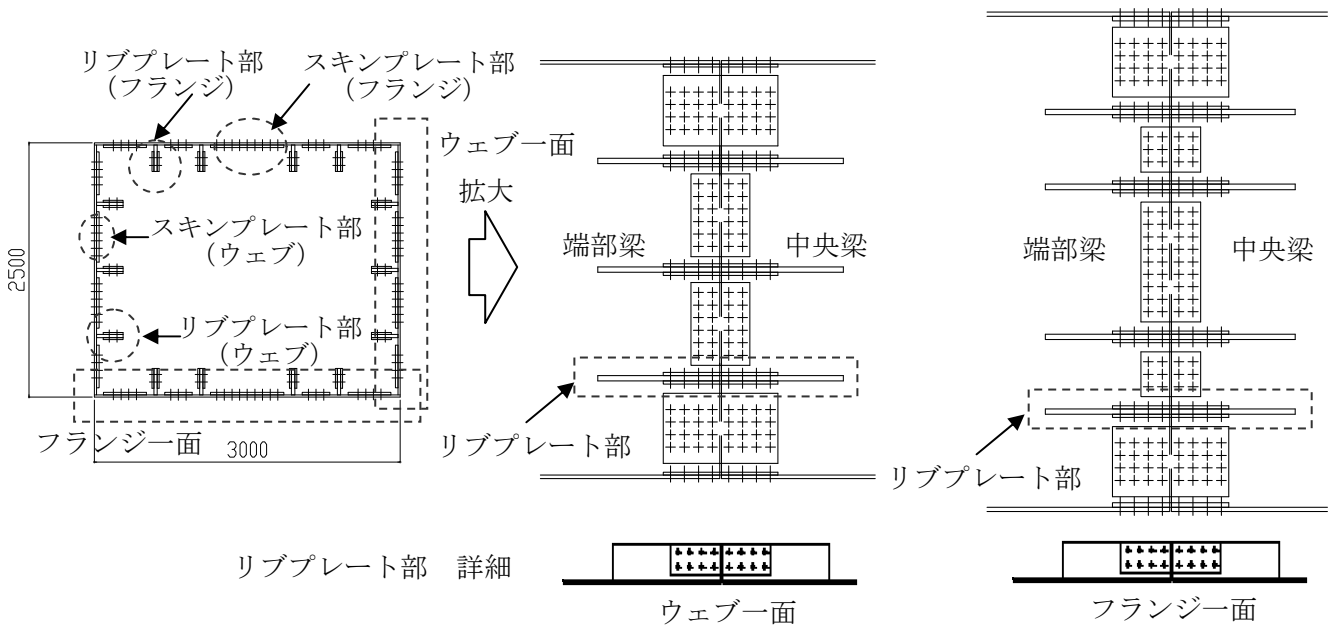
【リブプレート部】  
 ボルト種類：SHTB M24  
 本数：8本×2 (1箇所あたり)

(2) クレーン支持用架構 接合部詳細

図-2 クレーン支持用架構 接合部①



(1) クレーン支持用架構 接合部位置 (B通り軸組図)



【スキンプレート部】

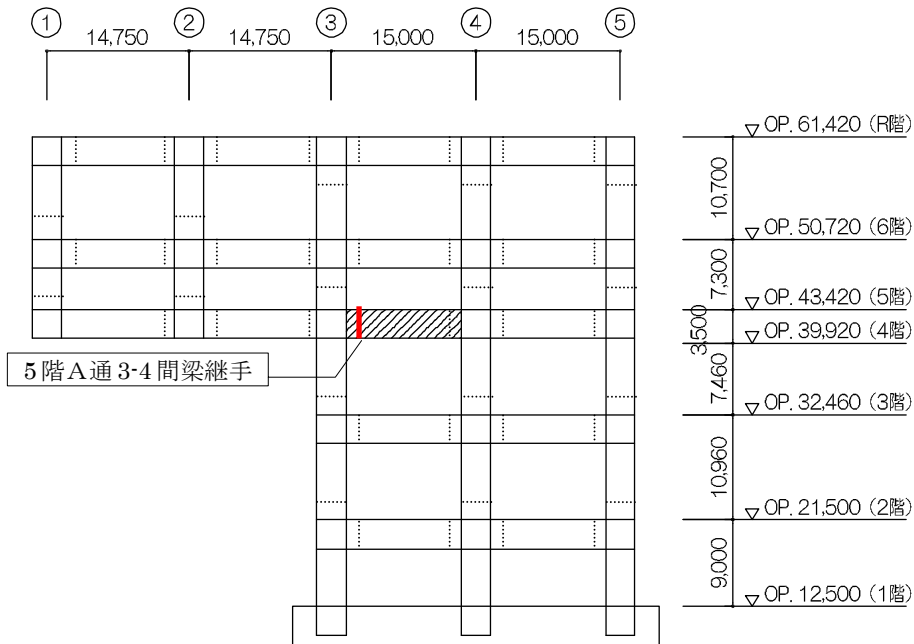
ボルト種類：MUTF27  
 本数：62本×2 (フランジ1面あたり)  
 本数：56本×2 (ウェブ1面あたり)

【リブプレート部】

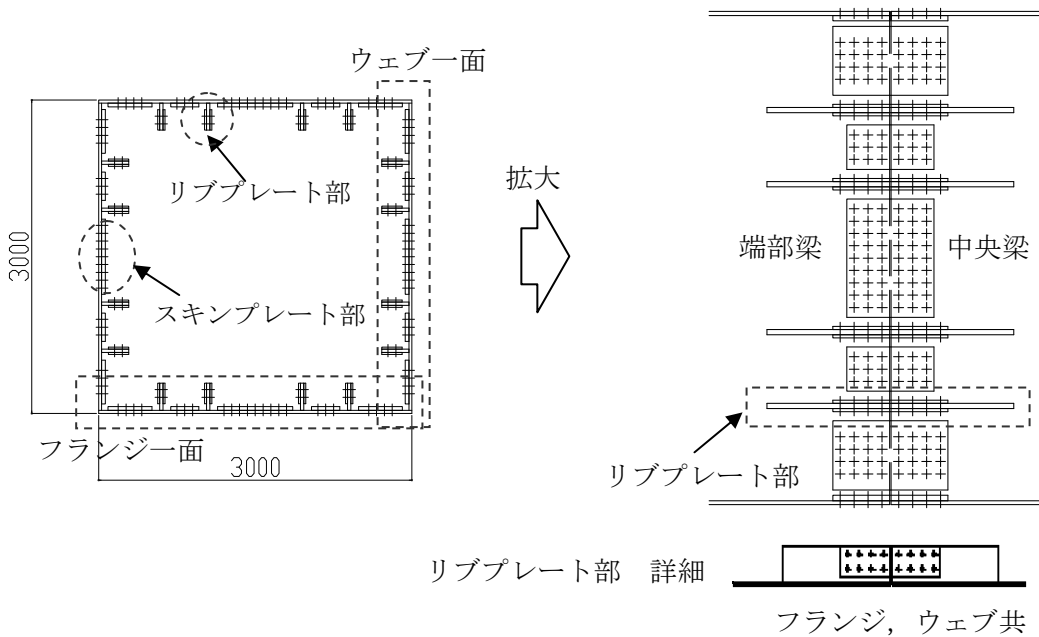
ボルト種類：SHTB M24  
 本数：8本×2 (1箇所あたり)

(2) 接合部詳細(3階B通 4-5 間梁)

図-3 クレーン支持用架構 接合部②



(1) 接合部位置 (A通り軸組図)



【スキンプレート部】

ボルト種類：MUTF27

本数：77本×2 (フランジ, ウェブ共1面あたり)

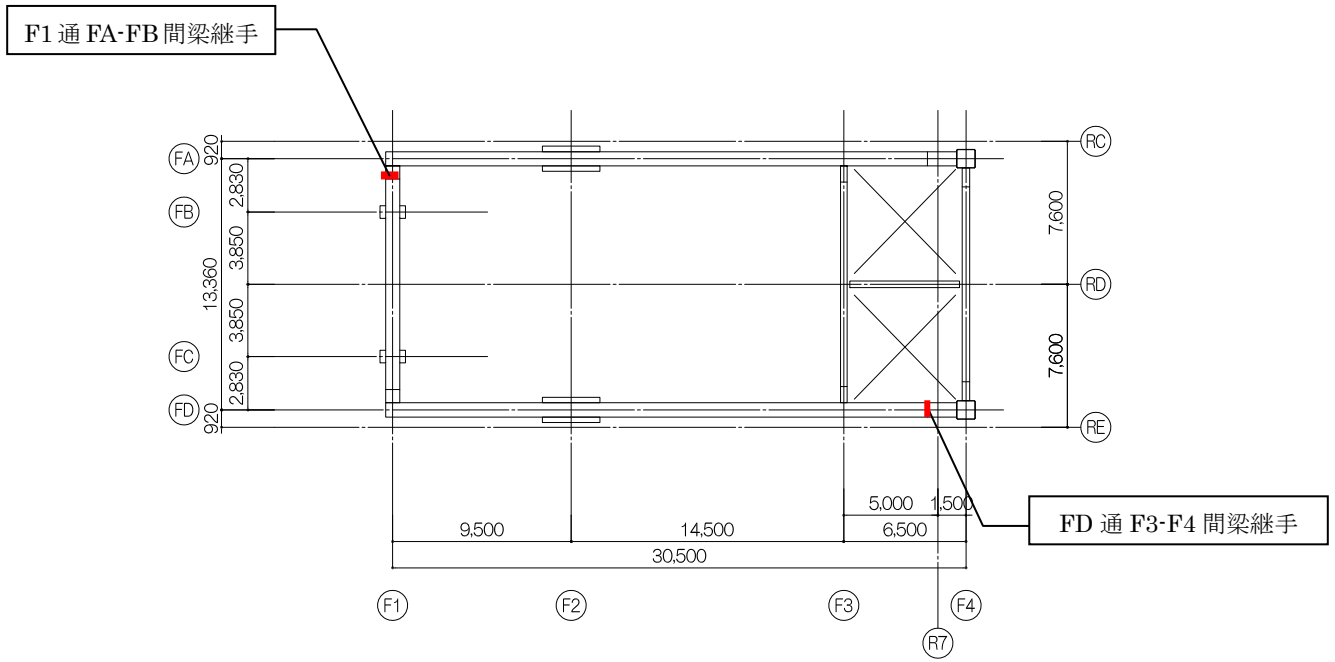
【リブプレート部】

ボルト種類：SHTB M24

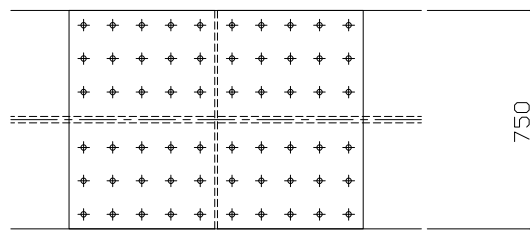
本数：8本×2 (1箇所あたり)

(2) 接合部詳細(5階A通3-4間梁)

図-4 クレーン支持用架構 接合部③

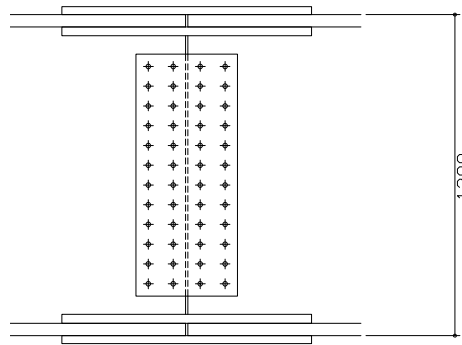


(1) 接合部位置



(a) フランジ

ボルト種類：HTB M27  
ボルト本数：30本×2

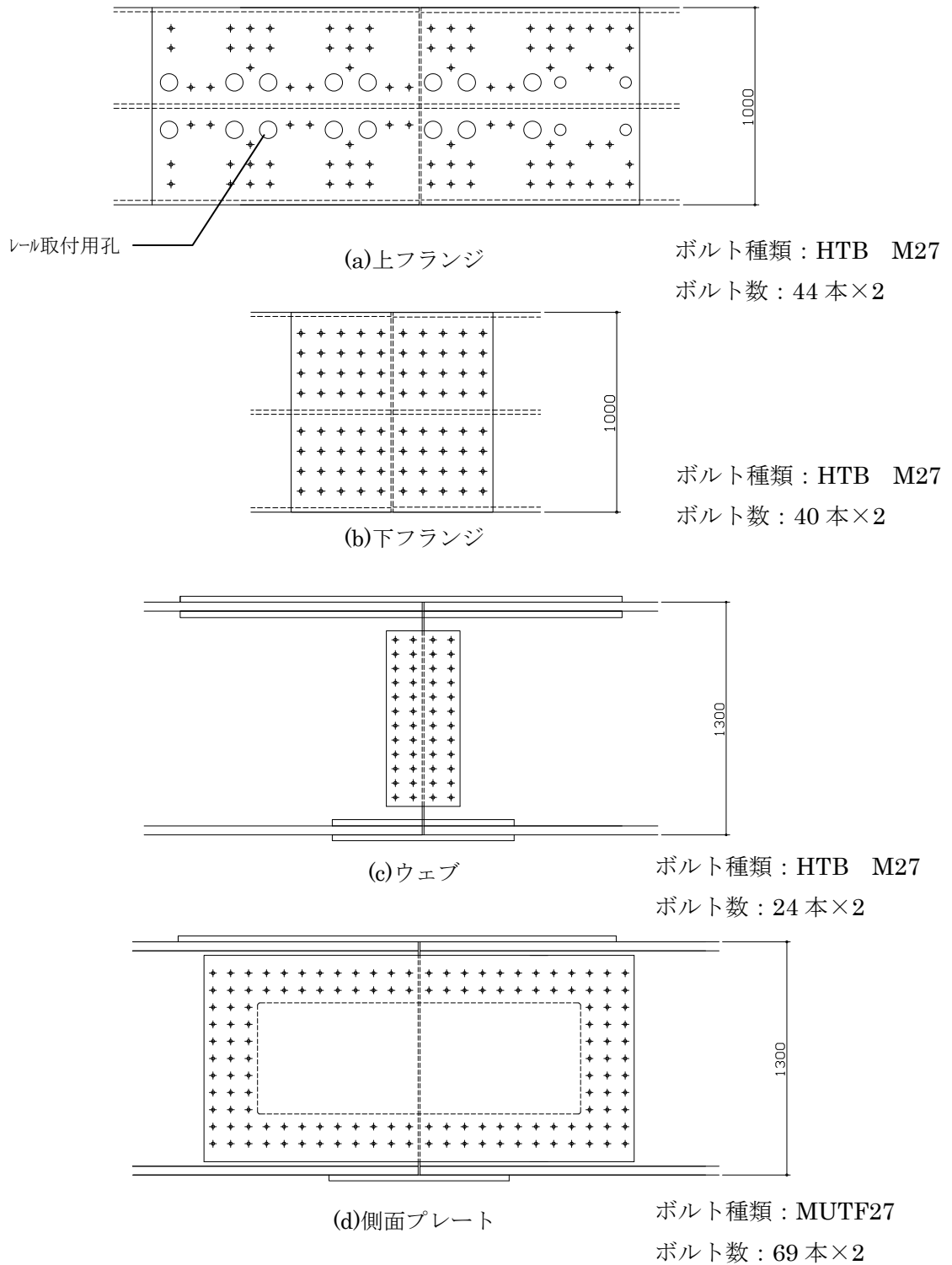


(b) ウェブ

ボルト種類：HTB M27  
ボルト数：24本×2

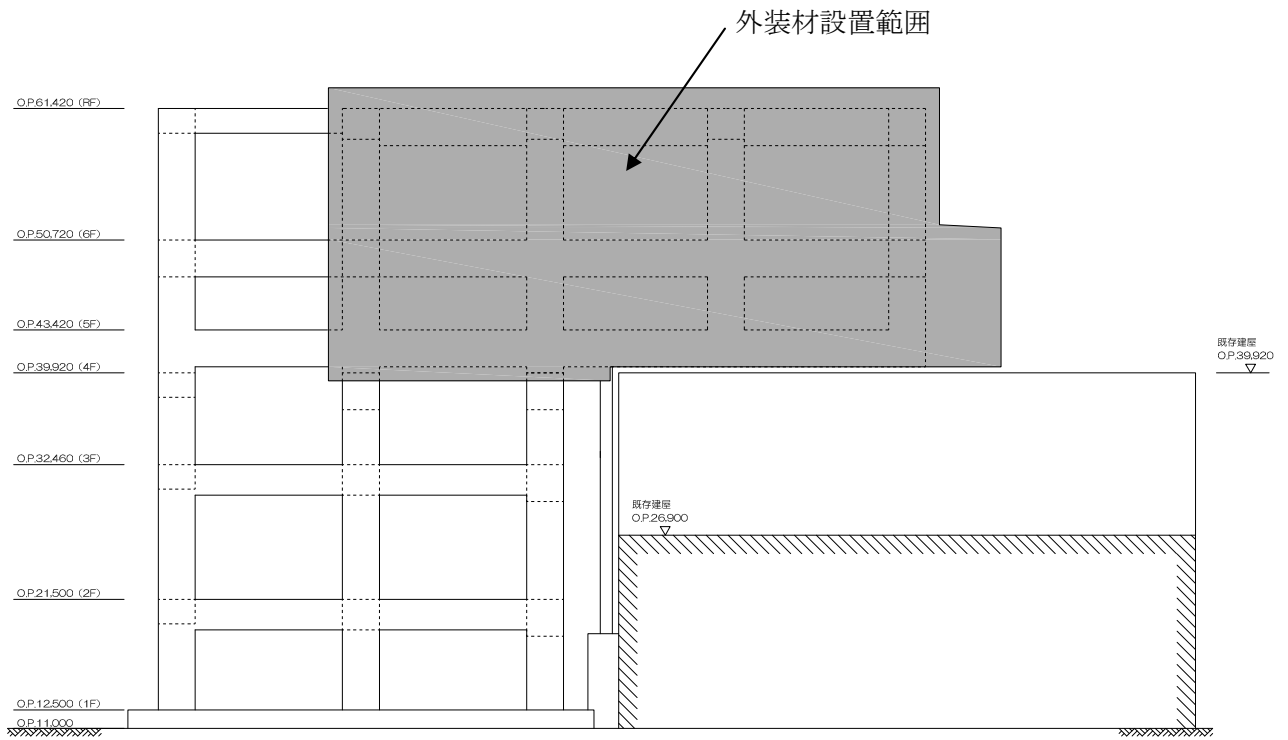
(2) 接合部詳細図 (F1 通 FA-FB 間梁継手)

図-5 燃料取扱機支持用架構 接合部図①

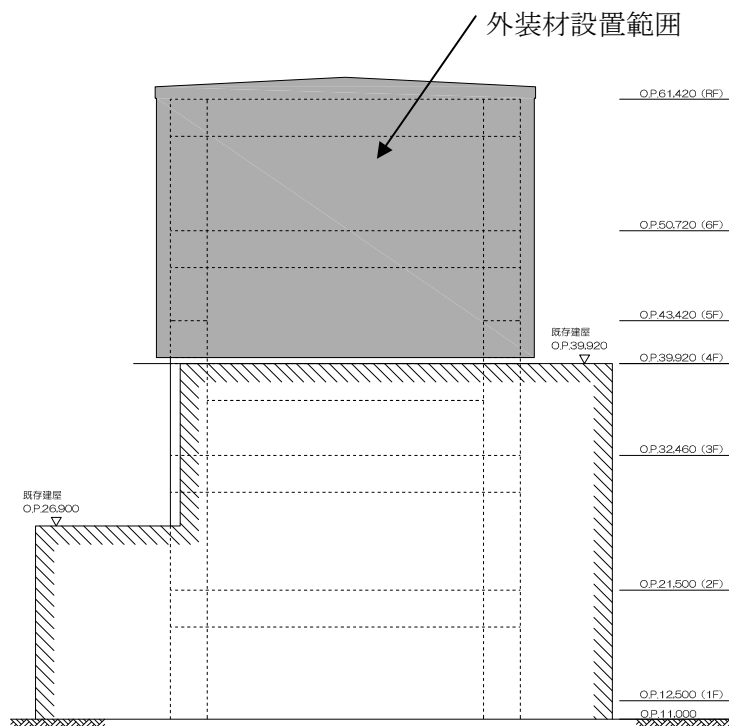


接合部詳細図 (FD 通 F3-F4 間梁継手) (接合部位置は図-5 参照)

図-6 燃料取扱機支持用架構 接合部図②

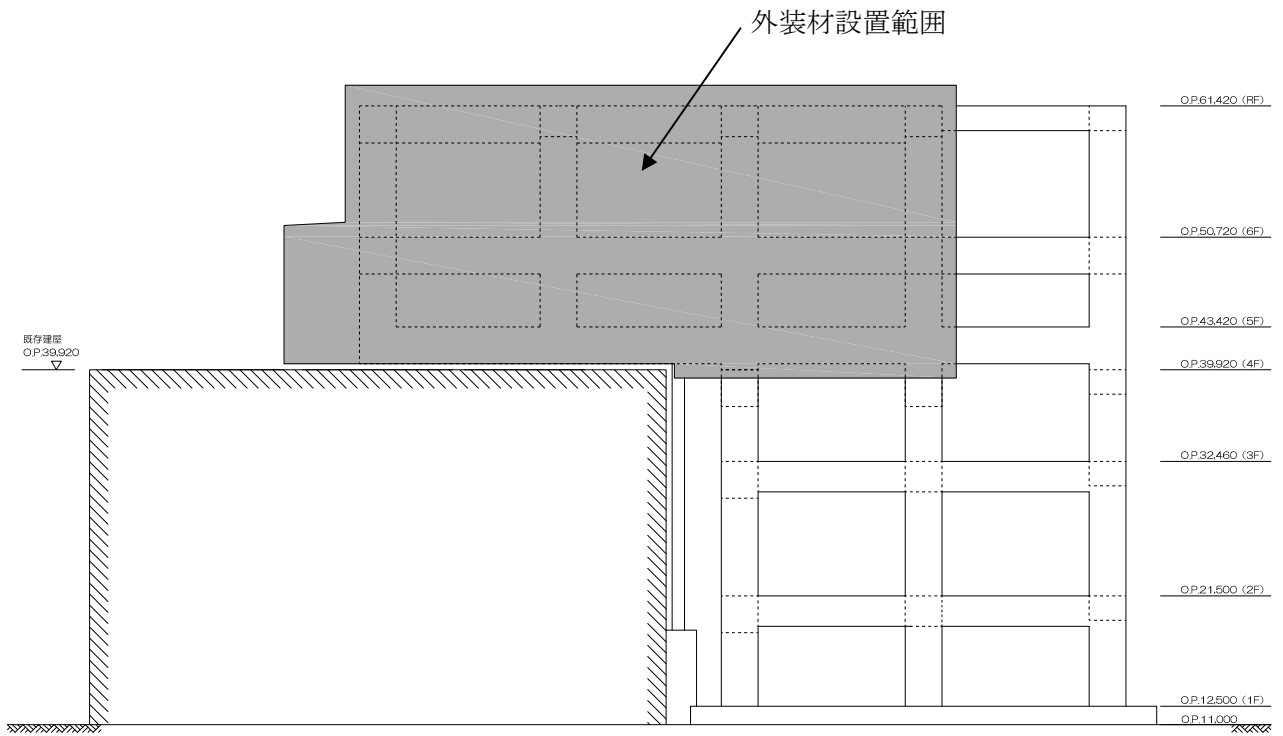


東側立面図

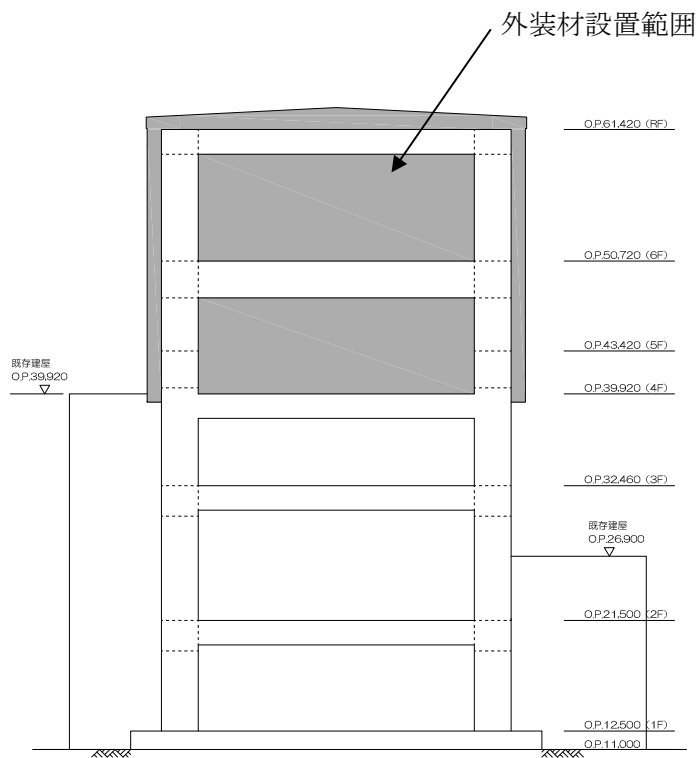


北側立面図

図-7 外装材設置範囲図①



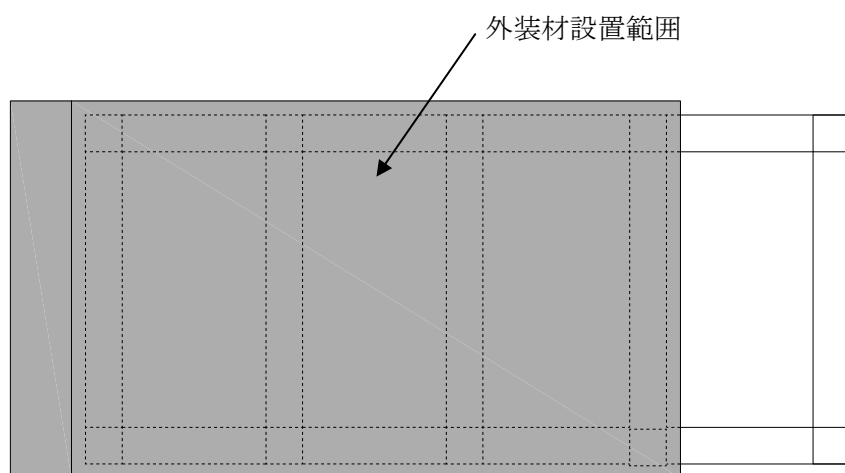
西側立面図



南側立面図

図-8 外装材設置範囲図②





屋根伏図

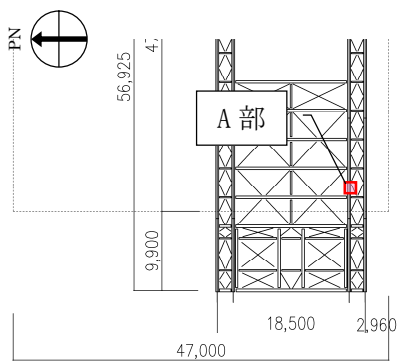
図-9 外装材設置範囲図③

## 3号機燃料取り出し用カバーに係る確認事項

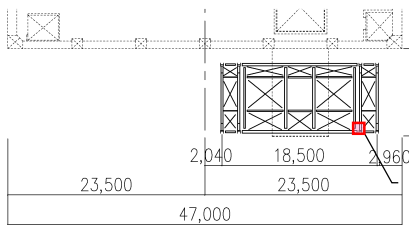
3号機燃料取り出し用カバーの工事に係る主要な確認項目を表－ 1 に示す。

表－ 1 3号機燃料取り出し用カバーの工事に係る確認項目

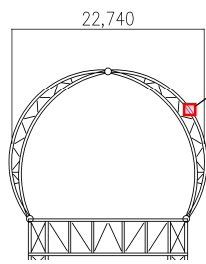
| 確認事項      | 確認項目 | 確認内容                         | 判定基準   |
|-----------|------|------------------------------|--|
| 構造強度及び耐震性 | 材料確認 | 鋼材の材質，強度，化学成分を確認する。          | JIS G 3136, JIS G 3101, JIS G 3106, JIS G 3444, JIS G 3474 に適合すること。  |
|           |      | 制震装置（オイルダンパ）の減衰係数を確認する。      | 減衰係数 ( $C_1=50 \times 10^5 \text{ N} \cdot \text{s/m}$ , $C_2= 3.95 \times 10^5 \text{ N} \cdot \text{s/m}$ ) が±10% 以内であること。 |
|           |      | トルシア型超高力ボルト (SHTB) の仕様を確認する。 | 建築基準法 68 条の 26 第 1 項の規定に基づき、同法第 37 条第二号の規定に適合すること。   |
|           | 据付確認 | 接合部（図－ 1 参照）の施工状況を確認する。      | SHTB が所定の本数・種類であること。   |
|           | 外観確認 | 制震装置（オイルダンパ）の外観を確認する。        | 有害な欠陥がないこと。  |
|           |      | ドーム屋根に取付ける外装材の外観を確認する。       | 外装材の設置範囲が、図－ 2 の通りであること。   |



キープラン (O.P. 46.000 伏図)

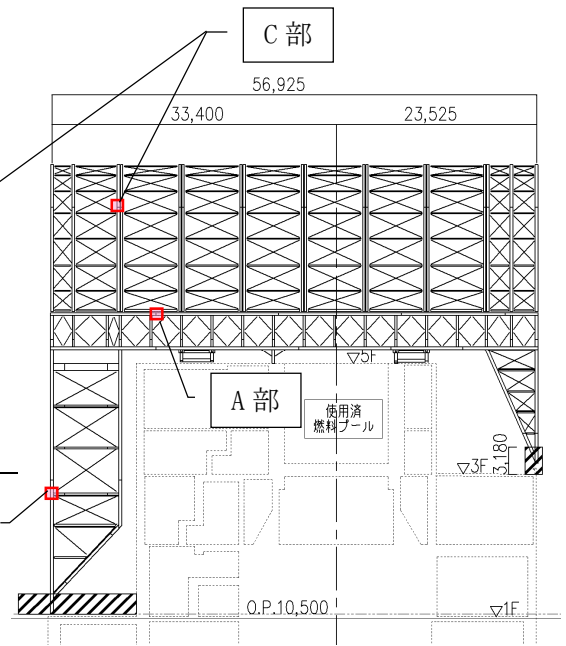


キープラン (O.P. 26.900 伏図)

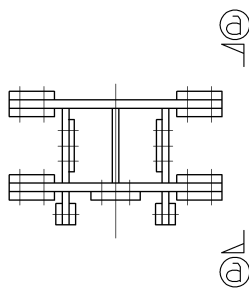


キープラン  
(ドーム屋根立面)

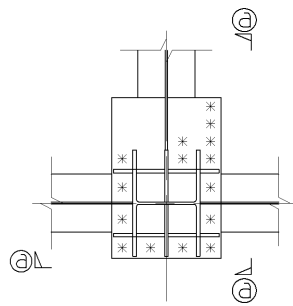
B 部



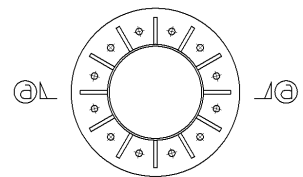
キープラン (東西断面図)



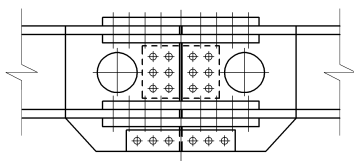
断面図



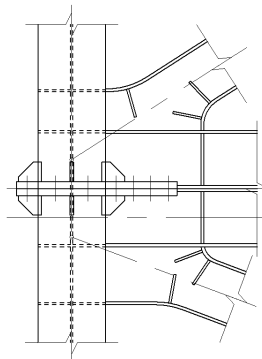
伏図



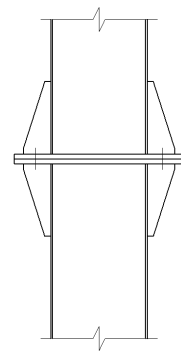
断面図



①-①断面図



①-①断面図



①-①断面図

ボルト種類 : SHTB M24  
本数 58×2

(a) ガーダ上弦材 (A 部)

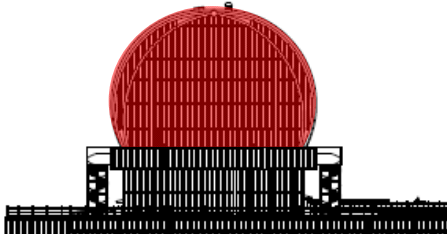
ボルト種類 : SHTB M24  
本数 15

(b) 柱材 (B 部)

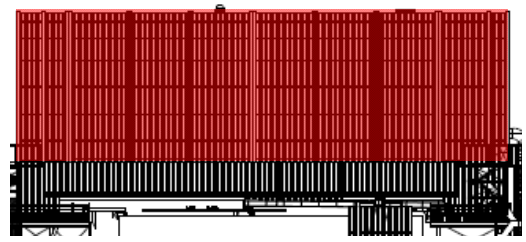
ボルト種類 : SHTB M22  
本数 12

(c) 弦材 (C 部)

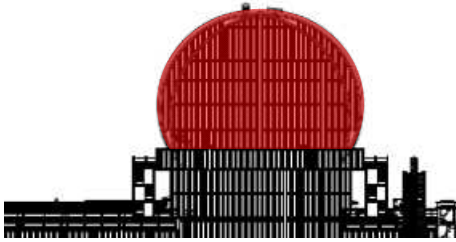
図-1 接合部詳細



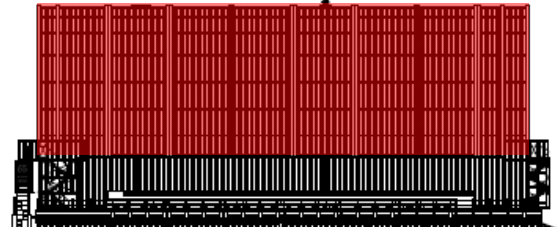
東立面図



北立面図



西立面図



南立面図


 ドーム屋根外装材設置箇所

図-2 3号機燃料取り出し用カバーのドーム屋根外装材設置範囲

### 3号機原子炉建屋の躯体状況調査結果を反映した 使用済燃料プール等の耐震安全性評価結果

#### 1. はじめに

3号機原子炉建屋では、現在、瓦礫撤去及び燃料取り出し用カバーの施工が進捗している。瓦礫撤去に伴い、新たな損傷調査が可能になり、躯体の詳細な損傷状況が明らかになった。一方で、燃料取り出し用カバーには、使用済燃料プール部近傍のオペレーティングフロア（5階床）を支持点として、水平振れ止め装置（ストッパ）及び鉛直方向の制震装置（オイルダンパ）の設置や、同じくオペレーティングフロアの随所に、作業の安全のため遮へい体の設置などが計画されている。

本報告書では、燃料取り出し用カバー設置に際し、使用済燃料プール、オペレーティングフロア（以下、オペフロとする）及び1～5階の最新の損傷状況調査結果と、その損傷状況を反映し、かつ使用済燃料の取り出し時の荷重状態を想定した原子炉建屋の3次元FEM解析により、使用済燃料プール等（使用済み燃料プール壁床、プールを拘束するシェル壁、オペフロ床）の耐震安全性評価結果を報告する。

#### 2. 損傷状況の調査結果

原子炉建屋の瓦礫撤去に伴い、損傷状況の調査を行った。調査は耐震安全性に関わる内外壁及び床を対象に、クレーン吊りの遠隔操作カメラによる映像分析及び遠隔操作ロボットによる建屋内調査の映像分析により実施した。主にクレーン吊りカメラではオペフロ床面及びオペフロ南西部に位置する大物搬入用の床開口から2～5階の開口周辺部の使用済燃料プール壁を含む壁、床を確認した。遠隔操作ロボットによる建屋内調査映像ではクレーン吊りカメラでは確認できない1階、2階のシェル壁を含むエリアの壁、床の状況を確認した。調査結果として、通りスパンごとに損傷の程度を3段階（損傷なし、一部損傷、全壊）に分類した。図-2.1～図-2.10に原子炉建屋内の各階における損傷状況を、図-2.11に建屋外壁状況写真をそれぞれ示す。

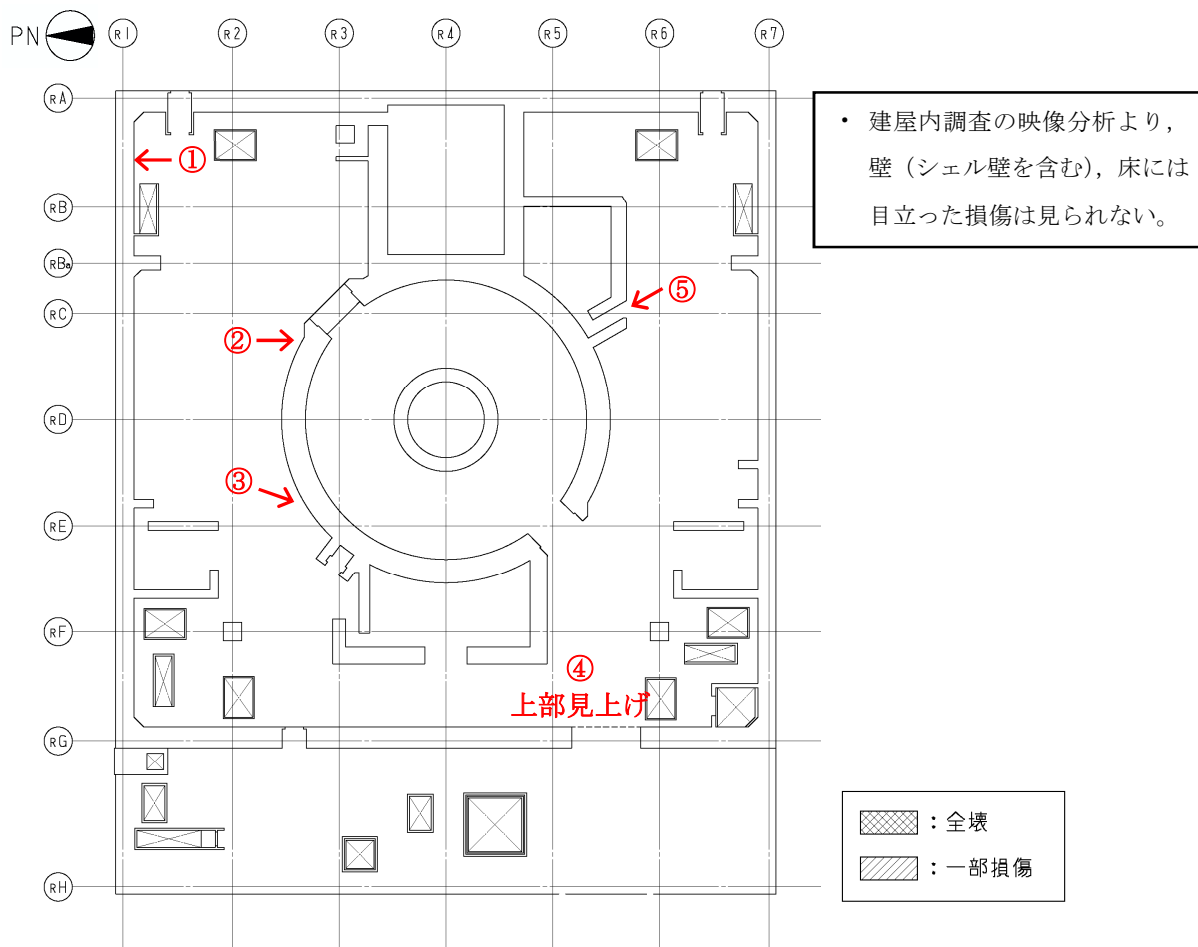


図-2.1 損傷状況（1階）

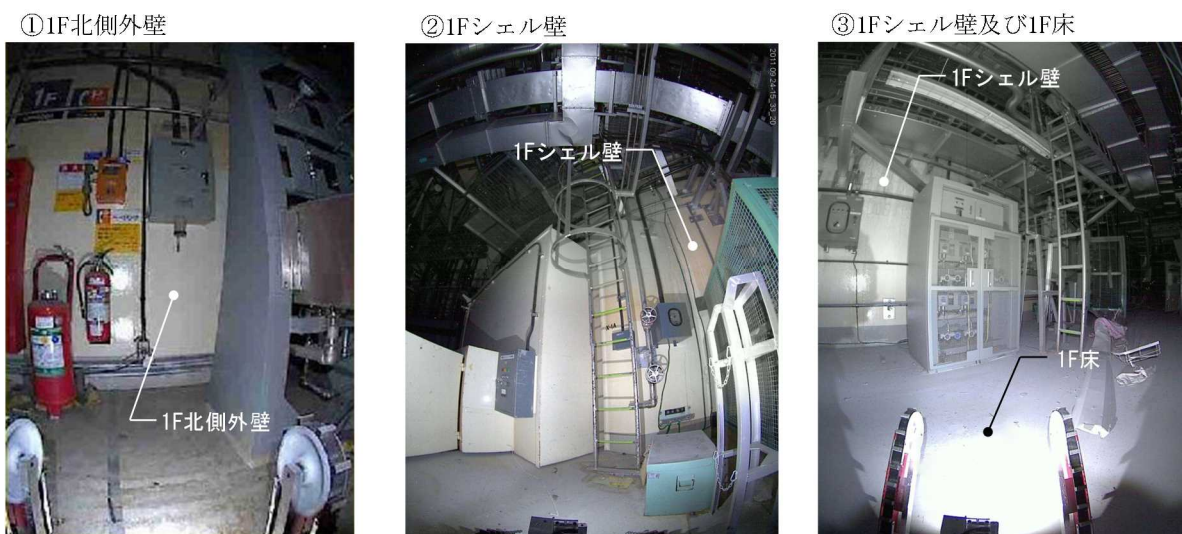
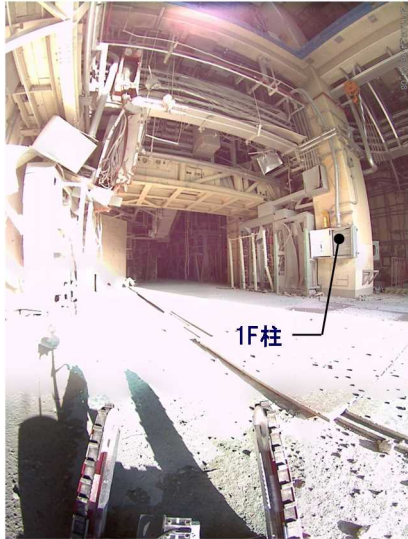


図-2.2(1) 建屋内状況写真（1階）

④1F大物搬入口付近



⑤1Fシェル壁



図-2.2(2) 建屋内状況写真（1階）

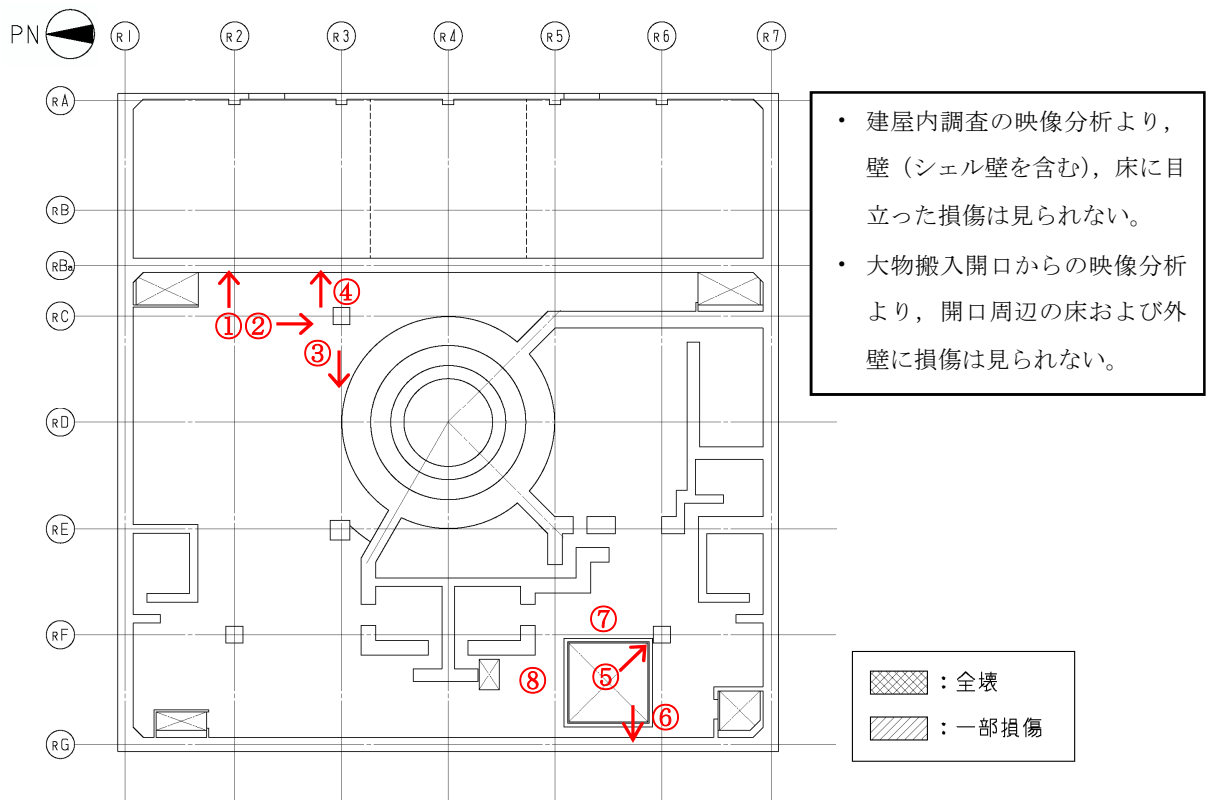


図-2.3 損傷状況（2階）



図-2.4(1) 建屋内状況写真（2階）



③2Fシェル壁



④2F東側外壁



⑤2F柱脚



⑥2F西側外壁脚部



⑦2F床 (大物搬入口東側)



⑧2F床 (大物搬入口北側)

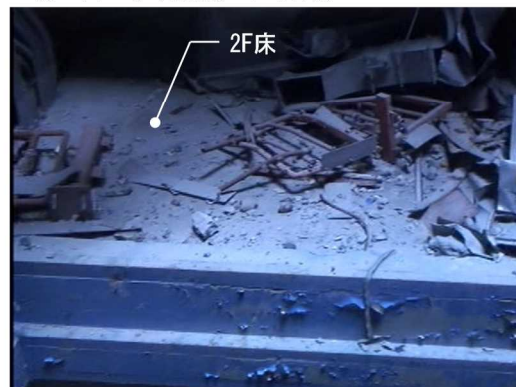


図-2.4(2) 建屋内状況写真 (2階)

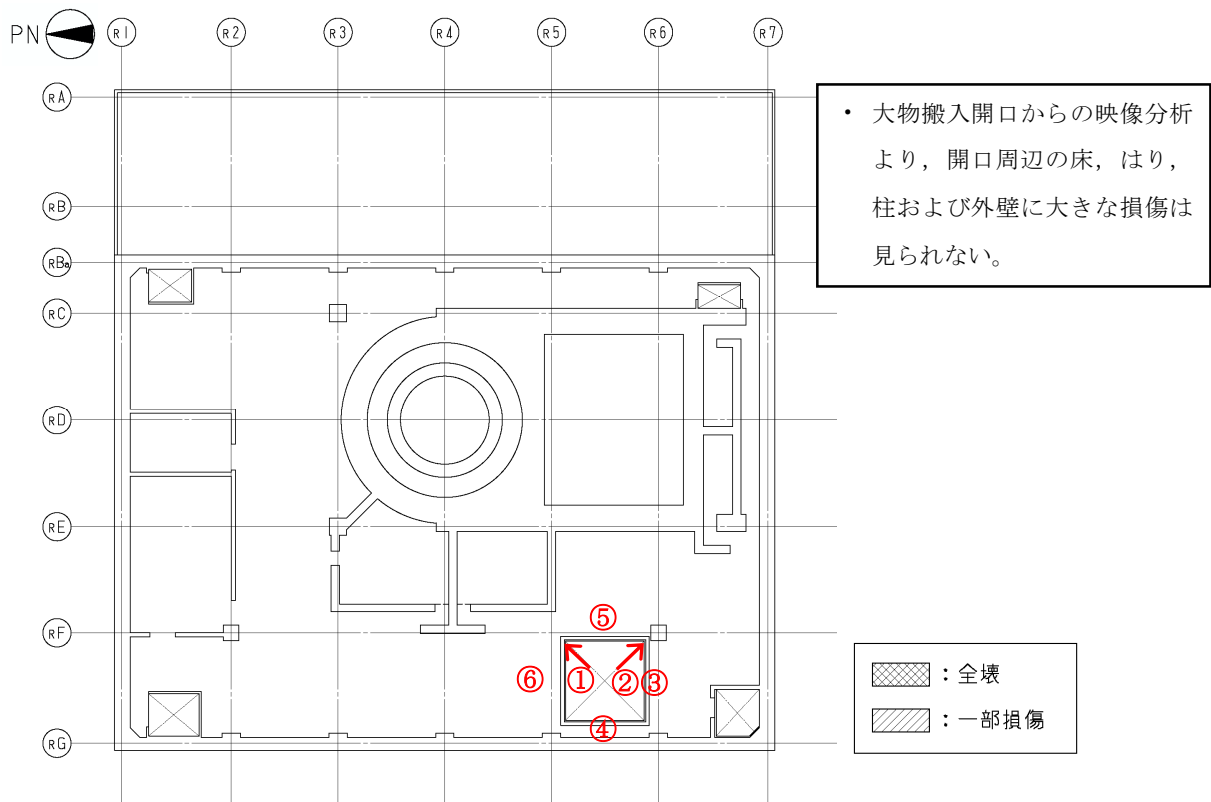


図-2.5 損傷状況（3階）

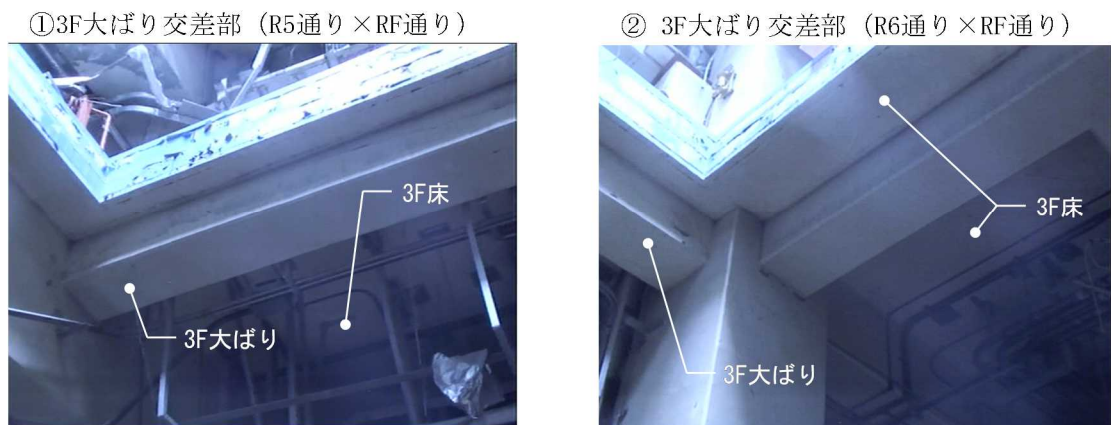
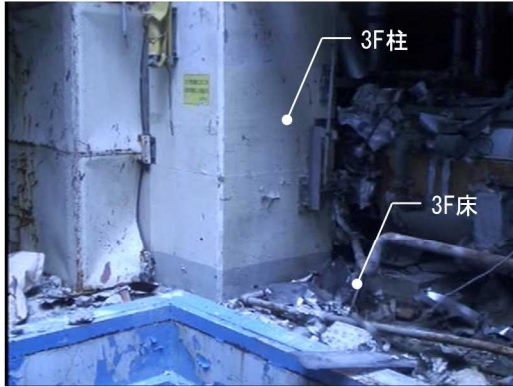


図-2.6(1) 建屋内状況写真（3階）

③3F柱脚



④3F西側外壁中央部



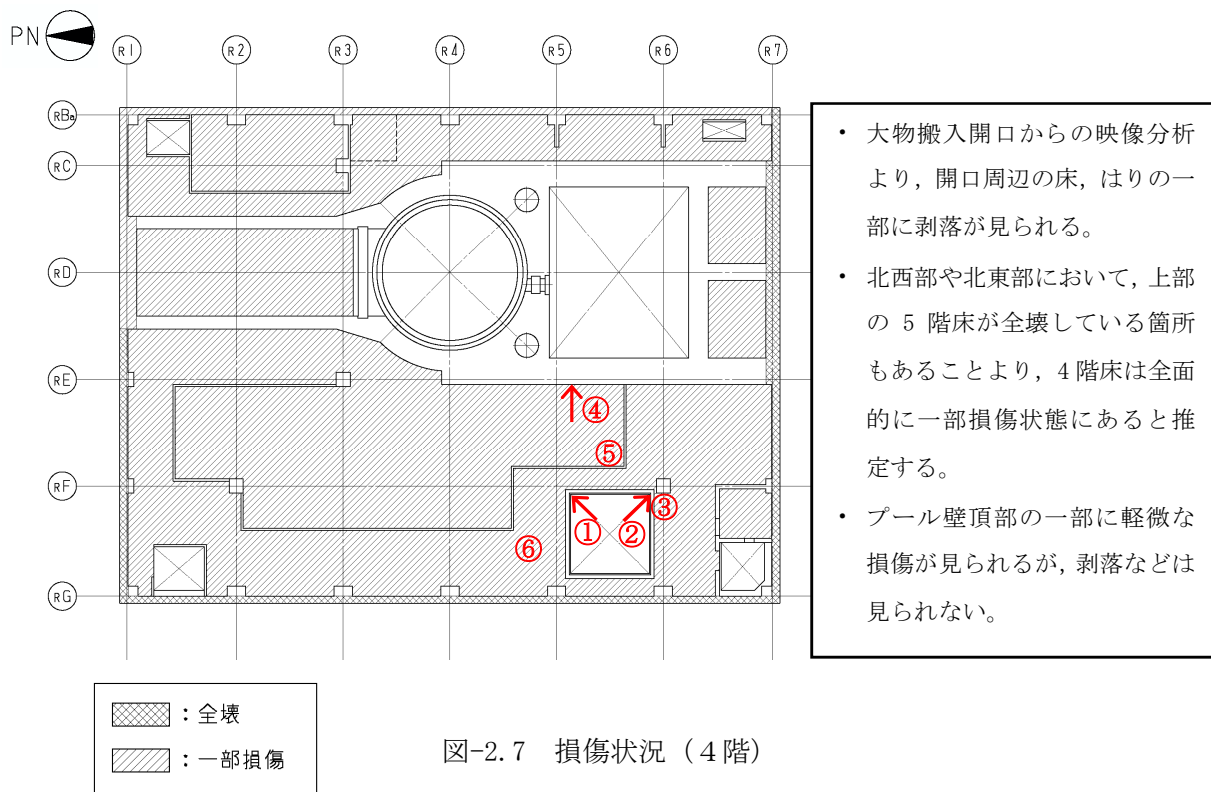
⑤3F床 (大物搬入口東側)



⑥3F床 (大物搬入口北側)



図-2.6(2) 建屋内状況写真 (3階)



①4F大ばり交差部（R5通り×RF通り）

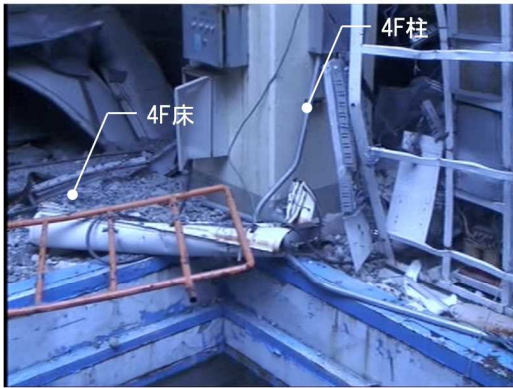


②4F大ばり交差部（R6通り×RF通り）



図-2.8(1) 建屋内状況写真（4階）

③4F柱脚



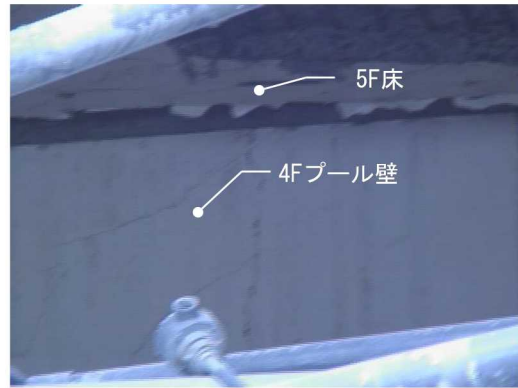
⑤4F床 (大物搬入口東側)



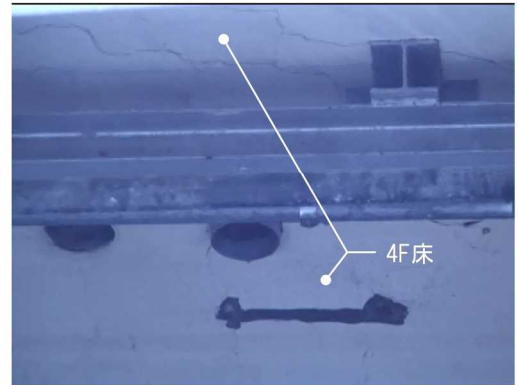
⑥4F床 (大物搬入口北側)



④4Fプール壁 (頂部)



⑤4F床 (大物搬入口東側)



⑥4F床 (大物搬入口北側)



図-2.8(2) 建屋内状況写真 (4階)

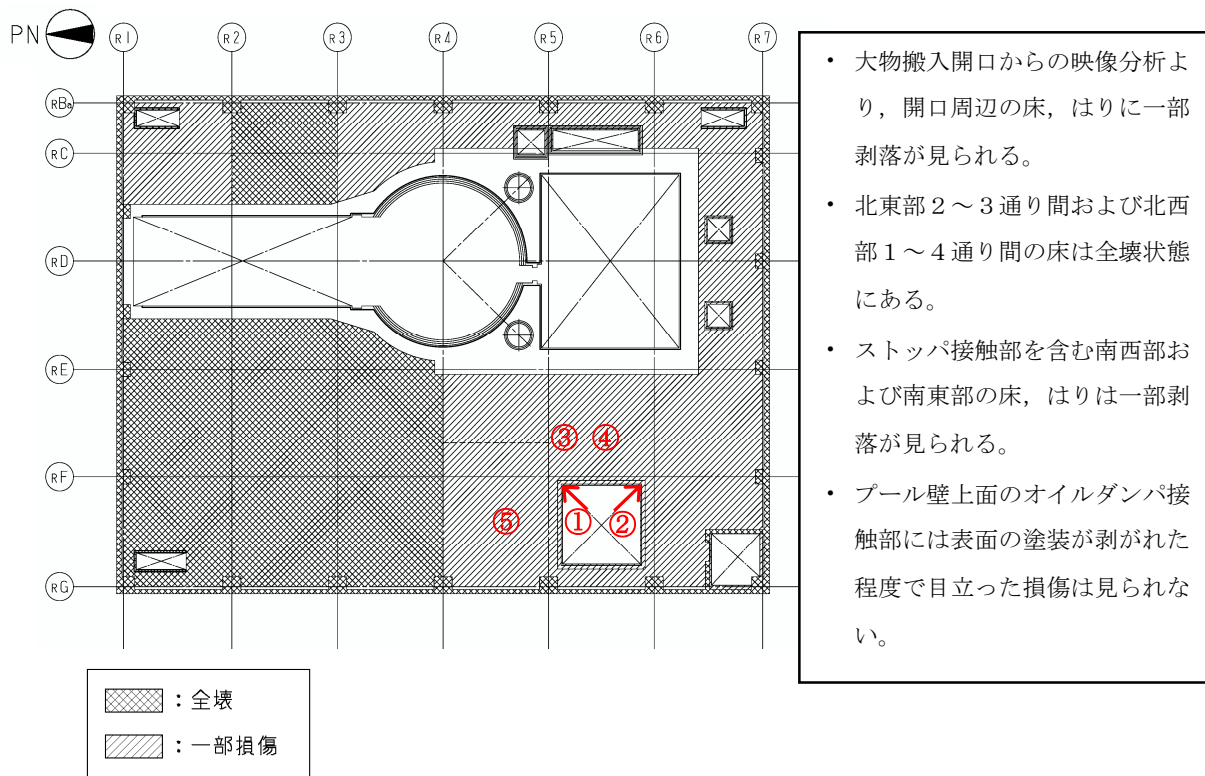


図-2.9 損傷状況（5階）

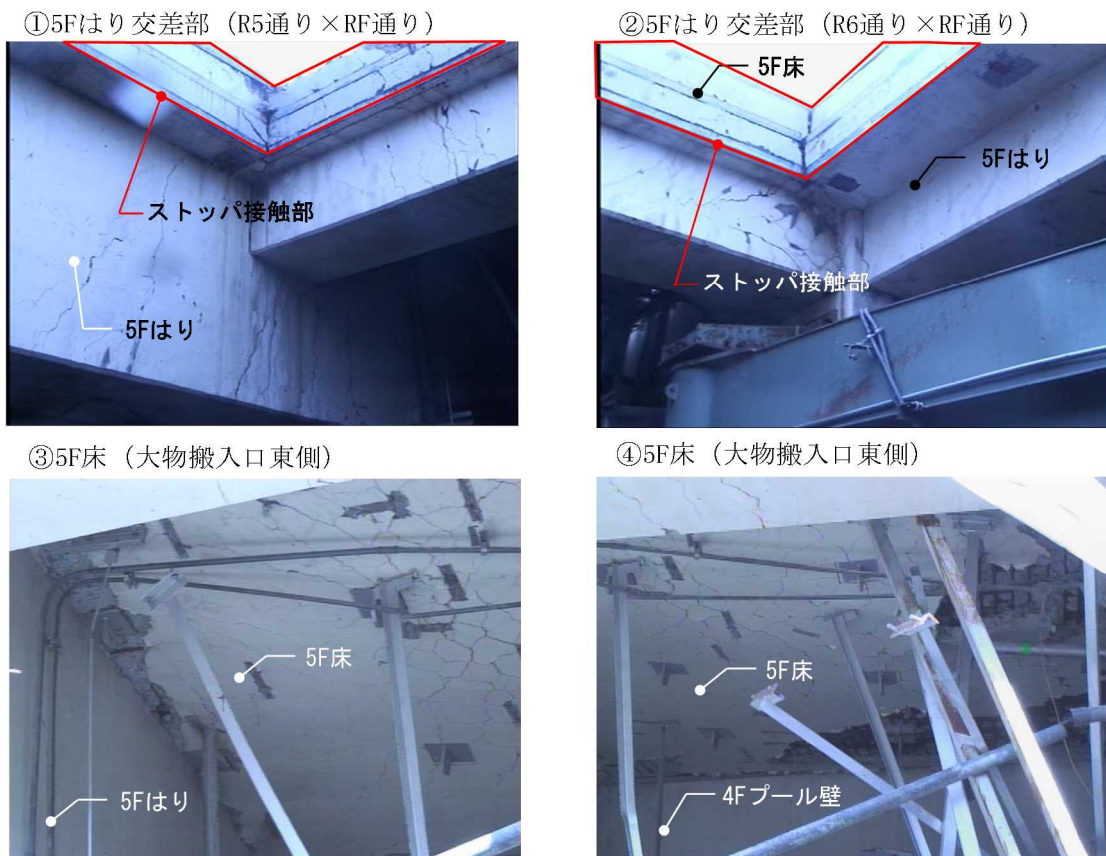
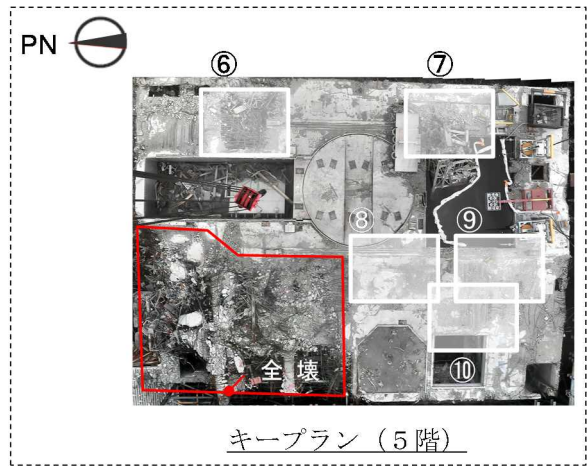
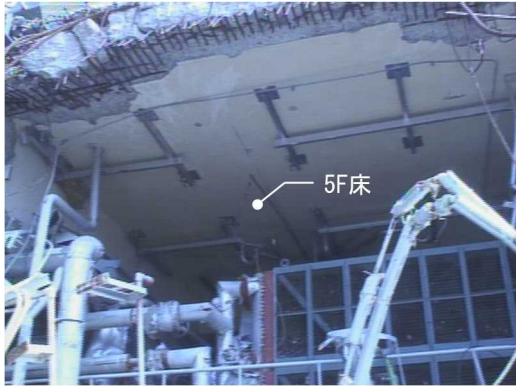
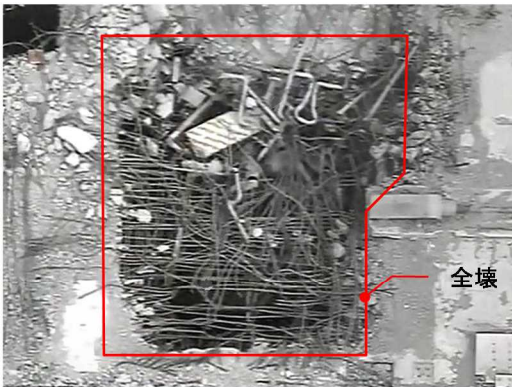


図-2.10(1) 建屋内状況写真（5階）

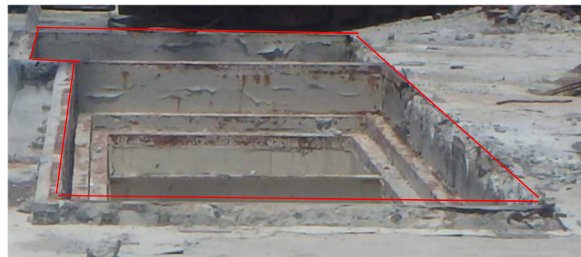
⑤5F床（大物搬入口北側）



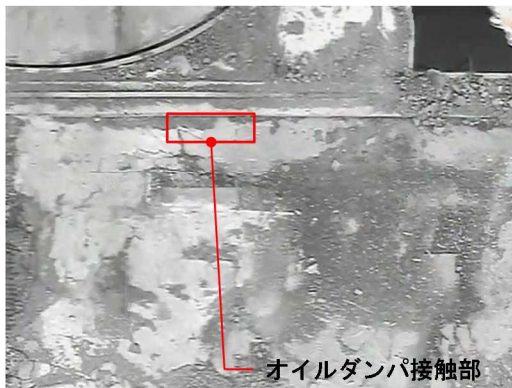
⑥5F床（機器仮置プール）



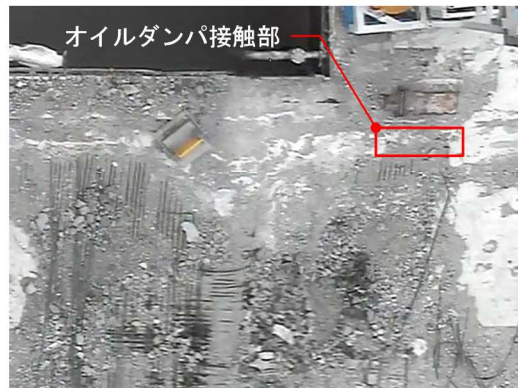
⑦東側ストッパ接触部



⑧オイルダンパ接触部（北側）



⑨オイルダンパ接触部（南側）



⑩西側ストッパ接触部

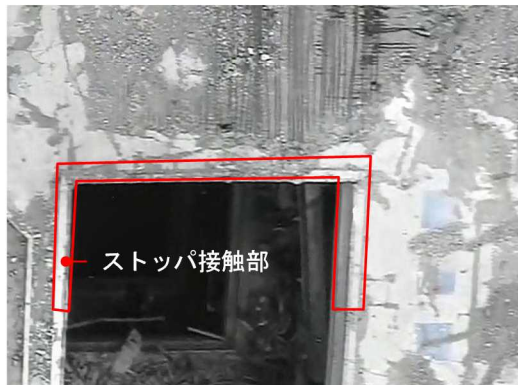


図-2.10(2) 建屋内状況写真（5階）

①西側壁面



②東側壁面



③南側壁面



④北側壁面



・ 外壁4面とも新たな損傷は見られない。

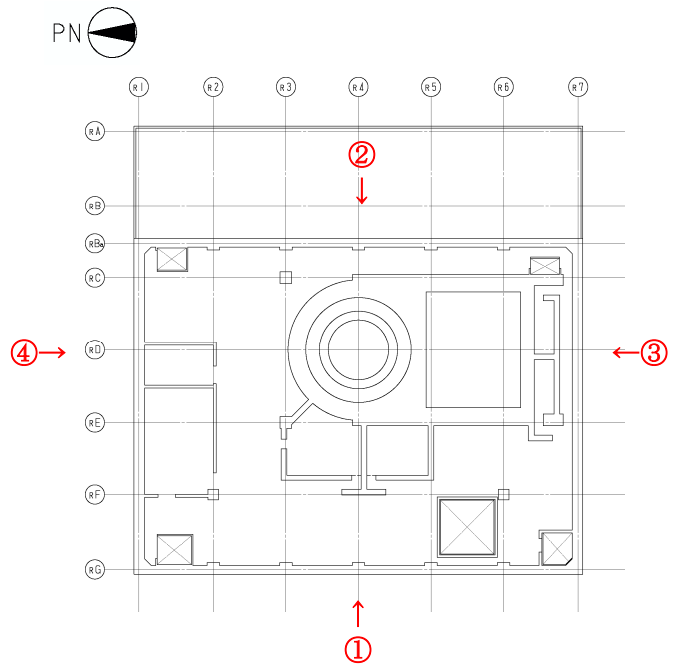


図-2.11 建屋外壁状況写真



### 3. 3次元FEM解析による耐震安全性評価

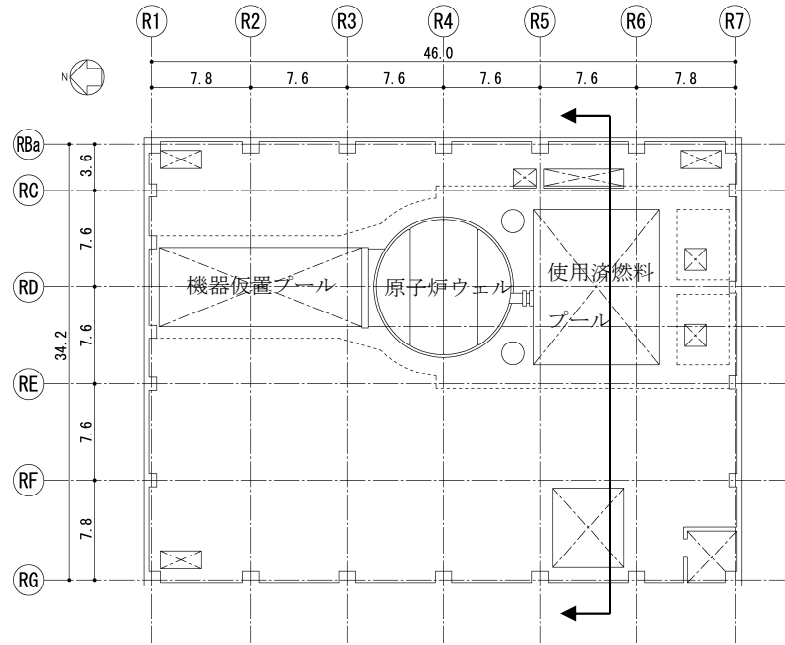
#### 3.1 解析方針

本検討では、使用済燃料の取出し時における原子炉建屋の状況を反映するとともに、2章において損傷が確認された箇所を反映した解析モデルを作成し、基準地震動  $S_s$  に対する耐震安全性を、3次元FEM解析によって評価する。

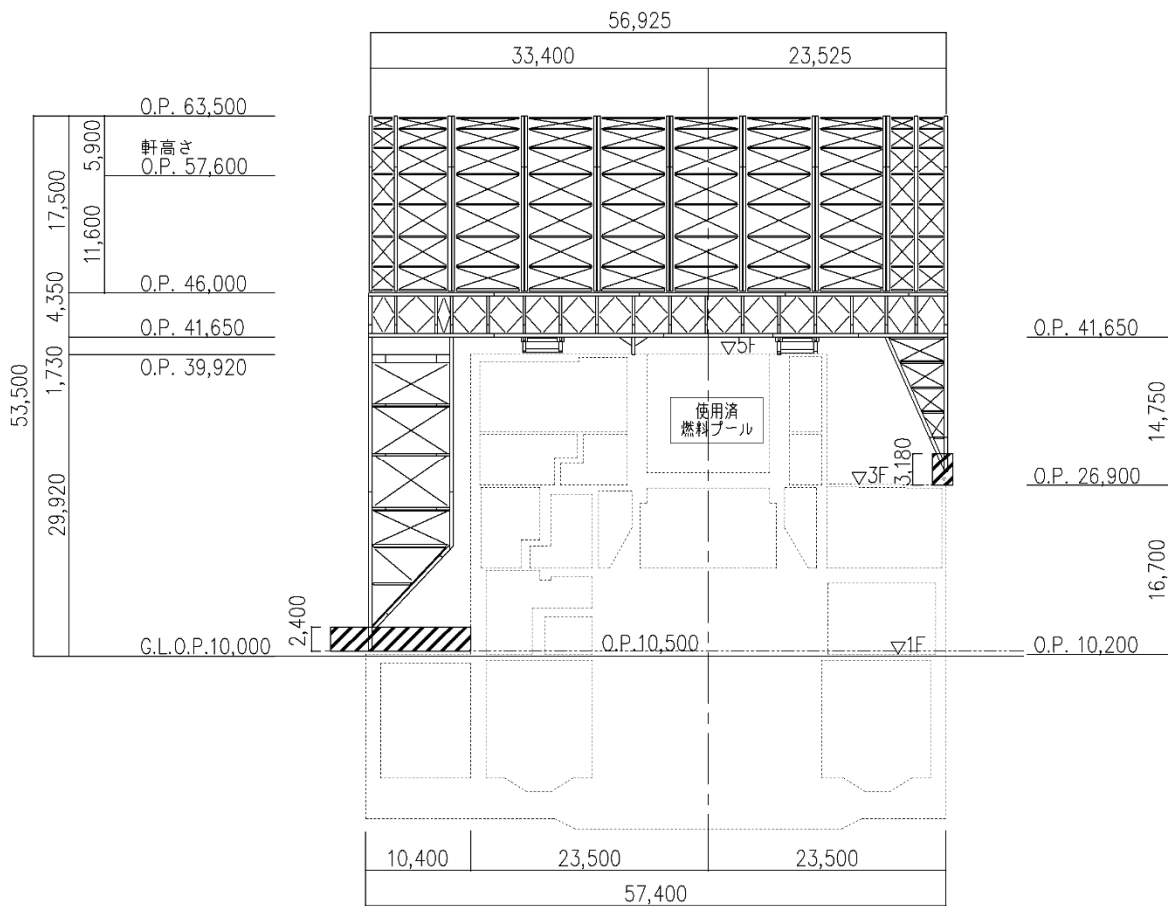
図-3.1.1 に原子炉建屋及び燃料取り出し用カバーの概要図を示す。

耐震安全性評価は、図-3.1.2 のフローに示すように以下の手順で行う。

- ・ 使用済燃料プール周辺の2階の床 (O.P. 18.7m) から5階の床 (O.P. 39.92m) までの建屋部分をもとに、2章において新たに損傷が確認された箇所の強度を期待せず、剛性を低下あるいは無視した3次元FEM解析モデルを作成する。
- ・ 死荷重、遮へい体・燃料取り出し用カバー荷重、使用済燃料プール水による静水圧、地震応答解析結果にもとづく地震荷重、地震時の燃料取り出し用カバー反力及び荷重組合せの条件を設定する。
- ・ 応力解析として鉄筋コンクリート部材の塑性化を考慮した弾塑性解析を行い、使用済燃料プール部、シェル壁及び燃料取り出し用カバーが取り付く5階オペフロに発生する応力及びひずみを算出する。
- ・ 評価基準値と比較し、耐震安全性を評価する。

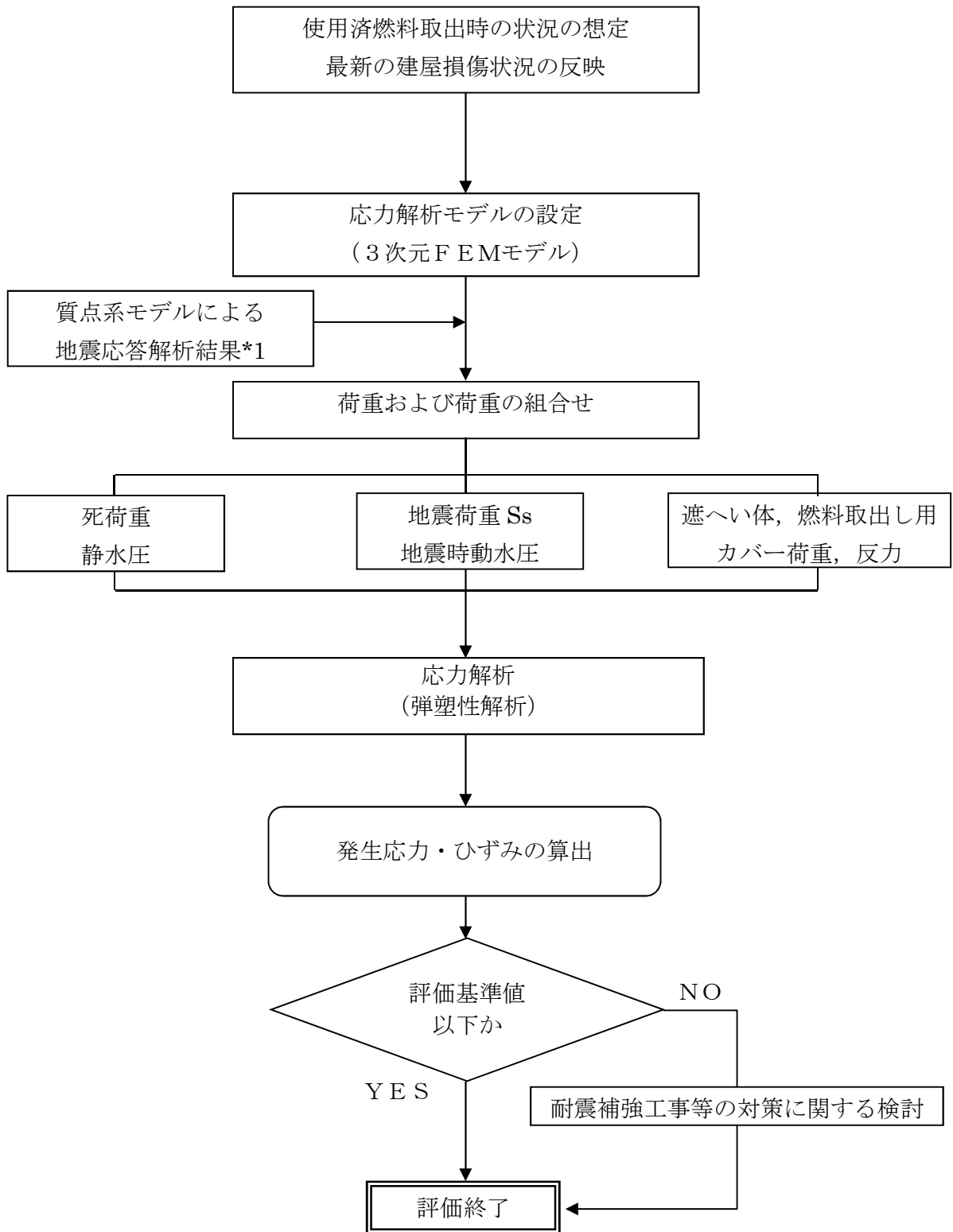


平面図



断面図

図-3.1.1 原子炉建屋及び燃料取り出し用カバーの概要図



\*1:「Ⅱ-2-11 添付資料-4-2 3. 3号機燃料取り出し用カバーの構造強度及び耐震性について」中の3号機の燃料取出し時の状態を考慮した地震応答解析結果にもとづく。

図-3.1.2 耐震安全性評価フロー

### 3.2 応力解析モデルの設定

鉄筋コンクリート部材の塑性化を考慮した弾塑性解析を実施し、使用済燃料プール及びシェル壁等に発生する応力及びひずみを算定する。2階壁から5階のオペフロまでの鉄筋コンクリート部材を有限要素の集合体としてモデル化した。2章において損傷（一部損傷及び全壊）が確認された箇所について、建屋損傷状況を反映した応力解析モデルを構築した。

使用計算機コードは「ABAQUS」である。解析モデルに使用する板要素は、鉄筋層をモデル化した異方性材料による積層シェル要素（コンクリート部：10要素 11積分点）を用いた。一般には断面の板厚方向の応力分布を評価するには板厚方向の分割は4～5要素で十分であるが、今回は鉄筋層の外側のコンクリート剛性を考慮できるように10要素と細かくした。なお、面外せん断剛性は「ABAQUS」では、板厚方向には分割されず1要素のままとなる。各要素には、板の軸力と曲げ応力を同時に考える。また、板のたわみには曲げによる変形とせん断による変形を考慮する。柱と梁は、軸力、曲げ、せん断を同時に考慮できる梁要素としてモデル化し、板要素を含めそれぞれの要素の接合条件は剛接とした。

図-3.2.1に解析モデル概要図を、図-3.2.2にコンクリートと鉄筋の構成則を、図-3.2.3に解析モデルの境界条件を示す。

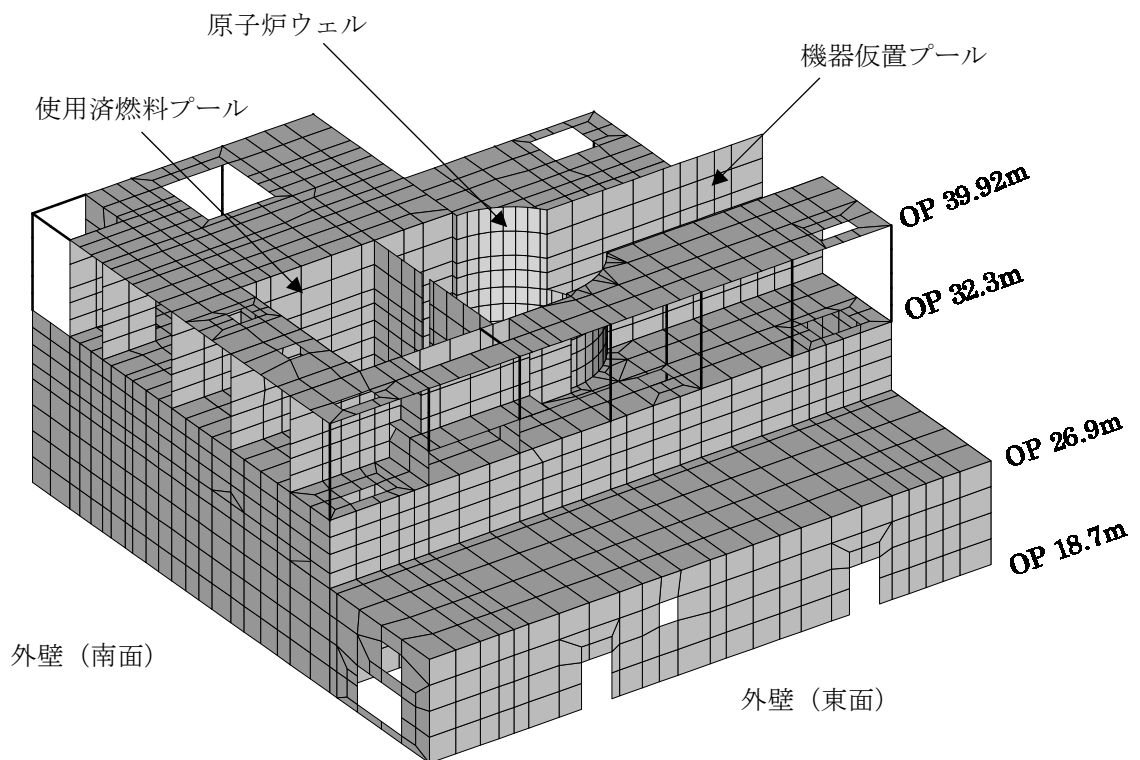
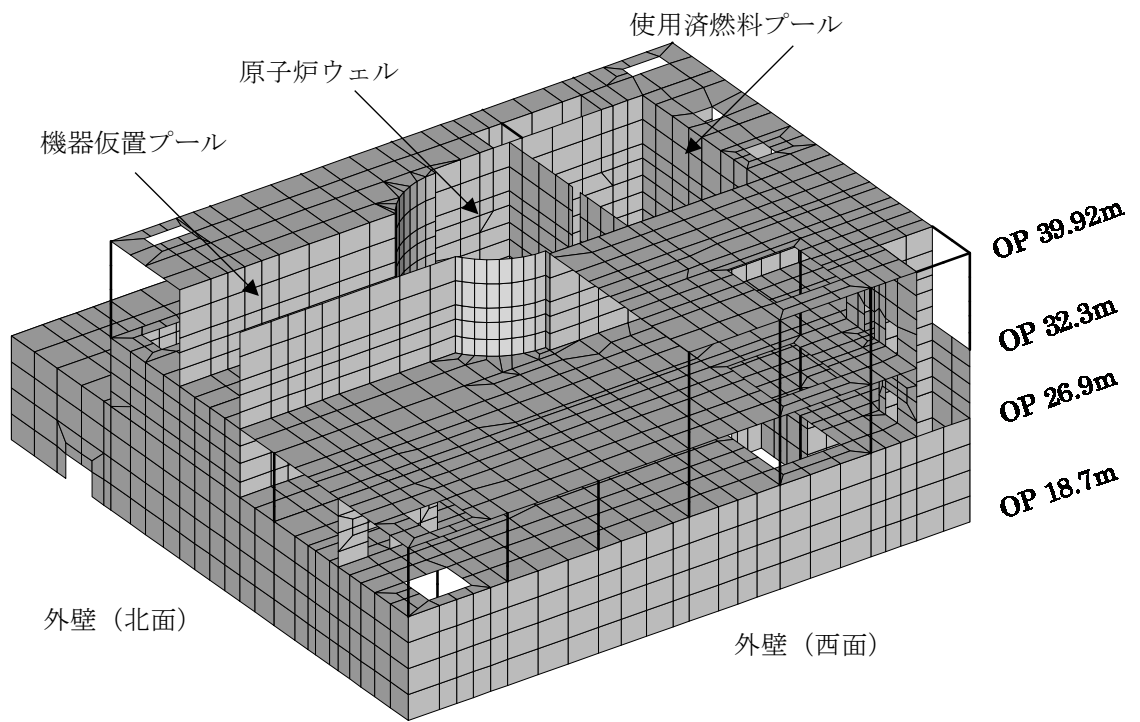
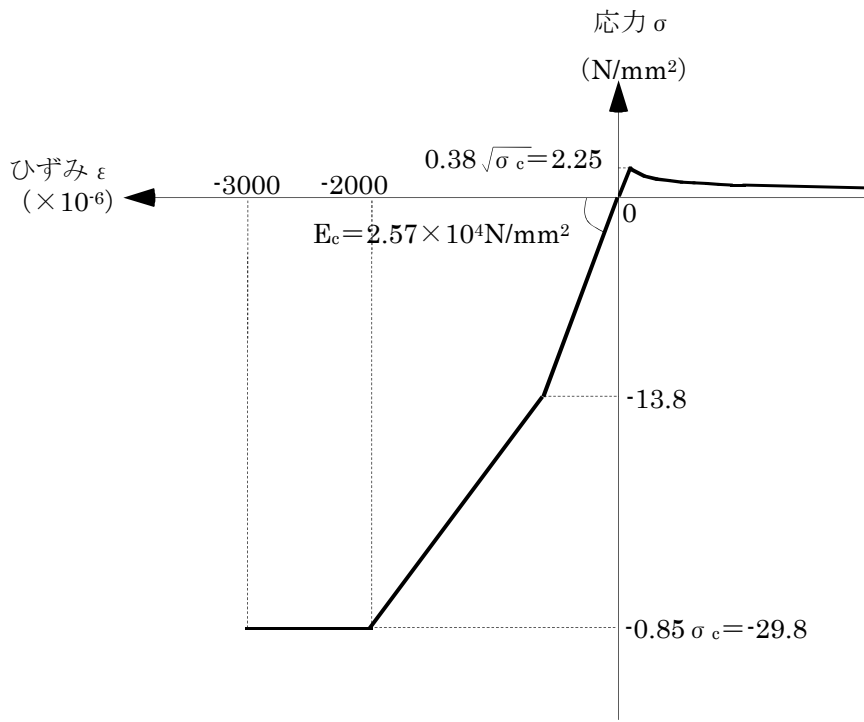
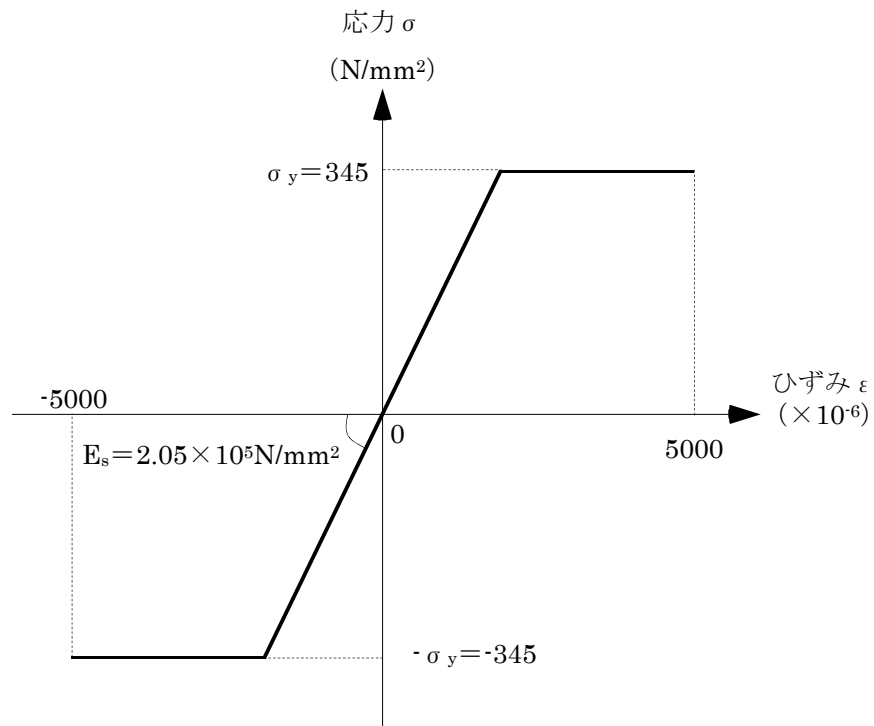


図-3.2.1 解析モデル概要図



(a) コンクリートの応力-ひずみ関係  
(コンクリート強度  $\sigma_c = 35 \text{ N/mm}^2$ )



(b) 鉄筋の応力-ひずみ関係  
(鉄筋降伏点  $\sigma_y = 345 \text{ N/mm}^2$ )

図-3.2.2 コンクリートと鉄筋の構成則

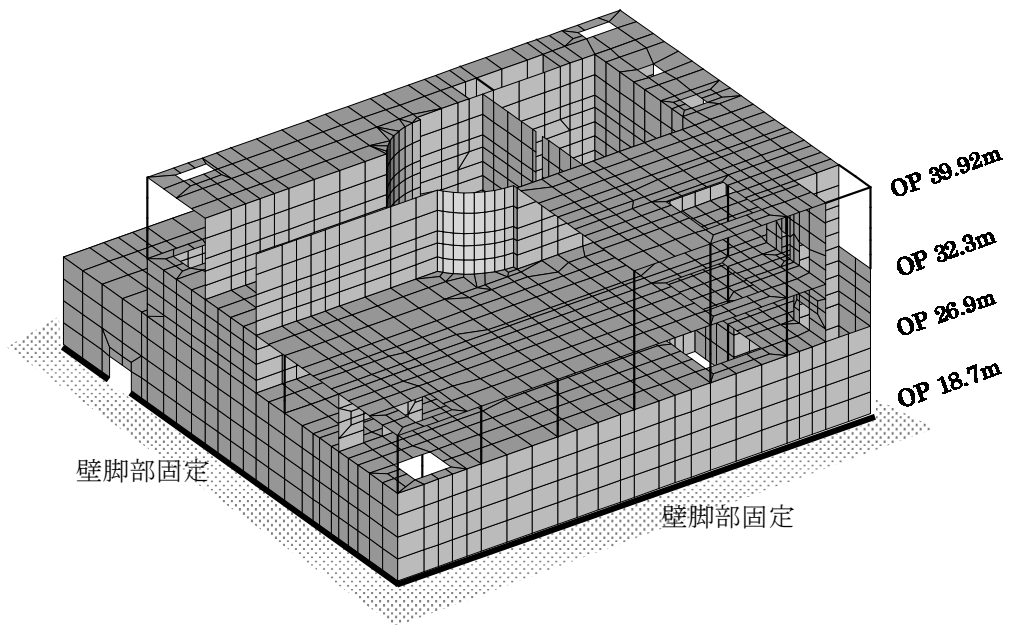


図-3.2.3 解析モデルの境界条件

### 3.3 損傷状況の仮定

損傷状況の仮定にあたっては、2章において損傷（一部損傷及び全壊）が確認された箇所を反映し、3次元FEM解析モデルを作成する。図-3.3.1～図-3.3.4に損傷状況を仮定した損傷モデルを示す。

#### (1)床スラブ

床スラブは、5階～4階において、床全壊箇所は剛性を0%とし、床一部損壊箇所は剛性を50%とする。損傷状況の調査結果より明らかとなったオペフロ（5階）の北東部の床は、剛性を0%とする。4階の床は、大物搬入開口周辺の床、はりの一部に剥落が見られること、および、北西部や北東部において、上部の5階床が全壊している箇所もあることより、4階床は全面的に一部損傷状態にあると推定する。

#### (2)外壁・内壁

外壁・内壁は、新たな損傷が確認されていないため、変更は行わない。

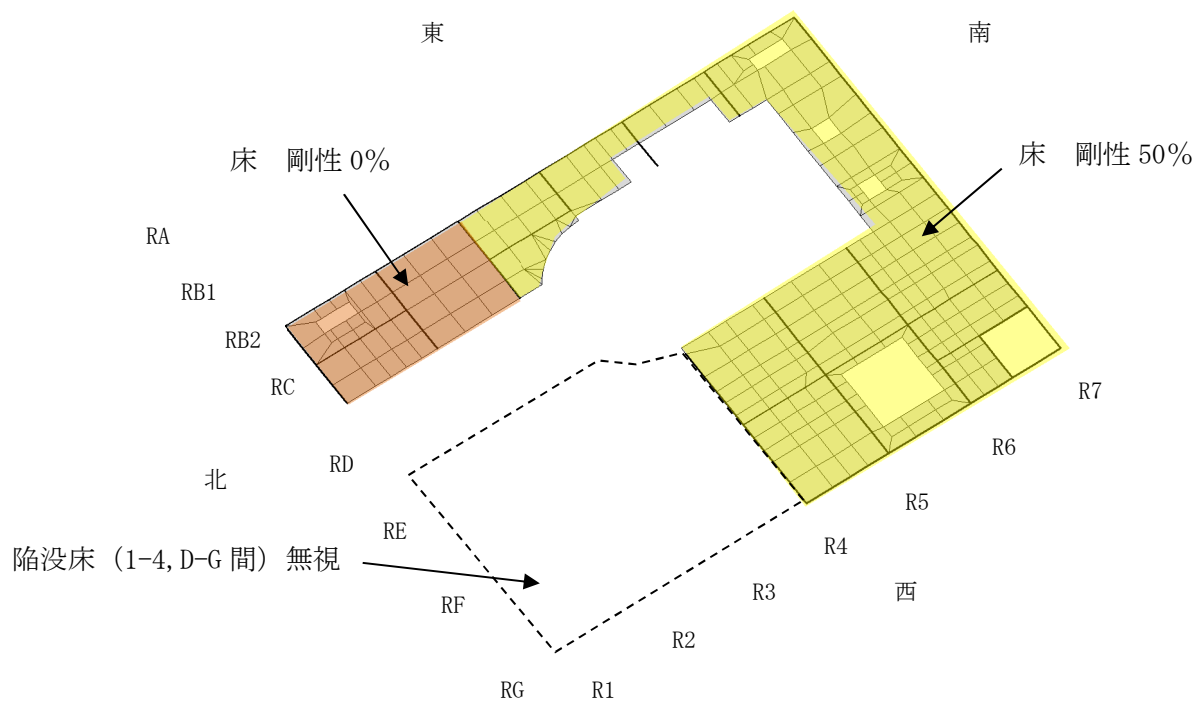
#### (3)使用済燃料プール・機器仮置プール

使用済燃料プール・機器仮置プールについては壁及び床ともに健全であった壁や床よりも、十分な厚さがあるため、損傷なしとして評価を行う。

#### (4)シェル壁

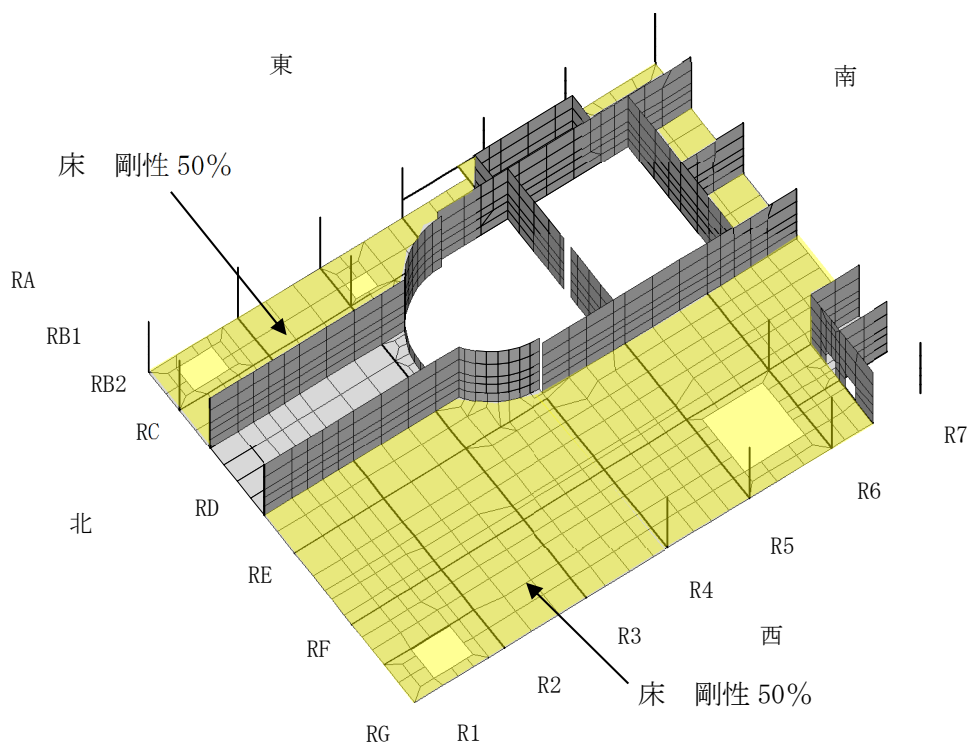
シェル壁については健全であった壁や床よりも、十分な厚さがあるため、損傷なしとして評価を行う。





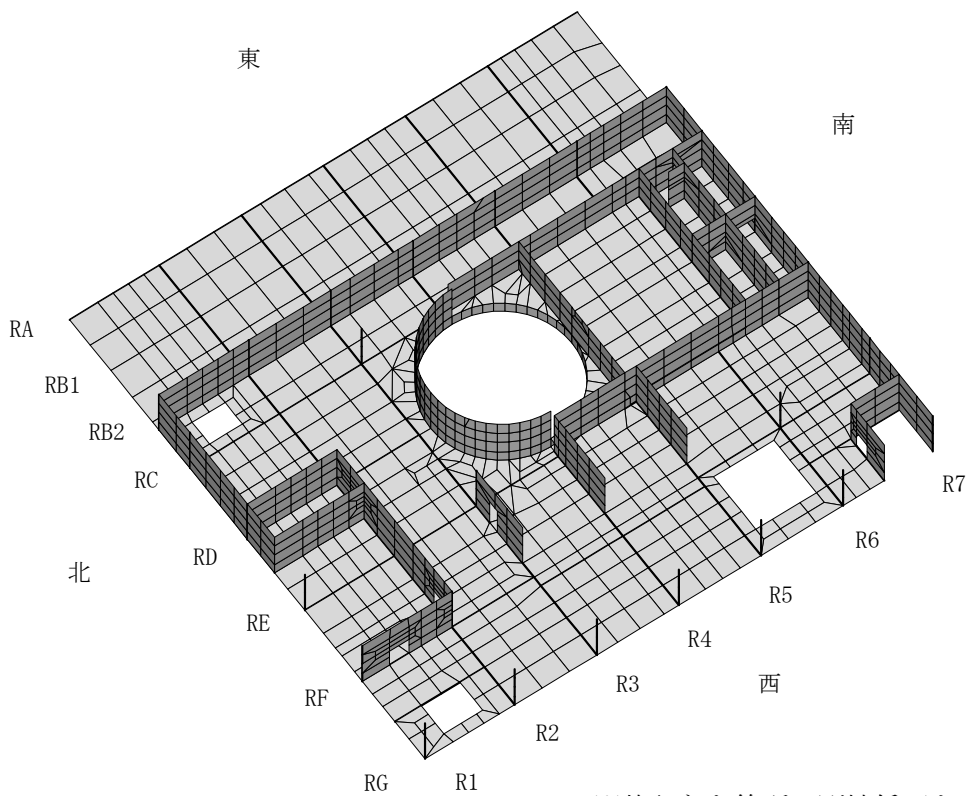
※特記なき箇所は剛性低下を考慮しない。

図-3.3.1 損傷状況仮定 アイソメ図 5階 (0. P. 39.92m)



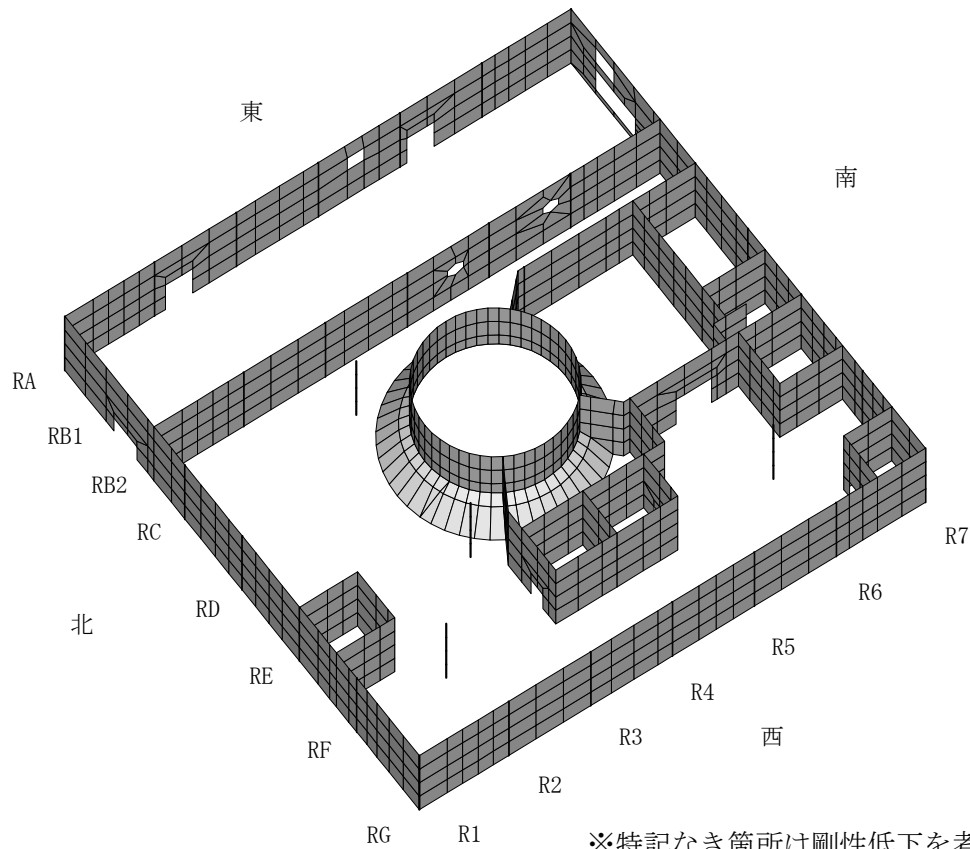
※特記なき箇所は剛性低下を考慮しない。

図-3.3.2 損傷状況仮定 アイソメ図 4階 (0. P. 32.3m)



※特記なき箇所は剛性低下を考慮しない。

図-3.3.3 損傷状況仮定 アイソメ図 3階 (O.P. 26.9m)



※特記なき箇所は剛性低下を考慮しない。

図-3.3.4 損傷状況仮定 アイソメ図 2階 (O.P. 18.7m)

### 3.4 荷重及び荷重の組合せ

#### (1) 死荷重 DL

解析モデルに付与する死荷重は、モデル化範囲の建屋躯体の自重に加え、機器・配管・その他の重量は床に一様に積載されているものとする。死荷重を表-3.4.1に示す。

表-3.4.1 死荷重

| 荷重          | 荷重の与え方                    | 荷重 (kN) |
|-------------|---------------------------|---------|
| 死荷重 (原子炉建屋) | シェル要素に物体力 (密度×体積) として入力する | 330619  |

#### (2) 遮へい体・燃料取り出し用カバー荷重 DF

遮へい体及び燃料取り出し用カバー重量を表-3.4.2に示す。

表-3.4.2 遮へい体・燃料取り出し用カバー荷重 (固定荷重)

| 荷重                  | 荷重の与え方  | 荷重 (kN)                               |                    |
|---------------------|---|---------------------------------------|--------------------|
| 遮へい体荷重 (固定荷重)       | オペフロ階 (既存躯体の5階) の鉛直支持位置に、支配面積に応じて按分した荷重を節点荷重として入力する | 18000                                 |                    |
| 燃料取り出し用カバー荷重 (固定荷重) | ストッパ  | オペフロ階 (既存躯体の5階) のストッパ脚部反力を節点荷重として入力する | 1500               |
|                     | 東側脚部 <sup>※1</sup>                                  | カバー架構 (オイルダンパを含む) の脚部反力を節点荷重として入力する   | 7700 <sup>※2</sup> |
|                     | 置き基礎  | 死荷重 (原子炉建屋) として考慮済み <sup>※3</sup>     | (1500)             |

※1: 解析モデル (3次元 FEM モデル) において、2階壁から上部をモデル化しているため、西側脚部 (1階床面レベル) は該当なし。

※2: 東側脚部の荷重 7700kN は、全体モデルの取合い点の反力より算出している。

※3: 置き基礎は、原子炉建屋下屋部分に一様に荷重 (2階外壁上。3階床レベル。) がかかるため、原子炉建屋の死荷重として考慮した。

(3) 静水圧 H

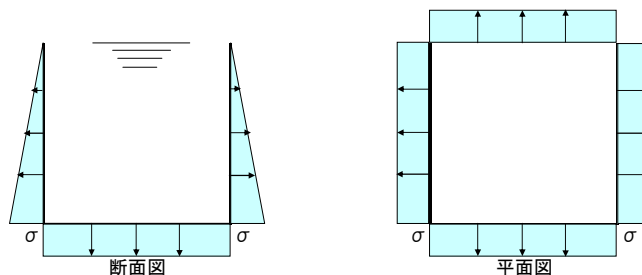
使用済燃料プールが満水状態（プール水重量 13640 kN）にあると仮定した場合の静水圧（ $\sigma = 113 \text{ kN/m}^2$ ）を考慮する。荷重は圧力荷重としてシェル要素に入力する。

$$\text{静水圧 } P_s = \rho g H$$

ここで

- $\rho$  : 液体の密度 ( $10^3 \text{ kg/m}^3$ )
- $g$  : 重力加速度 ( $9.80665 \text{ m/s}^2$ )
- $H$  : プール水深 ( $11.51 \text{ m}$ )

$$P_s = 113 (\text{kN} / \text{m}^2)$$



(4) 地震荷重 K

全体架構モデルによる基準地震動  $S_s$  に対する地震応答解析結果に基づき、水平方向及び鉛直方向の地震荷重を考慮する。地震荷重を表-3.4.3 に示す。

表-3.4.3(1) 地震荷重 (kN)

| O. P. (m) | 自重<br>(kN) | NS 方向地震力     |             |      | 荷重の与え方  |
|-----------|------------|--------------|-------------|------|---|
|           |            | せん断力<br>(kN) | 地震力<br>(kN) | 震度   |   |
| 39.92     | 87590      | —            | 71920       | 0.83 | 基準地震動 $S_s$ に対する応答せん断力に基づく地震力を震度換算し、シェル要素の物体力（密度×体積）に乗じて入力する。 |
| 32.3      | 119490     | 71920        | 83080       | 0.70 |   |
| 26.9      | 111340     | 155000       | 74320       | 0.67 |   |
| 18.7      | 130160     | 229320       | 77190       | 0.60 |   |
| 10.2      | —          | 306510       | —           | —    |   |

表-3.4.3(2) 地震荷重 (kN)

| O. P. (m) | フア重量<br>(kN) | EW 方向地震力     |             |      | 荷重の与え方  |
|-----------|--------------|--------------|-------------|------|---|
|           |              | せん断力<br>(kN) | 地震力<br>(kN) | 震度   |   |
| 39.92     | 87590        | —            | 72110       | 0.83 | 基準地震動 Ss<br>に対する応答<br>せん断力に基<br>づく地震力を<br>震度換算し、<br>シェル要素の<br>物体力 (密度<br>×体積) に乗<br>じて入力す<br>る。 |
| 32.3      | 119490       | 72110        | 85770       | 0.72 |   |
| 26.9      | 111340       | 157880       | 72640       | 0.66 |   |
| 18.7      | 130160       | 230520       | 74140       | 0.57 |   |
| 10.2      | —            | 304660       | —           | —    |   |

表-3.4.3(3) 地震荷重 (kN)

| O. P. (m) | フア重量<br>(kN) | UD 方向地震力   |             |      | 荷重の与え方  |
|-----------|--------------|------------|-------------|------|---|
|           |              | 軸力<br>(kN) | 地震力<br>(kN) | 震度   |   |
| 39.92     | 87590        | —          | 43860       | 0.50 | 基準地震動 Ss<br>に対する応答<br>軸力に基づく<br>地震力を震度<br>換算し、シェル<br>要素の物体力<br>(密度×体積)<br>に乗じて<br>入力する。 |
| 32.3      | 119490       | 43860      | 54730       | 0.46 |   |
| 26.9      | 111340       | 98590      | 47810       | 0.43 |   |
| 18.7      | 130160       | 146400     | 57000       | 0.44 |   |
| 10.2      | —            | 203400     | —           | —    |   |

(5) 燃料取り出し用カバー反力 KF

地震時に生じる燃料取り出し用カバーからの反力を表-3.4.4 に示す。

表-3.4.4 燃料取り出し用カバー反力 (地震時)

| 荷重               | 荷重の与え方   | 作用方向  | 反力 (kN) |      |
|------------------|----------|-------|---------|------|
| オイルダンパ反力         | 節点力として入力 | 鉛直下向き | 5200    |      |
| 燃料取り出し用<br>カバー反力 | 節点力として入力 |       | ストッパ    | 東側脚部 |
|                  |          | N→S   | 15500   | 700  |
|                  |          | S→N   | 15600   | 700  |
|                  |          | W→E   | 14600   | 2500 |
|                  | E→W      | 16300 | 2500    |      |
|                  | 節点力として入力 | 鉛直方向  | 7700    |      |

(6) 地震時動水圧荷重 KH

JEAC4601 に基づき、使用済燃料プール水の基準地震動 Ss 時の動水圧 ( $\sigma_{NS}=44 \text{ kN/m}^2$ ,  $\sigma_{EW}=56 \text{ kN/m}^2$ ) を考慮する。荷重は圧力荷重としてシェル要素に入力する。

動水圧は保守的にプール最深部の衝撃圧を壁面全体に作用させる。

$$\text{衝撃圧 } {}_iP_w = \rho L \ddot{X} \frac{\sqrt{3}}{2} \frac{H}{L} \left[ 1 - \left( \frac{y}{H} \right)^2 \right] \tanh \left( \sqrt{3} \frac{L}{H} \right)$$

ここで

$\rho$  : 液体の密度 ( $10^3 \text{ kg/m}^3$ )

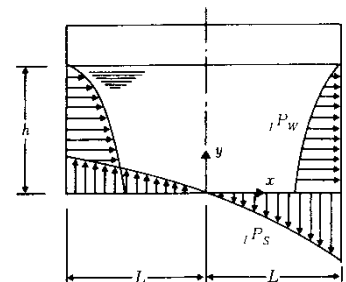
$h$  : 液体の深さ(11.51m)

$H$  :  $H=h$  ( $h \leq 1.5L$ ),  $H=1.5L$  ( $h > 1.5L$ )

$2L$  : 矩形プール幅(m)

$\ddot{X}$  : プール設置床の応答最大加速度 ( $\text{m/s}^2$ ) 又は設置床とその上階床との平均の応答最大加速度 ( $\text{m/s}^2$ )

$y$  : プール底板の中心を原点とする鉛直方向座標(m)  
最深部の評価の場合 0m



(a) 衝撃圧分布形状

NS 方向

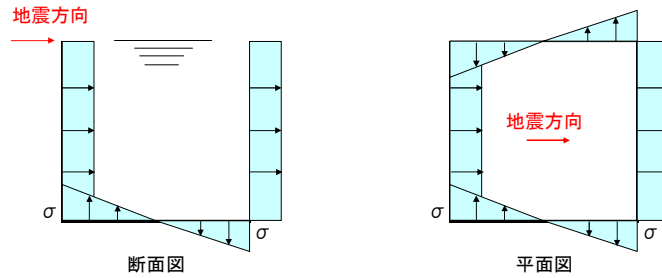
$$L=4.953(\text{m}), \ddot{X}=8.08 (\text{m/s}^2)$$

$${}_iP_w = 44(\text{kN/m}^2)$$

EW 方向

$$L=6.096(\text{m})、\ddot{X}=8.14 (\text{m/s}^2)$$

$${}_1P_w = 56(\text{kN/m}^2)$$



(7) 荷重の組合せ

表-3.4.5 に荷重の組合せを示す。なお、水平方向及び鉛直方向の地震動の組合せは、組合せ係数法（組合せ係数 0.4）により評価する。

表-3.4.5 荷重の組合せ

| 荷重時名称  | 荷重の組合せ                    |
|--------|---------------------------|
| Ss 地震時 | DL + DF + H + K + KF + KH |

ここに、 DL : 死荷重, DF : 遮へい体・燃料取り出し用カバー荷重, H : 静水圧,  
K : 地震荷重 (基準地震動 Ss), KF : 燃料取り出し用カバー反力, KH : 地震時動水圧

### 3.5 評価結果

配筋諸元等に基づき構造検討を行い、耐震安全性を評価する。評価においては、応力解析より求まる発生応力及びひずみが、評価基準値以下となることを確認した。評価基準値は、日本機械学会「発電用原子力設備規格 コンクリート製原子炉格納容器規格」(CCV 規格)に基づき設定した。表-3.5.1 にひずみの評価基準値の値を示す。発生応力(面外せん断力)の評価基準値は、下式による。

シェル壁の面外せん断力に対する評価基準値 ( $Q_A$ ) は、次の2つの計算式により計算した値のいずれか小さい方の値とシェル壁の断面積を乗じて算出した値とする。

$$\tau_R = \Phi \{ 0.1 ( p_t \cdot f_y - \sigma_0 ) + 0.5 p_w \cdot f_y + 0.235 \sqrt{F_c} \} \quad \dots\dots\dots (3.5-1)$$

$$\tau_R = 1.10 \sqrt{F_c} \quad \dots\dots\dots (3.5-2)$$

ここで、

$\tau_R$  : 終局面外せん断応力度 (N/mm<sup>2</sup>)

$p_t$  : 主筋の鉄筋比

$f_y$  : 鉄筋の許容引張応力度および許容圧縮応力度 (N/mm<sup>2</sup>)

$F_c$  : コンクリートの設計基準強度 (N/mm<sup>2</sup>)

$\sigma_0$  : 外力による膜応力度 (N/mm<sup>2</sup>) (引張の符号を正とする)

$p_w$  : 面外せん断力に対する補強筋の鉄筋比であって、次の計算式により計算した値

$$p_w = a_w / (b \cdot x) \quad \dots\dots\dots (3.5-3)$$

$a_w$  : 面外せん断力に対する補強筋の断面積 (mm<sup>2</sup>)

$b$  : 断面の幅 (mm)

$x$  : 面外せん断力に対する補強筋の間隔 (mm)

$\Phi$  : 低減係数であり、次の計算式により計算した値 (1を超える場合は1, 0.58未満の場合は0.58とする)

$$\Phi = 1 / \sqrt{M / (Q \cdot d)} \quad \dots\dots\dots (3.5-4)$$

$M$  : 曲げモーメント (N・mm)

$Q$  : せん断力 (N)

$d$  : 断面の有効せい (mm)

シェル壁以外の面外せん断力に対する評価基準値 ( $Q_A$ ) は、次の(1)または(2)に示す計算式により計算した値とする。

(1) 次の計算式により計算した値

$$Q_A = b \cdot j \cdot c f_s \quad \dots\dots\dots (3.5-5)$$

ここで、

$Q_A$  : 許容面外せん断力 (N)

$b$  : 断面の幅 (mm)

$j$  : 断面の応力中心間距離で  $c f_s$ , 断面の有効せいの7/8倍の値 (mm)

$c f_s$  : コンクリートの許容せん断応力度 (N/mm<sup>2</sup>)



(2) (1)の規定を超えるものについては、次の計算式により計算した値

$$Q_A = b \cdot j \left\{ \alpha \cdot c f_s + 0.5 p_w f_t ( p_w - 0.002 ) \right\} \dots\dots\dots (3.5-6)$$

ここで、

$p_w$  : 面外せん断力に対する補強筋の鉄筋比であり、次の計算式により計算した値  
(0.012を超える場合は0.012として計算する)

$$p_w = a_w / (b \cdot x) \dots\dots\dots (3.5-7)$$

$a_w$  : 面外せん断力に対する補強筋の断面積 (mm<sup>2</sup>)

$x$  : 面外せん断力に対する補強筋の間隔 (mm)

$f_t$  : 面外せん断力に対する補強筋の許容引張応力度 (N/mm<sup>2</sup>)

$\alpha$  : 割増し係数であり、次の計算式により計算した値 (2を超える場合は 2, 1未満の場合は1とする)

$$\alpha = \frac{4}{M / (Q \cdot d) + 1} \dots\dots\dots (3.5-8)$$

$M$  : 曲げモーメント (N・mm)

$Q$  : せん断力 (N)

$d$  : 断面の有効せい (mm)

なお、 $Q_A$ ,  $b$ ,  $j$ および $c f_s$ は、(1)に定めるところによる。

検定比は、発生ひずみ及び面外せん断力の発生応力と評価基準値の比とする。(1以下で評価基準値を満足する。)

ひずみの検定比 :  $\varepsilon / \varepsilon_A$

面外せん断力の検定比 :  $Q / Q_A$

検定比を示した結果を図-3.5.1～図-3.5.9に示す。いずれの箇所においても発生ひずみ及び発生応力は弾性範囲内であり、評価基準値を十分に下回っている。このことから、使用済燃料取り出し時の状況において、使用済燃料プール・燃料取り出し用カバーが取りつくオペフロ (5階)床は、2章の損傷状況の調査結果を考慮しても、耐震安全性を有しているものと評価した。

また、ひずみが弾性範囲内であるため、コンクリートに内張りされたライナーが損傷し、使用済燃料プールの水が漏れ出る可能性はないと考えられる。

なお、付録において、パラメトリックスタディとして、本章の損傷状況をより安全側に評価したケースを実施し、耐震安全性に及ぼす影響を確認した。この目的は、2章の損傷状況の調査結果に示すように、現状の調査範囲では一部で損傷判定の不確定な箇所があり、解析上、これらの箇所の残存剛性を安全側に評価し、評価結果に及ぼす感度を把握するためである。併せて、このパラメトリックスタディにおいては、事故時の影響で使用済燃料プール部やシェル壁の剛性が低下した可能性についても考慮した。この結果、多少の数値変動はあるものの解析結果に大きな差

異は生じておらず，仮定条件の変動が解析結果に与える影響はそれほど小さくなく，パラメトリックスタディにおいても耐震安全性を有していると評価した。(付録参照)

表-3.5.1 評価対象別の  $\varepsilon_A$

| 評価対象   | 評価基準値 $\varepsilon_A$<br>( $\times 10^{-6}$ ) |
|--------|---|
| コンクリート | -3000   |
| 鉄筋     | $\pm 5000$                                    |

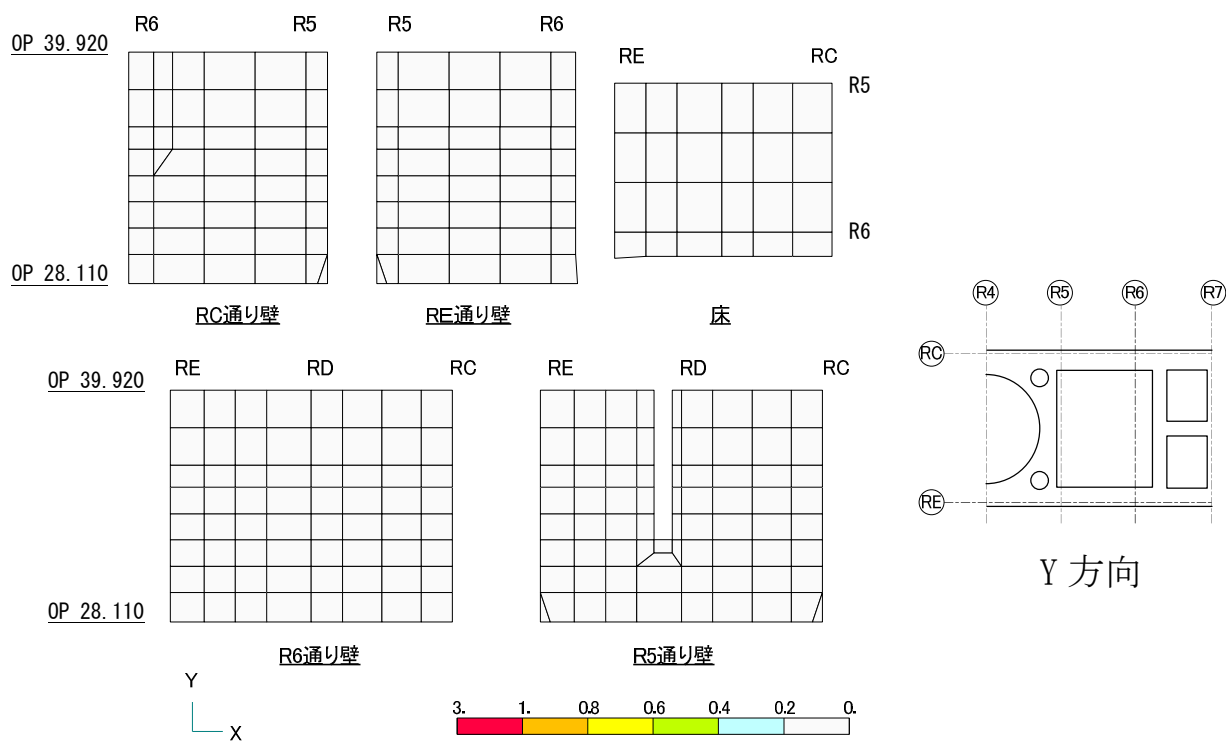
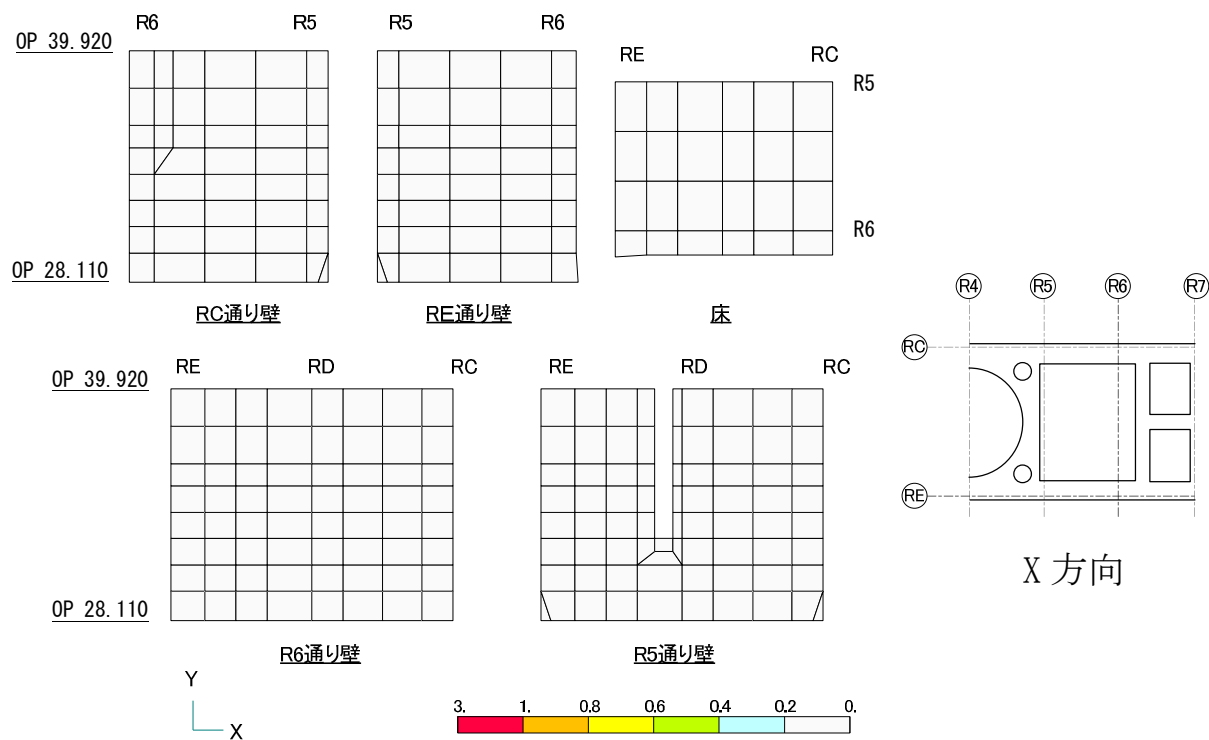


図-3.5.1 コンクリート圧縮ひずみの検定比（使用済燃料プール部）

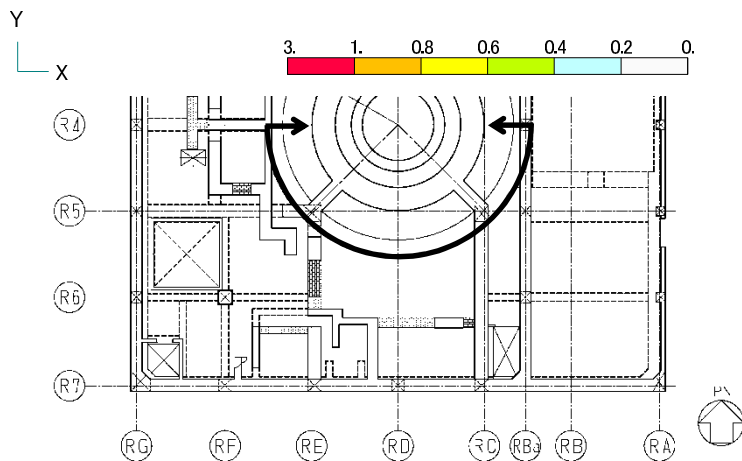
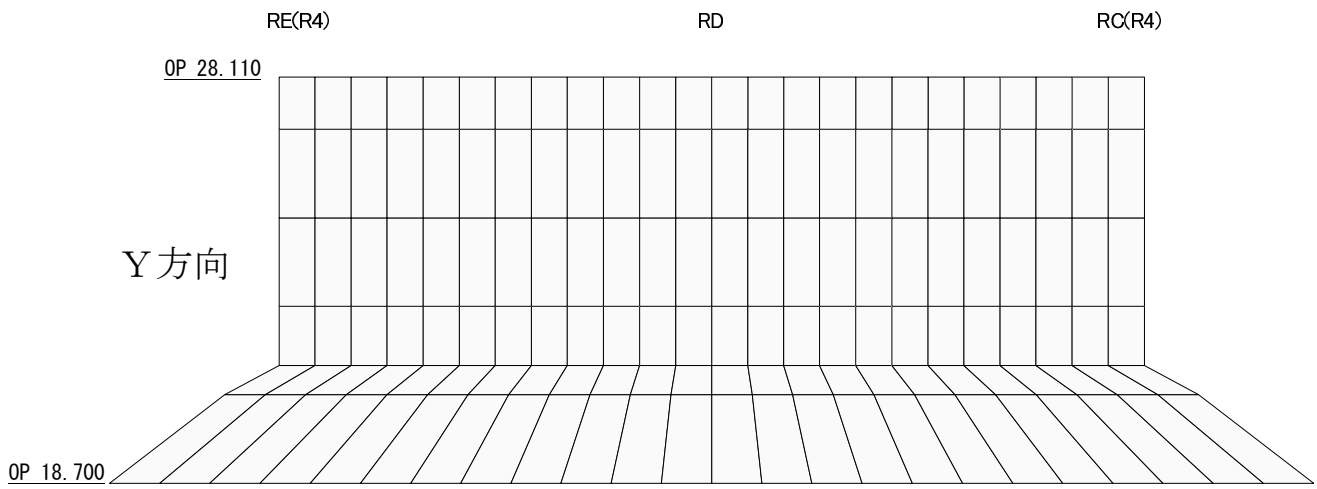
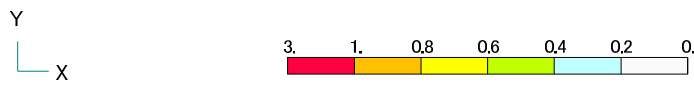
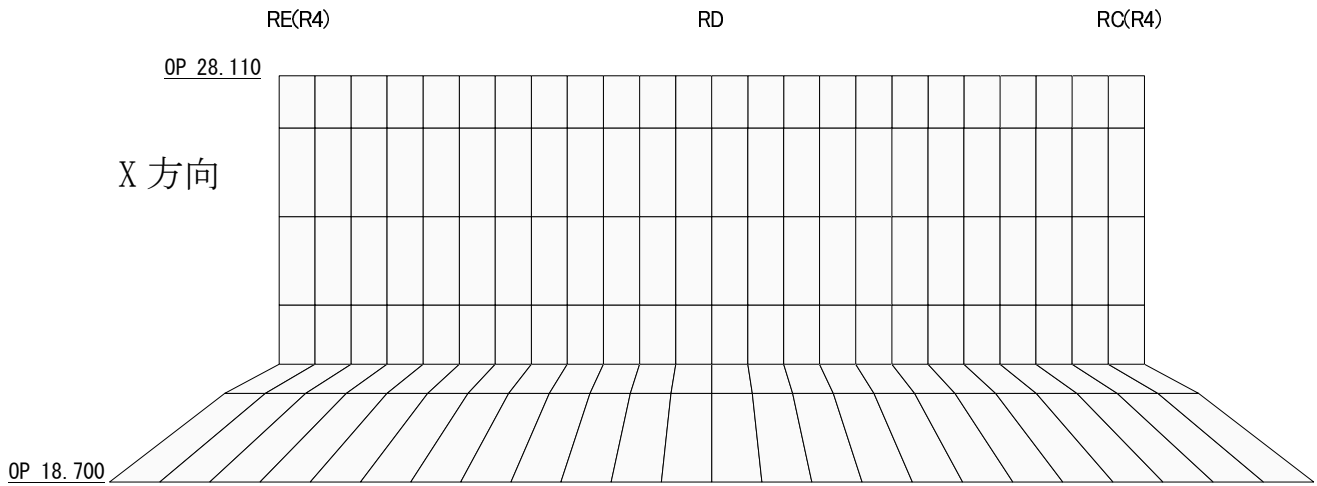


図-3.5.2 コンクリート圧縮ひずみの検定比（シェル壁部）

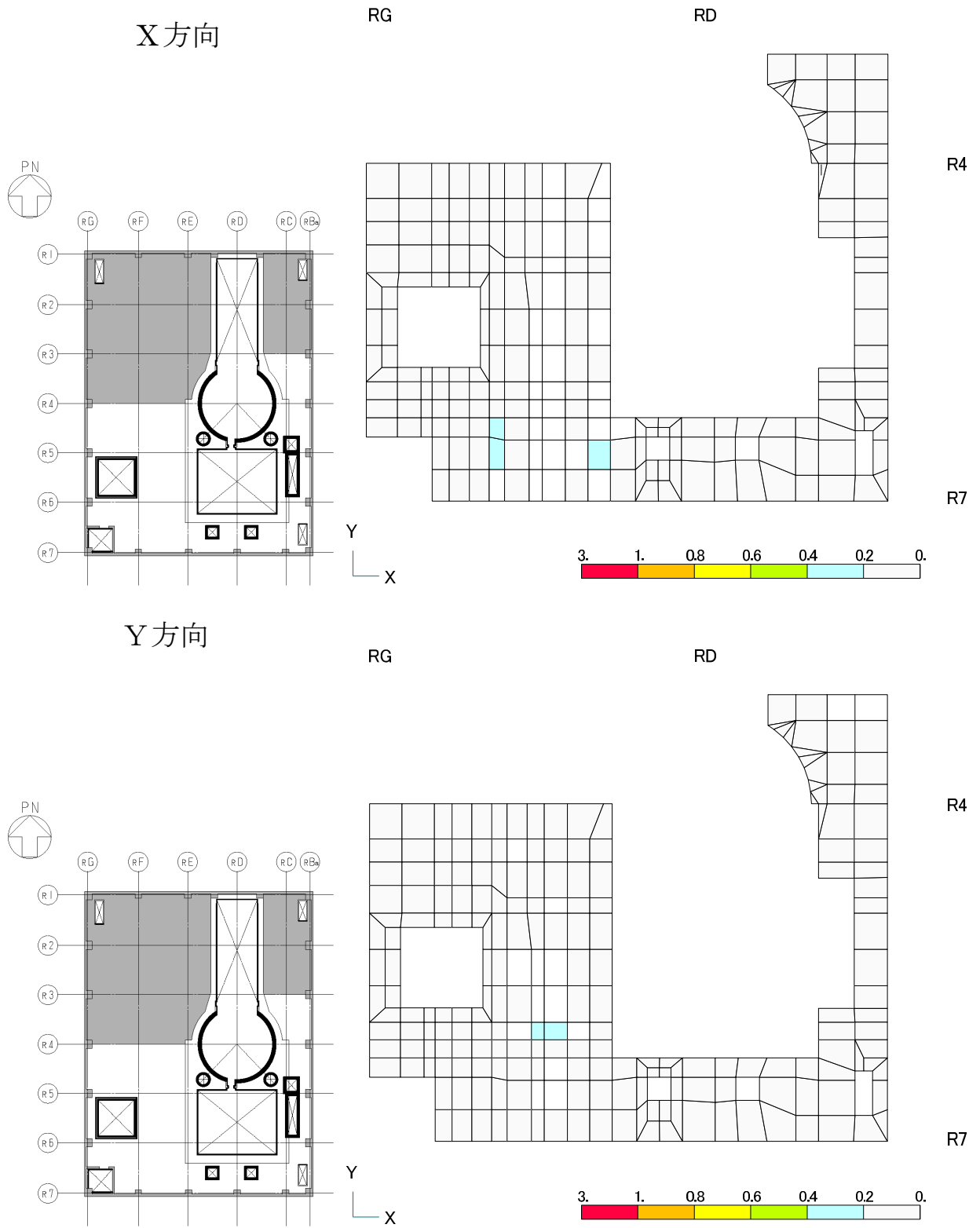


図-3.5.3 コンクリート圧縮ひずみの検定比 (オペフロ床部)

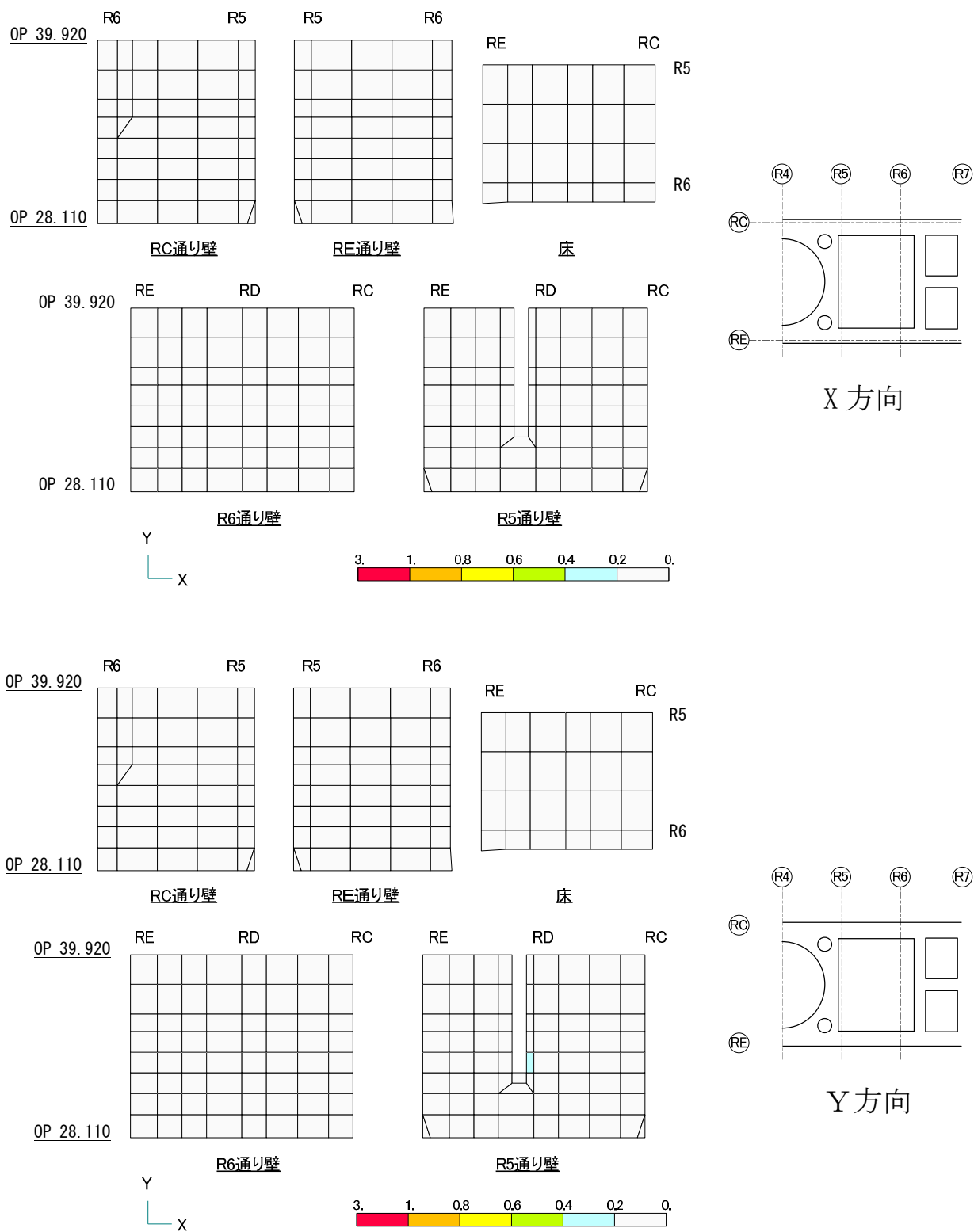


図-3.5.4 鉄筋ひずみの検定比（使用済燃料プール部）

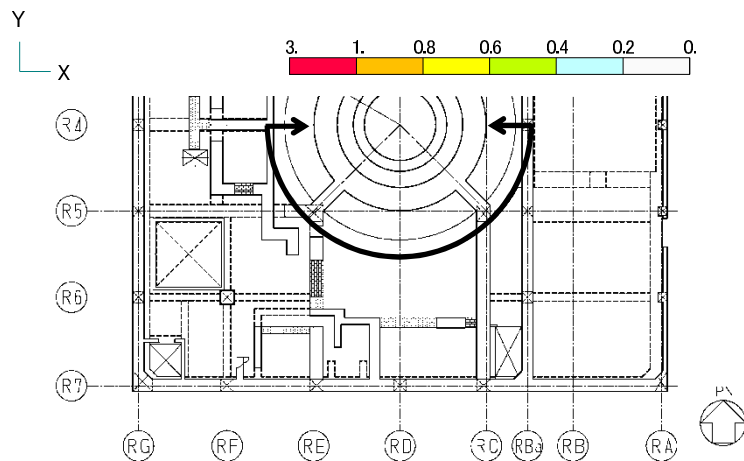
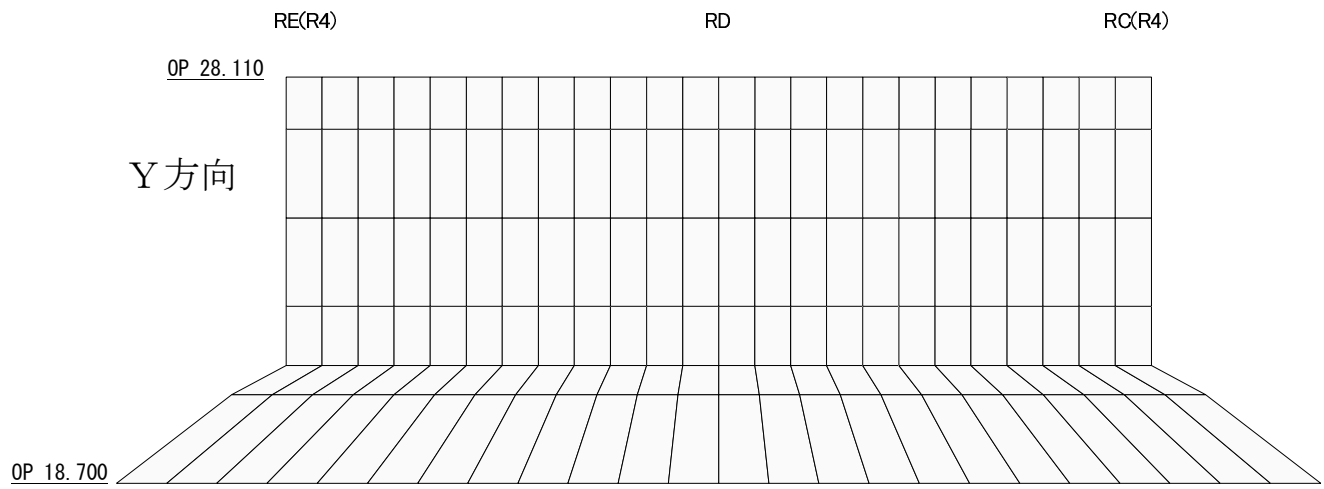
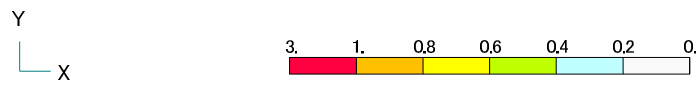
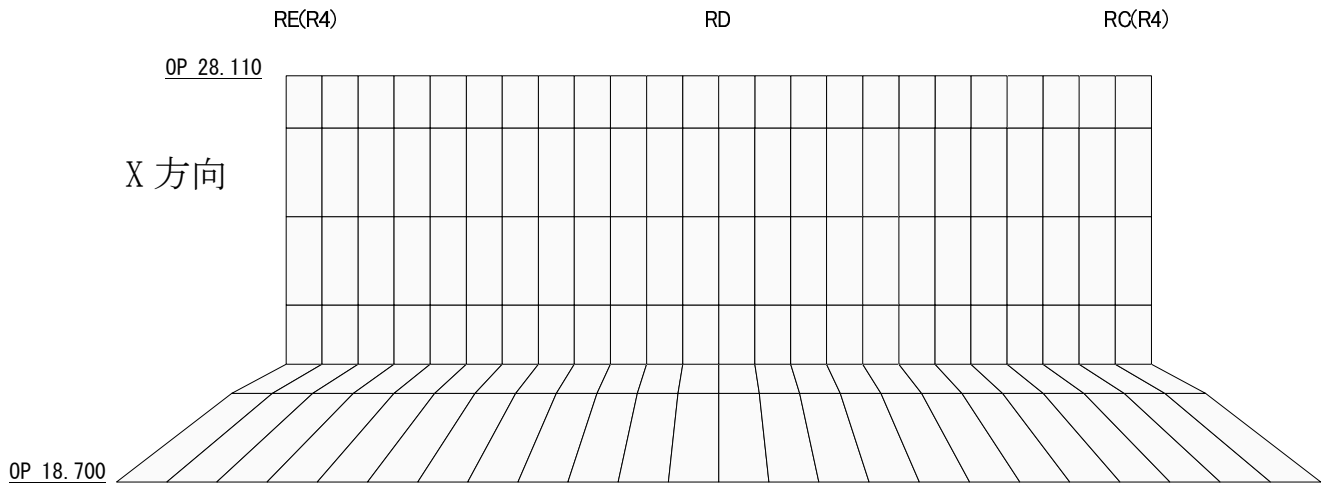


図-3.5.5 鉄筋ひずみの検定比 (シェル壁部)

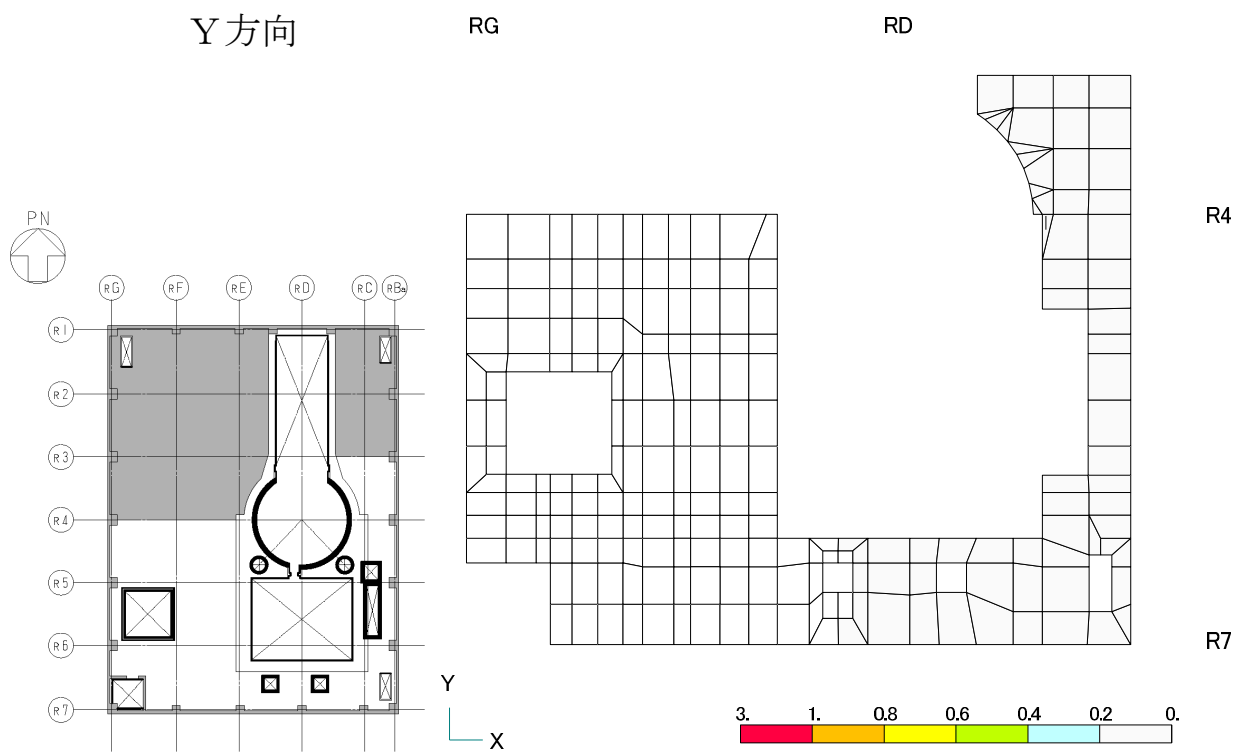
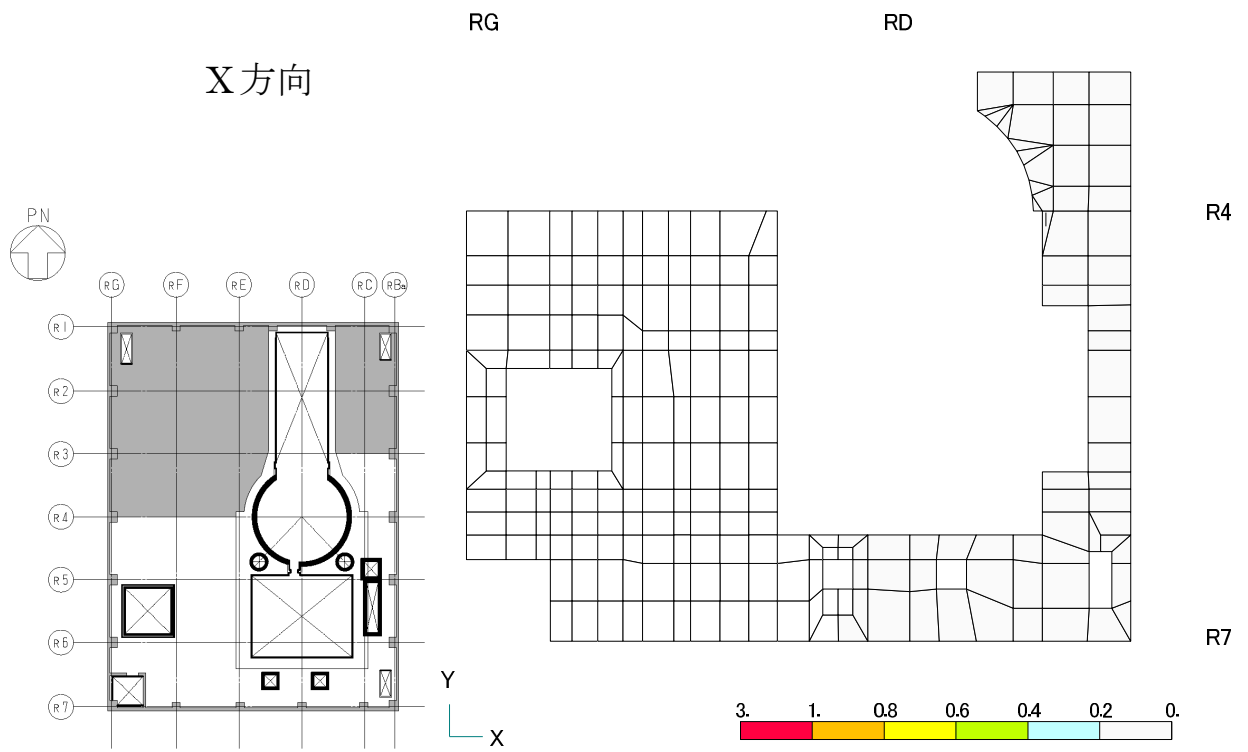


図-3.5.6 鉄筋ひずみの検定比（オペフロ床部）



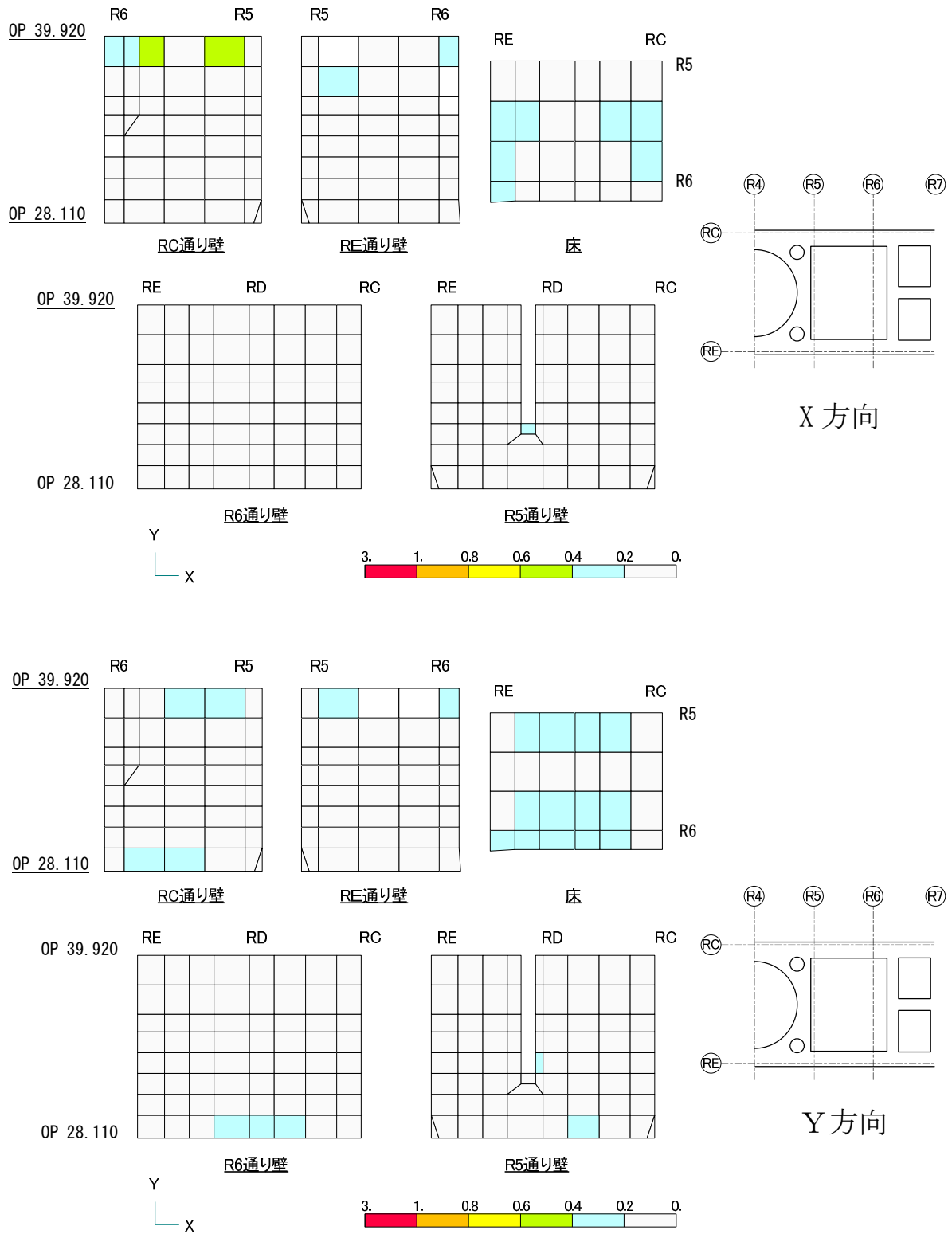


図-3.5.7 面外せん断力の検定比（使用済燃料プール部）

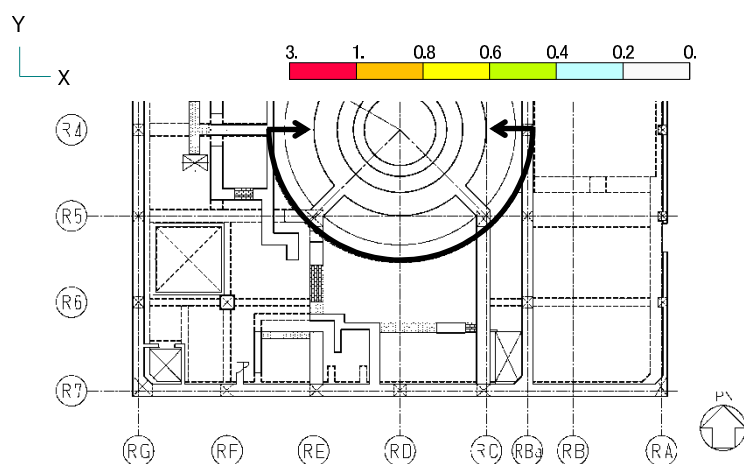
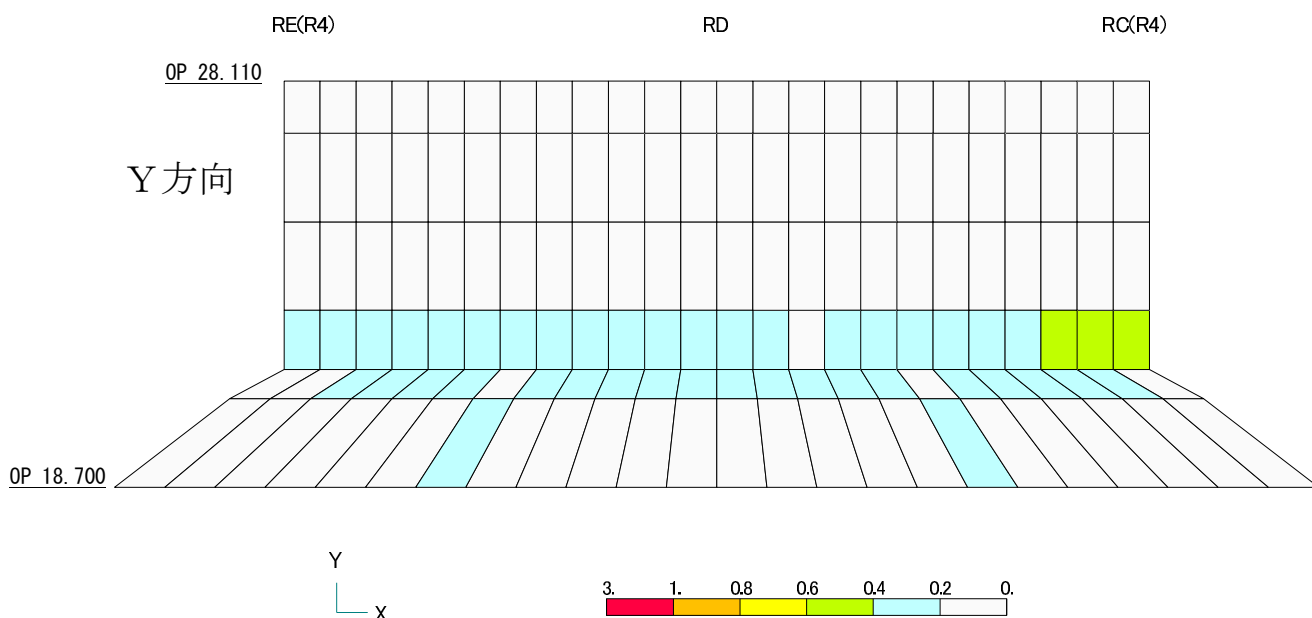
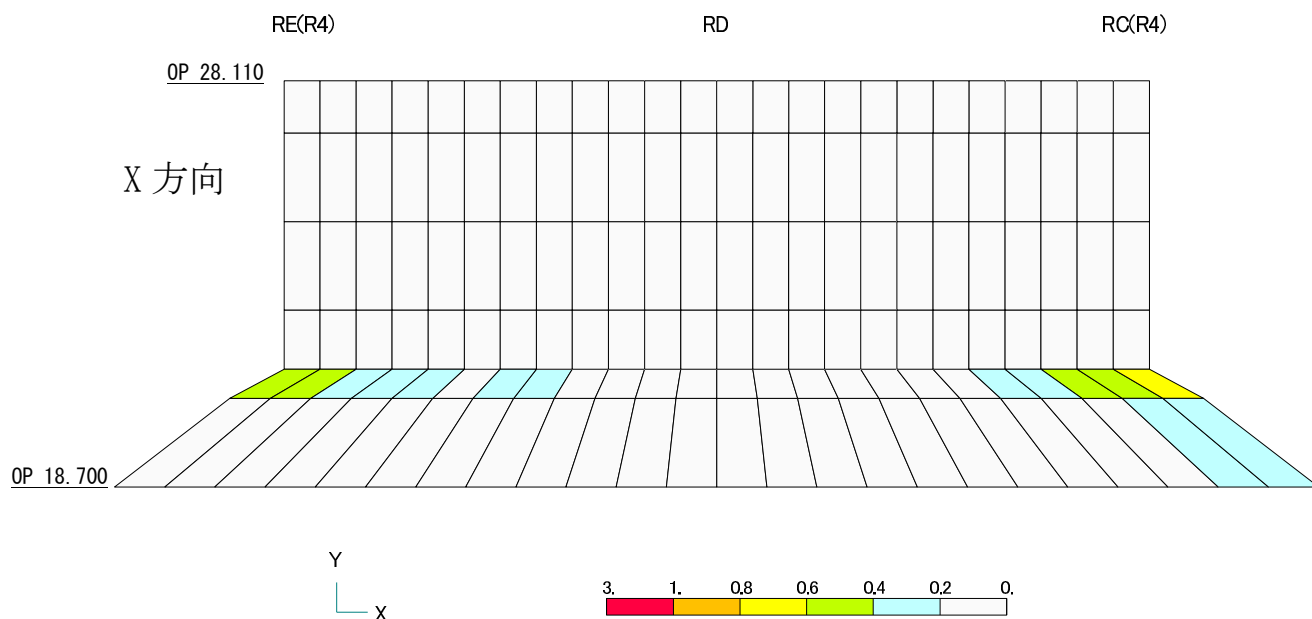


図-3.5.8 面外せん断力の検定比（シェル壁部）

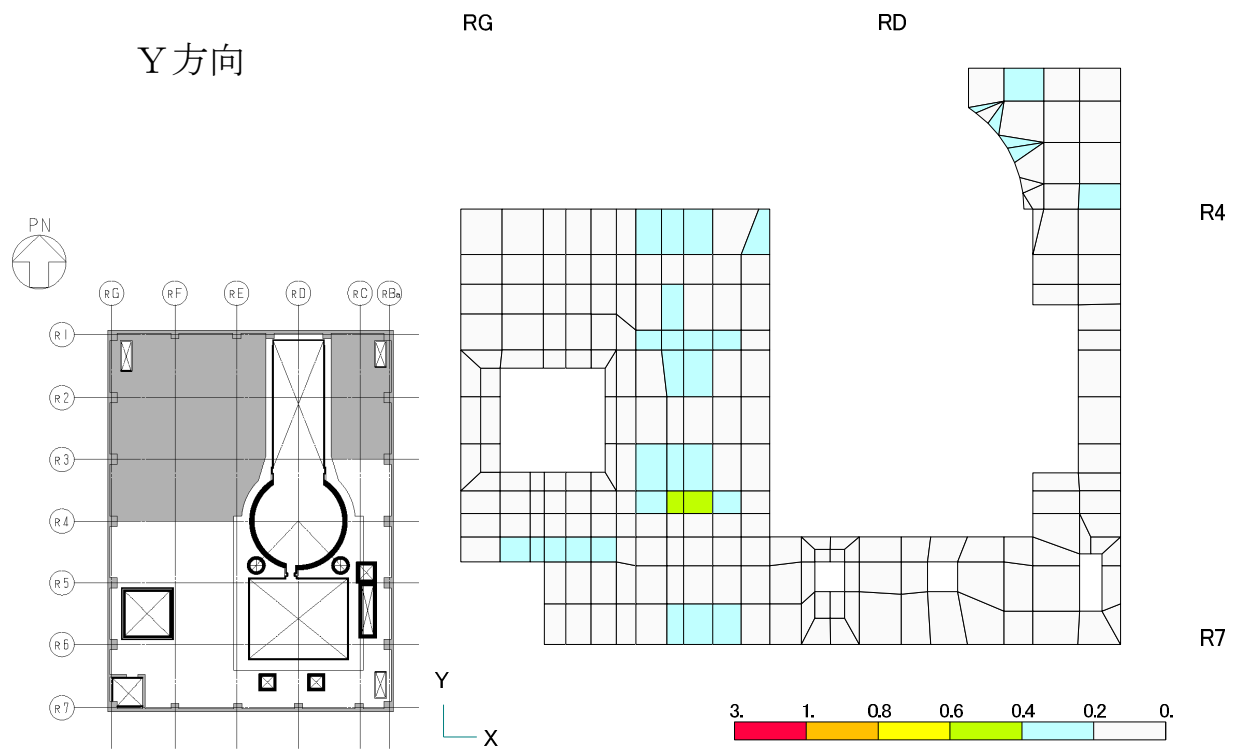
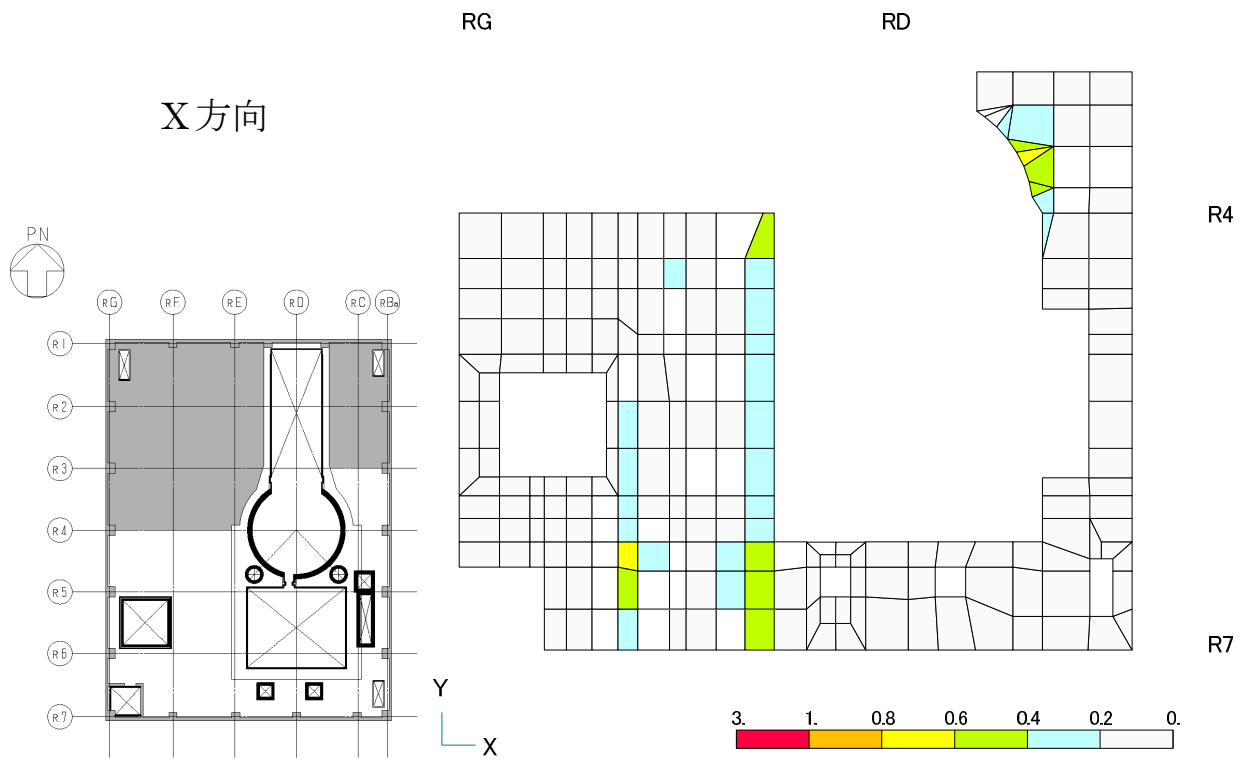


図-3.5.9 面外せん断力の検定比 (オペフロ床部)

## 使用済燃料プール等の耐震安全性評価結果に係わるパラメトリックスタディについて

## 1. 概要

付録では、使用済燃料プール部等の剛性を安全側に低下させた場合について解析を行い、その影響を把握する。

## 2. 検討条件

図-1～図-4 にパラメトリックスタディで想定する損傷仮定条件を示す。

## (1) 床スラブ

2章より、5階（O.P. 39.92m）のプール部の西側床において、周辺に比べ比較的激しい損傷状況が確認されており、その箇所の剛性を無視した場合を想定する。

4階床において、5階床の全壊箇所の瓦礫の落下や、爆発の影響を受けたと想定し、床の剛性を無視した場合を想定する。

また、今回の調査において十分な損傷確認が実施できなかった3階床について、剛性を50%に低減した場合を想定する。

## (2) 使用済燃料プール・燃料仮置プール・シェル壁

使用済燃料プール・燃料仮置プール・シェル壁について、事故時の影響を考慮し剛性を50%に低減させた場合を想定する。

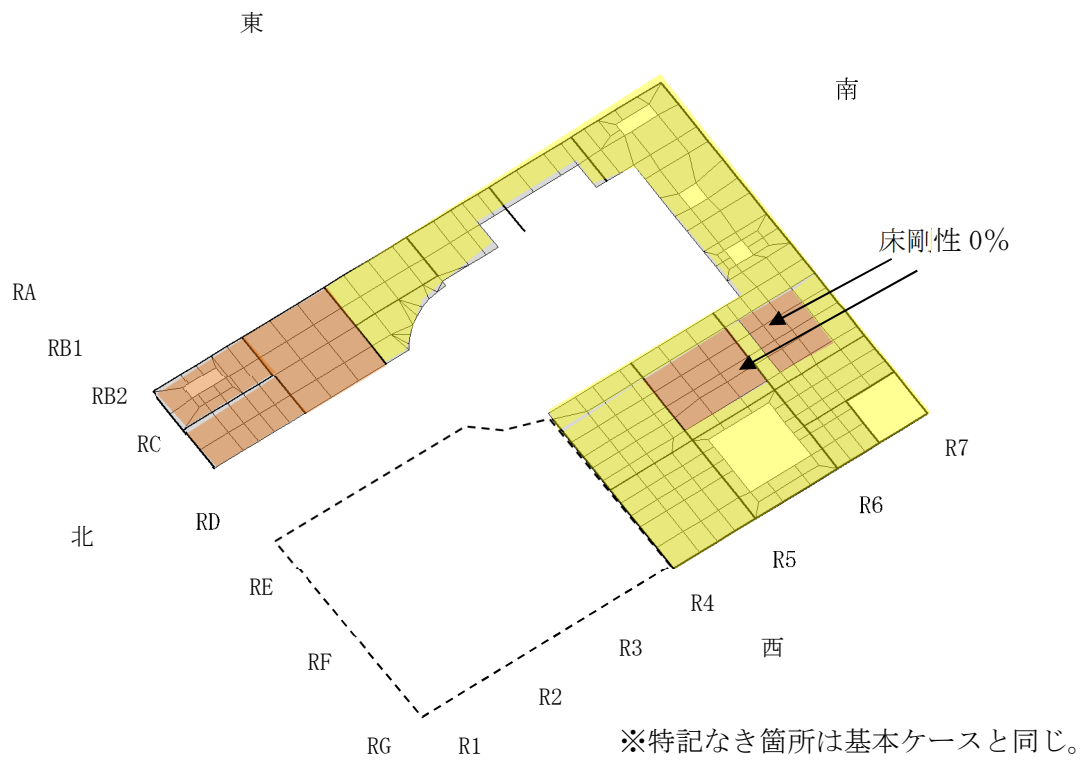


図-1 損傷仮定 アイソメ図 5階 (O.P. 39.92m) (パラメータケース)

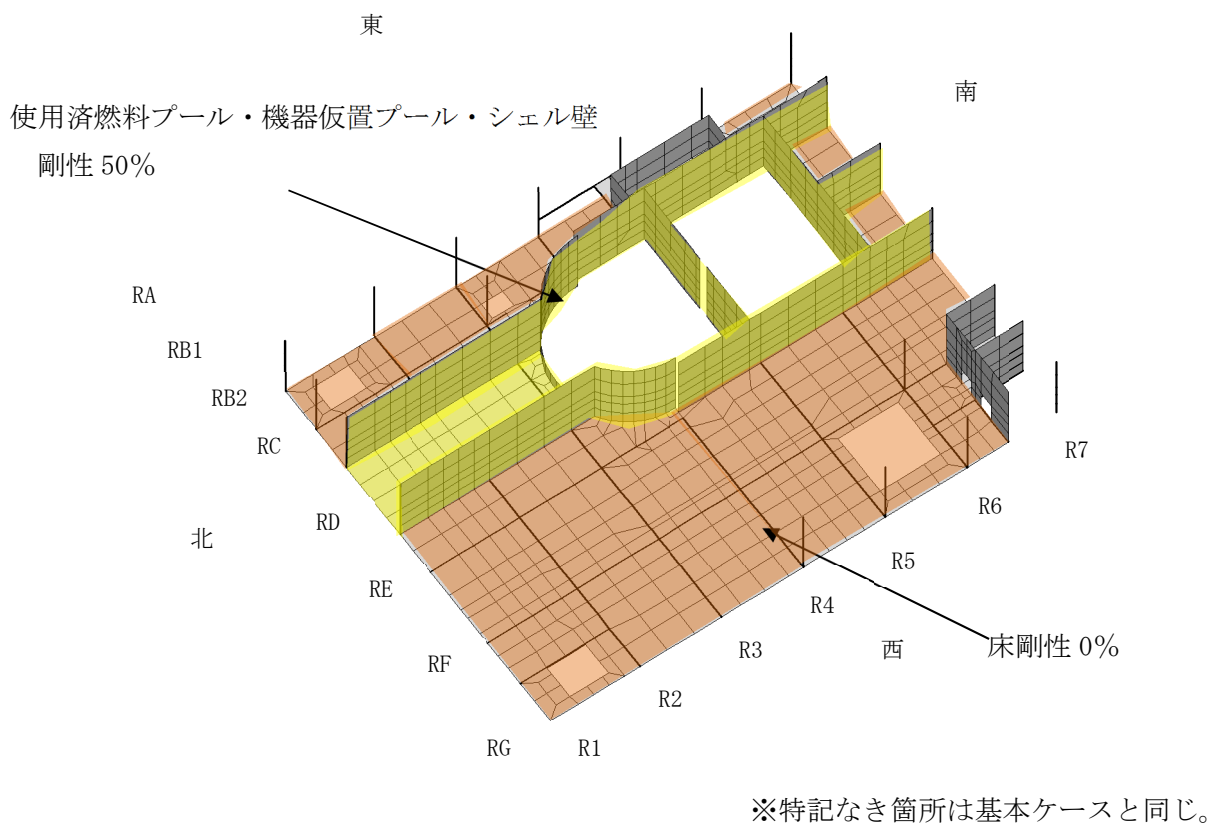


図-2 損傷仮定 アイソメ図 4階 (O.P. 32.3m) (パラメータケース)

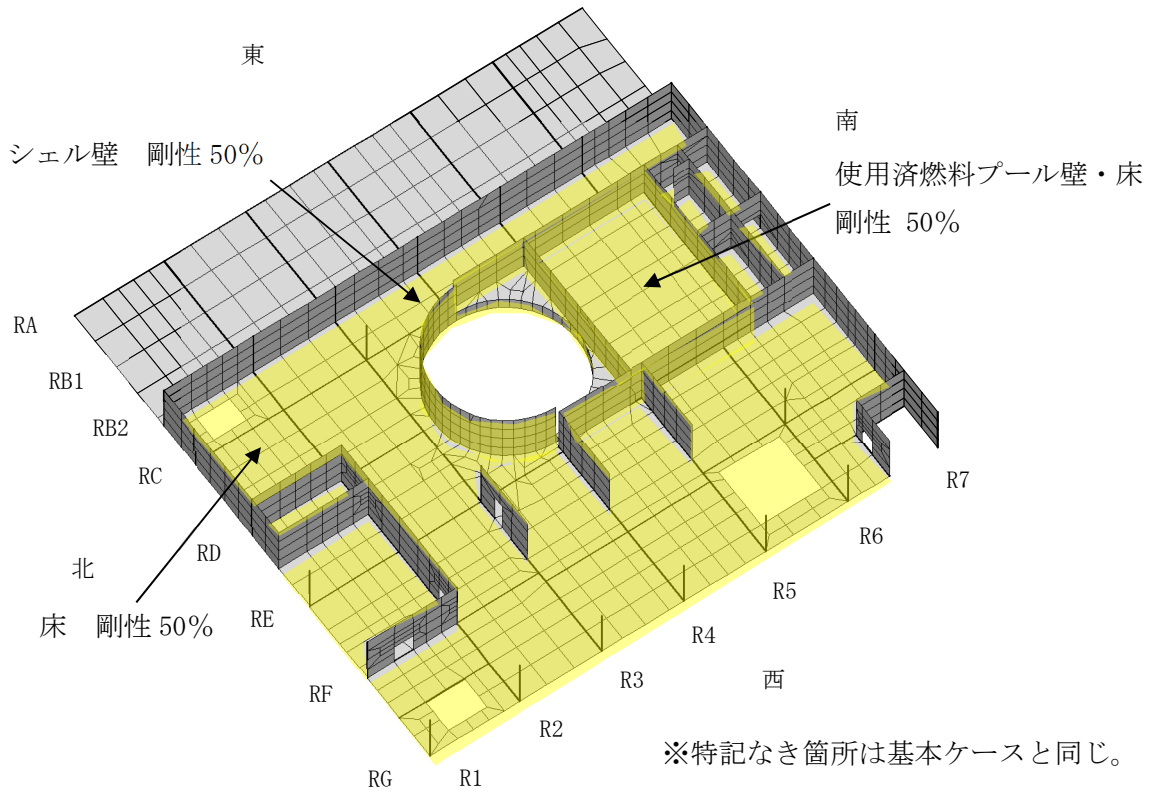


図-3 損傷仮定 アイソメ図 3階 (O.P. 26.9m) (パラメータケース)

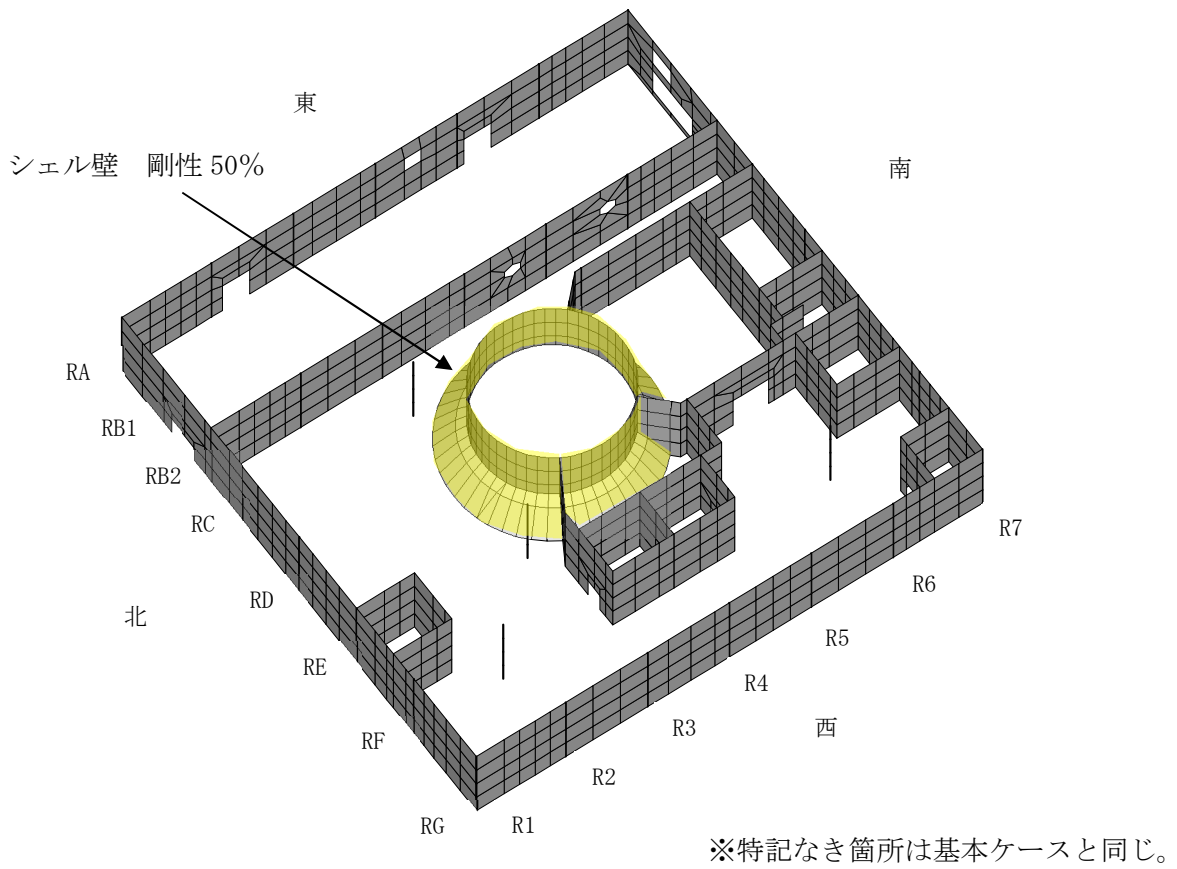


図-4 損傷仮定 アイソメ図 2階 (O.P. 18.7m) (パラメータケース)

### 3. 検討結果

パラメータケースの発生ひずみ及び面外せん断力の発生応力と評価基準値の比（検定比）を示した結果を図-5～図-13 に示す。損傷仮定を安全側に低下させた場合においても耐震安全性を有しており、解析結果には大きな影響を与えないことが確認された。

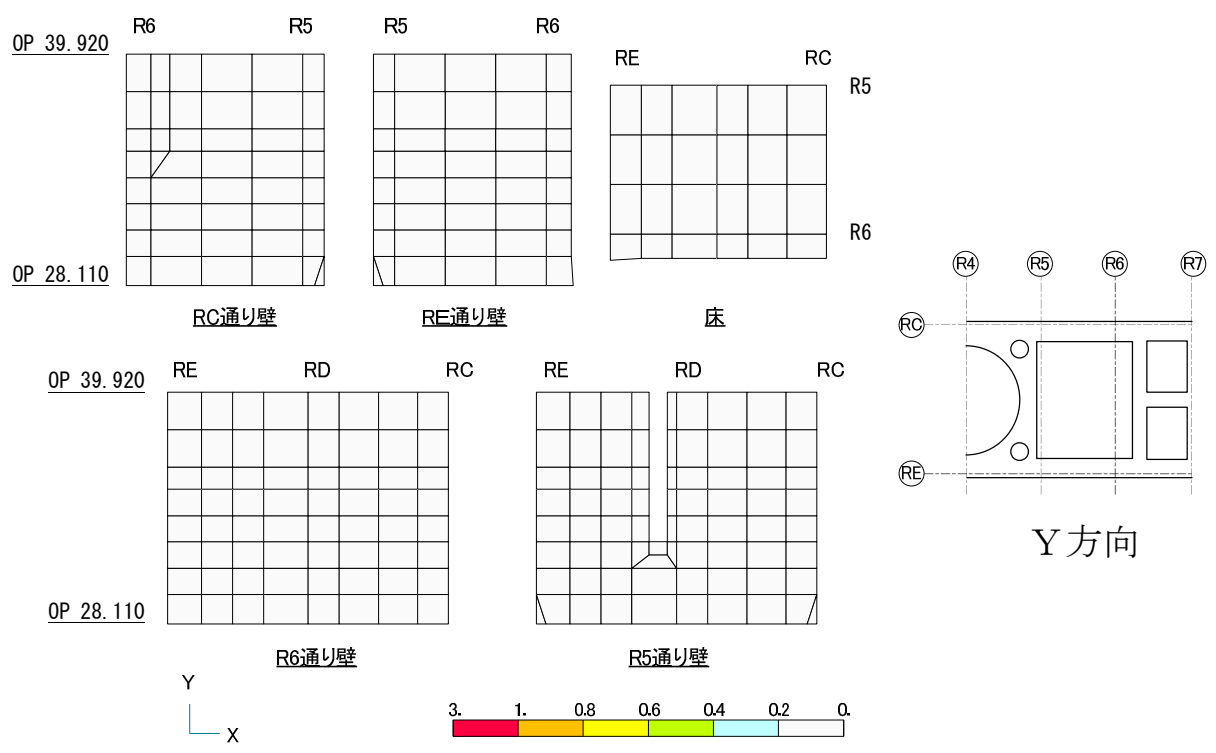
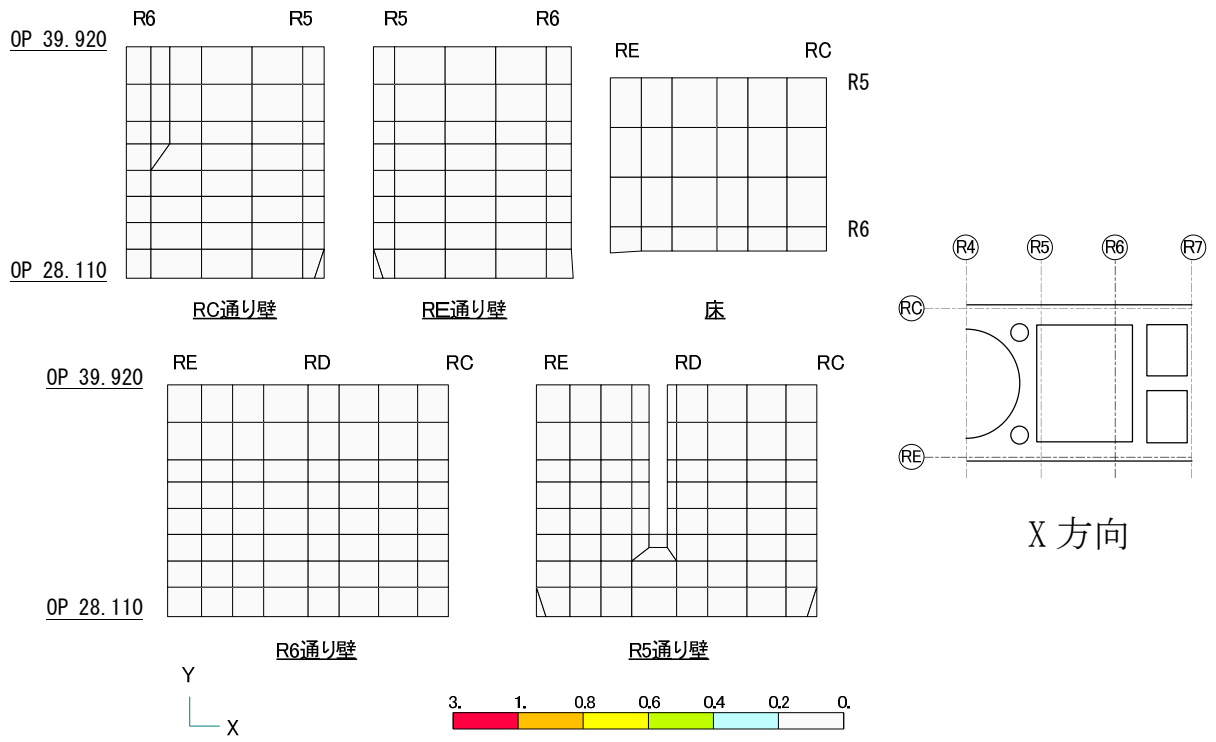


図-5 コンクリート圧縮ひずみの検定比 (使用済燃料プール部)



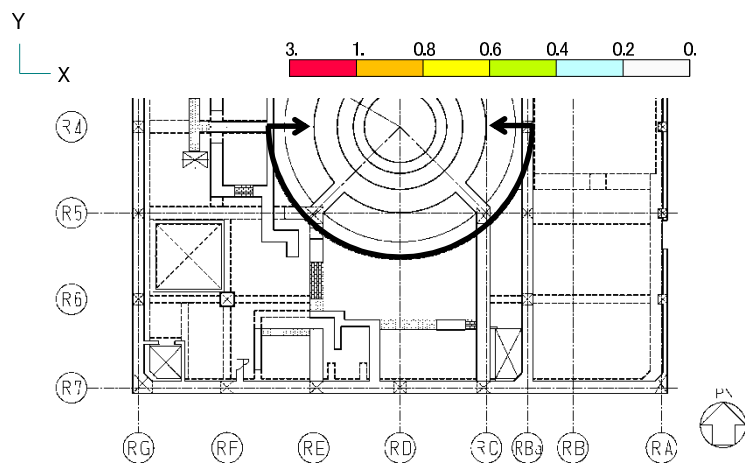
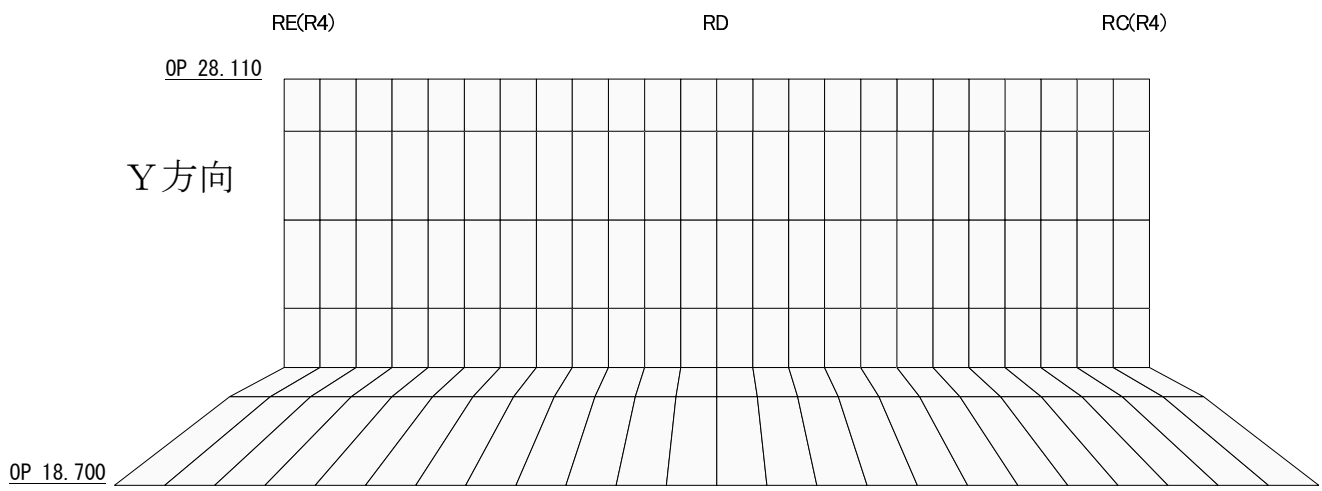
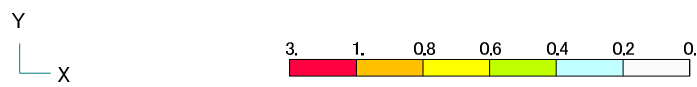
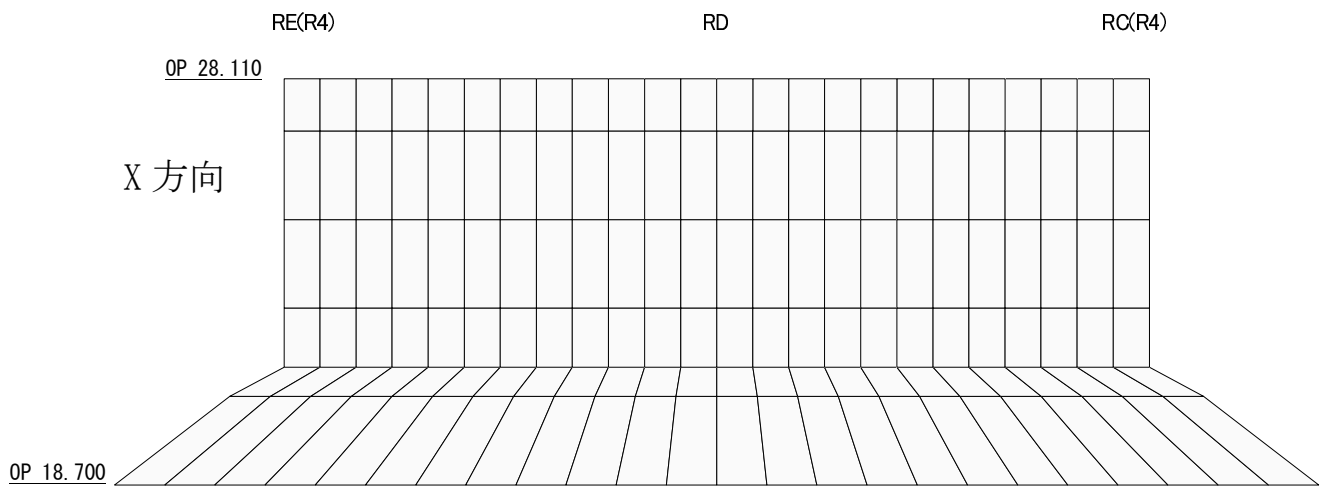


図-6 コンクリート圧縮ひずみの検定比 (シェル壁部)

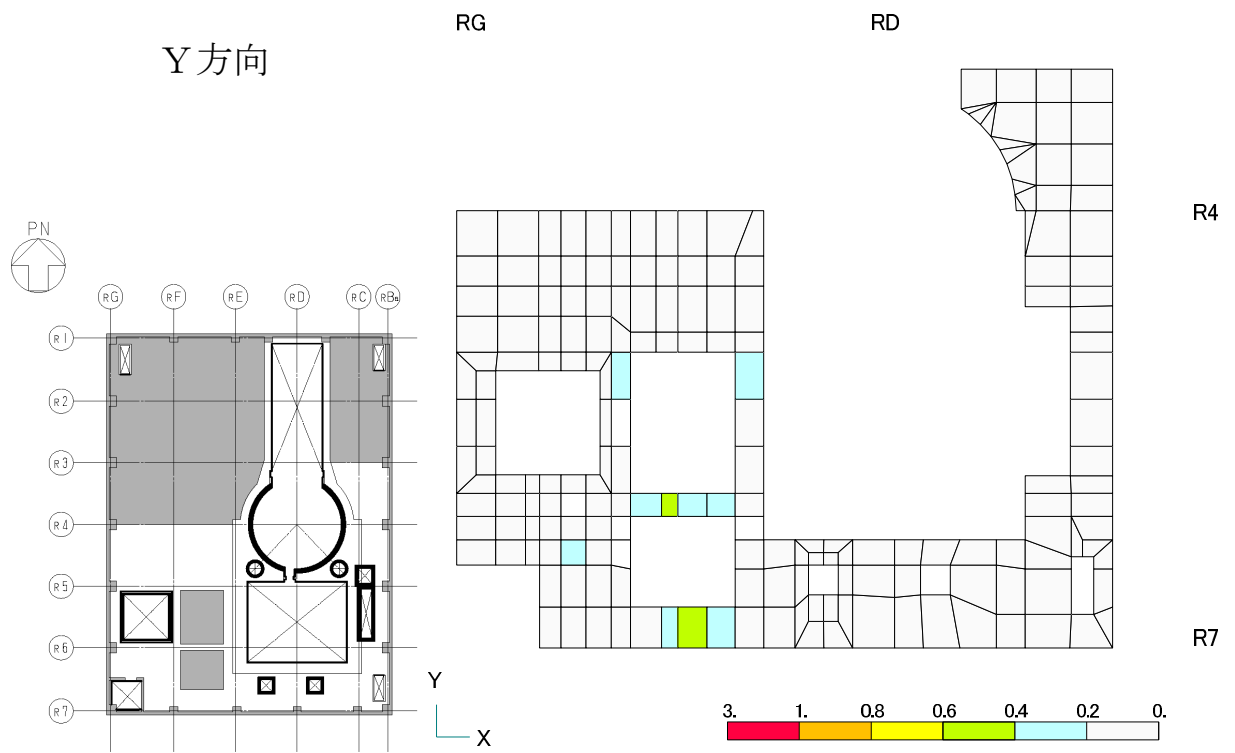
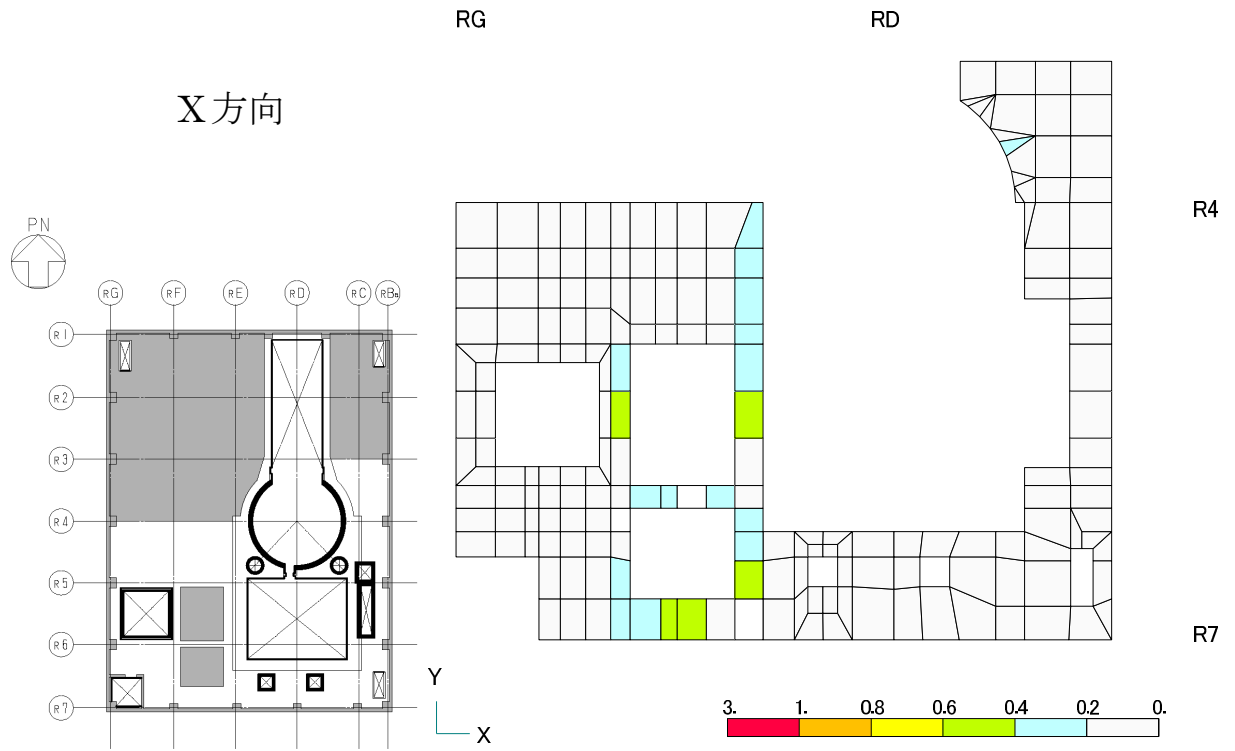


図-7 コンクリート圧縮ひずみの検定比 (オペフロ床部)

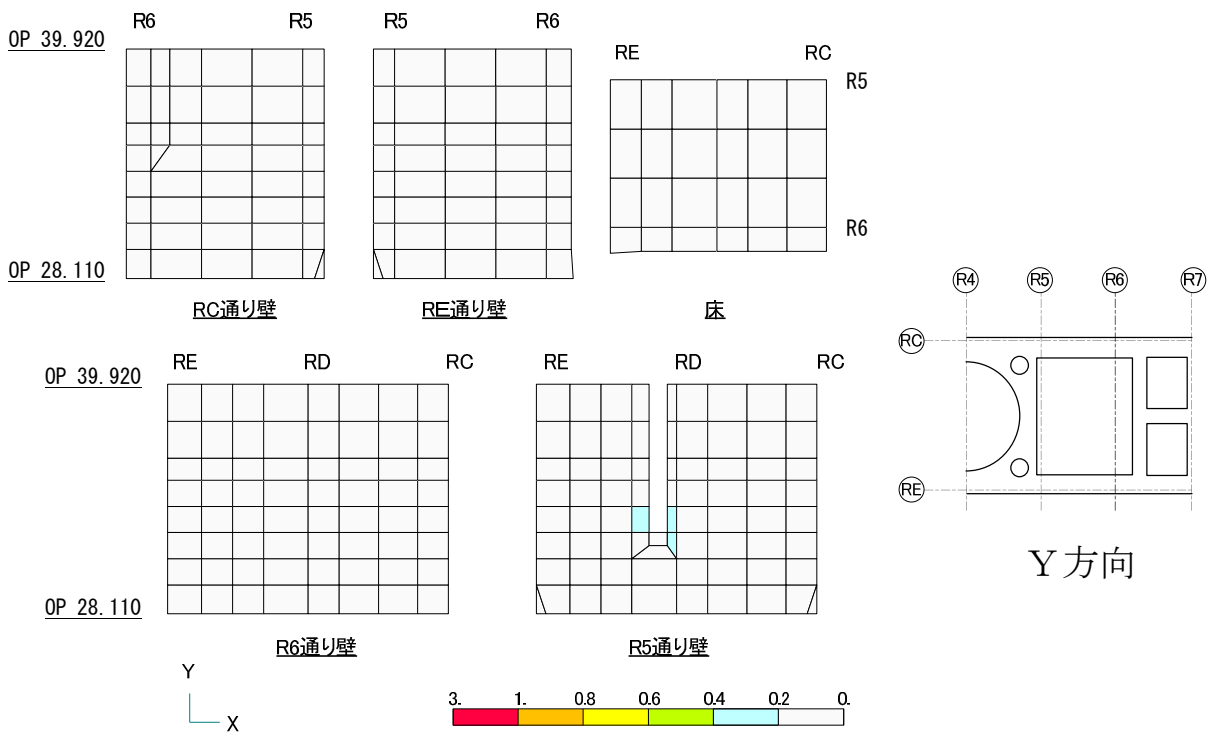
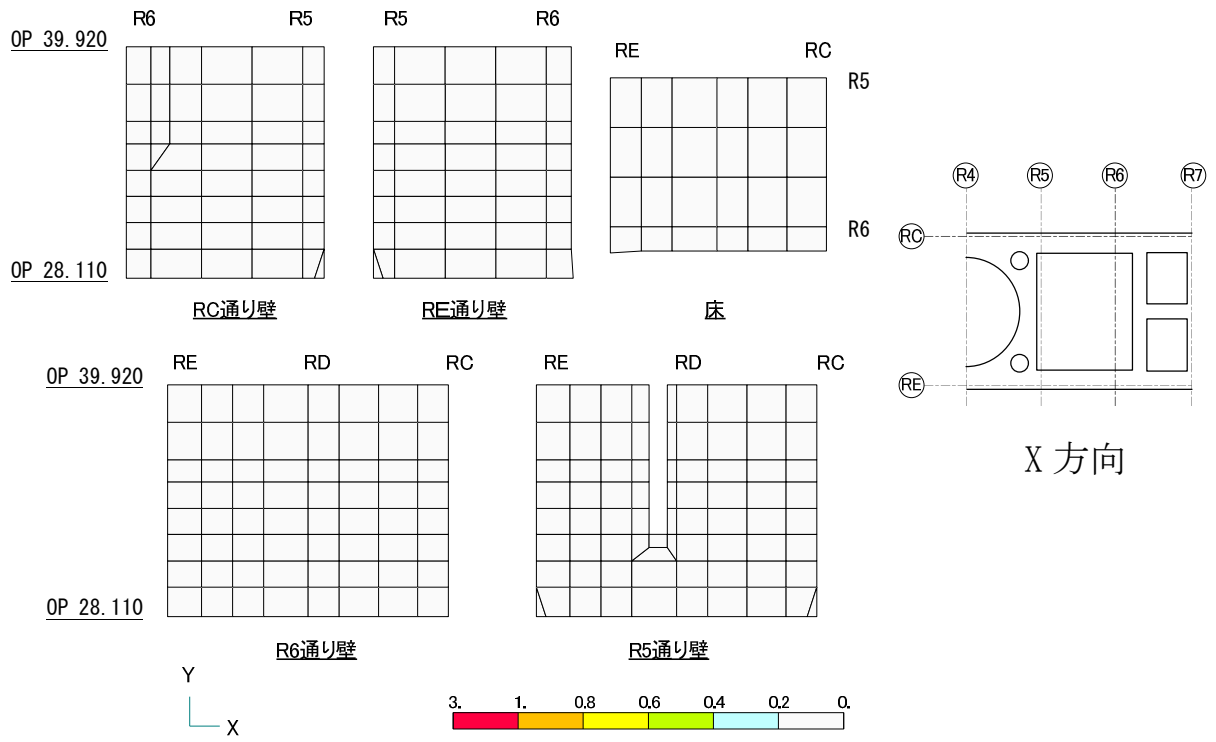


図-8 鉄筋ひずみの検定比（使用済燃料プール部）

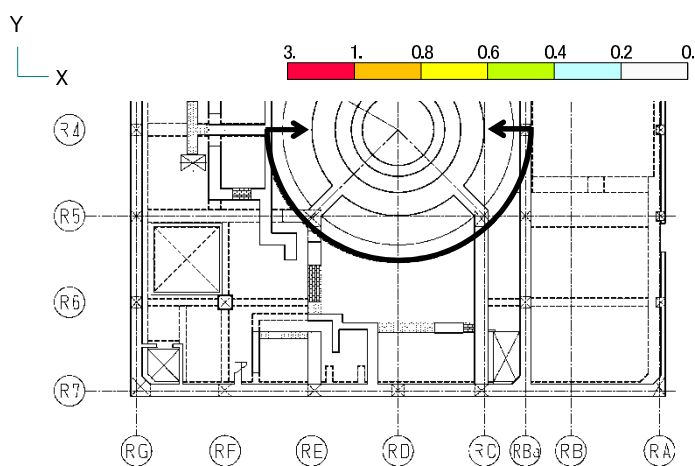
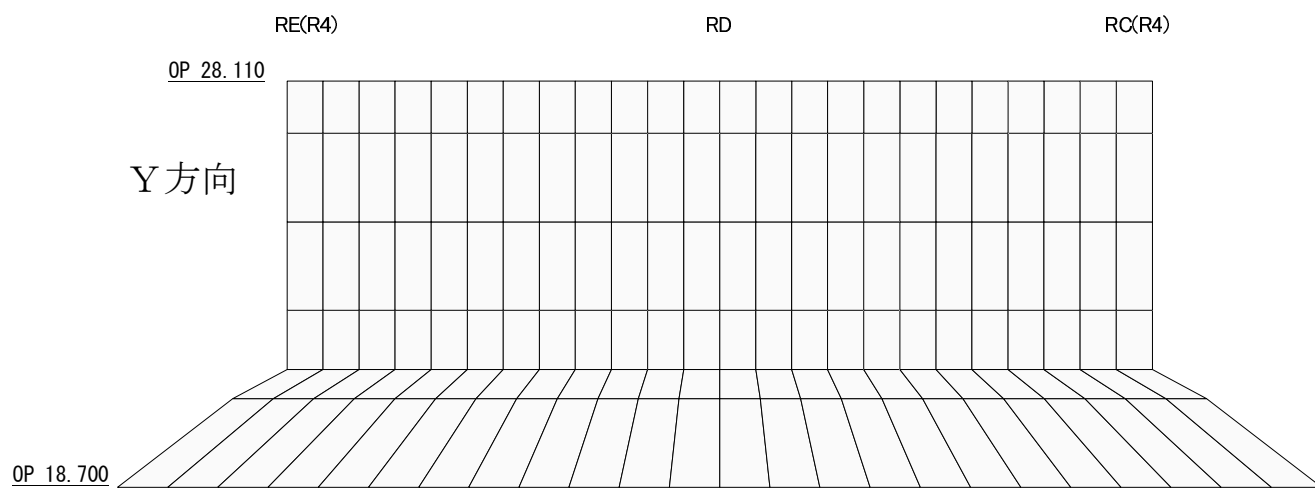
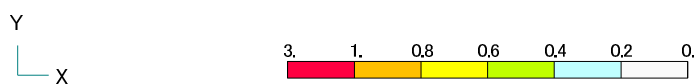
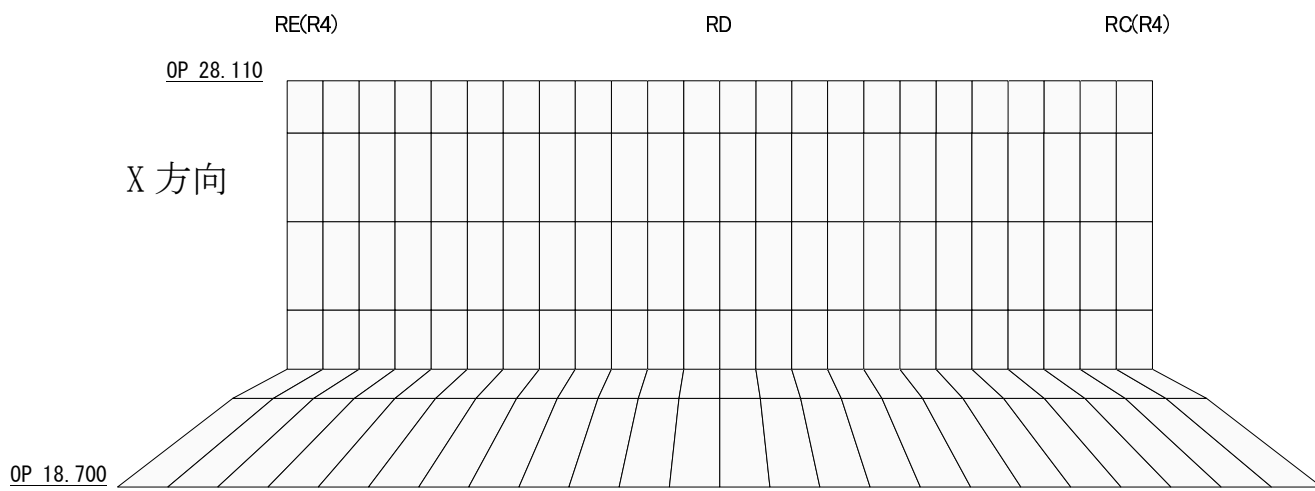


図-9 鉄筋ひずみの検定比 (シェル壁部)

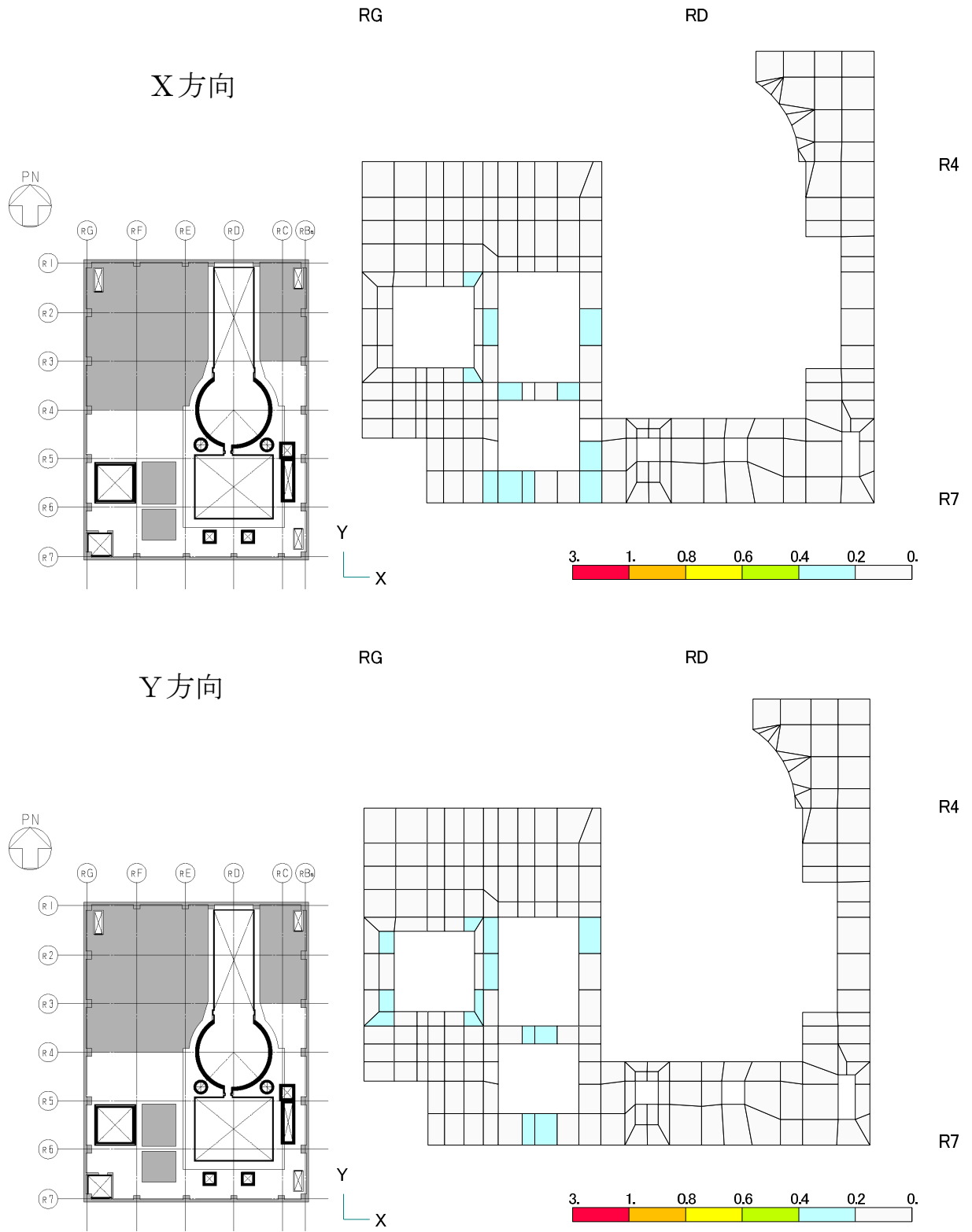


図-10 鉄筋ひずみの検定比 (オペフロ床部)

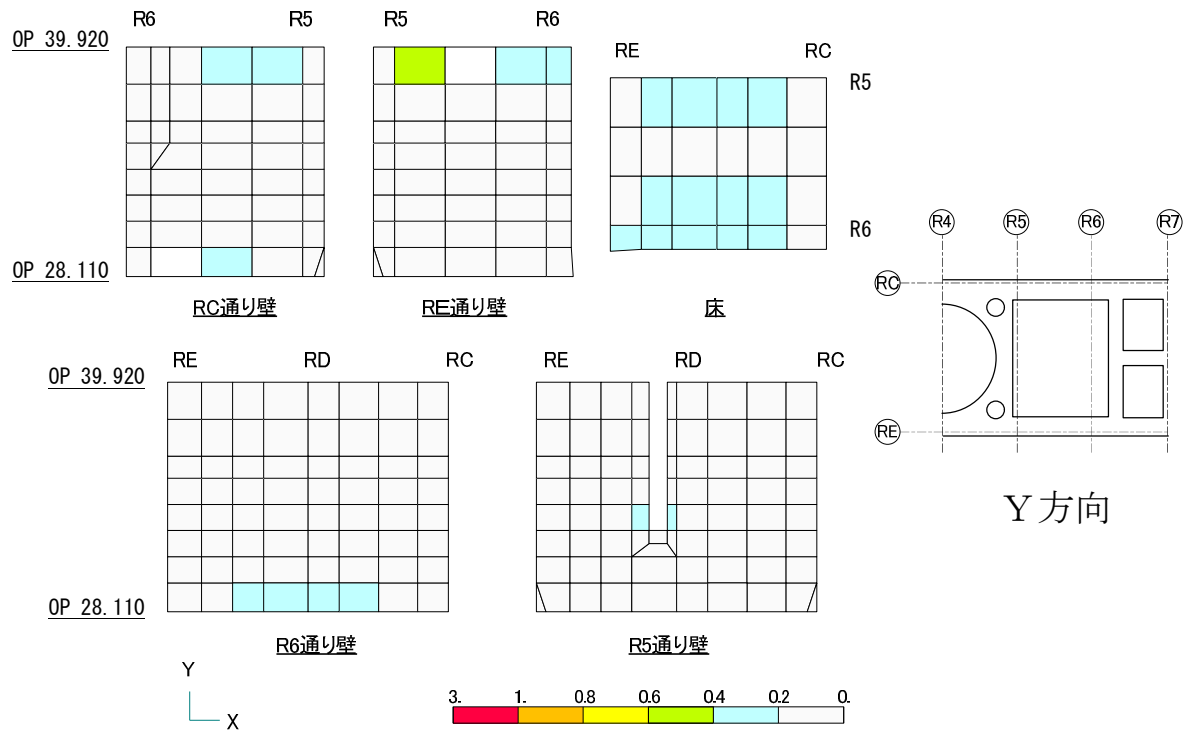
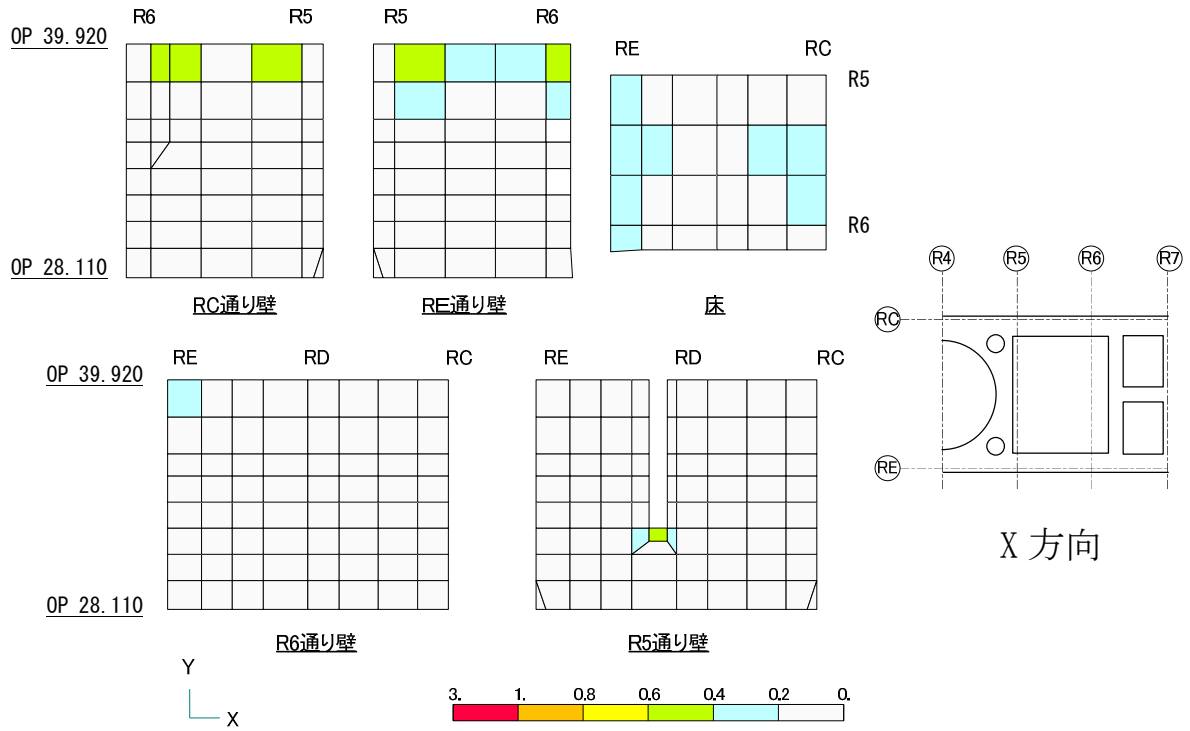


図-11 面外せん断力の検定比（使用済燃料プール部）

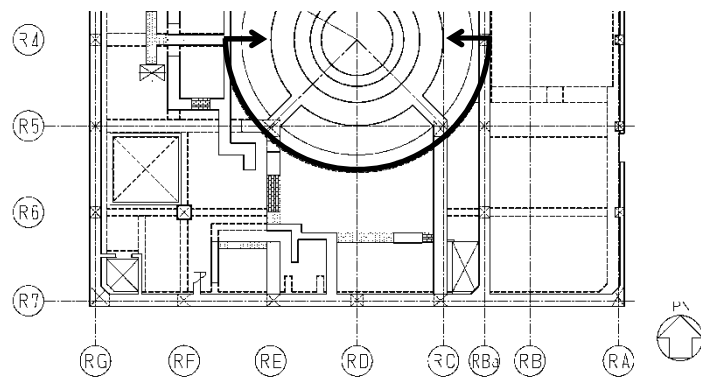
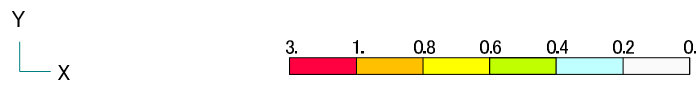
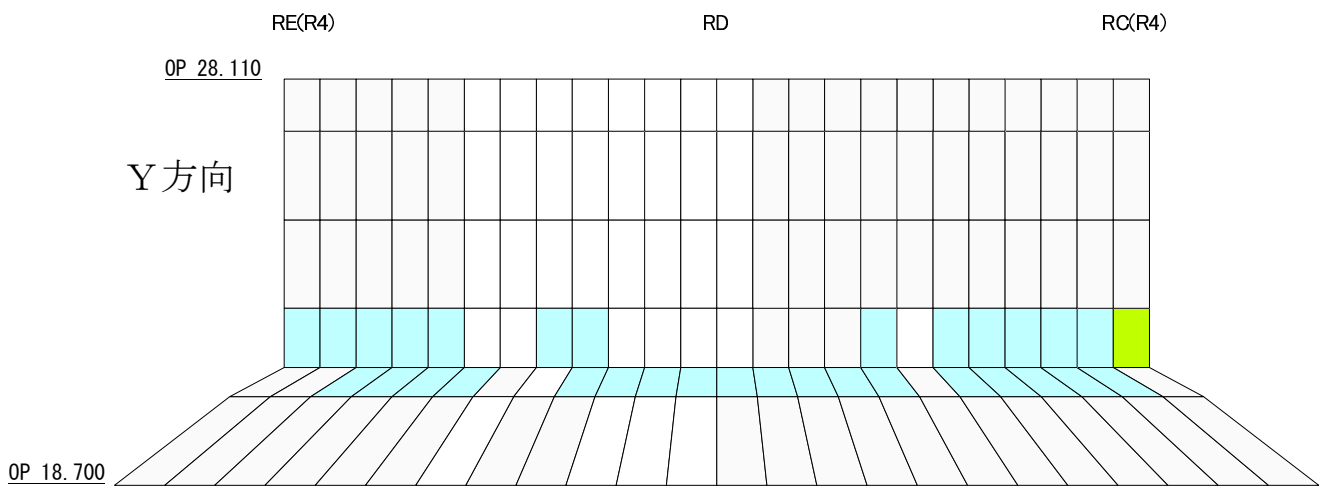
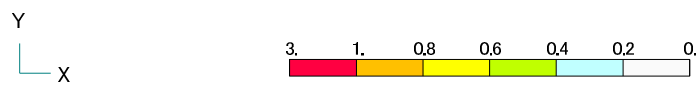
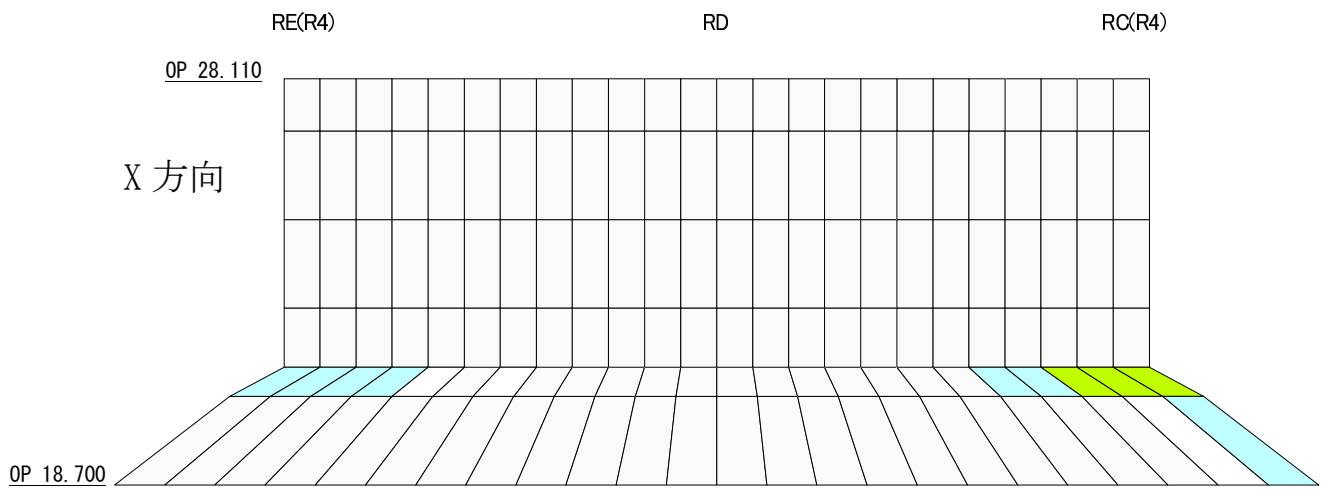


図-12 面外せん断力の検定比 (シェル壁部)

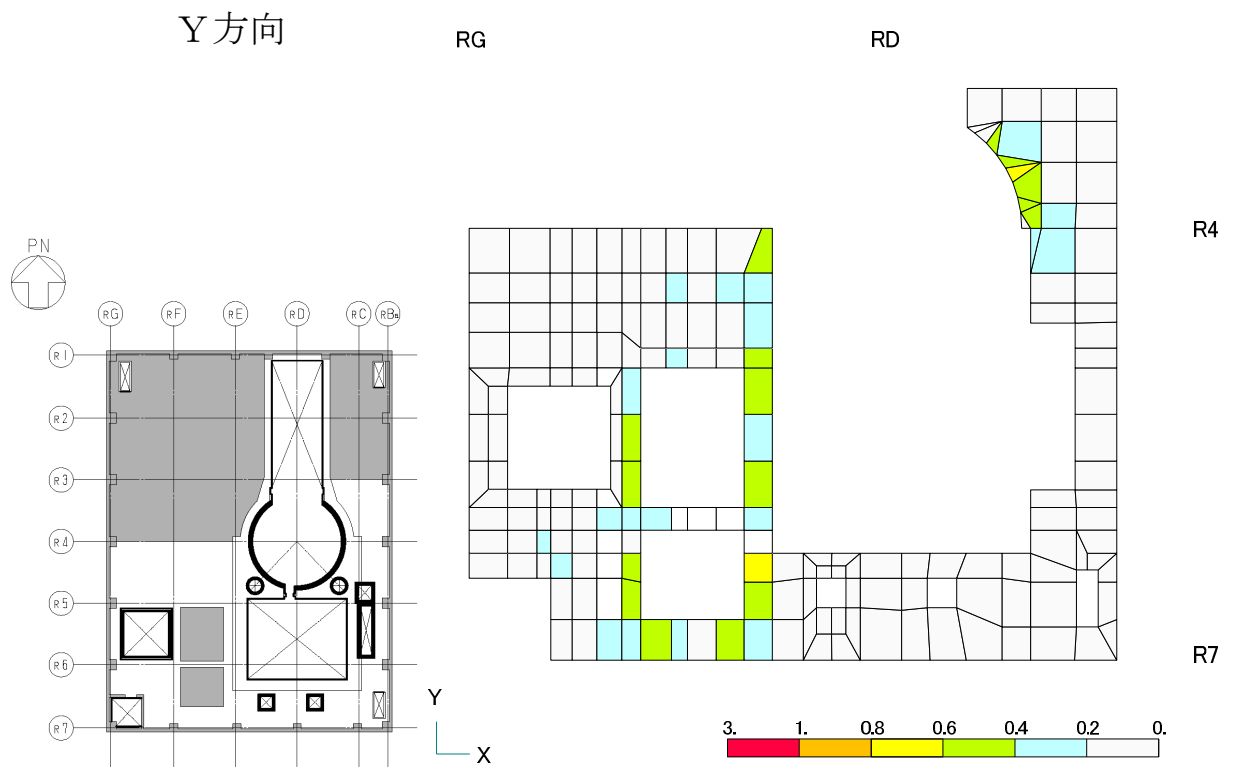
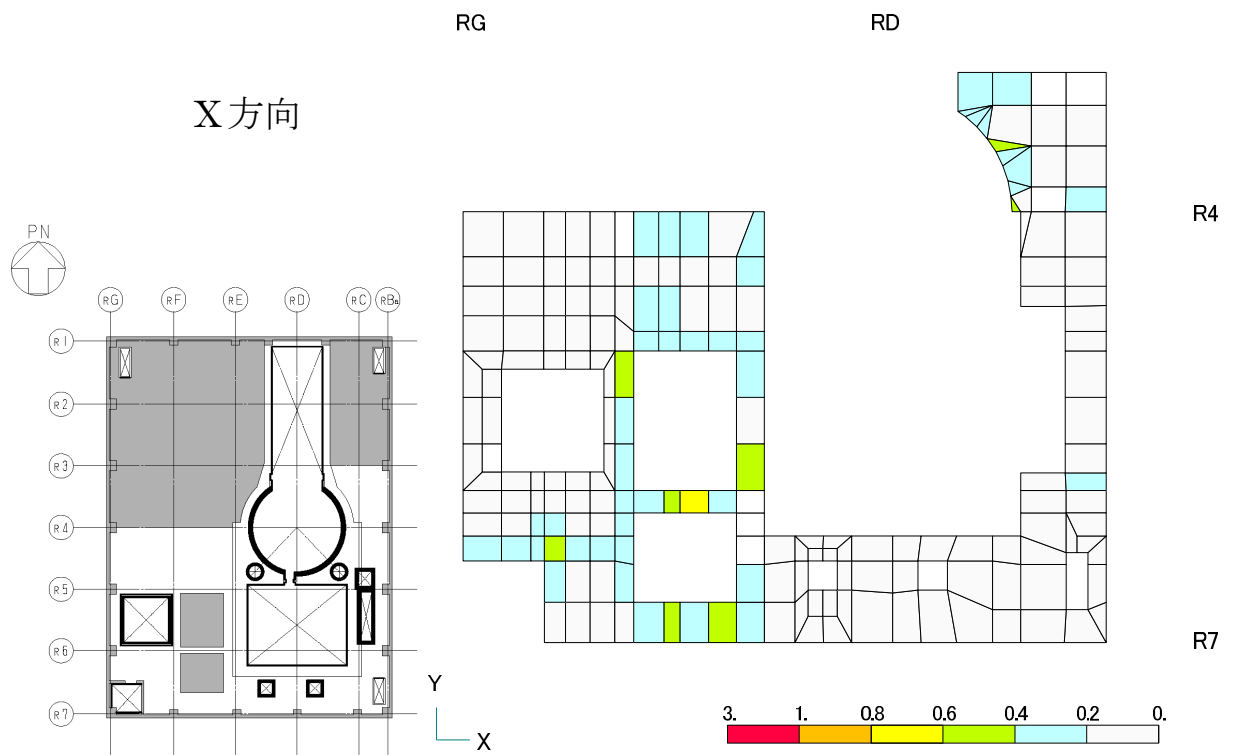


図-13 面外せん断力の検定比（オペフロ床部）



## 3号機原子炉建屋 遮へい体設置における滑動対策について

## 1. 概要

3号機原子炉建屋は作業環境改善のため、オペレーティングフロア（以下、オペフロとする）床面に遮へい体を設置する計画としている。遮へい体の内、使用済燃料プール周りに設置するものについては、地震時（基準地震動  $S_s$ ）に遮へい体へ慣性力が作用することで、遮へい体が使用済燃料プール方向に滑動して使用済燃料プール内に落下しないように、滑動対策を施している。

滑動対策は、遮へい体に作用する使用済燃料プール方向の慣性力を、使用済燃料プール壁等の原子炉建屋躯体で支持することで、遮へい体の使用済燃料プール方向への滑動を防止することである（以下、ずれ止め）。ずれ止めの方法は、下記の2通りがある。

## ①間接支持

ずれ止めを目的とした支持部材（以下、ずれ止め部材）を遮へい体の上に設置する。遮へい体に作用する使用済燃料プール方向の慣性力がずれ止め部材に伝達され、ずれ止め部材が原子炉建屋躯体に接触することで、遮へい体を間接支持する。

対象箇所：A工区 B C工区

## ②直接支持

遮へい体を原子炉建屋躯体に接触させ、遮へい体に作用する使用済燃料プール方向の慣性力を、原子炉建屋躯体で直接支持する。

対象工区：D工区（東側） D工区（南側）

遮へい体の設置方法については、一部の小規模遮へい体を除き、大型クレーンを遠隔操作して遮へい体をオペフロの所定の位置に吊り込むことにより、オペフロへ無人で設置する。この際、大型クレーンの遠隔操作精度に依ることなく遮へい体を設置できるように、鉛直支持材を大型クレーンの遠隔操作により、あらかじめオペフロ床に直置きする。鉛直支持材には溝型部材（凹）が、鉛直支持材に対応する遮へい体の下面には突起部材（凸）が取り付けられており、突起部材を溝形部材に沿わせて遮へい体を設置する。オペフロ床の損傷状況や既設設備（既設 FHM レール）の干渉により、鉛直支持材が設置できない箇所もあり、この箇所については遮へい体をオペフロ床に直置きする。

本資料では、遮へい体設置に関する局所評価として、地震時（基準地震動  $S_s$ ）における使用済燃料プール周りの遮へい体、及び、ずれ止め部材、並び、遮へい体またはずれ止め部材と接触する原子炉建屋躯体を対象に行う構造評価の結果を示す。また、ずれ止め部材設置前の状況下での地震（基準地震動  $S_s$ ）を想定して、間接支持される遮へい体、及び、鉛直支持材を下記の対象（以下、滑動対象物）に行う滑動評価の結果を示す。

A工区 : 遮へい体

B C工区 : 鉛直支持材（遮へい体と一体化となり滑動する）

D工区（南側）：鉛直支持材（遮へい体は単独で床スラブで直接支持され、滑動しない）

D工区（東側）：滑動評価対象外（遮へい体下面の突起部材が既設 FHM レール及び使用済燃料プール壁に接触して、遮へい体が直接支持されるため、滑動しない）

## 2. 遮へい体設置に関する局所評価

### 2.1 評価方法

ずれ止め部材の例を図 2.1-1 に、計画概要を図 2.1-2 に示す。

燃料取り出し用カバー検討用モデルの基準地震動  $S_s$  時の地震応答解析結果のうち、オペフロ階の最大応答加速度を保守的に設定した水平震度 ( $k=0.8$ ) を用いる。検討に用いる応力はこの水平震度により生じる慣性力からずれ止め箇所の構造を考慮して算出する。なお、評価基準値は、遮へい体及びずれ止め部材は鋼材の材料強度 ( $F$  値 $\times 1.1$  倍) に基づく許容値を、接触部は原子炉建屋躯体コンクリートの設計基準強度  $22.1\text{N/mm}^2$  に基づく許容値とする。

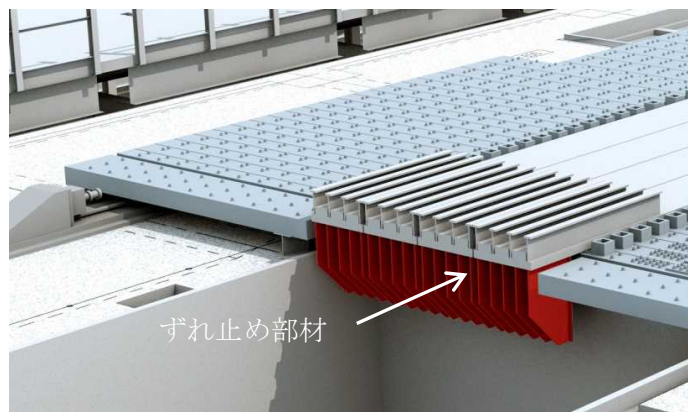
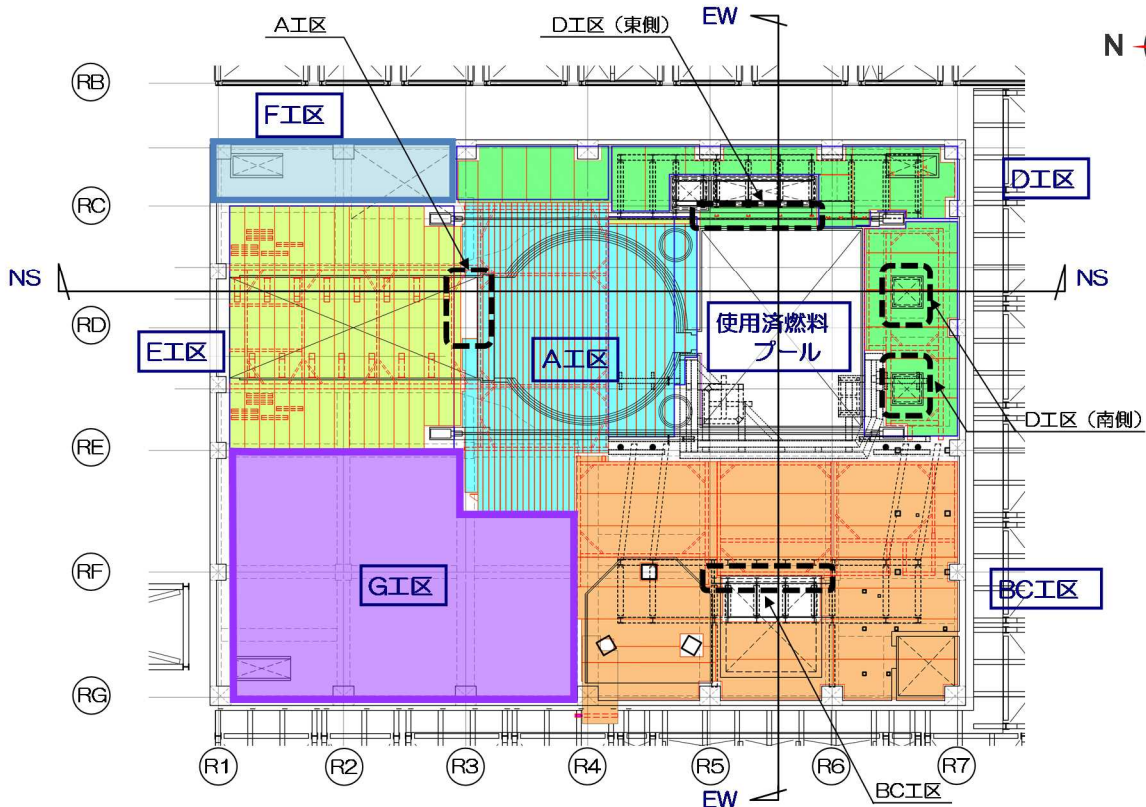
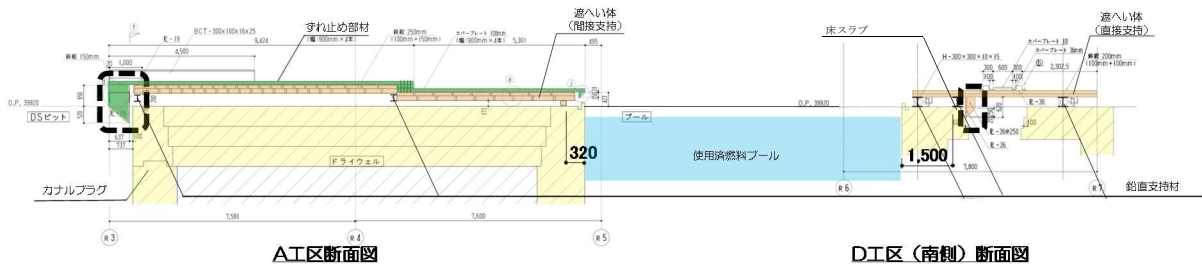


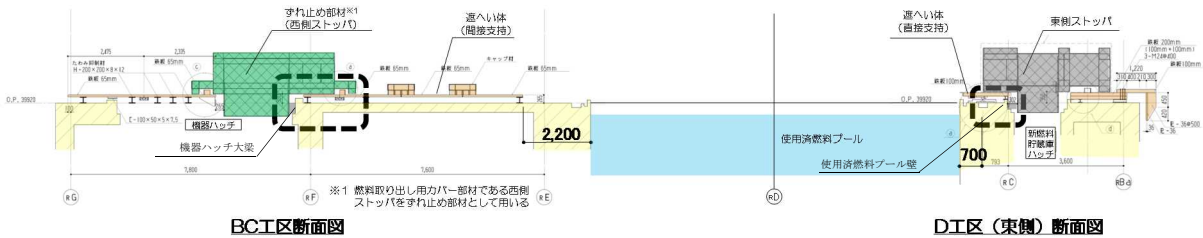
図 2.1-1 ずれ止め部材の例 (A 工区)



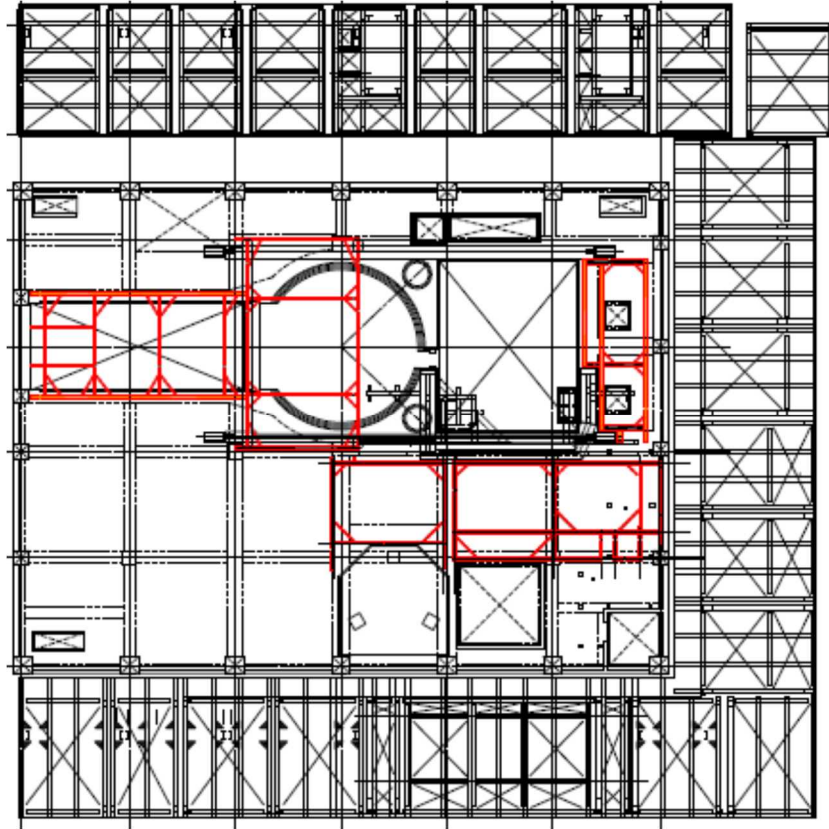
(a) 平面計画 (O.P.39.920)




(b) 使用済燃料プール周りの南北断面



(c) 使用済燃料プール周りの東西断面



(d) 鉛直支持材配置図 (赤線：鉛直支持材)

図 2.1-2 遮へい体計画概要 (  : 使用済燃料プール周りの遮へい体のずれ止め箇所 )

<算定式>

・ずれ止め箇所（曲げ，せん断の評価）

$$M_a = {}_s f_b \cdot Z$$

$$Q_a = {}_s f_s \cdot A_s$$

ここに，  $M_a$  : 許容曲げモーメント

$Q_a$  : 許容せん断力

${}_s f_b$  : 曲げ応力に対する許容値<sup>※1</sup>

${}_s f_s$  : せん断応力に対する許容値<sup>※1</sup>

$Z$  : ずれ止め箇所の断面係数

$A_s$  : ずれ止め箇所のせん断断面積

$W$  : 遮へい体重量

$k$  : 地震時の水平震度 (0.8)

$M$  : 地震時の曲げモーメント ( $M=Q \times l$ )

$Q$  : 地震時のせん断力 ( $Q=W \times k$ )

$l$  : 作用間距離

※1 : 建築基準法に基づく鋼材の材料強度 (F値の1.1倍) による許容値

・接触部（支圧の評価）

$$P_a = f_n \cdot A_1$$

$$\text{ここに， } f_n = f_{na} \sqrt{\frac{A_c}{A_1}} \quad , \quad f_{na} = 0.6F_c \quad , \quad \sqrt{\frac{A_c}{A_1}} \leq 2.0$$

$P_a$  : 許容支圧力

$F_c$  : コンクリートの設計基準強度 (22.1N/mm<sup>2</sup>)

$A_c$  : 支承面積

$A_1$  : 接触面積

・接触部（曲げの評価）

$$M_a = A_t \cdot f_t \cdot j$$

ここに、  $A$  : 鉄筋断面積  
 $f_t$  : 鉄筋の引張に対する許容値<sup>※2</sup>  
 $j$  : 応力中心間距離

※2 : 建築基準法に基づく鋼材の材料強度（F値の1.1倍）による許容値

## 2.2 評価結果

図 2.1-2 に示す使用済燃料プールの四方の遮へい体工区について検討を実施した。遮へい体、ずれ止め部材及び原子炉建屋躯体の結果を表 2.2-1, 表 2.2-2 に示す。

遮へい体またはずれ止め部材の設置に関する局所評価として使用済燃料プールに隣接する四方の工区について、基準地震動  $S_s$  時、使用済燃料プール周りの遮へい体、及び、ずれ止め部材、並び、遮へい体またはずれ止め部材と接触する原子炉建屋躯体に加わる応力は許容応力を下回り、遮へい体及使用済燃料プールに落下することはない。

表 2.2-1 遮へい体またはずれ止め部材の構造評価（基準地震動  $S_s$ ）

| 工区    | 応力                                 | 許容応力                                    | 検定比  | 検定部位        |
|-------|------------------------------------|---|------|-------------|
| A     | $M= 903 \text{ kN} \cdot \text{m}$ | $M_a= 1, 260 \text{ kN} \cdot \text{m}$ | 0.72 | ずれ止め部材（曲げ）  |
| B C   | $Q= 621 \text{ kN}$                | $Q_a= 15, 694 \text{ kN}$               | 0.04 | ずれ止め部材（せん断） |
| D（南側） | $M= 194 \text{ kN} \cdot \text{m}$ | $M_a= 1, 525 \text{ kN} \cdot \text{m}$ | 0.13 | 遮へい体（曲げ）    |
| D（東側） | $Q= 58 \text{ kN}$                 | $Q_a= 2, 238 \text{ kN}$                | 0.03 | 遮へい体（せん断）   |

表 2.2-2 原子炉建屋躯体の構造評価（基準地震動  $S_s$ ）

| 工区    | 応力                                 | 許容応力                                    | 検定比  | 検定部位           |
|-------|------------------------------------|---|------|----------------|
| A     | $P= 879 \text{ kN}$                | $P_a= 11, 925 \text{ kN}$               | 0.08 | カナルプラグ（支圧）     |
| B C   | $P= 1, 860 \text{ kN}$             | $P_a= 39, 856 \text{ kN}$               | 0.05 | 機器ハッチ大梁（支圧）    |
| D（南側） | $P= 431 \text{ kN}$                | $P_a= 11, 368 \text{ kN}$               | 0.04 | 床スラブ（支圧）       |
| D（東側） | $M= 594 \text{ kN} \cdot \text{m}$ | $M_a= 5, 351 \text{ kN} \cdot \text{m}$ | 0.12 | 使用済燃料プール壁（曲げ）※ |

※D工区（東側）遮へい体下面の突起部は既設 FHM レールと使用済燃料プール壁に接触するので、基準地震動  $S_s$  時にD工区（東側）遮へい体に発生する慣性力は両箇所を負担可能であるが、評価上は慣性力を使用済燃料プール壁で負担するものとする。

## 3. 遮へい体の滑動に対する評価

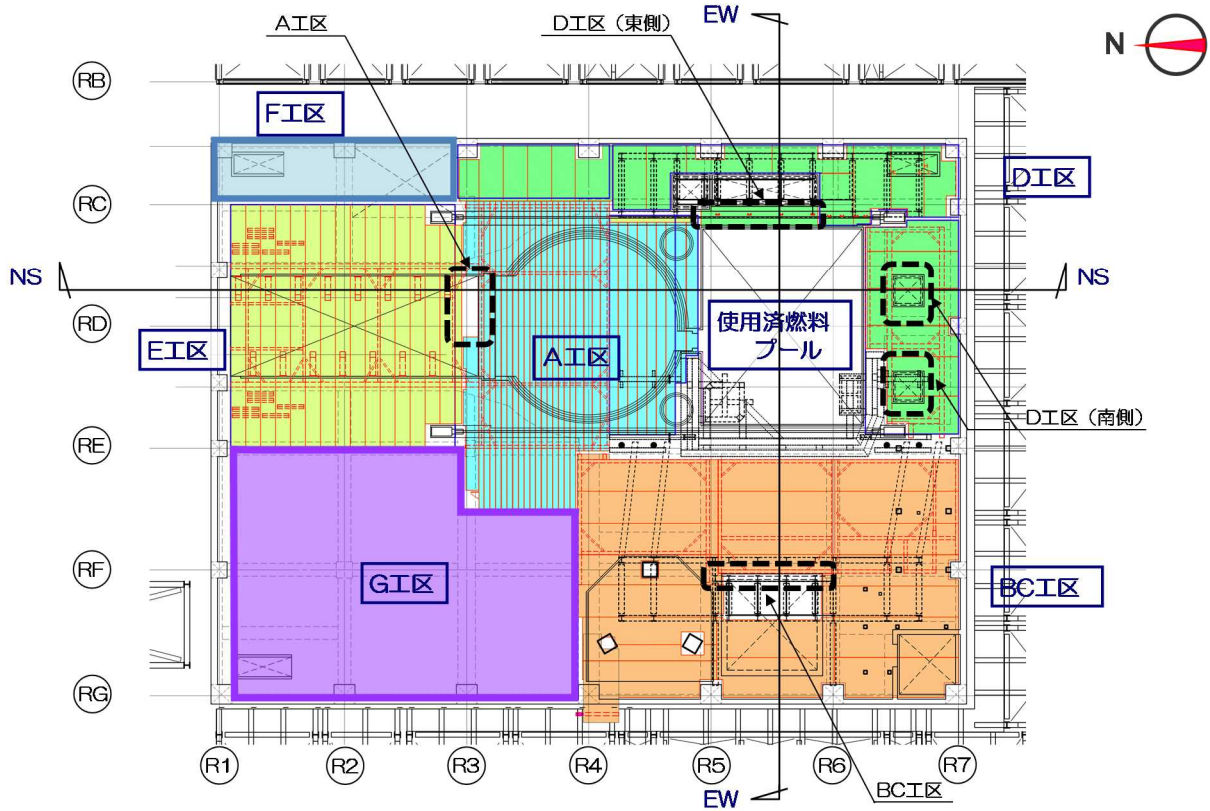
### 3.1 評価方法

本検討では、滑動対象物の端部と使用済燃料プール壁面までのクリアランスが地震時のすべり量より大きいことを確認する。各工区のクリアランスを表 3.1-1 及び図 3.1-1 に、工区ごとの詳細を図 3.1-2 に示す。

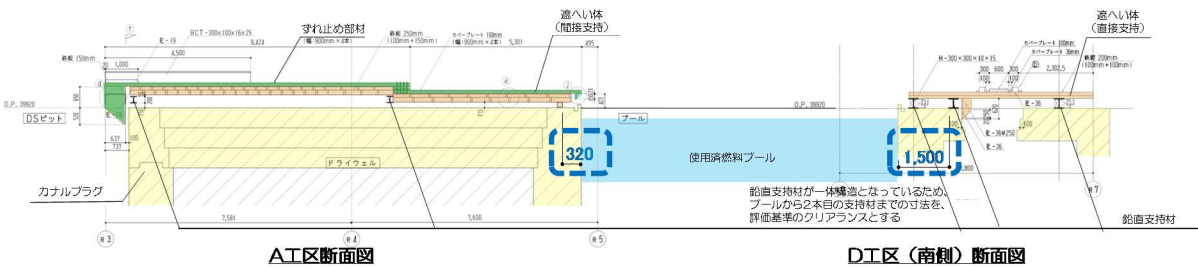
燃料取り出し用カバー検討用モデルの基準地震動  $S_s$  時の地震応答解析結果のうちオペフロ階の応答加速度時刻歴を入力として、滑動対象物を模擬した 1 自由度系に遮へい体の動摩擦係数と保守的に上向きの鉛直震度による摩擦抵抗の減少を条件とした地震応答解析を行い、滑動対象物とオペフロ床の相対変位を算出する。地震応答解析の概要を図 3.1-3 に、摩擦係数と鉛直震度の組合せを表 3.1-2 に示す。ここで算出した相対変位が使用済燃料プール壁面までのクリアランス以下であることを確認する。

表 3.1-1 滑動対象物と使用済燃料プールのクリアランス

| 工区     | クリアランス    |
|--------|-----------|
| A      | 320 mm    |
| B C    | 2, 200 mm |
| D (南側) | 1, 500 mm |

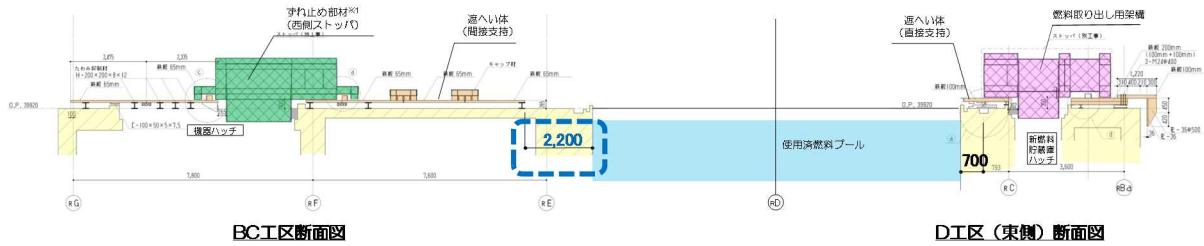


(a) 平面計画 (O.P.39.920)



(b) 使用済燃料プール周りの南北断面





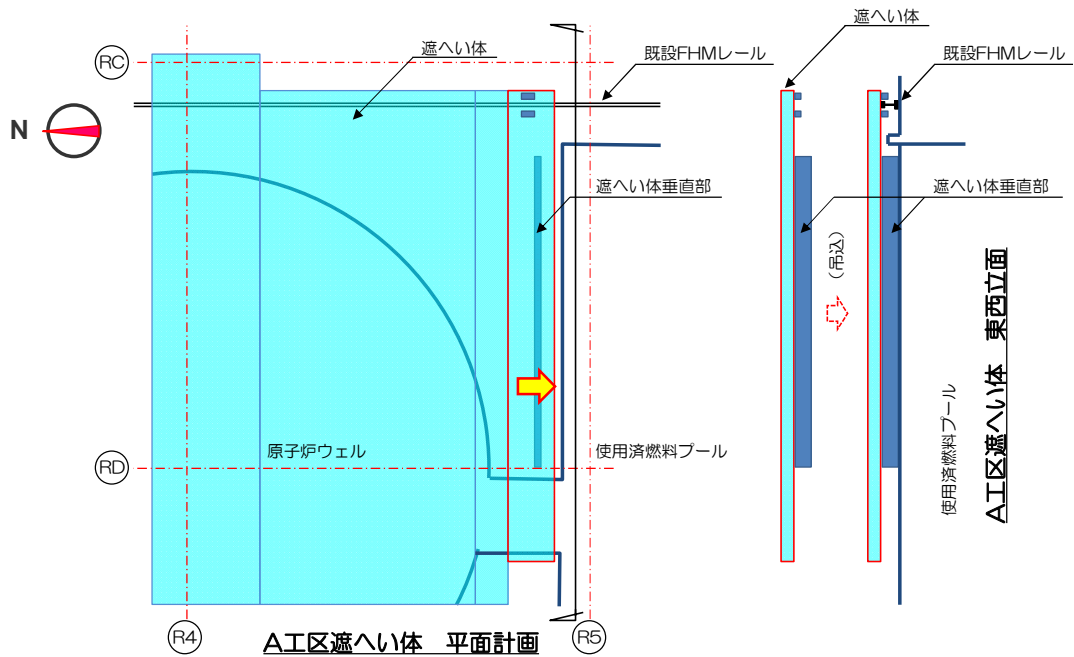
**滑動対象物と使用済燃料プールのクリアランス**

(c) 使用済燃料プール周りの東西断面

図 3.1-1 滑動対象物と使用済燃料プールのクリアランス

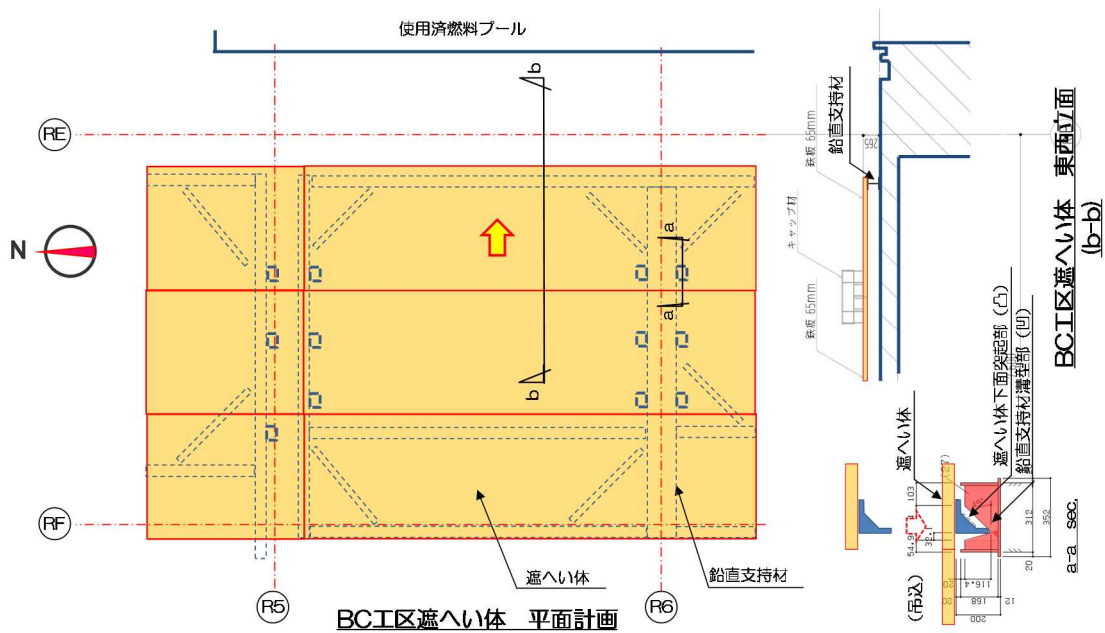
A工区遮へい体の使用済燃料プール際は、東側を既設 FHM レールに、西側を原子炉建屋躯体に載せる。

- 「オペフロ床面（コンクリート）に対する遮へい体（鋼材）のすべり量」及び「既設 FHM レール（鋼材）に対する遮へい体（鋼材）のすべり量」の確認を行う。



(a) 使用済燃料プール際A工区遮へい体

- BC工区遮へい体は、鉛直支持材をオペフロ床面に載せ、その上に遮へい体を載せる。
- 「オペフロ床面（コンクリート）に対する、鉛直支持材（鋼材）と一体化された遮へい体（鋼製）のすべり量」の確認を行う。

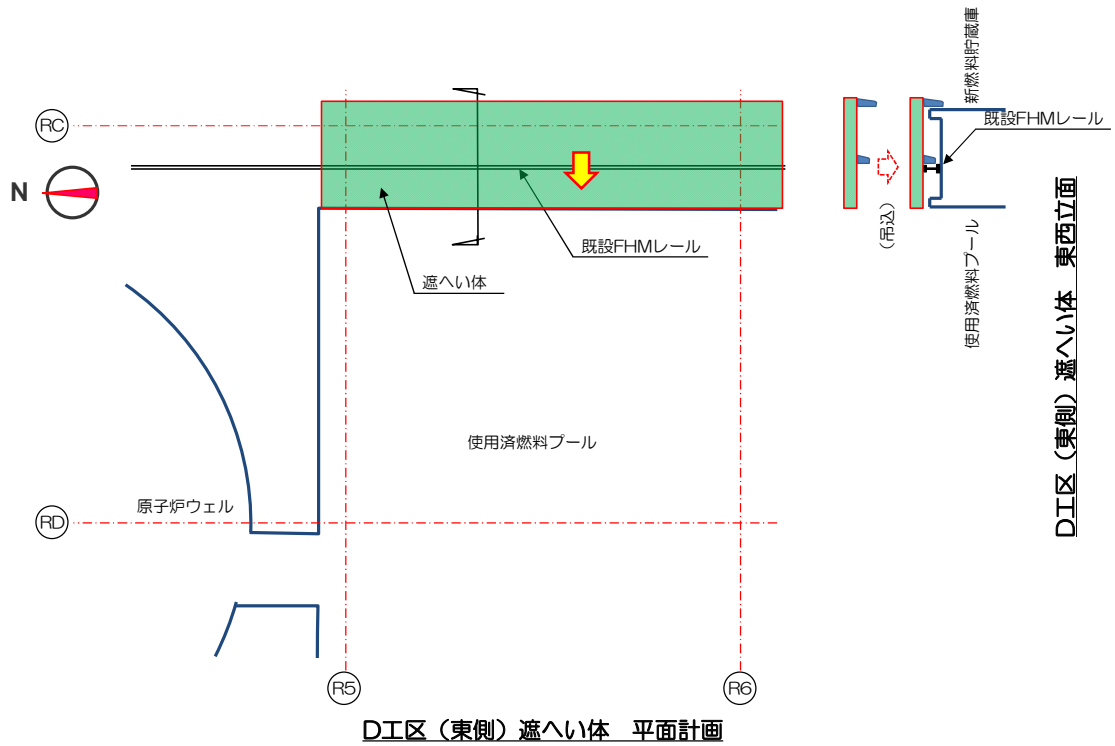


(b) 使用済燃料プール際BC工区遮へい体

図 3.1-2 遮へい体詳細(1)

D工区（東側）遮へい体の使用済燃料プール際は，東側を原子炉建屋躯体に，西側を既設 FHM レールに載せる。

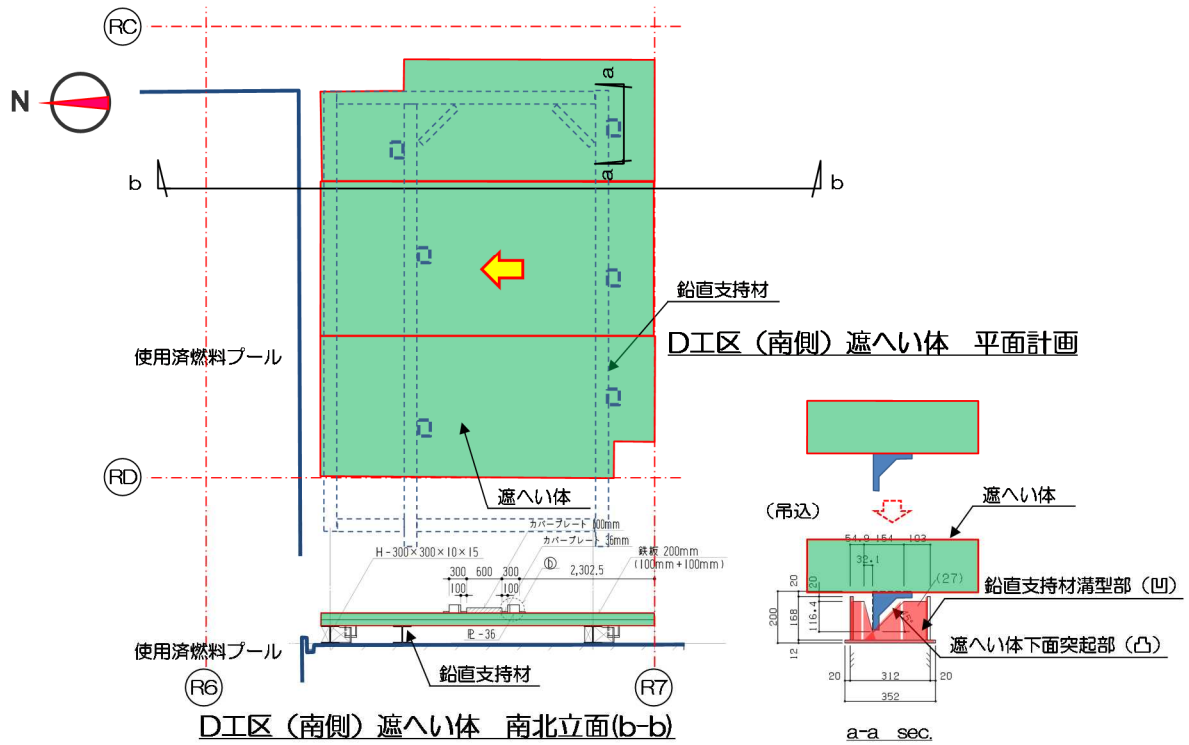
- ・遮へい体は原子炉建屋躯体で直接支持されるため滑動せず，使用済燃料プール側には落下しないと評価。（滑動に対する評価は実施しない）



(c) 使用済燃料プール際D工区（東側）遮へい体

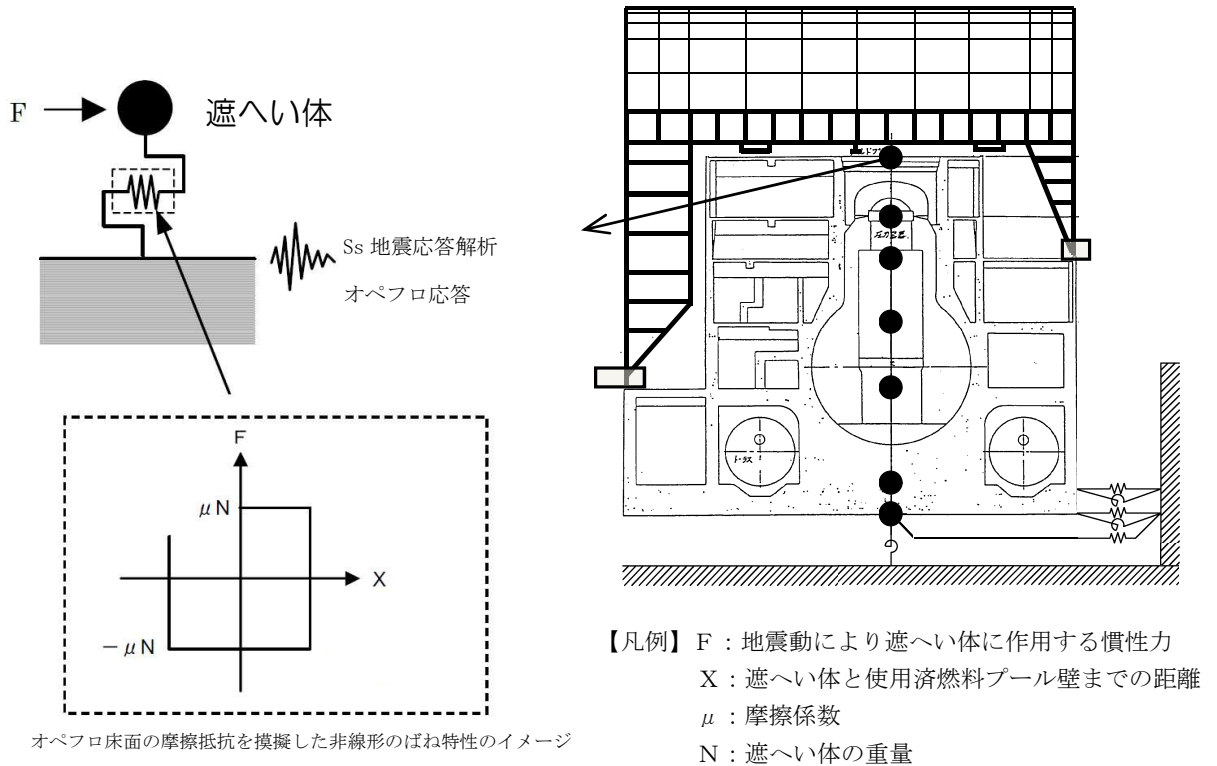
D工区（南側）遮へい体は、鉛直支持材（鋼製）をオペフロ床面に載せ、その上に遮へい体を載せる。

- ・「オペフロ床面（コンクリート）に対する、鉛直支持材（鋼材）のすべり量」の確認を行う。



(d) 使用済燃料プール際D工区（南側）遮へい体

図 3.1-2 遮へい体詳細(2)



- \*：解析モデルの諸元は、「添付資料-4-2 燃料取り出し用カバーの構造強度及び耐震性に関する説明書」の中で用いたものを使用。
- \*：遮へい体とオペフロ床面の摩擦抵抗については、遮へい体に生じる慣性力が静止摩擦力を超過すると、一定の摩擦力が抵抗力として作用しながら遮へい体が移動し、慣性力が静止摩擦力以下の場合には、遮へい体は移動せずその場にとどまるような、非線形のばね特性で評価。

図 3.1-3 遮へい体滑動検討の地震応答解析モデル

表 3.1-2 摩擦係数と鉛直震度の組合せ

| CASE | 摩擦面       | 摩擦係数      | 備考   |
|------|-----------|-----------|--|
| 1    | 鋼材とコンクリート | 0.40      | 鋼構造設計規準（日本建築学会）  |
| 2    | 鋼材とコンクリート | 0.25      | 電中研報告書「使用済燃料キャスク貯蔵技術の確立-地震時のキャスク転倒評価-」（研究報告：U92037）<br>コンクリート及び鋼材表面の塗装条件を様々に変化させた試験結果のうち最も不利な摩擦係数。 |
| 3    | 鋼材とコンクリート | 0.25      | CASE2 に鉛直震度（0.45G）による鉛直力Nを低減させた場合。   |
| 4    | 鋼材と鋼材     | 0.35~0.40 | 機械工業ハンドブック改訂版<br>「鋼材とコンクリート」の評価により包絡されるため、省略。  |

### 3.2 評価結果

表 3.1-2 の組合せケースの結果を表 3.2-1 に示す。基準地震動 Ss 時の相対変位が最大となるケース 3 において相対変位が 22.3cm となり、使用済燃料プール壁面までの最小クリアランス 32.0cm 以下である。よって、ずれ止め設置前においても滑動対象物が使用済燃料プールに落下することはない。

表 3.2-1 地震応答解析による滑動対象物とオペフロの相対変位（基準地震動 Ss）

| CASE | 摩擦係数 | 鉛直震度      | 最大相対変位<br>(cm) | クリアランス<br>(cm) |
|------|------|-----------|----------------|----------------|
| 1    | 0.40 | 0         | 5.8            | 32.0           |
| 2    | 0.25 | 0         | 10.8           | 32.0           |
| 3    | 0.25 | 0.45（上向き） | 22.3           | 32.0           |